

TÚ 1791 Rybník - Lipno nad Vltavou
DÚ 02 Rybník - Rožmberk n/Vltavou

03		
02		
01		
ZMĚNA	POPIS	DATUM



ING. IVAN ŠÍR

PROJEKTOVÁNÍ DOPRAVNÍCH STAVEB a.s.

Haškova 1714/3, 500 02 Hradec Králové, tel: +420 603 181 473, sir@sirivan.cz, www.sirivan.cz

IČ: 287 86 793

Objednatel: Správa železniční dopravní cesty, s.o.
Oblastní ředitelství Plzeň

Oprava mostu v km 4,958 na trati Rybník-Lipno

■ kraj:
Jihočeský

■ MÚ / OU:
Dolní Dvořiště

■ stupeň utajení:
bez utajení

■ datum:
04 / 2019

■ zakázkové číslo:
19 008

■ stupeň PD:
RDS

■ odpovědný projektant stavby:
Ing. Ivan Šír

■ odpovědný projektant objektu:
Ing. Ivan Šír

■ vypracoval:
Ing. Zdeněk Lakmayer

■ kontroloval:

■ změna číslo:
00

■ měřítko:

SO 201 - Most v km 4,958

PŘEPOČET ZATÍŽITELNOSTI

D.1.2.1.3

Přepočet zatížitelnosti

Výpočet zatížitelnosti mostu v km 4,958

trati Rybník - Lipno

Vypracoval: Ing. Zdeněk Lakmayer



OBSAH:

1	TECHNICKÁ ZPRÁVA	3
1.1	ROZSAH POSUZOVANÝCH KONSTRUKCÍ.....	3
1.2	ZÁKLADNÍ ÚDAJE	3
1.2.1	Umístění objektu.....	3
1.2.2	Členění nosných konstrukcí.....	3
1.2.3	Členění spodní stavby.....	3
1.2.4	Charakteristické rozměry mostu.....	4
1.2.5	Geometrická poloha koleje	4
1.2.6	Požadavky na zatížení mostu.....	4
1.2.7	Členění statického výpočtu.....	5
1.3	TECHNICKÝ POPIS JEDNOTLIVÝCH ČÁSTÍ KONSTRUKCÍ.....	5
1.3.1	Nosná konstrukce K01	5
1.3.2	Spodní stavba	5
1.3.3	Železniční svršek.....	6
1.3.4	Závady uvažované ve výpočtu	6
1.4	VÝPOČETNÍ MODEL.....	6
1.5	VÝPOČETNÍ POMŮCKY.....	6
1.5.1	Výpočetní programy.....	6
1.6	PŘEHLED POUŽITÉ LITERATURY, NOREM A VL.....	6
1.6.1	Použité normy.....	6
1.6.2	Použitá literatura.....	9
1.6.3	Vzorové listy.....	9
1.7	PODKLADY.....	10
1.7.1	Existující dokumentace	10
1.7.2	Geodetická dokumentace	10
1.7.3	Výsledky diagnostiky.....	10
1.7.4	Výsledky prohlídek.....	10
1.7.5	Zvláštní požadavky zadavatele	10
1.8	IDENTIFIKACE AUTORA	10
2	GRAFICKÉ PŘÍLOHY	12
3	ZATÍŽENÍ	16
3.1	STÁLÉ	16
3.1.1	Vlastní tíha LC1.....	16
3.1.2	Ostatní stálé (nahodilé dlouhodobé) LC2.....	16
3.2	NAHODILÉ KRÁTKODOBÉ.....	16
3.2.1	Rozjezdové a brzdné síly LC3.....	16
3.2.2	Zatížení bočními rázy LC4	17
3.2.3	Zatížení větrem LC5.....	18
3.2.4	Zatížení železniční dopravou LC101 - 124 – Model zatížení 71.....	20
3.2.5	Vliv odstředivých sil.....	24
3.2.6	Vliv excentricity.....	24
3.2.7	Kolová síla pro lokální účinky.....	26
4	STANOVENÍ ZATÍŽITELNOSTI NOSNÉ KONSTRUKCE.....	27
4.1	PODÉLNÍK.....	30
4.1.1	Vliv klopení	30
4.1.2	Průřezové charakteristiky	30

Přepočet zatížitelnosti

Výpočet zatížitelnosti mostu v km 4,958

trati Rybník - Lipno

Vypracoval: Ing. Zdeněk Lakmayer



4.1.3	Podélník POD1 v místě maximálního svislého ohybového momentu	33
4.1.4	Podélník POD1 v místě maximálního vodorovného ohybového momentu.....	39
4.1.1	Podélník POD1 v místě maximální posouvající síly.....	44
4.1.2	Podélník POD2 v místě maximálního svislého ohybového momentu	47
4.1.3	Podélník POD2 v místě maximálního vodorovného ohybového momentu.....	53
4.1.1	Podélník POD2 v místě maximální posouvající síly.....	58
4.1.2	Podélník POD1 ve 4. (zkráceném) poli v místě maximálního svislého ohybového momentu 61	
4.1.1	Podélník POD1 ve 4. (zkráceném) poli v místě maximální posouvající síly.....	66
4.1.2	Podélník POD2 ve 4. (zkráceném) poli v místě maximálního svislého ohybového momentu 67	
4.1.3	Podélník POD2 ve 4. (zkráceném) poli v místě maximální posouvající síly.....	71
4.2	PŘÍČNÍK.....	73
4.2.1	Vliv klopení	73
4.2.2	Průřezové charakteristiky	73
4.2.3	Příčník PR1 v místě maximálního svislého ohybového momentu a posouvající síly (v místě připojení podélníku na příčník)	76
4.2.4	Příčník PR2 v místě maximálního svislého ohybového momentu a posouvající síly (v místě připojení podélníku na příčník)	80
4.3	KONCOVÝ PŘÍČNÍK.....	83
4.3.1	Vliv klopení	83
4.3.2	Průřezové charakteristiky	83
4.3.1	Koncový příčník PR1 v místě maximálního svislého ohybového momentu a posouvající síly 85	
4.3.1	Koncový příčník PR2_KONC v místě maximálního svislého ohybového momentu a posouvající síly.....	89
4.3.2	Koncový příčník PR2_KONC v místě maximálního vodorovného ohybového momentu.....	92
4.3.1	Koncový příčník PR2_KONC v místě maximální posouvající síly	94
4.4	HLAVNÍ NOSNÍK	96
4.4.1	Vliv klopení	96
4.4.2	Průřezové charakteristiky	96
4.4.3	Hlavní nosník HN v místě maximálního svislého ohybového momentu	98
4.4.4	Hlavní nosník HN v místě maximální posouvající síly.....	103
4.4.5	Průhyb hlavního nosníku	106
4.5	VODOROVNÉ A PŘÍČNÉ ZTUŽENÍ	106
5	POSOUZENÍ PŘECHODNOSTI.....	107
6	STANOVENÍ ZATÍŽITELNOSTI SPODNÍ STAVBY	108
7	ZÁVĚR	109

Přepočet zatížitelnosti

Výpočet zatížitelnosti mostu v km 4,958

trati Rybník - Lipno

Vypracoval: Ing. Zdeněk Lakmayer



1 TECHNICKÁ ZPRÁVA K PŘEPOČTU

1.1 Rozsah posuzovaných konstrukcí

Předmětem statického výpočtu je stanovení zatížitelnosti ocelové nosné konstrukce mostu v km 4,958 trati Rybník – Lipno nad Vltavou.

Zadavatel požaduje ověření přechodnosti pro provozní zatížení odpovídající traťové třídě C2 s přidruženou rychlostí 50 km/h.

1.2 Základní údaje

1.2.1 Umístění objektu

Evidenční km:	4,958		
Traťový úsek:	<i>Rybník (mimo) – Lipno nad Vltavou (včetně)</i>	č. TÚ	1791
Definiční úsek	<i>Rybník – Rožmberk nad Vltavou</i>	č. DÚ	02
Místní název	-		
Přemostňovaná překážka		vodní tok – Rybnický potok	
Počet mostních otvorů	1	Počet převáděných železničních kolejí	1
Šikmost mostu	-	Úhel šikmosti	0°

1.2.2 Členění nosných konstrukcí

Poř. č.	Ozn.	Rozpětí	Typ
1	K01	9,45 m	ocelová plnostěnná prostá s prvkovou mostovkou

1.2.3 Členění spodní stavby

Poř. č.	Ozn.	Materiál opěr	Materiál úložných prahů
1	O01	kamenné zdivo	železobeton
2	O02	kamenné zdivo	železobeton

Přepočet zatížitelnosti

Výpočet zatížitelnosti mostu v km 4,958

trati Rybník - Lipno

Vypracoval: Ing. Zdeněk Lakmayer



1.2.4 Charakteristické rozměry mostu

dle ČSN 73 6200

Šířka mostu	6,34 m
Délka mostu	18,51 m
Výška objektu	4,71 m
Délka konstrukce	13,248 m
Délka přemostění	7,85 m
Výška mostního otvoru	3,675 m
Kolmá světlost mostního otvoru	7,85 m

Přehled rozpětí a stavebních výšek konstrukcí

Poř. č.	Ozn.	Rozpětí	Stavební výška
1	K01	9,45 m	825 mm

1.2.5 Geometrická poloha koleje

Směrový průběh koleje:

Kolej se na mostě nachází v přímé.

vzdálenost osy koleje od osy konstrukce:

na začátku 0 mm vpravo

uprostřed 0 mm vpravo

na konci..... 0 mm vpravo

Výškový průběh koleje

Kolej se na mostě klesá ve sklonu 17,15‰.

1.2.6 Požadavky na zatížení mostu

Požadavkem zadavatele přepočtu je stanovení zatížitelnosti mostu a ověření jeho přechodnosti pro provozní zatížení odpovídající traťové třídě C2 s přidruženou rychlostí 50 km/h.

Pro určení zatížitelnosti je konstrukce zatížena modelem zatížení 71 dle 6.3.2 ČSN EN 1991-2 – Eurokód 1: Zatížení konstrukcí - Část 2: Zatížení mostů dopravou.

Zatížitelnost určena dle Metodického pokynu SŽDC pro určování zatížitelnosti železničních mostních objektů. Pro určení přechodnosti provozního zatížení použito zatěžovací schéma pro traťovou třídu C2 dle ČSN EN 15528.

Zadavatel přepočtu:

SŽDC, OŘ Plzeň

Sušická 23

326 00 – Plzeň

IČ: 709 94 234

DIČ: CZ 709 94 234

Přepočet zatížitelnosti

Výpočet zatížitelnosti mostu v km 4,958

trati Rybník - Lipno

Vypracoval: Ing. Zdeněk Lakmayer



1.2.7 Členění statického výpočtu

Členění statického výpočtu je zřejmé z přehledného obsahu – viz str.1.

1.3 Technický popis jednotlivých částí konstrukcí

1.3.1 Nosná konstrukce K01

Nosná konstrukce mostu je prostá ocelová plnostěnná svařovaná s mezilehlou prvkovou mostovkou a s kolejnicemi na centricky uložených mostnicích. Konstrukce je kolmá.

Hlavní nosníky mají rozpětí 9,45 m. Výška hlavních nosníků je konstantní, a sice 876 mm. Hlavní nosníky jsou svařované, průřezu symetrického I. Skládají se ze stojiny a symetrických pásnic. Stojina je P14 x 776 mm, pásnice jsou P50 x 450 mm. Nad podporou je dolní pásnice rozšířena na 600 mm.

Podélníky jsou svařované, spojitě, průřezu symetrického I. Horní pásnice je P12 x 200 mm, dolní pásnice je P20 x 200 mm, stojina je P10 x 461 mm. U příčníků jsou dolní pásnice rozšířeny směrem k ose mostu o 80 mm kvůli připojení ztužidel.

Osová vzdálenost podélníků je 1800 mm. Podélníky jsou přivařeny ke stěnám příčníků. Stojina podélníku je ukončena v lici stojiny příčnicku a přivařena koutovými svary. Pásnice jsou průběžné. Konzoly podélníků na koncích NK jsou stejného průřezu jako v běžném poli.

Příčníky jsou svařované, průřezu symetrického I. Běžné příčníky mají stěnu P12 x 453 mm a pásnice P20 x 200 mm. V místě připojení příčníků na hlavní nosníky je dolní pásnice rozšířena na min. 866 mm, v upravovaném místě 788 mm.

Konzoly jsou různé vlevo a vpravo, z válcovaných profilů U180.

Mezipodélníkové ztužení je průřezu U140.

Vodorovná ztužidla jsou příhradová, tvořená úhelníky L90x8, umístěna shora na dolních pásnicích podélníků. Ztužidla jsou v ose nosné konstrukce propojena s mezipodélníkovým ztužidlem pomocí svislého plechu.

Ložiska jsou ocelová, normovaná, na opěře O01 pohyblivá, vahadlová, jednoválcová. Na opěře O02 jsou ložiska pevná, vahadlová stolicová.

Závady nosné konstrukce K01:

- po opravě bez závad

1.3.2 Spodní stavba

Tížné opěry O01 a O02 jsou zděné z kamene s pravidelným řádkováním. Úložné prahy jsou železobetonové. Závěrné zdi jsou železobetonové. Křídla jsou kolmá, zděná z kamene, bez říms.

Závady spodní stavby – O01:

Přepočet zatížitelnosti

Výpočet zatížitelnosti mostu v km 4,958

trati Rybník - Lipno

Vypracoval: Ing. Zdeněk Lakmayer



- po opravě bez závad

Závady spodní stavby – O02:

- po opravě bez závad

Spodní stavba je bez statických poruch a nevykazuje známky přetížení nebo nevhodného založení.

1.3.3 Železniční svršek

Na mostní konstrukci jsou použity kolejnice tvaru 49E1 s žebrovými podkladnicemi na dřevěných mostnicích. Uložení je centrické s vodorovným mostnicovým šroubem. Mostnic je 20 ks + 2 pozednice.

Závady železničního svršku:

- po opravě bez závad

1.3.4 Závady uvažované ve výpočtu

Závady byly shledány jako staticky nevýznamné.

1.4 Výpočetní model

Konstrukce je modelována v programu SCIA ENGINEER jako prostorová prutová konstrukce.

Zatížení je modelováno jako soustava břemen na prutu, případně přímo v uzlu. Podrobnosti modelu, schémata zatěžovacích stavů, průřezové charakteristiky, okrajové podmínky a další viz příloha P2 - *Strojový výpočet*.

1.5 Výpočetní pomůcky

1.5.1 Výpočetní programy

Výpočty vnitřních sil a deformací zpracovány programem SCIA ENGINEER – SCIA CZ s.r.o.

Zatížitelnost jednotlivých částí vypočtena jednoduchými programy vytvořenými v tabulkovém procesoru Microsoft Excel.

Kompletní počítačové výpočty jsou archivovány u zpracovatele statického výpočtu.

1.6 Přehled použité literatury, norem a VL

1.6.1 Použité normy

ČSN 72 1860 Kámen na zdivo a stavební účely. Společná ustanovení

ČSN 72 2440 Zkoušení malt a maltových směsí. Společná ustanovení

ČSN 72 2605 Zkoušení cihlářských výrobků. Stanovení mechanických vlastností

Přepočet zatížitelnosti

Výpočet zatížitelnosti mostu v km 4,958

trati Rybník - Lipno

Vypracoval: Ing. Zdeněk Lakmayer



ČSN 73 1201 Navrhování betonových konstrukcí
ČSN 73 1370 Nedestruktivní zkoušení betonu - Společná ustanovení
ČSN 73 1371 Nedestruktivní zkoušení betonu - Ultrazvuková impulsová metoda zkoušení betonu
ČSN 73 1372 Nedestruktivní zkoušení betonu - Rezonanční metoda zkoušení betonu
ČSN 73 1373 Nedestruktivní zkoušení betonu - Tvrdoměrné metody zkoušení betonu
ČSN 73 2011 Nedestruktivní zkoušení betonových konstrukcí
ČSN 73 3251 Navrhování konstrukcí z kamene
ČSN 73 6200 Mosty - Terminologie a třídění
ČSN 73 6209 Zatěžovací zkoušky mostů
ČSN P 73 6213 Navrhování zděných mostních konstrukcí
ČSN EN 1990 Eurokód: Zásady navrhování konstrukcí
ČSN EN 1990, Změna A1 Zásady navrhování konstrukcí, Změna A1. Příloha A2: Použití pro mosty
ČSN EN 1991-1-1 Eurokód 1: Zatížení konstrukcí - Část 1-1: Obecná zatížení – Objemové tíhy, vlastní tíha a užitná zatížení pozemních staveb
ČSN EN 1991-2 Eurokód 1: Zatížení konstrukcí - Část 2: Zatížení mostů dopravou
ČSN EN 1992-1-1 Eurokód 2: Navrhování betonových konstrukcí - Část 1-1 : Obecná pravidla a pravidla pro pozemní stavby
ČSN EN 1992-2 Eurokód 2: Navrhování betonových konstrukcí - Část 2 : Betonové mosty - Navrhování a konstrukční zásady
ČSN EN 1993-1-1 Eurokód 3: Navrhování ocelových konstrukcí - Část 1-1: Obecná pravidla a pravidla pro pozemní stavby
ČSN EN 1993-1-5 Eurokód 3: Navrhování ocelových konstrukcí - Část 1-5: Boulení stěn
ČSN EN 1993-1-8 Eurokód 3: Navrhování ocelových konstrukcí - Část 1-8: Navrhování styčníků
ČSN EN 1993-1-9 Eurokód 3: Navrhování ocelových konstrukcí - Část 1-9: Únava
ČSN EN 1993-2 Eurokód 3: Navrhování ocelových konstrukcí - Část 2 : Ocelové mosty
ČSN EN 1994-1-1 Eurokód 4: Navrhování spřažených ocelobetonových konstrukcí - Část 1-1: Obecná pravidla a pravidla pro pozemní stavby
ČSN EN 1994-2 Eurokód 4: Navrhování spřažených ocelobetonových konstrukcí - Část 2: Obecná pravidla a pravidla pro mosty
ČSN EN 1996-1-1 Eurokód 6: Navrhování zděných konstrukcí - Část 1-1: Obecná pravidla. Pravidla pro vyztužené a nevyztužené zděné konstrukce
ČSN EN 1996-3 - Eurokód 6: Navrhování zděných konstrukcí - Část 3: Zjednodušené metody výpočtu nevyztužených zděných konstrukcí
ČSN EN 206-1 : Beton - Část 1: Specifikace, vlastnosti, výroba a shoda
ČSN EN 998-2 Specifikace malt pro zdivo - Část 2: Malty pro zdění
ČSN EN 1015-11 Zkušební metody malt pro zdivo - Část 11: Stanovení pevnosti zatvrdlých malt v tahu za ohybu a v tlaku
ČSN EN 1052-1 Zkušební metody pro zdivo - Část 1: Stanovení pevnosti v tlaku
ČSN EN 1052-2 Zkušební metody pro zdivo - Část 2: Stanovení pevnosti v tahu za ohybu
ČSN EN 1052-3 Zkušební metody pro zdivo - Část 3: Stanovení počáteční pevnosti ve smyku
ČSN EN 1052-4 Zkušební metody pro zdivo - Část 4: Stanovení pevnosti ve smyku zdiva s hydroizolací

Přepočet zatížitelnosti

Výpočet zatížitelnosti mostu v km 4,958

trati Rybník - Lipno

Vypracoval: Ing. Zdeněk Lakmayer



ČSN EN 1052-5 Zkušební metody pro zdivo - Část 5: Stanovení přídržnosti malty v ložné spáře v tahu za ohybu
ČSN EN 1926 Zkušební metody přírodního kamene - Stanovení pevnosti v tlaku
ČSN EN 10025-2 Výrobky válcované za tepla z konstrukčních ocelí – Část 2: Technické dodací podmínky pro nelegované konstrukční oceli
ČSN EN 10080 Ocel pro výztuž do betonu - Svařitelná betonářská ocel - Všeobecně
ČSN EN 12504-1 Zkoušení betonu v konstrukcích - Část 1: Vývrty - Odběr, vyšetření a zkoušení v tlaku
ČSN EN 12504-2 Zkoušení betonu v konstrukcích - Část 2: Nedestruktivní zkoušení - Stanovení tvrdosti odrazovým tvrdoměrem
ČSN EN 12504-4 Zkoušení betonu - Část 4: Stanovení rychlosti šíření ultrazvukového impulsu
ČSN EN 15528 Železniční aplikace - Traťové třídy zatížení pro určení vztahu mezi dovoleným zatížením infrastruktury a maximálním zatížením vozidly ČSN EN ISO 6892-1 Kovové materiály - Zkoušení tahem - Část 1: Zkušební metoda za pokojové teploty ČSN EN ISO 13918 Svařování - Svorníky a keramické kroužky pro obloukové přivařování svorníků
ČSN EN ISO 15630-1 Ocel pro výztuž a předpínání do betonu - Zkušební metody - Část 1: Tyče, válcovaný drát a drát pro výztuž do betonu
ČSN ISO 13822 Zásady navrhování konstrukcí. Hodnocení existujících konstrukcí
MVL 511 Nosné konstrukce železničních mostů se zabetonovanými ocelovými nosníky (2005)
TP 224 Ověřování existujících betonových mostů pozemních komunikací
USS Nosné konstrukce ze zabetonovaných válených nosníků. Normální plán (1939)
Železniční deskové mostní konstrukce se zabetonovanými ocelovými nosníky - Předběžná směrnice pro návrh a provádění (1971)
Ocelobetonové nosné konstrukce železničních mostů - Směrnice pro návrh a provádění (1981)
Další související normy a předpisy
ČSN 02 2038 Nýty - Technické dodací předpisy
ČSN 02 2301 Nýty s půlkulovou hlavou
ČSN 02 2302 Přesné nýty s půlkulovou hlavou
ČSN 73 2603 Ocelové mostní konstrukce - Doplnující specifikace pro provádění, kontrolu kvality a prohlídky
ČSN 73 6201 Projektování mostních objektů
ČSN EN 771-2 Specifikace zdicích prvků - Část 2: Vápenopískové zdící prvky
ČSN EN 771-3 Specifikace zdicích prvků - Část 3: Betonové tvárnice s hutným nebo pórovitým kamenivem
ČSN EN 771-4 Specifikace zdicích prvků - Část 4: Pórobetonové tvárnice
ČSN EN 771-5 Specifikace zdicích prvků - Část 5: Zdicí prvky z umělého kamene
ČSN EN 771-6 Specifikace zdicích prvků - Část 6: Zdicí prvky z přírodního kamene
ČSN EN 1090-1 Provádění ocelových konstrukcí a hliníkových konstrukcí - Část 1: Požadavky na posouzení shody konstrukčních dílců
ČSN EN 10025-3 Výrobky válcované za tepla z konstrukčních ocelí - Část 3: Technické dodací podmínky pro normalizačně žíhané/ normalizačně válcované svařitelné jemnozrné konstrukční oceli
ČSN EN 10025-4 Výrobky válcované za tepla z konstrukčních ocelí - Část 4: Technické dodací podmínky pro termomechanicky válcované svařitelné jemnozrné konstrukční oceli

Přepočet zatížitelnosti

Výpočet zatížitelnosti mostu v km 4,958

trati Rybník - Lipno

Vypracoval: Ing. Zdeněk Lakmayer



ČSN EN 10025-5 Výrobky válcované za tepla z konstrukčních ocelí - Část 5: Technické dodací podmínky na konstrukční oceli se zvýšenou odolností proti atmosférické korozi

ČSN EN 12390-3 Zkoušení ztvrdlého betonu - Část 3: Pevnost v tlaku zkušebních těles

ČSN EN ISO 2394 Obecné zásady spolehlivosti konstrukcí

ČSN EN ISO 4014 Spojovací součásti. Šrouby se šestihrannou hlavou. Výrobní třída A a B

ČSN EN ISO 4016 Spojovací součásti. Šrouby se šestihrannou hlavou. Výrobní třída C

ČSN EN ISO 4032 Spojovací součásti. Šestihranné matice, typ 1. Výrobní třída A a B

ČSN EN ISO 4034 Spojovací součásti. Šestihranné matice. Výrobní třída C

ČSN EN ISO 5817 Svařování - Svarové spoje oceli, niklu, titanu a jejich slitin zhotovené tavným svařováním (mimo elektronového a laserového svařování) - Určování stupňů jakosti

ČSN EN ISO 11666 Nedestruktivní zkoušení svarů - Zkoušení ultrazvukem - Stupně přípustnosti

ČSN EN ISO 17635 Nedestruktivní zkoušení svarů - Všeobecná pravidla pro kovové materiály

ČSN EN ISO 17640 Nedestruktivní zkoušení svarů - Zkoušení ultrazvukem - Techniky, třídy zkoušení a hodnocení

Metodický pokyn SŽDC – Určování zatížitelnosti železničních mostních objektů

SR 5 (S) – Určování zatížitelnosti železničních mostů

1.6.2 Použitá literatura

- [1] Novák J. – Hořejší J.: Statika stavebních konstrukcí, SNTL Praha, 1973
- [2] Hořejší J. – Šafka J.: Statické tabulky, SNTL Praha, 1988
- [3] Víték J.: Mostní stavby, SNTL Praha, 1989
- [4] Kolektiv autorů: Silniční a mostní stavby – texty, Sekurkon Praha, 1996
- [5] Studnička J.: Ocelové konstrukce 10, ČVUT Praha, 2000
- [6] Wald F.: Ocelové konstrukce – Tabulky, ČVUT Praha, 2000
- [7] Rotter, Studnička: Ocelové konstrukce 30 – Ocelové mosty, ČVUT Praha
- [8] Ryjáček a kol.: Pokročilé metody posuzování existujících ocelových mostů na účinky zatížení větrem, brzdných a rozjezdových sil, ČVUT Praha

1.6.3 Vzorové listy

MVL 120 - Vzorový statický výpočet plnostěnné ocelové konstrukce s horní mostovkou a kolejovým ložem

MVL 121 - Vzorový statický výpočet plnostěnné ocelové konstrukce s dolní mostovkou a mostnicemi

MVL 122 - Vzorový statický výpočet plnostěnné ocelové konstrukce s dolní mostovkou a kolejovým ložem

MVL 123 - Vzorový statický výpočet příhradové ocelové konstrukce s dolní mostovkou a kolejovým ložem

MVL 124 - Vzorový statický výpočet ocelobetonové konstrukce spřažené, s horní mostovkou, s plnostěnnými nosníky

MVL 130 - Vzorový statický přepočet a výpočet zatížitelnosti ocelové konstrukce plnostěnného mostu s dolní prvkovou mostovkou

Přepočet zatížitelnosti

Výpočet zatížitelnosti mostu v km 4,958

trati Rybník - Lipno

Vypracoval: Ing. Zdeněk Lakmayer



MVL 131 - Vzorový statický přepočet hlavního nosníka přehradového mosta a stanovení jeho zatížitelnosti

MVL 132 - Vzorový statický přepočet a výpočet zatížitelnosti komorové ocelové konstrukce s přímým uložením koleje

MVL 701 - Pružné uložení koleje na mostech s mostnicemi

1.7 Podklady

1.7.1 Existující dokumentace

Zpracovateli přepočtu byla poskytnuta archivní dokumentace projektu původního mostu. Jedná se o dva výkresy, jeden je nedatovaný (předpokládáno před rokem 1918) a druhý z roku 1922. Dále byly zpracovateli poskytnuty výkresy týkající se nosné konstrukce mostu v km 28,413 TÚ 1781. Konkrétně se jedná o dispoziční výkres z roku 1985 a výrobní výkresy z roku 1986.

Zpracovateli byly dále poskytnuty protokoly o podrobné prohlídce mostů km 4,958 TÚ 1791 z r. 2017 a km 28,413 TÚ 1781 z r. 2016, kde byla předmětná nosná konstrukce vložena před úpravou.

1.7.2 Geodetická dokumentace

Geodetické zaměření konstrukce nebylo provedeno.

1.7.3 Výsledky diagnostiky

Speciální diagnostický průzkum nebyl proveden. Byl proveden stavebně-technický průzkum, jehož předmětem bylo zjištění rozměrů nosné konstrukce a zjištění skutečných rozměrů jednotlivých průřezů. Tloušťky materiálů a případné korozivní úbytky byly zjištěny zaměřením pomocí ultrazvukového tloušťkoměru STARMANS Dio 570.

1.7.4 Výsledky prohlídek

Klasifikace stavu dle předpisu SŽDC S5:

nosná konstrukce **K 2**

spodní stavba **S 2**

1.7.5 Zvláštní požadavky zadavatele

Zadavatel požaduje ověření přechodnosti pro provozní zatížení odpovídající traťové třídě C2 s přidruženou rychlostí 50 km/h.

1.8 Identifikace autora

autor: Ing. Zdeněk Lakmayer

firma: Ing. Ivan Šír
Projektování dopravních staveb a.s.
Haškova 1714/3

Přepočet zatížitelnosti

Výpočet zatížitelnosti mostu v km 4,958

trati Rybník - Lipno

Vypracoval: Ing. Zdeněk Lakmayer



Hradec Králové
500 02

kontrolující statik: Ing. Jan Fiala
- autorizovaný inženýr v oboru mosty a inženýrské konstrukce

Podpisy a razítka jsou uvedeny na konci statického výpočtu.

Přepočet zatížitelnosti

Výpočet zatížitelnosti mostu v km 4,958

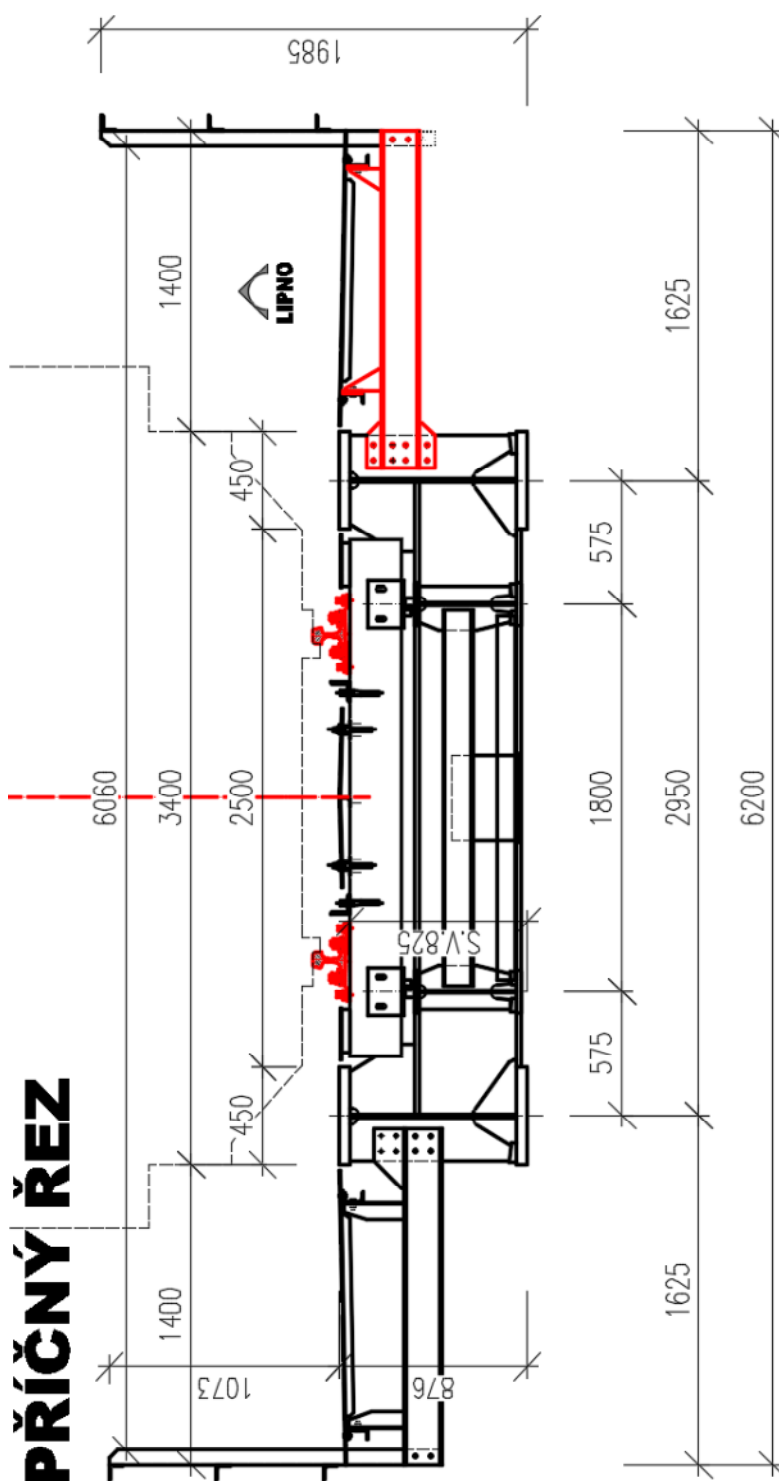
trati Rybník - Lipno

Vypracoval: Ing. Zdeněk Lakmayer



2 GRAFICKÉ PŘÍLOHY

Příčný řez



Přepočet zatížitelnosti

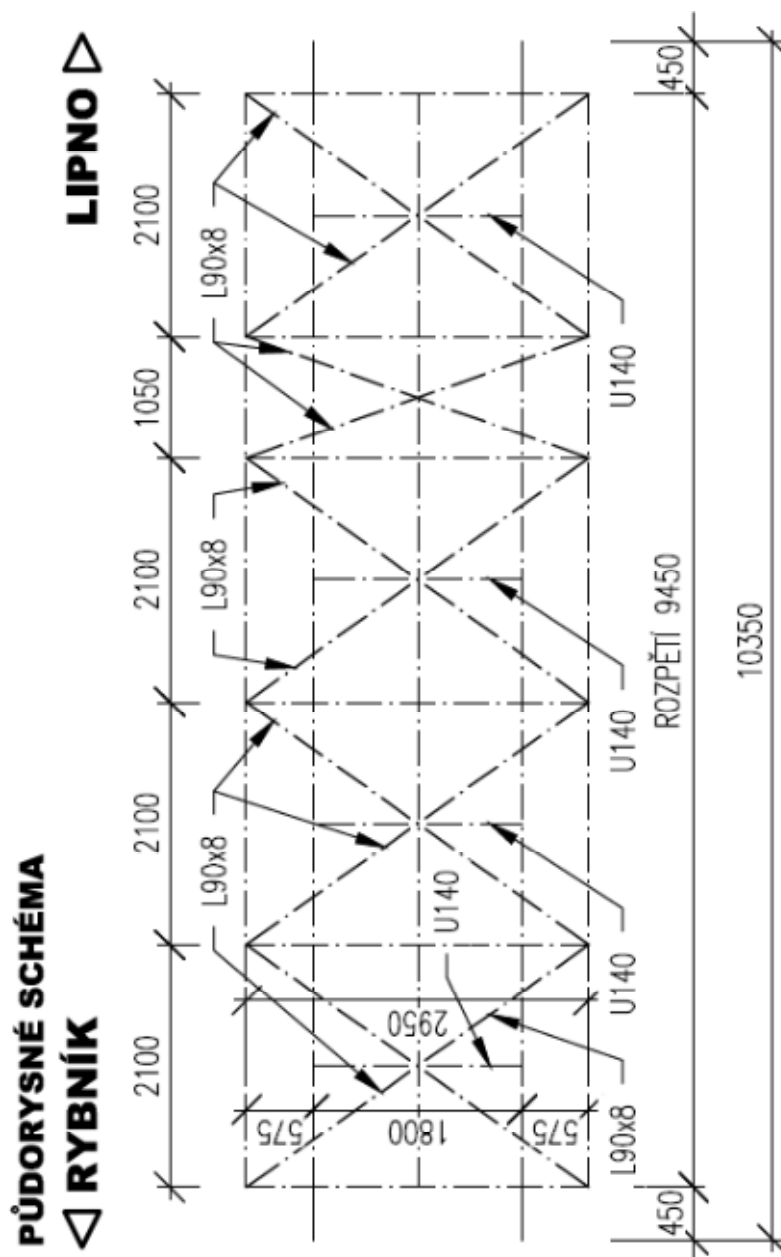
Výpočet zatížitelnosti mostu v km 4,958

trati Rybník - Lipno

Vypracoval: Ing. Zdeněk Lakmayer



Půdorysné schéma

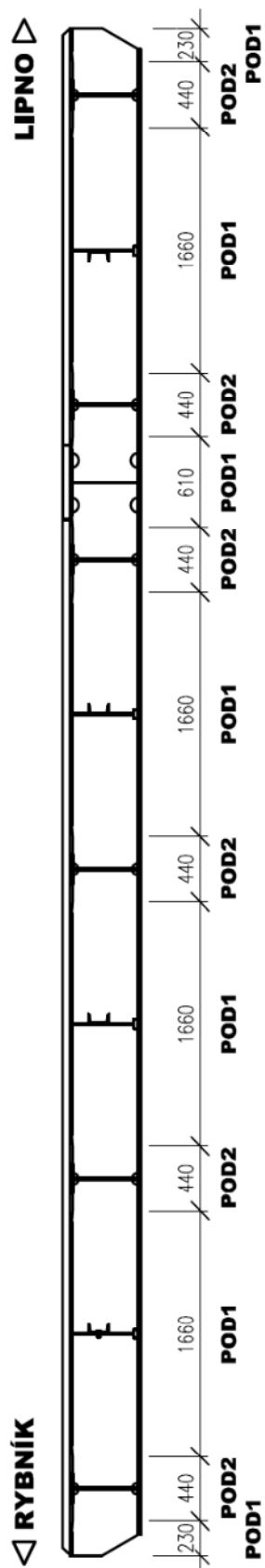


Vypracoval: Ing. Zdeněk Lakmayer



SCHÉMA PODÉLNÍKŮ

RYBNÍK



Přepočet zatížitelnosti

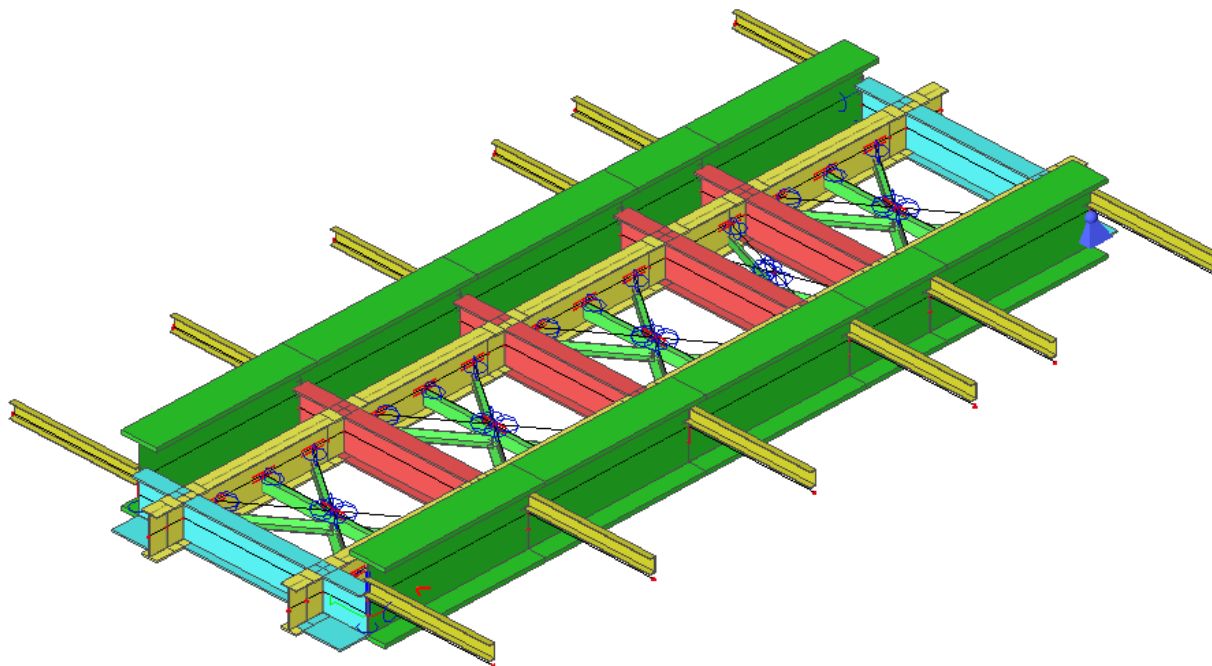
Výpočet zatížitelnosti mostu v km 4,958

trati Rybník - Lipno

Vypracoval: Ing. Zdeněk Lakmayer



Model konstrukce



Přepočet zatížitelnosti

Výpočet zatížitelnosti mostu v km 4,958

trati Rybník - Lipno

Vypracoval: Ing. Zdeněk Lakmayer



3 ZATÍŽENÍ

3.1 Stálé

Dílčí součinitele účinků stálého zatížení γ_G					
Prvky nebo části mladší než 30 let		Prvky nebo části starší než 30 let			
Ocelové a prefabrikované betonové prvky	Prvky z ostatních materiálů	Ocelové a prefabrikované betonové prvky		Prvky z ostatních materiálů	
		Kontrola měřením rozměrů	Bez kontroly	Kontrola měřením rozměrů	Bez kontroly
1,25	1,30	1,20	1,25	1,25	1,30

3.1.1 Vlastní tíha LC1

Vlastní tíha ocelové konstrukce byla automaticky generována programem SCIA ENGINEER dle použitých průřezů.

3.1.2 Ostatní stálé (nahodilé dlouhodobé) LC2

Liniové rovnoměrné zatížení		g_k	g_G	g_d	
Železniční kolejnice s upevňovací, mostnice, plechy, zajišťovací úhelníky	500 kg/m * 0,5	2,50	1,25	3,13	kNm ⁻¹

Podlahy na konzolách

		g_k	g_G	g_d	
Podlahové nosníky a plechy – TYP 1	1,050 m	0,49	1,25	0,61	kN
Podlahové nosníky a plechy – TYP 2	2,100 m	0,96	1,25	1,20	kN
Podlahové nosníky a plechy – TYP 3	1,575 m	0,73	1,25	0,91	kN

Zábradlí na konzolách

Bodové zatížení na konzolách		g_k	g_G	g_d	
Zábradlí z úhelníků – TYP 1	1,050 m	0,30	1,25	0,38	kN
Zábradlí z úhelníků – TYP 2	2,100 m	0,50	1,25	0,63	kN
Zábradlí z úhelníků – TYP 3	1,575 m	0,40	1,25	0,50	kN

3.2 Nahodilé krátkodobé

3.2.1 Rozjezdové a brzdné síly LC3

příčnující délka: $L_{a,b} = 9,90$ m

excentricita síly vzhledem k těžišti $e = 0,756$ m

Přepočet zatížitelnosti

Výpočet zatížitelnosti mostu v km 4,958

trati Rybník - Lipno

Vypracoval: Ing. Zdeněk Lakmayer



Rozjezdová síla

$L_t =$	9,9 m	dilatační délka
$q_{lak} =$	33 kN/m koleje	charakteristické zatížení rozjezdovou silou
$a =$	1,00	klasifikační součinitel
$q_{la,LM,k} =$	33 kN/m koleje	charakteristické klasifikované zatížení - normálová složka
$x =$	0,756 m	výška působíště nad vztáznou rovinou
$m_{la,LM,k} =$	24,95 kNm/m koleje	momentová složka
$L_{la,LM} =$	30,3 m	maximální délka zatížení

Brzdná síla

$q_{lbk} =$	20 kN/m koleje	charakteristické zatížení brzdou silou
$a =$	1,00	klasifikační součinitel
$q_{lb,LM,k} =$	20 kN/m koleje	charakteristické klasifikované zatížení - normálová složka
$x =$	0,756 m	výška působíště nad vztáznou rovinou
$m_{lb,LM,k} =$	15,12 kNm/m koleje	momentová složka
$L_{lb,LM} =$	300 m	maximální délka zatížení

$g_{Qab} = 1,30$ (dle 4.3.13 metodického pokynu)

3.2.2 Zatížení bočními rázy LC4

Boční ráz

Zatížení působí jako osamělá síla, působící vodorovně v úrovni temene kolejnice kolmo na osu koleje

$Q_{sk} =$	100 kN	charakteristická hodnota bočního rázu
$a =$	1,00	klasifikační součinitel
$Q_{nt} =$	100 kN	charakteristická klasifikovaná hodnota bočního rázu

Zatížení bočním rázem se rozdělí na tři kolejnicové podpory podle 4.3.10 metodického pokynu (podle obr. 6.4 v ČSN EN 1991-2). Vzdálenost sil je uvažována **525 mm**, což je skutečná osová vzdálenost mostnic na konstrukci. Zároveň se předpokládá rozdělení do dvou podélníků.

$$\begin{aligned}Q_{sk} &= 100 \text{ kN} \\Q_{sk} / 4 &= 100 / 4 = 25 \text{ kN} \\Q_{sk} / 8 &= 100 / 8 = 12,5 \text{ kN}\end{aligned}$$

	Q_{sk}	g_{Qs}	Q_{sd}
Boční ráz dle metodického pokynu	100	1,30	145,0 kNm ⁻¹

Schéma zatížení viz příloha P2 - *Strojový výpočet*.

Předpokládá se, že boční ráz se rozdělí do dvojice soustav svislých a vodorovných sil

$Q_{nt,h} =$	50 kN	vodorovná složka
$s =$	1,8 m	osová vzdálenost podporových prvků
$x =$	0,756 m	výška působíště nad vztáznou rovinou
$Q_{nt,v} =$	42 kN	svislá složka (v obou směrech)

Přepočet zatížitelnosti

Výpočet zatížitelnosti mostu v km 4,958

trati Rybník - Lipno

Vypracoval: Ing. Zdeněk Lakmayer



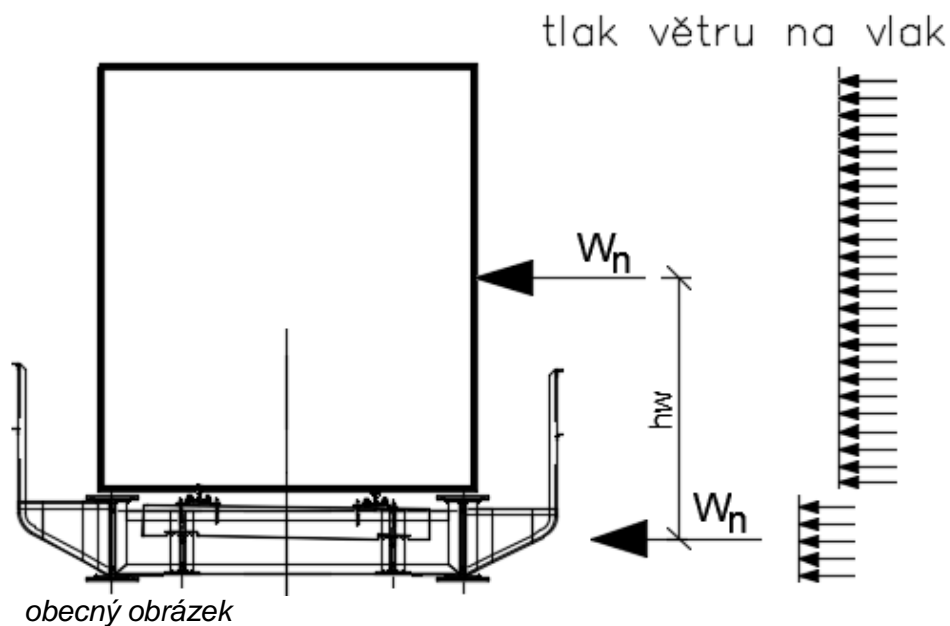
$$Q_{nt,v} / 2 = 42 / 2 = 21 \text{ kN}$$

$$Q_{nt,v} / 4 = 42 / 4 = 10,5 \text{ kN}$$

$$g_{qs} = 1,30 \text{ (dle 4.3.13 metodického pokynu)}$$

3.2.3 Zatížení větrem LC5

Schéma zatížení větrem



Návětrná plocha konstrukce

Návětrná plocha konstrukce na metr

Vzdálenost podélníků

Vzdálenost působiště zatížení větru

na vlak od těžiště podélníků

$$A = 0,876 \times 10,47 = 9,172 \text{ m}^2$$

$$h_{\text{prům}} = 0,876 \text{ m}$$

$$b = 1,80 \text{ m}$$

$$h_w = 0,756 + 2 = 2,756 \text{ m}$$

Přepočet zatížitelnosti

Výpočet zatížitelnosti mostu v km 4,958

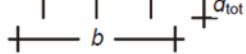
trati Rybník - Lipno

Vypracoval: Ing. Zdeněk Lakmayer



na konstrukci mostu

Vítr na nosnou konstrukci - příčný

$v_b = 25$ m/s	základní rychlost větru	
$r = 1,25$ kg/m ³	měrná hmotnost vzduchu	
$b = 6,34$ m	šířka (hloubka) konstrukce ve směru větru	
$d_{tot} = 0,876$ m	výška konstrukce	
$z_e = 5$ m	výška nad terénem	
$b/d_{tot} = 7,237$		
$C = 3,60$	součinitel zatížení větrem (součinitel tvaru konstrukce)	

Pro celou konstrukci

$l = 10,47$ m	délka konstrukce
$A_{ref,x} = 9,172$ m ²	referenční plocha
$F_w = \frac{1}{2} r v_b^2 C A_{ref,x} = 12,9$ kN	celková síla od větru na most
$f_{w,l} = 1,23$ kN/m	rovnoměrné zatížení na jednotku délky

- vodorovnými účinky zatížení hlavní nosník
- svislé účinky zanedbány

na plochu pohyblivého zatížení

Vítr na pás pohyblivého zatížení

$v_b = 25$ m/s	základní rychlost větru
$r = 1,25$ kg/m ³	měrná hmotnost vzduchu
$b = 6,34$ m	šířka (hloubka) konstrukce ve směru větru
$d_{tot} = 4$ m	výška pásu pohyblivého zatížení - 4,0m pro železniční most
$z_e = 7$ m	výška nad terénem
$b/d_{tot} = 1,585$	
$C = 5,74$	součinitel zatížení větrem (součinitel tvaru konstrukce)

Pro celý pás

$l = 10,47$ m	délka konstrukce
$A_{ref,x} = 41,88$ m ²	referenční plocha
$F_w = \frac{1}{2} r v_b^2 C A_{ref,x} = 93,9$ kN	celková síla od větru na vozidla
$f_{w,l,h} = 8,97$ kN/m	rovnoměrné zatížení na jednotku délky - vodorovné
$s = 1,8$ m	osová vzdálenost podporových prvků
$x = 2,756$ m	výška působíště nad vztážnou rovinou
$f_{w,l,v} = 13,73$ kN/m	rovnoměrné zatížení na jednotku délky - svislé (v obou směrech)

$g_D = 1,35$ pro prvky starší než 30 let (dle 4.3.30 metodického pokynu)

Schéma zatížení viz příloha P2 - Strojový výpočet.

Přepočet zatížitelnosti

Výpočet zatížitelnosti mostu v km 4,958

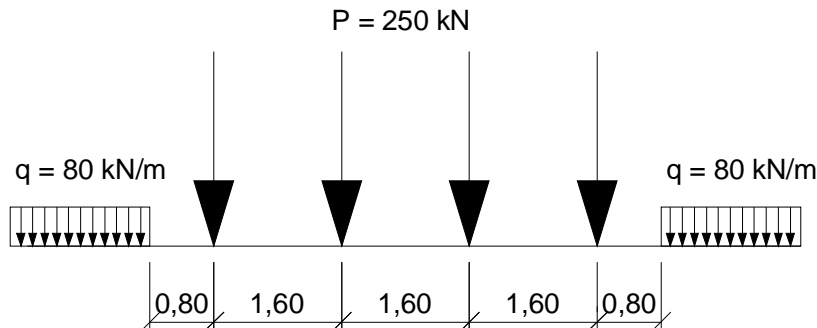
trati Rybník - Lipno

Vypracoval: Ing. Zdeněk Lakmayer



3.2.4 Zatížení železniční dopravou LC101 - 124 – Model zatížení 71

Zatížení dle 6.3.2 ČSN EN 1991-2



$$g_{Q,LM71} = 1,30 \text{ (dle 4.3.13 metodického pokynu)}$$

3.2.4.1 Stanovení dynamických součinitelů

Dynamický součinitel

Kvalita jízdní dráhy standardně udržovaná kolej

dyn.souč. f_3

Hlavní nosník - prostě podepřený nosník

rozpětí ve směru hlavních nosníků

Náhradní délka $L_f = 9,45 \text{ m}$

$$f_3 = \frac{2,16}{\sqrt{L_f} - 0,2} + 0,73 = 1,48$$

> $f_{\min} = 1,05$ < $f_{\max} = 2,0$ $f = 1,48$

prvková mostovka bez KL - podélníky spojitě

trojnásobek vzdálenosti příčníků

Náhradní délka $L_f = 6,3 \text{ m}$

3 x 2,1

$$f_3 = \frac{2,16}{\sqrt{L_f} - 0,2} + 0,73 = 1,67$$

> $f_{\min} = 1,05$ < $f_{\max} = 2,0$ $f = 1,67$

prvková mostovka bez KL - podélníky spojitě

trojnásobek vzdálenosti příčníků

Náhradní délka $L_f = 3,15 \text{ m}$

3 x 1,05

$$f_3 = \frac{2,16}{\sqrt{L_f} - 0,2} + 0,73 = 2,10$$

> $f_{\min} = 1,05$ > $f_{\max} = 2,0$ $f = 2,00$

prvková mostovka bez KL - příčníky

dvojnásobek délky příčníků

Náhradní délka $L_f = 5,9 \text{ m}$

2 x 2,950

$$f_3 = \frac{2,16}{\sqrt{L_f} - 0,2} + 0,73 = 1,70$$

> $f_{\min} = 1,05$ < $f_{\max} = 2,0$ $f = 1,70$

Přepočet zatížitelnosti

Výpočet zatížitelnosti mostu v km 4,958

trati Rybník - Lipno

Vypracoval: Ing. Zdeněk Lakmayer



prvková mostovka bez KL - koncové příčnky 3,6 m

Náhradní délka $L_f = 3,6$ m

$$f_3 = \frac{2,16}{\sqrt{L_f} - 0,2} + 0,73 = 2,00$$

$f_{\min} = 1,05$
 $f_{\max} = 2,0$
 $f = 2,00$

- **Podélník – běžný**

Náhradní délka $L_F = 3 \times 2,1 = 6,3$ m $d = 1,67$

- **Podélník – 4. pole**

Náhradní délka $L_F = 3 \times 1,05 = 3,15$ m $d = 2,00$

- **Příčník**

Náhradní délka $L_F = 2 \times L = 2 \times 2,950 = 5,9$ m $d = 1,70$

- **Koncový příčník**

Náhradní délka $L_F = 3,6$ m $d = 2,00$

- **Hlavní nosník**

Náhradní délka $L_F = L_m = 9,45$ m $d = 1,48$

Přepočet zatížitelnosti

Výpočet zatížitelnosti mostu v km 4,958

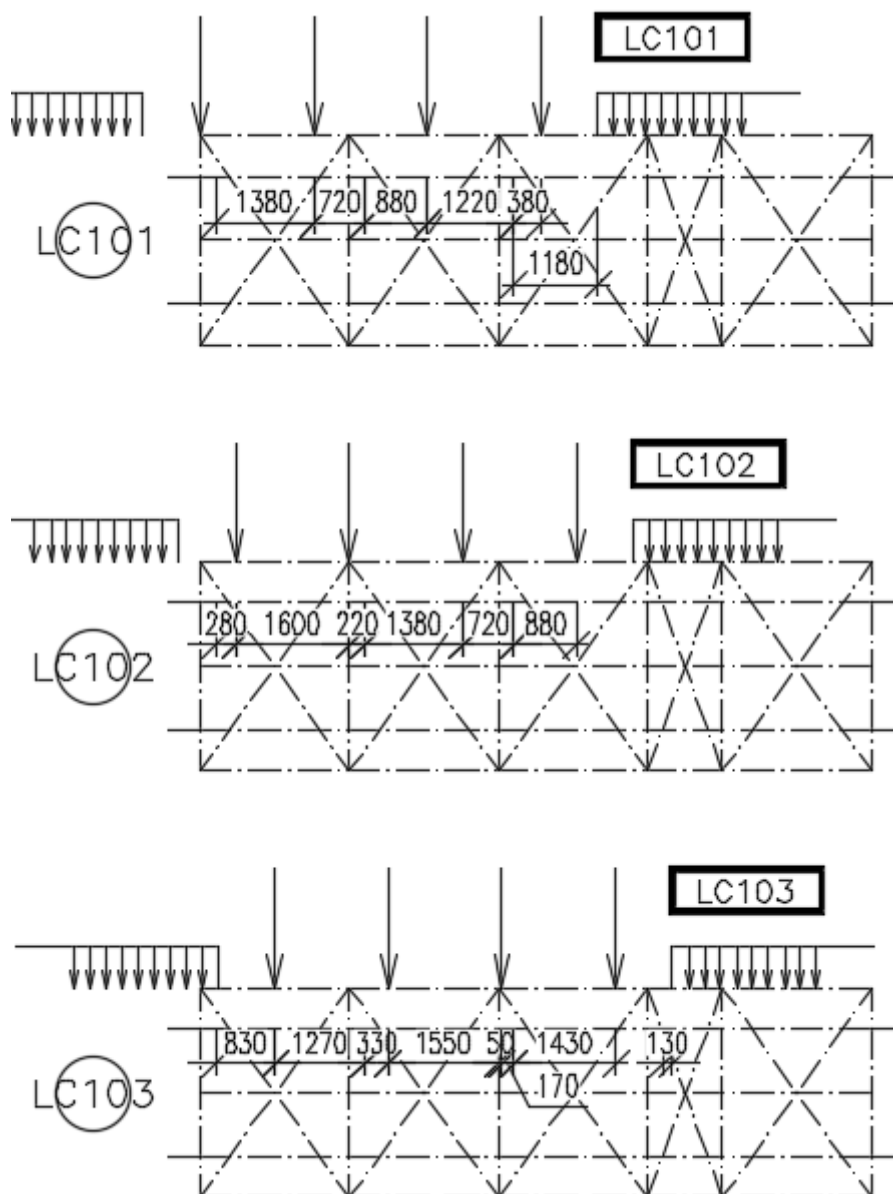
trati Rybník - Lipno

Vypracoval: Ing. Zdeněk Lakmayer



3.2.4.2 Schémata postavení LM71 na nosné konstrukci

Schématu postavení viz níže. Konstrukce je pro přehlednost zobrazena schematicky.

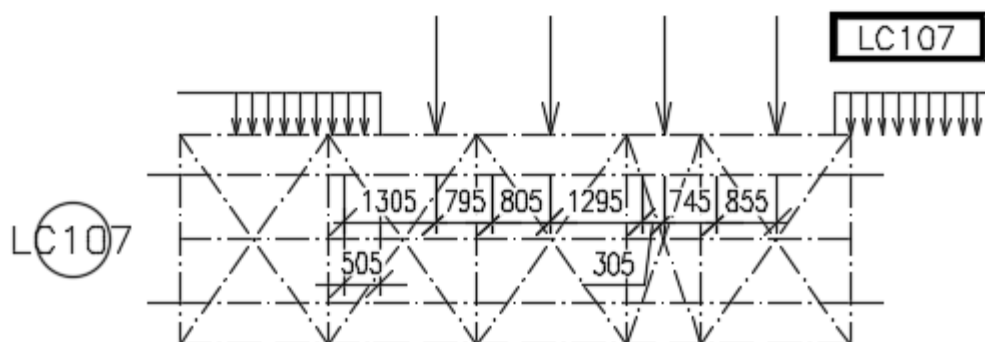
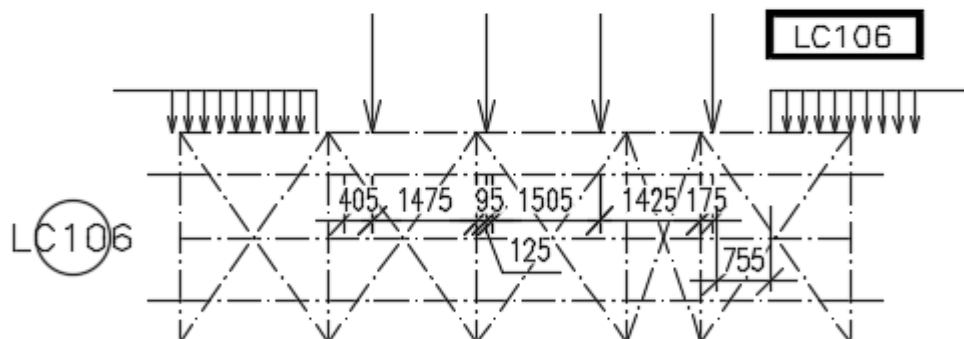
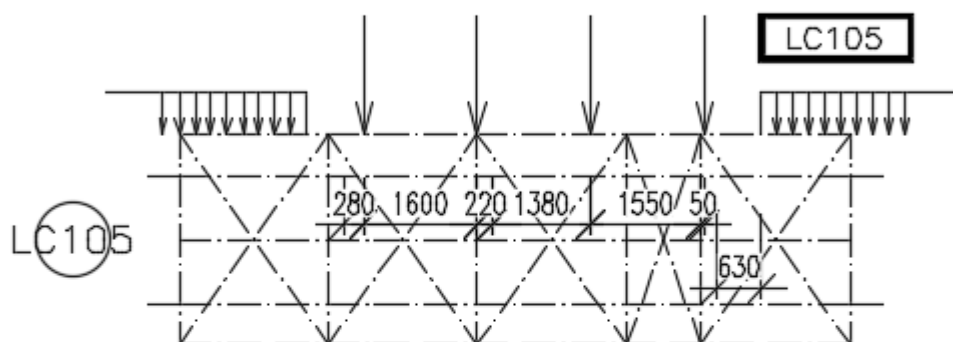
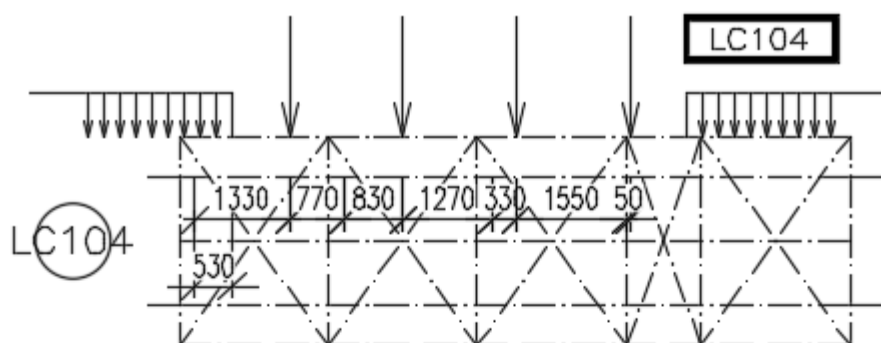


Přepočet zatížitelnosti

Výpočet zatížitelnosti mostu v km 4,958

trati Rybník - Lipno

Vypracoval: Ing. Zdeněk Lakmayer

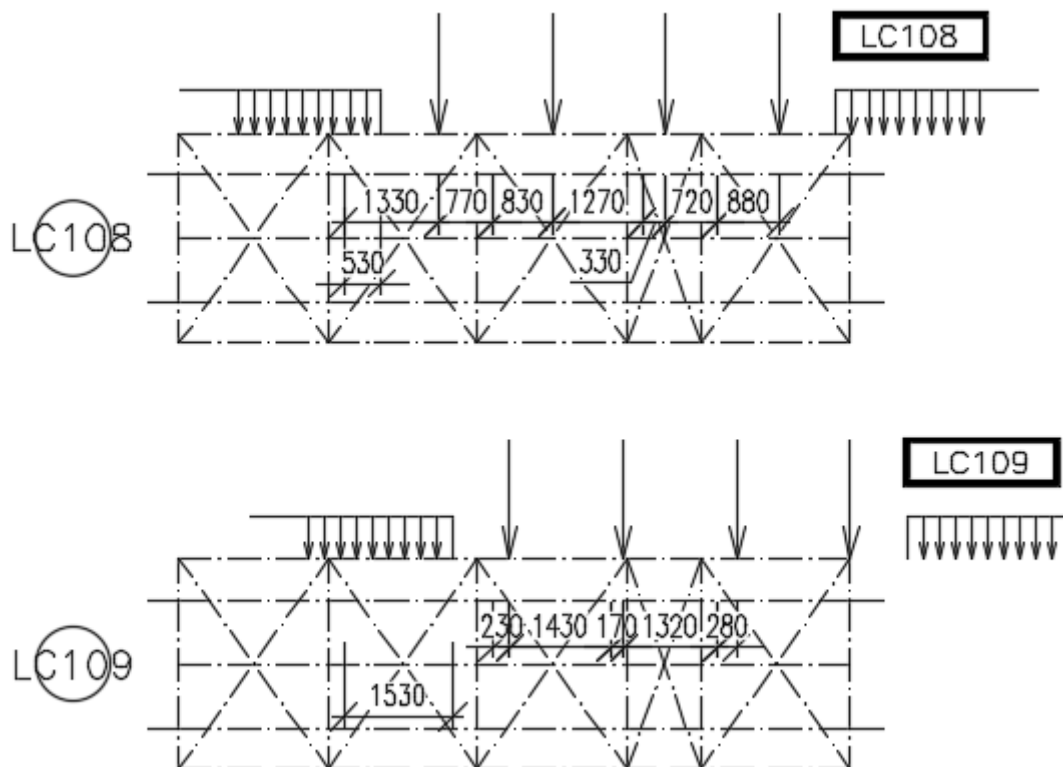


Přepočet zatížitelnosti

Výpočet zatížitelnosti mostu v km 4,958

trati Rybník - Lipno

Vypracoval: Ing. Zdeněk Lakmayer



3.2.5 Vliv odstředivých sil

Kolej na mostě se nachází v přímé, vliv odstředivých sil není uvažován.

3.2.6 Vliv excentricity

Vliv excentricity svislého proměnného zatížení železniční dopravou je zohledněn zaměřením skutečné polohy koleje na mostním objektu. Současně se uvažuje i excentricita svislého proměnného zatížení v důsledku nerovnoměrnosti kolových sil podle 6.3.5 v krajní poloze dle 6.8.1 v ČSN EN 1991-2.

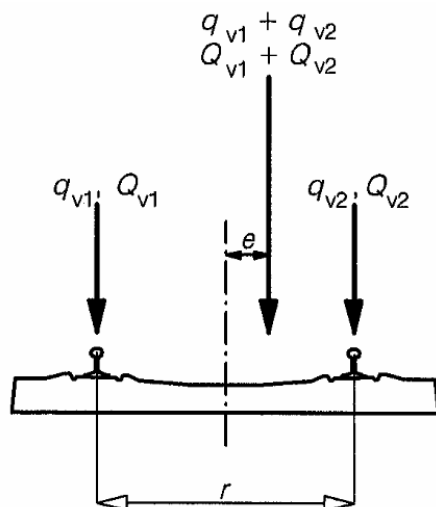
Kolej na mostě je vedena v ose nosné konstrukce. Skutečná excentricita koleje vůči nosné konstrukci je 0 mm.

Přepočet zatížitelnosti

Výpočet zatížitelnosti mostu v km 4,958

trati Rybník - Lipno

Vypracoval: Ing. Zdeněk Lakmayer



$$q_{v1}, q_{v2}, Q_{v1}, Q_{v2} = (1)$$

$$q_{v1} + q_{v2}, Q_{v1} + Q_{v2} = (2)$$

$$\frac{q_{v2}}{q_{v1}}, \frac{Q_{v2}}{Q_{v1}} \leq 1,25$$

$$e \leq \frac{r}{18}$$

$$r = (3)$$

$$e_{\text{teor}} = 1500 / 18 = 83,3 \text{ mm}$$

Excentricity jsou relativně malé. Druh nosné konstrukce (ocelová konstrukce s kolejnicemi na dřevěných mostnicích, ocelové zábradlí) a její umístění (nutnost splnění VMP 2,5) neumožňuje výrazně větší excentricity, než jaké jsou v navrženém stavu. Ve výpočtu je uvažována teoretická excentricita $r/18$ mm.

Vliv excentricity

Q	250 kN	zatížení
q	80 kN/m	
r	1500 mm	vzdálenost kolejnic
e	83,3 mm	excentricita (max. 83,3 mm)

$$a1 = 666,6667 \text{ mm}$$

$$a2 = 833,3333 \text{ mm}$$

Teoretické hodnoty z podmínky rovnováhy momentů

Qv1	138,9 kN	qv1	44,4 kN
Qv2	111,1 kN	qv2	35,6 kN

K odlehčování vlivem excentricity se nepřihlíží, proto budou použity následující hodnoty:

Qv1	138,9 kN	qv1	44,4 kN
Qv2	125,0 kN	qv2	40,0 kN
poměr	1,11	poměr	1,11

Vliv excentricity koleje vůči nosné konstrukci je do výpočtu zahrnut dodatečným součinitelem excentricity 1,11.

Přepočet zatížitelnosti

Výpočet zatížitelnosti mostu v km 4,958

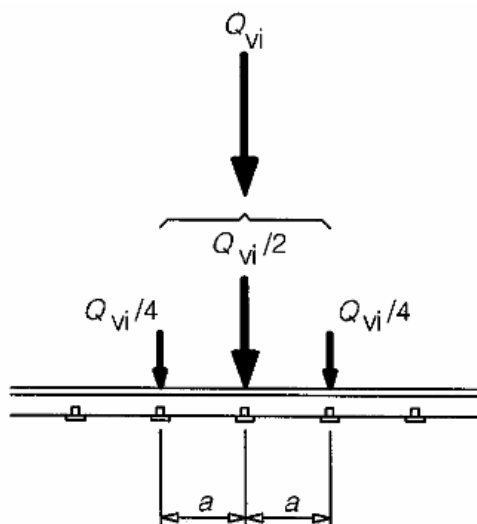
trati Rybník - Lipno

Vypracoval: Ing. Zdeněk Lakmayer



3.2.7 Kolová síla pro lokální účinky

Osamělé síly od dopravy lze pro lokální účinky dle metodického pokynu odst. 4.3.22 a obr. 6.4 v ČSN EN 1991-2 rozdělit na tři sousední kolejnicové podpory v poměru 0,25 : 0,5 : 0,25.



Rozdělení je uplatněno při posouzení lokálních účinků na podélnících.

Přepočet zatížitelnosti

Výpočet zatížitelnosti mostu v km 4,958

trati Rybník - Lipno

Vypracoval: Ing. Zdeněk Lakmayer



4 STANOVENÍ ZATÍŽITELNOSTI NOSNÉ KONSTRUKCE

Předpoklady výpočtu

Při výpočtu zatížitelnosti bylo postupováno dle metodického pokynu SŽDC a norem v něm odkazovaných.

Materiálové charakteristiky

Rok výroby nosné konstrukce je uvažován 1987. Zkouška materiálu nebyla provedena. Při určení pevnosti postupováno podle A.1.1.1. a) metodického pokynu. Z dochované archivní dokumentace (technická zpráva) bylo zjištěno, že konstrukce byla navržena z oceli č. 37 (11378.1).

Rok výroby	Materiál pevnostní třídy		Dovolené namáhání σ_{adm} [MPa]	Zaručená mez kluzu f_y [MPa]	Mez pevnosti f_u [MPa]	γ_{M0}	γ_{M1}	γ_{M2}	Norma
do 1894	svárkové železo		130	210	340	1,10	1,20	1,30	
1895-1904	svárkové železo		130	210	340	1,10	1,20	1,30	Nařízení 97/1904
	plávková ocel		140	230	360	1,10	1,20	1,30	
1905-1937	plávková ocel		140	230	360	1,10	1,20	1,30	ČSN 1230
1938-1950	37 (S235)		140	230	360	1,10	1,20	1,30	ČSN 1232
	52 (S355)		195	335	490	1,10	1,25	1,30	
1951-1968	37 (S235)	tloušťka $t \leq 25$ mm	140	230	360	1,10	1,20	1,30	Směrnice pro navrhování mostů, ČSN 73 6202 ČSN 73 6204
		> 25	130	210	340	1,10	1,20	1,30	
	52 (S355)	≤ 16	210	360	510	1,10	1,25	1,30	
		> 17	200	340	490	1,10	1,25	1,30	
1969-1985	37 (S235)	≤ 25		235	360	1,00	1,10	1,25	ČSN 73 6205 ČSN ISO 13822 ČSN EN 10025-2
		> 25		215	360				
	52 (S355)	≤ 50		355	510				
1986-1998	37 (S235)	≤ 25		235	360	1,00	1,10	1,25	
		> 25		215	360				
	52 (S355)	≤ 25		355	510				
		> 25		335	470				
Po roku 1998	S235	≤ 40		235	360	1,00	1,10	1,25	
	S235	$40 < t \leq 80$		215	360				
	S275	≤ 40		275	430				
	S275	$40 < t \leq 80$		255	410				
	S355	≤ 40		355	510				
	S355	$40 < t \leq 80$		335	470				

Pro materiál šroubů byla předpokládána pevnost $f_u = 500$ MPa.

Přepočet zatížitelnosti

Výpočet zatížitelnosti mostu v km 4,958

trati Rybník - Lipno

Vypracoval: Ing. Zdeněk Lakmayer



Tab. A.2 Charakteristické hodnoty vlastností materiálu nýtů a šroubů

Pevnostní charakteristiky	Nýty		Přesné šrouby	
	v konstrukcích z materiálu s mezí kluzu			
	$f_y \leq 300 \text{ MPa}$	$f_y > 300 \text{ MPa}$	$f_y \leq 300 \text{ MPa}$	$f_y > 300 \text{ MPa}$
$f_y \text{ [MPa]}$	200	245	300	
$f_u \text{ [MPa]}$	310	440	500	

Zatížitelnost vypočtena pro zatěžovací model 71.

Dynamické součinitele zatížitelnosti

Podélník - běžný $d = 1,67$

Podélník – 4. pole $d = 2,00$

Příčník $d = 1,70$

Koncový příčník $d = 2,00$

Hlavní nosník $d = 1,48$

Kombinace zatížení

Jednotlivá proměnná zatížení železniční dopravou, reprezentovaná modelem zatížení 71 včetně zatížení bočním rázem, rozjezdovými a brzdnými silami a odstředivou silou pro mostní objekty s kolejí v oblouku, se v přepočtech stávajících mostních objektů považují za skupinové vícetřížkové zatížení železniční dopravou s pravidly tvoření skupin podle tab. 6.11 v ČSN EN 1991-2. Každá z těchto skupin zatížení, vzájemně se vylučujících, představuje jedno charakteristické proměnné zatížení pro kombinaci s nedopravními zatíženími.

Kombinace zatížení současně se vyskytujících spolu se zatížením železniční dopravou se v přepočtech stávajících mostních objektů stanoví podle A2.2.4 v ČSN EN 1990. Součinitelé kombinace zatížení ψ pro trvalé a dočasné návrhové situace se určí z tab. A2.3 v ČSN EN 1990. V souladu s národní přílohou k ČSN EN 1990 se při výběru kombinačních pravidel z hlediska mezních stavů únosnosti upřednostňuje méně příznivá kombinace z (6.10a) nebo (6.10b) podle ČSN EN 1990. V mezních stavech použitelnosti se uvažují kombinace zatížení v trvalých a dočasných návrhových situacích podle A.2.4 v ČSN EN 1990.

$$\left\{ \sum_{j \geq 1} \gamma_{G,j} G_{k,j} + \gamma_P P + \gamma_{Q,1} \psi_{0,1} Q_{k,1} + \sum_{i > 1} \gamma_{Q,i} \psi_{0,i} Q_{k,i} \right\} \quad (6.10a)$$

$$\left\{ \sum_{j \geq 1} \xi_j \gamma_{G,j} G_{k,j} + \gamma_P P + \gamma_{Q,1} Q_{k,1} + \sum_{i > 1} \gamma_{Q,i} \psi_{0,i} Q_{k,i} \right\} \quad (6.10b)$$

Přepočet zatížitelnosti

Výpočet zatížitelnosti mostu v km 4,958

trati Rybník - Lipno

Vypracoval: Ing. Zdeněk Lakmayer



Tabulka A2.4(B) – Návrhové hodnoty zatížení (STR/GEO) (Soubor B)

Trvalé a dočasné návrhové situace	Stálá zatížení		Předpětí	Hlavní proměnné zatížení (*)	Vedlejší proměnná zatížení (*)		Trvalé a dočasné návrhové situace	Stálá zatížení		Předpětí	Hlavní proměnné zatížení (*)	Vedlejší proměnná zatížení (*)	
	Nepříznivá	Příznivá			Nejúčinnější (pokud se vyskytuje)	Ostatní		Nepříznivá	Příznivá			Nejúčinnější (pokud se vyskytuje)	Ostatní
(Výraz (6.10))	$\gamma_{G, sup} G_{k, sup}$	$\gamma_{G, inf} G_{k, inf}$	γ_P	$\gamma_{Q, 1} Q_{k, 1}$		$\gamma_{Q, 1} \psi_0 Q_{k, 1}$	(Výraz (6.10a))	$\gamma_{G, sup} G_{k, sup}$	$\gamma_{G, inf} G_{k, inf}$	γ_P	$\gamma_{Q, 1} Q_{k, 1}$	$\gamma_{Q, 1} \psi_0 Q_{k, 1}$	$\gamma_{Q, 1} \psi_0 Q_{k, 1}$
							(Výraz (6.10b))	$\xi \gamma_{G, sup} G_{k, sup}$	$\gamma_{G, inf} G_{k, inf}$	γ_P	$\gamma_{Q, 1} Q_{k, 1}$		$\gamma_{Q, 1} \psi_0 Q_{k, 1}$

(*) Proměnná zatížení jsou ta, která jsou uvedena v tabulkách A2.1 až A2.3.

POZNÁMKA 1 Volba mezi (6.10), nebo (6.10a) a (6.10b) je uvedena v národní příloze. V případě použití (6.10a) a (6.10b) může národní příloha upravit (6.10a) tak, že zahrnuje pouze stálá zatížení.^{NP20)}

POZNÁMKA 2 Hodnoty součinitelů γ a ξ lze stanovit v národní příloze. Při použití výrazů (6.10), nebo (6.10a) a (6.10b) jsou doporučené hodnoty součinitelů γ a ξ následující:^{NP20)}

$\gamma_{G, sup} = 1,35$ ¹⁾

$\gamma_{G, inf} = 1,00$

$\gamma_Q = 1,35$, pokud Q reprezentuje nepříznivé působící zatížení od silniční dopravy nebo od chodců; (0 pro příznivá);

$\gamma_Q = 1,45$, pokud Q reprezentuje nepříznivé působící zatížení od železniční dopravy, pro sestavy zatížení 11 až 31 (s výjimkou 16, 17, 26³⁾ a 27³⁾), model zatížení 71, SW/0 a HSLM a skutečné vlaky, pokud se uvažují jako jednotlivá hlavní zatížení dopravou; (0 pro příznivá);

$\gamma_Q = 1,20$, pokud Q reprezentuje nepříznivé působící zatížení od železniční dopravy, pro sestavy zatížení 16 a 17 a SW/2; (0 pro příznivá);

$\gamma_Q = 1,50$ pro ostatní zatížení dopravou a pro další proměnná zatížení;²⁾

$\xi = 0,85$ (takže $\xi \gamma_{G, sup} = 0,85 \times 1,35 \approx 1,15$).

$\gamma_{Gset} = 1,20$ v případě pružné lineární analýzy a $\gamma_{Gset} = 1,35$ v případě nelineární analýzy, pro návrhové situace, kdy nerovnoměrné sedání může mít nepříznivé účinky. Pro návrhové situace, kdy zatížení způsobená nerovnoměrným sedáním mohou mít příznivé účinky, se tato zatížení neuvažují.

Viz také EN 1991 až EN 1999 pro hodnoty γ , které se použijí pro vynucená přetvoření.

γ_P = doporučené hodnoty definované v příslušných Eurokódech pro navrhování.

Pravidla kombinování účinků zatížení větrem s účinky proměnného zatížení železniční dopravou se uvažují v souladu s ČSN EN 1990. Součinitel kombinace zatížení větrem ψ se bere z tab. A2.3 v ČSN EN 1990.

Globální posouzení konstrukce

Programem SCIA ENGINEER byly stanoveny vnitřní síly na jednotlivých prutech modelu, které jsou dále použity v detailním výpočtu zatížitelnosti.

Pro prokázání dostatečné únosnosti prvků, u kterých není zatížitelnost přímo stanovena (nebo ve smyslu vzorce 4.4 článku 4.7.6 metodického pokynu nemá její stanovení pro přechodnost význam) je provedeno posouzení celé konstrukce programem SCIA ENGINEER. Pro výpočet kombinací a posudek konstrukce byly uvažovány tyto předpoklady:

- mez kluzu materiálu tl. ≤ 25 mm $f_y = 235$ MPa (ocel č. 37 - S235), tl. > 25 mm $f_y = 215$ MPa
- mez pevnosti materiálu $f_u = 360$ MPa
- dílčí součinitele g účinků zatížení dle metodického pokynu SŽDC
- součinitele kombinací dle ČSN EN 1990/A1
- dynamický součinitel pro celou konstrukci dle hl. nosníku – tj. 1,48
- posouzení provedeno dle ČSN EN 1993-1-1, 1993-1-8, 1993-2
- vzpěrné délky a délky pro stanovení součinitele klopení zadány dle 6.3.1 a 6.3.2 v ČSN EN 1993-1-1 a ČSN EN 1993-2

Z výše uvedených předpokladů je zřejmé, že uvedené automatické posudky by bylo možno použít i pro stanovení zatížitelnosti dle metodického pokynu SŽDC, ale slouží pro orientační ověření únosnosti a určení prvků limitujících zatížitelnost.

Detailní stanovení zatížitelnosti je pro rozhodující profily provedeno ručně dle postupů a norem odkazovaných v metodickém pokynu.

Přepočet zatížitelnosti

Výpočet zatížitelnosti mostu v km 4,958

trati Rybník - Lipno

Vypracoval: Ing. Zdeněk Lakmayer



4.1 Podélník

4.1.1 Vliv klopení

Posuzovaný prut nebyl posuzován na klopení, protože je jeho tlačný (horní) pás zabezpečen proti vybočení ve vzdálenosti menší než 40ti násobek poloměru setrvačnosti konvenčního tlačného pásu nosníku. Přitom se uvažuje poloměr setrvačnosti z roviny ohybu konvenčního tlačného pásu nosníku, který je tvořen pásnicí a přilehlou částí stojiny, zahrnující 1/6 její plochy.

Tlačný pás je proti vybočení z roviny ohybu zabezpečen mostnicemi po vzdálenostech $L = 525 \text{ mm}$.

• Vliv klopení

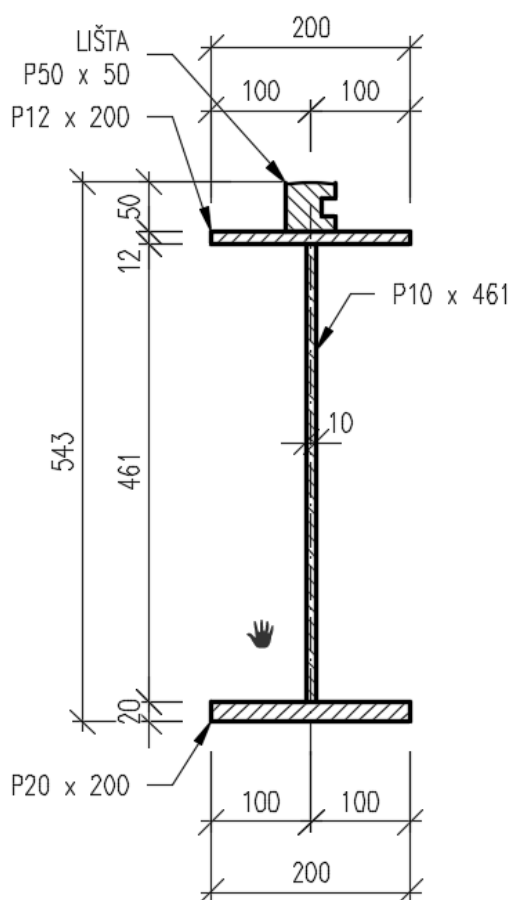
$$40 \cdot i_{zp} = 40 \cdot 57,74 = 2309 \text{ mm} > 525 \text{ mm}$$

VYHOVUJE

není třeba uvažovat vliv klopení

4.1.2 Průřezové charakteristiky

4.1.2.1 POD1



A	[mm ²]	= 1,3198e+04
A _y	[mm ²]	= 7,6477e+03
A _z	[mm ²]	= 5,1481e+03
AL	[m ² /m]	= 1,8930e+00
AD	[m ² /m]	= 1,8930e+00
c _{YUSS}	[mm]	= 100
c _{ZUSS}	[mm]	= 265
I _{YLSS}	[mm ⁴]	= 6,0143e+08
I _{ZLSS}	[mm ⁴]	= 2,1788e+07
I _{YZLSS}	[mm ⁴]	= -1,2597e+06
α	[deg]	= 0,12
I _y	[mm ⁴]	= 6,0143e+08
I _z	[mm ⁴]	= 2,1785e+07
i _y	[mm]	= 213
i _z	[mm]	= 41
W _{ely}	[mm ³]	= 2,1630e+06
W _{elz}	[mm ³]	= 2,1597e+05
W _{ply}	[mm ³]	= 2,6370e+06
W _{plz}	[mm ³]	= 3,5716e+05
d _y	[mm]	= 1
d _z	[mm]	= -68
I _t	[mm ⁴]	= 1,4039e+06
I _w	[mm ⁶]	= 1,2014e+12
β _y	[mm]	= 120
β _z	[mm]	= -5

Přepočet zatížitelnosti

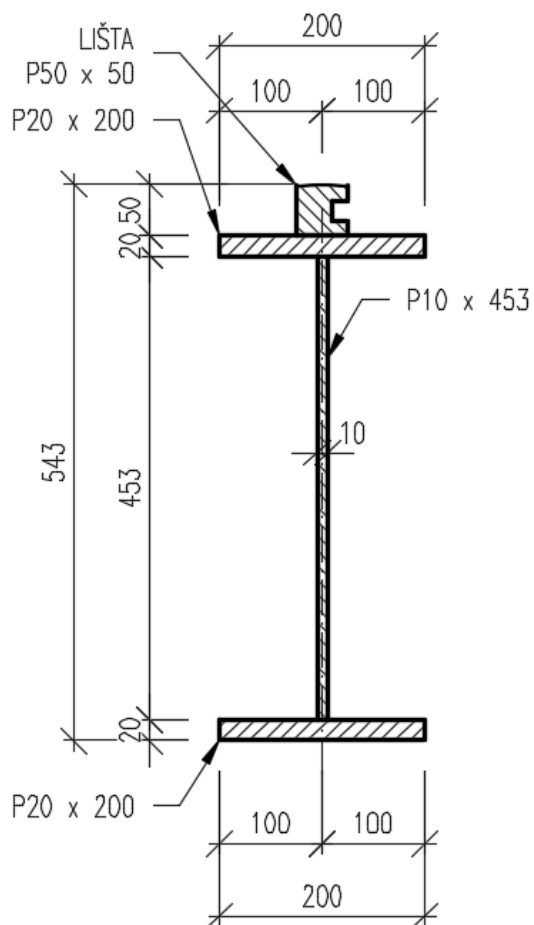
Výpočet zatížitelnosti mostu v km 4,958

trati Rybník - Lipno

Vypracoval: Ing. Zdeněk Lakmayer



4.1.2.2 POD2



A	[mm ²]	= 1,4718e+04
A _y	[mm ²]	= 9,2343e+03
A _z	[mm ²]	= 5,1284e+03
AL	[m ² /m]	= 1,8930e+00
AD	[m ² /m]	= 1,8930e+00
cYUSS	[mm]	= 100
cZUSS	[mm]	= 287
IYLSS	[mm ⁴]	= 6,6274e+08
IZLSS	[mm ⁴]	= 2,7121e+07
IYZLSS	[mm ⁴]	= -1,1505e+06
α	[deg]	= 0,10
I _y	[mm ⁴]	= 6,6274e+08
I _z	[mm ⁴]	= 2,7119e+07
i _y	[mm]	= 212
i _z	[mm]	= 43
W _{ely}	[mm ³]	= 2,3092e+06
W _{elz}	[mm ³]	= 2,6927e+05
W _{ply}	[mm ³]	= 2,8788e+06
W _{plz}	[mm ³]	= 4,3696e+05
d _y	[mm]	= 1
d _z	[mm]	= -34
I _t	[mm ⁴]	= 1,9807e+06
I _w	[mm ⁶]	= 1,5455e+12
β _y	[mm]	= 10
β _z	[mm]	= -4

Přepočet zatížitelnosti

Výpočet zatížitelnosti mostu v km 4,958

trati Rybník - Lipno

Vypracoval: Ing. Zdeněk Lakmayer



Vysvětlivky symbolů	
A	Plocha
A_y	Smyková plocha ve směru hlavní osy y
A_z	Smyková plocha ve směru hlavní osy z
A_L	Obvodový povrch na jednotku délky
A_D	Vysýchající povrch na jednotku délky
$C_{Y.UCS}$	Souřadnice těžiště ve směru osy Y zadávacího systému
$C_{Z.UCS}$	Souřadnice těžiště ve směru osy Z zadávacího systému
$I_{Y.LCS}$	Moment setrvačnosti kolem osy YLSS
$I_{Z.LCS}$	Moment setrvačnosti kolem osy ZLSS
$I_{YZ.LCS}$	Moment setrvačnosti Iyz v LSS
α	Úhel pootočení hlavní osy
I_y	Moment setrvačnosti kolem hlavní osy y
I_z	Moment setrvačnosti kolem hlavní osy z
i_y	Poloměr setrvačnosti kolem hlavní osy y
i_z	Poloměr setrvačnosti kolem hlavní osy z
$W_{el.y}$	Pružný modul průřezu k hlavní ose y
$W_{el.z}$	Pružný modul průřezu k hlavní ose z
$W_{pl.y}$	Plastický modul průřezu k hlavní ose y
$W_{pl.z}$	Plastický modul průřezu k hlavní ose z
$M_{pl.y.+}$	Plastický moment kolem hlavní osy y pro kladný moment M_y
$M_{pl.y.-}$	Plastický moment kolem hlavní osy y pro záporný moment M_y
$M_{pl.z.+}$	Plastický moment kolem hlavní osy z pro kladný moment M_z
$M_{pl.z.-}$	Plastický moment kolem hlavní osy z pro záporný moment M_z
d_y	Souřadnice středu smyku ve směru hlavní osy y měřená od těžiště
d_z	Souřadnice středu smyku ve směru hlavní osy z měřená od těžiště
I_t	Moment setrvačnosti v prostém kroucení
I_w	Výsečový moment setrvačnosti
β_y	Mono-symetrická konstanta kolem hlavní osy y
β_z	Mono-symetrická konstanta kolem hlavní osy z

Přepočet zatížitelnosti

Výpočet zatížitelnosti mostu v km 4,958

trati Rybník - Lipno

Vypracoval: Ing. Zdeněk Lakmayer



4.1.3 Podélník POD1 v místě maximálního svislého ohybového momentu

Materiálové vlastnosti

druh oceli	ocel 37 do 25 mm vč.	
$f_y =$	235 MPa	charakteristická mez kluzu
$f_{y,d} =$	235,0 MPa	návrhová mez kluzu
$f_{y,w,d} =$	235,0 MPa	návrhová pevnost ve smyku
$E =$	210000 MPa	modul pružnosti
$g_{M0} =$	1,00	
$g_{M1} =$	1,10	
$g_{M2} =$	1,25	

Geometrické vlastnosti

L	2100 mm	délka prutu v rozhodujícím směru
$L_f =$	6,300 m	náhradní délka dle tab. 6.2 ČSN EN 1991-2
$f =$	1,67	dynam. součinitel vypočtený
$f =$	1,67	dynam. součinitel dle omezení 6.4.5.2 ČSN EN 1991-2

Průřezové charakteristiky

$A =$	1,3198E+04 mm ²	plocha průřezu
$I_y =$	6,0143E+08 mm ⁴	moment setrvačnosti
$I_z =$	2,1785E+07 mm ⁴	moment setrvačnosti
$i_y =$	213,5 mm	poloměr setrvačnosti
$i_z =$	40,6 mm	poloměr setrvačnosti
$i_{min} =$	40,6 mm	minimální poloměr setrvačnosti
$t =$	10 mm	tloušťka stojiny
$h_w =$	461 mm	výška stojiny účinná na smyk
$A_v =$	4610 mm ²	smyková plocha
$d =$	493 mm	celková výška průřezu
$z_h =$	228 mm	vzdálenost horních krajních vláken
$z_d =$	265 mm	vzdálenost dolních krajních vláken

Přepočet zatížitelnosti

Výpočet zatížitelnosti mostu v km 4,958

trati Rybník - Lipno

Vypracoval: Ing. Zdeněk Lakmayer



$b_{hor} =$	200 mm	celková šířka horní pásnice
$b_{p,hor} =$	100 mm	vzdálenost pravých krajních vláken horní pásnice
$b_{l,hor} =$	100 mm	vzdálenost levých krajních vláken horní pásnice
$b_{dol} =$	200 mm	celková šířka dolní pásnice
$b_{p,dol} =$	100 mm	vzdálenost pravých krajních vláken dolní pásnice
$b_{l,dol} =$	100 mm	vzdálenost levých krajních vláken dolní pásnice
$W_{y,H} =$	2,6379E+06 mm ³	svislý průřezový modul k horním vláknům
$W_{y,D} =$	2,2695E+06 mm ³	svislý průřezový modul k dolním vláknům
$W_{z,H,L} =$	2,1785E+05 mm ³	vodorovný průřezový modul k levým horním vláknům
$W_{z,D,L} =$	2,1785E+05 mm ³	vodorovný průřezový modul k levým dolním vláknům
$W_{z,H,P} =$	2,1785E+05 mm ³	vodorovný průřezový modul k pravým horním vláknům
$W_{z,D,P} =$	2,1785E+05 mm ³	vodorovný průřezový modul k pravým dolním vláknům

Vzpěr tlačných prvků

vzpěrný tlak je uvažován

c		křivka vzpěrné pevnosti
$a =$	0,49	součinitel imperfekce
$b =$	1	součinitel vzpěrné délky
$L_{cr} =$	2100 mm	kritická délka
$I =$	51,69	štíhlost
$I_I =$	93,91	srovnávací štíhlost
$I_d =$	0,550	poměrná štíhlost
$f =$	0,737	
$c =$	0,814	

Ostatní součinitele

$m_M =$	1,11	součinitel vlivu excentricity
$a =$	1,00	klasifikační součinitel dle 6.3.2 (3)P ČSN EN 1991-2
$x =$	0,85	redukční součinitel pro nepříznivá stálá zatížení dle ČSN EN 1990/A1

Rozhodující skupina zatížení
gr12

Kombinace zatížení dle výrazu
6.10b

ZS	Zatížení	Gr	y o	gr12	Vnitřní síly			
					charakteristické			
					Vz kN	N kN	My kNm	Mz kNm
1	VI. tíha	1,0625	1	1	0,0	9,0	4,3	0,0
2	Ostatní stálé (nah. dlouhodobé)	1,0625	1	1	0,0	4,9	2,7	0,0
3	Rozjezdové a brzděné síly	1,3	1	0,5	13,7	-15,3	0,2	0,0
4	Boční rázy (ostatní)	1,3	1	1	10,6	-86,0	13,5	-7,7
5	Vítr - celkový účinek	1,35	0,75	1	0,5	-39,3	6,6	-1,0
107	Nahod. krátkodobé (vlak, vozidla)	1,3	1	1	61,2	99,8	81,4	-0,2

Přepočet zatížitelnosti

Výpočet zatížitelnosti mostu v km 4,958

trati Rybník - Lipno

Vypracoval: Ing. Zdeněk Lakmayer



Vnitřní síly			
návrhové			
Vz	N	My	Mz
kN	kN	kNm	kNm
0,0	9,6	4,6	0,0
0,0	5,2	2,9	0,0
8,9	-9,9	0,1	0,0
13,8	-111,8	17,6	-10,0
0,5	-39,8	6,6	-1,0
147,0	239,7	195,5	-0,4

Lokální břemeno		
síly	napětí	
Fz	charakt.	návrhové
kN	MPa	MPa
0,0	0,0	0,0
1,6	0,6	0,6
0,0	0,0	0,0
21,0	8,0	10,3
7,2	2,7	2,8
62,5	23,7	56,9

KROK 1 - OVĚŘENÍ PODMÍNKY A.2

Předpoklad $Z_{LM71}=1,0$

$$V_{Ed} = Z_{LM71} \cdot V_{LM71,Ed} + V_{rs,Ed}$$

$$V_{Ed} = 170,2 \text{ kN}$$

Vliv boulení není třeba zahrnovat

$$V_{pl,Rd} = 516,9 \text{ kN}$$

$$\eta_3 = \frac{V_{Ed}}{V_{pl,Rd}} \leq 0,5 \quad (\text{A.2})$$

$$h_3 = 0,329 \leq 0,5 \quad \text{podmínka (A.2) je splněna}$$

Přepočet zatížitelnosti

Výpočet zatížitelnosti mostu v km 4,958

trati Rybník - Lipno

Vypracoval: Ing. Zdeněk Lakmayer



KROK 2 - STANOVENÍ ZATÍŽITELNOSTI Z ROVNICE A.7

$$\eta_{l,rs} = \frac{N_{rs,Ed}}{A \cdot f_y / \gamma_{M0}} + \frac{M_{y,rs,Ed}}{W_{el,y} \cdot f_y / \gamma_{M0}} + \frac{M_{z,rs,Ed}}{W_{el,z} \cdot f_y / \gamma_{M0}} \quad Z_{LM71} = \frac{1 - \eta_{l,rs}}{\eta_{l,LM71}}$$

vlákna

						$Z_{LM71} =$
1 $h_{1,rs} =$	$\frac{146725,9}{2525846,0}$	+	$\frac{31761250,0}{533343585}$	+	$\frac{10996500,0}{51194750}$	= 0,332 1,42
2 $h_{1,rs} =$	$\frac{146725,9}{2525846,0}$	+	$\frac{31761250,0}{533343585}$	+	$\frac{10996500,0}{51194750}$	= 0,332 1,42
3 $h_{1,rs} =$	$\frac{146725,9}{2525846,0}$	+	$\frac{31761250}{619894956}$	+	$\frac{10996500,0}{51194750}$	= 0,324 1,62
4 $h_{1,rs} =$	$\frac{146725,9}{2525846,0}$	+	$\frac{31761250}{619894956}$	+	$\frac{10996500,0}{51194750}$	= 0,324 1,62

$$\eta_{l,LM71} = \frac{N_{LM71,Ed}}{A \cdot f_y / \gamma_{M0}} + \frac{M_{y,LM71,Ed}}{W_{el,y} \cdot f_y / \gamma_{M0}} + \frac{M_{z,LM71,Ed}}{W_{el,z} \cdot f_y / \gamma_{M0}}$$

1 $h_{1,LM71} =$	$\frac{239669,4}{2525846,0}$	+	$\frac{195507726}{533343585}$	+	$\frac{384432,1}{51194750}$	= 0,469
2 $h_{1,LM71} =$	$\frac{239669,4}{2525846,0}$	+	$\frac{195507726}{533343585}$	+	$\frac{384432,1}{51194750}$	= 0,469
3 $h_{1,LM71} =$	$\frac{239669,4}{2525846,0}$	+	$\frac{195507726}{619894956}$	+	$\frac{384432,1}{51194750}$	= 0,418
4 $h_{1,LM71} =$	$\frac{239669,4}{2525846,0}$	+	$\frac{195507726}{619894956}$	+	$\frac{384432,1}{51194750}$	= 0,418

$Z_{LM71} = 1,42$ z napětí v dolních levých vláknech

KROK 3 - ZNOVUOVĚŘENÍ PODMÍNKY A.2

$$V_{Ed} = Z_{LM71} \cdot V_{LM71,Ed} + V_{rs,Ed}$$

$$V_{Ed} = 232,4 \text{ kN}$$

Vliv boulení není třeba zahrnovat

$$V_{plRd} = 625,5 \text{ kN}$$

$$h_3 = 0,372 \leq 0,5 \quad \text{Podmínka A.2 je splněna.}$$

Přepočet zatížitelnosti

Výpočet zatížitelnosti mostu v km 4,958

trati Rybník - Lipno

Vypracoval: Ing. Zdeněk Lakmayer



Účinky lokálního zatížení

$P = 150,2 \text{ kN}$

$a_{zh} = 12 \text{ mm}$

vzdálenost horních krčních nýtů / svarů od krajních vláken

$t = 10 \text{ mm}$

$c = 264 \text{ mm}$

$s_{z,LM71,Ed} = 56,9 \text{ MPa}$

$$\eta_{2,LM71} = \frac{\sigma_{z,LM71,Ed}}{f_y / \gamma_{M0}}$$

$h_{2,LM71} = 0,242 \quad (A.17)$

$h_{2,rs} = 0,059 \quad (A.18)$

$$Z_{LM71} = \frac{1 - \eta_{2,rs}}{\eta_{2,LM71}}$$

$Z_{LM71} = 3,89 \quad (A.16)$

Interakce účinku spolu s namáháním ohybovým momentem a osovou silou

1 $Z_{LM71} = 1,74$

2 $Z_{LM71} = 1,74$

3 $Z_{LM71} = 1,88$

4 $Z_{LM71} = 1,88$

$$Z_{LM71} = \frac{1,4 - (\eta_{2,rs} + 0,8\eta_{1,rs})}{\eta_{2,LM71} + 0,8\eta_{1,LM71}}$$

$Z_{LM71} = 1,74 \quad (A.19)$

Vyšetřování napětí po průřezu

Napětí charakteristické												
zs	horní okraj						dolní okraj					
	N/A	My/Wy	Mz/Wzl	Mz/Wzp	celkem L	celkem P	N/A	My/Wy	Mz/Wzl	Mz/Wzp	celkem L	celkem P
	S_h MPa						S_d MPa					
1	0,7	-1,6	0,0	0,0	-0,9	-0,9	0,7	1,9	0,0	0,0	2,6	2,6
2	0,4	-1,0	0,0	0,0	-0,7	-0,7	0,4	1,2	0,0	0,0	1,6	1,6
3	-1,2	-0,1	0,0	0,0	-1,2	-1,2	-1,2	0,1	0,0	0,0	-1,1	-1,1
4	-6,5	-5,1	-35,3	-35,3	-46,9	-46,9	-6,5	5,9	-35,3	-35,3	-35,8	-35,8
5	-3,0	-2,5	-4,6	-4,6	-10,1	-10,1	-3,0	2,9	-4,6	-4,6	-4,7	-4,7
141	0,0	0,0	0,0	0,0	0,0	0,0	0,0	0,0	0,0	0,0	0,0	0,0
127	0,0	0,0	0,0	0,0	0,0	0,0	0,0	0,0	0,0	0,0	0,0	0,0
107	7,6	-30,8	-0,7	-0,7	-24,0	-24,0	7,6	35,9	-0,7	-0,7	42,7	42,7

Napětí návrhové												
zs	horní okraj						dolní okraj					
	N/A	My/Wy	Mz/Wzl	Mz/Wzp	celkem L	celkem P	N/A	My/Wy	Mz/Wzl	Mz/Wzp	celkem L	celkem P
	S_h MPa						S_d MPa					
1	0,9	-1,7	0,0	0,0	-0,8	-0,8	0,9	2,0	0,0	0,0	2,9	2,9
2	0,5	-1,1	0,0	0,0	-0,6	-0,6	0,5	1,3	0,0	0,0	1,8	1,8
3	-0,9	0,0	0,0	0,0	-1,0	-1,0	-0,9	0,0	0,0	0,0	-0,9	-0,9
4	-10,4	-6,7	-45,8	-45,8	-62,9	-62,9	-10,4	7,7	-45,8	-45,8	-48,5	-48,5
5	-3,7	-2,5	-4,6	-4,6	-10,9	-10,9	-3,7	2,9	-4,6	-4,6	-5,4	-5,4
141	0,0	0,0	0,0	0,0	0,0	0,0	0,0	0,0	0,0	0,0	0,0	0,0
127	0,0	0,0	0,0	0,0	0,0	0,0	0,0	0,0	0,0	0,0	0,0	0,0
107	22,3	-74,1	-1,8	-1,8	-53,6	-53,6	22,3	86,1	-1,8	-1,8	106,7	106,7

Přepočet zatížitelnosti

Výpočet zatížitelnosti mostu v km 4,958

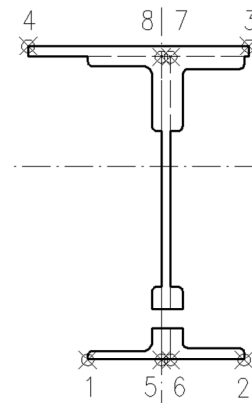
trati Rybník - Lipno

Vypracoval: Ing. Zdeněk Lakmayer



Ověření pružné únosnosti stěny

d =	493 mm	celková výška průřezu
zh =	216 mm	vzdálenost horních krajních vláken stěny od těžiště
zd =	245 mm	vzdálenost dolních krajních vláken stěny od těžiště
b _{hor} =	10 mm	celková šířka stěny
b _{p,hor} =	5 mm	vzdálenost pravých krajních vláken
b _{l,hor} =	5 mm	vzdálenost levých krajních vláken
W _{y,H} =	2,7844E+06 mm ³	svislý průřezový modul k horním vláknům
W _{y,D} =	2,4548E+06 mm ³	svislý průřezový modul k dolním vláknům
W _{z,L} =	4,3570E+06 mm ³	vodorovný průřezový modul k levým vláknům
W _{z,P} =	4,3570E+06 mm ³	vodorovný průřezový modul k pravým horním vláknům



$$\eta_{l,rs} = \frac{N_{rs,Ed}}{A \cdot f_y / \gamma_{M0}} + \frac{M_{y,rs,Ed}}{W_{el,y} \cdot f_y / \gamma_{M0}} + \frac{M_{z,rs,Ed}}{W_{el,z} \cdot f_y / \gamma_{M0}}$$

vlákna

5 h _{1,rs} =	$\frac{146725,9}{2525846,0}$	+	$\frac{31761250,0}{576881837}$	+	$\frac{10996500,0}{1,0239E+09}$	=	0,124
6 h _{1,rs} =	$\frac{146725,9}{2525846,0}$	+	$\frac{31761250,0}{576881837}$	+	$\frac{10996500,0}{1023895000}$	=	0,124
7 h _{1,rs} =	$\frac{146725,9}{2525846,0}$	+	$\frac{31761250,0}{654333565}$	+	$\frac{10996500,0}{1023895000}$	=	0,117
8 h _{1,rs} =	$\frac{146725,9}{2525846,0}$	+	$\frac{31761250,0}{654333565}$	+	$\frac{10996500,0}{1,0239E+09}$	=	0,117

$$\eta_{l,LM71} = \frac{N_{LM71,Ed}}{A \cdot f_y / \gamma_{M0}} + \frac{M_{y,LM71,Ed}}{W_{el,y} \cdot f_y / \gamma_{M0}} + \frac{M_{z,LM71,Ed}}{W_{el,z} \cdot f_y / \gamma_{M0}}$$

5 h _{1,LM71} =	$\frac{239669,4}{2525846,0}$	+	$\frac{195507726}{576881837}$	+	$\frac{384432,1}{1,0239E+09}$	=	0,434
6 h _{1,LM71} =	$\frac{239669,4}{2525846,0}$	+	$\frac{195507726}{576881837}$	+	$\frac{384432,1}{1023895000}$	=	0,434
7 h _{1,LM71} =	$\frac{239669,4}{2525846,0}$	+	$\frac{195507726}{654333565}$	+	$\frac{384432,1}{1023895000}$	=	0,394
8 h _{1,LM71} =	$\frac{239669,4}{2525846,0}$	+	$\frac{195507726}{654333565}$	+	$\frac{384432,1}{1,0239E+09}$	=	0,394

$$Z_{LM71}^2 \cdot (\eta_{1,LM71}^2 + \eta_{2,LM71}^2 - \eta_{1,LM71} \cdot \eta_{2,LM71} + 3 \cdot \eta_{3,LM71}^2) + \\ + Z_{LM71} \cdot (2 \cdot \eta_{1,rs} \cdot \eta_{1,LM71} + 2 \cdot \eta_{2,rs} \cdot \eta_{2,LM71} - \eta_{1,rs} \cdot \eta_{2,LM71} - \\ - \eta_{2,rs} \cdot \eta_{1,LM71} + 2 \cdot \eta_{3,rs} \cdot \eta_{3,LM71}) + \eta_{1,rs}^2 + \eta_{2,rs}^2 - \eta_{1,rs} \cdot \eta_{2,rs} + 3 \cdot \eta_{3,rs}^2 = 1$$

řešení kvadratické rovnice

vlákna	a	b	c	D	Z _{LM71} =	
					x1	x2
5	0,30764	0,0996924	-0,9843469	1,221255819	1,634	-1,958
6	0,30764	0,0996924	-0,9843469	1,221255819	1,634	-1,958
7	0,28413	0,0885422	-0,9855378	1,127925931	1,713	-2,025
8	0,28413	0,0885422	-0,9855378	1,127925931	1,713	-2,025
					1,63	

Z_{LM71} = 1,63 zatížitelnost z pružné únosnosti stěny

Přepočet zatížitelnosti

Výpočet zatížitelnosti mostu v km 4,958

trati Rybník - Lipno

Vypracoval: Ing. Zdeněk Lakmayer



4.1.4 Podélník POD1 v místě maximálního vodorovného ohybového momentu

Průřezové charakteristiky

A =	1,3198E+04 mm ²	plocha průřezu
I _y =	6,0143E+08 mm ⁴	moment setrvačnosti
I _z =	2,1785E+07 mm ⁴	moment setrvačnosti
i _y =	213,5 mm	poloměr setrvačnosti
i _z =	40,6 mm	poloměr setrvačnosti
i _{min} =	40,6 mm	minimální poloměr setrvačnosti
t =	10 mm	tloušťka stojiny
h _w =	461 mm	výška stojiny účinná na smyk
Av =	4610 mm ²	smyková plocha
d =	493 mm	celková výška průřezu
zh =	228 mm	vzdálenost horních krajních vláken
zd =	265 mm	vzdálenost dolních krajních vláken
b _{hor} =	200 mm	celková šířka horní pásnice
b _{p,hor} =	100 mm	vzdálenost pravých krajních vláken horní pásnice
b _{l,hor} =	100 mm	vzdálenost levých krajních vláken horní pásnice
b _{dol} =	200 mm	celková šířka dolní pásnice
b _{p,dol} =	100 mm	vzdálenost pravých krajních vláken dolní pásnice
b _{l,dol} =	100 mm	vzdálenost levých krajních vláken dolní pásnice
W _{y,H} =	2,6379E+06 mm ³	svislý průřezový modul k horním vláknům
W _{y,D} =	2,2695E+06 mm ³	svislý průřezový modul k dolním vláknům
W _{z,H,L} =	2,1785E+05 mm ³	vodorovný průřezový modul k levým horním vláknům
W _{z,D,L} =	2,1785E+05 mm ³	vodorovný průřezový modul k levým dolním vláknům
W _{z,H,P} =	2,1785E+05 mm ³	vodorovný průřezový modul k pravým horním vláknům
W _{z,D,P} =	2,1785E+05 mm ³	vodorovný průřezový modul k pravým dolním vláknům

Přepočet zatížitelnosti

Výpočet zatížitelnosti mostu v km 4,958

trati Rybník - Lipno

Vypracoval: Ing. Zdeněk Lakmayer



Vzpěr tlačných prvků

vzpěrný tlak není uvažován

c

křivka vzpěrné pevnosti

a = 0,49

součinitel imperfekce

b = 1

součinitel vzpěrné délky

L_{cr} = 2100 mm

kritická délka

I = 51,69

štíhlost

I_1 = 93,91

srovnávací štíhlost

I_{df} = 0,550

poměrná štíhlost

f = 0,737

c = 1,000

Ostatní součinitele

m_M = 1,11

součinitel vlivu excentricity

a = 1,00

klasifikační součinitel dle 6.3.2 (3)P ČSN EN 1991-2

x = 0,85

redukční součinitel pro nepříznivá stálá zatížení dle ČSN EN 1990/A1

Rozhodující skupina zatížení
gr12

Kombinace zatížení dle výrazu
6.10b

ZS	Zatížení	Gr	y o	gr12	Vnitřní síly			
					charakteristické			
					Vz kN	N kN	My kNm	Mz kNm
1	VI. tíha	1,0625	1	1	2,0	3,2	0,6	0,1
2	Ostatní stálé (nah. dlouhodobé)	1,0625	1	1	2,5	1,7	0,5	0,1
3	Rozjezdové a brzdné síly	1,3	1	0,5	15,5	18,3	7,0	0,7
4	Boční rázy (ostatní)	1,3	1	1	20,6	36,1	-1,4	6,6
5	Vítr - celkový účinek	1,35	0,75	1	12,6	18,4	0,2	1,2
109	Nahod. krátkodobé (vlak, vozidla)	1,3	1	1	30,1	29,2	8,7	1,1

Vnitřní síly			
návrhové			
Vz	N	My	Mz
kN	kN	kNm	kNm
2,2	3,4	0,6	0,1
2,7	1,8	0,5	0,1
10,0	11,9	4,6	0,5
26,8	46,9	-1,8	8,6
12,7	18,6	0,2	1,3
72,4	70,1	20,9	2,6

Lokální břemeno		
síly	napětí	
Fz	charakt.	návrhové
kN	MPa	MPa
0,0	0,0	0,0
1,6	0,6	0,6
0,0	0,0	0,0
21,0	8,0	10,3
7,2	2,7	2,8
62,5	23,7	56,9

Přepočet zatížitelnosti

Výpočet zatížitelnosti mostu v km 4,958

trati Rybník - Lipno

Vypracoval: Ing. Zdeněk Lakmayer



KROK 1 - OVĚŘENÍ PODMÍNKY A.2

Předpoklad $Z_{LM71}=1,0$

$$V_{Ed} = Z_{LM71} \cdot V_{LM71,Ed} + V_{rs,Ed}$$

$$V_{Ed} = 126,8 \text{ kN}$$

Vliv boulení není třeba zahrnovat

$$V_{plRd} = 625,5 \text{ kN}$$

$$\eta_3 = \frac{V_{Ed}}{V_{pl,Rd}} \leq 0,5 \quad (A.2)$$

$$h_3 = 0,203 \leq 0,5 \quad \text{podmínka (A.2) je splněna}$$

KROK 2 - STANOVENÍ ZATÍŽITELNOSTI Z ROVNICE A.7

$$\eta_{l,rs} = \frac{N_{rs,Ed}}{A \cdot f_y / \gamma_{M0}} + \frac{M_{y,rs,Ed}}{W_{el,y} \cdot f_y / \gamma_{M0}} + \frac{M_{z,rs,Ed}}{W_{el,z} \cdot f_y / \gamma_{M0}} \quad Z_{LM71} = \frac{1 - \eta_{l,rs}}{\eta_{l,LM71}}$$

vlákna

						$Z_{LM71} =$
1 $h_{1,rs} =$	$\frac{82561,4}{3101530,0}$	+	$\frac{4149875,0}{533343585}$	+	$\frac{10475875,0}{51194750}$	= 0,239 6,77
2 $h_{1,rs} =$	$\frac{82561,4}{3101530,0}$	+	$\frac{4149875,0}{533343585}$	+	$\frac{10475875,0}{51194750}$	= 0,239 6,77
3 $h_{1,rs} =$	$\frac{82561,4}{3101530,0}$	+	$\frac{4149875}{619894956}$	+	$\frac{10475875,0}{51194750}$	= 0,238 7,12
4 $h_{1,rs} =$	$\frac{82561,4}{3101530,0}$	+	$\frac{4149875}{619894956}$	+	$\frac{10475875,0}{51194750}$	= 0,238 7,12

$$\eta_{l,LM71} = \frac{N_{LM71,Ed}}{A \cdot f_y / \gamma_{M0}} + \frac{M_{y,LM71,Ed}}{W_{el,y} \cdot f_y / \gamma_{M0}} + \frac{M_{z,LM71,Ed}}{W_{el,z} \cdot f_y / \gamma_{M0}}$$

1 $h_{1,LM71} =$	$\frac{70086,8}{3101530,0}$	+	$\frac{20903493}{533343585}$	+	$\frac{2594916,4}{51194750}$	= 0,112
2 $h_{1,LM71} =$	$\frac{70086,8}{3101530,0}$	+	$\frac{20903493}{533343585}$	+	$\frac{2594916,4}{51194750}$	= 0,112
3 $h_{1,LM71} =$	$\frac{70086,8}{3101530,0}$	+	$\frac{20903493}{619894956}$	+	$\frac{2594916,4}{51194750}$	= 0,107
4 $h_{1,LM71} =$	$\frac{70086,8}{3101530,0}$	+	$\frac{20903493}{619894956}$	+	$\frac{2594916,4}{51194750}$	= 0,107

$$Z_{LM71} = 6,77 \text{ z napětí v dolních levých vláknech}$$

Přepočet zatížitelnosti

Výpočet zatížitelnosti mostu v km 4,958

trati Rybník - Lipno

Vypracoval: Ing. Zdeněk Lakmayer



Účinky lokálního zatížení

$P = 150,2 \text{ kN}$

$a_{zh} = 12 \text{ mm}$

$t = 10 \text{ mm}$

$c = 264 \text{ mm}$

$S_{z,LM71,Ed} = 56,9 \text{ MPa}$

$$\eta_{2,LM71} = \frac{\sigma_{z,LM71,Ed}}{f_y / \gamma_{M0}}$$

$h_{2,LM71} = 0,242 \quad (A.17)$

$h_{2,rs} = 0,059 \quad (A.18)$

$$Z_{LM71} = \frac{1 - \eta_{2,rs}}{\eta_{2,LM71}}$$

$Z_{LM71} = 3,89 \quad (A.16)$

vzdálenost horních krčních nýtů / svarů od krajních vláken

Interakce účinku spolu s namáháním ohybovým momentem a osovou silou

1 $Z_{LM71} = 3,46$

2 $Z_{LM71} = 3,46$

3 $Z_{LM71} = 3,51$

4 $Z_{LM71} = 3,51$

$$Z_{LM71} = \frac{1,4 - (\eta_{2,rs} + 0,8\eta_{1,rs})}{\eta_{2,LM71} + 0,8\eta_{1,LM71}}$$

$Z_{LM71} = 3,46 \quad (A.19)$

Vyšetřování napětí po průřezu

Napětí charakteristické												
zs	horní okraj						dolní okraj					
	N/A	My/Wy	Mz/Wzl	Mz/Wzp	celkem L	celkem P	N/A	My/Wy	Mz/Wzl	Mz/Wzp	celkem L	celkem P
	S_h MPa						S_d MPa					
1	0,2	-0,2	0,5	0,5	0,5	0,5	0,2	0,3	0,5	0,5	1,0	1,0
2	0,1	-0,2	0,2	0,2	0,2	0,2	0,1	0,2	0,2	0,2	0,6	0,6
3	1,4	-2,7	3,3	3,3	2,0	2,0	1,4	3,1	3,3	3,3	7,8	7,8
4	2,7	0,5	30,3	30,3	33,6	33,6	2,7	-0,6	30,3	30,3	32,5	32,5
5	1,4	-0,1	5,7	5,7	7,0	7,0	1,4	0,1	5,7	5,7	7,2	7,2
141	0,0	0,0	0,0	0,0	0,0	0,0	0,0	0,0	0,0	0,0	0,0	0,0
129	0,0	0,0	0,0	0,0	0,0	0,0	0,0	0,0	0,0	0,0	0,0	0,0
109	2,2	-3,3	5,0	5,0	3,9	3,9	2,2	3,8	5,0	5,0	11,0	11,0

Napětí návrhové												
zs	horní okraj						dolní okraj					
	N/A	My/Wy	Mz/Wzl	Mz/Wzp	celkem L	celkem P	N/A	My/Wy	Mz/Wzl	Mz/Wzp	celkem L	celkem P
	S_h MPa						S_d MPa					
1	0,3	-0,2	0,5	0,5	0,5	0,5	0,3	0,3	0,5	0,5	1,0	1,0
2	0,1	-0,2	0,2	0,2	0,2	0,2	0,1	0,2	0,2	0,2	0,6	0,6
3	0,9	-1,7	2,1	2,1	1,3	1,3	0,9	2,0	2,1	2,1	5,1	5,1
4	3,6	0,7	39,4	39,4	43,7	43,7	3,6	-0,8	39,4	39,4	42,2	42,2
5	1,4	-0,1	5,8	5,8	7,1	7,1	1,4	0,1	5,8	5,8	7,3	7,3
141	0,0	0,0	0,0	0,0	0,0	0,0	0,0	0,0	0,0	0,0	0,0	0,0
129	0,0	0,0	0,0	0,0	0,0	0,0	0,0	0,0	0,0	0,0	0,0	0,0
109	5,3	-7,9	11,9	11,9	9,3	9,3	5,3	9,2	11,9	11,9	26,4	26,4

Přepočet zatížitelnosti

Výpočet zatížitelnosti mostu v km 4,958

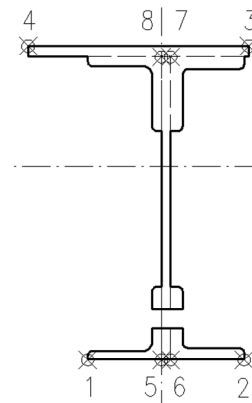
trati Rybník - Lipno

Vypracoval: Ing. Zdeněk Lakmayer



Ověření pružné únosnosti stěny

d =	493 mm	celková výška průřezu
zh =	216 mm	vzdálenost horních krajních vláken stěny od těžiště
zd =	245 mm	vzdálenost dolních krajních vláken stěny od těžiště
b _{hor} =	10 mm	celková šířka stěny
b _{p,hor} =	5 mm	vzdálenost pravých krajních vláken
b _{l,hor} =	5 mm	vzdálenost levých krajních vláken
W _{y,H} =	2,7844E+06 mm ³	svislý průřezový modul k horním vláknům
W _{y,D} =	2,4548E+06 mm ³	svislý průřezový modul k dolním vláknům
W _{z,L} =	4,3570E+06 mm ³	vodorovný průřezový modul k levým vláknům
W _{z,P} =	4,3570E+06 mm ³	vodorovný průřezový modul k pravým horním vláknům



$$\eta_{l,rs} = \frac{N_{rs,Ed}}{A \cdot f_y / \gamma_{M0}} + \frac{M_{y,rs,Ed}}{W_{el,y} \cdot f_y / \gamma_{M0}} + \frac{M_{z,rs,Ed}}{W_{el,z} \cdot f_y / \gamma_{M0}}$$

vlákna

5 h _{1,rs} =	$\frac{82561,4}{3101530,0}$	+	$\frac{4149875,0}{576881837}$	+	$\frac{10475875,0}{1,0239E+09}$	=	0,044
6 h _{1,rs} =	$\frac{82561,4}{3101530,0}$	+	$\frac{4149875,0}{576881837}$	+	$\frac{10475875,0}{1023895000}$	=	0,044
7 h _{1,rs} =	$\frac{82561,4}{3101530,0}$	+	$\frac{4149875}{654333565}$	+	$\frac{10475875,0}{1023895000}$	=	0,043
8 h _{1,rs} =	$\frac{82561,4}{3101530,0}$	+	$\frac{4149875}{654333565}$	+	$\frac{10475875,0}{1,0239E+09}$	=	0,043

$$\eta_{l,LM71} = \frac{N_{LM71,Ed}}{A \cdot f_y / \gamma_{M0}} + \frac{M_{y,LM71,Ed}}{W_{el,y} \cdot f_y / \gamma_{M0}} + \frac{M_{z,LM71,Ed}}{W_{el,z} \cdot f_y / \gamma_{M0}}$$

5 h _{1,LM71} =	$\frac{70086,8}{3101530,0}$	+	$\frac{20903493}{576881837}$	+	$\frac{2594916,4}{1,0239E+09}$	=	0,061
6 h _{1,LM71} =	$\frac{70086,8}{3101530,0}$	+	$\frac{20903493}{576881837}$	+	$\frac{2594916,4}{1023895000}$	=	0,061
7 h _{1,LM71} =	$\frac{70086,8}{3101530,0}$	+	$\frac{20903493}{654333565}$	+	$\frac{2594916,4}{1023895000}$	=	0,057
8 h _{1,LM71} =	$\frac{70086,8}{3101530,0}$	+	$\frac{20903493}{654333565}$	+	$\frac{2594916,4}{1,0239E+09}$	=	0,057

$$Z_{LM71}^2 \cdot (\eta_{1,LM71}^2 + \eta_{2,LM71}^2 - \eta_{1,LM71} \cdot \eta_{2,LM71} + 3 \cdot \eta_{3,LM71}^2) + \\ + Z_{LM71} \cdot (2 \cdot \eta_{1,rs} \cdot \eta_{1,LM71} + 2 \cdot \eta_{2,rs} \cdot \eta_{2,LM71} - \eta_{1,rs} \cdot \eta_{2,LM71} - \\ - \eta_{2,rs} \cdot \eta_{1,LM71} + 2 \cdot \eta_{3,rs} \cdot \eta_{3,LM71}) + \eta_{1,rs}^2 + \eta_{2,rs}^2 - \eta_{1,rs} \cdot \eta_{2,rs} + 3 \cdot \eta_{3,rs}^2 = 1$$

řešení kvadratické rovnice

vlákna

	a	b	c	D	Z _{LM71} =	
					x1	x2
5	0,08772	0,0416366	-0,974526	0,343660067	3,104	-3,579
6	0,08772	0,0416366	-0,974526	0,343660067	3,104	-3,579
7	0,08825	0,0416187	-0,9745504	0,345733814	3,096	-3,567
8	0,08825	0,0416187	-0,9745504	0,345733814	3,096	-3,567

Z_{LM71} = 3,10 zatížitelnost z pružné únosnosti stěny

Přepočet zatížitelnosti

Výpočet zatížitelnosti mostu v km 4,958

trati Rybník - Lipno

Vypracoval: Ing. Zdeněk Lakmayer



4.1.1 Podélník POD1 v místě maximální posouvající síly

Materiálové vlastnosti

druh oceli		ocel 37 do 25 mm vč.
$f_y =$	230 MPa	charakteristická mez kluzu
$f_{y,d} =$	230,0 MPa	návrhová mez kluzu
$f_{y,w,d} =$	230,0 MPa	návrhová pevnost ve smyku
$E =$	210000 MPa	modul pružnosti
$g_{M0} =$	1,00	
$g_{M1} =$	1,10	
$g_{M2} =$	1,25	

Geometrické vlastnosti

L	2100 mm	délka prutu v rozhodujícím směru
$L_f =$	6,300 m	náhradní délka dle tab. 6.2 ČSN EN 1991-2
$f =$	1,67	dynam. součinitel vypočtený
$f =$	1,67	dynam. součinitel dle omezení 6.4.5.2 ČSN EN 1991-2

Průřezové charakteristiky

$A =$	1,3198E+04 mm ²	plocha průřezu
$I_y =$	6,0143E+08 mm ⁴	moment setrvačnosti
$I_z =$	2,1785E+07 mm ⁴	moment setrvačnosti
$i_y =$	213,5 mm	poloměr setrvačnosti
$i_z =$	40,6 mm	poloměr setrvačnosti
$i_{\min} =$	40,6 mm	minimální poloměr setrvačnosti
$t =$	10 mm	tloušťka stojiny
$h_w =$	461 mm	výška stojiny účinná na smyk
$A_v =$	4610 mm ²	smyková plocha
$d =$	543 mm	celková výška průřezu
$z_h =$	278 mm	vzdálenost horních krajních vláken
$z_d =$	265 mm	vzdálenost dolních krajních vláken
$b_{\text{hor}} =$	50 mm	celková šířka horní pásnice
$b_{p,\text{hor}} =$	25 mm	vzdálenost pravých krajních vláken horní pásnice
$b_{l,\text{hor}} =$	25 mm	vzdálenost levých krajních vláken horní pásnice
$b_{\text{dol}} =$	200 mm	celková šířka dolní pásnice
$b_{p,\text{dol}} =$	100 mm	vzdálenost pravých krajních vláken dolní pásnice
$b_{l,\text{dol}} =$	100 mm	vzdálenost levých krajních vláken dolní pásnice

Přepočet zatížitelnosti

Výpočet zatížitelnosti mostu v km 4,958

trati Rybník - Lipno

Vypracoval: Ing. Zdeněk Lakmayer



$W_{y,H} = 2,1634E+06 \text{ mm}^3$	svislý průřezový modul k horním vláknům
$W_{y,D} = 2,2695E+06 \text{ mm}^3$	svislý průřezový modul k dolním vláknům
$W_{z,H,L} = 8,7140E+05 \text{ mm}^3$	vodorovný průřezový modul k levým horním vláknům
$W_{z,D,L} = 2,1785E+05 \text{ mm}^3$	vodorovný průřezový modul k levým dolním vláknům
$W_{z,H,P} = 8,7140E+05 \text{ mm}^3$	vodorovný průřezový modul k pravým horním vláknům
$W_{z,D,P} = 2,1785E+05 \text{ mm}^3$	vodorovný průřezový modul k pravým dolním vláknům

Vzpěr tlačенých prvků

vzpěrný tlak není uvažován

c	křivka vzpěrné pevnosti
a = 0,49	součinitel imperfekce
b = 1	součinitel vzpěrné délky
$L_{cr} = 2100 \text{ mm}$	kritická délka
I = 51,69	štíhlost
$I_1 = 94,93$	srovnávací štíhlost
$I_d = 0,545$	poměrná štíhlost
f = 0,733	
c = 1,000	

Ostatní součinitele

$m_m = 1,11$	součinitel vlivu excentricity
a = 1,00	klasifikační součinitel dle 6.3.2 (3)P ČSN EN 1991-2
x = 0,85	redukční součinitel pro nepříznivá stálá zatížení dle ČSN EN 1990/A1

Přepočet zatížitelnosti

Výpočet zatížitelnosti mostu v km 4,958

trati Rybník - Lipno

Vypracoval: Ing. Zdeněk Lakmayer



Rozhodující skupina zatížení
gr12

Kombinace zatížení dle výrazu
6.10b

ZS	Zatížení	g _f	y _o	gr12	Vnitřní síly charakteristické	Vnitřní síly návrhové
					V _z	V _z
					kN	kN
1	VI. tíha	1,0625	1	1	0,9	0,9
2	Ostatní stálé (nah. dlouhodobé)	1,0625	1	1	1,7	1,8
3	Rozjezdové a brzděné síly	1,3	1	0,5	13,7	8,9
4	Boční rázy (ostatní)	1,3	1	1	21,1	27,4
5	Vítr - celkový účinek	1,35	0,75	1	9,1	9,2
106	Nahod. krátkodobé (vlak, vozidla)	1,3	1	1	114,3	274,5

VÝPOČET ZATÍŽITELNOSTI ZE SMYKOVÉ SÍLY

$$V_{Ed} = Z_{LM71} \cdot V_{LM71,Ed} + V_{rs,Ed}$$

$$V_{Ed} = 322,8 \text{ kN}$$

Vliv boulení není třeba zahrnovat

$$V_{plRd} = 612,2 \text{ kN}$$

$$Z_{LM71} = (R_d - E_{rs,Ed}) / E_{LM71,Ed}$$

$$Z_{LM71} = \frac{612,2 - 48,27}{274,5}$$

$$Z_{LM71} = 2,05$$

Přepočet zatížitelnosti

Výpočet zatížitelnosti mostu v km 4,958

trati Rybník - Lipno

Vypracoval: Ing. Zdeněk Lakmayer



4.1.2 Podélník POD2 v místě maximálního svislého ohybového momentu

Materiálové vlastnosti

druh oceli	ocel 37 do 25 mm vč.	
$f_y =$	235 MPa	charakteristická mez kluzu
$f_{y,d} =$	235,0 MPa	návrhová mez kluzu
$f_{y,w,d} =$	235,0 MPa	návrhová pevnost ve smyku
$E =$	210000 MPa	modul pružnosti
$g_{M0} =$	1,00	
$g_{M1} =$	1,10	
$g_{M2} =$	1,25	

Geometrické vlastnosti

L	2100 mm	délka prutu v rozhodujícím směru
$L_f =$	6,300 m	náhradní délka dle tab. 6.2 ČSN EN 1991-2
$f =$	1,67	dynam. součinitel vypočtený
$f =$	1,67	dynam. součinitel dle omezení 6.4.5.2 ČSN EN 1991-2

Průřezové charakteristiky

$A =$	1,4718E+04 mm ²	plocha průřezu
$I_y =$	6,6274E+08 mm ⁴	moment setrvačnosti
$I_z =$	2,7119E+07 mm ⁴	moment setrvačnosti
$i_y =$	212,2 mm	poloměr setrvačnosti
$i_z =$	42,9 mm	poloměr setrvačnosti
$i_{\min} =$	42,9 mm	minimální poloměr setrvačnosti
$t =$	10 mm	tloušťka stojiny
$h_w =$	453 mm	výška stojiny účinná na smyk
$A_v =$	4530 mm ²	smyková plocha
$d =$	493 mm	celková výška průřezu
$z_h =$	206 mm	vzdálenost horních krajních vláken
$z_d =$	287 mm	vzdálenost dolních krajních vláken

Přepočet zatížitelnosti

Výpočet zatížitelnosti mostu v km 4,958

trati Rybník - Lipno

Vypracoval: Ing. Zdeněk Lakmayer



$b_{hor} =$	200 mm	celková šířka horní pásnice
$b_{p,hor} =$	100 mm	vzdálenost pravých krajních vláken horní pásnice
$b_{l,hor} =$	100 mm	vzdálenost levých krajních vláken horní pásnice
$b_{dol} =$	200 mm	celková šířka dolní pásnice
$b_{p,dol} =$	100 mm	vzdálenost pravých krajních vláken dolní pásnice
$b_{l,dol} =$	100 mm	vzdálenost levých krajních vláken dolní pásnice
$W_{y,H} =$	3,2172E+06 mm ³	svislý průřezový modul k horním vláknům
$W_{y,D} =$	2,3092E+06 mm ³	svislý průřezový modul k dolním vláknům
$W_{z,H,L} =$	2,7119E+05 mm ³	vodorovný průřezový modul k levým horním vláknům
$W_{z,D,L} =$	2,7119E+05 mm ³	vodorovný průřezový modul k levým dolním vláknům
$W_{z,H,P} =$	2,7119E+05 mm ³	vodorovný průřezový modul k pravým horním vláknům
$W_{z,D,P} =$	2,7119E+05 mm ³	vodorovný průřezový modul k pravým dolním vláknům

Vzpěr tlačných prvků

vzpěrný tlak je uvažován

c		křivka vzpěrné pevnosti
$a =$	0,49	součinitel imperfekce
$b =$	1	součinitel vzpěrné délky
$L_{cr} =$	2100 mm	kritická délka
$I =$	48,92	štíhlost
$I_1 =$	93,91	srovnávací štíhlost
$I_d =$	0,521	poměrná štíhlost
$f =$	0,714	
$c =$	0,831	

Ostatní součinitele

$m =$	1,11	součinitel vlivu excentricity
$a =$	1,00	klasifikační součinitel dle 6.3.2 (3)P ČSN EN 1991-2
$x =$	0,85	redukční součinitel pro nepříznivá stálá zatížení dle ČSN EN 1990/A1

Rozhodující skupina zatížení
gr12

Kombinace zatížení dle výrazu
6.10b

ZS	Zatížení	Gr	y o	gr12	Vnitřní síly			
					charakteristické			
					Vz kN	N kN	My kNm	Mz kNm
1	VI. tíha	1,0625	1	1	0,8	9,1	4,3	0,0
2	Ostatní stálé (nah. dlouhodobé)	1,0625	1	1	2,0	4,9	2,1	0,0
3	Rozjezdové a brzdné síly	1,3	1	0,5	13,7	-2,0	1,1	-0,5
4	Boční rázy (ostatní)	1,3	1	1	0,4	-52,9	2,4	-0,8
5	Vítr - celkový účinek	1,35	0,75	1	11,6	-39,1	0,5	0,4
106	Nahod. krátkodobé (vlak, vozidla)	1,3	1	1	10,7	102,7	51,3	-0,3

Přepočet zatížitelnosti

Výpočet zatížitelnosti mostu v km 4,958

trati Rybník - Lipno

Vypracoval: Ing. Zdeněk Lakmayer



Vnitřní síly			
návrhové			
Vz	N	My	Mz
kN	kN	kNm	kNm
0,8	9,6	4,6	0,0
2,2	5,2	2,2	0,0
8,9	-1,3	0,7	-0,3
0,5	-68,8	3,1	-1,1
11,7	-39,6	0,5	0,4
25,8	246,8	123,1	-0,6

Lokální břemeno		
síly	napětí	
Fz	charakt.	návrhové
kN	MPa	MPa
0,0	0,0	0,0
1,6	0,6	0,6
0,0	0,0	0,0
21,0	8,0	10,3
7,2	2,7	2,8
62,5	23,7	56,9

KROK 1 - OVĚŘENÍ PODMÍNKY A.2

Předpoklad $Z_{LM71}=1,0$

$$V_{Ed} = Z_{LM71} \cdot V_{LM71,Ed} + V_{rs,Ed}$$

$$V_{Ed} = 49,9 \text{ kN}$$

Vliv boulení není třeba zahrnovat

$$V_{pl,Rd} = 614,6 \text{ kN}$$

$$\eta_3 = \frac{V_{Ed}}{V_{pl,Rd}} \leq 0,5 \quad (\text{A.2})$$

$$h_3 = 0,081 \leq 0,5 \quad \text{podmínka (A.2) je splněna}$$

Přepočet zatížitelnosti

Výpočet zatížitelnosti mostu v km 4,958

trati Rybník - Lipno

Vypracoval: Ing. Zdeněk Lakmayer



KROK 2 - STANOVENÍ ZATÍŽITELNOSTI Z ROVNICE A.7

$$\eta_{l,rs} = \frac{N_{rs,Ed}}{A \cdot f_y / \gamma_{M0}} + \frac{M_{y,rs,Ed}}{W_{el,y} \cdot f_y / \gamma_{M0}} + \frac{M_{z,rs,Ed}}{W_{el,z} \cdot f_y / \gamma_{M0}} \quad Z_{LM71} = \frac{1 - \eta_{l,rs}}{\eta_{l,LM71}}$$

vlákna

						$Z_{LM71} =$
1 $h_{1,rs} =$	$\frac{94857,6}{2874942,7}$	+	$\frac{10959000,0}{542661672}$	+	$\frac{1019250,0}{63729650}$	= 0,069 2,89
2 $h_{1,rs} =$	$\frac{94857,6}{2874942,7}$	+	$\frac{10959000,0}{542661672}$	+	$\frac{1019250,0}{63729650}$	= 0,069 2,89
3 $h_{1,rs} =$	$\frac{94857,6}{2874942,7}$	+	$\frac{10959000}{756038350}$	+	$\frac{1019250,0}{63729650}$	= 0,063 3,63
4 $h_{1,rs} =$	$\frac{94857,6}{2874942,7}$	+	$\frac{10959000}{756038350}$	+	$\frac{1019250,0}{63729650}$	= 0,063 3,63

$$\eta_{l,LM71} = \frac{N_{LM71,Ed}}{A \cdot f_y / \gamma_{M0}} + \frac{M_{y,LM71,Ed}}{W_{el,y} \cdot f_y / \gamma_{M0}} + \frac{M_{z,LM71,Ed}}{W_{el,z} \cdot f_y / \gamma_{M0}}$$

1 $h_{1,LM71} =$	$\frac{246829,4}{2874942,7}$	+	$\frac{123138392}{542661672}$	+	$\frac{600675,1}{63729650}$	= 0,322
2 $h_{1,LM71} =$	$\frac{246829,4}{2874942,7}$	+	$\frac{123138392}{542661672}$	+	$\frac{600675,1}{63729650}$	= 0,322
3 $h_{1,LM71} =$	$\frac{246829,4}{2874942,7}$	+	$\frac{123138392}{756038350}$	+	$\frac{600675,1}{63729650}$	= 0,258
4 $h_{1,LM71} =$	$\frac{246829,4}{2874942,7}$	+	$\frac{123138392}{756038350}$	+	$\frac{600675,1}{63729650}$	= 0,258

$Z_{LM71} =$ 2,89 z napětí v dolních levých vláknech

KROK 3 - ZNOVUOVĚŘENÍ PODMÍNKY A.2

$$V_{Ed} = Z_{LM71} \cdot V_{LM71,Ed} + V_{rs,Ed}$$

$$V_{Ed} = 98,7 \text{ kN}$$

Vliv boulení není třeba zahrnovat

$$V_{plRd} = 614,6 \text{ kN}$$

$$h_3 = 0,161 \leq 0,5 \quad \text{Podmínka A.2 je splněna.}$$

Přepočet zatížitelnosti

Výpočet zatížitelnosti mostu v km 4,958

trati Rybník - Lipno

Vypracoval: Ing. Zdeněk Lakmayer



Účinky lokálního zatížení

$P = 150,2 \text{ kN}$

$a_{zh} = 20 \text{ mm}$

$t = 10 \text{ mm}$

$c = 280 \text{ mm}$

$S_{z,LM71,Ed} = 53,6 \text{ MPa}$

$$\eta_{2,LM71} = \frac{\sigma_{z,LM71,Ed}}{f_y / \gamma_{M0}}$$

$h_{2,LM71} = 0,228 \quad (A.17)$

$h_{2,rs} = 0,055 \quad (A.18)$

$$Z_{LM71} = \frac{1 - \eta_{2,rs}}{\eta_{2,LM71}}$$

$Z_{LM71} = 4,14 \quad (A.16)$

vzdálenost horních krčních nýtů / svarů od krajních vláken

Interakce účinku spolu s namáháním ohybovým momentem a osovou silou

1 $Z_{LM71} = 2,65$

2 $Z_{LM71} = 2,65$

3 $Z_{LM71} = 2,98$

4 $Z_{LM71} = 2,98$

$$Z_{LM71} = \frac{1,4 - (\eta_{2,rs} + 0,8\eta_{1,rs})}{\eta_{2,LM71} + 0,8\eta_{1,LM71}}$$

$Z_{LM71} = 2,65 \quad (A.19)$

Vyšetřování napětí po průřezu

Napětí charakteristické												
zs	horní okraj						dolní okraj					
	N/A	My/Wy	Mz/Wzl	Mz/Wzp	celkem L	celkem P	N/A	My/Wy	Mz/Wzl	Mz/Wzp	celkem L	celkem P
	S_h MPa						S_d MPa					
1	0,6	-1,3	0,0	0,0	-0,7	-0,7	0,6	1,9	0,0	0,0	2,5	2,5
2	0,3	-0,6	0,0	0,0	-0,3	-0,3	0,3	0,9	0,0	0,0	1,2	1,2
3	-0,1	-0,3	-1,9	-1,9	-2,4	-2,4	-0,1	0,5	-1,9	-1,9	-1,6	-1,6
4	-3,6	-0,7	-3,0	-3,0	-7,3	-7,3	-3,6	1,0	-3,0	-3,0	-5,6	-5,6
5	-2,7	-0,1	1,4	1,4	-1,4	-1,4	-2,7	0,2	1,4	1,4	-1,1	-1,1
141	0,0	0,0	0,0	0,0	0,0	0,0	0,0	0,0	0,0	0,0	0,0	0,0
126	0,0	0,0	0,0	0,0	0,0	0,0	0,0	0,0	0,0	0,0	0,0	0,0
106	7,0	-15,9	-0,9	-0,9	-9,9	-9,9	7,0	22,2	-0,9	-0,9	28,3	28,3

Napětí návrhové												
zs	horní okraj						dolní okraj					
	N/A	My/Wy	Mz/Wzl	Mz/Wzp	celkem L	celkem P	N/A	My/Wy	Mz/Wzl	Mz/Wzp	celkem L	celkem P
	S_h MPa						S_d MPa					
1	0,8	-1,4	0,0	0,0	-0,6	-0,6	0,8	2,0	0,0	0,0	2,8	2,8
2	0,4	-0,7	0,0	0,0	-0,3	-0,3	0,4	0,9	0,0	0,0	1,4	1,4
3	-0,1	-0,2	-1,2	-1,2	-1,6	-1,6	-0,1	0,3	-1,2	-1,2	-1,0	-1,0
4	-5,6	-0,9	-3,9	-3,9	-10,5	-10,5	-5,6	1,3	-3,9	-3,9	-8,2	-8,2
5	-3,2	-0,1	1,4	1,4	-2,0	-2,0	-3,2	0,2	1,4	1,4	-1,6	-1,6
141	0,0	0,0	0,0	0,0	0,0	0,0	0,0	0,0	0,0	0,0	0,0	0,0
126	0,0	0,0	0,0	0,0	0,0	0,0	0,0	0,0	0,0	0,0	0,0	0,0
106	20,2	-38,3	-2,2	-2,2	-20,3	-20,3	20,2	53,3	-2,2	-2,2	71,3	71,3

Přepočet zatížitelnosti

Výpočet zatížitelnosti mostu v km 4,958

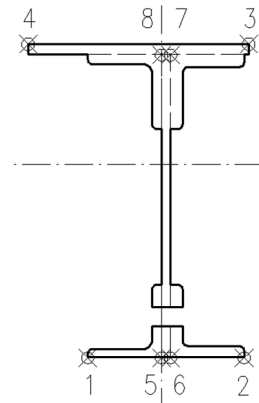
trati Rybník - Lipno

Vypracoval: Ing. Zdeněk Lakmayer



Ověření pružné únosnosti stěny

d =	493 mm	celková výška průřezu
zh =	186 mm	vzdálenost horních krajních vláken stěny od těžiště
zd =	267 mm	vzdálenost dolních krajních vláken stěny od těžiště
b _{hor} =	10 mm	celková šířka stěny
b _{p,hor} =	5 mm	vzdálenost pravých krajních vláken
b _{l,hor} =	5 mm	vzdálenost levých krajních vláken
W _{y,H} =	3,5631E+06 mm ³	svislý průřezový modul k horním vláknům
W _{y,D} =	2,4822E+06 mm ³	svislý průřezový modul k dolním vláknům
W _{z,L} =	5,4238E+06 mm ³	vodorovný průřezový modul k levým vláknům
W _{z,P} =	5,4238E+06 mm ³	vodorovný průřezový modul k pravým horním vláknům



$$\eta_{l,rs} = \frac{N_{rs,Ed}}{A \cdot f_y / \gamma_{M0}} + \frac{M_{y,rs,Ed}}{W_{el,y} \cdot f_y / \gamma_{M0}} + \frac{M_{z,rs,Ed}}{W_{el,z} \cdot f_y / \gamma_{M0}}$$

vlákna

5 h _{1,rs} =	$\frac{94857,6}{2874942,7}$	+	$\frac{10959000,0}{583310487}$	+	$\frac{1019250,0}{1,2746E+09}$	=	0,053
6 h _{1,rs} =	$\frac{94857,6}{2874942,7}$	+	$\frac{10959000,0}{583310487}$	+	$\frac{1019250,0}{1274593000}$	=	0,053
7 h _{1,rs} =	$\frac{94857,6}{2874942,7}$	+	$\frac{10959000}{837332796}$	+	$\frac{1019250,0}{1274593000}$	=	0,047
8 h _{1,rs} =	$\frac{94857,6}{2874942,7}$	+	$\frac{10959000}{837332796}$	+	$\frac{1019250,0}{1,2746E+09}$	=	0,047

$$\eta_{l,LM71} = \frac{N_{LM71,Ed}}{A \cdot f_y / \gamma_{M0}} + \frac{M_{y,LM71,Ed}}{W_{el,y} \cdot f_y / \gamma_{M0}} + \frac{M_{z,LM71,Ed}}{W_{el,z} \cdot f_y / \gamma_{M0}}$$

5 h _{1,LM71} =	$\frac{246829,4}{2874942,7}$	+	$\frac{123138392}{583310487}$	+	$\frac{600675,1}{1,2746E+09}$	=	0,297
6 h _{1,LM71} =	$\frac{246829,4}{2874942,7}$	+	$\frac{123138392}{583310487}$	+	$\frac{600675,1}{1274593000}$	=	0,297
7 h _{1,LM71} =	$\frac{246829,4}{2874942,7}$	+	$\frac{123138392}{837332796}$	+	$\frac{600675,1}{1274593000}$	=	0,233
8 h _{1,LM71} =	$\frac{246829,4}{2874942,7}$	+	$\frac{123138392}{837332796}$	+	$\frac{600675,1}{1,2746E+09}$	=	0,233

$$Z_{LM71}^2 \cdot (\eta_{1,LM71}^2 + \eta_{2,LM71}^2 - \eta_{1,LM71} \cdot \eta_{2,LM71} + 3 \cdot \eta_{3,LM71}^2) + \\ + Z_{LM71} \cdot (2 \cdot \eta_{1,rs} \cdot \eta_{1,LM71} + 2 \cdot \eta_{2,rs} \cdot \eta_{2,LM71} - \eta_{1,rs} \cdot \eta_{2,LM71} - \\ - \eta_{2,rs} \cdot \eta_{1,LM71} + 2 \cdot \eta_{3,rs} \cdot \eta_{3,LM71}) + \eta_{1,rs}^2 + \eta_{2,rs}^2 - \eta_{1,rs} \cdot \eta_{2,rs} + 3 \cdot \eta_{3,rs}^2 = 1$$

řešení kvadratické rovnice

vlákna	a	b	c	D	Z _{LM71} =	
					x1	x2
5	0,08035	0,0331	-0,992271	0,320004588	3,314	-3,726
6	0,08035	0,0331	-0,992271	0,320004588	3,314	-3,726
7	0,06186	0,0288325	-0,9925043	0,246397021	3,779	-4,246
8	0,06186	0,0288325	-0,9925043	0,246397021	3,779	-4,246
					3,31	
Z _{LM71} =	3,31 zatížitelnost z pružné únosnosti stěny					

Přepočet zatížitelnosti

Výpočet zatížitelnosti mostu v km 4,958

trati Rybník - Lipno

Vypracoval: Ing. Zdeněk Lakmayer



4.1.3 Podélník POD2 v místě maximálního vodorovného ohybového momentu

Průřezové charakteristiky

A =	1,4718E+04 mm ²	plocha průřezu
I _y =	6,6274E+08 mm ⁴	moment setrvačnosti
I _z =	2,7119E+07 mm ⁴	moment setrvačnosti
i _y =	212,2 mm	poloměr setrvačnosti
i _z =	42,9 mm	poloměr setrvačnosti
i _{min} =	42,9 mm	minimální poloměr setrvačnosti
t =	10 mm	tloušťka stojiny
h _w =	453 mm	výška stojiny účinná na smyk
Av =	4530 mm ²	smyková plocha
d =	493 mm	celková výška průřezu
zh =	206 mm	vzdálenost horních krajních vláken
zd =	287 mm	vzdálenost dolních krajních vláken
b _{hor} =	200 mm	celková šířka horní pásnice
b _{p,hor} =	100 mm	vzdálenost pravých krajních vláken horní pásnice
b _{l,hor} =	100 mm	vzdálenost levých krajních vláken horní pásnice
b _{dol} =	200 mm	celková šířka dolní pásnice
b _{p,dol} =	100 mm	vzdálenost pravých krajních vláken dolní pásnice
b _{l,dol} =	100 mm	vzdálenost levých krajních vláken dolní pásnice
W _{y,H} =	3,2172E+06 mm ³	svislý průřezový modul k horním vláknům
W _{y,D} =	2,3092E+06 mm ³	svislý průřezový modul k dolním vláknům
W _{z,H,L} =	2,7119E+05 mm ³	vodorovný průřezový modul k levým horním vláknům
W _{z,D,L} =	2,7119E+05 mm ³	vodorovný průřezový modul k levým dolním vláknům
W _{z,H,P} =	2,7119E+05 mm ³	vodorovný průřezový modul k pravým horním vláknům
W _{z,D,P} =	2,7119E+05 mm ³	vodorovný průřezový modul k pravým dolním vláknům

Přepočet zatížitelnosti

Výpočet zatížitelnosti mostu v km 4,958

trati Rybník - Lipno

Vypracoval: Ing. Zdeněk Lakmayer



Vzpěr tlačných prvků

vzpěrný tlak je uvažován

c		křivka vzpěrné pevnosti
a =	0,49	součinitel imperfekce
b =	1	součinitel vzpěrné délky
L_{cr} =	2100 mm	kritická délka
I =	48,92	štíhlost
I_1 =	93,91	srovnávací štíhlost
I_d =	0,521	poměrná štíhlost
f =	0,714	
c =	0,831	

Ostatní součinitele

m_M =	1,11	součinitel vlivu excentricity
a =	1,00	klasifikační součinitel dle 6.3.2 (3)P ČSN EN 1991-2
x =	0,85	redukční součinitel pro nepříznivá stálá zatížení dle ČSN EN 1990/A1

Rozhodující skupina zatížení
gr11

Kombinace zatížení dle výrazu
6.10b

ZS	Zatížení	Gr	y o	gr11	Vnitřní síly			
					charakteristické			
					Vz kN	N kN	My kNm	Mz kNm
1	VI. tíha	1,0625	1	1	1,2	7,1	3,1	0,1
2	Ostatní stálé (nah. dlouhodobé)	1,0625	1	1	1,6	4,0	1,1	0,1
3	Rozjezdové a brzdné síly	1,3	1	1	15,2	21,4	2,2	1,1
4	Boční rázy (ostatní)	1,3	1	0,5	1,5	32,3	4,8	0,0
5	Vítr - celkový účinek	1,35	0,75	1	8,9	33,4	3,3	0,5
108	Nahod. krátkodobé (vlak, vozidla)	1,3	1	1	66,6	80,3	12,4	1,7

Vnitřní síly			
návrhové			
Vz	N	My	Mz
kN	kN	kNm	kNm
1,2	7,5	3,2	0,1
1,7	4,2	1,2	0,1
19,8	27,8	2,9	1,4
1,0	21,0	3,1	0,0
9,1	33,8	3,3	0,5
160,1	192,9	29,7	4,0

Lokální břemeno		
síly	napětí	
Fz	charakt.	návrhové
kN	MPa	MPa
0,0	0,0	0,0
1,6	0,6	0,6
0,0	0,0	0,0
21,0	8,0	5,2
7,2	2,7	2,8
62,5	23,7	56,9

Přepočet zatížitelnosti

Výpočet zatížitelnosti mostu v km 4,958

trati Rybník - Lipno

Vypracoval: Ing. Zdeněk Lakmayer



KROK 1 - OVĚŘENÍ PODMÍNKY A.2

Předpoklad $Z_{LM71}=1,0$

$$V_{Ed} = Z_{LM71} \cdot V_{LM71,Ed} + V_{rs,Ed}$$

$$V_{Ed} = 192,8 \text{ kN}$$

Vliv boulení není třeba zahrnovat

$$V_{pl,Rd} = 614,6 \text{ kN}$$

$$\eta_3 = \frac{V_{Ed}}{V_{pl,Rd}} \leq 0,5 \quad (A.2)$$

$$h_3 = 0,314 \leq 0,5 \quad \text{podmínka (A.2) je splněna}$$

KROK 2 - STANOVENÍ ZATÍŽITELNOSTI Z ROVNICE A.7

$$\eta_{l,rs} = \frac{N_{rs,Ed}}{A \cdot f_y / \gamma_{M0}} + \frac{M_{y,rs,Ed}}{W_{el,y} \cdot f_y / \gamma_{M0}} + \frac{M_{z,rs,Ed}}{W_{el,z} \cdot f_y / \gamma_{M0}} \quad Z_{LM71} = \frac{1 - \eta_{l,rs}}{\eta_{l,LM71}}$$

vlákna

						$Z_{LM71} =$
1 $h_{1,rs} =$	$\frac{94239,6}{2874942,7}$	+	$\frac{13757125,0}{542661672}$	+	$\frac{2116000,0}{63729650}$	= 0,091 4,93
2 $h_{1,rs} =$	$\frac{94239,6}{2874942,7}$	+	$\frac{13757125,0}{542661672}$	+	$\frac{2116000,0}{63729650}$	= 0,091 4,93
3 $h_{1,rs} =$	$\frac{94239,6}{2874942,7}$	+	$\frac{13757125}{756038350}$	+	$\frac{2116000,0}{63729650}$	= 0,084 5,42
4 $h_{1,rs} =$	$\frac{94239,6}{2874942,7}$	+	$\frac{13757125}{756038350}$	+	$\frac{2116000,0}{63729650}$	= 0,084 5,42

$$\eta_{l,LM71} = \frac{N_{LM71,Ed}}{A \cdot f_y / \gamma_{M0}} + \frac{M_{y,LM71,Ed}}{W_{el,y} \cdot f_y / \gamma_{M0}} + \frac{M_{z,LM71,Ed}}{W_{el,z} \cdot f_y / \gamma_{M0}}$$

1 $h_{1,LM71} =$	$\frac{192936,8}{2874942,7}$	+	$\frac{29697376}{542661672}$	+	$\frac{3988482,6}{63729650}$	= 0,184
2 $h_{1,LM71} =$	$\frac{192936,8}{2874942,7}$	+	$\frac{29697376}{542661672}$	+	$\frac{3988482,6}{63729650}$	= 0,184
3 $h_{1,LM71} =$	$\frac{192936,8}{2874942,7}$	+	$\frac{29697376}{756038350}$	+	$\frac{3988482,6}{63729650}$	= 0,169
4 $h_{1,LM71} =$	$\frac{192936,8}{2874942,7}$	+	$\frac{29697376}{756038350}$	+	$\frac{3988482,6}{63729650}$	= 0,169

$$Z_{LM71} = 4,93 \text{ z napětí v dolních levých vláknech}$$

Přepočet zatížitelnosti

Výpočet zatížitelnosti mostu v km 4,958

trati Rybník - Lipno

Vypracoval: Ing. Zdeněk Lakmayer



Účinky lokálního zatížení

$P = 150,2 \text{ kN}$

$a_{zh} = 20 \text{ mm}$

$t = 10 \text{ mm}$

$c = 280 \text{ mm}$

$S_{z,LM71,Ed} = 53,6 \text{ MPa}$

$$\eta_{2,LM71} = \frac{\sigma_{z,LM71,Ed}}{f_y / \gamma_{M0}}$$

$h_{2,LM71} = 0,228 \quad (A.17)$

$h_{2,rs} = 0,034 \quad (A.18)$

$$Z_{LM71} = \frac{1 - \eta_{2,rs}}{\eta_{2,LM71}}$$

$Z_{LM71} = 4,23 \quad (A.16)$

vzdálenost horních krčních nýtů / svarů od krajních vláken

Interakce účinku spolu s namáháním ohybovým momentem a osovou silou

1 $Z_{LM71} = 3,44$

2 $Z_{LM71} = 3,44$

3 $Z_{LM71} = 3,57$

4 $Z_{LM71} = 3,57$

$$Z_{LM71} = \frac{1,4 - (\eta_{2,rs} + 0,8\eta_{1,rs})}{\eta_{2,LM71} + 0,8\eta_{1,LM71}}$$

$Z_{LM71} = 3,44 \quad (A.19)$

Vyšetřování napětí po průřezu

Napětí charakteristické												
zs	horní okraj						dolní okraj					
	N/A	My/Wy	Mz/Wzl	Mz/Wzp	celkem L	celkem P	N/A	My/Wy	Mz/Wzl	Mz/Wzp	celkem L	celkem P
	S_h MPa						S_d MPa					
1	0,5	-0,9	0,5	0,5	0,0	0,0	0,5	1,3	0,5	0,5	2,3	2,3
2	0,3	-0,3	0,3	0,3	0,2	0,2	0,3	0,5	0,3	0,3	1,0	1,0
3	1,5	-0,7	4,0	4,0	4,8	4,8	1,5	1,0	4,0	4,0	6,4	6,4
4	2,2	-1,5	0,0	0,0	0,7	0,7	2,2	2,1	0,0	0,0	4,3	4,3
5	2,3	-1,0	1,7	1,7	3,0	3,0	2,3	1,4	1,7	1,7	5,4	5,4
141	0,0	0,0	0,0	0,0	0,0	0,0	0,0	0,0	0,0	0,0	0,0	0,0
128	0,0	0,0	0,0	0,0	0,0	0,0	0,0	0,0	0,0	0,0	0,0	0,0
108	5,5	-3,8	6,1	6,1	7,7	7,7	5,5	5,4	6,1	6,1	16,9	16,9

Napětí návrhové												
zs	horní okraj						dolní okraj					
	N/A	My/Wy	Mz/Wzl	Mz/Wzp	celkem L	celkem P	N/A	My/Wy	Mz/Wzl	Mz/Wzp	celkem L	celkem P
	S_h MPa						S_d MPa					
1	0,6	-1,0	0,5	0,5	0,1	0,1	0,6	1,4	0,5	0,5	2,5	2,5
2	0,3	-0,4	0,3	0,3	0,3	0,3	0,3	0,5	0,3	0,3	1,2	1,2
3	2,3	-0,9	5,2	5,2	6,6	6,6	2,3	1,2	5,2	5,2	8,7	8,7
4	1,7	-1,0	0,0	0,0	0,7	0,7	1,7	1,4	0,0	0,0	3,1	3,1
5	2,8	-1,0	1,8	1,8	3,5	3,5	2,8	1,4	1,8	1,8	6,0	6,0
141	0,0	0,0	0,0	0,0	0,0	0,0	0,0	0,0	0,0	0,0	0,0	0,0
128	0,0	0,0	0,0	0,0	0,0	0,0	0,0	0,0	0,0	0,0	0,0	0,0
108	15,8	-9,2	14,7	14,7	21,2	21,2	15,8	12,9	14,7	14,7	43,3	43,3

Přepočet zatížitelnosti

Výpočet zatížitelnosti mostu v km 4,958

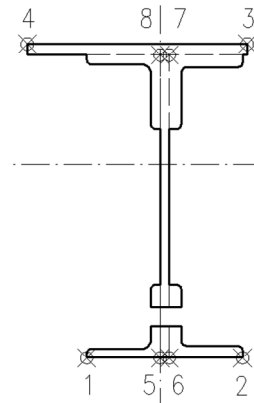
trati Rybník - Lipno

Vypracoval: Ing. Zdeněk Lakmayer



Ověření pružné únosnosti stěny

d =	493 mm	celková výška průřezu
zh =	186 mm	vzdálenost horních krajních vláken stěny od těžiště
zd =	267 mm	vzdálenost dolních krajních vláken stěny od těžiště
b _{hor} =	10 mm	celková šířka stěny
b _{p,hor} =	5 mm	vzdálenost pravých krajních vláken
b _{l,hor} =	5 mm	vzdálenost levých krajních vláken
W _{y,H} =	3,5631E+06 mm ³	svislý průřezový modul k horním vláknům
W _{y,D} =	2,4822E+06 mm ³	svislý průřezový modul k dolním vláknům
W _{z,L} =	5,4238E+06 mm ³	vodorovný průřezový modul k levým vláknům
W _{z,P} =	5,4238E+06 mm ³	vodorovný průřezový modul k pravým horním vláknům



$$\eta_{l,rs} = \frac{N_{rs,Ed}}{A \cdot f_y / \gamma_{M0}} + \frac{M_{y,rs,Ed}}{W_{el,y} \cdot f_y / \gamma_{M0}} + \frac{M_{z,rs,Ed}}{W_{el,z} \cdot f_y / \gamma_{M0}}$$

vlákna

5 h _{1,rs} =	$\frac{94239,6}{2874942,7}$	+	$\frac{13757125,0}{583310487}$	+	$\frac{2116000,0}{1,2746E+09}$	=	0,058
6 h _{1,rs} =	$\frac{94239,6}{2874942,7}$	+	$\frac{13757125,0}{583310487}$	+	$\frac{2116000,0}{1274593000}$	=	0,058
7 h _{1,rs} =	$\frac{94239,6}{2874942,7}$	+	$\frac{13757125}{837332796}$	+	$\frac{2116000,0}{1274593000}$	=	0,051
8 h _{1,rs} =	$\frac{94239,6}{2874942,7}$	+	$\frac{13757125}{837332796}$	+	$\frac{2116000,0}{1,2746E+09}$	=	0,051

$$\eta_{l,LM71} = \frac{N_{LM71,Ed}}{A \cdot f_y / \gamma_{M0}} + \frac{M_{y,LM71,Ed}}{W_{el,y} \cdot f_y / \gamma_{M0}} + \frac{M_{z,LM71,Ed}}{W_{el,z} \cdot f_y / \gamma_{M0}}$$

5 h _{1,LM71} =	$\frac{192936,8}{2874942,7}$	+	$\frac{29697376}{583310487}$	+	$\frac{3988482,6}{1,2746E+09}$	=	0,121
6 h _{1,LM71} =	$\frac{192936,8}{2874942,7}$	+	$\frac{29697376}{583310487}$	+	$\frac{3988482,6}{1274593000}$	=	0,121
7 h _{1,LM71} =	$\frac{192936,8}{2874942,7}$	+	$\frac{29697376}{837332796}$	+	$\frac{3988482,6}{1274593000}$	=	0,106
8 h _{1,LM71} =	$\frac{192936,8}{2874942,7}$	+	$\frac{29697376}{837332796}$	+	$\frac{3988482,6}{1,2746E+09}$	=	0,106

$$Z_{LM71}^2 \cdot (\eta_{1,LM71}^2 + \eta_{2,LM71}^2 - \eta_{1,LM71} \cdot \eta_{2,LM71} + 3 \cdot \eta_{3,LM71}^2) + \\ + Z_{LM71} \cdot (2 \cdot \eta_{1,rs} \cdot \eta_{1,LM71} + 2 \cdot \eta_{2,rs} \cdot \eta_{2,LM71} - \eta_{1,rs} \cdot \eta_{2,LM71} - \\ - \eta_{2,rs} \cdot \eta_{1,LM71} + 2 \cdot \eta_{3,rs} \cdot \eta_{3,LM71}) + \eta_{1,rs}^2 + \eta_{2,rs}^2 - \eta_{1,rs} \cdot \eta_{2,rs} + 3 \cdot \eta_{3,rs}^2 = 1$$

řešení kvadratické rovnice

vlákna	a	b	c	D	Z _{LM71} =	
					x1	x2
5	0,24265	0,0428681	-0,9889444	0,961717422	1,932	-2,109
6	0,24265	0,0428681	-0,9889444	0,961717422	1,932	-2,109
7	0,24267	0,0417279	-0,9894771	0,962221383	1,935	-2,107
8	0,24267	0,0417279	-0,9894771	0,962221383	1,935	-2,107
					1,93	
Z _{LM71} =	1,93 zatížitelnost z pružné únosnosti stěny					

Přepočet zatížitelnosti

Výpočet zatížitelnosti mostu v km 4,958

trati Rybník - Lipno

Vypracoval: Ing. Zdeněk Lakmayer



4.1.1 Podélník POD2 v místě maximální posouvající síly

Materiálové vlastnosti

druh oceli		ocel 37 do 25 mm vč.
$f_y =$	230 MPa	charakteristická mez kluzu
$f_{y,d} =$	230,0 MPa	návrhová mez kluzu
$f_{y,w,d} =$	230,0 MPa	návrhová pevnost ve smyku
$E =$	210000 MPa	modul pružnosti
$g_{M0} =$	1,00	
$g_{M1} =$	1,10	
$g_{M2} =$	1,25	

Geometrické vlastnosti

L	2100 mm	délka prutu v rozhodujícím směru
$L_f =$	6,300 m	náhradní délka dle tab. 6.2 ČSN EN 1991-2
$f =$	1,67	dynam. součinitel vypočtený
$f =$	1,67	dynam. součinitel dle omezení 6.4.5.2 ČSN EN 1991-2

Průřezové charakteristiky

$A =$	1,4718E+04 mm ²	plocha průřezu
$I_y =$	6,6274E+08 mm ⁴	moment setrvačnosti
$I_z =$	2,7119E+07 mm ⁴	moment setrvačnosti
$i_y =$	212,2 mm	poloměr setrvačnosti
$i_z =$	42,9 mm	poloměr setrvačnosti
$i_{min} =$	42,9 mm	minimální poloměr setrvačnosti
$t =$	10 mm	tloušťka stojiny
$h_w =$	453 mm	výška stojiny účinná na smyk
$A_v =$	4530 mm ²	smyková plocha
$d =$	543 mm	celková výška průřezu
$z_h =$	256 mm	vzdálenost horních krajních vláken
$z_d =$	287 mm	vzdálenost dolních krajních vláken

Přepočet zatížitelnosti

Výpočet zatížitelnosti mostu v km 4,958

trati Rybník - Lipno

Vypracoval: Ing. Zdeněk Lakmayer



$b_{hor} =$	50 mm	celková šířka horní pásnice
$b_{p,hor} =$	25 mm	vzdálenost pravých krajních vláken horní pásnice
$b_{l,hor} =$	25 mm	vzdálenost levých krajních vláken horní pásnice
$b_{dol} =$	200 mm	celková šířka dolní pásnice
$b_{p,dol} =$	100 mm	vzdálenost pravých krajních vláken dolní pásnice
$b_{l,dol} =$	100 mm	vzdálenost levých krajních vláken dolní pásnice
$W_{y,H} =$	2,5888E+06 mm ³	svislý průřezový modul k horním vláknům
$W_{y,D} =$	2,3092E+06 mm ³	svislý průřezový modul k dolním vláknům
$W_{z,H,L} =$	1,0848E+06 mm ³	vodorovný průřezový modul k levým horním vláknům
$W_{z,D,L} =$	2,7119E+05 mm ³	vodorovný průřezový modul k levým dolním vláknům
$W_{z,H,P} =$	1,0848E+06 mm ³	vodorovný průřezový modul k pravým horním vláknům
$W_{z,D,P} =$	2,7119E+05 mm ³	vodorovný průřezový modul k pravým dolním vláknům

Vzpěr tlačných prvků

vzpěrný tlak není uvažován

c		křivka vzpěrné pevnosti
$a =$	0,49	součinitel imperfekce
$b =$	1	součinitel vzpěrné délky
$L_{cr} =$	2100 mm	kritická délka
$I =$	48,92	štíhlost
$I_1 =$	94,93	srovnávací štíhlost
$I_d =$	0,515	poměrná štíhlost
$f =$	0,710	
$c =$	1,000	

Ostatní součinitele

$m_M =$	1,11	součinitel vlivu excentricity
$a =$	1,00	klasifikační součinitel dle 6.3.2 (3)P ČSN EN 1991-2
$x =$	0,85	redukční součinitel pro nepříznivá stálá zatížení dle ČSN EN 1990/A1

Přepočet zatížitelnosti

Výpočet zatížitelnosti mostu v km 4,958

trati Rybník - Lipno

Vypracoval: Ing. Zdeněk Lakmayer



Rozhodující skupina zatížení
gr12

Kombinace zatížení dle výrazu
6.10b

ZS	Zatížení	g _f	y _o	gr12	Vnitřní síly charakteristické	Vnitřní síly návrhové
					V _z	V _z
					kN	kN
1	VI. tíha	1,0625	1	1	1,2	1,3
2	Ostatní stálé (nah. dlouhodobé)	1,0625	1	1	2,5	2,7
3	Rozjezdové a brzděné síly	1,3	1	0,5	13,7	8,9
4	Boční rázy (ostatní)	1,3	1	1	21,1	27,4
5	Vítr - celkový účinek	1,35	0,75	1	13,6	13,7
109	Nahod. krátkodobé (vlak, vozidla)	1,3	1	1	145,9	350,6

VÝPOČET ZATÍŽITELNOSTI ZE SMYKOVÉ SÍLY

$$V_{Ed} = Z_{LM71} \cdot V_{LM71,Ed} + V_{rs,Ed}$$

$$V_{Ed} = 404,6 \text{ kN}$$

Vliv boulení není třeba zahrnovat

$$V_{plRd} = 601,5 \text{ kN}$$

$$Z_{LM71} = (R_d - E_{rs,Ed}) / E_{LM71,Ed}$$

$$Z_{LM71} = \frac{601,5 - 53,98}{350,6}$$

$$Z_{LM71} = 1,56$$

Přepočet zatížitelnosti

Výpočet zatížitelnosti mostu v km 4,958

trati Rybník - Lipno

Vypracoval: Ing. Zdeněk Lakmayer



4.1.2 Podélník POD1 ve 4. (zkráceném) poli v místě maximálního svislého ohybového momentu

Materiálové a průřezové charakteristiky jsou stejné jako v běžném poli.

Geometrické vlastnosti

L	1050 mm	délka prutu v rozhodujícím směru
L _f =	3,150 m	náhradní délka dle tab. 6.2 ČSN EN 1991-2
f =	2,10	dynam. součinitel vypočtený
f =	2,00	dynam. součinitel dle omezení 6.4.5.2 ČSN EN 1991-2

Vzpěr tlačných prvků

vzpěrný tlak je uvažován

c		křivka vzpěrné pevnosti
a =	0,49	součinitel imperfekce
b =	1	součinitel vzpěrné délky
L _{cr} =	1050 mm	kritická délka
I =	25,84	štíhlost
I ₁ =	93,91	srovnávací štíhlost
I _d =	0,275	poměrná štíhlost
f =	0,556	
c =	0,962	

Ostatní součinitele

m _M =	1,11	součinitel vlivu excentricity
a =	1,00	klasifikační součinitel dle 6.3.2 (3)P ČSN EN 1991-2
x =	0,85	redukční součinitel pro nepříznivá stálá zatížení dle ČSN EN 1990/A1

Rozhodující skupina zatížení
gr12

Kombinace zatížení dle výrazu
6.10b

ZS	Zatížení	Gr	y o	gr12	Vnitřní síly			
					charakteristické			
					Vz kN	N kN	My kNm	Mz kNm
1	VI. tíha	1,0625	1	1	0,6	7,0	3,3	0,0
2	Ostatní stálé (nah. dlouhodobé)	1,0625	1	1	0,3	3,9	1,4	0,0
3	Rozjezdové a brzděné síly	1,3	1	0,5	9,5	7,8	0,4	0,0
4	Boční rázy (ostatní)	1,3	1	1	9,3	-69,1	7,5	-3,6
5	Vítr - celkový účinek	1,35	0,75	1	1,5	-29,9	1,2	-0,4
107	Nahod. krátkodobé (vlak, vozidla)	1,3	1	1	66,6	80,0	43,2	-0,2

Přepočet zatížitelnosti

Výpočet zatížitelnosti mostu v km 4,958

trati Rybník - Lipno

Vypracoval: Ing. Zdeněk Lakmayer



Vnitřní síly			
návrhové			
Vz	N	My	Mz
kN	kN	kNm	kNm
0,6	7,5	3,5	0,0
0,3	4,1	1,5	0,0
6,2	5,0	0,2	0,0
12,0	-89,8	9,8	-4,7
1,5	-30,2	1,3	-0,4
192,3	230,7	124,7	-0,5

Lokální břemeno		
síly	napětí	
Fz	charakt.	návrhové
kN	MPa	MPa
0,0	0,0	0,0
1,6	0,6	0,6
0,0	0,0	0,0
21,0	8,0	10,3
7,2	2,7	2,8
62,5	23,7	68,3

KROK 1 - OVĚŘENÍ PODMÍNKY A.2

Předpoklad $Z_{LM71}=1,0$

$$V_{Ed} = Z_{LM71} \cdot V_{LM71,Ed} + V_{rs,Ed}$$

$$V_{Ed} = 212,9 \text{ kN}$$

Vliv boulení není třeba zahrnovat

$$V_{pl,Rd} = 625,5 \text{ kN}$$

$$\eta_3 = \frac{V_{Ed}}{V_{pl,Rd}} \leq 0,5 \quad (\text{A.2})$$

$$h_3 = 0,340 \leq 0,5 \quad \text{podmínka (A.2) je splněna}$$

Přepočet zatížitelnosti

Výpočet zatížitelnosti mostu v km 4,958

trati Rybník - Lipno

Vypracoval: Ing. Zdeněk Lakmayer



KROK 2 - STANOVENÍ ZATÍŽITELNOSTI Z ROVNICE A.7

$$\eta_{l,rs} = \frac{N_{rs,Ed}}{A \cdot f_y / \gamma_{M0}} + \frac{M_{y,rs,Ed}}{W_{el,y} \cdot f_y / \gamma_{M0}} + \frac{M_{z,rs,Ed}}{W_{el,z} \cdot f_y / \gamma_{M0}} \quad Z_{LM71} = \frac{1 - \eta_{l,rs}}{\eta_{l,LM71}}$$

vlákna

						$Z_{LM71} =$
1 $h_{1,rs} =$	$\frac{103440,4}{2982987,3}$	+	$\frac{16244500,0}{533343585}$	+	$\frac{5078500,0}{51194750}$	$= 0,164 \quad 2,60$
2 $h_{1,rs} =$	$\frac{103440,4}{2982987,3}$	+	$\frac{16244500,0}{533343585}$	+	$\frac{5078500,0}{51194750}$	$= 0,164 \quad 2,60$
3 $h_{1,rs} =$	$\frac{103440,4}{2982987,3}$	+	$\frac{16244500}{619894956}$	+	$\frac{5078500,0}{51194750}$	$= 0,160 \quad 2,91$
4 $h_{1,rs} =$	$\frac{103440,4}{2982987,3}$	+	$\frac{16244500}{619894956}$	+	$\frac{5078500,0}{51194750}$	$= 0,160 \quad 2,91$

$$\eta_{l,LM71} = \frac{N_{LM71,Ed}}{A \cdot f_y / \gamma_{M0}} + \frac{M_{y,LM71,Ed}}{W_{el,y} \cdot f_y / \gamma_{M0}} + \frac{M_{z,LM71,Ed}}{W_{el,z} \cdot f_y / \gamma_{M0}}$$

1 $h_{1,LM71} =$	$\frac{230735,7}{2982987,3}$	+	$\frac{124732920}{533343585}$	+	$\frac{490620,0}{51194750}$	$= 0,321$
2 $h_{1,LM71} =$	$\frac{230735,7}{2982987,3}$	+	$\frac{124732920}{533343585}$	+	$\frac{490620,0}{51194750}$	$= 0,321$
3 $h_{1,LM71} =$	$\frac{230735,7}{2982987,3}$	+	$\frac{124732920}{619894956}$	+	$\frac{490620,0}{51194750}$	$= 0,288$
4 $h_{1,LM71} =$	$\frac{230735,7}{2982987,3}$	+	$\frac{124732920}{619894956}$	+	$\frac{490620,0}{51194750}$	$= 0,288$

$Z_{LM71} = 2,60$ z napětí v dolních levých vláknech

Přepočet zatížitelnosti

Výpočet zatížitelnosti mostu v km 4,958

trati Rybník - Lipno

Vypracoval: Ing. Zdeněk Lakmayer



Účinky lokálního zatížení

$P = 180,4 \text{ kN}$

$a_{zh} = 12 \text{ mm}$

$t = 10 \text{ mm}$

$c = 264 \text{ mm}$

$S_{z,LM71,Ed} = 68,3 \text{ MPa}$

$$\eta_{2,LM71} = \frac{\sigma_{z,LM71,Ed}}{f_y / \gamma_{M0}}$$

$h_{2,LM71} = 0,291 \quad (A.17)$

$h_{2,rs} = 0,059 \quad (A.18)$

$$Z_{LM71} = \frac{1 - \eta_{2,rs}}{\eta_{2,LM71}}$$

$Z_{LM71} = 3,24 \quad (A.16)$

vzdálenost horních krčních nýtů / svarů od krajních vláken

Interakce účinku spolu s namáháním ohybovým momentem a osovou silou

1 $Z_{LM71} = 2,21$

2 $Z_{LM71} = 2,21$

3 $Z_{LM71} = 2,33$

4 $Z_{LM71} = 2,33$

$$Z_{LM71} = \frac{1,4 - (\eta_{2,rs} + 0,8\eta_{l,rs})}{\eta_{2,LM71} + 0,8\eta_{l,LM71}}$$

$Z_{LM71} = 2,21 \quad (A.19)$

Vyšetřování napětí po průřezu

Napětí charakteristické												
zs	horní okraj						dolní okraj					
	N/A	My/Wy	Mz/Wzl	Mz/Wzp	celkem L	celkem P	N/A	My/Wy	Mz/Wzl	Mz/Wzp	celkem L	celkem P
	S_h						S_d					
	MPa						MPa					
1	0,5	-1,2	0,0	0,0	-0,7	-0,7	0,5	1,4	0,0	0,0	2,0	2,0
2	0,3	-0,5	0,0	0,0	-0,2	-0,2	0,3	0,6	0,0	0,0	0,9	0,9
3	0,6	-0,1	0,0	0,0	0,4	0,4	0,6	0,2	0,0	0,0	0,7	0,7
4	-5,2	-2,9	-16,5	-16,5	-24,6	-24,6	-5,2	3,3	-16,5	-16,5	-18,4	-18,4
5	-2,3	-0,5	-1,8	-1,8	-4,6	-4,6	-2,3	0,5	-1,8	-1,8	-3,6	-3,6
141	0,0	0,0	0,0	0,0	0,0	0,0	0,0	0,0	0,0	0,0	0,0	0,0
127	0,0	0,0	0,0	0,0	0,0	0,0	0,0	0,0	0,0	0,0	0,0	0,0
107	6,1	-16,4	-0,8	-0,8	-11,1	-11,1	6,1	19,0	-0,8	-0,8	24,3	24,3

Napětí návrhové												
zs	horní okraj						dolní okraj					
	N/A	My/Wy	Mz/Wzl	Mz/Wzp	celkem L	celkem P	N/A	My/Wy	Mz/Wzl	Mz/Wzp	celkem L	celkem P
	S_h						S_d					
	MPa						MPa					
1	0,6	-1,3	0,0	0,0	-0,7	-0,7	0,6	1,5	0,0	0,0	2,1	2,1
2	0,3	-0,6	0,0	0,0	-0,3	-0,3	0,3	0,7	0,0	0,0	1,0	1,0
3	0,4	-0,1	0,0	0,0	0,3	0,3	0,4	0,1	0,0	0,0	0,5	0,5
4	-7,1	-3,7	-21,4	-21,4	-32,2	-32,2	-7,1	4,3	-21,4	-21,4	-24,2	-24,2
5	-2,4	-0,5	-1,9	-1,9	-4,7	-4,7	-2,4	0,6	-1,9	-1,9	-3,7	-3,7
141	0,0	0,0	0,0	0,0	0,0	0,0	0,0	0,0	0,0	0,0	0,0	0,0
127	0,0	0,0	0,0	0,0	0,0	0,0	0,0	0,0	0,0	0,0	0,0	0,0
107	18,2	-47,3	-2,3	-2,3	-31,4	-31,4	18,2	55,0	-2,3	-2,3	70,9	70,9

Přepočet zatížitelnosti

Výpočet zatížitelnosti mostu v km 4,958

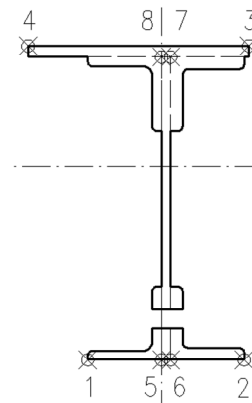
trati Rybník - Lipno

Vypracoval: Ing. Zdeněk Lakmayer



Ověření pružné únosnosti stěny

d =	493 mm	celková výška průřezu
zh =	216 mm	vzdálenost horních krajních vláken stěny od těžiště
zd =	245 mm	vzdálenost dolních krajních vláken stěny od těžiště
b _{hor} =	10 mm	celková šířka stěny
b _{p,hor} =	5 mm	vzdálenost pravých krajních vláken
b _{l,hor} =	5 mm	vzdálenost levých krajních vláken
W _{y,H} =	2,7844E+06 mm ³	svislý průřezový modul k horním vláknům
W _{y,D} =	2,4548E+06 mm ³	svislý průřezový modul k dolním vláknům
W _{z,L} =	4,3570E+06 mm ³	vodorovný průřezový modul k levým vláknům
W _{z,P} =	4,3570E+06 mm ³	vodorovný průřezový modul k pravým horním vláknům



$$\eta_{l,rs} = \frac{N_{rs,Ed}}{A \cdot f_y / \gamma_{M0}} + \frac{M_{y,rs,Ed}}{W_{el,y} \cdot f_y / \gamma_{M0}} + \frac{M_{z,rs,Ed}}{W_{el,z} \cdot f_y / \gamma_{M0}}$$

vlákna

5 h _{1,rs} =	$\frac{103440,4}{2982987,3}$	+	$\frac{16244500,0}{576881837}$	+	$\frac{5078500,0}{1,0239E+09}$	=	0,068
6 h _{1,rs} =	$\frac{103440,4}{2982987,3}$	+	$\frac{16244500,0}{576881837}$	+	$\frac{5078500,0}{1023895000}$	=	0,068
7 h _{1,rs} =	$\frac{103440,4}{2982987,3}$	+	$\frac{16244500}{654333565}$	+	$\frac{5078500,0}{1023895000}$	=	0,064
8 h _{1,rs} =	$\frac{103440,4}{2982987,3}$	+	$\frac{16244500}{654333565}$	+	$\frac{5078500,0}{1,0239E+09}$	=	0,064

$$\eta_{l,LM71} = \frac{N_{LM71,Ed}}{A \cdot f_y / \gamma_{M0}} + \frac{M_{y,LM71,Ed}}{W_{el,y} \cdot f_y / \gamma_{M0}} + \frac{M_{z,LM71,Ed}}{W_{el,z} \cdot f_y / \gamma_{M0}}$$

5 h _{1,LM71} =	$\frac{230735,7}{2982987,3}$	+	$\frac{124732920}{576881837}$	+	$\frac{490620,0}{1,0239E+09}$	=	0,294
6 h _{1,LM71} =	$\frac{230735,7}{2982987,3}$	+	$\frac{124732920}{576881837}$	+	$\frac{490620,0}{1023895000}$	=	0,294
7 h _{1,LM71} =	$\frac{230735,7}{2982987,3}$	+	$\frac{124732920}{654333565}$	+	$\frac{490620,0}{1023895000}$	=	0,268
8 h _{1,LM71} =	$\frac{230735,7}{2982987,3}$	+	$\frac{124732920}{654333565}$	+	$\frac{490620,0}{1,0239E+09}$	=	0,268

$$Z_{LM71}^2 \cdot (\eta_{1,LM71}^2 + \eta_{2,LM71}^2 - \eta_{1,LM71} \cdot \eta_{2,LM71} + 3 \cdot \eta_{3,LM71}^2) + \\ + Z_{LM71} \cdot (2 \cdot \eta_{1,rs} \cdot \eta_{1,LM71} + 2 \cdot \eta_{2,rs} \cdot \eta_{2,LM71} - \eta_{1,rs} \cdot \eta_{2,LM71} - \\ - \eta_{2,rs} \cdot \eta_{1,LM71} + 2 \cdot \eta_{3,rs} \cdot \eta_{3,LM71}) + \eta_{1,rs}^2 + \eta_{2,rs}^2 - \eta_{1,rs} \cdot \eta_{2,rs} + 3 \cdot \eta_{3,rs}^2 = 1$$

řešení kvadratické rovnice

vlákna

	a	b	c	D	Z _{LM71} =	
					x1	x2
5	0,36914	0,0592305	-0,9927011	1,469301873	1,562	-1,722
6	0,36914	0,0592305	-0,9927011	1,469301873	1,562	-1,722
7	0,36219	0,0564377	-0,9929469	1,441716524	1,580	-1,736
8	0,36219	0,0564377	-0,9929469	1,441716524	1,580	-1,736

Z_{LM71} = 1,56 zatížitelnost z pružné únosnosti stěny

Přepočet zatížitelnosti

Výpočet zatížitelnosti mostu v km 4,958

trati Rybník - Lipno

Vypracoval: Ing. Zdeněk Lakmayer



4.1.1 Podélník POD1 ve 4. (zkráceném) poli v místě maximální posouvající síly

Materiálové a průřezové charakteristiky jsou stejné jako v běžném poli.

Rozhodující skupina zatížení
gr12

Kombinace zatížení dle výrazu
6.10b

ZS	Zatížení	g _f	y _o	gr12	Vnitřní síly charakteristické	Vnitřní síly návrhové
					V _z	V _z
					kN	kN
1	VI. tíha	1,0625	1	1	0,6	0,6
2	Ostatní stálé (nah. dlouhodobé)	1,0625	1	1	0,3	0,4
3	Rozjezdové a brzdné síly	1,3	1	0,5	13,1	8,5
4	Boční rázy (ostatní)	1,3	1	1	69,1	89,8
5	Vítr - celkový účinek	1,35	0,75	1	29,9	30,2
108	Nahod. krátkodobé (vlak, vozidla)	1,3	1	1	66,6	192,3

VÝPOČET ZATÍŽITELNOSTI ZE SMYKOVÉ SÍLY

$$V_{Ed} = Z_{LM71} \cdot V_{LM71,Ed} + V_{rs,Ed}$$

$$V_{Ed} = 321,9 \text{ kN}$$

Vliv boulení není třeba zahrnovat

$$V_{plRd} = 612,2 \text{ kN}$$

$$Z_{LM71} = (R_d - E_{rs,Ed}) / E_{LM71,Ed}$$

$$Z_{LM71} = \frac{612,2 - 129,57}{192,3}$$

$$Z_{LM71} = 2,51$$

Přepočet zatížitelnosti

Výpočet zatížitelnosti mostu v km 4,958

trati Rybník - Lipno

Vypracoval: Ing. Zdeněk Lakmayer



4.1.2 Podélník POD2 ve 4. (zkráceném) poli v místě maximálního svislého ohybového momentu

Materiálové a průřezové charakteristiky jsou stejné jako v běžném poli.

Geometrické vlastnosti

L	1050 mm	délka prutu v rozhodujícím směru
L _f =	3,150 m	náhradní délka dle tab. 6.2 ČSN EN 1991-2
f =	2,10	dynam. součinitel vypočtený
f =	2,00	dynam. součinitel dle omezení 6.4.5.2 ČSN EN 1991-2

Vzpěr tlačných prvků

vzpěrný tlak je uvažován

c		křivka vzpěrné pevnosti
a =	0,49	součinitel imperfekce
b =	1	součinitel vzpěrné délky
L _{cr} =	1050 mm	kritická délka
l =	24,46	štíhlost
l ₁ =	93,91	srovnávací štíhlost
l _d =	0,260	poměrná štíhlost
f =	0,549	
c =	0,969	

Ostatní součinitele

m _M =	1,11	součinitel vlivu excentricity
a =	1,00	klasifikační součinitel dle 6.3.2 (3)P ČSN EN 1991-2
x =	0,85	redukční součinitel pro nepříznivá stálá zatížení dle ČSN EN 1990/A1

Rozhodující skupina zatížení
gr11

Kombinace zatížení dle výrazu
6.10b

ZS	Zatížení	Gr	y o	gr11	Vnitřní síly			
					charakteristické			
					Vz kN	N kN	My kNm	Mz kNm
1	VI. tíha	1,0625	1	1	0,1	7,1	3,6	-0,1
2	Ostatní stálé (nah. dlouhodobé)	1,0625	1	1	0,9	4,0	1,5	-0,1
3	Rozjezdové a brzděné síly	1,3	1	1	15,2	-4,9	0,9	1,0
4	Boční rázy (ostatní)	1,3	1	0,5	1,5	32,0	3,3	0,0
5	Vítr - celkový účinek	1,35	0,75	1	4,8	32,8	1,1	-0,2
104	Nahod. krátkodobé (vlak, vozidla)	1,3	1	1	97,7	79,4	41,4	-0,2

Přepočet zatížitelnosti

Výpočet zatížitelnosti mostu v km 4,958

trati Rybník - Lipno

Vypracoval: Ing. Zdeněk Lakmayer



Vnitřní síly			
návrhové			
Vz	N	My	Mz
kN	kN	kNm	kNm
0,1	7,5	3,8	-0,1
1,0	4,2	1,6	-0,1
19,8	-6,3	1,1	1,2
1,0	20,8	2,1	0,0
4,8	33,2	1,1	-0,2
282,0	229,2	119,6	-0,6

Lokální břemeno		
síly	napětí	
Fz	charakt.	návrhové
kN	MPa	MPa
0,0	0,0	0,0
1,6	0,6	0,6
0,0	0,0	0,0
21,0	7,5	4,9
7,2	2,6	2,6
62,5	22,3	64,4

KROK 2 - STANOVENÍ ZATÍŽITELNOSTI Z ROVNICE A.7

$$\eta_{l,rs} = \frac{N_{rs,Ed}}{A \cdot f_y / \gamma_{M0}} + \frac{M_{y,rs,Ed}}{W_{el,y} \cdot f_y / \gamma_{M0}} + \frac{M_{z,rs,Ed}}{W_{el,z} \cdot f_y / \gamma_{M0}}$$

$$Z_{LM71} = \frac{1 - \eta_{l,rs}}{\eta_{l,LM71}}$$

vlákna

1	$h_{1,rs} =$	$\frac{59395,9}{3352412,2}$	+	$\frac{9764125,0}{542661672}$	+	$\frac{945000,0}{63729650}$	=	0,051	$Z_{LM71} =$	3,18
2	$h_{1,rs} =$	$\frac{59395,9}{3352412,2}$	+	$\frac{9764125,0}{542661672}$	+	$\frac{945000,0}{63729650}$	=	0,051		3,18
3	$h_{1,rs} =$	$\frac{59395,9}{3352412,2}$	+	$\frac{9764125}{756038350}$	+	$\frac{945000,0}{63729650}$	=	0,045		4,04
4	$h_{1,rs} =$	$\frac{59395,9}{3352412,2}$	+	$\frac{9764125}{756038350}$	+	$\frac{945000,0}{63729650}$	=	0,045		4,04

$$\eta_{l,LM71} = \frac{N_{LM71,Ed}}{A \cdot f_y / \gamma_{M0}} + \frac{M_{y,LM71,Ed}}{W_{el,y} \cdot f_y / \gamma_{M0}} + \frac{M_{z,LM71,Ed}}{W_{el,z} \cdot f_y / \gamma_{M0}}$$

1	$h_{1,LM71} =$	$\frac{229235,0}{3352412,2}$	+	$\frac{119595840}{542661672}$	+	$\frac{634920,0}{63729650}$	=	0,299		
2	$h_{1,LM71} =$	$\frac{229235,0}{3352412,2}$	+	$\frac{119595840}{542661672}$	+	$\frac{634920,0}{63729650}$	=	0,299		
3	$h_{1,LM71} =$	$\frac{229235,0}{3352412,2}$	+	$\frac{119595840}{756038350}$	+	$\frac{634920,0}{63729650}$	=	0,237		
4	$h_{1,LM71} =$	$\frac{229235,0}{3352412,2}$	+	$\frac{119595840}{756038350}$	+	$\frac{634920,0}{63729650}$	=	0,237		

$Z_{LM71} =$ 3,18 z napětí v dolních levých vláknech

Přepočet zatížitelnosti

Výpočet zatížitelnosti mostu v km 4,958

trati Rybník - Lipno

Vypracoval: Ing. Zdeněk Lakmayer



Účinky lokálního zatížení

$P = 180,4 \text{ kN}$

$a_{zh} = 20 \text{ mm}$

$t = 10 \text{ mm}$

$c = 280 \text{ mm}$

$S_{z,LM71,Ed} = 64,4 \text{ MPa}$

$$\eta_{2,LM71} = \frac{\sigma_{z,LM71,Ed}}{f_y / \gamma_{M0}}$$

$h_{2,LM71} = 0,274 \quad (A.17)$

$h_{2,rs} = 0,034 \quad (A.18)$

$$Z_{LM71} = \frac{1 - \eta_{2,rs}}{\eta_{2,LM71}}$$

$Z_{LM71} = 3,52 \quad (A.16)$

vzdálenost horních krčních nýtů / svarů od krajních vláken

Interakce účinku spolu s namáháním ohybovým momentem a osovou silou

1 $Z_{LM71} = 2,58$

2 $Z_{LM71} = 2,58$

3 $Z_{LM71} = 2,87$

4 $Z_{LM71} = 2,87$

$$Z_{LM71} = \frac{1,4 - (\eta_{2,rs} + 0,8\eta_{1,rs})}{\eta_{2,LM71} + 0,8\eta_{1,LM71}}$$

$Z_{LM71} = 2,58 \quad (A.19)$

Vyšetřování napětí po průřezu

Napětí charakteristické												
zs	horní okraj						dolní okraj					
	N/A	My/Wy	Mz/Wzl	Mz/Wzp	celkem L	celkem P	N/A	My/Wy	Mz/Wzl	Mz/Wzp	celkem L	celkem P
	S_h MPa						S_d MPa					
1	0,5	-1,1	-0,3	-0,3	-0,9	-0,9	0,5	1,6	-0,3	-0,3	1,8	1,8
2	0,3	-0,5	-0,2	-0,2	-0,4	-0,4	0,3	0,6	-0,2	-0,2	0,7	0,7
3	-0,3	-0,3	3,5	3,5	2,9	2,9	-0,3	0,4	3,5	3,5	3,5	3,5
4	2,2	-1,0	0,0	0,0	1,1	1,1	2,2	1,4	0,0	0,0	3,6	3,6
5	2,2	-0,3	-0,6	-0,6	1,3	1,3	2,2	0,5	-0,6	-0,6	2,1	2,1
141	0,0	0,0	0,0	0,0	0,0	0,0	0,0	0,0	0,0	0,0	0,0	0,0
124	0,0	0,0	0,0	0,0	0,0	0,0	0,0	0,0	0,0	0,0	0,0	0,0
104	5,4	-12,9	-0,8	-0,8	-8,3	-8,3	5,4	17,9	-0,8	-0,8	22,5	22,5

Napětí návrhové												
zs	horní okraj						dolní okraj					
	N/A	My/Wy	Mz/Wzl	Mz/Wzp	celkem L	celkem P	N/A	My/Wy	Mz/Wzl	Mz/Wzp	celkem L	celkem P
	S_h MPa						S_d MPa					
1	0,5	-1,2	-0,3	-0,3	-1,0	-1,0	0,5	1,7	-0,3	-0,3	1,9	1,9
2	0,3	-0,5	-0,2	-0,2	-0,4	-0,4	0,3	0,7	-0,2	-0,2	0,8	0,8
3	-0,2	-0,2	2,3	2,3	1,9	1,9	-0,2	0,2	2,3	2,3	2,3	2,3
4	2,9	-1,3	0,0	0,0	1,6	1,6	2,9	1,9	0,0	0,0	4,8	4,8
5	2,3	-0,3	-0,6	-0,6	1,4	1,4	2,3	0,5	-0,6	-0,6	2,2	2,2
141	0,0	0,0	0,0	0,0	0,0	0,0	0,0	0,0	0,0	0,0	0,0	0,0
124	0,0	0,0	0,0	0,0	0,0	0,0	0,0	0,0	0,0	0,0	0,0	0,0
104	16,1	-37,2	-2,3	-2,3	-23,4	-23,4	16,1	51,8	-2,3	-2,3	65,5	65,5

Přepočet zatížitelnosti

Výpočet zatížitelnosti mostu v km 4,958

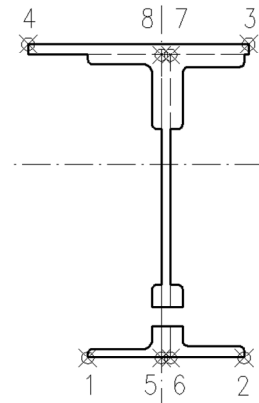
trati Rybník - Lipno

Vypracoval: Ing. Zdeněk Lakmayer



Ověření pružné únosnosti stěny

d =	493 mm	celková výška průřezu
zh =	186 mm	vzdálenost horních krajních vláken stěny od těžiště
zd =	267 mm	vzdálenost dolních krajních vláken stěny od těžiště
b _{hor} =	10 mm	celková šířka stěny
b _{p,hor} =	5 mm	vzdálenost pravých krajních vláken
b _{l,hor} =	5 mm	vzdálenost levých krajních vláken
W _{y,H} =	3,5631E+06 mm ³	svislý průřezový modul k horním vláknům
W _{y,D} =	2,4822E+06 mm ³	svislý průřezový modul k dolním vláknům
W _{z,L} =	5,4238E+06 mm ³	vodorovný průřezový modul k levým vláknům
W _{z,P} =	5,4238E+06 mm ³	vodorovný průřezový modul k pravým horním vláknům



$$\eta_{l,rs} = \frac{N_{rs,Ed}}{A \cdot f_y / \gamma_{M0}} + \frac{M_{y,rs,Ed}}{W_{el,y} \cdot f_y / \gamma_{M0}} + \frac{M_{z,rs,Ed}}{W_{el,z} \cdot f_y / \gamma_{M0}}$$

vlákna

5 h _{1,rs} =	$\frac{59395,9}{3352412,2}$	+	$\frac{9764125,0}{583310487}$	+	$\frac{945000,0}{1,2746E+09}$	=	0,035
6 h _{1,rs} =	$\frac{59395,9}{3352412,2}$	+	$\frac{9764125,0}{583310487}$	+	$\frac{945000,0}{1274593000}$	=	0,035
7 h _{1,rs} =	$\frac{59395,9}{3352412,2}$	+	$\frac{9764125}{837332796}$	+	$\frac{945000,0}{1274593000}$	=	0,030
8 h _{1,rs} =	$\frac{59395,9}{3352412,2}$	+	$\frac{9764125}{837332796}$	+	$\frac{945000,0}{1,2746E+09}$	=	0,030

$$\eta_{l,LM71} = \frac{N_{LM71,Ed}}{A \cdot f_y / \gamma_{M0}} + \frac{M_{y,LM71,Ed}}{W_{el,y} \cdot f_y / \gamma_{M0}} + \frac{M_{z,LM71,Ed}}{W_{el,z} \cdot f_y / \gamma_{M0}}$$

5 h _{1,LM71} =	$\frac{229235,0}{3352412,2}$	+	$\frac{119595840}{583310487}$	+	$\frac{634920,0}{1,2746E+09}$	=	0,274
6 h _{1,LM71} =	$\frac{229235,0}{3352412,2}$	+	$\frac{119595840}{583310487}$	+	$\frac{634920,0}{1274593000}$	=	0,274
7 h _{1,LM71} =	$\frac{229235,0}{3352412,2}$	+	$\frac{119595840}{837332796}$	+	$\frac{634920,0}{1274593000}$	=	0,212
8 h _{1,LM71} =	$\frac{229235,0}{3352412,2}$	+	$\frac{119595840}{837332796}$	+	$\frac{634920,0}{1,2746E+09}$	=	0,212

$$Z_{LM71}^2 \cdot (\eta_{1,LM71}^2 + \eta_{2,LM71}^2 - \eta_{1,LM71} \cdot \eta_{2,LM71} + 3 \cdot \eta_{3,LM71}^2) + \\ + Z_{LM71} \cdot (2 \cdot \eta_{1,rs} \cdot \eta_{1,LM71} + 2 \cdot \eta_{2,rs} \cdot \eta_{2,LM71} - \eta_{1,rs} \cdot \eta_{2,LM71} - \\ - \eta_{2,rs} \cdot \eta_{1,LM71} + 2 \cdot \eta_{3,rs} \cdot \eta_{3,LM71}) + \eta_{1,rs}^2 + \eta_{2,rs}^2 - \eta_{1,rs} \cdot \eta_{2,rs} + 3 \cdot \eta_{3,rs}^2 = 1$$

řešení kvadratické rovnice

vlákna	a	b	c	D	Z _{LM71} =	
					x1	x2
5	0,70685	0,0628148	-0,9931578	2,812019064	1,142	-1,231
6	0,70685	0,0628148	-0,9931578	2,812019064	1,142	-1,231
7	0,6937	0,0598201	-0,9933146	2,759828946	1,154	-1,241
8	0,6937	0,0598201	-0,9933146	2,759828946	1,154	-1,241
					1,14	

Z_{LM71} = 1,14 zatížitelnost z pružné únosnosti stěny

Přepočet zatížitelnosti

Výpočet zatížitelnosti mostu v km 4,958

trati Rybník - Lipno

Vypracoval: Ing. Zdeněk Lakmayer



4.1.3 Podélník POD2 ve 4. (zkráceném) poli v místě maximální posouvající síly

Materiálové a průřezové charakteristiky jsou stejné jako v běžném poli.

Geometrické vlastnosti

L	1050 mm	délka prutu v rozhodujícím směru
L _f =	3,150 m	náhradní délka dle tab. 6.2 ČSN EN 1991-2
f =	2,10	dynam. součinitel vypočtený
f =	2,00	dynam. součinitel dle omezení 6.4.5.2 ČSN EN 1991-2

Vzpěr tlačných prvků

vzpěrný tlak není uvažován

c		křivka vzpěrné pevnosti
a =	0,49	součinitel imperfekce
b =	1	součinitel vzpěrné délky
L _{cr} =	1050 mm	kritická délka
I =	24,46	štíhlost
I ₁ =	94,93	srovnávací štíhlost
I _d =	0,258	poměrná štíhlost
f =	0,547	
c =	1,000	

Přepočet zatížitelnosti

Výpočet zatížitelnosti mostu v km 4,958

trati Rybník - Lipno

Vypracoval: Ing. Zdeněk Lakmayer



Rozhodující skupina zatížení
gr11

Kombinace zatížení dle výrazu
6.10b

ZS	Zatížení	g _f	y _o	gr11	Vnitřní síly charakteristické	Vnitřní síly návrhové
					V _z	V _z
					kN	kN
1	VI. tíha	1,0625	1	1	0,0	0,0
2	Ostatní stálé (nah. dlouhodobé)	1,0625	1	1	1,0	1,1
3	Rozjezdové a brzděné síly	1,3	1	1	15,2	19,8
4	Boční rázy (ostatní)	1,3	1	0,5	9,3	6,0
5	Vítr - celkový účinek	1,35	0,75	1	5,8	5,8
104	Nahod. krátkodobé (vlak, vozidla)	1,3	1	1	97,7	282,0

VÝPOČET ZATÍŽITELNOSTI ZE SMYKOVÉ SÍLY

$$V_{Ed} = Z_{LM71} \cdot V_{LM71,Ed} + V_{rs,Ed}$$

$$V_{Ed} = 314,8 \text{ kN}$$

Vliv boulení není třeba zahrnovat

$$V_{plRd} = 601,5 \text{ kN}$$

$$Z_{LM71} = (R_d - E_{rs,Ed}) / E_{LM71,Ed}$$

$$Z_{LM71} = \frac{601,5 - 32,74}{282,0}$$

$$Z_{LM71} = 2,02$$

Přepočet zatížitelnosti

Výpočet zatížitelnosti mostu v km 4,958

trati Rybník - Lipno

Vypracoval: Ing. Zdeněk Lakmayer



4.2 Příčnick

4.2.1 Vliv klopení

Posuzovaný prut nebyl posuzován na klopení, protože je jeho tlačný (horní) pás zabezpečen proti vybočení ve vzdálenosti menší než 40ti násobek poloměru setrvačnosti konvenčního tlačného pásu nosníku. Přitom se uvažuje poloměr setrvačnosti z roviny ohybu konvenčního tlačného pásu nosníku, který je tvořen pásnicí a přilehlou částí stojiny, zahrnující 1/6 její plochy.

Tlačný pás je proti vybočení z roviny ohybu zabezpečen podélníky po vzdálenostech $L = 1800 \text{ mm}$.

• Vliv klopení

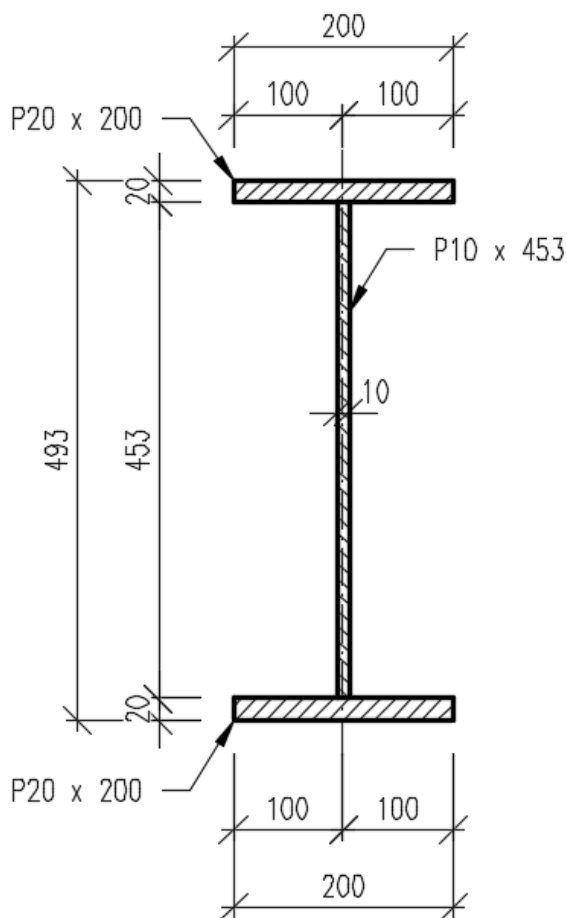
$$40 \cdot i_{zp} = 40 \cdot 57,74 = 2309 \text{ mm} > 1800 \text{ mm}$$

VYHOVUJE

není třeba uvažovat vliv klopení

4.2.2 Průřezové charakteristiky

4.2.2.1 Příčnick PR1



PR1		
A [mm ²]	1,25E+04	
A _y [mm ²], A _z [mm ²]	7,31E+03	4,95E+03
A _L [m ² /m], A _D [m ² /m]	1,77E+00	1,77E+00
c _{y,UCS} [mm], c _{z,UCS} [mm]	100	246
α [deg]	0	
I _y [mm ⁴], I _z [mm ⁴]	5,25E+08	2,67E+07
i _y [mm], i _z [mm]	205	46
W _{el,y} [mm ³], W _{el,z} [mm ³]	2,13E+06	2,67E+05
W _{pl,y} [mm ³], W _{pl,z} [mm ³]	2,41E+06	4,11E+05
M _{pl,y,+} [Nmm], M _{pl,y,-} [Nmm]	565180288	565180288
M _{pl,z,+} [Nmm], M _{pl,z,-} [Nmm]	96661375	96661375
d _y [mm], d _z [mm]	0	0
I _t [mm ⁴], I _w [mm ⁶]	1,22E+06	1,49E+12
β _y [mm], β _z [mm]	0	0

Přepočet zatížitelnosti

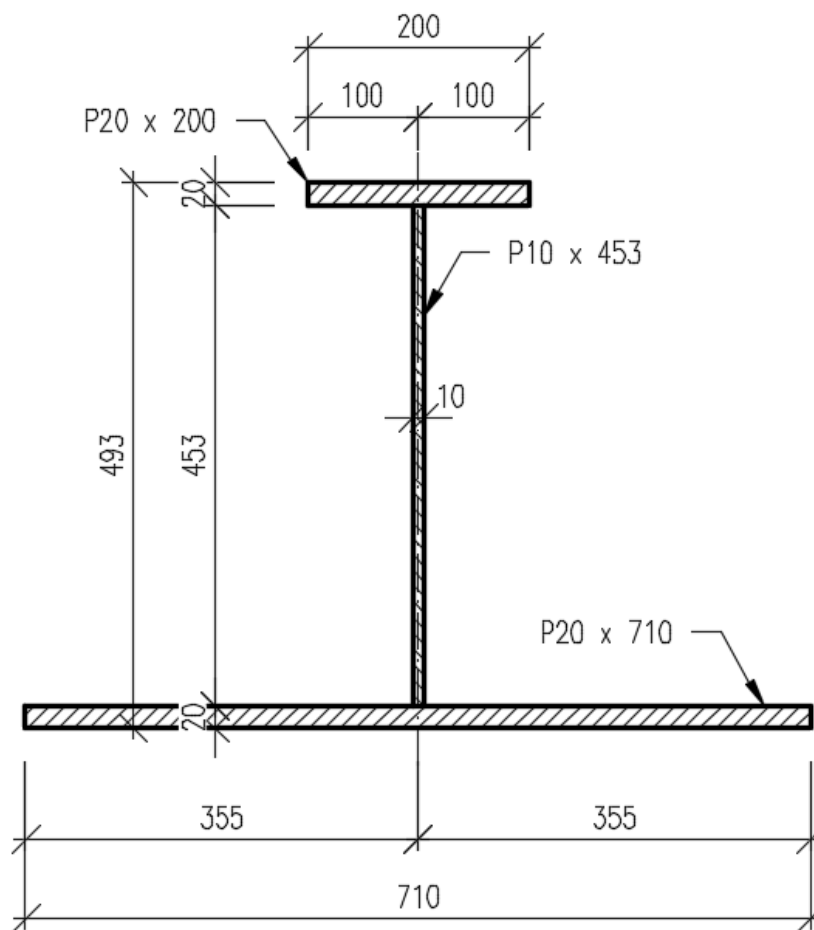
Výpočet zatížitelnosti mostu v km 4,958

trati Rybník - Lipno

Vypracoval: Ing. Zdeněk Lakmayer



4.2.2.1 Příčník PR2



PR2		
A [mm ²]	2,27E+04	
A _y [mm ²], A _z [mm ²]	1,69E+04	5,05E+03
A _L [m ² /m], A _D [m ² /m]	2,79E+00	2,79E+00
c _{y,ucs} [mm], c _{z,ucs} [mm]	355	140
α [deg]	0	
I _y [mm ⁴], I _z [mm ⁴]	8,40E+08	6,10E+08
i _y [mm], i _z [mm]	192	164
W _{el,y} [mm ³], W _{el,z} [mm ³]	2,38E+06	1,72E+06
W _{pl,y} [mm ³], W _{pl,z} [mm ³]	3,01E+06	2,73E+06
M _{pl,y,+} [Nmm], M _{pl,y,-} [Nmm]	707050367	707050367
M _{pl,z,+} [Nmm], M _{pl,z,-} [Nmm]	641978875	641978875
d _y [mm], d _z [mm]	0	-121
I _t [mm ⁴], I _w [mm ⁶]	2,58E+06	2,92E+12
β _y [mm], β _z [mm]	345	0

Přepočet zatížitelnosti

Výpočet zatížitelnosti mostu v km 4,958

trati Rybník - Lipno

Vypracoval: Ing. Zdeněk Lakmayer



Vysvětlivky symbolů	
A	Plocha
A_y	Smyková plocha ve směru hlavní osy y
A_z	Smyková plocha ve směru hlavní osy z
A_L	Obvodový povrch na jednotku délky
A_D	Vysýchající povrch na jednotku délky
$C_{Y.UCS}$	Souřadnice těžiště ve směru osy Y zadávacího systému
$C_{Z.UCS}$	Souřadnice těžiště ve směru osy Z zadávacího systému
$I_{Y.LCS}$	Moment setrvačnosti kolem osy $YLSS$
$I_{Z.LCS}$	Moment setrvačnosti kolem osy $ZLSS$
$I_{YZ.LCS}$	Moment setrvačnosti lyž v LSS
α	Úhel pootočení hlavní osy
I_y	Moment setrvačnosti kolem hlavní osy y
I_z	Moment setrvačnosti kolem hlavní osy z
i_y	Poloměr setrvačnosti kolem hlavní osy y
i_z	Poloměr setrvačnosti kolem hlavní osy z
$W_{el.y}$	Pružný modul průřezu k hlavní ose y
$W_{el.z}$	Pružný modul průřezu k hlavní ose z
$W_{pl.y}$	Plastický modul průřezu k hlavní ose y
$W_{pl.z}$	Plastický modul průřezu k hlavní ose z
$M_{pl.y.+}$	Plastický moment kolem hlavní osy y pro kladný moment M_y
$M_{pl.y.-}$	Plastický moment kolem hlavní osy y pro záporný moment M_y
$M_{pl.z.+}$	Plastický moment kolem hlavní osy z pro kladný moment M_z
$M_{pl.z.-}$	Plastický moment kolem hlavní osy z pro záporný moment M_z
d_y	Souřadnice středu smyku ve směru hlavní osy y měřená od těžiště
d_z	Souřadnice středu smyku ve směru hlavní osy z měřená od těžiště
I_t	Moment setrvačnosti v prostém kroucení
I_w	Výsečový moment setrvačnosti
β_y	Mono-symetrická konstanta kolem hlavní osy y
β_z	Mono-symetrická konstanta kolem hlavní osy z

Přepočet zatížitelnosti

Výpočet zatížitelnosti mostu v km 4,958

trati Rybník - Lipno

Vypracoval: Ing. Zdeněk Lakmayer



4.2.3 Příčník PR1 v místě maximálního svislého ohybového momentu a posouvající síly (v místě připojení podélníku na příčník)

Materiálové vlastnosti

druh oceli		ocel 37 do 25 mm vč.
$f_y =$	235 MPa	charakteristická mez kluzu
$f_{y,d} =$	235,0 MPa	návrhová mez kluzu
$f_{y,w,d} =$	235,0 MPa	návrhová pevnost ve smyku
$E =$	210000 MPa	modul pružnosti
$g_{M0} =$	1,00	
$g_{M1} =$	1,10	
$g_{M2} =$	1,25	

Geometrické vlastnosti

L	1800 mm	délka prutu v rozhodujícím směru
$L_f =$	5,900 m	náhradní délka dle tab. 6.2 ČSN EN 1991-2
$f =$	1,70	dynam. součinitel vypočtený
$f =$	1,70	dynam. součinitel dle omezení 6.4.5.2 ČSN EN 1991-2

Průřezové charakteristiky

$A =$	1,2530E+04 mm ²	plocha průřezu
$I_y =$	5,2519E+08 mm ⁴	moment setrvačnosti
$I_z =$	2,6704E+07 mm ⁴	moment setrvačnosti
$i_y =$	204,7 mm	poloměr setrvačnosti
$i_z =$	46,2 mm	poloměr setrvačnosti
$i_{min} =$	46,2 mm	minimální poloměr setrvačnosti
$t =$	10 mm	tloušťka stojiny
$h_w =$	453 mm	výška stojiny účinná na smyk
$A_v =$	4530 mm ²	smyková plocha
$d =$	493 mm	celková výška průřezu
$z_h =$	247 mm	vzdálenost horních krajních vláken
$z_d =$	246 mm	vzdálenost dolních krajních vláken

Přepočet zatížitelnosti

Výpočet zatížitelnosti mostu v km 4,958

trati Rybník - Lipno

Vypracoval: Ing. Zdeněk Lakmayer



$b_{hor} =$	200 mm	celková šířka horní pásnice
$b_{p,hor} =$	100 mm	vzdálenost pravých krajních vláken horní pásnice
$b_{l,hor} =$	100 mm	vzdálenost levých krajních vláken horní pásnice
$b_{dol} =$	200 mm	celková šířka dolní pásnice
$b_{p,dol} =$	100 mm	vzdálenost pravých krajních vláken dolní pásnice
$b_{l,dol} =$	100 mm	vzdálenost levých krajních vláken dolní pásnice
$W_{y,H} =$	2,1263E+06 mm ³	svislý průřezový modul k horním vláknům
$W_{y,D} =$	2,1349E+06 mm ³	svislý průřezový modul k dolním vláknům
$W_{z,H,L} =$	2,6704E+05 mm ³	vodorovný průřezový modul k levým horním vláknům
$W_{z,D,L} =$	2,6704E+05 mm ³	vodorovný průřezový modul k levým dolním vláknům
$W_{z,H,P} =$	2,6704E+05 mm ³	vodorovný průřezový modul k pravým horním vláknům
$W_{z,D,P} =$	2,6704E+05 mm ³	vodorovný průřezový modul k pravým dolním vláknům

Vzpěr tlačných prvků

vzpěrný tlak není uvažován

c		křivka vzpěrné pevnosti
$a =$	0,49	součinitel imperfekce
$b =$	1	součinitel vzpěrné délky
$L_{cr} =$	1800 mm	kritická délka
$I =$	38,99	štíhlost
$I_1 =$	93,91	srovnávací štíhlost
$I_d =$	0,415	poměrná štíhlost
$f =$	0,639	
$c =$	1,000	

Ostatní součinitele

$m =$	1,00	součinitel vlivu excentricity
$a =$	1,00	klasifikační součinitel dle 6.3.2 (3)P ČSN EN 1991-2
$x =$	0,85	redukční součinitel pro nepříznivá stálá zatížení dle ČSN EN 1990/A1

Rozhodující skupina zatížení
gr12

Kombinace zatížení dle výrazu
6.10b

ZS	Zatížení	Gr	y o	gr12	Vnitřní síly			
					charakteristické			
					Vz kN	N kN	My kNm	Mz kNm
1	VI. tíha	1,0625	1	1	0,9	0,7	1,3	0,0
2	Ostatní stálé (nah. dlouhodobé)	1,0625	1	1	0,2	0,3	0,7	0,0
3	Rozjezdové a brzdné síly	1,3	1	0,5	0,0	2,2	0,5	-0,3
4	Boční rázy (ostatní)	1,3	1	1	12,0	2,6	10,0	-0,9
5	Vítr - celkový účinek	1,35	0,75	1	12,6	0,2	11,1	-3,1
102	Nahod. krátkodobé (vlak, vozidla)	1,3	1	1	0,0	8,1	95,4	-0,7

Přepočet zatížitelnosti

Výpočet zatížitelnosti mostu v km 4,958

trati Rybník - Lipno

Vypracoval: Ing. Zdeněk Lakmayer



Vnitřní síly			
návrhové			
Vz	N	My	Mz
kN	kN	kNm	kNm
0,9	0,7	1,4	0,0
0,2	0,3	0,7	0,0
0,0	1,4	0,3	-0,2
15,6	3,4	13,0	-1,1
12,7	0,2	11,2	-3,2
0,0	17,8	210,8	-1,5

KROK 1 - OVĚŘENÍ PODMÍNKY A.2

Předpoklad $Z_{LM71}=1,0$

$$V_{Ed} = Z_{LM71} \cdot V_{LM71,Ed} + V_{rs,Ed}$$

$$V_{Ed} = 29,4 \text{ kN}$$

Vliv boulení není třeba zahrnovat

$$V_{pl,Rd} = 614,6 \text{ kN}$$

$$\eta_3 = \frac{V_{Ed}}{V_{pl,Rd}} \leq 0,5 \quad (\text{A.2})$$

$$h_3 = 0,048 \leq 0,5 \quad \text{podmínka (A.2) je splněna}$$

Přepočet zatížitelnosti

Výpočet zatížitelnosti mostu v km 4,958

trati Rybník - Lipno

Vypracoval: Ing. Zdeněk Lakmayer



KROK 2 - STANOVENÍ ZATÍŽITELNOSTI Z ROVNICE A.7

$$\eta_{l,rs} = \frac{N_{rs,Ed}}{A \cdot f_y / \gamma_{M0}} + \frac{M_{y,rs,Ed}}{W_{el,y} \cdot f_y / \gamma_{M0}} + \frac{M_{z,rs,Ed}}{W_{el,z} \cdot f_y / \gamma_{M0}} \quad Z_{LM71} = \frac{1 - \eta_{l,rs}}{\eta_{l,LM71}}$$

vlákna

						$Z_{LM71} =$
1 $h_{1,rs} =$	$\frac{6054,6}{2944550,0}$	+	$\frac{26650500,0}{501705894}$	+	$\frac{4459750,0}{62754400}$	$= 0,126$
2 $h_{1,rs} =$	$\frac{6054,6}{2944550,0}$	+	$\frac{26650500,0}{501705894}$	+	$\frac{4459750,0}{62754400}$	$= 0,126$
3 $h_{1,rs} =$	$\frac{6054,6}{2944550,0}$	+	$\frac{26650500,0}{499674696}$	+	$\frac{4459750,0}{62754400}$	$= 0,126$
4 $h_{1,rs} =$	$\frac{6054,6}{2944550,0}$	+	$\frac{26650500,0}{499674696}$	+	$\frac{4459750,0}{62754400}$	$= 0,126$

$$\eta_{l,LM71} = \frac{N_{LM71,Ed}}{A \cdot f_y / \gamma_{M0}} + \frac{M_{y,LM71,Ed}}{W_{el,y} \cdot f_y / \gamma_{M0}} + \frac{M_{z,LM71,Ed}}{W_{el,z} \cdot f_y / \gamma_{M0}}$$

1 $h_{1,LM71} =$	$\frac{17846,8}{2944550,0}$	+	$\frac{210782206}{501705894}$	+	$\frac{1457783,3}{62754400}$	$= 0,449$
2 $h_{1,LM71} =$	$\frac{17846,8}{2944550,0}$	+	$\frac{210782206}{501705894}$	+	$\frac{1457783,3}{62754400}$	$= 0,449$
3 $h_{1,LM71} =$	$\frac{17846,8}{2944550,0}$	+	$\frac{210782206}{499674696}$	+	$\frac{1457783,3}{62754400}$	$= 0,451$
4 $h_{1,LM71} =$	$\frac{17846,8}{2944550,0}$	+	$\frac{210782206}{499674696}$	+	$\frac{1457783,3}{62754400}$	$= 0,451$

$Z_{LM71} = 1,94$ z napětí v horních pravých vláknech

KROK 3 - ZNOVUOVĚŘENÍ PODMÍNKY A.2

$$V_{Ed} = Z_{LM71} \cdot V_{LM71,Ed} + V_{rs,Ed}$$

$$V_{Ed} = 29,4 \text{ kN}$$

Vliv boulení není třeba zahrnovat

$$V_{plRd} = 614,6 \text{ kN}$$

$$h_3 = 0,048 \leq 0,5 \quad \text{Podmínka A.2 je splněna.}$$

Přepočet zatížitelnosti

Výpočet zatížitelnosti mostu v km 4,958

trati Rybník - Lipno

Vypracoval: Ing. Zdeněk Lakmayer



4.2.4 Příčník PR2 v místě maximálního svislého ohybového momentu a posouvající síly (v místě připojení podélníku na příčník)

Materiálové vlastnosti

druh oceli		ocel 37 do 25 mm vč.
$f_y =$	235 MPa	charakteristická mez kluzu
$f_{y,d} =$	235,0 MPa	návrhová mez kluzu
$f_{y,w,d} =$	235,0 MPa	návrhová pevnost ve smyku
$E =$	210000 MPa	modul pružnosti
$g_{M0} =$	1,00	
$g_{M1} =$	1,10	
$g_{M2} =$	1,25	

Geometrické vlastnosti

L	575 mm	délka prutu v rozhodujícím směru
$L_f =$	5,900 m	náhradní délka dle tab. 6.2 ČSN EN 1991-2
$f =$	1,70	dynam. součinitel vypočtený
$f =$	1,70	dynam. součinitel dle omezení 6.4.5.2 ČSN EN 1991-2

Průřezové charakteristiky

$A =$	2,2730E+04 mm ²	plocha průřezu
$I_y =$	8,4003E+08 mm ⁴	moment setrvačnosti
$I_z =$	6,0989E+08 mm ⁴	moment setrvačnosti
$i_y =$	192,2 mm	poloměr setrvačnosti
$i_z =$	163,8 mm	poloměr setrvačnosti
$i_{\min} =$	163,8 mm	minimální poloměr setrvačnosti
$t =$	10 mm	tloušťka stojiny
$h_w =$	453 mm	výška stojiny účinná na smyk
$A_v =$	4530 mm ²	smyková plocha
$d =$	493 mm	celková výška průřezu
$z_h =$	353 mm	vzdálenost horních krajních vláken
$z_d =$	140 mm	vzdálenost dolních krajních vláken

Přepočet zatížitelnosti

Výpočet zatížitelnosti mostu v km 4,958

trati Rybník - Lipno

Vypracoval: Ing. Zdeněk Lakmayer



$b_{hor} =$	200 mm	celková šířka horní pásnice
$b_{p,hor} =$	100 mm	vzdálenost pravých krajních vláken horní pásnice
$b_{l,hor} =$	100 mm	vzdálenost levých krajních vláken horní pásnice
$b_{dol} =$	710 mm	celková šířka dolní pásnice
$b_{p,dol} =$	355 mm	vzdálenost pravých krajních vláken dolní pásnice
$b_{l,dol} =$	355 mm	vzdálenost levých krajních vláken dolní pásnice
$W_{y,H} =$	2,3797E+06 mm ³	svislý průřezový modul k horním vláknům
$W_{y,D} =$	6,0002E+06 mm ³	svislý průřezový modul k dolním vláknům
$W_{z,H,L} =$	6,0989E+06 mm ³	vodorovný průřezový modul k levým horním vláknům
$W_{z,D,L} =$	1,7180E+06 mm ³	vodorovný průřezový modul k levým dolním vláknům
$W_{z,H,P} =$	6,0989E+06 mm ³	vodorovný průřezový modul k pravým horním vláknům
$W_{z,D,P} =$	1,7180E+06 mm ³	vodorovný průřezový modul k pravým dolním vláknům

Vzpěr tlačných prvků

vzpěrný tlak je uvažován

c		křivka vzpěrné pevnosti
$a =$	0,49	součinitel imperfekce
$b =$	1	součinitel vzpěrné délky
$L_{cr} =$	575 mm	kritická délka
$I =$	3,51	štíhlost
$I_1 =$	93,91	srovnávací štíhlost
$I_d =$	0,037	poměrná štíhlost
$f =$	0,461	
$c =$	1,000	

Ostatní součinitele

$m =$	1,00	součinitel vlivu excentricity
$a =$	1,00	klasifikační součinitel dle 6.3.2 (3)P ČSN EN 1991-2
$x =$	0,85	redukční součinitel pro nepříznivá stálá zatížení dle ČSN EN 1990/A1

Rozhodující skupina zatížení
gr12

Kombinace zatížení dle výrazu
6.10b

ZS	Zatížení	Gr	y o	gr12	Vnitřní síly			
					charakteristické			
					Vz kN	N kN	My kNm	Mz kNm
1	VI. tíha	1,0625	1	1	2,5	0,7	1,3	-0,3
2	Ostatní stálé (nah. dlouhodobé)	1,0625	1	1	5,0	0,3	0,7	-0,1
3	Rozjezdové a brzdné síly	1,3	1	0,5	1,7	2,2	0,3	-1,6
4	Boční rázy (ostatní)	1,3	1	1	10,4	-20,7	11,5	-11,4
5	Vítr - celkový účinek	1,35	0,75	1	16,4	-8,4	11,8	-1,9
102	Nahod. krátkodobé (vlak, vozidla)	1,3	1	1	170,3	9,9	94,8	-2,6

Přepočet zatížitelnosti

Výpočet zatížitelnosti mostu v km 4,958

trati Rybník - Lipno

Vypracoval: Ing. Zdeněk Lakmayer



Vnitřní síly			
návrhové			
Vz	N	My	Mz
kN	kN	kNm	kNm
2,7	0,7	1,4	-0,3
5,3	0,3	0,7	-0,1
1,1	1,4	0,2	-1,0
13,6	-26,9	14,9	-14,8
16,6	-8,5	11,9	-1,9
376,2	21,8	209,4	-5,7

KROK 2 - STANOVENÍ ZATÍŽITELNOSTI Z ROVNICE A.7

$$\eta_{l,rs} = \frac{N_{rs,Ed}}{A \cdot f_y / \gamma_{M0}} + \frac{M_{y,rs,Ed}}{W_{el,y} \cdot f_y / \gamma_{M0}} + \frac{M_{z,rs,Ed}}{W_{el,z} \cdot f_y / \gamma_{M0}} \quad Z_{LM71} = \frac{1 - \eta_{l,rs}}{\eta_{l,LM71}}$$

vlákna

1	$h_{1,rs} =$	$\frac{32916,8}{5341550,0}$	+	$\frac{29078625,0}{1410050357}$	+	$\frac{18105625,0}{403730000}$	=	0,072	$Z_{LM71} =$	5,57
2	$h_{1,rs} =$	$\frac{32916,8}{5341550,0}$	+	$\frac{29078625,0}{1410050357}$	+	$\frac{18105625,0}{403730000}$	=	0,072		5,57
3	$h_{1,rs} =$	$\frac{32916,8}{5341550,0}$	+	$\frac{29078625}{559226771}$	+	$\frac{18105625,0}{1433241500}$	=	0,071		2,43
4	$h_{1,rs} =$	$\frac{32916,8}{5341550,0}$	+	$\frac{29078625}{559226771}$	+	$\frac{18105625,0}{1433241500}$	=	0,071		2,43

$$\eta_{l,LM71} = \frac{N_{LM71,Ed}}{A \cdot f_y / \gamma_{M0}} + \frac{M_{y,LM71,Ed}}{W_{el,y} \cdot f_y / \gamma_{M0}} + \frac{M_{z,LM71,Ed}}{W_{el,z} \cdot f_y / \gamma_{M0}}$$

1	$h_{1,LM71} =$	$\frac{21822,6}{5341550,0}$	+	$\frac{209434861}{1410050357}$	+	$\frac{5698607,3}{403730000}$	=	0,167		
2	$h_{1,LM71} =$	$\frac{21822,6}{5341550,0}$	+	$\frac{209434861}{1410050357}$	+	$\frac{5698607,3}{403730000}$	=	0,167		
3	$h_{1,LM71} =$	$\frac{21822,6}{5341550,0}$	+	$\frac{209434861}{559226771}$	+	$\frac{5698607,3}{1433241500}$	=	0,383		
4	$h_{1,LM71} =$	$\frac{21822,6}{5341550,0}$	+	$\frac{209434861}{559226771}$	+	$\frac{5698607,3}{1433241500}$	=	0,383		

$Z_{LM71} =$ 2,43 z napětí v horních pravých vláknech

Přepočet zatížitelnosti

Výpočet zatížitelnosti mostu v km 4,958

trati Rybník - Lipno

Vypracoval: Ing. Zdeněk Lakmayer



4.3 Koncový příčník

4.3.1 Vliv klopení

Posuzovaný prut nebyl posuzován na klopení, protože je jeho tlačný (horní) pás zabezpečen proti vybočení ve vzdálenosti menší než 40ti násobek poloměru setrvačnosti konvenčního tlačného pásu nosníku. Přitom se uvažuje poloměr setrvačnosti z roviny ohybu konvenčního tlačného pásu nosníku, který je tvořen pásnicí a přilehlou částí stojiny, zahrnující 1/6 její plochy.

Tlačný pás je proti vybočení z roviny ohybu zabezpečen podélníky po vzdálenostech $L = 1800 \text{ mm}$.

• Vliv klopení

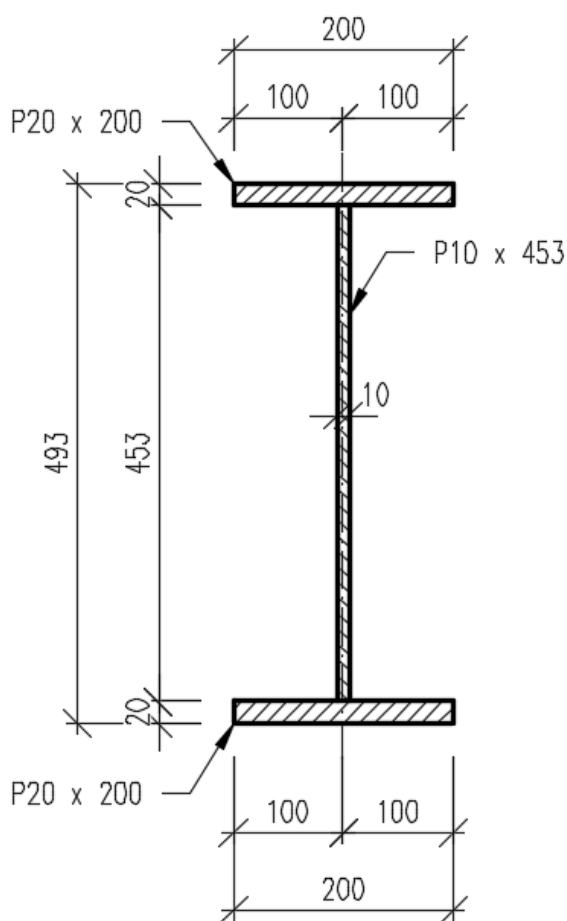
$$40 \cdot i_{zp} = 40 \cdot 57,74 = 2309 \text{ mm} > 1800 \text{ mm}$$

VYHOVUJE

není třeba uvažovat vliv klopení

4.3.2 Průřezové charakteristiky

4.3.2.1 Příčník PR1



PR1		
A [mm ²]	1,25E+04	
A _y [mm ²], A _z [mm ²]	7,31E+03	4,95E+03
A _L [m ² /m], A _D [m ² /m]	1,77E+00	1,77E+00
c _{y,UCS} [mm], c _{z,UCS} [mm]	100	246
α [deg]	0	
I _y [mm ⁴], I _z [mm ⁴]	5,25E+08	2,67E+07
i _y [mm], i _z [mm]	205	46
W _{el,y} [mm ³], W _{el,z} [mm ³]	2,13E+06	2,67E+05
W _{pl,y} [mm ³], W _{pl,z} [mm ³]	2,41E+06	4,11E+05
M _{pl,y,+} [Nmm], M _{pl,y,-} [Nmm]	565180288	565180288
M _{pl,z,+} [Nmm], M _{pl,z,-} [Nmm]	96661375	96661375
d _y [mm], d _z [mm]	0	0
I _t [mm ⁴], I _w [mm ⁶]	1,22E+06	1,49E+12
β _y [mm], β _z [mm]	0	0

Přepočet zatížitelnosti

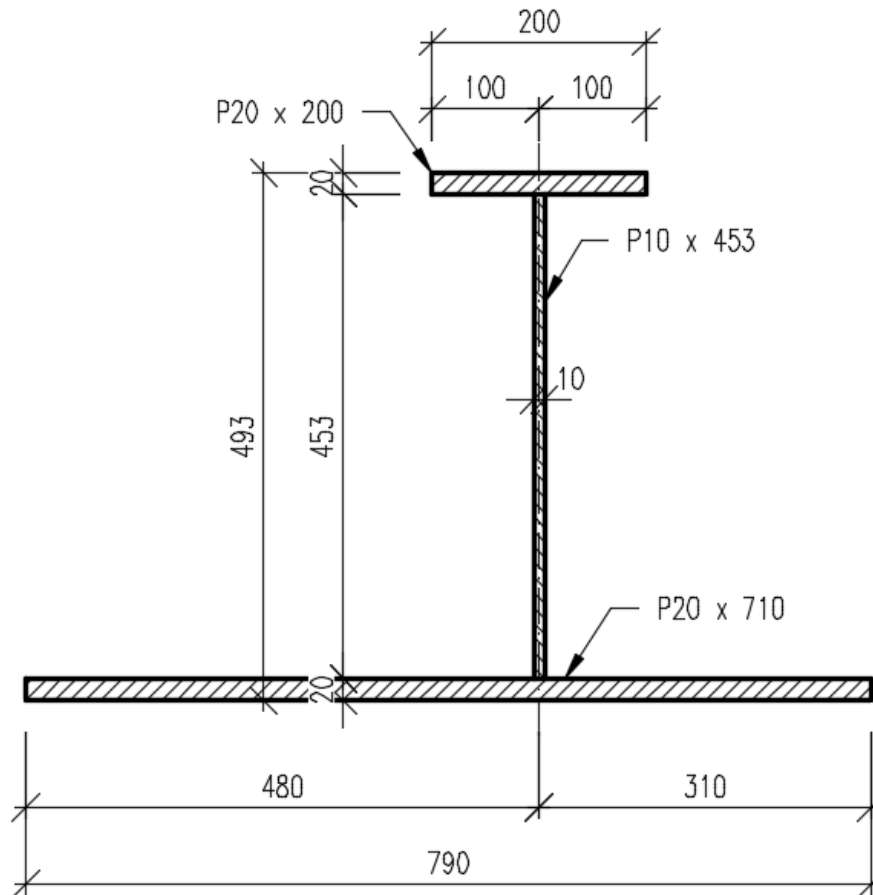
Výpočet zatížitelnosti mostu v km 4,958

trati Rybník - Lipno

Vypracoval: Ing. Zdeněk Lakmayer



4.3.2.2 Příčník PR2_KONC



A [mm²] = 2,4330e+04
Ay [mm²] = 1,9816e+04
Az [mm²] = 2,0016e+04
AL [m²/m] = 2,9460e+00
AD [m²/m] = 2,9460e+00
cYUSS [mm] = 425
cZUSS [mm] = 132
IYLSS [mm⁴] = 8,6549e+08
IZLSS [mm⁴] = 8,7513e+08
IYZLSS [mm⁴] = 1,6357e+08
 α [deg] = 134,16
Iy [mm⁴] = 1,0340e+09
Iz [mm⁴] = 7,0666e+08
iy [mm] = 206
iz [mm] = 170
Wely [mm³] = 2,6071e+06
Welz [mm³] = 2,0250e+06
Wply [mm³] = 4,2398e+06
Wplz [mm³] = 3,5393e+06
It [mm⁴] = 2,7018e+06
Iw [mm⁶] = 2,9630e+12

Přepočet zatížitelnosti

Výpočet zatížitelnosti mostu v km 4,958

trati Rybník - Lipno

Vypracoval: Ing. Zdeněk Lakmayer



4.3.1 Koncový příčník PR1 v místě maximálního svislého ohybového momentu a posouvající síly

Materiálové vlastnosti

druh oceli		ocel 37 do 25 mm vč.
$f_y =$	235 MPa	charakteristická mez kluzu
$f_{y,d} =$	235,0 MPa	návrhová mez kluzu
$f_{y,w,d} =$	235,0 MPa	návrhová pevnost ve smyku
$E =$	210000 MPa	modul pružnosti
$g_{M0} =$	1,00	
$g_{M1} =$	1,10	
$g_{M2} =$	1,25	

Geometrické vlastnosti

L	1800 mm	délka prutu v rozhodujícím směru
$L_f =$	3,600 m	náhradní délka dle tab. 6.2 ČSN EN 1991-2
$f =$	2,00	dynam. součinitel vypočtený
$f =$	2,00	dynam. součinitel dle omezení 6.4.5.2 ČSN EN 1991-2

Průřezové charakteristiky

$A =$	1,2530E+04 mm ²	plocha průřezu
$I_y =$	5,2519E+08 mm ⁴	moment setrvačnosti
$I_z =$	2,6704E+07 mm ⁴	moment setrvačnosti
$i_y =$	204,7 mm	poloměr setrvačnosti
$i_z =$	46,2 mm	poloměr setrvačnosti
$i_{min} =$	46,2 mm	minimální poloměr setrvačnosti
$t =$	10 mm	tloušťka stojiny
$h_w =$	453 mm	výška stojiny účinná na smyk
$A_v =$	4530 mm ²	smyková plocha
$d =$	493 mm	celková výška průřezu
$z_h =$	247 mm	vzdálenost horních krajních vláken
$z_d =$	246 mm	vzdálenost dolních krajních vláken

Přepočet zatížitelnosti

Výpočet zatížitelnosti mostu v km 4,958

trati Rybník - Lipno

Vypracoval: Ing. Zdeněk Lakmayer



$b_{hor} =$	200 mm	celková šířka horní pásnice
$b_{p,hor} =$	100 mm	vzdálenost pravých krajních vláken horní pásnice
$b_{l,hor} =$	100 mm	vzdálenost levých krajních vláken horní pásnice
$b_{dol} =$	200 mm	celková šířka dolní pásnice
$b_{p,dol} =$	100 mm	vzdálenost pravých krajních vláken dolní pásnice
$b_{l,dol} =$	100 mm	vzdálenost levých krajních vláken dolní pásnice
$W_{y,H} =$	2,1263E+06 mm ³	svislý průřezový modul k horním vláknům
$W_{y,D} =$	2,1349E+06 mm ³	svislý průřezový modul k dolním vláknům
$W_{z,H,L} =$	2,6704E+05 mm ³	vodorovný průřezový modul k levým horním vláknům
$W_{z,D,L} =$	2,6704E+05 mm ³	vodorovný průřezový modul k levým dolním vláknům
$W_{z,H,P} =$	2,6704E+05 mm ³	vodorovný průřezový modul k pravým horním vláknům
$W_{z,D,P} =$	2,6704E+05 mm ³	vodorovný průřezový modul k pravým dolním vláknům

Vzpěr tlačných prvků

vzpěrný tlak je uvažován

c		křivka vzpěrné pevnosti
$a =$	0,49	součinitel imperfekce
$b =$	1	součinitel vzpěrné délky
$L_{cr} =$	1800 mm	kritická délka
$I =$	38,99	štíhlost
$I_1 =$	93,91	srovnávací štíhlost
$I_d =$	0,415	poměrná štíhlost
$f =$	0,639	
$c =$	0,889	

Ostatní součinitele

$m =$	1,00	součinitel vlivu excentricity
$a =$	1,00	klasifikační součinitel dle 6.3.2 (3)P ČSN EN 1991-2
$x =$	0,85	redukční součinitel pro nepříznivá stálá zatížení dle ČSN EN 1990/A1

Rozhodující skupina zatížení
gr12

Kombinace zatížení dle výrazu
6.10b

ZS	Zatížení	Gr	y o	gr12	Vnitřní síly			
					charakteristické			
					Vz kN	N kN	My kNm	Mz kNm
1	VI. tíha	1,0625	1	1	0,9	-1,4	2,2	0,1
2	Ostatní stálé (nah. dlouhodobé)	1,0625	1	1	0,1	-0,8	1,3	0,0
3	Rozjezdové a brzdné síly	1,3	1	0,5	0,0	13,4	6,8	-0,5
4	Boční rázy (ostatní)	1,3	1	1	11,7	43,2	3,8	3,9
5	Vítr - celkový účinek	1,35	0,75	1	9,4	25,2	4,6	4,8
109	Nahod. krátkodobé (vlak, vozidla)	1,3	1	1	0,0	-13,3	90,5	0,8

Přepočet zatížitelnosti

Výpočet zatížitelnosti mostu v km 4,958

trati Rybník - Lipno

Vypracoval: Ing. Zdeněk Lakmayer



Vnitřní síly			
návrhové			
Vz	N	My	Mz
kN	kN	kNm	kNm
0,9	-1,5	2,4	0,1
0,1	-0,8	1,4	0,0
0,0	8,7	4,4	-0,3
15,2	56,1	4,9	5,0
9,6	25,5	4,6	4,8
0,0	-34,6	235,3	2,1

KROK 1 - OVĚŘENÍ PODMÍNKY A.2

Předpoklad $Z_{LM71}=1,0$

$$V_{Ed} = Z_{LM71} \cdot V_{LM71,Ed} + V_{rs,Ed}$$

$$V_{Ed} = 25,8 \text{ kN}$$

Vliv boulení není třeba zahrnovat

$$V_{pl,Rd} = 614,6 \text{ kN}$$

$$\eta_3 = \frac{V_{Ed}}{V_{pl,Rd}} \leq 0,5 \quad (\text{A.2})$$

$$h_3 = 0,042 \leq 0,5 \quad \text{podmínka (A.2) je splněna}$$

Přepočet zatížitelnosti

Výpočet zatížitelnosti mostu v km 4,958

trati Rybník - Lipno

Vypracoval: Ing. Zdeněk Lakmayer



KROK 2 - STANOVENÍ ZATÍŽITELNOSTI Z ROVNICE A.7

$$\eta_{l,rs} = \frac{N_{rs,Ed}}{A \cdot f_y / \gamma_{M0}} + \frac{M_{y,rs,Ed}}{W_{el,y} \cdot f_y / \gamma_{M0}} + \frac{M_{z,rs,Ed}}{W_{el,z} \cdot f_y / \gamma_{M0}} \quad Z_{LM71} = \frac{1 - \eta_{l,rs}}{\eta_{l,LM71}}$$

vlákna

						$Z_{LM71} =$
1 $h_{1,rs} =$	$\frac{87998,6}{2618483,3}$	+	$\frac{17690500,0}{501705894}$	+	$\frac{9621125,0}{62754400}$	= 0,222 1,51
2 $h_{1,rs} =$	$\frac{87998,6}{2618483,3}$	+	$\frac{17690500,0}{501705894}$	+	$\frac{9621125,0}{62754400}$	= 0,222 1,51
3 $h_{1,rs} =$	$\frac{87998,6}{2618483,3}$	+	$\frac{17690500}{499674696}$	+	$\frac{9621125,0}{62754400}$	= 0,222 1,50
4 $h_{1,rs} =$	$\frac{87998,6}{2618483,3}$	+	$\frac{17690500}{499674696}$	+	$\frac{9621125,0}{62754400}$	= 0,222 1,50

$$\eta_{l,LM71} = \frac{N_{LM71,Ed}}{A \cdot f_y / \gamma_{M0}} + \frac{M_{y,LM71,Ed}}{W_{el,y} \cdot f_y / \gamma_{M0}} + \frac{M_{z,LM71,Ed}}{W_{el,z} \cdot f_y / \gamma_{M0}}$$

1 $h_{1,LM71} =$	$\frac{34580,0}{2618483,3}$	+	$\frac{235300000}{501705894}$	+	$\frac{2080000,0}{62754400}$	= 0,515
2 $h_{1,LM71} =$	$\frac{34580,0}{2618483,3}$	+	$\frac{235300000}{501705894}$	+	$\frac{2080000,0}{62754400}$	= 0,515
3 $h_{1,LM71} =$	$\frac{34580,0}{2618483,3}$	+	$\frac{235300000}{499674696}$	+	$\frac{2080000,0}{62754400}$	= 0,517
4 $h_{1,LM71} =$	$\frac{34580,0}{2618483,3}$	+	$\frac{235300000}{499674696}$	+	$\frac{2080000,0}{62754400}$	= 0,517

$Z_{LM71} = 1,50$ z napětí v horních pravých vláknech

KROK 3 - ZNOVUOVĚŘENÍ PODMÍNKY A.2

$$V_{Ed} = Z_{LM71} \cdot V_{LM71,Ed} + V_{rs,Ed}$$

$$V_{Ed} = 25,8 \text{ kN}$$

Vliv boulení není třeba zahrnovat

$$V_{plRd} = 614,6 \text{ kN}$$

$$h_3 = 0,042 \leq 0,5 \quad \text{Podmínka A.2 je splněna.}$$

Přepočet zatížitelnosti

Výpočet zatížitelnosti mostu v km 4,958

trati Rybník - Lipno

Vypracoval: Ing. Zdeněk Lakmayer



4.3.1 Koncový příčník PR2_KONC v místě maximálního svislého ohybového momentu a posouvající síly

Materiálové vlastnosti

druh oceli	ocel 37 do 25 mm vč.	
$f_y =$	235 MPa	charakteristická mez kluzu
$f_{y,d} =$	235,0 MPa	návrhová mez kluzu
$f_{y,w,d} =$	235,0 MPa	návrhová pevnost ve smyku
$E =$	210000 MPa	modul pružnosti
$g_{M0} =$	1,00	
$g_{M1} =$	1,10	
$g_{M2} =$	1,25	

Geometrické vlastnosti

L	575 mm	délka prutu v rozhodujícím směru
$L_f =$	3,600 m	náhradní délka dle tab. 6.2 ČSN EN 1991-2
$f =$	2,00	dynam. součinitel vypočtený
$f =$	2,00	dynam. součinitel dle omezení 6.4.5.2 ČSN EN 1991-2

Průřezové charakteristiky

$A =$	2,4330E+04 mm ²	plocha průřezu
$I_y =$	8,6550E+08 mm ⁴	moment setrvačnosti
$I_z =$	8,7510E+08 mm ⁴	moment setrvačnosti
$i_y =$	188,6 mm	poloměr setrvačnosti
$i_z =$	189,7 mm	poloměr setrvačnosti
$i_{\min} =$	188,6 mm	minimální poloměr setrvačnosti
$t =$	10 mm	tloušťka stojiny
$h_w =$	453 mm	výška stojiny účinná na smyk
$A_v =$	4530 mm ²	smyková plocha
$d =$	493 mm	celková výška průřezu
$z_h =$	361 mm	vzdálenost horních krajních vláken
$z_d =$	132 mm	vzdálenost dolních krajních vláken

Přepočet zatížitelnosti

Výpočet zatížitelnosti mostu v km 4,958

trati Rybník - Lipno

Vypracoval: Ing. Zdeněk Lakmayer



$b_{hor} =$	200 mm	celková šířka horní pásnice
$b_{p,hor} =$	100 mm	vzdálenost pravých krajních vláken horní pásnice
$b_{l,hor} =$	100 mm	vzdálenost levých krajních vláken horní pásnice
$b_{dol} =$	790 mm	celková šířka dolní pásnice
$b_{p,dol} =$	310 mm	vzdálenost pravých krajních vláken dolní pásnice
$b_{l,dol} =$	480 mm	vzdálenost levých krajních vláken dolní pásnice
$W_{y,H} =$	2,3975E+06 mm ³	svislý průřezový modul k horním vláknům
$W_{y,D} =$	6,5568E+06 mm ³	svislý průřezový modul k dolním vláknům
$W_{z,H,L} =$	8,7510E+06 mm ³	vodorovný průřezový modul k levým horním vláknům
$W_{z,D,L} =$	1,8231E+06 mm ³	vodorovný průřezový modul k levým dolním vláknům
$W_{z,H,P} =$	8,7510E+06 mm ³	vodorovný průřezový modul k pravým horním vláknům
$W_{z,D,P} =$	2,8229E+06 mm ³	vodorovný průřezový modul k pravým dolním vláknům

Vzpěr tlačných prvků

vzpěrný tlak je uvažován

c		křivka vzpěrné pevnosti
$a =$	0,49	součinitel imperfekce
$b =$	1	součinitel vzpěrné délky
$L_{cr} =$	575 mm	kritická délka
$I =$	3,05	štíhlost
$I_1 =$	93,91	srovnávací štíhlost
$I_d =$	0,032	poměrná štíhlost
$f =$	0,459	
$c =$	1,000	

Ostatní součinitele

$m =$	1,00	součinitel vlivu excentricity
$a =$	1,00	klasifikační součinitel dle 6.3.2 (3)P ČSN EN 1991-2
$x =$	0,85	redukční součinitel pro nepříznivá stálá zatížení dle ČSN EN 1990/A1

Rozhodující skupina zatížení
gr12

Kombinace zatížení dle výrazu
6.10b

ZS	Zatížení	Gr	y o	gr12	Vnitřní síly			
					charakteristické			
					Vz kN	N kN	My kNm	Mz kNm
1	VI. tíha	1,0625	1	1	3,5	-1,3	2,4	0,2
2	Ostatní stálé (nah. dlouhodobé)	1,0625	1	1	4,1	-0,7	1,4	0,1
3	Rozjezdové a brzdné síly	1,3	1	0,5	15,5	12,6	5,4	-1,4
4	Boční rázy (ostatní)	1,3	1	1	1,7	32,1	7,7	-4,3
5	Vítr - celkový účinek	1,35	0,75	1	12,6	16,6	2,5	2,6
101	Nahod. krátkodobé (vlak, vozidla)	1,3	1	1	153,0	-15,2	92,1	-2,2

Přepočet zatížitelnosti

Výpočet zatížitelnosti mostu v km 4,958

trati Rybník - Lipno

Vypracoval: Ing. Zdeněk Lakmayer



KROK 2 - STANOVENÍ ZATÍŽITELNOSTI Z ROVNICE A.7

$$\eta_{l,rs} = \frac{N_{rs,Ed}}{A \cdot f_y / \gamma_{M0}} + \frac{M_{y,rs,Ed}}{W_{el,y} \cdot f_y / \gamma_{M0}} + \frac{M_{z,rs,Ed}}{W_{el,z} \cdot f_y / \gamma_{M0}} \quad Z_{LM71} = \frac{1 - \eta_{l,rs}}{\eta_{l,LM71}}$$

vlákna

						$Z_{LM71} =$
1 $h_{1,rs} =$	$\frac{64603,5}{5717550,0}$	+	$\frac{19956750,0}{1540852273}$	+	$\frac{3580125,0}{428434375}$	= 0,033 5,50
2 $h_{1,rs} =$	$\frac{64603,5}{5717550,0}$	+	$\frac{19956750,0}{1540852273}$	+	$\frac{3580125,0}{663382258}$	= 0,030 5,67
3 $h_{1,rs} =$	$\frac{64603,5}{5717550,0}$	+	$\frac{19956750}{563414127}$	+	$\frac{3580125,0}{2056485000}$	= 0,048 2,19
4 $h_{1,rs} =$	$\frac{64603,5}{5717550,0}$	+	$\frac{19956750}{563414127}$	+	$\frac{3580125,0}{2056485000}$	= 0,048 2,19

$$\eta_{l,LM71} = \frac{N_{LM71,Ed}}{A \cdot f_y / \gamma_{M0}} + \frac{M_{y,LM71,Ed}}{W_{el,y} \cdot f_y / \gamma_{M0}} + \frac{M_{z,LM71,Ed}}{W_{el,z} \cdot f_y / \gamma_{M0}}$$

1 $h_{1,LM71} =$	$\frac{39494,0}{5717550,0}$	+	$\frac{239356000}{1540852273}$	+	$\frac{5798000,0}{428434375}$	= 0,176
2 $h_{1,LM71} =$	$\frac{39494,0}{5717550,0}$	+	$\frac{239356000}{1540852273}$	+	$\frac{5798000,0}{663382258}$	= 0,171
3 $h_{1,LM71} =$	$\frac{39494,0}{5717550,0}$	+	$\frac{239356000}{563414127}$	+	$\frac{5798000,0}{2056485000}$	= 0,435
4 $h_{1,LM71} =$	$\frac{39494,0}{5717550,0}$	+	$\frac{239356000}{563414127}$	+	$\frac{5798000,0}{2056485000}$	= 0,435

$Z_{LM71} = 2,19$ z napětí v horních pravých vláknech

Přepočet zatížitelnosti

Výpočet zatížitelnosti mostu v km 4,958

trati Rybník - Lipno

Vypracoval: Ing. Zdeněk Lakmayer



4.3.2 Koncový příčník PR2_KONC v místě maximálního vodorovného ohybového momentu

Vzpěr tlačných prvků

vzpěrný tlak je uvažován

c		křivka vzpěrné pevnosti
a =	0,49	součinitel imperfekce
b =	1	součinitel vzpěrné délky
L_{cr} =	575 mm	kritická délka
I =	3,05	štíhlost
I_1 =	93,91	srovnávací štíhlost
I_d =	0,032	poměrná štíhlost
f =	0,459	
c =	1,000	

Ostatní součinitele

m_M =	1,00	součinitel vlivu excentricity
a =	1,00	klasifikační součinitel dle 6.3.2 (3)P ČSN EN 1991-2
x =	0,85	redukční součinitel pro nepříznivá stálá zatížení dle ČSN EN 1990/A1

Rozhodující skupina zatížení
gr12

Kombinace zatížení dle výrazu
6.10b

ZS	Zatížení	Gr	y o	gr12	Vnitřní síly			
					charakteristické			
					Vz kN	N kN	My kNm	Mz kNm
1	VI. tíha	1,0625	1	1	4,4	-1,5	0,1	1,8
2	Ostatní stálé (nah. dlouhodobé)	1,0625	1	1	4,0	-0,8	-1,0	0,9
3	Rozjezdové a brzdné síly	1,3	1	0,5	15,9	-9,1	2,5	10,2
4	Boční rázy (ostatní)	1,3	1	1	0,4	-28,3	7,6	24,7
5	Vítr - celkový účinek	1,35	0,75	1	12,3	-16,8	4,8	14,0
105	Nahod. krátkodobé (vlak, vozidla)	1,3	1	1	65,1	-18,2	5,4	21,5

Vnitřní síly			
návrhové			
Vz	N	My	Mz
kN	kN	kNm	kNm
4,7	-1,6	0,1	1,9
4,3	-0,8	-1,0	1,0
10,3	-5,9	1,6	6,6
0,5	-36,8	9,9	32,1
12,4	-17,0	4,9	14,2
169,2	-47,4	13,9	55,8

Přepočet zatížitelnosti

Výpočet zatížitelnosti mostu v km 4,958

trati Rybník - Lipno

Vypracoval: Ing. Zdeněk Lakmayer



KROK 1 - OVĚŘENÍ PODMÍNKY A.2

Předpoklad $Z_{LM71}=1,0$

$$V_{Ed} = Z_{LM71} \cdot V_{LM71,Ed} + V_{rs,Ed}$$

$$V_{Ed} = 201,4 \text{ kN}$$

Vliv boulení není třeba zahrnovat

$$V_{pl,Rd} = 614,6 \text{ kN}$$

$$\eta_3 = \frac{V_{Ed}}{V_{pl,Rd}} \leq 0,5 \quad (\text{A.2})$$

$$h_3 = 0,328 \leq 0,5 \quad \text{podmínka (A.2) je splněna}$$

KROK 2 - STANOVENÍ ZATÍŽITELNOSTI Z ROVNICE A.7

$$\eta_{l,rs} = \frac{N_{rs,Ed}}{A \cdot f_y / \gamma_{M0}} + \frac{M_{y,rs,Ed}}{W_{el,y} \cdot f_y / \gamma_{M0}} + \frac{M_{z,rs,Ed}}{W_{el,z} \cdot f_y / \gamma_{M0}} \quad Z_{LM71} = \frac{1 - \eta_{l,rs}}{\eta_{l,LM71}}$$

vlákna						$Z_{LM71} =$
1 $h_{1,rs} =$	$\frac{61997,9}{5717550,0}$	+	$\frac{15501000,0}{1540852273}$	+	$\frac{55783125,0}{428434375}$	= 0,151 5,75
2 $h_{1,rs} =$	$\frac{61997,9}{5717550,0}$	+	$\frac{15501000,0}{1540852273}$	+	$\frac{55783125,0}{663382258}$	= 0,105 8,82
3 $h_{1,rs} =$	$\frac{61997,9}{5717550,0}$	+	$\frac{15501000}{563414127}$	+	$\frac{55783125,0}{2056485000}$	= 0,065 15,54
4 $h_{1,rs} =$	$\frac{61997,9}{5717550,0}$	+	$\frac{15501000}{563414127}$	+	$\frac{55783125,0}{2056485000}$	= 0,065 15,54
$\eta_{l,LM71} = \frac{N_{LM71,Ed}}{A \cdot f_y / \gamma_{M0}} + \frac{M_{y,LM71,Ed}}{W_{el,y} \cdot f_y / \gamma_{M0}} + \frac{M_{z,LM71,Ed}}{W_{el,z} \cdot f_y / \gamma_{M0}}$						
1 $h_{1,LM71} =$	$\frac{47372,0}{5717550,0}$	+	$\frac{13936000}{1540852273}$	+	$\frac{55796000,0}{428434375}$	= 0,148
2 $h_{1,LM71} =$	$\frac{47372,0}{5717550,0}$	+	$\frac{13936000}{1540852273}$	+	$\frac{55796000,0}{663382258}$	= 0,101
3 $h_{1,LM71} =$	$\frac{47372,0}{5717550,0}$	+	$\frac{13936000}{563414127}$	+	$\frac{55796000,0}{2056485000}$	= 0,060
4 $h_{1,LM71} =$	$\frac{47372,0}{5717550,0}$	+	$\frac{13936000}{563414127}$	+	$\frac{55796000,0}{2056485000}$	= 0,060

$$Z_{LM71} = 5,75 \text{ z napětí v dolních levých vláknech}$$

Přepočet zatížitelnosti

Výpočet zatížitelnosti mostu v km 4,958

trati Rybník - Lipno

Vypracoval: Ing. Zdeněk Lakmayer



4.3.1 Koncový příčník PR2_KONC v místě maximální posouvající síly

Materiálové vlastnosti

druh oceli		ocel 37 do 25 mm vč.
$f_y =$	230 MPa	charakteristická mez kluzu
$f_{y,d} =$	230,0 MPa	návrhová mez kluzu
$f_{y,w,d} =$	230,0 MPa	návrhová pevnost ve smyku
$E =$	210000 MPa	modul pružnosti
$g_{M0} =$	1,00	
$g_{M1} =$	1,10	
$g_{M2} =$	1,25	

Geometrické vlastnosti

L	575 mm	délka prutu v rozhodujícím směru
$L_f =$	3,600 m	náhradní délka dle tab. 6.2 ČSN EN 1991-2
$f =$	2,00	dynam. součinitel vypočtený
$f =$	2,00	dynam. součinitel dle omezení 6.4.5.2 ČSN EN 1991-2

Průřezové charakteristiky

$t =$	10 mm	tloušťka stojiny
$h_w =$	453 mm	výška stojiny účinná na smyk
$A_v =$	4530 mm ²	smyková plocha

Přepočet zatížitelnosti

Výpočet zatížitelnosti mostu v km 4,958

trati Rybník - Lipno

Vypracoval: Ing. Zdeněk Lakmayer



Ostatní součinitele

$m_M = 1,00$

$a = 1,00$

$x = 0,85$

součinitel vlivu excentricity

klasifikační součinitel dle 6.3.2 (3)P ČSN EN 1991-2

redukční součinitel pro nepříznivá stálá zatížení dle ČSN EN 1990/A1

Rozhodující skupina zatížení

gr11

Kombinace zatížení dle výrazu

6.10b

ZS	Zatížení	Gr	y o	gr11	Vnitřní síly charakteristické	Vnitřní síly návrhové
					Vz	Vz
					kN	kN
1	VI. tíha	1,0625	1	1	3,5	3,8
2	Ostatní stálé (nah. dlouhodobé)	1,0625	1	1	4,3	4,5
3	Rozjezdové a brzděné síly	1,3	1	1	15,5	20,1
4	Boční rázy (ostatní)	1,3	1	0,5	8,9	5,8
5	Vítr - celkový účinek	1,35	0,75	1	12,3	12,5
109	Nahod. krátkodobé (vlak, vozidla)	1,3	1	1	155,2	403,4

VÝPOČET ZATÍŽITELNOSTI ZE SMYKOVÉ SÍLY

$$V_{Ed} = Z_{LM71} \cdot V_{LM71,Ed} + V_{rs,Ed}$$

$$V_{Ed} = 450,1 \text{ kN}$$

Vliv boulení není třeba zahrnovat

$$V_{plRd} = 601,5 \text{ kN}$$

$$Z_{LM71} = (R_d - E_{rs,Ed}) / E_{LM71,Ed}$$

$$Z_{LM71} = \frac{601,5 - 46,65}{403,4}$$

$$Z_{LM71} = 1,38$$

Přepočet zatížitelnosti

Výpočet zatížitelnosti mostu v km 4,958

trati Rybník - Lipno

Vypracoval: Ing. Zdeněk Lakmayer



4.4 Hlavní nosník

4.4.1 Vliv klopení

Posuzovaný prut nebyl posuzován na klopení, protože je jeho tlačný (horní) pás zabezpečen proti vybočení ve vzdálenosti menší než 40ti násobek poloměru setrvačnosti konvenčního tlačného pásu nosníku. Přitom se uvažuje poloměr setrvačnosti z roviny ohybu konvenčního tlačného pásu nosníku, který je tvořen pásnicí a přilehlou částí stojiny, zahrnující 1/6 její plochy.

Tlačný pás je proti vybočení z roviny ohybu zabezpečen příčníky po vzdálenostech $L = 2100 \text{ mm}$.

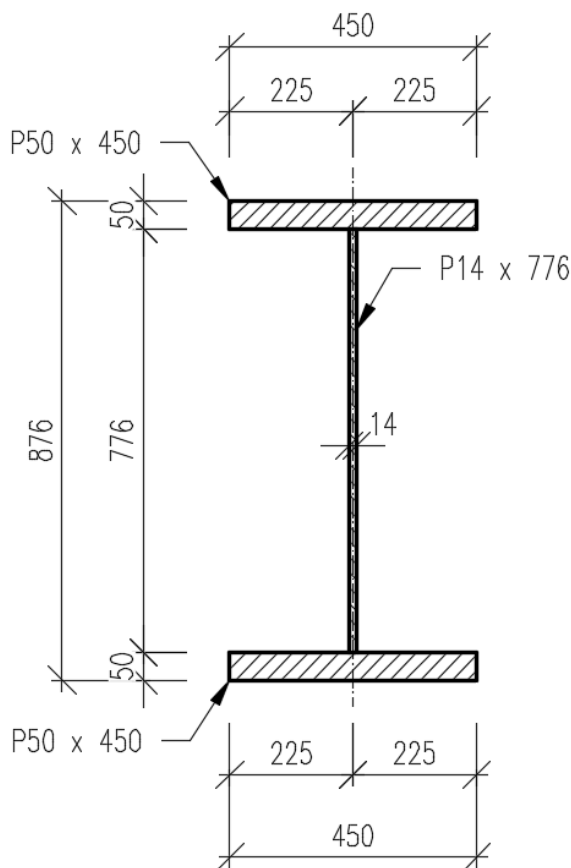
• Vliv klopení

$$40 \cdot i_{zp} = 40 \cdot 129,90 = 5196 \text{ mm} > 2100 \text{ mm}$$

VYHOVUJE

není třeba uvažovat vliv klopení

4.4.2 Průřezové charakteristiky



HN		
A [mm ²]	5,59E+04	
A _y [mm ²], A _z [mm ²]	4,07E+04	1,27E+04
A _L [m ² /m], A _D [m ² /m]	3,52E+00	3,52E+00
C _{y,UCS} [mm], C _{z,UCS} [mm]	225	438
α [deg]	0	
I _y [mm ⁴], I _z [mm ⁴]	8,23E+09	7,60E+08
i _y [mm], i _z [mm]	384	117
W _{el,y} [mm ³], W _{el,z} [mm ³]	1,88E+07	3,38E+06
W _{pl,y} [mm ³], W _{pl,z} [mm ³]	2,07E+07	5,10E+06
M _{pl,y,+} [Nmm], M _{pl,y,-} [Nmm]	4448912440	4448912440
M _{pl,z,+} [Nmm], M _{pl,z,-} [Nmm]	1096612660	1096612660
d _y [mm], d _z [mm]	0	0
I _t [mm ⁴], I _w [mm ⁶]	3,83E+07	1,30E+14
β _y [mm], β _z [mm]	0	0

Přepočet zatížitelnosti

Výpočet zatížitelnosti mostu v km 4,958

trati Rybník - Lipno

Vypracoval: Ing. Zdeněk Lakmayer



Vysvětlivky symbolů	
A	Plocha
A_y	Smyková plocha ve směru hlavní osy y
A_z	Smyková plocha ve směru hlavní osy z
A_L	Obvodový povrch na jednotku délky
A_D	Vysýchající povrch na jednotku délky
$C_{Y.UCS}$	Souřadnice těžiště ve směru osy Y zadávacího systému
$C_{Z.UCS}$	Souřadnice těžiště ve směru osy Z zadávacího systému
$I_{Y.LCS}$	Moment setrvačnosti kolem osy $YLSS$
$I_{Z.LCS}$	Moment setrvačnosti kolem osy $ZLSS$
$I_{YZ.LCS}$	Moment setrvačnosti lyž v LSS
α	Úhel pootočení hlavní osy
I_y	Moment setrvačnosti kolem hlavní osy y
I_z	Moment setrvačnosti kolem hlavní osy z
i_y	Poloměr setrvačnosti kolem hlavní osy y
i_z	Poloměr setrvačnosti kolem hlavní osy z
$W_{el.y}$	Pružný modul průřezu k hlavní ose y
$W_{el.z}$	Pružný modul průřezu k hlavní ose z
$W_{pl.y}$	Plastický modul průřezu k hlavní ose y
$W_{pl.z}$	Plastický modul průřezu k hlavní ose z
$M_{pl.y.+}$	Plastický moment kolem hlavní osy y pro kladný moment M_y
$M_{pl.y.-}$	Plastický moment kolem hlavní osy y pro záporný moment M_y
$M_{pl.z.+}$	Plastický moment kolem hlavní osy z pro kladný moment M_z
$M_{pl.z.-}$	Plastický moment kolem hlavní osy z pro záporný moment M_z
d_y	Souřadnice středu smyku ve směru hlavní osy y měřená od těžiště
d_z	Souřadnice středu smyku ve směru hlavní osy z měřená od těžiště
I_t	Moment setrvačnosti v prostém kroucení
I_w	Výsečový moment setrvačnosti
β_y	Mono-symetrická konstanta kolem hlavní osy y
β_z	Mono-symetrická konstanta kolem hlavní osy z

Přepočet zatížitelnosti

Výpočet zatížitelnosti mostu v km 4,958

trati Rybník - Lipno

Vypracoval: Ing. Zdeněk Lakmayer



4.4.3 Hlavní nosník HN v místě maximálního svislého ohybového momentu

Materiálové vlastnosti

druh oceli		ocel 37 nad 25 mm
$f_y =$	210 MPa	charakteristická mez kluzu
$f_{y,d} =$	210,0 MPa	návrhová mez kluzu
$f_{y,w,d} =$	210,0 MPa	návrhová pevnost ve smyku
$E =$	210000 MPa	modul pružnosti
$g_{M0} =$	1,00	
$g_{M1} =$	1,10	
$g_{M2} =$	1,25	

Geometrické vlastnosti

L	9450 mm	délka prutu v rozhodujícím směru
$L_f =$	9,450 m	náhradní délka dle tab. 6.2 ČSN EN 1991-2
$f =$	1,48	dynam. součinitel vypočtený
$f =$	1,48	dynam. součinitel dle omezení 6.4.5.2 ČSN EN 1991-2

Průřezové charakteristiky

$A =$	5,5864E+04 mm ²	plocha průřezu
$I_y =$	8,2302E+09 mm ⁴	moment setrvačnosti
$I_z =$	7,5955E+08 mm ⁴	moment setrvačnosti
$i_y =$	383,8 mm	poloměr setrvačnosti
$i_z =$	116,6 mm	poloměr setrvačnosti
$i_{\min} =$	116,6 mm	minimální poloměr setrvačnosti
$t =$	14 mm	tloušťka stojiny
$h_w =$	776 mm	výška stojiny účinná na smyk
$A_v =$	10864 mm ²	smyková plocha
$d =$	876 mm	celková výška průřezu
$z_h =$	438 mm	vzdálenost horních krajních vláken
$z_d =$	438 mm	vzdálenost dolních krajních vláken

Přepočet zatížitelnosti

Výpočet zatížitelnosti mostu v km 4,958

trati Rybník - Lipno

Vypracoval: Ing. Zdeněk Lakmayer



$b_{hor} =$	450 mm	celková šířka horní pásnice
$b_{p,hor} =$	225 mm	vzdálenost pravých krajních vláken horní pásnice
$b_{l,hor} =$	225 mm	vzdálenost levých krajních vláken horní pásnice
$b_{dol} =$	450 mm	celková šířka dolní pásnice
$b_{p,dol} =$	225 mm	vzdálenost pravých krajních vláken dolní pásnice
$b_{l,dol} =$	225 mm	vzdálenost levých krajních vláken dolní pásnice
$W_{y,H} =$	1,8790E+07 mm ³	svislý průřezový modul k horním vláknům
$W_{y,D} =$	1,8790E+07 mm ³	svislý průřezový modul k dolním vláknům
$W_{z,H,L} =$	3,3758E+06 mm ³	vodorovný průřezový modul k levým horním vláknům
$W_{z,D,L} =$	3,3758E+06 mm ³	vodorovný průřezový modul k levým dolním vláknům
$W_{z,H,P} =$	3,3758E+06 mm ³	vodorovný průřezový modul k pravým horním vláknům
$W_{z,D,P} =$	3,3758E+06 mm ³	vodorovný průřezový modul k pravým dolním vláknům

Vzpěr tlačných prvků

vzpěrný tlak je uvažován

c		křivka vzpěrné pevnosti
$a =$	0,49	součinitel imperfekce
$b =$	1	součinitel vzpěrné délky
$L_{cr} =$	9450 mm	kritická délka
$I =$	81,04	štíhlost
$I_1 =$	99,35	srovnávací štíhlost
$I_d =$	0,816	poměrná štíhlost
$f =$	0,984	
$c =$	0,652	

Ostatní součinitele

$m =$	1,11	součinitel vlivu excentricity
$a =$	1,00	klasifikační součinitel dle 6.3.2 (3)P ČSN EN 1991-2
$x =$	0,85	redukční součinitel pro nepříznivá stálá zatížení dle ČSN EN 1990/A1

Rozhodující skupina zatížení
gr12

Kombinace zatížení dle výrazu
6.10b

ZS	Zatížení	Gr	y o	gr12	Vnitřní síly			
					charakteristické			
					Vz kN	N kN	My kNm	Mz kNm
1	VI. tíha	1,0625	1	1	5,4	-7,9	66,7	0,6
2	Ostatní stálé (nah. dlouhodobé)	1,0625	1	1	5,4	-4,2	37,2	0,4
3	Rozjezdové a brzdné síly	1,3	1	0,5	4,1	-49,4	7,8	7,3
4	Boční rázy (ostatní)	1,3	1	1	3,2	92,6	57,6	-26,3
5	Vítr - celkový účinek	1,35	0,75	1	11,9	44,8	96,4	-18,1
105	Nahod. krátkodobé (vlak, vozidla)	1,3	1	1	124,8	-89,9	783,0	10,4

Přepočet zatížitelnosti

Výpočet zatížitelnosti mostu v km 4,958

trati Rybník - Lipno

Vypracoval: Ing. Zdeněk Lakmayer



Vnitřní síly			
návrhové			
Vz	N	My	Mz
kN	kN	kNm	kNm
5,8	-8,4	70,9	0,7
5,7	-4,5	39,5	0,4
2,7	-32,1	5,1	4,8
4,1	120,4	74,9	-34,2
12,0	45,4	97,6	-18,3
266,8	-192,2	1674,0	22,2

KROK 1 - OVĚŘENÍ PODMÍNKY A.2

Předpoklad $Z_{LM71}=1,0$

$$V_{Ed} = Z_{LM71} \cdot V_{LM71,Ed} + V_{rs,Ed}$$

$$V_{Ed} = 297,2 \text{ kN}$$

Vliv boulení není třeba zahrnovat

$$V_{pl,Rd} = 1317,2 \text{ kN}$$

$$\eta_3 = \frac{V_{Ed}}{V_{pl,Rd}} \leq 0,5 \quad (\text{A.2})$$

$$h_3 = 0,226 \leq 0,5 \quad \text{podmínka (A.2) je splněna}$$

Přepočet zatížitelnosti

Výpočet zatížitelnosti mostu v km 4,958

trati Rybník - Lipno

Vypracoval: Ing. Zdeněk Lakmayer



KROK 2 - STANOVENÍ ZATÍŽITELNOSTI Z ROVNICE A.7

$$\eta_{l,rs} = \frac{N_{rs,Ed}}{A \cdot f_y / \gamma_{M0}} + \frac{M_{y,rs,Ed}}{W_{el,y} \cdot f_y / \gamma_{M0}} + \frac{M_{z,rs,Ed}}{W_{el,z} \cdot f_y / \gamma_{M0}} \quad Z_{LM71} = \frac{1 - \eta_{l,rs}}{\eta_{l,LM71}}$$

vlákna

						$Z_{LM71} =$
1 $h_{1,rs} =$	$\frac{120857,9}{7651847,1}$	+	$\frac{287968500,0}{3945986301}$	+	$\frac{46692375,0}{708913333}$	= 0,155 1,76
2 $h_{1,rs} =$	$\frac{120857,9}{7651847,1}$	+	$\frac{287968500,0}{3945986301}$	+	$\frac{46692375,0}{708913333}$	= 0,155 1,76
3 $h_{1,rs} =$	$\frac{120857,9}{7651847,1}$	+	$\frac{287968500}{3945986301}$	+	$\frac{46692375,0}{708913333}$	= 0,155 1,76
4 $h_{1,rs} =$	$\frac{120857,9}{7651847,1}$	+	$\frac{287968500}{3945986301}$	+	$\frac{46692375,0}{708913333}$	= 0,155 1,76

$$\eta_{l,LM71} = \frac{N_{LM71,Ed}}{A \cdot f_y / \gamma_{M0}} + \frac{M_{y,LM71,Ed}}{W_{el,y} \cdot f_y / \gamma_{M0}} + \frac{M_{z,LM71,Ed}}{W_{el,z} \cdot f_y / \gamma_{M0}}$$

1 $h_{1,LM71} =$	$\frac{192172,9}{7651847,1}$	+	$\frac{1673971423}{3945986301}$	+	$\frac{22191061,9}{708913333}$	= 0,481
2 $h_{1,LM71} =$	$\frac{192172,9}{7651847,1}$	+	$\frac{1673971423}{3945986301}$	+	$\frac{22191061,9}{708913333}$	= 0,481
3 $h_{1,LM71} =$	$\frac{192172,9}{7651847,1}$	+	$\frac{1673971423}{3945986301}$	+	$\frac{22191061,9}{708913333}$	= 0,481
4 $h_{1,LM71} =$	$\frac{192172,9}{7651847,1}$	+	$\frac{1673971423}{3945986301}$	+	$\frac{22191061,9}{708913333}$	= 0,481

$Z_{LM71} = 1,76$ z napětí v dolních levých vláknech

KROK 3 - ZNOVUOVĚŘENÍ PODMÍNKY A.2

$$V_{Ed} = Z_{LM71} \cdot V_{LM71,Ed} + V_{rs,Ed}$$

$$V_{Ed} = 499,6 \text{ kN}$$

Vliv boulení není třeba zahrnovat

$$V_{plRd} = 1317,2 \text{ kN}$$

$$h_3 = 0,379 \leq 0,5 \quad \text{Podmínka A.2 je splněna.}$$

Přepočet zatížitelnosti

Výpočet zatížitelnosti mostu v km 4,958

trati Rybník - Lipno

Vypracoval: Ing. Zdeněk Lakmayer



Vyšetřování napětí po průřezu

zs	Napětí charakteristické											
	horní okraj						dolní okraj					
	N/A	My/Wy	Mz/Wzl	Mz/Wzp	celkem L	celkem P	N/A	My/Wy	Mz/Wzl	Mz/Wzp	celkem L	celkem P
	S _h						S _d					
	MPa						MPa					
1	-0,1	-3,6	0,2	0,2	-3,5	-3,5	-0,1	3,6	0,2	0,2	3,6	3,6
2	-0,1	-2,0	0,1	0,1	-1,9	-1,9	-0,1	2,0	0,1	0,1	2,0	2,0
3	-0,9	-0,4	2,2	2,2	0,9	0,9	-0,9	0,4	2,2	2,2	1,7	1,7
4	1,7	-3,1	-7,8	-7,8	-9,2	-9,2	1,7	3,1	-7,8	-7,8	-3,1	-3,1
5	0,8	-5,1	-5,4	-5,4	-9,7	-9,7	0,8	5,1	-5,4	-5,4	0,6	0,6
141	0,0	0,0	0,0	0,0	0,0	0,0	0,0	0,0	0,0	0,0	0,0	0,0
125	0,0	0,0	0,0	0,0	0,0	0,0	0,0	0,0	0,0	0,0	0,0	0,0
105	-1,6	-41,7	3,1	3,1	-40,2	-40,2	-1,6	41,7	3,1	3,1	43,1	43,1

zs	Napětí návrhové											
	horní okraj						dolní okraj					
	N/A	My/Wy	Mz/Wzl	Mz/Wzp	celkem L	celkem P	N/A	My/Wy	Mz/Wzl	Mz/Wzp	celkem L	celkem P
	S _h						S _d					
	MPa						MPa					
1	-0,2	-3,8	0,2	0,2	-3,8	-3,8	-0,2	3,8	0,2	0,2	3,7	3,7
2	-0,1	-2,1	0,1	0,1	-2,1	-2,1	-0,1	2,1	0,1	0,1	2,1	2,1
3	-0,9	-0,3	1,4	1,4	0,3	0,3	-0,9	0,3	1,4	1,4	0,8	0,8
4	3,3	-4,0	-10,1	-10,1	-10,8	-10,8	3,3	4,0	-10,1	-10,1	-2,8	-2,8
5	1,2	-5,2	-5,4	-5,4	-9,4	-9,4	1,2	5,2	-5,4	-5,4	1,0	1,0
141	0,0	0,0	0,0	0,0	0,0	0,0	0,0	0,0	0,0	0,0	0,0	0,0
125	0,0	0,0	0,0	0,0	0,0	0,0	0,0	0,0	0,0	0,0	0,0	0,0
105	-5,3	-89,1	6,6	6,6	-87,8	-87,8	-5,3	89,1	6,6	6,6	90,4	90,4

Přepočet zatížitelnosti

Výpočet zatížitelnosti mostu v km 4,958

trati Rybník - Lipno

Vypracoval: Ing. Zdeněk Lakmayer



4.4.4 Hlavní nosník HN v místě maximální posouvající síly

Materiálové vlastnosti

druh oceli		ocel 37 do 25 mm vč.
$f_y =$	230 MPa	charakteristická mez kluzu
$f_{y,d} =$	230,0 MPa	návrhová mez kluzu
$f_{y,w,d} =$	230,0 MPa	návrhová pevnost ve smyku
$E =$	210000 MPa	modul pružnosti
$g_{M0} =$	1,00	
$g_{M1} =$	1,10	
$g_{M2} =$	1,25	

Geometrické vlastnosti

L	1050 mm	délka prutu v rozhodujícím směru
$L_f =$	9,450 m	náhradní délka dle tab. 6.2 ČSN EN 1991-2
$f =$	1,48	dynam. součinitel vypočtený
$f =$	1,48	dynam. součinitel dle omezení 6.4.5.2 ČSN EN 1991-2

Průřezové charakteristiky

$A =$	5,5864E+04 mm ²	plocha průřezu
$I_y =$	8,2302E+09 mm ⁴	moment setrvačnosti
$I_z =$	7,5955E+08 mm ⁴	moment setrvačnosti
$i_y =$	383,8 mm	poloměr setrvačnosti
$i_z =$	116,6 mm	poloměr setrvačnosti
$i_{\min} =$	116,6 mm	minimální poloměr setrvačnosti
$t =$	14 mm	tloušťka stojiny
$h_w =$	776 mm	výška stojiny účinná na smyk
$A_v =$	10864 mm ²	smyková plocha
$d =$	876 mm	celková výška průřezu
$z_h =$	438 mm	vzdálenost horních krajních vláken
$z_d =$	438 mm	vzdálenost dolních krajních vláken

Přepočet zatížitelnosti

Výpočet zatížitelnosti mostu v km 4,958

trati Rybník - Lipno

Vypracoval: Ing. Zdeněk Lakmayer



$b_{hor} =$	450 mm	celková šířka horní pásnice
$b_{p,hor} =$	225 mm	vzdálenost pravých krajních vláken horní pásnice
$b_{l,hor} =$	225 mm	vzdálenost levých krajních vláken horní pásnice
$b_{dol} =$	450 mm	celková šířka dolní pásnice
$b_{p,dol} =$	225 mm	vzdálenost pravých krajních vláken dolní pásnice
$b_{l,dol} =$	225 mm	vzdálenost levých krajních vláken dolní pásnice
$W_{y,H} =$	1,8790E+07 mm ³	svislý průřezový modul k horním vláknům
$W_{y,D} =$	1,8790E+07 mm ³	svislý průřezový modul k dolním vláknům
$W_{z,H,L} =$	3,3758E+06 mm ³	vodorovný průřezový modul k levým horním vláknům
$W_{z,D,L} =$	3,3758E+06 mm ³	vodorovný průřezový modul k levým dolním vláknům
$W_{z,H,P} =$	3,3758E+06 mm ³	vodorovný průřezový modul k pravým horním vláknům
$W_{z,D,P} =$	3,3758E+06 mm ³	vodorovný průřezový modul k pravým dolním vláknům

Vzpěr tlačných prvků

vzpěrný tlak není uvažován

c		křivka vzpěrné pevnosti
$a =$	0,49	součinitel imperfekce
$b =$	1	součinitel vzpěrné délky
$L_{cr} =$	1050 mm	kritická délka
$I =$	9,00	štíhlost
$I_1 =$	94,93	srovnávací štíhlost
$I_d =$	0,095	poměrná štíhlost
$f =$	0,479	
$c =$	1,000	

Ostatní součinitele

$m =$	1,11	součinitel vlivu excentricity
$a =$	1,00	klasifikační součinitel dle 6.3.2 (3)P ČSN EN 1991-2
$x =$	0,85	redukční součinitel pro nepříznivá stálá zatížení dle ČSN EN 1990/A1

Rozhodující skupina zatížení
gr12

Kombinace zatížení dle výrazu
6.10b

ZS	Zatížení	g _f	y _o	gr12	Vnitřní síly charakteristické	Vnitřní síly návrhové
					V _z kN	V _z kN
1	VI. tíha	1,0625	1	1	27,4	29,1
2	Ostatní stálé (nah. dlouhodobé)	1,0625	1	1	13,4	14,2
3	Rozjezdové a brzděné síly	1,3	1	0,5	5,9	3,8
4	Boční rázy (ostatní)	1,3	1	1	12,8	16,7
5	Vítr - celkový účinek	1,35	0,75	1	28,5	28,9
104	Nahod. krátkodobé (vlak, vozidla)	1,3	1	1	270,8	578,9

Přepočet zatížitelnosti

Výpočet zatížitelnosti mostu v km 4,958

trati Rybník - Lipno

Vypracoval: Ing. Zdeněk Lakmayer



VÝPOČET ZATÍŽITELNOSTI ZE SMYKOVÉ SÍLY

PODPOROVÁ VÝZTUHA

$$V_{Ed} = Z_{LM71} \cdot V_{LM71,Ed} + V_{rs,Ed}$$

$$V_{Ed} = 671,5 \text{ kN}$$

Vliv boulení je třeba zahrnout

$$V_{b,Rd} = 3207,0 \text{ kN}$$

$$Z_{LM71} = (R_d - E_{rs,Ed}) / E_{LM71,Ed}$$

$$Z_{LM71} = \frac{3207,0 - 92,63}{578,9}$$

$$Z_{LM71} = 5,38$$

Přepočet zatížitelnosti

Výpočet zatížitelnosti mostu v km 4,958

trati Rybník - Lipno

Vypracoval: Ing. Zdeněk Lakmayer



4.4.5 Průhyb hlavního nosníku

Při stanovení zatížitelnosti z hlediska použitelnosti bylo postupováno dle metodického pokynu SŽDC. Dynamický součinitel je uvažován podle hlavních nosníků, tj. 1,48.

Dle údajů uvedených v archivní dokumentaci nebylo nadvýšení hlavních nosníků provedeno.

Stanovení zatížitelnosti z průhybů

$L = 9,45$ m rozpětí pole mostu

$u_{nad} = 0,0$ mm uvažované výrobní nadvýšení

Mezní průhyb stanoven dle ČSN EN 1990/A1, příloha A2:

$$f_{\max} = \frac{L}{600} = 15,8 \text{ mm}$$

ZS	Zatížení	Deformace
1	VI. tíha	0,4
2	Ostatní stálé (nah. dlouhodobé)	0,2
3	Rozjezdové a brzděné síly	0,0
4	Boční rázy (ostatní)	0,3
5	Větr - celkový účinek	0,6
105	Nahod. krátkodobé vč. dyn. účinků	7,1

Zatížitelnost z průhybů

$$z_{UIC} = \frac{f_{\max} - f_{rs}}{f_{UIC}} = \underline{\underline{2,01}}$$

4.5 Vodorovné a příčné ztužení

Výpočtem na prostorovém modelu bylo zjištěno, že prvky ztužení vyhoví na všechny možné kombinace zatížení. Je tedy zřejmé, že nebudou limitujícím prvkem konstrukce.

Zatížitelnost těchto prvků ve smyslu vzorce 4.4 článku 4.7.6 metodického pokynu nebyla stanovena, protože nemá pro určení přechodnosti praktický význam.

Přepočet zatížitelnosti

Výpočet zatížitelnosti mostu v km 4,958

trati Rybník - Lipno

Vypracoval: Ing. Zdeněk Lakmayer



5 POSOUZENÍ PŘECHODNOSTI

Přepočtem byla zjištěná minimální zatížitelnost $Z_{\min} = 1,14$ na podélníku POD2 ve 4. (zkracovaném) poli v místě maximálního svislého ohybového momentu z normálových napětí v dolních vláknech stěny při ověření pružné únosnosti stěny. Vzhledem k tomu, že minimální zatížitelnost mostu $Z_{LM71} > 1,0$, vyhovuje z hlediska přechodnosti pro traťové třídy zatížení A, B1, B2, C2, C3, C4 a D2 s přidruženou rychlostí menší nebo rovnou 160 km/h a pro traťové třídy zatížení D3 a D4 s přidruženou rychlostí menší nebo rovnou 120 km/h.



6 STANOVENÍ ZATÍŽITELNOSTI SPODNÍ STAVBY

Při stanovování zatížitelnosti spodní stavby bylo využito čl. 4.8.2 Metodického pokynu. Spodní stavba nevykazuje viditelné statické poruchy. V souladu s čl. 2.6 tedy lze stanovit zatížitelnost v kategorii B. Vzhledem k tomu, že se nezvyšuje zatížení ZS a spodní stavba nevykazuje statické poruchy a příznaky nadměrného sedání, je zřejmé, že nebude limitujícím prvkem z hlediska zatížitelnosti.

Zatížitelnost spodní stavby určená dle 4.8.2 metodického pokynu je vyšší než 1,0. Zatížitelnost spodní stavby je dostatečná.

Pro přesný výpočet zatížitelnosti spodní stavby dle 4.8.3 v kategorii C, příp. D by bylo nutno provést inženýrsko-geologický průzkum a ověření stávajícího založení. Vzhledem k stavebně-technickému stavu spodní stavby se jeho provedení v rámci tohoto statického výpočtu nejeví jako účelné.

Přepočet zatížitelnosti

Výpočet zatížitelnosti mostu v km 4,958

trati Rybník - Lipno

Vypracoval: Ing. Zdeněk Lakmayer



7 ZÁVĚR

Na nosné konstrukci byla zjištěná minimální zatížitelnost $Z_{\min} = 1,14$ na podélníku POD2 ve 4. (zkracovaném) poli v místě maximálního svislého ohybového momentu z normálových napětí v dolních vláknech stěny při ověření pružné únosnosti stěny.

Vzhledem k tomu, že minimální zatížitelnost mostu $Z_{LM71} > 1,0$, vyhovuje z hlediska přechodnosti pro traťové třídy zatížení A, B1, B2, C2, C3, C4 a D2 s přidruženou rychlostí menší nebo rovnou 160 km/h a pro traťové třídy zatížení D3 a D4 s přidruženou rychlostí menší nebo rovnou 120 km/h.

Nosná konstrukce je přechodná pro provozní zatížení odpovídající traťové třídě C2 s přidruženou rychlostí 50 km/h dle EN 15528 a splňuje tak požadavek zadavatele.

V Hradci Králové 04/2019

Ing. Zdeněk Lakmayer

Přepočet zatížitelnosti

Výpočet zatížitelnosti mostu v km 4,958

trati Rybník - Lipno

Vypracoval: Ing. Zdeněk Lakmayer



Příloha č.1 - PŘEHLED ZATÍŽITELNOSTI

MOST V KM 4,958

RYBNÍK – LIPNO

Počet stran přílohy: 3

Příloha č.1 - PŘEHLED ZATÍŽITELNOSTI

Most v km 4,958 trati Rybník (mimo) –
Lipno nad Vltavou (včetně)



PŘEHLED ZATÍŽITELNOSTI MOSTU

A. Identifikace mostu

TÚ: 1791 Rybník (mimo) – Lipno nad Vltavou (včetně)

DÚ: 02 Rybník – Rožmberk n/Vltavou km 4,958

B. Identifikace části mostu

Část mostu: nosná konstrukce / opěra / pilíř poř. číslo: 1 pod kolejí č. 1
(ve směru staničení)

C. Doplnující údaje části mostu

Kategorie zatížitelnosti: C

Výpočetní model: **Prostorový model konstrukce**

Geometrie koleje:

Kolej v přímé

	na začátku	uprostřed	na konci
poloměr oblouku	- m	- m	- m
převýšení koleje	0 mm	0 mm	0 mm
excentricita osy koleje	0,000 m	0,000 m	0,000 m

Popis závad uvažovaných v přepočtu části mostu

Na konstrukci byly objeveny následující závady:

- po opravě bez závad

Závady byly shledány jako staticky nevýznamné, v přepočtu nebyly uvažovány.

Datum zjištění technického stavu mostu: SŽDC, s.o.: 29. 5. 2017

zpracovatelem přepočtu: 6. 3. 2019

Poznámka k části mostu:

.....

Dne 20 / 04 / 2019, zatížitelnost určil:

Dne ___ / ___ / ____, do databáze zadal:

strana přehledu č.1 z celkem 3

Ing. Zdeněk Lakmayer

.....

Příloha č.1 - PŘEHLED ZATÍŽITELNOSTI

Most v km 4,958 trati Rybník (mimo) –
Lipno nad Vltavou (včetně)



Poř. číslo	PRVEK (vč. umístění)	DETAIL	NAMÁHÁNÍ	k _i	typ	L _p	f _i	L _r	G _{F,LM71}	G _{F,LM71,E}	viz str.	Pozn.	Z _{LM71}	Z _{LM71,E}
1	2	3	4	5	6	7	8	9	10	11	12	13	14	15
1	Podélník POD1 v místě maximálního svislého ohybového momentu	dolní vlákna	Ohyb	1	M	2,10	1,67	6,30	1,30		36	B247, dx0,805	1,42	
		osa horních krčních svarů	Ohyb + Smyk + Lokál	0,31 0,00 0,69	M Q						37		1,74	
		dolní vlákna stěny	Ohyb + Smyk + Lokál		M Q						38		1,63	
2	Podélník POD1 v místě maximálního vodorovného ohybového momentu	dolní vlákna	Ohyb	1	M	2,10	1,67	6,30	1,30		41	B242, dx1,660	6,77	
		osa horních krčních svarů	Ohyb + Smyk + Lokál	0,01 0,00 0,99	M Q						42		3,46	
		dolní vlákna stěny	Ohyb + Smyk + Lokál		M Q						43		3,10	
3	Podélník POD1 v poli 1 v místě maximální posouvající síly	těžiště průřezu	Smyk	1	Q	2,10	1,67	6,30	1,30		46	B247, dx1,505	2,05	
4	Podélník POD2 v místě maximálního svislého ohybového momentu	dolní vlákna	Ohyb	1	M	2,10	1,67	6,30	1,30		50	B114, dx0,220	2,89	
		osa horních krčních svarů	Ohyb + Smyk + Lokál	0,10 0,00 0,90	M Q						51		2,65	
		dolní vlákna stěny	Ohyb + Smyk + Lokál		M Q						52		3,31	
5	Podélník POD2 v místě maximálního vodorovného ohybového momentu	dolní vlákna	Ohyb	1	M	2,10	1,67	6,30	1,30		55	B244, dx0,220	4,93	
		osa horních krčních svarů	Ohyb + Smyk + Lokál	0,01 0,00 0,99	M Q						56		3,44	
		krajní vlákna stěny	Ohyb + Smyk + Lokál		M Q						57		1,93	
6	Podélník POD2 v místě maximální posouvající síly	těžiště průřezu	Smyk	1	Q	2,10	1,67	6,30	1,30		60	B248, dx0,170	1,56	
7	Podélník POD1 ve 4. poli v místě maximálního svislého ohybového momentu	dolní vlákna	Ohyb	1	M	1,05	2,00	3,15	1,30		63	B245, dx0,305	2,60	
		osa horních krčních svarů	Ohyb + Smyk + Lokál	0,13 0,00 0,87	M Q						64		2,21	
		dolní vlákna stěny	Ohyb + Smyk + Lokál		M Q						65		1,56	
8	Podélník POD1 ve 4. poli v místě maximální posouvající síly	těžiště průřezu	Smyk	1	Q	1,05	2,00	3,15	1,30		66	B245, dx0,330	2,51	
9	Podélník POD2 ve 4. poli v místě maximálního svislého ohybového momentu	dolní vlákna	Ohyb	1	M	1,05	2,00	3,15	1,30		68	B115, dx0,050	3,18	
		osa horních krčních svarů	Ohyb + Smyk + Lokál	0,09 0,00 0,91	M Q						69		2,58	
		dolní vlákna stěny	Ohyb + Smyk + Lokál		M Q						70		1,14	
10	Podélník POD2 ve 4. poli v místě maximální posouvající síly	těžiště průřezu	Smyk	1	Q	1,05	2,00	3,15	1,30		72	B116, dx0	2,02	

Dne 20 / 04 / 2019, zatížitelnost určil:

Dne __ / __ / ____, do databáze zadal:

strana přehledu č.2 z celkem 3

Ing. Zdeněk Lakmayer

.....

Příloha č.1 - PŘEHLED ZATÍŽITELNOSTI

Most v km 4,958 trati Rybník (mimo) –
Lipno nad Vltavou (včetně)



Poř. číslo	PRVEK (vč. umístění)	DETAIL	NAMÁHÁNÍ	k _i	typ	L _p	f _i	L _f	G _{F,LM71}	G _{F,LM71,E}	viz str.	Pozn.	Z _{LM71}	Z _{LM71,E}
1	2	3	4	5	6	7	8	9	10	11	12	13	14	15
11	Příčník PR1 v místě maximálního svislého ohybového momentu	horní vlákna	Ohyb	1	M	2,95	1,70	5,90	1,30		79	B52, dx0	1,94	
12	Příčník PR2 v místě maximálního svislého ohybového momentu a posouvající síly	horní vlákna	Ohyb	1	M	2,95	1,70	5,90	1,30		82	B46, dx0,575	2,43	
13	Koncový příčník PR1 v místě maximálního svislého ohybového momentu a posouvající síly	horní vlákna	Ohyb	1	M	2,95	2,00	3,60	1,30		88	B80, dx0	1,50	
14	Koncový příčník PR2_KONC v místě maximálního svislého ohybového momentu a posouvající síly	horní vlákna	Ohyb	1	M	2,95	2,00	3,60	1,30		91	B39, dx0,575	2,19	
15	Koncový příčník PR2_KONC v místě maximálního vodorovného ohybového momentu	krajní vlákna	Ohyb	1	M	2,95	2,00	3,60	1,30		93	B39, dx0,575	5,75	
16	Koncový příčník PR2_KONC v místě maximální posouvající síly	těžiště průřezu	Smyk	1	Q	2,95	2,00	3,60	1,30		95	B78, dx0	1,38	
17	Hlavní nosník HN v místě maximálního svislého ohybového momentu	dolní vlákna	Ohyb	1	M	9,45	1,48	9,45	1,30		101	B21, dx2,100	1,76	
18	Hlavní nosník HN v místě maximální posouvající síly	těžiště průřezu	Smyk	1	Q	9,45	1,48	9,45	1,30		105	B11, dx0	5,38	
19	Hlavní nosník - průhyb	těžiště průřezu	Ohyb	1	M	9,45	1,48	9,45	1,00		106	B22, dx0,420	2,01	
20	Opěra O01		Smyk		S				1,30		108		1,00	
21	Opěra O02		Smyk		S				1,30		108		1,00	

Dne 20 / 04 / 2019, zatížitelnost určil:

Dne __ / __ / ____, do databáze zadal:

strana přehledu č.3 z celkem 3

Ing. Zdeněk Lakmayer

.....

Přepočet zatížitelnosti

Výpočet zatížitelnosti mostu v km 4,958

trati Rybník - Lipno

Vypracoval: Ing. Zdeněk Lakmayer



Příloha č.2 - STROJOVÝ VÝPOČET

SCIA ENGINEER 17.01

SCIA s.r.o.

Počet stran přílohy: 136

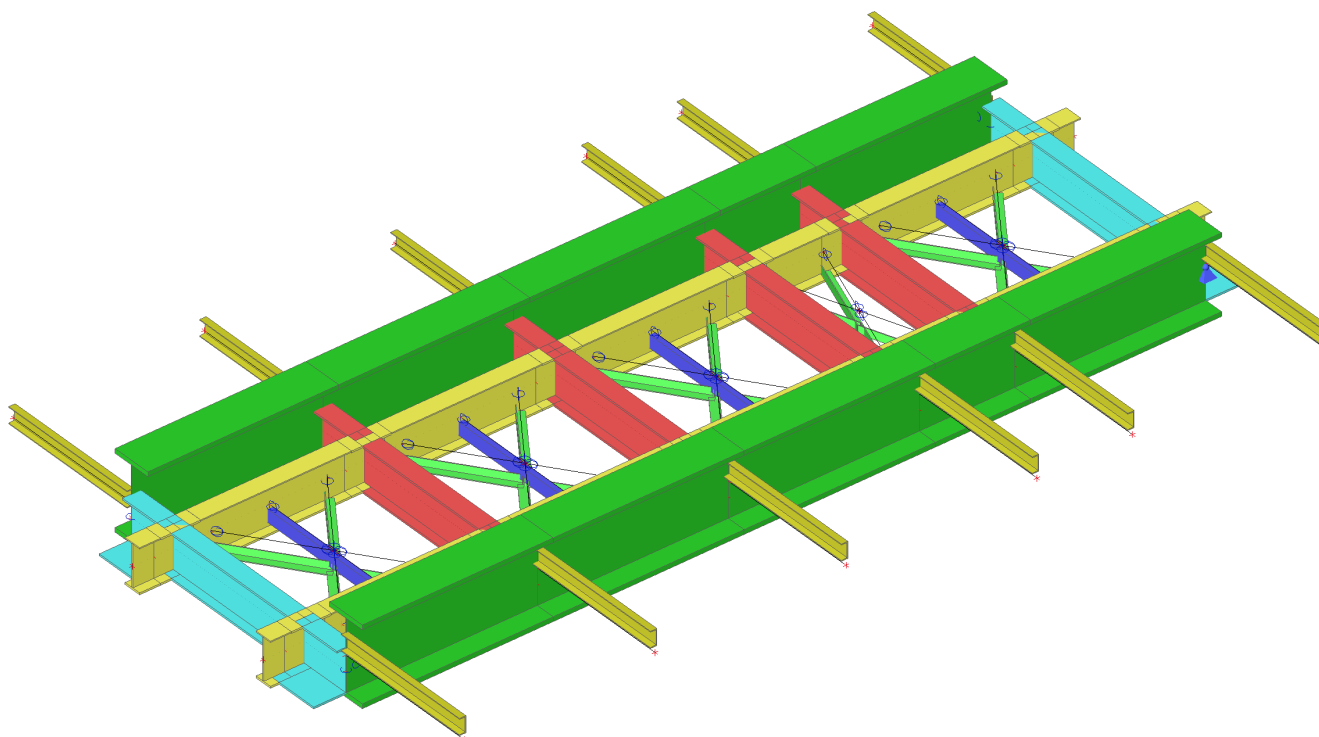
1. Obsah

1. Obsah	1
2. Základní údaje	3
2.1. Model mostu	3
2.2. Výpočtový model	3
2.3. Průřezy	4
2.4. Materiály	11
3. Zatížení	11
3.1. Skupiny zatížení	11
3.2. Skupiny výsledků	11
3.3. Zatěžovací stavy	12
3.4. Zatěžovací stavy	14
3.4.1. Zatěžovací stavy - LC1	14
3.4.1.1. Schéma zatížení	14
3.4.2. Zatěžovací stavy - LC2	14
3.4.2.1. Schéma zatížení	14
3.4.3. Zatěžovací stavy - LC3.1	15
3.4.3.1. Schéma zatížení	15
3.4.4. Zatěžovací stavy - LC3.2	15
3.4.4.1. Schéma zatížení	15
3.4.5. Zatěžovací stavy - LC3.3	16
3.4.5.1. Schéma zatížení	16
3.4.6. Zatěžovací stavy - LC3.4	16
3.4.6.1. Schéma zatížení	16
3.4.7. Zatěžovací stavy - LC4.1	17
3.4.7.1. Schéma zatížení	17
3.4.8. Zatěžovací stavy - LC4.2	17
3.4.8.1. Schéma zatížení	17
3.4.9. Zatěžovací stavy - LC4.3	18
3.4.9.1. Schéma zatížení	18
3.4.10. Zatěžovací stavy - LC4.4	18
3.4.10.1. Schéma zatížení	18
3.4.11. Zatěžovací stavy - LC4.5	19
3.4.11.1. Schéma zatížení	19
3.4.12. Zatěžovací stavy - LC5.1	19
3.4.12.1. Schéma zatížení	19
3.4.13. Zatěžovací stavy - LC5.2	20
3.4.13.1. Schéma zatížení	20
3.4.14. Zatěžovací stavy - LC101	20
3.4.14.1. Schéma zatížení	20
3.4.15. Zatěžovací stavy - LC102	21
3.4.15.1. Schéma zatížení	21
3.4.16. Zatěžovací stavy - LC103	21
3.4.16.1. Schéma zatížení	21
3.4.17. Zatěžovací stavy - LC104	22
3.4.17.1. Schéma zatížení	22
3.4.18. Zatěžovací stavy - LC105	22
3.4.18.1. Schéma zatížení	22
3.4.19. Zatěžovací stavy - LC106	23
3.4.19.1. Schéma zatížení	23
3.4.20. Zatěžovací stavy - LC107	23
3.4.20.1. Schéma zatížení	23
3.4.21. Zatěžovací stavy - LC108	24
3.4.21.1. Schéma zatížení	24
3.4.22. Zatěžovací stavy - LC109	24
3.4.22.1. Schéma zatížení	24
3.4.23. Zatěžovací stavy - LC201	25
3.4.23.1. Schéma zatížení	25
3.4.24. Zatěžovací stavy - LC202	25
3.4.24.1. Schéma zatížení	25
3.4.25. Zatěžovací stavy - LC203	26
3.4.25.1. Schéma zatížení	26
3.5. Kombinace	27
4. Vnitřní síly	33
4.1. Vnitřní síly-POD1-UIC	33
4.2. Vnitřní síly-POD1-neUIC	33
4.3. Vnitřní síly-POD2-UIC	57
4.4. Vnitřní síly-POD2-neUIC	57
4.5. Vnitřní síly-POD1-4.pole-UIC	63
4.6. Vnitřní síly-POD1-4.pole-neUIC	63
4.7. Vnitřní síly-POD2-4.pole-UIC	67
4.8. Vnitřní síly-POD2-4.pole-neUIC	67
4.9. Vnitřní síly-vnitřní příčník-PR1-UIC	72
4.10. Vnitřní síly-vnitřní příčník-PR1-neUIC	73
4.11. Vnitřní síly-vnitřní příčník-PR2-UIC	86
4.12. Vnitřní síly-vnitřní příčník-PR2-neUIC	87
4.13. Vnitřní síly-koncový příčník-PR1-UIC	98
4.14. Vnitřní síly-koncový příčník-PR1-neUIC	98
4.15. Vnitřní síly-koncový příčník-PR2-UIC	105

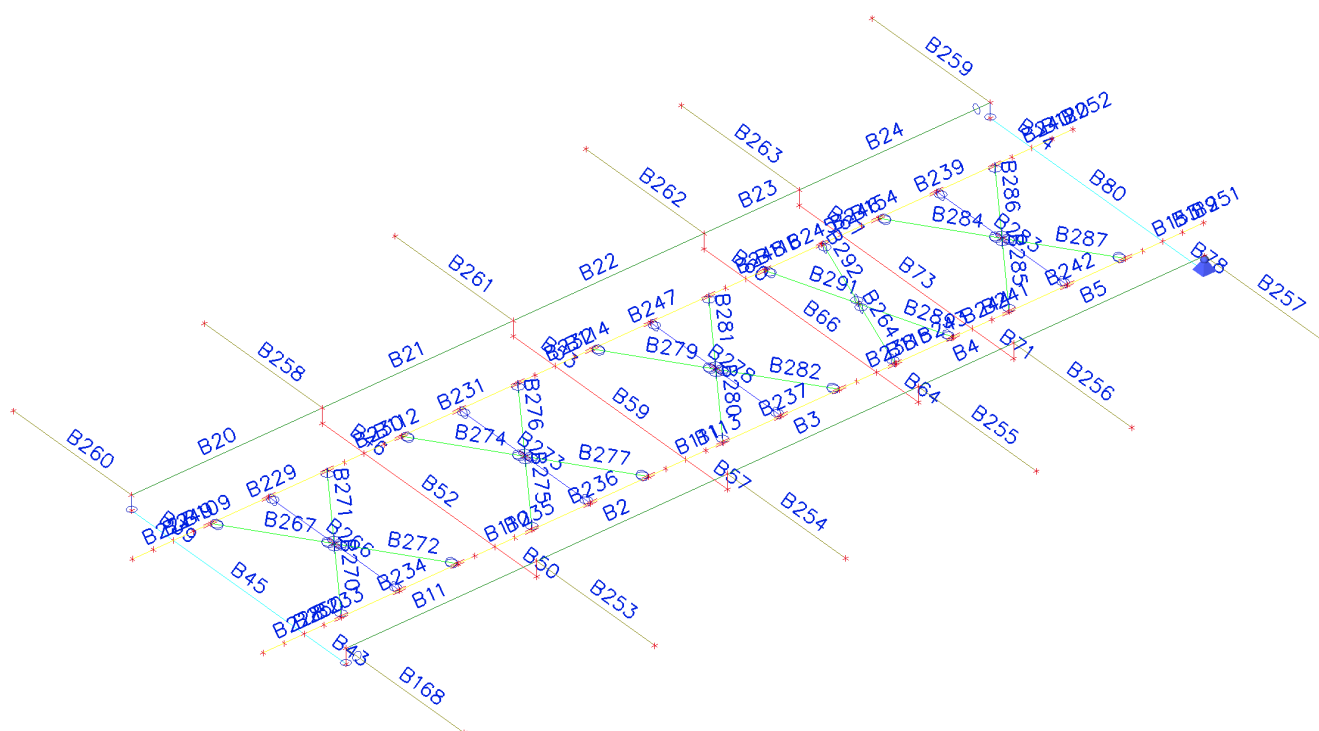
4.16. Vnitřní síly-koncový příčník-PR2-neUIC	105
4.17. Vnitřní síly-HN-UIC	111
4.18. Vnitřní síly-HN-neUIC	111
5. Reakce	134
5.1. Reakce-UIC	134
5.2. Reakce-neUIC	134
6. Deformace	135
6.1. Průhyb HN-UIC	135
6.2. Průhyb HN-neUIC	135
7. Posouzení	136
7.1. Posudek oceli - ztužidla	136
7.2. Posudek oceli - mezipodélníková ztužidla	136
7.3. Posudek oceli - konzoly	136

2. Základní údaje

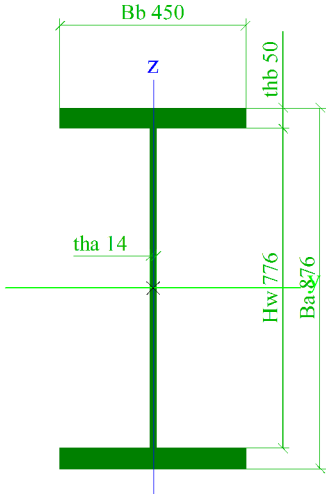
2.1. Model mostu



2.2. Výpočtový model




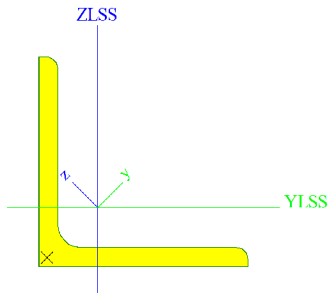
2.3. Průřezy


HN		
Typ	Iw	
Detailní	876; 14; 450; 50; 776; 0	
Kód tvaru	1 - I průřez	
Typ tvaru	Tenkostěnný	
Materiál	ocel č.37 tl>25	
Výroba	svařovaný	
Barva	<div><div></div></div>	
Posudek rovinného vzpěru y-y, Posudek rovinného vzpěru z-z	c	d
A [mm ²]	5,5864e+04	
A _y [mm ²], A _z [mm ²]	4,0660e+04	1,2652e+04
A _L [m ² /m], A _D [m ² /m]	3,5240e+00	3,5240e+00
C _{y,UCS} [mm], C _{z,UCS} [mm]	225	438
α [deg]	0,00	
I _y [mm ⁴], I _z [mm ⁴]	8,2302e+09	7,5955e+08
i _y [mm], i _z [mm]	384	117
W _{el,y} [mm ³], W _{el,z} [mm ³]	1,8790e+07	3,3758e+06
W _{pl,y} [mm ³], W _{pl,z} [mm ³]	2,0693e+07	5,1005e+06
M _{pl,y,+} [Nmm], M _{pl,y,-} [Nmm]	4448912440,00	4448912440,00
M _{pl,z,+} [Nmm], M _{pl,z,-} [Nmm]	1096612660,00	1096612660,00
d _y [mm], d _z [mm]	0	0
I _t [mm ⁴], I _w [mm ⁶]	3,8256e+07	1,2953e+14
β _y [mm], β _z [mm]	0	0
Obrázek		
POD1_bez_listy		
Typ	Iwn	
Detailní	493; 10; 200; 12; 200; 20; 461; 0	
Kód tvaru	101 - Asymetrický I průřez	
Typ tvaru	Tenkostěnný	
Materiál	ocel č.37 tl<25	
Výroba	svařovaný	
Barva	<div><div></div></div>	
Posudek rovinného vzpěru y-y, Posudek rovinného vzpěru z-z	b	c
A [mm ²]	1,1010e+04	
A _y [mm ²], A _z [mm ²]	5,8640e+03	4,9212e+03
A _L [m ² /m], A _D [m ² /m]	1,7660e+00	1,7660e+00
C _{y,UCS} [mm], C _{z,UCS} [mm]	100	215
α [deg]	0,00	
I _y [mm ⁴], I _z [mm ⁴]	4,3328e+08	2,1372e+07
i _y [mm], i _z [mm]	198	44
W _{el,y} [mm ³], W _{el,z} [mm ³]	1,5567e+06	2,1372e+05
W _{pl,y} [mm ³], W _{pl,z} [mm ³]	1,9969e+06	3,3152e+05
M _{pl,y,+} [Nmm], M _{pl,y,-} [Nmm]	469272087,50	469272087,50
M _{pl,z,+} [Nmm], M _{pl,z,-} [Nmm]	77908375,00	77908375,00
d _y [mm], d _z [mm]	0	-25
I _t [mm ⁴], I _w [mm ⁶]	8,0753e+05	1,1376e+12
β _y [mm], β _z [mm]	103	0

Obrázek		
---------	--	--

POD2_bez_listy		
Typ	Iw	
Detailní	493; 10; 200; 20; 453; 0	
Kód tvaru	1 - I průřez	
Typ tvaru	Tenkostěnný	
Materiál	ocel Č.37 tl<25	
Výroba	svařovaný	
Barva	<div> <div></div> </div>	
Posudek rovinného vzpěru y-y, Posudek rovinného vzpěru z-z	b	c
A [mm²]	1,2530e+04	
Ay [mm²], Az [mm²]	7,3123e+03	4,9485e+03
AL [m²/m], AD [m²/m]	1,7660e+00	1,7660e+00
CY,UCS [mm], CZ,UCS [mm]	100	246
α [deg]	0,00	
Iy [mm⁴], Iz [mm⁴]	5,2519e+08	2,6704e+07
iy [mm], iz [mm]	205	46
Wel,y [mm³], Wel,z [mm³]	2,1306e+06	2,6704e+05
Wpl,y [mm³], Wpl,z [mm³]	2,4050e+06	4,1133e+05
Mpl,y.+ [Nmm], Mpl,y.- [Nmm]	565180287,50	565180287,50
Mpl,z.+ [Nmm], Mpl,z.- [Nmm]	96661375,00	96661375,00
dy [mm], dz [mm]	0	0
I1 [mm⁴], Iw [mm⁶]	1,2243e+06	1,4915e+12
βy [mm], βz [mm]	0	0
Obrázek		

Z1		
Typ	L90/8	
Kód tvaru	4 - úhelník	

Typ tvaru	Tenkostěnný	
Materiál	ocel č.37 tl<25	
Výroba	válcovaný	
Barva		
Posudek rovinného vzpěru y-y, Posudek rovinného vzpěru z-z	b	b
A [mm ²]	1,3900e+03	
A _y [mm ²], A _z [mm ²]	1,1619e+03	1,1701e+03
A _L [m ² /m], A _D [m ² /m]	3,5100e-01	3,5138e-01
C _{y,UCS} [mm], C _{z,UCS} [mm]	25	25
I _{y,LCS} [mm ⁴], I _{z,LCS} [mm ⁴]	1,0500e+06	1,0500e+06
I _{yz,LCS} [mm ⁴]	-6,1566e+05	
α [deg]	45,00	
I _y [mm ⁴], I _z [mm ⁴]	1,6600e+06	4,3700e+05
i _y [mm], i _z [mm]	35	18
W _{el,y} [mm ³], W _{el,z} [mm ³]	2,6134e+04	1,2197e+04
W _{pl,y} [mm ³], W _{pl,z} [mm ³]	4,1276e+04	2,1183e+04
M _{pl,y,+} [Nmm], M _{pl,y,-} [Nmm]	9699972,72	9699972,72
M _{pl,z,+} [Nmm], M _{pl,z,-} [Nmm]	4978095,43	4978095,43
d _y [mm], d _z [mm]	-30	0
I _t [mm ⁴], I _w [mm ⁶]	3,0400e+04	8,6266e-23
β _y [mm], β _z [mm]	0	120
Obrázek		

ZMP		
Typ	U140	
Kód tvaru	5 - U průřez	
Typ tvaru	Tenkostěnný	
Materiál	ocel č.37 tl<25	
Výroba	válcovaný	
Barva		
Posudek rovinného vzpěru y-y, Posudek rovinného vzpěru z-z	c	c
A [mm ²]	2,0400e+03	
A _y [mm ²], A _z [mm ²]	1,1529e+03	9,8472e+02
A _L [m ² /m], A _D [m ² /m]	4,9000e-01	4,8713e-01
C _{y,UCS} [mm], C _{z,UCS} [mm]	18	70
α [deg]	0,00	
I _y [mm ⁴], I _z [mm ⁴]	6,0500e+06	6,2700e+05
i _y [mm], i _z [mm]	54	18
W _{el,y} [mm ³], W _{el,z} [mm ³]	8,6400e+04	1,4800e+04
W _{pl,y} [mm ³], W _{pl,z} [mm ³]	1,0455e+05	2,8311e+04
M _{pl,y,+} [Nmm], M _{pl,y,-} [Nmm]	24159645,98	24159645,98
M _{pl,z,+} [Nmm], M _{pl,z,-} [Nmm]	6652982,41	6652982,41
d _y [mm], d _z [mm]	-38	0
I _t [mm ⁴], I _w [mm ⁶]	5,6800e+04	2,0764e+09
β _y [mm], β _z [mm]	0	152

Obrázek		
---------	--	--

PR1		
Typ	Iw	
Detailní	493; 10; 200; 20; 453; 0	
Kód tvaru	1 - I průřez	
Typ tvaru	Tenkostěnný	
Materiál	ocel č.37 tl<25	
Výroba	svařovaný	
Barva		
Posudek rovinného vzpěru y-y, Posudek rovinného vzpěru z-z	b	c
A [mm²]	1,2530e+04	
Ay [mm²], Az [mm²]	7,3123e+03	4,9485e+03
AL [m²/m], AD [m²/m]	1,7660e+00	1,7660e+00
Cy,UCS [mm], Cz,UCS [mm]	100	246
α [deg]	0,00	
Iy [mm⁴], Iz [mm⁴]	5,2519e+08	2,6704e+07
iy [mm], iz [mm]	205	46
Wel,y [mm³], Wel,z [mm³]	2,1306e+06	2,6704e+05
Wpl,y [mm³], Wpl,z [mm³]	2,4050e+06	4,1133e+05
Mpl,y,+ [Nmm], Mpl,y,- [Nmm]	565180287,50	565180287,50
Mpl,z,+ [Nmm], Mpl,z,- [Nmm]	96661375,00	96661375,00
dy [mm], dz [mm]	0	0
Ii [mm⁴], Iw [mm⁶]	1,2243e+06	1,4915e+12
βy [mm], βz [mm]	0	0
Obrázek		

PR2		
Typ	Iwn	
Detailní	493; 10; 200; 20; 710; 20; 453; 0	
Kód tvaru	101 - Asymetrický I průřez	
Typ tvaru	Tenkostěnný	
Materiál	ocel č.37 tl<25	
Výroba	svařovaný	
Barva		

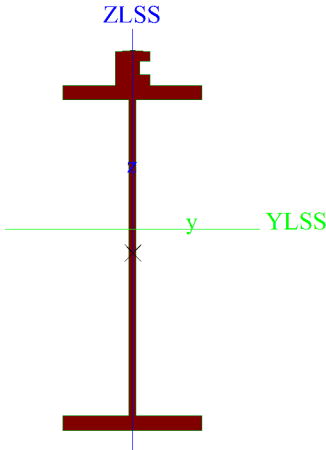
Posudek rovinného vzpěru y-y, Posudek rovinného vzpěru z-z	b	c
A [mm ²]	2,2730e+04	
A _y [mm ²], A _z [mm ²]	1,6897e+04	5,0491e+03
A _L [m ² /m], A _D [m ² /m]	2,7860e+00	2,7860e+00
c _{y,UCS} [mm], c _{z,UCS} [mm]	355	140
α [deg]	0,00	
I _y [mm ⁴], I _z [mm ⁴]	8,4003e+08	6,0989e+08
i _y [mm], i _z [mm]	192	164
W _{el,y} [mm ³], W _{el,z} [mm ³]	2,3822e+06	1,7180e+06
W _{pl,y} [mm ³], W _{pl,z} [mm ³]	3,0087e+06	2,7318e+06
M _{pl,y,+} [Nmm], M _{pl,y,-} [Nmm]	707050366,73	707050366,73
M _{pl,z,+} [Nmm], M _{pl,z,-} [Nmm]	641978875,00	641978875,00
d _y [mm], d _z [mm]	0	-121
I _t [mm ⁴], I _w [mm ⁶]	2,5843e+06	2,9178e+12
β _y [mm], β _z [mm]	345	0
Obrázek		


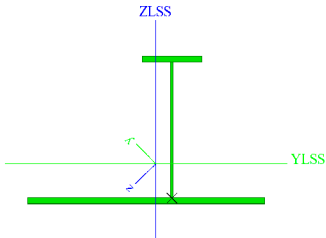
KON		
Typ	U180	
Kód tvaru	5 - U průřez	
Typ tvaru	Tenkostěnný	
Materiál	ocel č.37 tl<25	
Výroba	válcovaný	
Barva		
Posudek rovinného vzpěru y-y, Posudek rovinného vzpěru z-z	c	c
A [mm ²]	2,8000e+03	
A _y [mm ²], A _z [mm ²]	1,4920e+03	1,4353e+03
A _L [m ² /m], A _D [m ² /m]	6,1000e-01	6,0268e-01
c _{y,UCS} [mm], c _{z,UCS} [mm]	19	90
α [deg]	0,00	
I _y [mm ⁴], I _z [mm ⁴]	1,3500e+07	1,1400e+06
i _y [mm], i _z [mm]	69	20
W _{el,y} [mm ³], W _{el,z} [mm ³]	1,5000e+05	2,2400e+04
W _{pl,y} [mm ³], W _{pl,z} [mm ³]	1,8225e+05	4,3056e+04
M _{pl,y,+} [Nmm], M _{pl,y,-} [Nmm]	42104932,83	42104932,83
M _{pl,z,+} [Nmm], M _{pl,z,-} [Nmm]	10118257,57	10118257,57
d _y [mm], d _z [mm]	-42	0
I _t [mm ⁴], I _w [mm ⁶]	9,5500e+04	6,4377e+09
β _y [mm], β _z [mm]	0	194

Obrázek		
---------	--	--

POD1		
Typ	Obecný průřez	
Typ tvaru	Tenkostěnný	
Materiál	ocel č.37 tl<25	
Výroba	obecný	
Barva		
Posudek rovinného vzpěru y-y, Posudek rovinného vzpěru z-z	d	d
A [mm²]	1,3198e+04	
A _y [mm²], A _z [mm²]	7,6477e+03	5,1481e+03
A _L [m²/m], A _D [m²/m]	1,8930e+00	1,8930e+00
C _{y,UCS} [mm], C _{z,UCS} [mm]	100	265
I _{y,LCS} [mm⁴], I _{z,LCS} [mm⁴]	6,0143e+08	2,1788e+07
I _{yz,LCS} [mm⁴]	-1,2597e+06	
α [deg]	0,12	
I _y [mm⁴], I _z [mm⁴]	6,0143e+08	2,1785e+07
i _y [mm], i _z [mm]	213	41
W _{el,y} [mm³], W _{el,z} [mm³]	2,1630e+06	2,1597e+05
W _{pl,y} [mm³], W _{pl,z} [mm³]	2,6370e+06	3,5716e+05
M _{pl,y,+} [Nmm], M _{pl,y,-} [Nmm]	619692180,42	619692180,42
M _{pl,z,+} [Nmm], M _{pl,z,-} [Nmm]	83931891,32	83931891,32
d _y [mm], d _z [mm]	1	-68
I _t [mm⁴], I _w [mm⁶]	1,4039e+06	1,2014e+12
β _y [mm], β _z [mm]	120	-5
Obrázek		

POD2		
Typ	Obecný průřez	
Typ tvaru	Tenkostěnný	
Materiál	ocel č.37 tl<25	
Výroba	obecný	
Barva		
Posudek rovinného vzpěru y-y, Posudek rovinného vzpěru z-z	d	d
A [mm²]	1,4718e+04	
A _y [mm²], A _z [mm²]	9,2343e+03	5,1284e+03

AL [m ² /m], AD [m ² /m]	1,8930e+00	1,8930e+00
CY.UCS [mm], CZ.UCS [mm]	100	287
IY.LCS [mm ⁴], IZ.LCS [mm ⁴]	6,6274e+08	2,7121e+07
IYZ.LCS [mm ⁴]	-1,1505e+06	
α [deg]	0,10	
Iy [mm ⁴], Iz [mm ⁴]	6,6274e+08	2,7119e+07
iy [mm], iz [mm]	212	43
Wel.y [mm ³], Wel.z [mm ³]	2,3092e+06	2,6927e+05
Wpl.y [mm ³], Wpl.z [mm ³]	2,8788e+06	4,3696e+05
Mpl.y.+ [Nmm], Mpl.y.- [Nmm]	676525742,64	676525742,64
Mpl.z.+ [Nmm], Mpl.z.- [Nmm]	102686370,75	102686370,75
dy [mm], dz [mm]	1	-34
Ii [mm ⁴], Iw [mm ⁶]	1,9807e+06	1,5455e+12
βy [mm], βz [mm]	10	-4
Obrázek		

PR2_KONC		
Typ	Obecný průřez	
Typ tvaru	Tlustostěnný	
Materiál	ocel č.37 tl<25	
Výroba	obecný	
Barva		
Posudek rovinného vzpěru y-y, Posudek rovinného vzpěru z-z	d	d
A [mm ²]	2,4330e+04	
Ay [mm ²], Az [mm ²]	1,9816e+04	2,0016e+04
AL [m ² /m], AD [m ² /m]	2,9460e+00	2,9460e+00
CY.UCS [mm], CZ.UCS [mm]	425	132
IY.LCS [mm ⁴], IZ.LCS [mm ⁴]	8,6549e+08	8,7513e+08
IYZ.LCS [mm ⁴]	1,6357e+08	
α [deg]	134,16	
Iy [mm ⁴], Iz [mm ⁴]	1,0340e+09	7,0666e+08
iy [mm], iz [mm]	206	170
Wel.y [mm ³], Wel.z [mm ³]	2,6071e+06	2,0250e+06
Wpl.y [mm ³], Wpl.z [mm ³]	4,2398e+06	3,5393e+06
Mpl.y.+ [Nmm], Mpl.y.- [Nmm]	996354306,81	996354306,81
Mpl.z.+ [Nmm], Mpl.z.- [Nmm]	831725280,45	831725280,45
dy [mm], dz [mm]	-121	39
Ii [mm ⁴], Iw [mm ⁶]	2,7018e+06	2,9630e+12
βy [mm], βz [mm]	-107	373
Obrázek		

Vysvětlivky symbolů	
Kód tvaru	h - Výška b - Šířka pásnice t - Tloušťka pásnice s - Tloušťka stojiny r - Poloměr u přechodu pásnice a



Vysvětlivky symbolů	
	stojiny r1 - Poloměr u hrany pásnice α - Sklon pásnice W - Vzdálenost vnitřních šroubů wm - Jednotková deplanace u hrany

Vysvětlivky symbolů	
	pásnice
A	Plocha
A _y	Smyková plocha ve směru hlavní osy y
A _z	Smyková plocha ve směru hlavní osy z
A _L	Obvodový povrch na jednotku délky
A _D	Vysýchající povrch na jednotku délky
C _{Y.UCS}	Souřadnice těžiště ve směry osy Y zadávacího systému
C _{Z.UCS}	Souřadnice těžiště ve směry osy Z zadávacího systému
I _{Y.LCS}	Moment setrvačnosti kolem osy YLSS
I _{Z.LCS}	Moment setrvačnosti kolem osy ZLSS
I _{YZ.LCS}	Moment setrvačnosti I _{yz} v LSS
α	Úhel pootočení hlavní osy
I _y	Moment setrvačnosti kolem hlavní osy y
I _z	Moment setrvačnosti kolem hlavní osy z
i _y	Poloměr setrvačnosti kolem hlavní osy y

Vysvětlivky symbolů	
i _z	Poloměr setrvačnosti kolem hlavní osy z
W _{el.y}	Pružný modul průřezu k hlavní ose y
W _{el.z}	Pružný modul průřezu k hlavní ose z
W _{pl.y}	Plastický modul průřezu k hlavní ose y
W _{pl.z}	Plastický modul průřezu k hlavní ose z
M _{pl.y.+}	Plastický moment kolem hlavní osy y pro kladný moment M _y
M _{pl.y.-}	Plastický moment kolem hlavní osy y pro záporný moment M _y
M _{pl.z.+}	Plastický moment kolem hlavní osy z pro kladný moment M _z
M _{pl.z.-}	Plastický moment kolem hlavní osy z pro záporný moment M _z
d _y	Souřadnice středu smyku ve směru hlavní osy y měřená od těžiště
d _z	Souřadnice středu smyku ve směru hlavní osy z měřená od těžiště
I _t	Moment setrvačnosti v prostém kroucení
I _w	Výsečový moment setrvačnosti
β _y	Mono-symetrická konstanta kolem hlavní osy y
β _z	Mono-symetrická konstanta kolem hlavní osy z

2.4. Materiály

Ocel EC3

Jméno	ρ [kg/m³]	E _{mod} [MPa]	μ	Dolní mez [mm]	Horní mez [mm]	F _y [MPa]	F _u [MPa]	Barva
		G _{mod} [MPa]	α [m/mK]					
ocel č.37 tl<25	7850,00	2,1000e+05	0.3	0	40	235,0	360,0	
		8,0769e+04	0,01e-003	40	80	215,0	360,0	
ocel č.37 tl>25	7850,00	2,1000e+05	0.3	0	40	235,0	360,0	
		8,0769e+04	0,01e-003	40	80	215,0	360,0	

3. Zatížení

3.1. Skupiny zatížení

Jméno	Zatížení	Vztah	Typ
Stale	Stálé		
BrzdRozj	Proměnné	Výběrová	Kat G : vozidlo >30kN
BocniRaz	Proměnné	Výběrová	Kat G : vozidlo >30kN
Vitr	Proměnné	Výběrová	Vitr
Vlak	Proměnné	Výběrová	Kat G : vozidlo >30kN

3.2. Skupiny výsledků

Jméno	Popis	Výpis
ZS UIC		LC101
		LC102
		LC103
		LC104
		LC105
		LC106
		LC107
		LC108
		LC109
ZS neUIC		LC1
		LC2
		LC3.1
		LC3.2
		LC3.3
		LC3.4
		LC4.1
		LC4.2
		LC4.3
		LC4.4
		LC4.5
		LC5.1
		LC5.2
ZS ALL		LC1
		LC2
		LC3.1

Jméno	Popis	Výpis
		LC3.2
		LC3.3
		LC3.4
		LC4.1
		LC4.2
		LC4.3
		LC4.4
		LC4.5
		LC5.1
		LC5.2
		LC101
		LC102
		LC103
		LC104
		LC105
		LC106
		LC107
		LC108
		LC109
		LC201
		LC202
		LC203
EN UNO	HN	HN1 - Obálka - únosnost
		HN2 - Obálka - únosnost
		HN3 - Obálka - únosnost
		HN4 - Obálka - únosnost
EN UNO	POD běžný	POD1 - Obálka - únosnost
		POD2 - Obálka - únosnost
		POD3 - Obálka - únosnost
		POD4 - Obálka - únosnost
EN UNO	PR	PR1 - Obálka - únosnost
		PR2 - Obálka - únosnost
		PR3 - Obálka - únosnost
		PR4 - Obálka - únosnost
EN UNO	PR_KONC	PR_KONC1 - Obálka - únosnost
		PR_KONC2 - Obálka - únosnost
		PR_KONC3 - Obálka - únosnost
		PR_KONC4 - Obálka - únosnost

3.3. Zatěžovací stavy

Jméno	Popis	Typ působení	Skupina zatížení	Směr	Působení	Řídící zat. stav
	Spec	Typ zatížení				
LC1	Vlastní tíha	Stálé Vlastní tíha	Stale	-Z		
LC2	Ostatní stálé	Stálé Standard	Stale			
LC3.1	Rozjezdové síly 1 Standard	Proměnné Statické	BrzdRozj		Krátkodobé	Žádný
LC3.2	Rozjezdové síly 2 Standard	Proměnné Statické	BrzdRozj		Krátkodobé	Žádný
LC3.3	Brzdné síly 1 Standard	Proměnné Statické	BrzdRozj		Krátkodobé	Žádný
LC3.4	Brzdné síly 2 Standard	Proměnné Statické	BrzdRozj		Krátkodobé	Žádný
LC4.1	Boční ráz 1 Standard	Proměnné Statické	BocniRaz		Krátkodobé	Žádný
LC4.2	Boční ráz 2 Standard	Proměnné Statické	BocniRaz		Krátkodobé	Žádný
LC4.3	Boční ráz 3 Standard	Proměnné Statické	BocniRaz		Krátkodobé	Žádný
LC4.4	Boční ráz 4 Standard	Proměnné Statické	BocniRaz		Krátkodobé	Žádný
LC4.5	Boční ráz 5 Standard	Proměnné Statické	BocniRaz		Krátkodobé	Žádný
LC5.1	Vitr zleva Standard	Proměnné Statické	Vitr		Krátkodobé	Žádný
LC5.2	Vitr zprava Standard	Proměnné Statické	Vitr		Krátkodobé	Žádný
LC101	LM71 Standard	Proměnné Statické	Vlak		Krátkodobé	Žádný
LC102	LM71	Proměnné	Vlak		Krátkodobé	Žádný

Jméno	Popis	Typ působení	Skupina zatížení	Směr	Působení	Řídící zat. stav
	Spec	Typ zatížení				
	Standard	Statické				
LC103	LM71	Proměnné	Vlak		Krátkodobé	Žádný
	Standard	Statické				
LC104	LM71	Proměnné	Vlak		Krátkodobé	Žádný
	Standard	Statické				
LC105	LM71	Proměnné	Vlak		Krátkodobé	Žádný
	Standard	Statické				
LC106	LM71	Proměnné	Vlak		Krátkodobé	Žádný
	Standard	Statické				
LC107	LM71	Proměnné	Vlak		Krátkodobé	Žádný
	Standard	Statické				
LC108	LM71	Proměnné	Vlak		Krátkodobé	Žádný
	Standard	Statické				
LC109	LM71	Proměnné	Vlak		Krátkodobé	Žádný
	Standard	Statické				
LC201	C2	Proměnné	Vlak		Krátkodobé	Žádný
	Standard	Statické				
LC202	C2	Proměnné	Vlak		Krátkodobé	Žádný
	Standard	Statické				
LC203	C2	Proměnné	Vlak		Krátkodobé	Žádný
	Standard	Statické				

3.4.1. Zatěžovací stavy - LC1

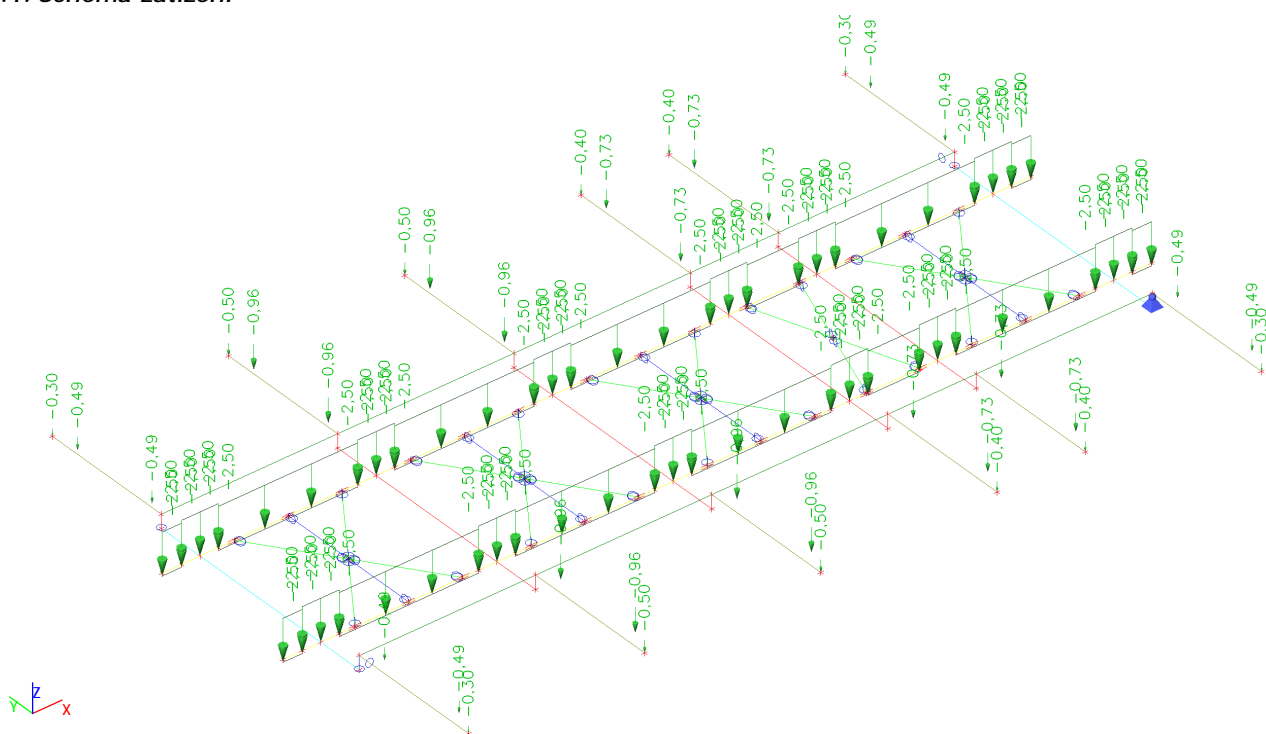
Jméno	Popis	Typ působení	Skupina zatížení	Směr
	Spec	Typ zatížení		
LC1	Vlastní tíha	Stálé	Stale	-Z
		Vlastní tíha		

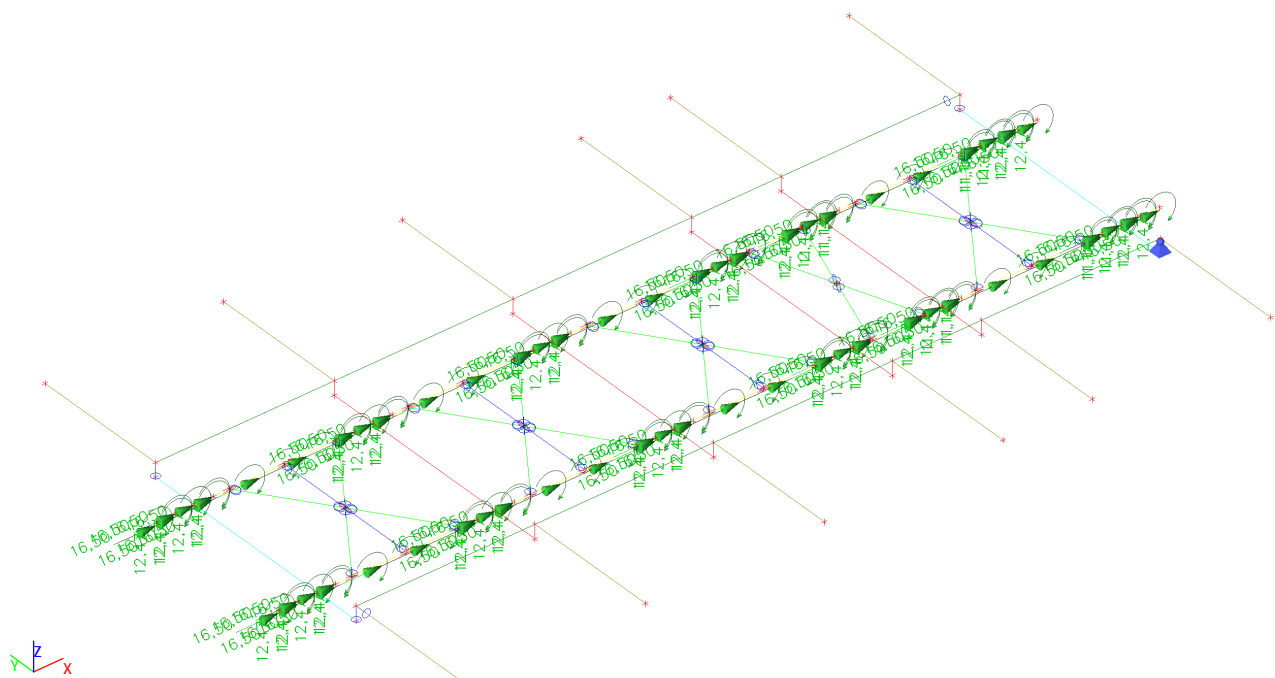
3.4.1.1. Schéma zatížení

3.4.2. Zatěžovací stavy - LC2

Jméno	Popis	Typ působení	Skupina zatížení
	Spec	Typ zatížení	
LC2	Ostatní stálé	Stálé Standard	Stále

3.4.2.1. Schéma zatížení

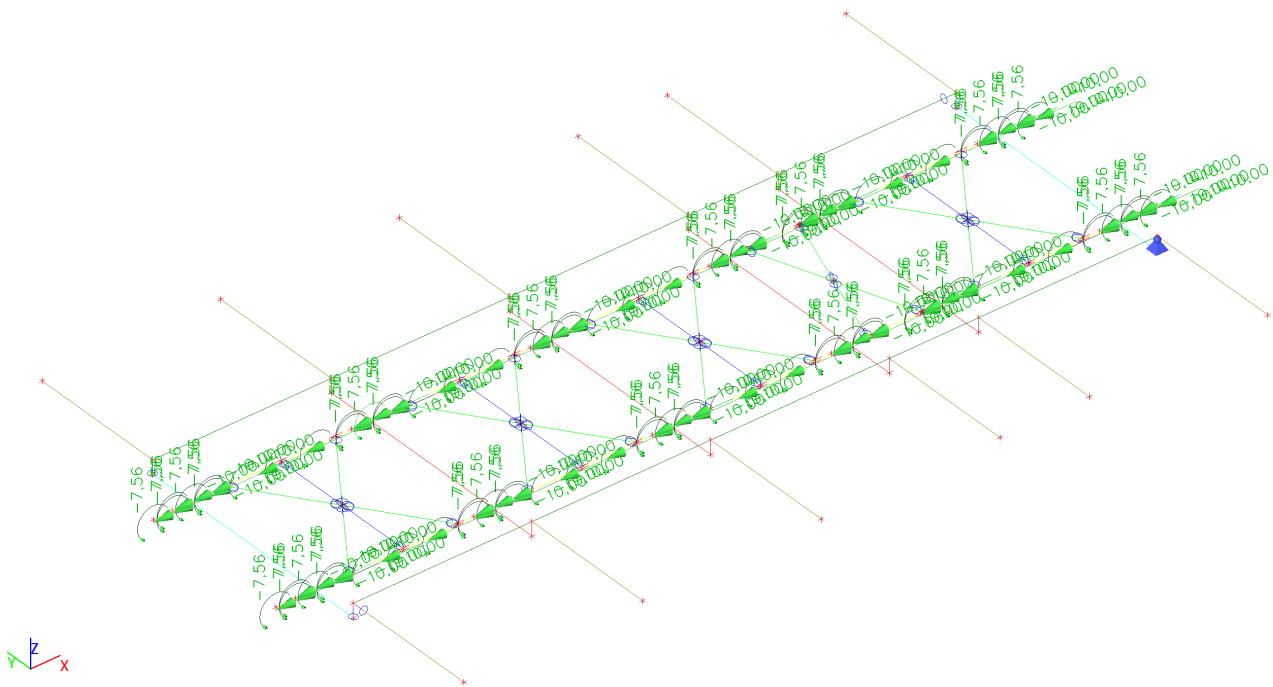




3.4.5. Zatěžovací stavy - LC3.3

Jméno	Popis	Typ působení	Skupina zatížení	Působení	Řídicí zat. stav
	Spec	Typ zatížení			
LC3.3	Brzdné síly 1 Standard	Proměnné Statické	BrzdRozj	Krátkodobé	Žádný

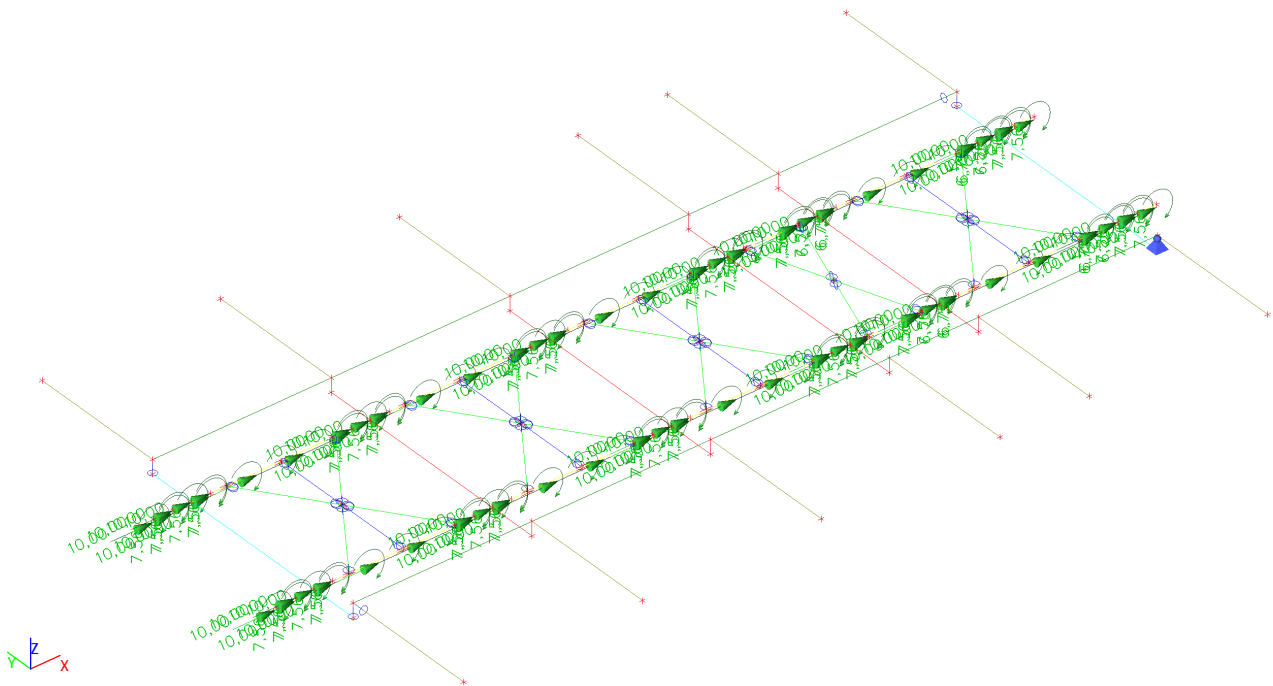
3.4.5.1. Schéma zatížení



3.4.6. Zatěžovací stavy - LC3.4

Jméno	Popis	Typ působení	Skupina zatížení	Působení	Řídicí zat. stav
	Spec	Typ zatížení			
LC3.4	Brzdné síly 2 Standard	Proměnné Statické	BrzdRozj	Krátkodobé	Žádný

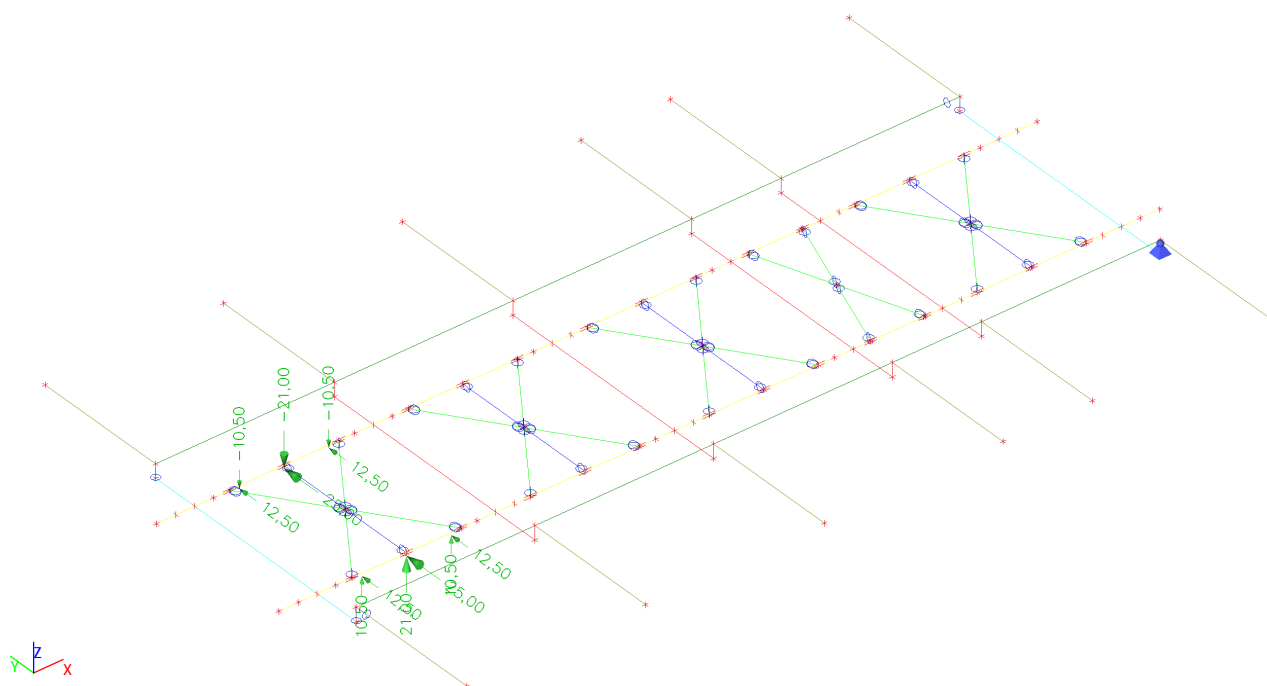
3.4.6.1. Schéma zatížení



3.4.7. Zatěžovací stavy - LC4.1

Jméno	Popis	Typ působení	Skupina zatížení	Působení	Řídicí zat. stav
	Spec	Typ zatížení			
LC4.1	Boční ráz 1	Proměnné	BocniRaz	Krátkodobé	Žádný
	Standard	Statické			

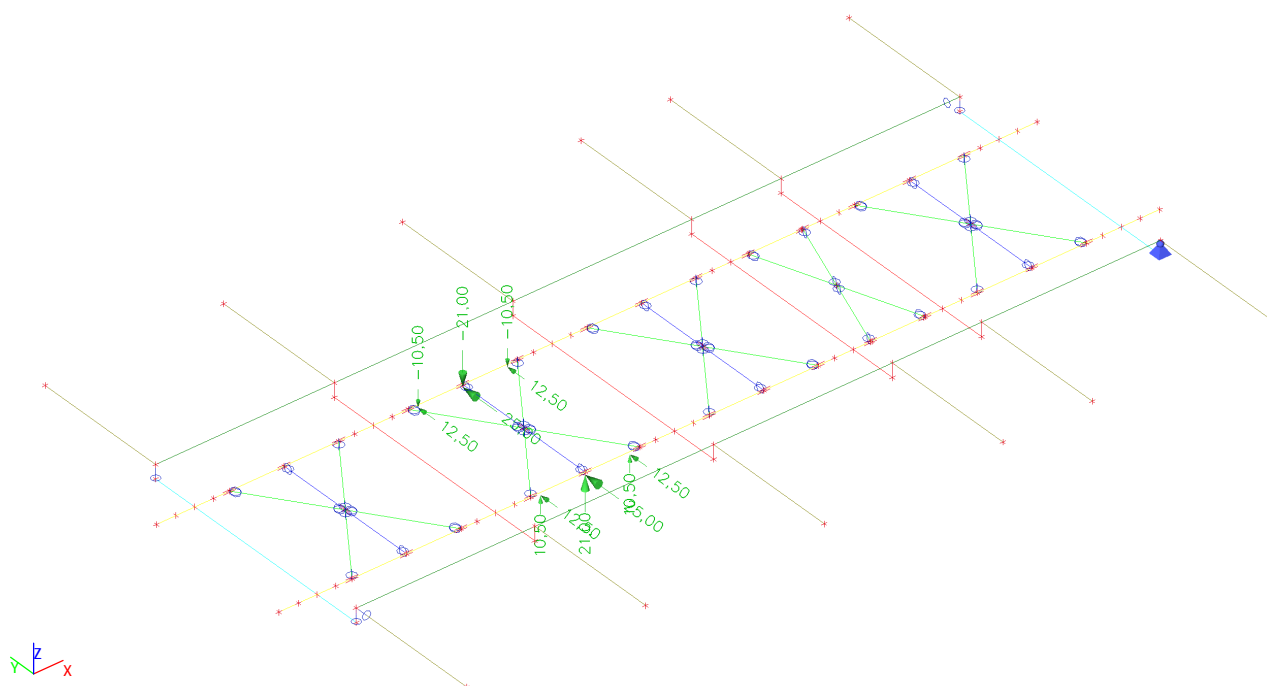
3.4.7.1. Schéma zatížení



3.4.8. Zatěžovací stavy - LC4.2

Jméno	Popis	Typ působení	Skupina zatížení	Působení	Řídicí zat. stav
	Spec	Typ zatížení			
LC4.2	Boční ráz 2	Proměnné	BocniRaz	Krátkodobé	Žádný
	Standard	Statické			

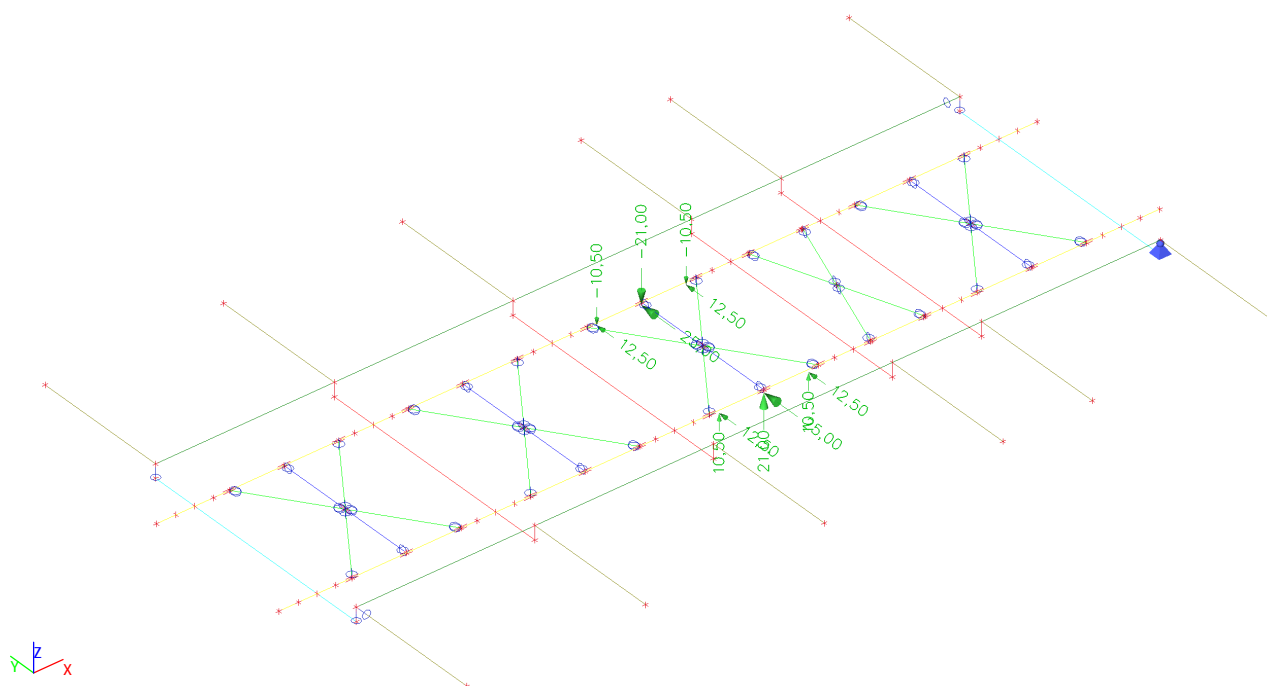
3.4.8.1. Schéma zatížení



3.4.9. Zatěžovací stavy - LC4.3

Jméno	Popis	Typ působení	Skupina zatížení	Působení	Řídicí zat. stav
	Spec	Typ zatížení			
LC4.3	Boční ráz 3	Proměnné	BocniRaz	Krátkodobé	Žádný
	Standard	Statické			

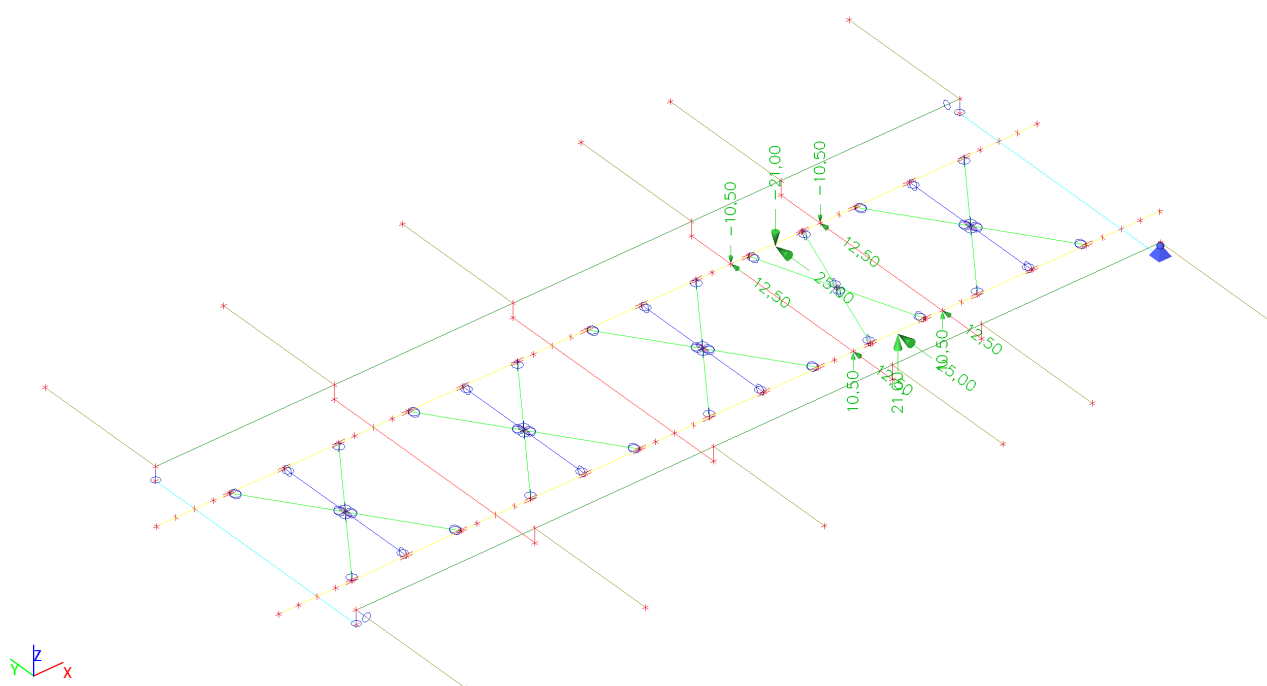
3.4.9.1. Schéma zatížení



3.4.10. Zatěžovací stavy - LC4.4

Jméno	Popis	Typ působení	Skupina zatížení	Působení	Řídicí zat. stav
	Spec	Typ zatížení			
LC4.4	Boční ráz 4	Proměnné	BocniRaz	Krátkodobé	Žádný
	Standard	Statické			

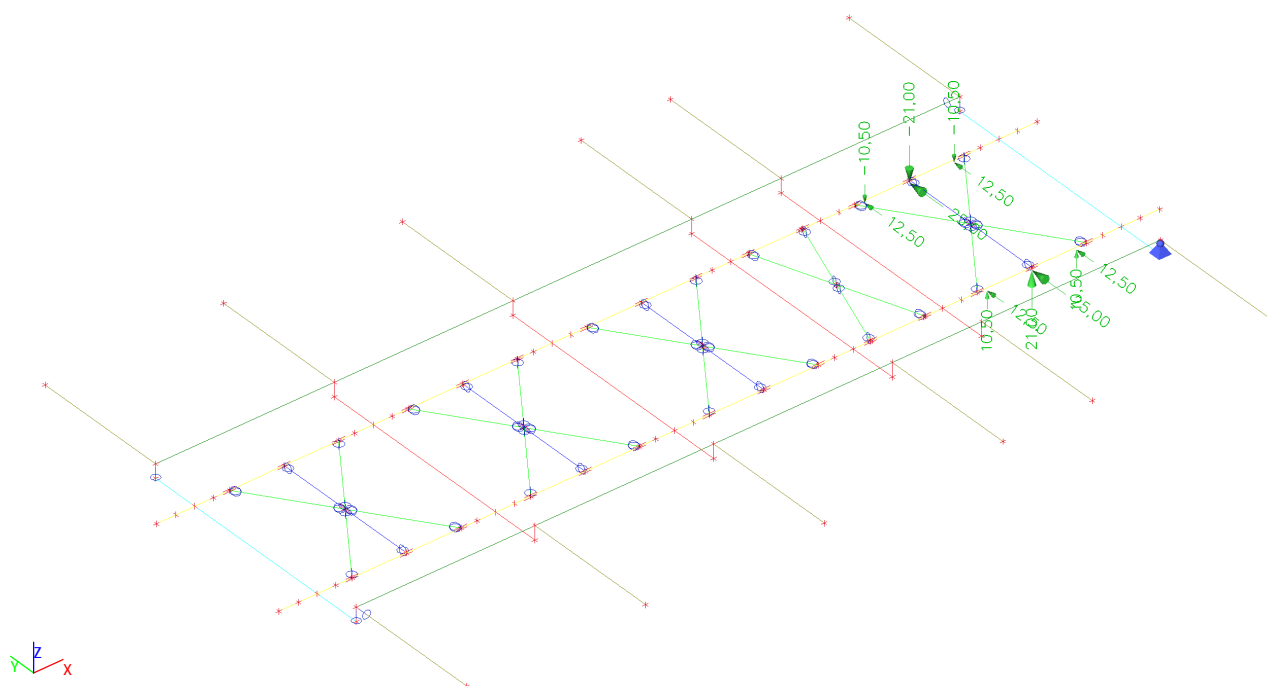
3.4.10.1. Schéma zatížení



3.4.11. Zatěžovací stavy - LC4.5

Jméno	Popis	Typ působení	Skupina zatížení	Působení	Řídicí zat. stav
	Spec	Typ zatížení			
LC4.5	Boční ráz 5	Proměnné	BocniRaz	Krátkodobé	Žádný
	Standard	Statické			

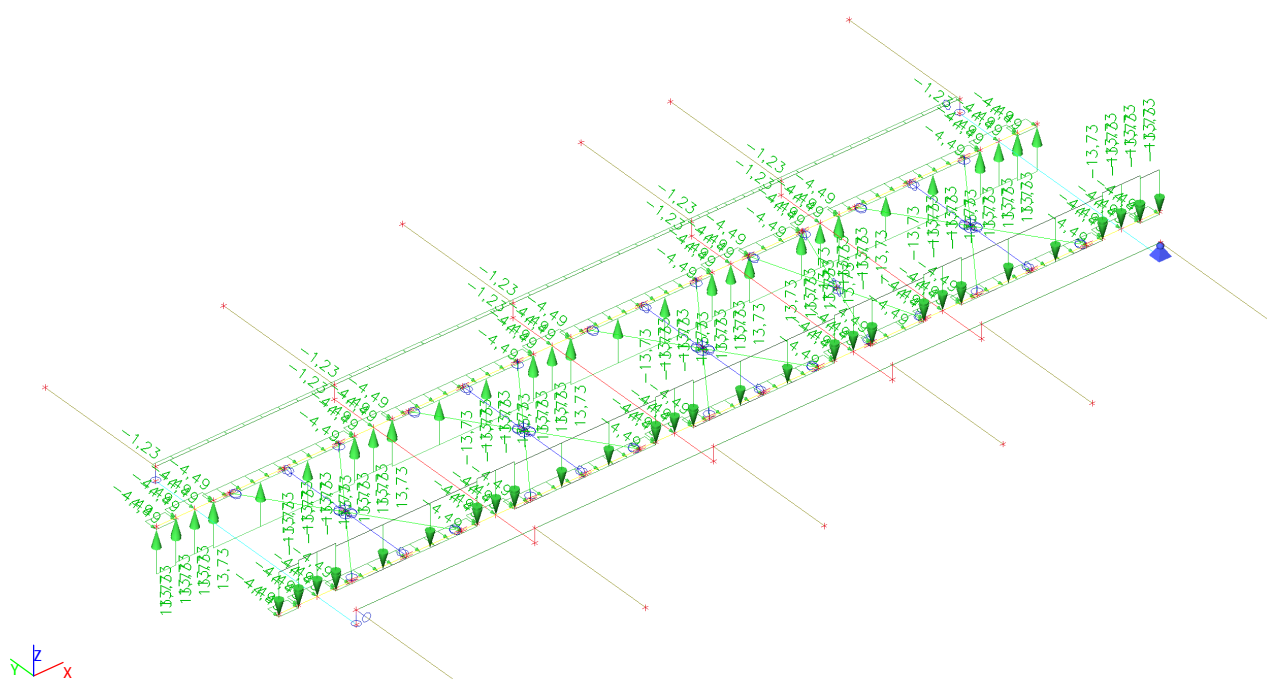
3.4.11.1. Schéma zatížení



3.4.12. Zatěžovací stavy - LC5.1

Jméno	Popis	Typ působení	Skupina zatížení	Působení	Řídicí zat. stav
	Spec	Typ zatížení			
LC5.1	Vitr zleva	Proměnné	Vitr	Krátkodobé	Žádný
	Standard	Statické			

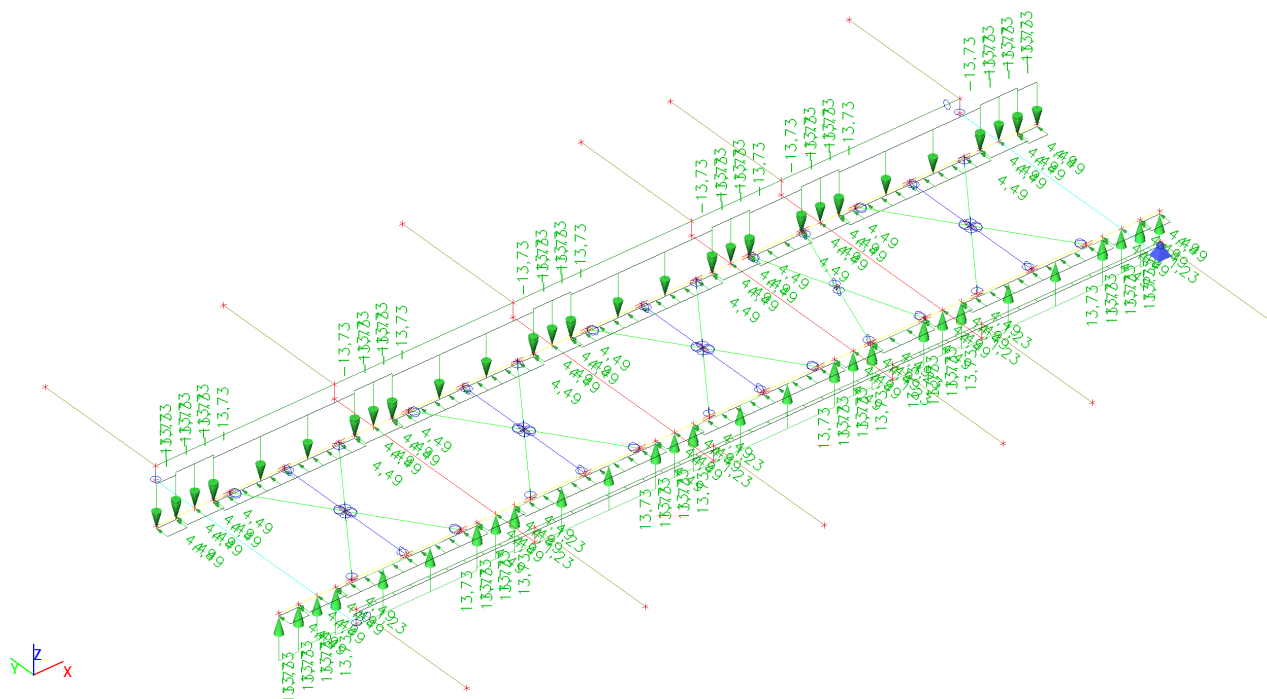
3.4.12.1. Schéma zatížení



3.4.13. Zatěžovací stavy - LC5.2

Jméno	Popis	Typ působení	Skupina zatížení	Působení	Řídící zat. stav
	Spec	Typ zatížení			
LC5.2	Vitr zprava	Proměnné	Vitr	Krátkodobé	Žádný
	Standard	Statické			

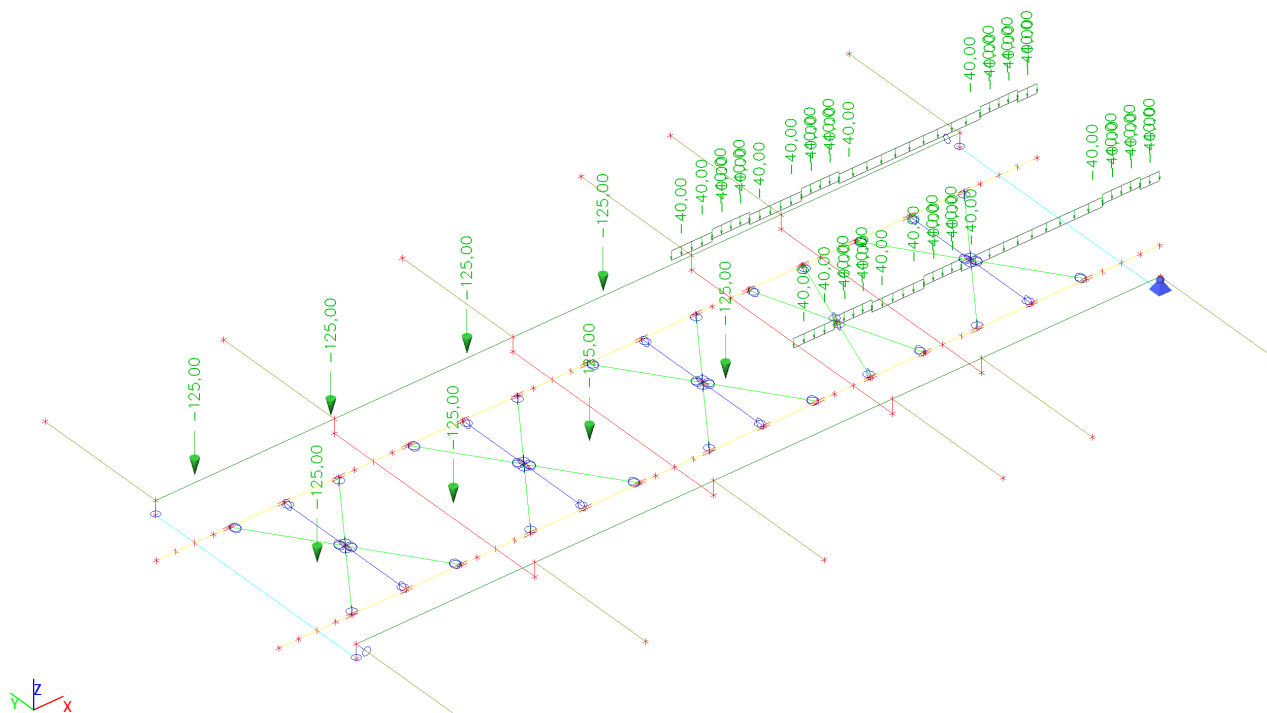
3.4.13.1. Schéma zatížení



3.4.14. Zatěžovací stavy - LC101

Jméno	Popis	Typ působení	Skupina zatížení	Působení	Řídící zat. stav
	Spec	Typ zatížení			
LC101	LM71	Proměnné	Vlak	Krátkodobé	Žádný
	Standard	Statické			

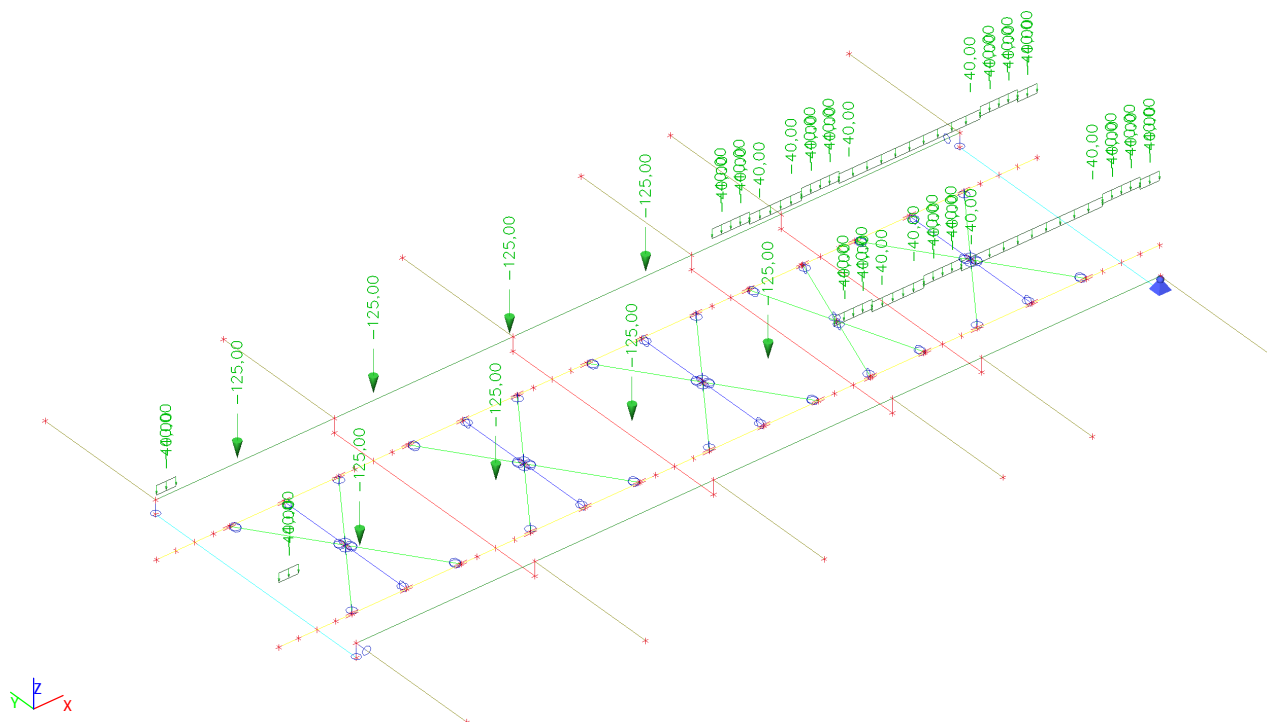
3.4.14.1. Schéma zatížení



3.4.15. Zatěžovací stavy - LC102

Jméno	Popis	Typ působení	Skupina zatížení	Působení	Řídící zat. stav
	Spec	Typ zatížení			
LC102	LM71	Proměnné	Vlak	Krátkodobé	Žádný
	Standard	Statické			

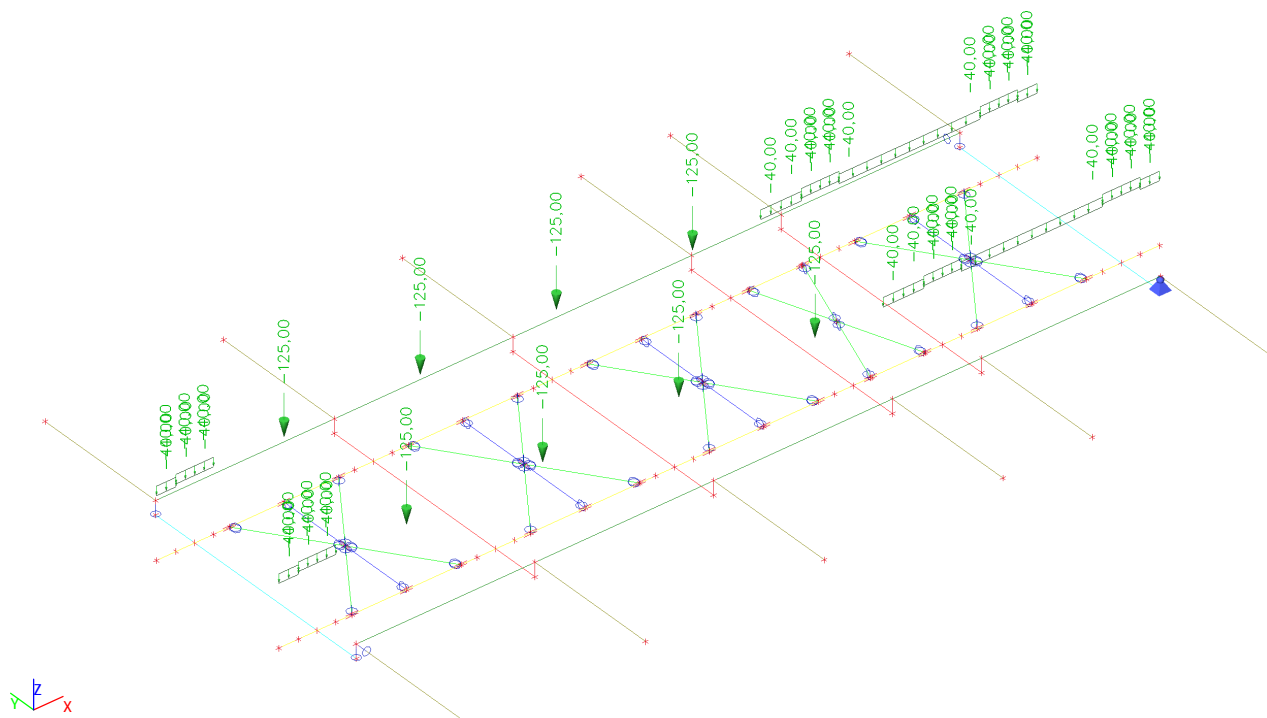
3.4.15.1. Schéma zatížení



3.4.16. Zatěžovací stavy - LC103

Jméno	Popis	Typ působení	Skupina zatížení	Působení	Řídící zat. stav
	Spec	Typ zatížení			
LC103	LM71	Proměnné	Vlak	Krátkodobé	Žádný
	Standard	Statické			

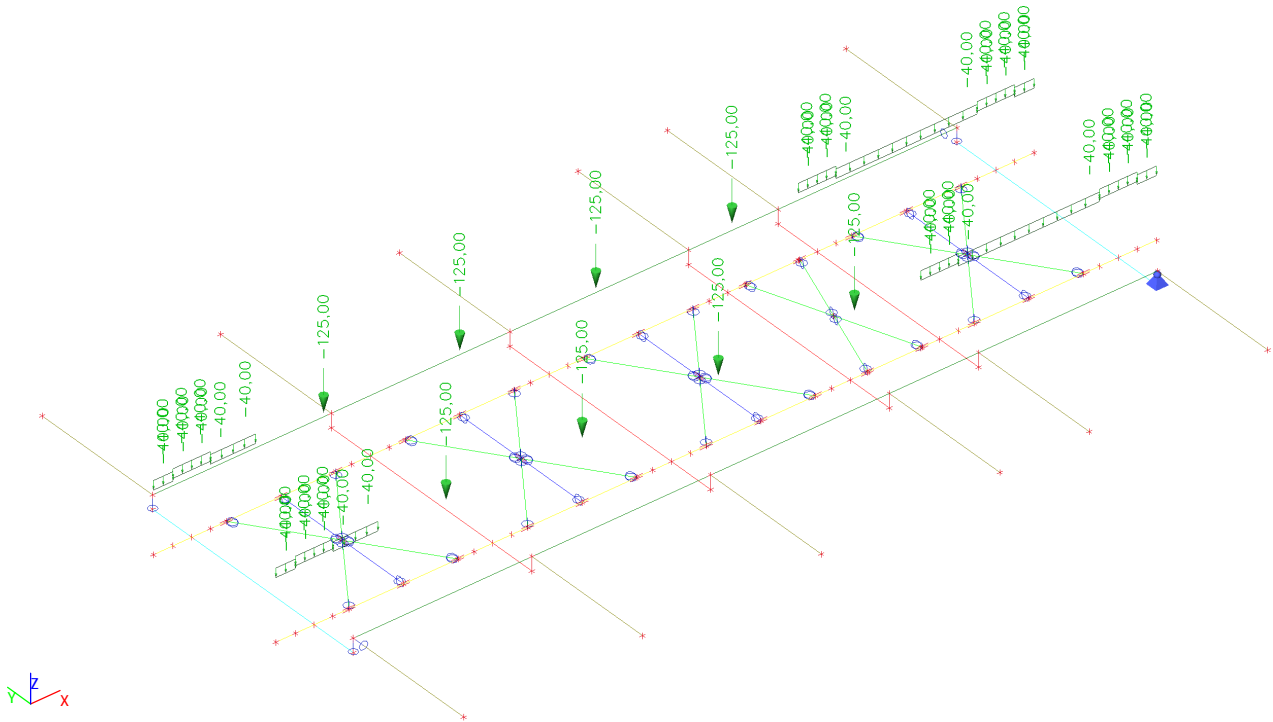
3.4.16.1. Schéma zatížení



3.4.17. Zatěžovací stavy - LC104

Jméno	Popis	Typ působení	Skupina zatížení	Působení	Řídící zat. stav
	Spec	Typ zatížení			
LC104	LM71	Proměnné	Vlak	Krátkodobé	Žádný
	Standard	Statické			

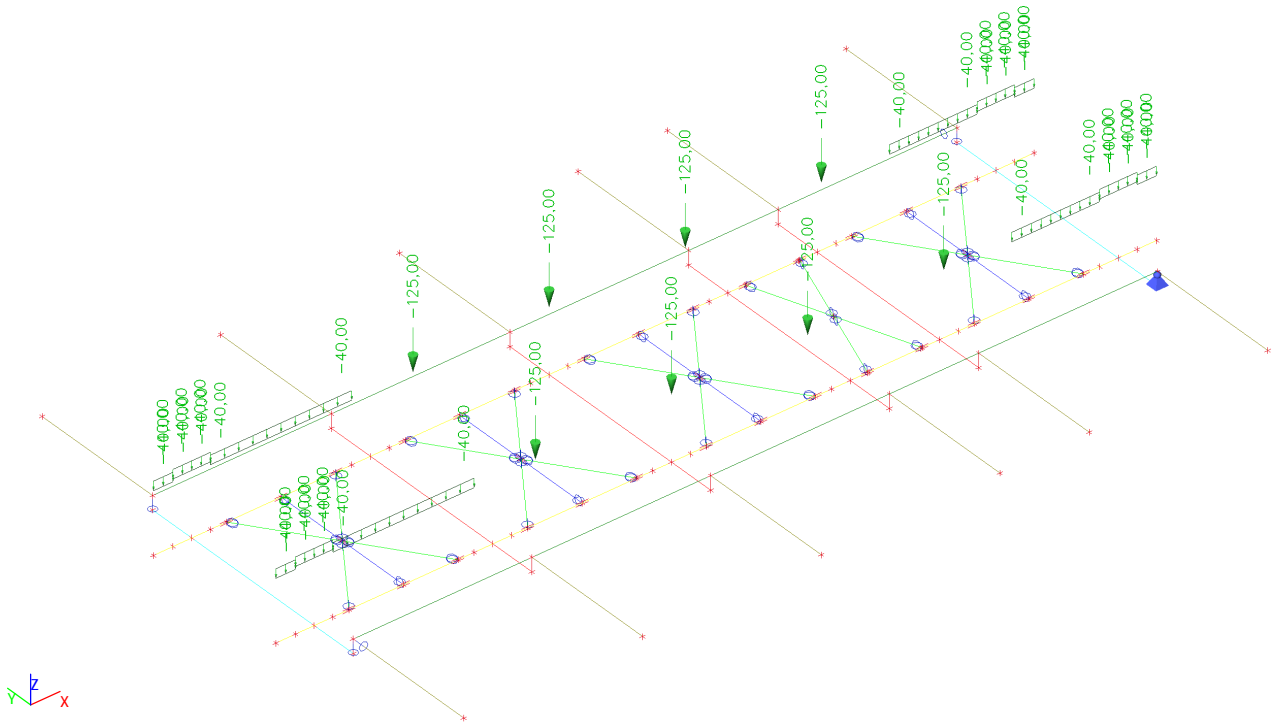
3.4.17.1. Schéma zatížení



3.4.18. Zatěžovací stavy - LC105

Jméno	Popis	Typ působení	Skupina zatížení	Působení	Řídící zat. stav
	Spec	Typ zatížení			
LC105	LM71	Proměnné	Vlak	Krátkodobé	Žádný
	Standard	Statické			

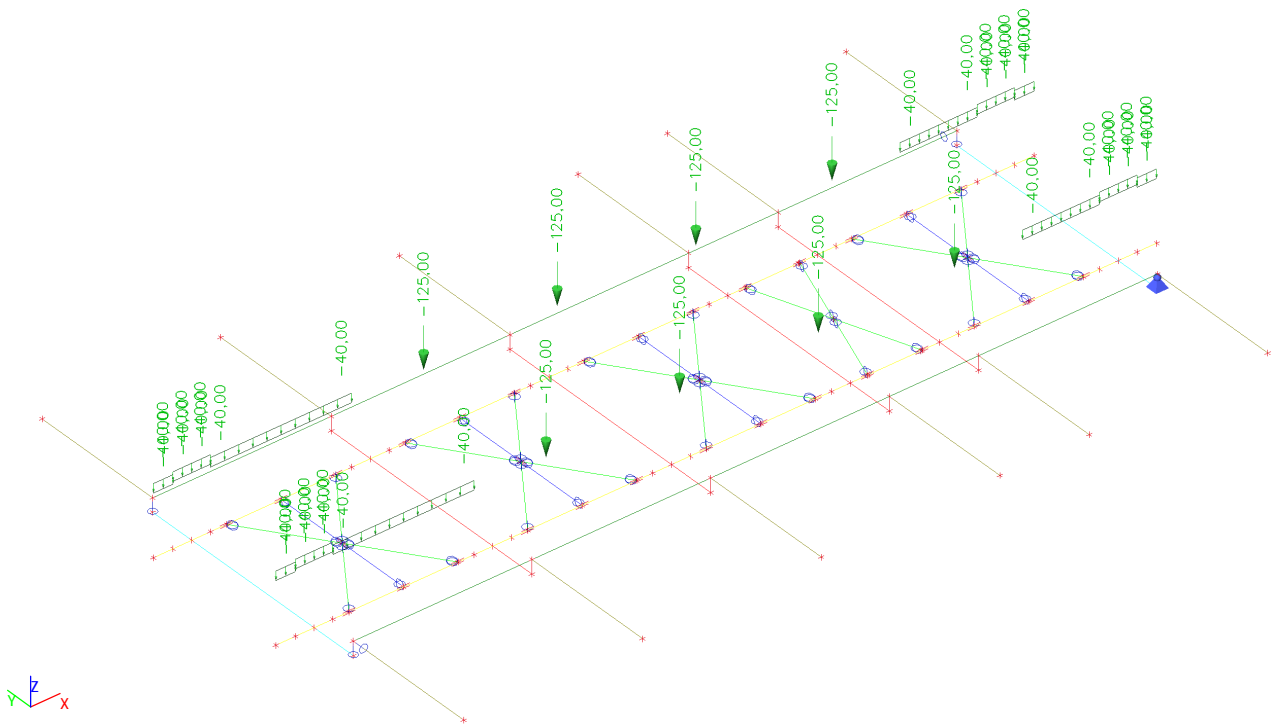
3.4.18.1. Schéma zatížení



3.4.19. Zatěžovací stavy - LC106

Jméno	Popis	Typ působení	Skupina zatížení	Působení	Řídící zat. stav
	Spec	Typ zatížení			
LC106	LM71	Proměnné	Vlak	Krátkodobé	Žádný
	Standard	Statické			

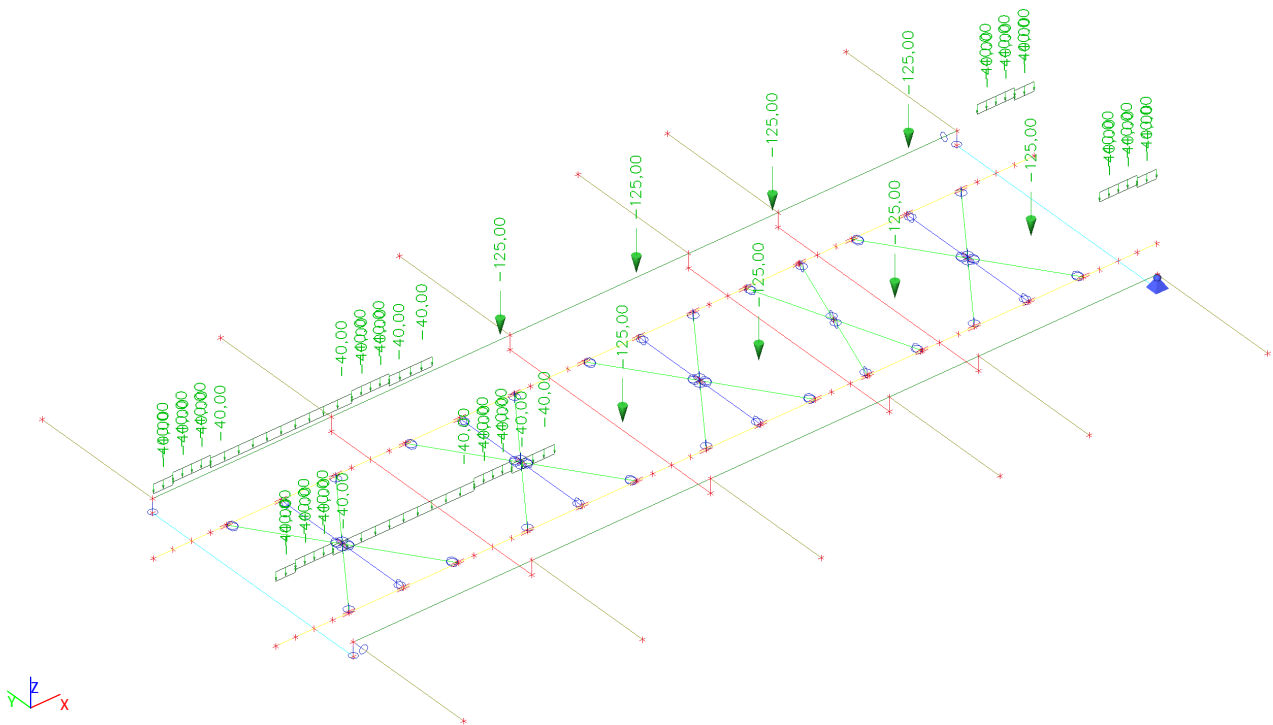
3.4.19.1. Schéma zatížení



3.4.20. Zatěžovací stavy - LC107

Jméno	Popis	Typ působení	Skupina zatížení	Působení	Řídící zat. stav
	Spec	Typ zatížení			
LC107	LM71	Proměnné	Vlak	Krátkodobé	Žádný
	Standard	Statické			

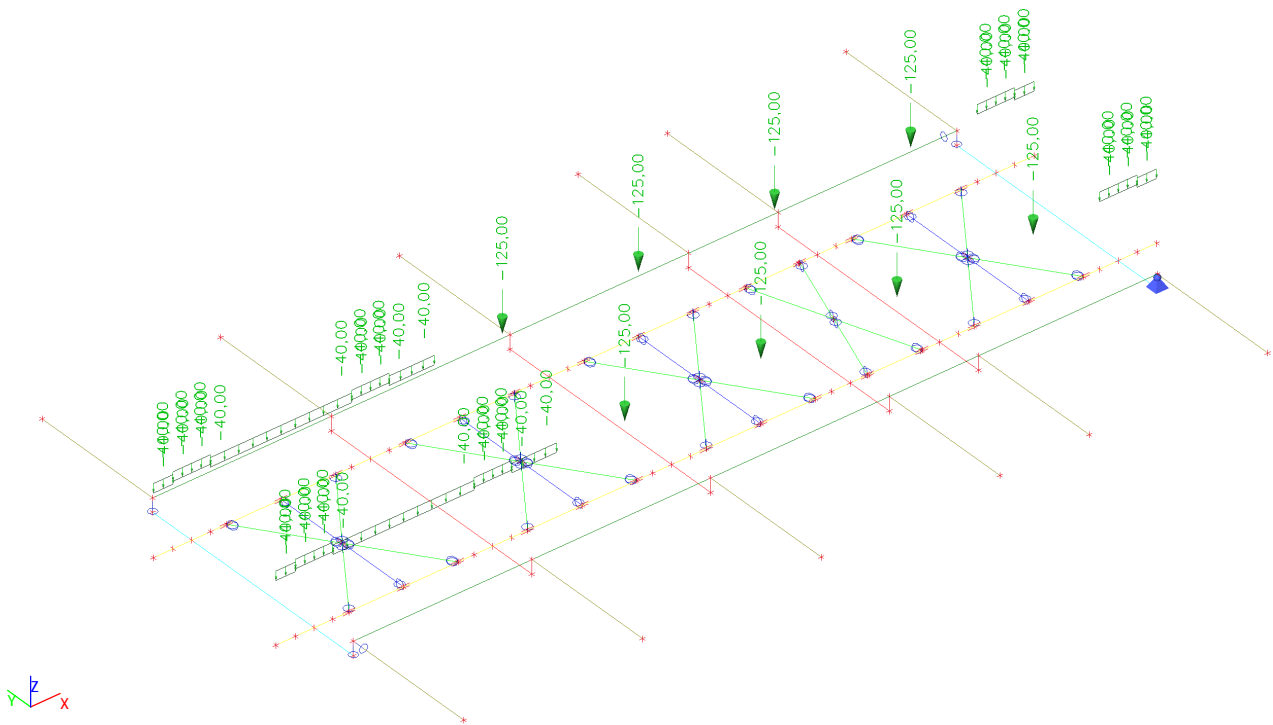
3.4.20.1. Schéma zatížení



3.4.21. Zatěžovací stavy - LC108

Jméno	Popis	Typ působení	Skupina zatížení	Působení	Řídící zat. stav
	Spec	Typ zatížení			
LC108	LM71	Proměnné	Vlak	Krátkodobé	Žádný
	Standard	Statické			

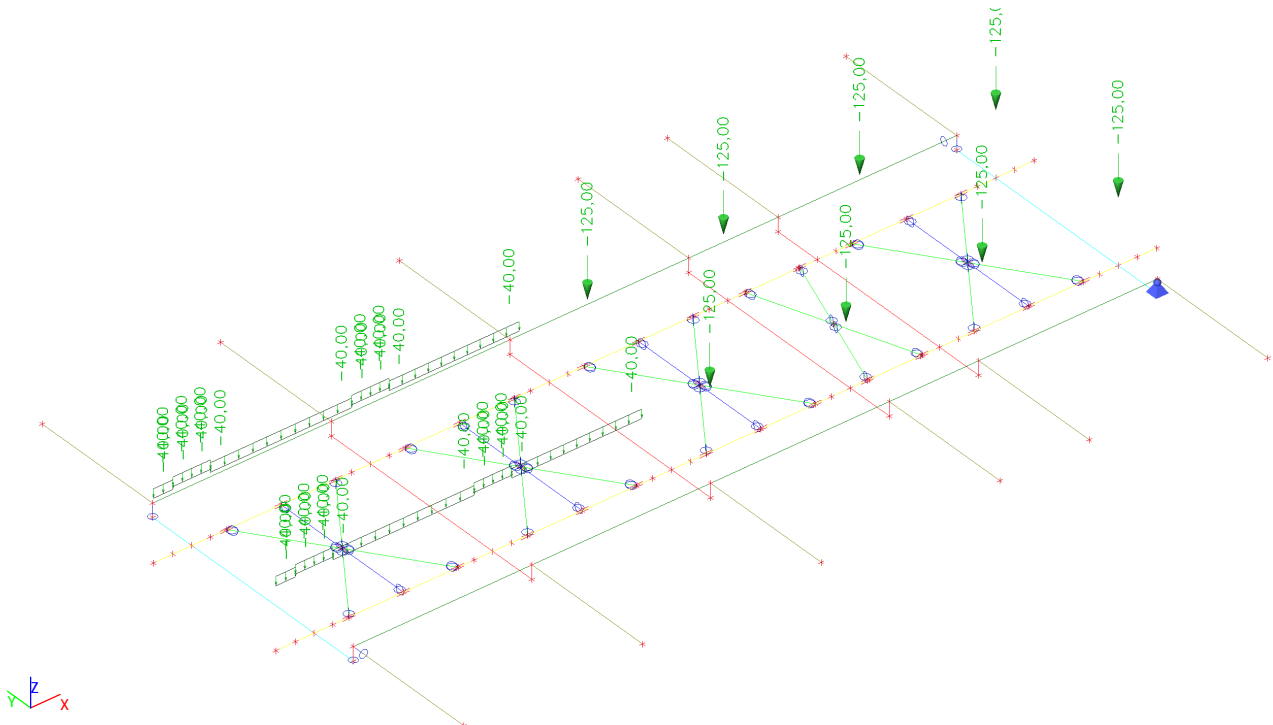
3.4.21.1. Schéma zatížení



3.4.22. Zatěžovací stavy - LC109

Jméno	Popis	Typ působení	Skupina zatížení	Působení	Řídící zat. stav
	Spec	Typ zatížení			
LC109	LM71	Proměnné	Vlak	Krátkodobé	Žádný
	Standard	Statické			

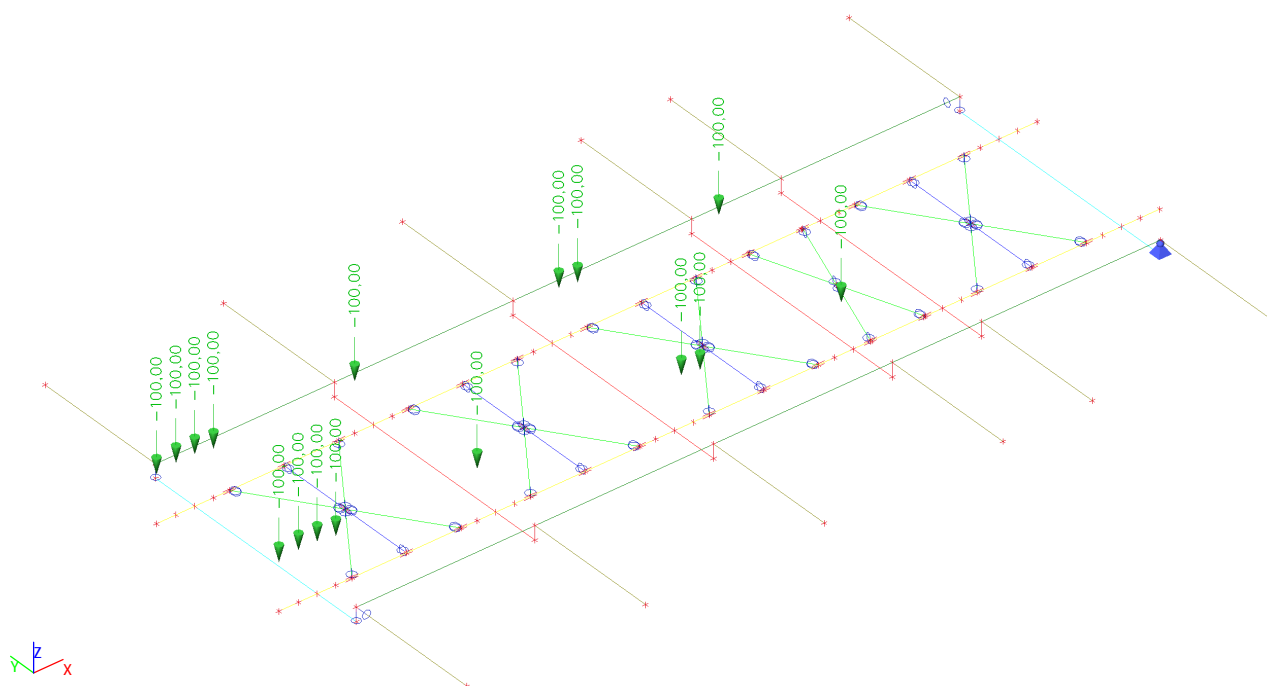
3.4.22.1. Schéma zatížení



3.4.23. Zatěžovací stavy - LC201

Jméno	Popis	Typ působení	Skupina zatížení	Působení	Řídicí zat. stav
	Spec	Typ zatížení			
LC201	C2	Proměnné	Vlak	Krátkodobé	Žádný
	Standard	Statické			

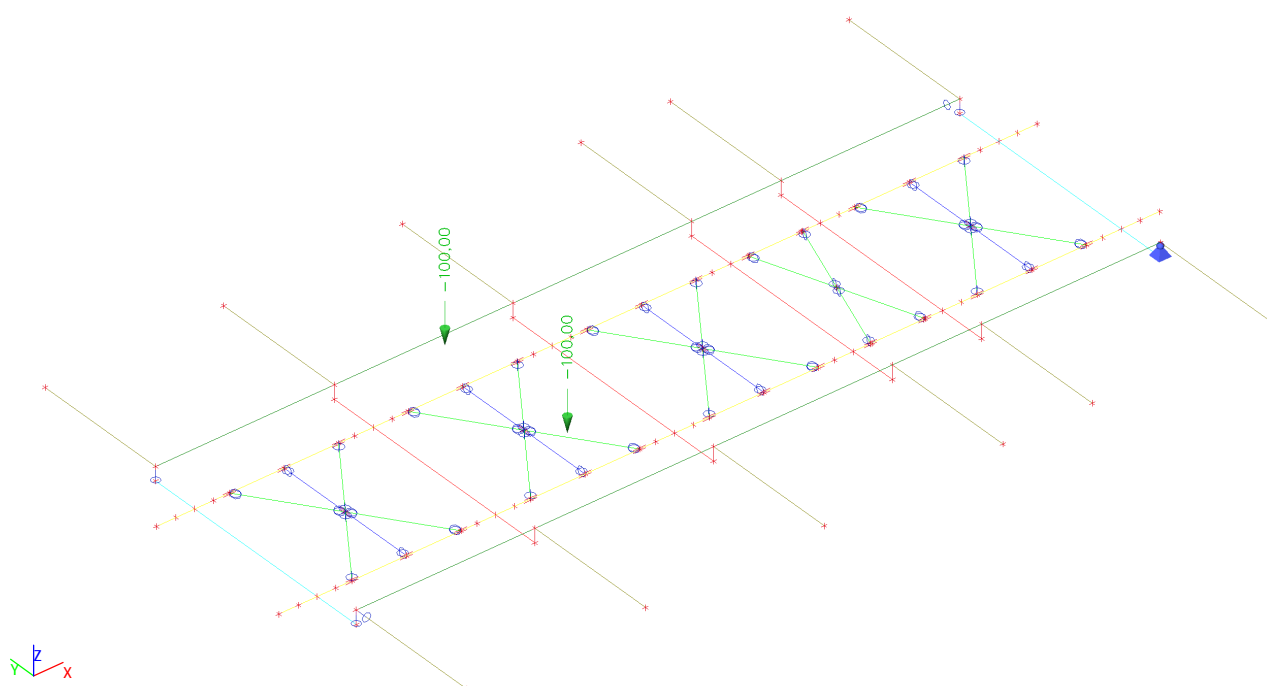
3.4.23.1. Schéma zatížení



3.4.24. Zatěžovací stavy - LC202

Jméno	Popis	Typ působení	Skupina zatížení	Působení	Řídicí zat. stav
	Spec	Typ zatížení			
LC202	C2	Proměnné	Vlak	Krátkodobé	Žádný
	Standard	Statické			

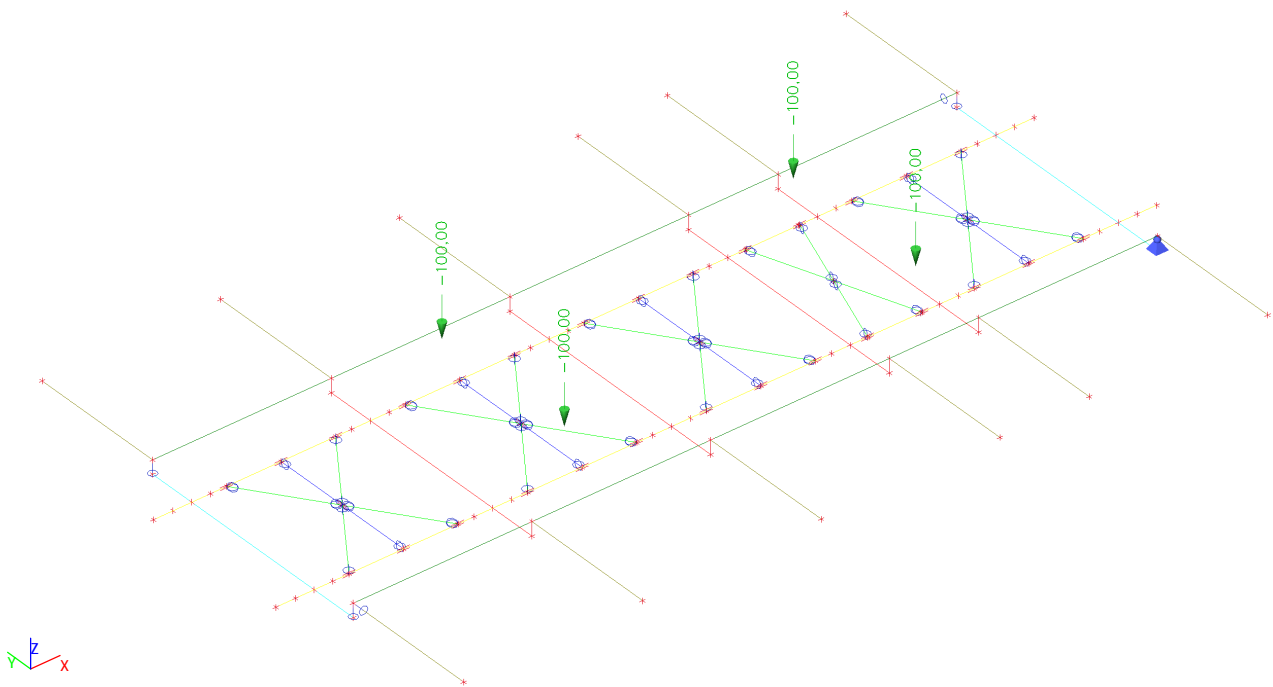
3.4.24.1. Schéma zatížení



3.4.25. Zatěžovací stavy - LC203

Jméno	Popis	Typ působení	Skupina zatížení	Působení	Řídící zat. stav
	Spec	Typ zatížení			
LC203	C2	Proměnné	Vlak	Krátkodobé	Žádný
	Standard	Statické			

3.4.25.1. Schéma zatížení



3.5. Kombinace

Jméno	Popis	Typ	Zatěžovací stavy	Souč. [-]
DEF	6.14a	Obálka - únosnost	LC1 - Vlastní tíha	1,00
			LC2 - Ostatní stálé	1,00
			LC3.1 - Rozjezdové síly 1	1,00
			LC3.2 - Rozjezdové síly 2	1,00
			LC3.3 - Brzdné síly 1	1,00
			LC3.4 - Brzdné síly 2	1,00
			LC4.1 - Boční ráz 1	1,00
			LC4.2 - Boční ráz 2	1,00
			LC4.3 - Boční ráz 3	1,00
			LC4.4 - Boční ráz 4	1,00
			LC4.5 - Boční ráz 5	1,00
			LC5.1 - Vítr zleva	0,75
			LC5.2 - Vítr zprava	0,75
			LC101 - LM71	1,00
			LC102 - LM71	1,00
			LC103 - LM71	1,00
			LC104 - LM71	1,00
			LC105 - LM71	1,00
			LC106 - LM71	1,00
			LC107 - LM71	1,00
			LC108 - LM71	1,00
			LC109 - LM71	1,00
DEF-DYN	HN	Obálka - únosnost	LC101 - LM71	1,48
			LC102 - LM71	1,48
			LC103 - LM71	1,48
			LC104 - LM71	1,48
			LC105 - LM71	1,48
			LC106 - LM71	1,48
			LC107 - LM71	1,48
			LC108 - LM71	1,48
			LC109 - LM71	1,48
HN1	6.10a gr11	Obálka - únosnost	LC1 - Vlastní tíha	1,25
			LC2 - Ostatní stálé	1,25
			LC3.1 - Rozjezdové síly 1	1,30
			LC3.2 - Rozjezdové síly 2	1,30
			LC3.3 - Brzdné síly 1	1,30
			LC3.4 - Brzdné síly 2	1,30
			LC4.1 - Boční ráz 1	0,65
			LC4.2 - Boční ráz 2	0,65
			LC4.3 - Boční ráz 3	0,65
			LC4.4 - Boční ráz 4	0,65
			LC4.5 - Boční ráz 5	0,65
			LC5.1 - Vítr zleva	1,01
			LC5.2 - Vítr zprava	1,01
			LC101 - LM71	1,71
			LC102 - LM71	1,71
			LC103 - LM71	1,71
			LC104 - LM71	1,71
			LC105 - LM71	1,71
			LC106 - LM71	1,71
			LC107 - LM71	1,71
			LC108 - LM71	1,71
			LC109 - LM71	1,71
HN2	6.10a gr12	Obálka - únosnost	LC1 - Vlastní tíha	1,25
			LC2 - Ostatní stálé	1,25
			LC3.1 - Rozjezdové síly 1	0,65
			LC3.2 - Rozjezdové síly 2	0,65
			LC3.3 - Brzdné síly 1	0,65
			LC3.4 - Brzdné síly 2	0,65
			LC4.1 - Boční ráz 1	1,30
			LC4.2 - Boční ráz 2	1,30
			LC4.3 - Boční ráz 3	1,30
			LC4.4 - Boční ráz 4	1,30
			LC4.5 - Boční ráz 5	1,30
			LC5.1 - Vítr zleva	1,01
			LC5.2 - Vítr zprava	1,01
			LC101 - LM71	1,71
			LC102 - LM71	1,71
			LC103 - LM71	1,71
			LC104 - LM71	1,71
			LC105 - LM71	1,71
			LC106 - LM71	1,71
			LC107 - LM71	1,71
			LC108 - LM71	1,71
			LC109 - LM71	1,71

Jméno	Popis	Typ	Zatěžovací stavy	Souč. [-]
HN3	6.10b gr11	Obálka - únosnost	LC1 - Vlastní tíha	1,06
			LC2 - Ostatní stálé	1,06
			LC3.1 - Rozjezdové síly 1	1,30
			LC3.2 - Rozjezdové síly 2	1,30
			LC3.3 - Brzdné síly 1	1,30
			LC3.4 - Brzdné síly 2	1,30
			LC4.1 - Boční ráz 1	0,65
			LC4.2 - Boční ráz 2	0,65
			LC4.3 - Boční ráz 3	0,65
			LC4.4 - Boční ráz 4	0,65
			LC4.5 - Boční ráz 5	0,65
			LC5.1 - Vitr zleva	1,01
			LC5.2 - Vitr zprava	1,01
			LC101 - LM71	2,14
			LC102 - LM71	2,14
			LC103 - LM71	2,14
			LC104 - LM71	2,14
			LC105 - LM71	2,14
			LC106 - LM71	2,14
			LC107 - LM71	2,14
			LC108 - LM71	2,14
			LC109 - LM71	2,14
HN4	6.10b gr12	Obálka - únosnost	LC1 - Vlastní tíha	1,06
			LC2 - Ostatní stálé	1,06
			LC3.1 - Rozjezdové síly 1	0,65
			LC3.2 - Rozjezdové síly 2	0,65
			LC3.3 - Brzdné síly 1	0,65
			LC3.4 - Brzdné síly 2	0,65
			LC4.1 - Boční ráz 1	1,30
			LC4.2 - Boční ráz 2	1,30
			LC4.3 - Boční ráz 3	1,30
			LC4.4 - Boční ráz 4	1,30
			LC4.5 - Boční ráz 5	1,30
			LC5.1 - Vitr zleva	1,01
			LC5.2 - Vitr zprava	1,01
			LC101 - LM71	2,14
			LC102 - LM71	2,14
			LC103 - LM71	2,14
			LC104 - LM71	2,14
			LC105 - LM71	2,14
			LC106 - LM71	2,14
			LC107 - LM71	2,14
			LC108 - LM71	2,14
			LC109 - LM71	2,14
POD1	6.10a gr11	Obálka - únosnost	LC1 - Vlastní tíha	1,25
			LC2 - Ostatní stálé	1,25
			LC3.1 - Rozjezdové síly 1	1,30
			LC3.2 - Rozjezdové síly 2	1,30
			LC3.3 - Brzdné síly 1	1,30
			LC3.4 - Brzdné síly 2	1,30
			LC4.1 - Boční ráz 1	0,65
			LC4.2 - Boční ráz 2	0,65
			LC4.3 - Boční ráz 3	0,65
			LC4.4 - Boční ráz 4	0,65
			LC4.5 - Boční ráz 5	0,65
			LC5.1 - Vitr zleva	1,01
			LC5.2 - Vitr zprava	1,01
			LC101 - LM71	1,93
			LC102 - LM71	1,93
			LC103 - LM71	1,93
			LC104 - LM71	1,93
			LC105 - LM71	1,93
			LC106 - LM71	1,93
			LC107 - LM71	1,93
			LC108 - LM71	1,93
			LC109 - LM71	1,93
POD2	6.10a gr12	Obálka - únosnost	LC1 - Vlastní tíha	1,25
			LC2 - Ostatní stálé	1,25
			LC3.1 - Rozjezdové síly 1	0,65
			LC3.2 - Rozjezdové síly 2	0,65
			LC3.3 - Brzdné síly 1	0,65
			LC3.4 - Brzdné síly 2	0,65
			LC4.1 - Boční ráz 1	1,30
			LC4.2 - Boční ráz 2	1,30
			LC4.3 - Boční ráz 3	1,30
			LC4.4 - Boční ráz 4	1,30

Jméno	Popis	Typ	Zatěžovací stavy	Souč. [-]
			LC4.5 - Boční ráz 5	1,30
			LC5.1 - Vitr zleva	1,01
			LC5.2 - Vitr zprava	1,01
			LC101 - LM71	1,93
			LC102 - LM71	1,93
			LC103 - LM71	1,93
			LC104 - LM71	1,93
			LC105 - LM71	1,93
			LC106 - LM71	1,93
			LC107 - LM71	1,93
			LC108 - LM71	1,93
			LC109 - LM71	1,93
POD3	6.10b gr11	Obálka - únosnost	LC1 - Vlastní tíha	1,06
			LC2 - Ostatní stálé	1,06
			LC3.1 - Rozjezdové síly 1	1,30
			LC3.2 - Rozjezdové síly 2	1,30
			LC3.3 - Brzdné síly 1	1,30
			LC3.4 - Brzdné síly 2	1,30
			LC4.1 - Boční ráz 1	0,65
			LC4.2 - Boční ráz 2	0,65
			LC4.3 - Boční ráz 3	0,65
			LC4.4 - Boční ráz 4	0,65
			LC4.5 - Boční ráz 5	0,65
			LC5.1 - Vitr zleva	1,01
			LC5.2 - Vitr zprava	1,01
			LC101 - LM71	2,41
			LC102 - LM71	2,41
			LC103 - LM71	2,41
			LC104 - LM71	2,41
			LC105 - LM71	2,41
			LC106 - LM71	2,41
			LC107 - LM71	2,41
			LC108 - LM71	2,41
			LC109 - LM71	2,41
POD4	6.10b gr12	Obálka - únosnost	LC1 - Vlastní tíha	1,06
			LC2 - Ostatní stálé	1,06
			LC3.1 - Rozjezdové síly 1	0,65
			LC3.2 - Rozjezdové síly 2	0,65
			LC3.3 - Brzdné síly 1	0,65
			LC3.4 - Brzdné síly 2	0,65
			LC4.1 - Boční ráz 1	1,30
			LC4.2 - Boční ráz 2	1,30
			LC4.3 - Boční ráz 3	1,30
			LC4.4 - Boční ráz 4	1,30
			LC4.5 - Boční ráz 5	1,30
			LC5.1 - Vitr zleva	1,01
			LC5.2 - Vitr zprava	1,01
			LC101 - LM71	2,41
			LC102 - LM71	2,41
			LC103 - LM71	2,41
			LC104 - LM71	2,41
			LC105 - LM71	2,41
			LC106 - LM71	2,41
			LC107 - LM71	2,41
			LC108 - LM71	2,41
			LC109 - LM71	2,41
PR1	6.10a gr11	Obálka - únosnost	LC1 - Vlastní tíha	1,25
			LC2 - Ostatní stálé	1,25
			LC3.1 - Rozjezdové síly 1	1,30
			LC3.2 - Rozjezdové síly 2	1,30
			LC3.3 - Brzdné síly 1	1,30
			LC3.4 - Brzdné síly 2	1,30
			LC4.1 - Boční ráz 1	0,65
			LC4.2 - Boční ráz 2	0,65
			LC4.3 - Boční ráz 3	0,65
			LC4.4 - Boční ráz 4	0,65
			LC4.5 - Boční ráz 5	0,65
			LC5.1 - Vitr zleva	1,01
			LC5.2 - Vitr zprava	1,01
			LC101 - LM71	1,96
			LC102 - LM71	1,96
			LC103 - LM71	1,96
			LC104 - LM71	1,96
			LC105 - LM71	1,96
			LC106 - LM71	1,96
			LC107 - LM71	1,96

Jméno	Popis	Typ	Zatěžovací stavy	Souč. [-]
			LC108 - LM71	1,96
			LC109 - LM71	1,96
PR2	6.10a gr12	Obálka - únosnost	LC1 - Vlastní tíha	1,25
			LC2 - Ostatní stálé	1,25
			LC3.1 - Rozjezdové síly 1	0,65
			LC3.2 - Rozjezdové síly 2	0,65
			LC3.3 - Brzdné síly 1	0,65
			LC3.4 - Brzdné síly 2	0,65
			LC4.1 - Boční ráz 1	1,30
			LC4.2 - Boční ráz 2	1,30
			LC4.3 - Boční ráz 3	1,30
			LC4.4 - Boční ráz 4	1,30
			LC4.5 - Boční ráz 5	1,30
			LC5.1 - Vítr zleva	1,01
			LC5.2 - Vítr zprava	1,01
			LC101 - LM71	1,96
			LC102 - LM71	1,96
			LC103 - LM71	1,96
			LC104 - LM71	1,96
			LC105 - LM71	1,96
			LC106 - LM71	1,96
			LC107 - LM71	1,96
			LC108 - LM71	1,96
			LC109 - LM71	1,96
PR3	6.10b gr11	Obálka - únosnost	LC1 - Vlastní tíha	1,06
			LC2 - Ostatní stálé	1,06
			LC3.1 - Rozjezdové síly 1	1,30
			LC3.2 - Rozjezdové síly 2	1,30
			LC3.3 - Brzdné síly 1	1,30
			LC3.4 - Brzdné síly 2	1,30
			LC4.1 - Boční ráz 1	0,65
			LC4.2 - Boční ráz 2	0,65
			LC4.3 - Boční ráz 3	0,65
			LC4.4 - Boční ráz 4	0,65
			LC4.5 - Boční ráz 5	0,65
			LC5.1 - Vítr zleva	1,01
			LC5.2 - Vítr zprava	1,01
			LC101 - LM71	2,45
			LC102 - LM71	2,45
			LC103 - LM71	2,45
			LC104 - LM71	2,45
			LC105 - LM71	2,45
			LC106 - LM71	2,45
			LC107 - LM71	2,45
			LC108 - LM71	2,45
			LC109 - LM71	2,45
PR4	6.10b gr12	Obálka - únosnost	LC1 - Vlastní tíha	1,06
			LC2 - Ostatní stálé	1,06
			LC3.1 - Rozjezdové síly 1	0,65
			LC3.2 - Rozjezdové síly 2	0,65
			LC3.3 - Brzdné síly 1	0,65
			LC3.4 - Brzdné síly 2	0,65
			LC4.1 - Boční ráz 1	1,30
			LC4.2 - Boční ráz 2	1,30
			LC4.3 - Boční ráz 3	1,30
			LC4.4 - Boční ráz 4	1,30
			LC4.5 - Boční ráz 5	1,30
			LC5.1 - Vítr zleva	1,01
			LC5.2 - Vítr zprava	1,01
			LC101 - LM71	2,45
			LC102 - LM71	2,45
			LC103 - LM71	2,45
			LC104 - LM71	2,45
			LC105 - LM71	2,45
			LC106 - LM71	2,45
			LC107 - LM71	2,45
			LC108 - LM71	2,45
			LC109 - LM71	2,45
PR_KONC1	6.10a gr11	Obálka - únosnost	LC1 - Vlastní tíha	1,25
			LC2 - Ostatní stálé	1,25
			LC3.1 - Rozjezdové síly 1	1,30
			LC3.2 - Rozjezdové síly 2	1,30
			LC3.3 - Brzdné síly 1	1,30
			LC3.4 - Brzdné síly 2	1,30
			LC4.1 - Boční ráz 1	0,65
			LC4.2 - Boční ráz 2	0,65

Jméno	Popis	Typ	Zatěžovací stavy	Souč. [-]
			LC4.3 - Boční ráz 3	0,65
			LC4.4 - Boční ráz 4	0,65
			LC4.5 - Boční ráz 5	0,65
			LC5.1 - Vitr zleva	1,01
			LC5.2 - Vitr zprava	1,01
			LC101 - LM71	2,31
			LC102 - LM71	2,31
			LC103 - LM71	2,31
			LC104 - LM71	2,31
			LC105 - LM71	2,31
			LC106 - LM71	2,31
			LC107 - LM71	2,31
			LC108 - LM71	2,31
			LC109 - LM71	2,31
PR_KONC2	6.10a gr12	Obálka - únosnost	LC1 - Vlastní tíha	1,25
			LC2 - Ostatní stálé	1,25
			LC3.1 - Rozjezdové síly 1	0,65
			LC3.2 - Rozjezdové síly 2	0,65
			LC3.3 - Brzdné síly 1	0,65
			LC3.4 - Brzdné síly 2	0,65
			LC4.1 - Boční ráz 1	1,30
			LC4.2 - Boční ráz 2	1,30
			LC4.3 - Boční ráz 3	1,30
			LC4.4 - Boční ráz 4	1,30
			LC4.5 - Boční ráz 5	1,30
			LC5.1 - Vitr zleva	1,01
			LC5.2 - Vitr zprava	1,01
			LC101 - LM71	2,31
			LC102 - LM71	2,31
			LC103 - LM71	2,31
			LC104 - LM71	2,31
			LC105 - LM71	2,31
			LC106 - LM71	2,31
			LC107 - LM71	2,31
			LC108 - LM71	2,31
			LC109 - LM71	2,31
PR_KONC3	6.10b gr11	Obálka - únosnost	LC1 - Vlastní tíha	1,06
			LC2 - Ostatní stálé	1,06
			LC3.1 - Rozjezdové síly 1	1,30
			LC3.2 - Rozjezdové síly 2	1,30
			LC3.3 - Brzdné síly 1	1,30
			LC3.4 - Brzdné síly 2	1,30
			LC4.1 - Boční ráz 1	0,65
			LC4.2 - Boční ráz 2	0,65
			LC4.3 - Boční ráz 3	0,65
			LC4.4 - Boční ráz 4	0,65
			LC4.5 - Boční ráz 5	0,65
			LC5.1 - Vitr zleva	1,01
			LC5.2 - Vitr zprava	1,01
			LC101 - LM71	2,89
			LC102 - LM71	2,89
			LC103 - LM71	2,89
			LC104 - LM71	2,89
			LC105 - LM71	2,89
			LC106 - LM71	2,89
			LC107 - LM71	2,89
			LC108 - LM71	2,89
			LC109 - LM71	2,89
PR_KONC4	6.10b gr12	Obálka - únosnost	LC1 - Vlastní tíha	1,06
			LC2 - Ostatní stálé	1,06
			LC3.1 - Rozjezdové síly 1	0,65
			LC3.2 - Rozjezdové síly 2	0,65
			LC3.3 - Brzdné síly 1	0,65
			LC3.4 - Brzdné síly 2	0,65
			LC4.1 - Boční ráz 1	1,30
			LC4.2 - Boční ráz 2	1,30
			LC4.3 - Boční ráz 3	1,30
			LC4.4 - Boční ráz 4	1,30
			LC4.5 - Boční ráz 5	1,30
			LC5.1 - Vitr zleva	1,01
			LC5.2 - Vitr zprava	1,01
			LC101 - LM71	2,89
			LC102 - LM71	2,89
			LC103 - LM71	2,89
			LC104 - LM71	2,89
			LC105 - LM71	2,89

Jméno	Popis	Typ	Zatěžovací stavy	Souč. [-]
			LC106 - LM71	2,89
			LC107 - LM71	2,89
			LC108 - LM71	2,89
			LC109 - LM71	2,89

4. Vnitřní síly

4.1. Vnitřní síly-POD1-UIC

Lineární výpočet, Extrém : Globální, Systém : Hlavní
Výběr : Vše
Třída : ZS UIC
Průřez : POD1_bez_listy - lwn (493; 10; 200; 12; 200; 20; 461; 0)

Dílec	css	dx [mm]	Stav	N [kN]	Vz [kN]	My [kNm]	Mz [kNm]
B251	POD1_bez_listy - lwn	0,000	LC109	0,00	0,00	0,00	0,00
B247	POD1_bez_listy - lwn	0,000	LC105	103,29	20,61	43,06	-0,26
B247	POD1_bez_listy - lwn	1505,001	LC106	102,72	-114,26	64,13	0,03
B236	POD1_bez_listy - lwn	0,000	LC105	89,96	106,47	37,39	0,63
B227	POD1_bez_listy - lwn	230,000	LC102	0,00	-9,20	-1,06	0,00
B247	POD1_bez_listy - lwn	805,000	LC107	99,75	61,17	81,37	-0,16
B239	POD1_bez_listy - lwn	1660,000	LC109	29,17	-30,16	8,66	-1,05
B242	POD1_bez_listy - lwn	1660,000	LC109	29,17	-30,14	8,70	1,08

4.2. Vnitřní síly-POD1-neUIC

Lineární výpočet, Extrém : Ne, Systém : Hlavní
Výběr : B227, B236, B239, B242, B247, B251
Třída : ZS neUIC
Průřez : POD1_bez_listy - lwn (493; 10; 200; 12; 200; 20; 461; 0)

Dílec	css	dx [mm]	Stav	N [kN]	Vz [kN]	My [kNm]	Mz [kNm]
B227	POD1_bez_listy - lwn	0,000	LC1	0,00	0,00	0,00	0,00
B227	POD1_bez_listy - lwn	0,000	LC2	0,00	0,00	0,00	0,00
B227	POD1_bez_listy - lwn	0,000	LC3.1	0,00	0,00	0,00	0,00
B227	POD1_bez_listy - lwn	0,000	LC3.2	0,00	0,00	0,00	0,00
B227	POD1_bez_listy - lwn	0,000	LC3.3	0,00	0,00	0,00	0,00
B227	POD1_bez_listy - lwn	0,000	LC3.4	0,00	0,00	0,00	0,00
B227	POD1_bez_listy - lwn	0,000	LC4.1	0,00	0,00	0,00	0,00
B227	POD1_bez_listy - lwn	0,000	LC4.2	0,00	0,00	0,00	0,00
B227	POD1_bez_listy - lwn	0,000	LC4.3	0,00	0,00	0,00	0,00
B227	POD1_bez_listy - lwn	0,000	LC4.4	0,00	0,00	0,00	0,00
B227	POD1_bez_listy - lwn	0,000	LC4.5	0,00	0,00	0,00	0,00
B227	POD1_bez_listy - lwn	0,000	LC5.1	0,00	0,00	0,00	0,00
B227	POD1_bez_listy - lwn	0,000	LC5.2	0,00	0,00	0,00	0,00
B227	POD1_bez_listy - lwn	114,990	LC1	0,00	-0,10	-0,01	0,00
B227	POD1_bez_listy - lwn	114,990	LC2	0,00	-0,29	-0,02	0,00
B227	POD1_bez_listy - lwn	114,990	LC3.1	1,90	0,00	-1,43	0,00
B227	POD1_bez_listy - lwn	114,990	LC3.2	-1,90	0,00	1,43	0,00
B227	POD1_bez_listy - lwn	114,990	LC3.3	1,15	0,00	-0,87	0,00
B227	POD1_bez_listy - lwn	114,990	LC3.4	-1,15	0,00	0,87	0,00
B227	POD1_bez_listy - lwn	114,990	LC4.1	0,00	0,00	0,00	0,00
B227	POD1_bez_listy - lwn	114,990	LC4.2	0,00	0,00	0,00	0,00
B227	POD1_bez_listy - lwn	114,990	LC4.3	0,00	0,00	0,00	0,00
B227	POD1_bez_listy - lwn	114,990	LC4.4	0,00	0,00	0,00	0,00
B227	POD1_bez_listy - lwn	114,990	LC4.5	0,00	0,00	0,00	0,00
B227	POD1_bez_listy - lwn	114,990	LC5.1	0,00	1,58	0,09	-0,03
B227	POD1_bez_listy - lwn	114,990	LC5.2	0,00	-1,58	-0,09	0,03
B227	POD1_bez_listy - lwn	115,010	LC1	0,00	-0,10	-0,01	0,00
B227	POD1_bez_listy - lwn	115,010	LC2	0,00	-0,29	-0,02	0,00
B227	POD1_bez_listy - lwn	115,010	LC3.1	1,90	0,00	-1,43	0,00
B227	POD1_bez_listy - lwn	115,010	LC3.2	-1,90	0,00	1,43	0,00
B227	POD1_bez_listy - lwn	115,010	LC3.3	1,15	0,00	-0,87	0,00
B227	POD1_bez_listy - lwn	115,010	LC3.4	-1,15	0,00	0,87	0,00
B227	POD1_bez_listy - lwn	115,010	LC4.1	0,00	0,00	0,00	0,00
B227	POD1_bez_listy - lwn	115,010	LC4.2	0,00	0,00	0,00	0,00
B227	POD1_bez_listy - lwn	115,010	LC4.3	0,00	0,00	0,00	0,00
B227	POD1_bez_listy - lwn	115,010	LC4.4	0,00	0,00	0,00	0,00
B227	POD1_bez_listy - lwn	115,010	LC4.5	0,00	0,00	0,00	0,00
B227	POD1_bez_listy - lwn	115,010	LC5.1	0,00	1,58	0,09	-0,03
B227	POD1_bez_listy - lwn	115,010	LC5.2	0,00	-1,58	-0,09	0,03
B227	POD1_bez_listy - lwn	230,000	LC1	0,00	-0,20	-0,02	0,00
B227	POD1_bez_listy - lwn	230,000	LC2	0,00	-0,57	-0,07	0,00
B227	POD1_bez_listy - lwn	230,000	LC3.1	3,79	0,00	-2,87	0,00
B227	POD1_bez_listy - lwn	230,000	LC3.2	-3,79	0,00	2,87	0,00
B227	POD1_bez_listy - lwn	230,000	LC3.3	2,30	0,00	-1,74	0,00
B227	POD1_bez_listy - lwn	230,000	LC3.4	-2,30	0,00	1,74	0,00
B227	POD1_bez_listy - lwn	230,000	LC4.1	0,00	0,00	0,00	0,00
B227	POD1_bez_listy - lwn	230,000	LC4.2	0,00	0,00	0,00	0,00
B227	POD1_bez_listy - lwn	230,000	LC4.3	0,00	0,00	0,00	0,00
B227	POD1_bez_listy - lwn	230,000	LC4.4	0,00	0,00	0,00	0,00
B227	POD1_bez_listy - lwn	230,000	LC4.5	0,00	0,00	0,00	0,00
B227	POD1_bez_listy - lwn	230,000	LC5.1	0,00	3,16	0,36	-0,12

Dilec	css	dx [mm]	Stav	N [kN]	Vz [kN]	My [kNm]	Mz [kNm]
B227	POD1_bez_listy - lwn	230,000	LC5.2	0,00	-3,16	-0,36	0,12
B236	POD1_bez_listy - lwn	0,000	LC1	7,86	1,38	3,01	0,07
B236	POD1_bez_listy - lwn	0,000	LC2	4,30	2,36	1,38	0,04
B236	POD1_bez_listy - lwn	0,000	LC3.1	-3,63	14,14	-2,16	-0,52
B236	POD1_bez_listy - lwn	0,000	LC3.2	3,63	-14,14	2,16	0,52
B236	POD1_bez_listy - lwn	0,000	LC3.3	-2,12	8,57	-1,29	-0,31
B236	POD1_bez_listy - lwn	0,000	LC3.4	2,20	-8,57	1,31	0,32
B236	POD1_bez_listy - lwn	0,000	LC4.1	30,12	-1,72	3,50	-0,26
B236	POD1_bez_listy - lwn	0,000	LC4.2	80,77	-22,05	0,14	5,96
B236	POD1_bez_listy - lwn	0,000	LC4.3	56,32	-0,36	1,23	0,49
B236	POD1_bez_listy - lwn	0,000	LC4.4	34,71	-1,07	0,32	0,42
B236	POD1_bez_listy - lwn	0,000	LC4.5	13,47	-0,69	0,07	0,17
B236	POD1_bez_listy - lwn	0,000	LC5.1	-37,76	12,65	-0,50	-0,75
B236	POD1_bez_listy - lwn	0,000	LC5.2	37,94	-12,66	0,52	0,74
B236	POD1_bez_listy - lwn	94,650	LC1	7,86	1,30	3,14	0,06
B236	POD1_bez_listy - lwn	94,650	LC2	4,30	2,12	1,59	0,04
B236	POD1_bez_listy - lwn	94,650	LC3.1	-2,06	14,14	-2,00	-0,46
B236	POD1_bez_listy - lwn	94,650	LC3.2	2,06	-14,14	2,00	0,46
B236	POD1_bez_listy - lwn	94,650	LC3.3	-1,17	8,57	-1,20	-0,28
B236	POD1_bez_listy - lwn	94,650	LC3.4	1,25	-8,57	1,21	0,28
B236	POD1_bez_listy - lwn	94,650	LC4.1	30,12	-1,72	3,34	-0,25
B236	POD1_bez_listy - lwn	94,650	LC4.2	80,77	-22,05	-1,94	3,50
B236	POD1_bez_listy - lwn	94,650	LC4.3	56,32	-0,36	1,20	0,30
B236	POD1_bez_listy - lwn	94,650	LC4.4	34,71	-1,07	0,22	0,28
B236	POD1_bez_listy - lwn	94,650	LC4.5	13,47	-0,69	0,00	0,11
B236	POD1_bez_listy - lwn	94,650	LC5.1	-37,76	11,35	0,63	-0,34
B236	POD1_bez_listy - lwn	94,650	LC5.2	37,94	-11,36	-0,61	0,34
B236	POD1_bez_listy - lwn	94,670	LC1	7,86	1,30	3,14	0,06
B236	POD1_bez_listy - lwn	94,670	LC2	4,30	2,12	1,59	0,04
B236	POD1_bez_listy - lwn	94,670	LC3.1	-2,06	14,14	-2,00	-0,46
B236	POD1_bez_listy - lwn	94,670	LC3.2	2,06	-14,14	2,00	0,46
B236	POD1_bez_listy - lwn	94,670	LC3.3	-1,17	8,57	-1,20	-0,28
B236	POD1_bez_listy - lwn	94,670	LC3.4	1,25	-8,57	1,21	0,28
B236	POD1_bez_listy - lwn	94,670	LC4.1	30,12	-1,72	3,34	-0,25
B236	POD1_bez_listy - lwn	94,670	LC4.2	80,77	-22,05	-1,94	3,50
B236	POD1_bez_listy - lwn	94,670	LC4.3	56,32	-0,36	1,20	0,30
B236	POD1_bez_listy - lwn	94,670	LC4.4	34,71	-1,07	0,22	0,28
B236	POD1_bez_listy - lwn	94,670	LC4.5	13,47	-0,69	0,00	0,11
B236	POD1_bez_listy - lwn	94,670	LC5.1	-37,76	11,35	0,63	-0,34
B236	POD1_bez_listy - lwn	94,670	LC5.2	37,94	-11,36	-0,61	0,34
B236	POD1_bez_listy - lwn	189,320	LC1	7,86	1,22	3,26	0,05
B236	POD1_bez_listy - lwn	189,320	LC2	4,30	1,88	1,78	0,03
B236	POD1_bez_listy - lwn	189,320	LC3.1	-0,50	14,14	-1,84	-0,40
B236	POD1_bez_listy - lwn	189,320	LC3.2	0,50	-14,14	1,84	0,40
B236	POD1_bez_listy - lwn	189,320	LC3.3	-0,23	8,57	-1,10	-0,24
B236	POD1_bez_listy - lwn	189,320	LC3.4	0,30	-8,57	1,12	0,24
B236	POD1_bez_listy - lwn	189,320	LC4.1	30,12	-1,72	3,18	-0,24
B236	POD1_bez_listy - lwn	189,320	LC4.2	80,77	-22,05	-4,03	1,04
B236	POD1_bez_listy - lwn	189,320	LC4.3	56,32	-0,36	1,16	0,12
B236	POD1_bez_listy - lwn	189,320	LC4.4	34,71	-1,07	0,12	0,13
B236	POD1_bez_listy - lwn	189,320	LC4.5	13,47	-0,69	-0,06	0,05
B236	POD1_bez_listy - lwn	189,320	LC5.1	-37,76	10,05	1,65	0,02
B236	POD1_bez_listy - lwn	189,320	LC5.2	37,94	-10,06	-1,63	-0,03
B236	POD1_bez_listy - lwn	189,321	LC1	7,82	1,17	3,25	0,05
B236	POD1_bez_listy - lwn	189,321	LC2	4,28	1,88	1,77	0,03
B236	POD1_bez_listy - lwn	189,321	LC3.1	-0,51	14,14	-1,85	-0,40
B236	POD1_bez_listy - lwn	189,321	LC3.2	0,51	-14,14	1,85	0,40
B236	POD1_bez_listy - lwn	189,321	LC3.3	-0,23	8,57	-1,10	-0,24
B236	POD1_bez_listy - lwn	189,321	LC3.4	0,31	-8,57	1,12	0,24
B236	POD1_bez_listy - lwn	189,321	LC4.1	30,03	-1,72	3,16	-0,24
B236	POD1_bez_listy - lwn	189,321	LC4.2	79,55	-22,05	-4,24	1,04
B236	POD1_bez_listy - lwn	189,321	LC4.3	55,25	-0,36	0,98	0,12
B236	POD1_bez_listy - lwn	189,321	LC4.4	33,90	-1,07	-0,02	0,13
B236	POD1_bez_listy - lwn	189,321	LC4.5	13,11	-0,69	-0,13	0,05
B236	POD1_bez_listy - lwn	189,321	LC5.1	-37,26	10,05	1,73	0,02
B236	POD1_bez_listy - lwn	189,321	LC5.2	37,44	-10,06	-1,71	-0,03
B236	POD1_bez_listy - lwn	280,000	LC1	7,82	1,09	3,35	0,04
B236	POD1_bez_listy - lwn	280,000	LC2	4,28	1,66	1,93	0,03
B236	POD1_bez_listy - lwn	280,000	LC3.1	0,98	14,14	-1,70	-0,34
B236	POD1_bez_listy - lwn	280,000	LC3.2	-0,98	-14,14	1,70	0,34
B236	POD1_bez_listy - lwn	280,000	LC3.3	0,67	8,57	-1,01	-0,21
B236	POD1_bez_listy - lwn	280,000	LC3.4	-0,60	-8,57	1,03	0,21
B236	POD1_bez_listy - lwn	280,000	LC4.1	30,03	-1,72	3,00	-0,21
B236	POD1_bez_listy - lwn	280,000	LC4.2	79,55	-22,05	-6,24	-1,16
B236	POD1_bez_listy - lwn	280,000	LC4.3	55,25	-0,36	0,95	0,08
B236	POD1_bez_listy - lwn	280,000	LC4.4	33,90	-1,07	-0,12	0,10

Dilec	css	dx [mm]	Stav	N [kN]	Vz [kN]	My [kNm]	Mz [kNm]
B236	POD1_bez_listy - lwn	280,000	LC4.5	13,11	-0,69	-0,19	0,04
B236	POD1_bez_listy - lwn	280,000	LC5.1	-37,26	8,81	2,59	0,27
B236	POD1_bez_listy - lwn	280,000	LC5.2	37,44	-8,81	-2,57	-0,27
B236	POD1_bez_listy - lwn	280,001	LC1	7,82	1,09	3,35	0,04
B236	POD1_bez_listy - lwn	280,001	LC2	4,28	1,66	1,93	0,03
B236	POD1_bez_listy - lwn	280,001	LC3.1	0,98	14,14	-1,70	-0,34
B236	POD1_bez_listy - lwn	280,001	LC3.2	-0,98	-14,14	1,70	0,34
B236	POD1_bez_listy - lwn	280,001	LC3.3	0,67	8,57	-1,01	-0,21
B236	POD1_bez_listy - lwn	280,001	LC3.4	-0,60	-8,57	1,03	0,21
B236	POD1_bez_listy - lwn	280,001	LC4.1	30,03	-1,72	3,00	-0,21
B236	POD1_bez_listy - lwn	280,001	LC4.2	79,55	-22,05	-6,24	-1,16
B236	POD1_bez_listy - lwn	280,001	LC4.3	55,25	-0,36	0,95	0,08
B236	POD1_bez_listy - lwn	280,001	LC4.4	33,90	-1,07	-0,12	0,10
B236	POD1_bez_listy - lwn	280,001	LC4.5	13,11	-0,69	-0,19	0,04
B236	POD1_bez_listy - lwn	280,001	LC5.1	-37,26	8,81	2,59	0,27
B236	POD1_bez_listy - lwn	280,001	LC5.2	37,44	-8,81	-2,57	-0,27
B236	POD1_bez_listy - lwn	305,000	LC1	7,82	1,07	3,38	0,04
B236	POD1_bez_listy - lwn	305,000	LC2	4,28	1,59	1,98	0,03
B236	POD1_bez_listy - lwn	305,000	LC3.1	1,40	14,14	-1,65	-0,33
B236	POD1_bez_listy - lwn	305,000	LC3.2	-1,40	-14,14	1,65	0,33
B236	POD1_bez_listy - lwn	305,000	LC3.3	0,92	8,57	-0,99	-0,20
B236	POD1_bez_listy - lwn	305,000	LC3.4	-0,85	-8,57	1,00	0,20
B236	POD1_bez_listy - lwn	305,000	LC4.1	30,03	-1,72	2,96	-0,21
B236	POD1_bez_listy - lwn	305,000	LC4.2	79,55	-22,05	-6,79	-1,76
B236	POD1_bez_listy - lwn	305,000	LC4.3	55,25	-0,36	0,94	0,06
B236	POD1_bez_listy - lwn	305,000	LC4.4	33,90	-1,07	-0,14	0,09
B236	POD1_bez_listy - lwn	305,000	LC4.5	13,11	-0,69	-0,20	0,03
B236	POD1_bez_listy - lwn	305,000	LC5.1	-37,26	8,47	2,80	0,33
B236	POD1_bez_listy - lwn	305,000	LC5.2	37,44	-8,47	-2,78	-0,33
B236	POD1_bez_listy - lwn	305,001	LC1	7,82	1,07	3,38	0,04
B236	POD1_bez_listy - lwn	305,001	LC2	4,28	1,59	1,98	0,03
B236	POD1_bez_listy - lwn	305,001	LC3.1	1,40	14,14	-1,65	-0,33
B236	POD1_bez_listy - lwn	305,001	LC3.2	-1,40	-14,14	1,65	0,33
B236	POD1_bez_listy - lwn	305,001	LC3.3	0,92	8,57	-0,99	-0,20
B236	POD1_bez_listy - lwn	305,001	LC3.4	-0,85	-8,57	1,00	0,20
B236	POD1_bez_listy - lwn	305,001	LC4.1	30,03	-1,72	2,96	-0,21
B236	POD1_bez_listy - lwn	305,001	LC4.2	79,55	-11,55	-6,79	-1,76
B236	POD1_bez_listy - lwn	305,001	LC4.3	55,25	-0,36	0,94	0,06
B236	POD1_bez_listy - lwn	305,001	LC4.4	33,90	-1,07	-0,14	0,09
B236	POD1_bez_listy - lwn	305,001	LC4.5	13,11	-0,69	-0,20	0,03
B236	POD1_bez_listy - lwn	305,001	LC5.1	-37,26	8,47	2,80	0,33
B236	POD1_bez_listy - lwn	305,001	LC5.2	37,44	-8,47	-2,78	-0,33
B236	POD1_bez_listy - lwn	330,000	LC1	7,82	1,05	3,41	0,04
B236	POD1_bez_listy - lwn	330,000	LC2	4,28	1,53	2,01	0,03
B236	POD1_bez_listy - lwn	330,000	LC3.1	1,81	14,14	-1,61	-0,31
B236	POD1_bez_listy - lwn	330,000	LC3.2	-1,81	-14,14	1,61	0,31
B236	POD1_bez_listy - lwn	330,000	LC3.3	1,17	8,57	-0,96	-0,19
B236	POD1_bez_listy - lwn	330,000	LC3.4	-1,10	-8,57	0,98	0,19
B236	POD1_bez_listy - lwn	330,000	LC4.1	30,03	-1,72	2,92	-0,20
B236	POD1_bez_listy - lwn	330,000	LC4.2	79,55	-11,55	-7,08	-2,06
B236	POD1_bez_listy - lwn	330,000	LC4.3	55,25	-0,36	0,93	0,05
B236	POD1_bez_listy - lwn	330,000	LC4.4	33,90	-1,07	-0,17	0,08
B236	POD1_bez_listy - lwn	330,000	LC4.5	13,11	-0,69	-0,22	0,03
B236	POD1_bez_listy - lwn	330,000	LC5.1	-37,26	8,12	3,01	0,39
B236	POD1_bez_listy - lwn	330,000	LC5.2	37,44	-8,13	-2,99	-0,39
B236	POD1_bez_listy - lwn	330,001	LC1	7,82	1,05	3,41	0,04
B236	POD1_bez_listy - lwn	330,001	LC2	4,28	1,53	2,01	0,03
B236	POD1_bez_listy - lwn	330,001	LC3.1	1,81	14,14	-1,61	-0,31
B236	POD1_bez_listy - lwn	330,001	LC3.2	-1,81	-14,14	1,61	0,31
B236	POD1_bez_listy - lwn	330,001	LC3.3	1,17	8,57	-0,96	-0,19
B236	POD1_bez_listy - lwn	330,001	LC3.4	-1,10	-8,57	0,98	0,19
B236	POD1_bez_listy - lwn	330,001	LC4.1	30,03	-1,72	2,92	-0,20
B236	POD1_bez_listy - lwn	330,001	LC4.2	79,55	-11,55	-7,08	-2,06
B236	POD1_bez_listy - lwn	330,001	LC4.3	55,25	-0,36	0,93	0,05
B236	POD1_bez_listy - lwn	330,001	LC4.4	33,90	-1,07	-0,17	0,08
B236	POD1_bez_listy - lwn	330,001	LC4.5	13,11	-0,69	-0,22	0,03
B236	POD1_bez_listy - lwn	330,001	LC5.1	-37,26	8,12	3,01	0,39
B236	POD1_bez_listy - lwn	330,001	LC5.2	37,44	-8,13	-2,99	-0,39
B236	POD1_bez_listy - lwn	405,000	LC1	7,82	0,98	3,48	0,04
B236	POD1_bez_listy - lwn	405,000	LC2	4,28	1,34	2,12	0,02
B236	POD1_bez_listy - lwn	405,000	LC3.1	3,05	14,14	-1,49	-0,27
B236	POD1_bez_listy - lwn	405,000	LC3.2	-3,05	-14,14	1,49	0,27
B236	POD1_bez_listy - lwn	405,000	LC3.3	1,92	8,57	-0,89	-0,16
B236	POD1_bez_listy - lwn	405,000	LC3.4	-1,85	-8,57	0,90	0,16
B236	POD1_bez_listy - lwn	405,000	LC4.1	30,03	-1,72	2,79	-0,18
B236	POD1_bez_listy - lwn	405,000	LC4.2	79,55	-11,55	-7,95	-2,94

Dilec	css	dx [mm]	Stav	N [kN]	Vz [kN]	My [kNm]	Mz [kNm]
B236	POD1_bez_listy - lwn	405,000	LC4.3	55,25	-0,36	0,90	0,02
B236	POD1_bez_listy - lwn	405,000	LC4.4	33,90	-1,07	-0,25	0,05
B236	POD1_bez_listy - lwn	405,000	LC4.5	13,11	-0,69	-0,27	0,02
B236	POD1_bez_listy - lwn	405,000	LC5.1	-37,26	7,09	3,58	0,55
B236	POD1_bez_listy - lwn	405,000	LC5.2	37,44	-7,10	-3,56	-0,55
B236	POD1_bez_listy - lwn	405,001	LC1	7,82	0,98	3,48	0,04
B236	POD1_bez_listy - lwn	405,001	LC2	4,28	1,34	2,12	0,02
B236	POD1_bez_listy - lwn	405,001	LC3.1	3,05	14,14	-1,49	-0,27
B236	POD1_bez_listy - lwn	405,001	LC3.2	-3,05	-14,14	1,49	0,27
B236	POD1_bez_listy - lwn	405,001	LC3.3	1,92	8,57	-0,89	-0,16
B236	POD1_bez_listy - lwn	405,001	LC3.4	-1,85	-8,57	0,90	0,16
B236	POD1_bez_listy - lwn	405,001	LC4.1	30,03	-1,72	2,79	-0,18
B236	POD1_bez_listy - lwn	405,001	LC4.2	79,55	-11,55	-7,95	-2,94
B236	POD1_bez_listy - lwn	405,001	LC4.3	55,25	-0,36	0,90	0,02
B236	POD1_bez_listy - lwn	405,001	LC4.4	33,90	-1,07	-0,25	0,05
B236	POD1_bez_listy - lwn	405,001	LC4.5	13,11	-0,69	-0,27	0,02
B236	POD1_bez_listy - lwn	405,001	LC5.1	-37,26	7,09	3,58	0,55
B236	POD1_bez_listy - lwn	405,001	LC5.2	37,44	-7,10	-3,56	-0,55
B236	POD1_bez_listy - lwn	512,500	LC1	7,82	0,89	3,58	0,03
B236	POD1_bez_listy - lwn	512,500	LC2	4,28	1,07	2,25	0,02
B236	POD1_bez_listy - lwn	512,500	LC3.1	4,82	14,14	-1,31	-0,20
B236	POD1_bez_listy - lwn	512,500	LC3.2	-4,82	-14,14	1,31	0,20
B236	POD1_bez_listy - lwn	512,500	LC3.3	3,00	8,57	-0,78	-0,12
B236	POD1_bez_listy - lwn	512,500	LC3.4	-2,92	-8,57	0,79	0,12
B236	POD1_bez_listy - lwn	512,500	LC4.1	30,03	-1,72	2,60	-0,16
B236	POD1_bez_listy - lwn	512,500	LC4.2	79,55	-11,55	-9,19	-4,21
B236	POD1_bez_listy - lwn	512,500	LC4.3	55,25	-0,36	0,86	-0,03
B236	POD1_bez_listy - lwn	512,500	LC4.4	33,90	-1,07	-0,36	0,00
B236	POD1_bez_listy - lwn	512,500	LC4.5	13,11	-0,69	-0,35	0,00
B236	POD1_bez_listy - lwn	512,500	LC5.1	-37,26	5,62	4,26	0,74
B236	POD1_bez_listy - lwn	512,500	LC5.2	37,44	-5,62	-4,25	-0,74
B236	POD1_bez_listy - lwn	620,000	LC1	7,82	0,80	3,68	0,03
B236	POD1_bez_listy - lwn	620,000	LC2	4,28	0,81	2,35	0,02
B236	POD1_bez_listy - lwn	620,000	LC3.1	6,59	14,14	-1,13	-0,13
B236	POD1_bez_listy - lwn	620,000	LC3.2	-6,59	-14,14	1,13	0,13
B236	POD1_bez_listy - lwn	620,000	LC3.3	4,07	8,57	-0,67	-0,08
B236	POD1_bez_listy - lwn	620,000	LC3.4	-4,00	-8,57	0,69	0,08
B236	POD1_bez_listy - lwn	620,000	LC4.1	30,03	-1,72	2,42	-0,13
B236	POD1_bez_listy - lwn	620,000	LC4.2	79,55	-11,55	-10,43	-5,47
B236	POD1_bez_listy - lwn	620,000	LC4.3	55,25	-0,36	0,82	-0,08
B236	POD1_bez_listy - lwn	620,000	LC4.4	33,90	-1,07	-0,48	-0,04
B236	POD1_bez_listy - lwn	620,000	LC4.5	13,11	-0,69	-0,42	-0,02
B236	POD1_bez_listy - lwn	620,000	LC5.1	-37,26	4,14	4,79	0,87
B236	POD1_bez_listy - lwn	620,000	LC5.2	37,44	-4,15	-4,77	-0,87
B236	POD1_bez_listy - lwn	620,001	LC1	7,82	0,80	3,68	0,03
B236	POD1_bez_listy - lwn	620,001	LC2	4,28	0,81	2,35	0,02
B236	POD1_bez_listy - lwn	620,001	LC3.1	6,59	14,14	-1,13	-0,13
B236	POD1_bez_listy - lwn	620,001	LC3.2	-6,59	-14,14	1,13	0,13
B236	POD1_bez_listy - lwn	620,001	LC3.3	4,07	8,57	-0,67	-0,08
B236	POD1_bez_listy - lwn	620,001	LC3.4	-4,00	-8,57	0,69	0,08
B236	POD1_bez_listy - lwn	620,001	LC4.1	30,03	-1,72	2,42	-0,13
B236	POD1_bez_listy - lwn	620,001	LC4.2	79,55	-11,55	-10,43	-5,47
B236	POD1_bez_listy - lwn	620,001	LC4.3	55,25	-0,36	0,82	-0,08
B236	POD1_bez_listy - lwn	620,001	LC4.4	33,90	-1,07	-0,48	-0,04
B236	POD1_bez_listy - lwn	620,001	LC4.5	13,11	-0,69	-0,42	-0,02
B236	POD1_bez_listy - lwn	620,001	LC5.1	-37,26	4,14	4,79	0,87
B236	POD1_bez_listy - lwn	620,001	LC5.2	37,44	-4,15	-4,77	-0,87
B236	POD1_bez_listy - lwn	725,000	LC1	7,82	0,71	3,75	0,02
B236	POD1_bez_listy - lwn	725,000	LC2	4,28	0,54	2,42	0,01
B236	POD1_bez_listy - lwn	725,000	LC3.1	8,33	14,14	-0,96	-0,06
B236	POD1_bez_listy - lwn	725,000	LC3.2	-8,33	-14,14	0,96	0,06
B236	POD1_bez_listy - lwn	725,000	LC3.3	5,12	8,57	-0,56	-0,04
B236	POD1_bez_listy - lwn	725,000	LC3.4	-5,05	-8,57	0,58	0,04
B236	POD1_bez_listy - lwn	725,000	LC4.1	30,03	-1,72	2,24	-0,11
B236	POD1_bez_listy - lwn	725,000	LC4.2	79,55	-11,55	-11,64	-6,71
B236	POD1_bez_listy - lwn	725,000	LC4.3	55,25	-0,36	0,79	-0,13
B236	POD1_bez_listy - lwn	725,000	LC4.4	33,90	-1,07	-0,59	-0,08
B236	POD1_bez_listy - lwn	725,000	LC4.5	13,11	-0,69	-0,49	-0,03
B236	POD1_bez_listy - lwn	725,000	LC5.1	-37,26	2,70	5,15	0,95
B236	POD1_bez_listy - lwn	725,000	LC5.2	37,44	-2,70	-5,13	-0,95
B236	POD1_bez_listy - lwn	830,000	LC1	7,82	0,62	3,82	0,02
B236	POD1_bez_listy - lwn	830,000	LC2	4,28	0,28	2,47	0,01
B236	POD1_bez_listy - lwn	830,000	LC3.1	10,06	14,14	-0,78	0,00
B236	POD1_bez_listy - lwn	830,000	LC3.2	-10,06	-14,14	0,78	0,00
B236	POD1_bez_listy - lwn	830,000	LC3.3	6,17	8,57	-0,46	0,00
B236	POD1_bez_listy - lwn	830,000	LC3.4	-6,10	-8,57	0,47	0,00

Dilec	css	dx [mm]	Stav	N [kN]	Vz [kN]	My [kNm]	Mz [kNm]
B236	POD1_bez_listy - lwn	830,000	LC4.1	30,03	-1,72	2,06	-0,08
B236	POD1_bez_listy - lwn	830,000	LC4.2	79,55	-11,55	-12,85	-7,95
B236	POD1_bez_listy - lwn	830,000	LC4.3	55,25	-0,36	0,75	-0,17
B236	POD1_bez_listy - lwn	830,000	LC4.4	33,90	-1,07	-0,70	-0,12
B236	POD1_bez_listy - lwn	830,000	LC4.5	13,11	-0,69	-0,56	-0,05
B236	POD1_bez_listy - lwn	830,000	LC5.1	-37,26	1,26	5,36	0,98
B236	POD1_bez_listy - lwn	830,000	LC5.2	37,44	-1,26	-5,34	-0,98
B236	POD1_bez_listy - lwn	830,001	LC1	7,82	0,36	3,82	0,02
B236	POD1_bez_listy - lwn	830,001	LC2	4,28	0,28	2,47	0,01
B236	POD1_bez_listy - lwn	830,001	LC3.1	10,06	14,14	-0,78	0,00
B236	POD1_bez_listy - lwn	830,001	LC3.2	-10,06	-14,14	0,78	0,00
B236	POD1_bez_listy - lwn	830,001	LC3.3	6,17	8,57	-0,46	0,00
B236	POD1_bez_listy - lwn	830,001	LC3.4	-6,09	-8,57	0,47	0,00
B236	POD1_bez_listy - lwn	830,001	LC4.1	30,03	-1,71	2,06	-0,08
B236	POD1_bez_listy - lwn	830,001	LC4.2	79,55	9,62	-12,85	-7,95
B236	POD1_bez_listy - lwn	830,001	LC4.3	55,25	-0,34	0,75	-0,17
B236	POD1_bez_listy - lwn	830,001	LC4.4	33,90	-1,05	-0,70	-0,12
B236	POD1_bez_listy - lwn	830,001	LC4.5	13,11	-0,68	-0,56	-0,05
B236	POD1_bez_listy - lwn	830,001	LC5.1	-37,26	1,24	5,35	0,98
B236	POD1_bez_listy - lwn	830,001	LC5.2	37,44	-1,24	-5,34	-0,98
B236	POD1_bez_listy - lwn	880,000	LC1	7,82	0,32	3,84	0,01
B236	POD1_bez_listy - lwn	880,000	LC2	4,28	0,16	2,48	0,01
B236	POD1_bez_listy - lwn	880,000	LC3.1	10,88	14,14	-0,70	0,04
B236	POD1_bez_listy - lwn	880,000	LC3.2	-10,88	-14,14	0,70	-0,04
B236	POD1_bez_listy - lwn	880,000	LC3.3	6,67	8,57	-0,41	0,02
B236	POD1_bez_listy - lwn	880,000	LC3.4	-6,59	-8,57	0,42	-0,02
B236	POD1_bez_listy - lwn	880,000	LC4.1	30,03	-1,71	1,97	-0,08
B236	POD1_bez_listy - lwn	880,000	LC4.2	79,55	9,62	-12,37	-7,38
B236	POD1_bez_listy - lwn	880,000	LC4.3	55,25	-0,34	0,73	-0,21
B236	POD1_bez_listy - lwn	880,000	LC4.4	33,90	-1,05	-0,76	-0,15
B236	POD1_bez_listy - lwn	880,000	LC4.5	13,11	-0,68	-0,60	-0,06
B236	POD1_bez_listy - lwn	880,000	LC5.1	-37,26	0,55	5,40	0,99
B236	POD1_bez_listy - lwn	880,000	LC5.2	37,44	-0,56	-5,38	-0,99
B236	POD1_bez_listy - lwn	880,001	LC1	7,82	0,32	3,84	0,01
B236	POD1_bez_listy - lwn	880,001	LC2	4,28	0,16	2,48	0,01
B236	POD1_bez_listy - lwn	880,001	LC3.1	10,88	14,14	-0,70	0,04
B236	POD1_bez_listy - lwn	880,001	LC3.2	-10,88	-14,14	0,70	-0,04
B236	POD1_bez_listy - lwn	880,001	LC3.3	6,67	8,57	-0,41	0,02
B236	POD1_bez_listy - lwn	880,001	LC3.4	-6,59	-8,57	0,42	-0,02
B236	POD1_bez_listy - lwn	880,001	LC4.1	30,03	-1,71	1,97	-0,08
B236	POD1_bez_listy - lwn	880,001	LC4.2	79,55	9,62	-12,37	-7,38
B236	POD1_bez_listy - lwn	880,001	LC4.3	55,25	-0,34	0,73	-0,21
B236	POD1_bez_listy - lwn	880,001	LC4.4	33,90	-1,05	-0,76	-0,15
B236	POD1_bez_listy - lwn	880,001	LC4.5	13,11	-0,68	-0,60	-0,06
B236	POD1_bez_listy - lwn	880,001	LC5.1	-37,26	0,55	5,40	0,99
B236	POD1_bez_listy - lwn	880,001	LC5.2	37,44	-0,56	-5,38	-0,99
B236	POD1_bez_listy - lwn	986,250	LC1	7,82	0,23	3,87	0,00
B236	POD1_bez_listy - lwn	986,250	LC2	4,28	-0,11	2,48	0,00
B236	POD1_bez_listy - lwn	986,250	LC3.1	12,63	14,14	-0,52	0,10
B236	POD1_bez_listy - lwn	986,250	LC3.2	-12,63	-14,14	0,52	-0,10
B236	POD1_bez_listy - lwn	986,250	LC3.3	7,73	8,57	-0,30	0,06
B236	POD1_bez_listy - lwn	986,250	LC3.4	-7,66	-8,57	0,32	-0,06
B236	POD1_bez_listy - lwn	986,250	LC4.1	30,03	-1,71	1,79	-0,07
B236	POD1_bez_listy - lwn	986,250	LC4.2	79,55	9,62	-11,35	-6,17
B236	POD1_bez_listy - lwn	986,250	LC4.3	55,25	-0,34	0,70	-0,29
B236	POD1_bez_listy - lwn	986,250	LC4.4	33,90	-1,05	-0,87	-0,22
B236	POD1_bez_listy - lwn	986,250	LC4.5	13,11	-0,68	-0,67	-0,08
B236	POD1_bez_listy - lwn	986,250	LC5.1	-37,26	-0,91	5,38	0,97
B236	POD1_bez_listy - lwn	986,250	LC5.2	37,44	0,90	-5,37	-0,97
B236	POD1_bez_listy - lwn	1092,500	LC1	7,82	0,14	3,89	0,00
B236	POD1_bez_listy - lwn	1092,500	LC2	4,28	-0,38	2,46	0,00
B236	POD1_bez_listy - lwn	1092,500	LC3.1	14,39	14,14	-0,35	0,17
B236	POD1_bez_listy - lwn	1092,500	LC3.2	-14,39	-14,14	0,35	-0,17
B236	POD1_bez_listy - lwn	1092,500	LC3.3	8,80	8,57	-0,19	0,10
B236	POD1_bez_listy - lwn	1092,500	LC3.4	-8,72	-8,57	0,21	-0,10
B236	POD1_bez_listy - lwn	1092,500	LC4.1	30,03	-1,71	1,61	-0,07
B236	POD1_bez_listy - lwn	1092,500	LC4.2	79,55	9,62	-10,33	-4,96
B236	POD1_bez_listy - lwn	1092,500	LC4.3	55,25	-0,34	0,66	-0,38
B236	POD1_bez_listy - lwn	1092,500	LC4.4	33,90	-1,05	-0,98	-0,28
B236	POD1_bez_listy - lwn	1092,500	LC4.5	13,11	-0,68	-0,74	-0,11
B236	POD1_bez_listy - lwn	1092,500	LC5.1	-37,26	-2,36	5,21	0,90
B236	POD1_bez_listy - lwn	1092,500	LC5.2	37,44	2,36	-5,19	-0,90
B236	POD1_bez_listy - lwn	1198,750	LC1	7,82	0,05	3,90	-0,01
B236	POD1_bez_listy - lwn	1198,750	LC2	4,28	-0,64	2,40	-0,01
B236	POD1_bez_listy - lwn	1198,750	LC3.1	16,14	14,14	-0,17	0,23
B236	POD1_bez_listy - lwn	1198,750	LC3.2	-16,14	-14,14	0,17	-0,23

Dilec	css	dx [mm]	Stav	N [kN]	Vz [kN]	My [kNm]	Mz [kNm]
B236	POD1_bez_listy - lwn	1198,750	LC3.3	9,86	8,57	-0,09	0,14
B236	POD1_bez_listy - lwn	1198,750	LC3.4	-9,78	-8,57	0,10	-0,14
B236	POD1_bez_listy - lwn	1198,750	LC4.1	30,03	-1,71	1,43	-0,06
B236	POD1_bez_listy - lwn	1198,750	LC4.2	79,55	9,62	-9,31	-3,76
B236	POD1_bez_listy - lwn	1198,750	LC4.3	55,25	-0,34	0,62	-0,46
B236	POD1_bez_listy - lwn	1198,750	LC4.4	33,90	-1,05	-1,09	-0,35
B236	POD1_bez_listy - lwn	1198,750	LC4.5	13,11	-0,68	-0,82	-0,13
B236	POD1_bez_listy - lwn	1198,750	LC5.1	-37,26	-3,82	4,88	0,78
B236	POD1_bez_listy - lwn	1198,750	LC5.2	37,44	3,82	-4,86	-0,78
B236	POD1_bez_listy - lwn	1305,000	LC1	7,82	-0,04	3,90	-0,02
B236	POD1_bez_listy - lwn	1305,000	LC2	4,28	-0,91	2,32	-0,01
B236	POD1_bez_listy - lwn	1305,000	LC3.1	17,89	14,14	0,01	0,30
B236	POD1_bez_listy - lwn	1305,000	LC3.2	-17,89	-14,14	-0,01	-0,30
B236	POD1_bez_listy - lwn	1305,000	LC3.3	10,92	8,57	0,02	0,18
B236	POD1_bez_listy - lwn	1305,000	LC3.4	-10,84	-8,57	0,00	-0,18
B236	POD1_bez_listy - lwn	1305,000	LC4.1	30,03	-1,71	1,25	-0,05
B236	POD1_bez_listy - lwn	1305,000	LC4.2	79,55	9,62	-8,28	-2,55
B236	POD1_bez_listy - lwn	1305,000	LC4.3	55,25	-0,34	0,59	-0,54
B236	POD1_bez_listy - lwn	1305,000	LC4.4	33,90	-1,05	-1,20	-0,41
B236	POD1_bez_listy - lwn	1305,000	LC4.5	13,11	-0,68	-0,89	-0,16
B236	POD1_bez_listy - lwn	1305,000	LC5.1	-37,26	-5,28	4,39	0,61
B236	POD1_bez_listy - lwn	1305,000	LC5.2	37,44	5,28	-4,38	-0,61
B236	POD1_bez_listy - lwn	1305,001	LC1	7,82	-0,04	3,90	-0,02
B236	POD1_bez_listy - lwn	1305,001	LC2	4,28	-0,91	2,32	-0,01
B236	POD1_bez_listy - lwn	1305,001	LC3.1	17,89	14,14	0,01	0,30
B236	POD1_bez_listy - lwn	1305,001	LC3.2	-17,89	-14,14	-0,01	-0,30
B236	POD1_bez_listy - lwn	1305,001	LC3.3	10,92	8,57	0,02	0,18
B236	POD1_bez_listy - lwn	1305,001	LC3.4	-10,84	-8,57	0,00	-0,18
B236	POD1_bez_listy - lwn	1305,001	LC4.1	30,03	-1,71	1,25	-0,05
B236	POD1_bez_listy - lwn	1305,001	LC4.2	79,55	9,62	-8,28	-2,55
B236	POD1_bez_listy - lwn	1305,001	LC4.3	55,25	-0,34	0,59	-0,54
B236	POD1_bez_listy - lwn	1305,001	LC4.4	33,90	-1,05	-1,20	-0,41
B236	POD1_bez_listy - lwn	1305,001	LC4.5	13,11	-0,68	-0,89	-0,16
B236	POD1_bez_listy - lwn	1305,001	LC5.1	-37,26	-5,28	4,39	0,61
B236	POD1_bez_listy - lwn	1305,001	LC5.2	37,44	5,28	-4,38	-0,61
B236	POD1_bez_listy - lwn	1330,000	LC1	7,82	-0,06	3,90	-0,02
B236	POD1_bez_listy - lwn	1330,000	LC2	4,28	-0,97	2,30	-0,01
B236	POD1_bez_listy - lwn	1330,000	LC3.1	18,31	14,14	0,05	0,31
B236	POD1_bez_listy - lwn	1330,000	LC3.2	-18,31	-14,14	-0,05	-0,31
B236	POD1_bez_listy - lwn	1330,000	LC3.3	11,17	8,57	0,04	0,19
B236	POD1_bez_listy - lwn	1330,000	LC3.4	-11,09	-8,57	-0,03	-0,19
B236	POD1_bez_listy - lwn	1330,000	LC4.1	30,03	-1,71	1,20	-0,05
B236	POD1_bez_listy - lwn	1330,000	LC4.2	79,55	9,62	-8,04	-2,26
B236	POD1_bez_listy - lwn	1330,000	LC4.3	55,25	-0,34	0,58	-0,56
B236	POD1_bez_listy - lwn	1330,000	LC4.4	33,90	-1,05	-1,23	-0,43
B236	POD1_bez_listy - lwn	1330,000	LC4.5	13,11	-0,68	-0,90	-0,16
B236	POD1_bez_listy - lwn	1330,000	LC5.1	-37,26	-5,63	4,26	0,56
B236	POD1_bez_listy - lwn	1330,000	LC5.2	37,44	5,62	-4,24	-0,56
B236	POD1_bez_listy - lwn	1330,001	LC1	7,82	-0,06	3,90	-0,02
B236	POD1_bez_listy - lwn	1330,001	LC2	4,28	-0,97	2,30	-0,01
B236	POD1_bez_listy - lwn	1330,001	LC3.1	18,31	14,14	0,05	0,31
B236	POD1_bez_listy - lwn	1330,001	LC3.2	-18,31	-14,14	-0,05	-0,31
B236	POD1_bez_listy - lwn	1330,001	LC3.3	11,17	8,57	0,04	0,19
B236	POD1_bez_listy - lwn	1330,001	LC3.4	-11,09	-8,57	-0,03	-0,19
B236	POD1_bez_listy - lwn	1330,001	LC4.1	30,03	-1,71	1,20	-0,05
B236	POD1_bez_listy - lwn	1330,001	LC4.2	79,55	9,62	-8,04	-2,26
B236	POD1_bez_listy - lwn	1330,001	LC4.3	55,25	-0,34	0,58	-0,56
B236	POD1_bez_listy - lwn	1330,001	LC4.4	33,90	-1,05	-1,23	-0,43
B236	POD1_bez_listy - lwn	1330,001	LC4.5	13,11	-0,68	-0,90	-0,16
B236	POD1_bez_listy - lwn	1330,001	LC5.1	-37,26	-5,63	4,26	0,56
B236	POD1_bez_listy - lwn	1330,001	LC5.2	37,44	5,62	-4,24	-0,56
B236	POD1_bez_listy - lwn	1355,000	LC1	7,82	-0,08	3,90	-0,03
B236	POD1_bez_listy - lwn	1355,000	LC2	4,28	-1,03	2,27	-0,01
B236	POD1_bez_listy - lwn	1355,000	LC3.1	18,72	14,14	0,09	0,33
B236	POD1_bez_listy - lwn	1355,000	LC3.2	-18,72	-14,14	-0,09	-0,33
B236	POD1_bez_listy - lwn	1355,000	LC3.3	11,42	8,57	0,07	0,20
B236	POD1_bez_listy - lwn	1355,000	LC3.4	-11,34	-8,57	-0,05	-0,20
B236	POD1_bez_listy - lwn	1355,000	LC4.1	30,03	-1,71	1,16	-0,05
B236	POD1_bez_listy - lwn	1355,000	LC4.2	79,55	9,62	-7,80	-1,98
B236	POD1_bez_listy - lwn	1355,000	LC4.3	55,25	-0,34	0,57	-0,58
B236	POD1_bez_listy - lwn	1355,000	LC4.4	33,90	-1,05	-1,25	-0,44
B236	POD1_bez_listy - lwn	1355,000	LC4.5	13,11	-0,68	-0,92	-0,17
B236	POD1_bez_listy - lwn	1355,000	LC5.1	-37,26	-5,97	4,11	0,51
B236	POD1_bez_listy - lwn	1355,000	LC5.2	37,44	5,96	-4,10	-0,51
B236	POD1_bez_listy - lwn	1355,001	LC1	7,82	-0,08	3,90	-0,03
B236	POD1_bez_listy - lwn	1355,001	LC2	4,28	-1,03	2,27	-0,01

Dilec	css	dx [mm]	Stav	N [kN]	Vz [kN]	My [kNm]	Mz [kNm]
B236	POD1_bez_listy - lwn	1355,001	LC3.1	18,72	14,14	0,09	0,33
B236	POD1_bez_listy - lwn	1355,001	LC3.2	-18,72	-14,14	-0,09	-0,33
B236	POD1_bez_listy - lwn	1355,001	LC3.3	11,42	8,57	0,07	0,20
B236	POD1_bez_listy - lwn	1355,001	LC3.4	-11,34	-8,57	-0,05	-0,20
B236	POD1_bez_listy - lwn	1355,001	LC4.1	30,03	-1,71	1,16	-0,05
B236	POD1_bez_listy - lwn	1355,001	LC4.2	79,55	20,12	-7,80	-1,98
B236	POD1_bez_listy - lwn	1355,001	LC4.3	55,25	-0,34	0,57	-0,58
B236	POD1_bez_listy - lwn	1355,001	LC4.4	33,90	-1,05	-1,25	-0,44
B236	POD1_bez_listy - lwn	1355,001	LC4.5	13,11	-0,68	-0,92	-0,17
B236	POD1_bez_listy - lwn	1355,001	LC5.1	-37,26	-5,97	4,11	0,51
B236	POD1_bez_listy - lwn	1355,001	LC5.2	37,44	5,96	-4,10	-0,51
B236	POD1_bez_listy - lwn	1380,000	LC1	7,82	-0,10	3,90	-0,03
B236	POD1_bez_listy - lwn	1380,000	LC2	4,28	-1,09	2,24	-0,02
B236	POD1_bez_listy - lwn	1380,000	LC3.1	19,13	14,14	0,13	0,34
B236	POD1_bez_listy - lwn	1380,000	LC3.2	-19,13	-14,14	-0,13	-0,34
B236	POD1_bez_listy - lwn	1380,000	LC3.3	11,67	8,57	0,09	0,21
B236	POD1_bez_listy - lwn	1380,000	LC3.4	-11,59	-8,57	-0,08	-0,21
B236	POD1_bez_listy - lwn	1380,000	LC4.1	30,03	-1,71	1,12	-0,05
B236	POD1_bez_listy - lwn	1380,000	LC4.2	79,55	20,12	-7,30	-1,38
B236	POD1_bez_listy - lwn	1380,000	LC4.3	55,25	-0,34	0,56	-0,60
B236	POD1_bez_listy - lwn	1380,000	LC4.4	33,90	-1,05	-1,28	-0,46
B236	POD1_bez_listy - lwn	1380,000	LC4.5	13,11	-0,68	-0,94	-0,17
B236	POD1_bez_listy - lwn	1380,000	LC5.1	-37,26	-6,31	3,96	0,45
B236	POD1_bez_listy - lwn	1380,000	LC5.2	37,44	6,31	-3,95	-0,45
B236	POD1_bez_listy - lwn	1380,001	LC1	7,82	-0,10	3,90	-0,03
B236	POD1_bez_listy - lwn	1380,001	LC2	4,28	-1,09	2,24	-0,02
B236	POD1_bez_listy - lwn	1380,001	LC3.1	19,13	14,14	0,13	0,34
B236	POD1_bez_listy - lwn	1380,001	LC3.2	-19,13	-14,14	-0,13	-0,34
B236	POD1_bez_listy - lwn	1380,001	LC3.3	11,67	8,57	0,09	0,21
B236	POD1_bez_listy - lwn	1380,001	LC3.4	-11,59	-8,57	-0,08	-0,21
B236	POD1_bez_listy - lwn	1380,001	LC4.1	30,03	-1,71	1,12	-0,05
B236	POD1_bez_listy - lwn	1380,001	LC4.2	79,55	20,12	-7,30	-1,38
B236	POD1_bez_listy - lwn	1380,001	LC4.3	55,25	-0,34	0,56	-0,60
B236	POD1_bez_listy - lwn	1380,001	LC4.4	33,90	-1,05	-1,28	-0,46
B236	POD1_bez_listy - lwn	1380,001	LC4.5	13,11	-0,68	-0,94	-0,17
B236	POD1_bez_listy - lwn	1380,001	LC5.1	-37,26	-6,31	3,96	0,45
B236	POD1_bez_listy - lwn	1380,001	LC5.2	37,44	6,31	-3,95	-0,45
B236	POD1_bez_listy - lwn	1470,680	LC1	7,82	-0,18	3,88	-0,03
B236	POD1_bez_listy - lwn	1470,680	LC2	4,28	-1,32	2,13	-0,02
B236	POD1_bez_listy - lwn	1470,680	LC3.1	20,63	14,14	0,28	0,40
B236	POD1_bez_listy - lwn	1470,680	LC3.2	-20,63	-14,14	-0,28	-0,40
B236	POD1_bez_listy - lwn	1470,680	LC3.3	12,58	8,57	0,19	0,24
B236	POD1_bez_listy - lwn	1470,680	LC3.4	-12,50	-8,57	-0,17	-0,24
B236	POD1_bez_listy - lwn	1470,680	LC4.1	30,03	-1,71	0,96	-0,04
B236	POD1_bez_listy - lwn	1470,680	LC4.2	79,55	20,12	-5,47	0,78
B236	POD1_bez_listy - lwn	1470,680	LC4.3	55,25	-0,34	0,53	-0,67
B236	POD1_bez_listy - lwn	1470,680	LC4.4	33,90	-1,05	-1,37	-0,51
B236	POD1_bez_listy - lwn	1470,680	LC4.5	13,11	-0,68	-1,00	-0,19
B236	POD1_bez_listy - lwn	1470,680	LC5.1	-37,26	-7,56	3,33	0,24
B236	POD1_bez_listy - lwn	1470,680	LC5.2	37,44	7,55	-3,32	-0,24
B236	POD1_bez_listy - lwn	1470,681	LC1	7,86	-0,24	3,89	-0,03
B236	POD1_bez_listy - lwn	1470,681	LC2	4,30	-1,32	2,14	-0,02
B236	POD1_bez_listy - lwn	1470,681	LC3.1	20,63	14,14	0,28	0,40
B236	POD1_bez_listy - lwn	1470,681	LC3.2	-20,63	-14,14	-0,28	-0,40
B236	POD1_bez_listy - lwn	1470,681	LC3.3	12,58	8,57	0,19	0,24
B236	POD1_bez_listy - lwn	1470,681	LC3.4	-12,50	-8,57	-0,17	-0,24
B236	POD1_bez_listy - lwn	1470,681	LC4.1	30,07	-1,71	0,97	-0,04
B236	POD1_bez_listy - lwn	1470,681	LC4.2	79,65	20,12	-5,46	0,78
B236	POD1_bez_listy - lwn	1470,681	LC4.3	54,41	-0,34	0,39	-0,67
B236	POD1_bez_listy - lwn	1470,681	LC4.4	33,24	-1,05	-1,49	-0,51
B236	POD1_bez_listy - lwn	1470,681	LC4.5	12,81	-0,68	-1,05	-0,19
B236	POD1_bez_listy - lwn	1470,681	LC5.1	-36,90	-7,56	3,39	0,24
B236	POD1_bez_listy - lwn	1470,681	LC5.2	37,08	7,55	-3,38	-0,24
B236	POD1_bez_listy - lwn	1565,330	LC1	7,86	-0,32	3,86	-0,04
B236	POD1_bez_listy - lwn	1565,330	LC2	4,30	-1,56	2,00	-0,02
B236	POD1_bez_listy - lwn	1565,330	LC3.1	22,19	14,14	0,44	0,46
B236	POD1_bez_listy - lwn	1565,330	LC3.2	-22,19	-14,14	-0,44	-0,46
B236	POD1_bez_listy - lwn	1565,330	LC3.3	13,53	8,57	0,28	0,28
B236	POD1_bez_listy - lwn	1565,330	LC3.4	-13,45	-8,57	-0,27	-0,28
B236	POD1_bez_listy - lwn	1565,330	LC4.1	30,07	-1,71	0,81	-0,03
B236	POD1_bez_listy - lwn	1565,330	LC4.2	79,65	20,12	-3,55	3,05
B236	POD1_bez_listy - lwn	1565,330	LC4.3	54,41	-0,34	0,36	-0,86
B236	POD1_bez_listy - lwn	1565,330	LC4.4	33,24	-1,05	-1,59	-0,66
B236	POD1_bez_listy - lwn	1565,330	LC4.5	12,81	-0,68	-1,12	-0,26
B236	POD1_bez_listy - lwn	1565,330	LC5.1	-36,90	-8,86	2,62	0,02
B236	POD1_bez_listy - lwn	1565,330	LC5.2	37,08	8,85	-2,60	-0,02

Dilec	css	dx [mm]	Stav	N [kN]	Vz [kN]	My [kNm]	Mz [kNm]
B236	POD1_bez_listy - lwn	1565,350	LC1	7,86	-0,32	3,86	-0,04
B236	POD1_bez_listy - lwn	1565,350	LC2	4,30	-1,56	2,00	-0,02
B236	POD1_bez_listy - lwn	1565,350	LC3.1	22,19	14,14	0,44	0,46
B236	POD1_bez_listy - lwn	1565,350	LC3.2	-22,19	-14,14	-0,44	-0,46
B236	POD1_bez_listy - lwn	1565,350	LC3.3	13,53	8,57	0,28	0,28
B236	POD1_bez_listy - lwn	1565,350	LC3.4	-13,45	-8,57	-0,27	-0,28
B236	POD1_bez_listy - lwn	1565,350	LC4.1	30,07	-1,71	0,81	-0,03
B236	POD1_bez_listy - lwn	1565,350	LC4.2	79,65	20,12	-3,55	3,05
B236	POD1_bez_listy - lwn	1565,350	LC4.3	54,41	-0,34	0,36	-0,86
B236	POD1_bez_listy - lwn	1565,350	LC4.4	33,24	-1,05	-1,59	-0,66
B236	POD1_bez_listy - lwn	1565,350	LC4.5	12,81	-0,68	-1,12	-0,26
B236	POD1_bez_listy - lwn	1565,350	LC5.1	-36,90	-8,86	2,61	0,02
B236	POD1_bez_listy - lwn	1565,350	LC5.2	37,08	8,85	-2,60	-0,02
B236	POD1_bez_listy - lwn	1660,000	LC1	7,86	-0,40	3,83	-0,04
B236	POD1_bez_listy - lwn	1660,000	LC2	4,30	-1,79	1,84	-0,02
B236	POD1_bez_listy - lwn	1660,000	LC3.1	23,75	14,14	0,60	0,52
B236	POD1_bez_listy - lwn	1660,000	LC3.2	-23,75	-14,14	-0,60	-0,52
B236	POD1_bez_listy - lwn	1660,000	LC3.3	14,47	8,57	0,38	0,31
B236	POD1_bez_listy - lwn	1660,000	LC3.4	-14,39	-8,57	-0,36	-0,31
B236	POD1_bez_listy - lwn	1660,000	LC4.1	30,07	-1,71	0,65	-0,02
B236	POD1_bez_listy - lwn	1660,000	LC4.2	79,65	20,12	-1,65	5,33
B236	POD1_bez_listy - lwn	1660,000	LC4.3	54,41	-0,34	0,33	-1,04
B236	POD1_bez_listy - lwn	1660,000	LC4.4	33,24	-1,05	-1,68	-0,80
B236	POD1_bez_listy - lwn	1660,000	LC4.5	12,81	-0,68	-1,18	-0,32
B236	POD1_bez_listy - lwn	1660,000	LC5.1	-36,90	-10,16	1,72	-0,24
B236	POD1_bez_listy - lwn	1660,000	LC5.2	37,08	10,15	-1,70	0,24
B239	POD1_bez_listy - lwn	0,000	LC1	3,20	-0,25	2,51	0,08
B239	POD1_bez_listy - lwn	0,000	LC2	1,61	1,64	1,20	0,05
B239	POD1_bez_listy - lwn	0,000	LC3.1	-9,08	15,46	-0,15	0,59
B239	POD1_bez_listy - lwn	0,000	LC3.2	9,08	-15,46	0,15	-0,59
B239	POD1_bez_listy - lwn	0,000	LC3.3	-5,48	10,00	0,25	0,35
B239	POD1_bez_listy - lwn	0,000	LC3.4	5,50	-9,37	0,09	-0,36
B239	POD1_bez_listy - lwn	0,000	LC4.1	-2,50	-0,54	0,70	-0,24
B239	POD1_bez_listy - lwn	0,000	LC4.2	-9,23	-1,65	2,08	-0,74
B239	POD1_bez_listy - lwn	0,000	LC4.3	-19,13	-1,65	1,24	-1,26
B239	POD1_bez_listy - lwn	0,000	LC4.4	-30,11	-3,52	3,99	-1,58
B239	POD1_bez_listy - lwn	0,000	LC4.5	-30,63	21,07	2,03	5,23
B239	POD1_bez_listy - lwn	0,000	LC5.1	14,00	-9,98	-2,69	-0,06
B239	POD1_bez_listy - lwn	0,000	LC5.2	-13,67	9,99	2,71	0,05
B239	POD1_bez_listy - lwn	94,650	LC1	3,20	-0,33	2,48	0,07
B239	POD1_bez_listy - lwn	94,650	LC2	1,61	1,40	1,34	0,04
B239	POD1_bez_listy - lwn	94,650	LC3.1	-7,52	15,46	0,26	0,51
B239	POD1_bez_listy - lwn	94,650	LC3.2	7,52	-15,46	-0,26	-0,51
B239	POD1_bez_listy - lwn	94,650	LC3.3	-4,53	10,00	0,48	0,31
B239	POD1_bez_listy - lwn	94,650	LC3.4	4,56	-9,37	-0,16	-0,31
B239	POD1_bez_listy - lwn	94,650	LC4.1	-2,50	-0,54	0,64	-0,17
B239	POD1_bez_listy - lwn	94,650	LC4.2	-9,23	-1,65	1,92	-0,53
B239	POD1_bez_listy - lwn	94,650	LC4.3	-19,13	-1,65	1,08	-0,94
B239	POD1_bez_listy - lwn	94,650	LC4.4	-30,11	-3,52	3,66	-1,23
B239	POD1_bez_listy - lwn	94,650	LC4.5	-30,63	21,07	4,02	3,04
B239	POD1_bez_listy - lwn	94,650	LC5.1	14,00	-8,68	-3,58	0,10
B239	POD1_bez_listy - lwn	94,650	LC5.2	-13,67	8,69	3,59	-0,10
B239	POD1_bez_listy - lwn	94,670	LC1	3,20	-0,33	2,48	0,07
B239	POD1_bez_listy - lwn	94,670	LC2	1,61	1,40	1,34	0,04
B239	POD1_bez_listy - lwn	94,670	LC3.1	-7,52	15,46	0,26	0,51
B239	POD1_bez_listy - lwn	94,670	LC3.2	7,52	-15,46	-0,26	-0,51
B239	POD1_bez_listy - lwn	94,670	LC3.3	-4,53	10,00	0,48	0,31
B239	POD1_bez_listy - lwn	94,670	LC3.4	4,56	-9,37	-0,16	-0,31
B239	POD1_bez_listy - lwn	94,670	LC4.1	-2,50	-0,54	0,64	-0,17
B239	POD1_bez_listy - lwn	94,670	LC4.2	-9,23	-1,65	1,92	-0,53
B239	POD1_bez_listy - lwn	94,670	LC4.3	-19,13	-1,65	1,08	-0,94
B239	POD1_bez_listy - lwn	94,670	LC4.4	-30,11	-3,52	3,66	-1,23
B239	POD1_bez_listy - lwn	94,670	LC4.5	-30,63	21,07	4,02	3,04
B239	POD1_bez_listy - lwn	94,670	LC5.1	14,00	-8,68	-3,58	0,10
B239	POD1_bez_listy - lwn	94,670	LC5.2	-13,67	8,69	3,59	-0,10
B239	POD1_bez_listy - lwn	189,320	LC1	3,20	-0,41	2,45	0,06
B239	POD1_bez_listy - lwn	189,320	LC2	1,61	1,16	1,47	0,04
B239	POD1_bez_listy - lwn	189,320	LC3.1	-5,96	15,46	0,67	0,44
B239	POD1_bez_listy - lwn	189,320	LC3.2	5,96	-15,46	-0,67	-0,44
B239	POD1_bez_listy - lwn	189,320	LC3.3	-3,58	10,00	0,71	0,26
B239	POD1_bez_listy - lwn	189,320	LC3.4	3,61	-9,37	-0,40	-0,27
B239	POD1_bez_listy - lwn	189,320	LC4.1	-2,50	-0,54	0,59	-0,09
B239	POD1_bez_listy - lwn	189,320	LC4.2	-9,23	-1,65	1,76	-0,31
B239	POD1_bez_listy - lwn	189,320	LC4.3	-19,13	-1,65	0,92	-0,62
B239	POD1_bez_listy - lwn	189,320	LC4.4	-30,11	-3,52	3,33	-0,89
B239	POD1_bez_listy - lwn	189,320	LC4.5	-30,63	21,07	6,02	0,84

Dilec	css	dx [mm]	Stav	N [kN]	Vz [kN]	My [kNm]	Mz [kNm]
B239	POD1_bez_listy - lwn	189,320	LC5.1	14,00	-7,38	-4,34	0,22
B239	POD1_bez_listy - lwn	189,320	LC5.2	-13,67	7,39	4,35	-0,22
B239	POD1_bez_listy - lwn	189,321	LC1	3,17	-0,47	2,44	0,06
B239	POD1_bez_listy - lwn	189,321	LC2	1,59	1,16	1,46	0,04
B239	POD1_bez_listy - lwn	189,321	LC3.1	-5,94	15,46	0,67	0,44
B239	POD1_bez_listy - lwn	189,321	LC3.2	5,94	-15,46	-0,67	-0,44
B239	POD1_bez_listy - lwn	189,321	LC3.3	-3,58	10,00	0,71	0,26
B239	POD1_bez_listy - lwn	189,321	LC3.4	3,60	-9,37	-0,41	-0,27
B239	POD1_bez_listy - lwn	189,321	LC4.1	-2,98	-0,54	0,51	-0,09
B239	POD1_bez_listy - lwn	189,321	LC4.2	-10,53	-1,65	1,54	-0,31
B239	POD1_bez_listy - lwn	189,321	LC4.3	-20,90	-1,65	0,62	-0,62
B239	POD1_bez_listy - lwn	189,321	LC4.4	-31,81	-3,52	3,04	-0,89
B239	POD1_bez_listy - lwn	189,321	LC4.5	-30,93	21,07	5,97	0,84
B239	POD1_bez_listy - lwn	189,321	LC5.1	15,00	-7,38	-4,17	0,22
B239	POD1_bez_listy - lwn	189,321	LC5.2	-14,67	7,39	4,18	-0,22
B239	POD1_bez_listy - lwn	280,000	LC1	3,17	-0,55	2,40	0,05
B239	POD1_bez_listy - lwn	280,000	LC2	1,59	0,94	1,56	0,03
B239	POD1_bez_listy - lwn	280,000	LC3.1	-4,45	15,46	1,06	0,37
B239	POD1_bez_listy - lwn	280,000	LC3.2	4,45	-15,46	-1,06	-0,37
B239	POD1_bez_listy - lwn	280,000	LC3.3	-2,67	10,00	0,93	0,22
B239	POD1_bez_listy - lwn	280,000	LC3.4	2,70	-9,37	-0,64	-0,22
B239	POD1_bez_listy - lwn	280,000	LC4.1	-2,98	-0,54	0,46	-0,08
B239	POD1_bez_listy - lwn	280,000	LC4.2	-10,53	-1,65	1,39	-0,27
B239	POD1_bez_listy - lwn	280,000	LC4.3	-20,90	-1,65	0,47	-0,54
B239	POD1_bez_listy - lwn	280,000	LC4.4	-31,81	-3,52	2,72	-0,78
B239	POD1_bez_listy - lwn	280,000	LC4.5	-30,93	21,07	7,88	-1,30
B239	POD1_bez_listy - lwn	280,000	LC5.1	15,00	-6,14	-4,78	0,42
B239	POD1_bez_listy - lwn	280,000	LC5.2	-14,67	6,14	4,80	-0,42
B239	POD1_bez_listy - lwn	280,001	LC1	3,17	-0,55	2,40	0,05
B239	POD1_bez_listy - lwn	280,001	LC2	1,59	0,94	1,56	0,03
B239	POD1_bez_listy - lwn	280,001	LC3.1	-4,45	15,46	1,06	0,37
B239	POD1_bez_listy - lwn	280,001	LC3.2	4,45	-15,46	-1,06	-0,37
B239	POD1_bez_listy - lwn	280,001	LC3.3	-2,67	10,00	0,93	0,22
B239	POD1_bez_listy - lwn	280,001	LC3.4	2,70	-9,37	-0,64	-0,22
B239	POD1_bez_listy - lwn	280,001	LC4.1	-2,98	-0,54	0,46	-0,08
B239	POD1_bez_listy - lwn	280,001	LC4.2	-10,53	-1,65	1,39	-0,27
B239	POD1_bez_listy - lwn	280,001	LC4.3	-20,90	-1,65	0,47	-0,54
B239	POD1_bez_listy - lwn	280,001	LC4.4	-31,81	-3,52	2,72	-0,78
B239	POD1_bez_listy - lwn	280,001	LC4.5	-30,93	21,07	7,88	-1,30
B239	POD1_bez_listy - lwn	280,001	LC5.1	15,00	-6,14	-4,78	0,42
B239	POD1_bez_listy - lwn	280,001	LC5.2	-14,67	6,14	4,80	-0,42
B239	POD1_bez_listy - lwn	305,000	LC1	3,17	-0,57	2,38	0,05
B239	POD1_bez_listy - lwn	305,000	LC2	1,59	0,88	1,58	0,03
B239	POD1_bez_listy - lwn	305,000	LC3.1	-4,04	15,46	1,17	0,35
B239	POD1_bez_listy - lwn	305,000	LC3.2	4,04	-15,46	-1,17	-0,35
B239	POD1_bez_listy - lwn	305,000	LC3.3	-2,42	10,00	0,99	0,21
B239	POD1_bez_listy - lwn	305,000	LC3.4	2,45	-9,37	-0,71	-0,21
B239	POD1_bez_listy - lwn	305,000	LC4.1	-2,98	-0,54	0,45	-0,08
B239	POD1_bez_listy - lwn	305,000	LC4.2	-10,53	-1,65	1,35	-0,26
B239	POD1_bez_listy - lwn	305,000	LC4.3	-20,90	-1,65	0,43	-0,52
B239	POD1_bez_listy - lwn	305,000	LC4.4	-31,81	-3,52	2,63	-0,74
B239	POD1_bez_listy - lwn	305,000	LC4.5	-30,93	21,07	8,41	-1,89
B239	POD1_bez_listy - lwn	305,000	LC5.1	15,00	-5,80	-4,93	0,47
B239	POD1_bez_listy - lwn	305,000	LC5.2	-14,67	5,80	4,95	-0,47
B239	POD1_bez_listy - lwn	305,001	LC1	3,17	-0,57	2,38	0,05
B239	POD1_bez_listy - lwn	305,001	LC2	1,59	0,88	1,58	0,03
B239	POD1_bez_listy - lwn	305,001	LC3.1	-4,04	15,46	1,17	0,35
B239	POD1_bez_listy - lwn	305,001	LC3.2	4,04	-15,46	-1,17	-0,35
B239	POD1_bez_listy - lwn	305,001	LC3.3	-2,42	10,00	0,99	0,21
B239	POD1_bez_listy - lwn	305,001	LC3.4	2,45	-9,37	-0,71	-0,21
B239	POD1_bez_listy - lwn	305,001	LC4.1	-2,98	-0,54	0,45	-0,08
B239	POD1_bez_listy - lwn	305,001	LC4.2	-10,53	-1,65	1,35	-0,26
B239	POD1_bez_listy - lwn	305,001	LC4.3	-20,90	-1,65	0,43	-0,52
B239	POD1_bez_listy - lwn	305,001	LC4.4	-31,81	-3,52	2,63	-0,74
B239	POD1_bez_listy - lwn	305,001	LC4.5	-30,93	10,57	8,41	-1,89
B239	POD1_bez_listy - lwn	305,001	LC5.1	15,00	-5,80	-4,93	0,47
B239	POD1_bez_listy - lwn	305,001	LC5.2	-14,67	5,80	4,95	-0,47
B239	POD1_bez_listy - lwn	410,000	LC1	3,17	-0,66	2,32	0,04
B239	POD1_bez_listy - lwn	410,000	LC2	1,59	0,61	1,66	0,02
B239	POD1_bez_listy - lwn	410,000	LC3.1	-2,30	15,46	1,62	0,27
B239	POD1_bez_listy - lwn	410,000	LC3.2	2,30	-15,46	-1,62	-0,27
B239	POD1_bez_listy - lwn	410,000	LC3.3	-1,37	10,00	1,25	0,16
B239	POD1_bez_listy - lwn	410,000	LC3.4	1,40	-9,37	-0,98	-0,16
B239	POD1_bez_listy - lwn	410,000	LC4.1	-2,98	-0,54	0,39	-0,06
B239	POD1_bez_listy - lwn	410,000	LC4.2	-10,53	-1,65	1,18	-0,21
B239	POD1_bez_listy - lwn	410,000	LC4.3	-20,90	-1,65	0,26	-0,43

Dilec	css	dx [mm]	Stav	N [kN]	Vz [kN]	My [kNm]	Mz [kNm]
B239	POD1_bez_listy - lwn	410,000	LC4.4	-31,81	-3,52	2,26	-0,61
B239	POD1_bez_listy - lwn	410,000	LC4.5	-30,93	10,57	9,51	-3,06
B239	POD1_bez_listy - lwn	410,000	LC5.1	15,00	-4,35	-5,46	0,64
B239	POD1_bez_listy - lwn	410,000	LC5.2	-14,67	4,36	5,48	-0,64
B239	POD1_bez_listy - lwn	515,000	LC1	3,17	-0,75	2,24	0,03
B239	POD1_bez_listy - lwn	515,000	LC2	1,59	0,35	1,71	0,02
B239	POD1_bez_listy - lwn	515,000	LC3.1	-0,57	15,46	2,08	0,19
B239	POD1_bez_listy - lwn	515,000	LC3.2	0,57	-15,46	-2,08	-0,19
B239	POD1_bez_listy - lwn	515,000	LC3.3	-0,32	10,00	1,50	0,11
B239	POD1_bez_listy - lwn	515,000	LC3.4	0,35	-9,37	-1,26	-0,11
B239	POD1_bez_listy - lwn	515,000	LC4.1	-2,98	-0,54	0,34	-0,05
B239	POD1_bez_listy - lwn	515,000	LC4.2	-10,53	-1,65	1,00	-0,17
B239	POD1_bez_listy - lwn	515,000	LC4.3	-20,90	-1,65	0,08	-0,33
B239	POD1_bez_listy - lwn	515,000	LC4.4	-31,81	-3,52	1,89	-0,48
B239	POD1_bez_listy - lwn	515,000	LC4.5	-30,93	10,57	10,62	-4,22
B239	POD1_bez_listy - lwn	515,000	LC5.1	15,00	-2,91	-5,84	0,77
B239	POD1_bez_listy - lwn	515,000	LC5.2	-14,67	2,92	5,86	-0,77
B239	POD1_bez_listy - lwn	620,000	LC1	3,17	-0,83	2,16	0,01
B239	POD1_bez_listy - lwn	620,000	LC2	1,59	0,09	1,73	0,01
B239	POD1_bez_listy - lwn	620,000	LC3.1	1,16	15,46	2,53	0,11
B239	POD1_bez_listy - lwn	620,000	LC3.2	-1,16	-15,46	-2,53	-0,11
B239	POD1_bez_listy - lwn	620,000	LC3.3	0,73	10,00	1,76	0,06
B239	POD1_bez_listy - lwn	620,000	LC3.4	-0,70	-9,37	-1,53	-0,06
B239	POD1_bez_listy - lwn	620,000	LC4.1	-2,98	-0,54	0,28	-0,03
B239	POD1_bez_listy - lwn	620,000	LC4.2	-10,53	-1,65	0,83	-0,12
B239	POD1_bez_listy - lwn	620,000	LC4.3	-20,90	-1,65	-0,09	-0,24
B239	POD1_bez_listy - lwn	620,000	LC4.4	-31,81	-3,52	1,52	-0,35
B239	POD1_bez_listy - lwn	620,000	LC4.5	-30,93	10,57	11,73	-5,39
B239	POD1_bez_listy - lwn	620,000	LC5.1	15,00	-1,47	-6,07	0,84
B239	POD1_bez_listy - lwn	620,000	LC5.2	-14,67	1,47	6,09	-0,84
B239	POD1_bez_listy - lwn	725,000	LC1	3,17	-0,92	2,07	0,00
B239	POD1_bez_listy - lwn	725,000	LC2	1,59	-0,17	1,73	0,00
B239	POD1_bez_listy - lwn	725,000	LC3.1	2,89	15,46	2,99	0,03
B239	POD1_bez_listy - lwn	725,000	LC3.2	-2,89	-15,46	-2,99	-0,03
B239	POD1_bez_listy - lwn	725,000	LC3.3	1,78	10,00	2,02	0,02
B239	POD1_bez_listy - lwn	725,000	LC3.4	-1,75	-9,37	-1,81	-0,02
B239	POD1_bez_listy - lwn	725,000	LC4.1	-2,98	-0,54	0,22	-0,02
B239	POD1_bez_listy - lwn	725,000	LC4.2	-10,53	-1,65	0,66	-0,07
B239	POD1_bez_listy - lwn	725,000	LC4.3	-20,90	-1,65	-0,26	-0,15
B239	POD1_bez_listy - lwn	725,000	LC4.4	-31,81	-3,52	1,15	-0,22
B239	POD1_bez_listy - lwn	725,000	LC4.5	-30,93	10,57	12,84	-6,55
B239	POD1_bez_listy - lwn	725,000	LC5.1	15,00	-0,03	-6,15	0,87
B239	POD1_bez_listy - lwn	725,000	LC5.2	-14,67	0,03	6,17	-0,87
B239	POD1_bez_listy - lwn	830,000	LC1	3,17	-1,01	1,97	-0,01
B239	POD1_bez_listy - lwn	830,000	LC2	1,59	-0,44	1,70	0,00
B239	POD1_bez_listy - lwn	830,000	LC3.1	4,63	15,46	3,44	-0,05
B239	POD1_bez_listy - lwn	830,000	LC3.2	-4,63	-15,46	-3,44	0,05
B239	POD1_bez_listy - lwn	830,000	LC3.3	2,83	10,00	2,27	-0,03
B239	POD1_bez_listy - lwn	830,000	LC3.4	-2,80	-9,37	-2,08	0,03
B239	POD1_bez_listy - lwn	830,000	LC4.1	-2,98	-0,54	0,17	-0,01
B239	POD1_bez_listy - lwn	830,000	LC4.2	-10,53	-1,65	0,48	-0,03
B239	POD1_bez_listy - lwn	830,000	LC4.3	-20,90	-1,65	-0,44	-0,06
B239	POD1_bez_listy - lwn	830,000	LC4.4	-31,81	-3,52	0,78	-0,09
B239	POD1_bez_listy - lwn	830,000	LC4.5	-30,93	10,57	13,95	-7,72
B239	POD1_bez_listy - lwn	830,000	LC5.1	15,00	1,41	-6,08	0,85
B239	POD1_bez_listy - lwn	830,000	LC5.2	-14,67	-1,41	6,10	-0,85
B239	POD1_bez_listy - lwn	830,001	LC1	3,17	-1,27	1,97	-0,01
B239	POD1_bez_listy - lwn	830,001	LC2	1,59	-0,44	1,70	0,00
B239	POD1_bez_listy - lwn	830,001	LC3.1	4,63	15,46	3,44	-0,05
B239	POD1_bez_listy - lwn	830,001	LC3.2	-4,63	-15,46	-3,44	0,05
B239	POD1_bez_listy - lwn	830,001	LC3.3	2,83	10,00	2,27	-0,03
B239	POD1_bez_listy - lwn	830,001	LC3.4	-2,80	-9,37	-2,08	0,03
B239	POD1_bez_listy - lwn	830,001	LC4.1	-2,98	-0,54	0,17	-0,01
B239	POD1_bez_listy - lwn	830,001	LC4.2	-10,53	-1,66	0,48	-0,03
B239	POD1_bez_listy - lwn	830,001	LC4.3	-20,90	-1,67	-0,44	-0,06
B239	POD1_bez_listy - lwn	830,001	LC4.4	-31,81	-3,54	0,78	-0,09
B239	POD1_bez_listy - lwn	830,001	LC4.5	-30,93	-10,57	13,95	-7,72
B239	POD1_bez_listy - lwn	830,001	LC5.1	15,00	1,42	-6,08	0,85
B239	POD1_bez_listy - lwn	830,001	LC5.2	-14,67	-1,41	6,10	-0,85
B239	POD1_bez_listy - lwn	855,000	LC1	3,17	-1,29	1,93	-0,01
B239	POD1_bez_listy - lwn	855,000	LC2	1,59	-0,50	1,68	-0,01
B239	POD1_bez_listy - lwn	855,000	LC3.1	5,04	15,46	3,55	-0,07
B239	POD1_bez_listy - lwn	855,000	LC3.2	-5,04	-15,46	-3,55	0,07
B239	POD1_bez_listy - lwn	855,000	LC3.3	3,08	10,00	2,33	-0,04
B239	POD1_bez_listy - lwn	855,000	LC3.4	-3,05	-9,37	-2,15	0,04
B239	POD1_bez_listy - lwn	855,000	LC4.1	-2,98	-0,54	0,15	0,00

Dilec	css	dx [mm]	Stav	N [kN]	Vz [kN]	My [kNm]	Mz [kNm]
B239	POD1_bez_listy - lwn	855,000	LC4.2	-10,53	-1,66	0,44	-0,02
B239	POD1_bez_listy - lwn	855,000	LC4.3	-20,90	-1,67	-0,48	-0,04
B239	POD1_bez_listy - lwn	855,000	LC4.4	-31,81	-3,54	0,69	-0,06
B239	POD1_bez_listy - lwn	855,000	LC4.5	-30,93	-10,57	13,69	-7,41
B239	POD1_bez_listy - lwn	855,000	LC5.1	15,00	1,76	-6,04	0,84
B239	POD1_bez_listy - lwn	855,000	LC5.2	-14,67	-1,76	6,06	-0,84
B239	POD1_bez_listy - lwn	855,001	LC1	3,17	-1,29	1,93	-0,01
B239	POD1_bez_listy - lwn	855,001	LC2	1,59	-0,50	1,68	-0,01
B239	POD1_bez_listy - lwn	855,001	LC3.1	5,04	15,46	3,55	-0,07
B239	POD1_bez_listy - lwn	855,001	LC3.2	-5,04	-15,46	-3,55	0,07
B239	POD1_bez_listy - lwn	855,001	LC3.3	3,08	10,00	2,33	-0,04
B239	POD1_bez_listy - lwn	855,001	LC3.4	-3,05	-9,37	-2,15	0,04
B239	POD1_bez_listy - lwn	855,001	LC4.1	-2,98	-0,54	0,15	0,00
B239	POD1_bez_listy - lwn	855,001	LC4.2	-10,53	-1,66	0,44	-0,02
B239	POD1_bez_listy - lwn	855,001	LC4.3	-20,90	-1,67	-0,48	-0,04
B239	POD1_bez_listy - lwn	855,001	LC4.4	-31,81	-3,54	0,69	-0,06
B239	POD1_bez_listy - lwn	855,001	LC4.5	-30,93	-10,57	13,69	-7,41
B239	POD1_bez_listy - lwn	855,001	LC5.1	15,00	1,76	-6,04	0,84
B239	POD1_bez_listy - lwn	855,001	LC5.2	-14,67	-1,76	6,06	-0,84
B239	POD1_bez_listy - lwn	880,000	LC1	3,17	-1,31	1,90	-0,01
B239	POD1_bez_listy - lwn	880,000	LC2	1,59	-0,56	1,67	-0,01
B239	POD1_bez_listy - lwn	880,000	LC3.1	5,45	15,46	3,65	-0,09
B239	POD1_bez_listy - lwn	880,000	LC3.2	-5,45	-15,46	-3,65	0,09
B239	POD1_bez_listy - lwn	880,000	LC3.3	3,33	10,00	2,39	-0,06
B239	POD1_bez_listy - lwn	880,000	LC3.4	-3,30	-9,37	-2,21	0,06
B239	POD1_bez_listy - lwn	880,000	LC4.1	-2,98	-0,54	0,14	0,00
B239	POD1_bez_listy - lwn	880,000	LC4.2	-10,53	-1,66	0,40	-0,01
B239	POD1_bez_listy - lwn	880,000	LC4.3	-20,90	-1,67	-0,52	-0,02
B239	POD1_bez_listy - lwn	880,000	LC4.4	-31,81	-3,54	0,60	-0,03
B239	POD1_bez_listy - lwn	880,000	LC4.5	-30,93	-10,57	13,43	-7,10
B239	POD1_bez_listy - lwn	880,000	LC5.1	15,00	2,10	-5,99	0,82
B239	POD1_bez_listy - lwn	880,000	LC5.2	-14,67	-2,10	6,01	-0,82
B239	POD1_bez_listy - lwn	880,001	LC1	3,17	-1,31	1,90	-0,01
B239	POD1_bez_listy - lwn	880,001	LC2	1,59	-0,56	1,67	-0,01
B239	POD1_bez_listy - lwn	880,001	LC3.1	5,45	15,46	3,65	-0,09
B239	POD1_bez_listy - lwn	880,001	LC3.2	-5,45	-15,46	-3,65	0,09
B239	POD1_bez_listy - lwn	880,001	LC3.3	3,33	10,00	2,39	-0,06
B239	POD1_bez_listy - lwn	880,001	LC3.4	-3,30	-9,37	-2,21	0,06
B239	POD1_bez_listy - lwn	880,001	LC4.1	-2,98	-0,54	0,14	0,00
B239	POD1_bez_listy - lwn	880,001	LC4.2	-10,53	-1,66	0,40	-0,01
B239	POD1_bez_listy - lwn	880,001	LC4.3	-20,90	-1,67	-0,52	-0,02
B239	POD1_bez_listy - lwn	880,001	LC4.4	-31,81	-3,54	0,60	-0,03
B239	POD1_bez_listy - lwn	880,001	LC4.5	-30,93	-10,57	13,43	-7,10
B239	POD1_bez_listy - lwn	880,001	LC5.1	15,00	2,10	-5,99	0,82
B239	POD1_bez_listy - lwn	880,001	LC5.2	-14,67	-2,10	6,01	-0,82
B239	POD1_bez_listy - lwn	998,750	LC1	3,17	-1,42	1,74	-0,03
B239	POD1_bez_listy - lwn	998,750	LC2	1,59	-0,86	1,59	-0,01
B239	POD1_bez_listy - lwn	998,750	LC3.1	7,41	15,46	4,17	-0,19
B239	POD1_bez_listy - lwn	998,750	LC3.2	-7,41	-15,46	-4,17	0,19
B239	POD1_bez_listy - lwn	998,750	LC3.3	4,52	10,00	2,68	-0,11
B239	POD1_bez_listy - lwn	998,750	LC3.4	-4,49	-9,37	-2,53	0,12
B239	POD1_bez_listy - lwn	998,750	LC4.1	-2,98	-0,54	0,08	0,01
B239	POD1_bez_listy - lwn	998,750	LC4.2	-10,53	-1,66	0,20	0,04
B239	POD1_bez_listy - lwn	998,750	LC4.3	-20,90	-1,67	-0,72	0,06
B239	POD1_bez_listy - lwn	998,750	LC4.4	-31,81	-3,54	0,18	0,09
B239	POD1_bez_listy - lwn	998,750	LC4.5	-30,93	-10,57	12,17	-5,64
B239	POD1_bez_listy - lwn	998,750	LC5.1	15,00	3,73	-5,64	0,72
B239	POD1_bez_listy - lwn	998,750	LC5.2	-14,67	-3,73	5,67	-0,72
B239	POD1_bez_listy - lwn	1117,500	LC1	3,17	-1,52	1,57	-0,04
B239	POD1_bez_listy - lwn	1117,500	LC2	1,59	-1,16	1,47	-0,02
B239	POD1_bez_listy - lwn	1117,500	LC3.1	9,37	15,46	4,68	-0,29
B239	POD1_bez_listy - lwn	1117,500	LC3.2	-9,37	-15,46	-4,68	0,29
B239	POD1_bez_listy - lwn	1117,500	LC3.3	5,70	10,00	2,97	-0,17
B239	POD1_bez_listy - lwn	1117,500	LC3.4	-5,68	-9,37	-2,84	0,17
B239	POD1_bez_listy - lwn	1117,500	LC4.1	-2,98	-0,54	0,01	0,02
B239	POD1_bez_listy - lwn	1117,500	LC4.2	-10,53	-1,66	0,01	0,08
B239	POD1_bez_listy - lwn	1117,500	LC4.3	-20,90	-1,67	-0,91	0,15
B239	POD1_bez_listy - lwn	1117,500	LC4.4	-31,81	-3,54	-0,24	0,22
B239	POD1_bez_listy - lwn	1117,500	LC4.5	-30,93	-10,57	10,91	-4,17
B239	POD1_bez_listy - lwn	1117,500	LC5.1	15,00	5,36	-5,10	0,55
B239	POD1_bez_listy - lwn	1117,500	LC5.2	-14,67	-5,36	5,13	-0,55
B239	POD1_bez_listy - lwn	1236,250	LC1	3,17	-1,62	1,38	-0,05
B239	POD1_bez_listy - lwn	1236,250	LC2	1,59	-1,45	1,31	-0,03
B239	POD1_bez_listy - lwn	1236,250	LC3.1	11,33	15,46	5,19	-0,38
B239	POD1_bez_listy - lwn	1236,250	LC3.2	-11,33	-15,46	-5,19	0,38
B239	POD1_bez_listy - lwn	1236,250	LC3.3	6,89	10,00	3,26	-0,23

Dilec	css	dx [mm]	Stav	N [kN]	Vz [kN]	My [kNm]	Mz [kNm]
B239	POD1_bez_listy - lwn	1236,250	LC3.4	-6,87	-9,37	-3,15	0,23
B239	POD1_bez_listy - lwn	1236,250	LC4.1	-2,98	-0,54	-0,05	0,04
B239	POD1_bez_listy - lwn	1236,250	LC4.2	-10,53	-1,66	-0,19	0,13
B239	POD1_bez_listy - lwn	1236,250	LC4.3	-20,90	-1,67	-1,11	0,23
B239	POD1_bez_listy - lwn	1236,250	LC4.4	-31,81	-3,54	-0,66	0,35
B239	POD1_bez_listy - lwn	1236,250	LC4.5	-30,93	-10,57	9,66	-2,70
B239	POD1_bez_listy - lwn	1236,250	LC5.1	15,00	6,99	-4,37	0,32
B239	POD1_bez_listy - lwn	1236,250	LC5.2	-14,67	-6,99	4,39	-0,32
B239	POD1_bez_listy - lwn	1355,000	LC1	3,17	-1,72	1,18	-0,06
B239	POD1_bez_listy - lwn	1355,000	LC2	1,59	-1,75	1,12	-0,03
B239	POD1_bez_listy - lwn	1355,000	LC3.1	13,29	15,46	5,71	-0,48
B239	POD1_bez_listy - lwn	1355,000	LC3.2	-13,29	-15,46	-5,71	0,48
B239	POD1_bez_listy - lwn	1355,000	LC3.3	8,08	10,00	3,55	-0,29
B239	POD1_bez_listy - lwn	1355,000	LC3.4	-8,05	-9,37	-3,46	0,29
B239	POD1_bez_listy - lwn	1355,000	LC4.1	-2,98	-0,54	-0,12	0,05
B239	POD1_bez_listy - lwn	1355,000	LC4.2	-10,53	-1,66	-0,39	0,17
B239	POD1_bez_listy - lwn	1355,000	LC4.3	-20,90	-1,67	-1,31	0,32
B239	POD1_bez_listy - lwn	1355,000	LC4.4	-31,81	-3,54	-1,08	0,47
B239	POD1_bez_listy - lwn	1355,000	LC4.5	-30,93	-10,57	8,40	-1,23
B239	POD1_bez_listy - lwn	1355,000	LC5.1	15,00	8,62	-3,44	0,03
B239	POD1_bez_listy - lwn	1355,000	LC5.2	-14,67	-8,62	3,47	-0,02
B239	POD1_bez_listy - lwn	1355,001	LC1	3,17	-1,72	1,18	-0,06
B239	POD1_bez_listy - lwn	1355,001	LC2	1,59	-1,75	1,12	-0,03
B239	POD1_bez_listy - lwn	1355,001	LC3.1	13,29	15,46	5,71	-0,48
B239	POD1_bez_listy - lwn	1355,001	LC3.2	-13,29	-15,46	-5,71	0,48
B239	POD1_bez_listy - lwn	1355,001	LC3.3	8,08	10,00	3,55	-0,29
B239	POD1_bez_listy - lwn	1355,001	LC3.4	-8,05	-9,37	-3,46	0,29
B239	POD1_bez_listy - lwn	1355,001	LC4.1	-2,98	-0,54	-0,12	0,05
B239	POD1_bez_listy - lwn	1355,001	LC4.2	-10,53	-1,66	-0,39	0,17
B239	POD1_bez_listy - lwn	1355,001	LC4.3	-20,90	-1,67	-1,31	0,32
B239	POD1_bez_listy - lwn	1355,001	LC4.4	-31,81	-3,54	-1,08	0,47
B239	POD1_bez_listy - lwn	1355,001	LC4.5	-30,93	-21,07	8,40	-1,23
B239	POD1_bez_listy - lwn	1355,001	LC5.1	15,00	8,62	-3,44	0,03
B239	POD1_bez_listy - lwn	1355,001	LC5.2	-14,67	-8,62	3,47	-0,02
B239	POD1_bez_listy - lwn	1470,680	LC1	3,17	-1,82	0,98	-0,07
B239	POD1_bez_listy - lwn	1470,680	LC2	1,59	-2,04	0,90	-0,04
B239	POD1_bez_listy - lwn	1470,680	LC3.1	15,20	15,46	6,21	-0,57
B239	POD1_bez_listy - lwn	1470,680	LC3.2	-15,20	-15,46	-6,21	0,57
B239	POD1_bez_listy - lwn	1470,680	LC3.3	9,24	10,00	3,84	-0,34
B239	POD1_bez_listy - lwn	1470,680	LC3.4	-9,21	-9,37	-3,76	0,35
B239	POD1_bez_listy - lwn	1470,680	LC4.1	-2,98	-0,54	-0,18	0,06
B239	POD1_bez_listy - lwn	1470,680	LC4.2	-10,53	-1,66	-0,58	0,21
B239	POD1_bez_listy - lwn	1470,680	LC4.3	-20,90	-1,67	-1,50	0,40
B239	POD1_bez_listy - lwn	1470,680	LC4.4	-31,81	-3,54	-1,49	0,59
B239	POD1_bez_listy - lwn	1470,680	LC4.5	-30,93	-21,07	5,97	1,64
B239	POD1_bez_listy - lwn	1470,680	LC5.1	15,00	10,21	-2,35	-0,32
B239	POD1_bez_listy - lwn	1470,680	LC5.2	-14,67	-10,21	2,38	0,32
B239	POD1_bez_listy - lwn	1470,681	LC1	3,20	-1,87	0,98	-0,07
B239	POD1_bez_listy - lwn	1470,681	LC2	1,61	-2,04	0,90	-0,04
B239	POD1_bez_listy - lwn	1470,681	LC3.1	15,20	15,46	6,21	-0,57
B239	POD1_bez_listy - lwn	1470,681	LC3.2	-15,20	-15,46	-6,21	0,57
B239	POD1_bez_listy - lwn	1470,681	LC3.3	9,24	10,00	3,84	-0,34
B239	POD1_bez_listy - lwn	1470,681	LC3.4	-9,21	-9,37	-3,76	0,35
B239	POD1_bez_listy - lwn	1470,681	LC4.1	-3,47	-0,54	-0,26	0,06
B239	POD1_bez_listy - lwn	1470,681	LC4.2	-11,88	-1,66	-0,81	0,21
B239	POD1_bez_listy - lwn	1470,681	LC4.3	-22,78	-1,67	-1,82	0,40
B239	POD1_bez_listy - lwn	1470,681	LC4.4	-33,63	-3,54	-1,80	0,59
B239	POD1_bez_listy - lwn	1470,681	LC4.5	-32,29	-21,07	5,73	1,64
B239	POD1_bez_listy - lwn	1470,681	LC5.1	16,04	10,21	-2,18	-0,32
B239	POD1_bez_listy - lwn	1470,681	LC5.2	-15,70	-10,21	2,20	0,32
B239	POD1_bez_listy - lwn	1565,330	LC1	3,20	-1,95	0,80	-0,08
B239	POD1_bez_listy - lwn	1565,330	LC2	1,61	-2,28	0,70	-0,04
B239	POD1_bez_listy - lwn	1565,330	LC3.1	16,76	15,46	6,62	-0,65
B239	POD1_bez_listy - lwn	1565,330	LC3.2	-16,76	-15,46	-6,62	0,65
B239	POD1_bez_listy - lwn	1565,330	LC3.3	10,18	10,00	4,07	-0,39
B239	POD1_bez_listy - lwn	1565,330	LC3.4	-10,16	-9,37	-4,01	0,39
B239	POD1_bez_listy - lwn	1565,330	LC4.1	-3,47	-0,54	-0,31	0,14
B239	POD1_bez_listy - lwn	1565,330	LC4.2	-11,88	-1,66	-0,97	0,43
B239	POD1_bez_listy - lwn	1565,330	LC4.3	-22,78	-1,67	-1,98	0,72
B239	POD1_bez_listy - lwn	1565,330	LC4.4	-33,63	-3,54	-2,13	0,94
B239	POD1_bez_listy - lwn	1565,330	LC4.5	-32,29	-21,07	3,74	4,18
B239	POD1_bez_listy - lwn	1565,330	LC5.1	16,04	11,51	-1,15	-0,78
B239	POD1_bez_listy - lwn	1565,330	LC5.2	-15,70	-11,51	1,17	0,79
B239	POD1_bez_listy - lwn	1565,350	LC1	3,20	-1,95	0,80	-0,08
B239	POD1_bez_listy - lwn	1565,350	LC2	1,61	-2,28	0,70	-0,04
B239	POD1_bez_listy - lwn	1565,350	LC3.1	16,76	15,46	6,62	-0,65

Dilec	css	dx [mm]	Stav	N [kN]	Vz [kN]	My [kNm]	Mz [kNm]
B239	POD1_bez_listy - lwn	1565,350	LC3.2	-16,76	-15,46	-6,62	0,65
B239	POD1_bez_listy - lwn	1565,350	LC3.3	10,19	10,00	4,07	-0,39
B239	POD1_bez_listy - lwn	1565,350	LC3.4	-10,16	-9,37	-4,01	0,39
B239	POD1_bez_listy - lwn	1565,350	LC4.1	-3,47	-0,54	-0,31	0,14
B239	POD1_bez_listy - lwn	1565,350	LC4.2	-11,88	-1,66	-0,97	0,43
B239	POD1_bez_listy - lwn	1565,350	LC4.3	-22,78	-1,67	-1,98	0,72
B239	POD1_bez_listy - lwn	1565,350	LC4.4	-33,63	-3,54	-2,13	0,94
B239	POD1_bez_listy - lwn	1565,350	LC4.5	-32,29	-21,07	3,74	4,18
B239	POD1_bez_listy - lwn	1565,350	LC5.1	16,04	11,51	-1,15	-0,78
B239	POD1_bez_listy - lwn	1565,350	LC5.2	-15,70	-11,51	1,17	0,79
B239	POD1_bez_listy - lwn	1660,000	LC1	3,20	-2,04	0,61	-0,10
B239	POD1_bez_listy - lwn	1660,000	LC2	1,61	-2,51	0,47	-0,05
B239	POD1_bez_listy - lwn	1660,000	LC3.1	18,32	15,46	7,03	-0,72
B239	POD1_bez_listy - lwn	1660,000	LC3.2	-18,32	-15,46	-7,03	0,72
B239	POD1_bez_listy - lwn	1660,000	LC3.3	11,13	10,00	4,30	-0,43
B239	POD1_bez_listy - lwn	1660,000	LC3.4	-11,11	-9,37	-4,26	0,44
B239	POD1_bez_listy - lwn	1660,000	LC4.1	-3,47	-0,54	-0,36	0,21
B239	POD1_bez_listy - lwn	1660,000	LC4.2	-11,88	-1,66	-1,12	0,64
B239	POD1_bez_listy - lwn	1660,000	LC4.3	-22,78	-1,67	-2,14	1,03
B239	POD1_bez_listy - lwn	1660,000	LC4.4	-33,63	-3,54	-2,47	1,28
B239	POD1_bez_listy - lwn	1660,000	LC4.5	-32,29	-21,07	1,74	6,71
B239	POD1_bez_listy - lwn	1660,000	LC5.1	16,04	12,81	0,00	-1,29
B239	POD1_bez_listy - lwn	1660,000	LC5.2	-15,70	-12,81	0,02	1,30
B242	POD1_bez_listy - lwn	0,000	LC1	3,19	-0,25	2,52	-0,08
B242	POD1_bez_listy - lwn	0,000	LC2	1,65	1,62	1,24	-0,05
B242	POD1_bez_listy - lwn	0,000	LC3.1	-9,05	15,46	-0,15	-0,58
B242	POD1_bez_listy - lwn	0,000	LC3.2	9,05	-15,46	0,15	0,58
B242	POD1_bez_listy - lwn	0,000	LC3.3	-5,46	10,00	0,25	-0,35
B242	POD1_bez_listy - lwn	0,000	LC3.4	5,49	-9,37	0,09	0,35
B242	POD1_bez_listy - lwn	0,000	LC4.1	3,19	0,52	-0,61	-0,24
B242	POD1_bez_listy - lwn	0,000	LC4.2	10,83	1,50	-1,67	-0,72
B242	POD1_bez_listy - lwn	0,000	LC4.3	21,65	1,37	-0,52	-1,22
B242	POD1_bez_listy - lwn	0,000	LC4.4	33,27	3,14	-3,05	-1,52
B242	POD1_bez_listy - lwn	0,000	LC4.5	34,41	-21,54	-0,88	5,31
B242	POD1_bez_listy - lwn	0,000	LC5.1	-16,02	10,25	2,06	-0,10
B242	POD1_bez_listy - lwn	0,000	LC5.2	16,35	-10,24	-2,04	0,10
B242	POD1_bez_listy - lwn	94,650	LC1	3,19	-0,33	2,49	-0,07
B242	POD1_bez_listy - lwn	94,650	LC2	1,65	1,38	1,38	-0,05
B242	POD1_bez_listy - lwn	94,650	LC3.1	-7,49	15,46	0,26	-0,51
B242	POD1_bez_listy - lwn	94,650	LC3.2	7,49	-15,46	-0,26	0,51
B242	POD1_bez_listy - lwn	94,650	LC3.3	-4,51	10,00	0,48	-0,31
B242	POD1_bez_listy - lwn	94,650	LC3.4	4,54	-9,37	-0,16	0,31
B242	POD1_bez_listy - lwn	94,650	LC4.1	3,19	0,52	-0,56	-0,16
B242	POD1_bez_listy - lwn	94,650	LC4.2	10,83	1,50	-1,53	-0,51
B242	POD1_bez_listy - lwn	94,650	LC4.3	21,65	1,37	-0,39	-0,90
B242	POD1_bez_listy - lwn	94,650	LC4.4	33,27	3,14	-2,76	-1,18
B242	POD1_bez_listy - lwn	94,650	LC4.5	34,41	-21,54	-2,92	3,10
B242	POD1_bez_listy - lwn	94,650	LC5.1	-16,02	8,95	2,96	0,07
B242	POD1_bez_listy - lwn	94,650	LC5.2	16,35	-8,94	-2,95	-0,07
B242	POD1_bez_listy - lwn	94,670	LC1	3,19	-0,33	2,49	-0,07
B242	POD1_bez_listy - lwn	94,670	LC2	1,65	1,38	1,38	-0,05
B242	POD1_bez_listy - lwn	94,670	LC3.1	-7,49	15,46	0,26	-0,51
B242	POD1_bez_listy - lwn	94,670	LC3.2	7,49	-15,46	-0,26	0,51
B242	POD1_bez_listy - lwn	94,670	LC3.3	-4,51	10,00	0,48	-0,31
B242	POD1_bez_listy - lwn	94,670	LC3.4	4,54	-9,37	-0,16	0,31
B242	POD1_bez_listy - lwn	94,670	LC4.1	3,19	0,52	-0,56	-0,16
B242	POD1_bez_listy - lwn	94,670	LC4.2	10,83	1,50	-1,53	-0,51
B242	POD1_bez_listy - lwn	94,670	LC4.3	21,65	1,37	-0,39	-0,90
B242	POD1_bez_listy - lwn	94,670	LC4.4	33,27	3,14	-2,76	-1,18
B242	POD1_bez_listy - lwn	94,670	LC4.5	34,41	-21,54	-2,92	3,10
B242	POD1_bez_listy - lwn	94,670	LC5.1	-16,02	8,95	2,96	0,07
B242	POD1_bez_listy - lwn	94,670	LC5.2	16,35	-8,94	-2,95	-0,07
B242	POD1_bez_listy - lwn	189,320	LC1	3,19	-0,41	2,45	-0,06
B242	POD1_bez_listy - lwn	189,320	LC2	1,65	1,15	1,50	-0,04
B242	POD1_bez_listy - lwn	189,320	LC3.1	-5,93	15,46	0,67	-0,44
B242	POD1_bez_listy - lwn	189,320	LC3.2	5,93	-15,46	-0,67	0,44
B242	POD1_bez_listy - lwn	189,320	LC3.3	-3,57	10,00	0,71	-0,26
B242	POD1_bez_listy - lwn	189,320	LC3.4	3,59	-9,37	-0,41	0,27
B242	POD1_bez_listy - lwn	189,320	LC4.1	3,19	0,52	-0,51	-0,09
B242	POD1_bez_listy - lwn	189,320	LC4.2	10,83	1,50	-1,39	-0,30
B242	POD1_bez_listy - lwn	189,320	LC4.3	21,65	1,37	-0,26	-0,59
B242	POD1_bez_listy - lwn	189,320	LC4.4	33,27	3,14	-2,46	-0,85
B242	POD1_bez_listy - lwn	189,320	LC4.5	34,41	-21,54	-4,96	0,89
B242	POD1_bez_listy - lwn	189,320	LC5.1	-16,02	7,65	3,75	0,19
B242	POD1_bez_listy - lwn	189,320	LC5.2	16,35	-7,64	-3,73	-0,19
B242	POD1_bez_listy - lwn	189,321	LC1	3,17	-0,47	2,45	-0,06

Dilec	css	dx [mm]	Stav	N [kN]	Vz [kN]	My [kNm]	Mz [kNm]
B242	POD1_bez_listy - lwn	189,321	LC2	1,64	1,15	1,50	-0,04
B242	POD1_bez_listy - lwn	189,321	LC3.1	-5,93	15,46	0,67	-0,44
B242	POD1_bez_listy - lwn	189,321	LC3.2	5,93	-15,46	-0,67	0,44
B242	POD1_bez_listy - lwn	189,321	LC3.3	-3,57	10,00	0,71	-0,26
B242	POD1_bez_listy - lwn	189,321	LC3.4	3,59	-9,37	-0,41	0,27
B242	POD1_bez_listy - lwn	189,321	LC4.1	3,67	0,52	-0,43	-0,09
B242	POD1_bez_listy - lwn	189,321	LC4.2	12,14	1,50	-1,17	-0,30
B242	POD1_bez_listy - lwn	189,321	LC4.3	23,42	1,37	0,04	-0,59
B242	POD1_bez_listy - lwn	189,321	LC4.4	34,98	3,14	-2,17	-0,85
B242	POD1_bez_listy - lwn	189,321	LC4.5	34,72	-21,54	-4,91	0,89
B242	POD1_bez_listy - lwn	189,321	LC5.1	-17,03	7,65	3,58	0,19
B242	POD1_bez_listy - lwn	189,321	LC5.2	17,36	-7,64	-3,56	-0,19
B242	POD1_bez_listy - lwn	280,000	LC1	3,17	-0,55	2,40	-0,05
B242	POD1_bez_listy - lwn	280,000	LC2	1,64	0,92	1,59	-0,03
B242	POD1_bez_listy - lwn	280,000	LC3.1	-4,44	15,46	1,06	-0,37
B242	POD1_bez_listy - lwn	280,000	LC3.2	4,44	-15,46	-1,06	0,37
B242	POD1_bez_listy - lwn	280,000	LC3.3	-2,66	10,00	0,93	-0,22
B242	POD1_bez_listy - lwn	280,000	LC3.4	2,69	-9,37	-0,64	0,22
B242	POD1_bez_listy - lwn	280,000	LC4.1	3,67	0,52	-0,38	-0,08
B242	POD1_bez_listy - lwn	280,000	LC4.2	12,14	1,50	-1,03	-0,26
B242	POD1_bez_listy - lwn	280,000	LC4.3	23,42	1,37	0,16	-0,52
B242	POD1_bez_listy - lwn	280,000	LC4.4	34,98	3,14	-1,88	-0,75
B242	POD1_bez_listy - lwn	280,000	LC4.5	34,72	-21,54	-6,86	-1,26
B242	POD1_bez_listy - lwn	280,000	LC5.1	-17,03	6,40	4,22	0,40
B242	POD1_bez_listy - lwn	280,000	LC5.2	17,36	-6,40	-4,20	-0,40
B242	POD1_bez_listy - lwn	280,001	LC1	3,17	-0,55	2,40	-0,05
B242	POD1_bez_listy - lwn	280,001	LC2	1,64	0,92	1,59	-0,03
B242	POD1_bez_listy - lwn	280,001	LC3.1	-4,44	15,46	1,06	-0,37
B242	POD1_bez_listy - lwn	280,001	LC3.2	4,44	-15,46	-1,06	0,37
B242	POD1_bez_listy - lwn	280,001	LC3.3	-2,66	10,00	0,93	-0,22
B242	POD1_bez_listy - lwn	280,001	LC3.4	2,69	-9,37	-0,64	0,22
B242	POD1_bez_listy - lwn	280,001	LC4.1	3,67	0,52	-0,38	-0,08
B242	POD1_bez_listy - lwn	280,001	LC4.2	12,14	1,50	-1,03	-0,26
B242	POD1_bez_listy - lwn	280,001	LC4.3	23,42	1,37	0,16	-0,52
B242	POD1_bez_listy - lwn	280,001	LC4.4	34,98	3,14	-1,88	-0,75
B242	POD1_bez_listy - lwn	280,001	LC4.5	34,72	-21,54	-6,86	-1,26
B242	POD1_bez_listy - lwn	280,001	LC5.1	-17,03	6,40	4,22	0,40
B242	POD1_bez_listy - lwn	280,001	LC5.2	17,36	-6,40	-4,20	-0,40
B242	POD1_bez_listy - lwn	305,000	LC1	3,17	-0,57	2,39	-0,05
B242	POD1_bez_listy - lwn	305,000	LC2	1,64	0,86	1,61	-0,03
B242	POD1_bez_listy - lwn	305,000	LC3.1	-4,02	15,46	1,17	-0,35
B242	POD1_bez_listy - lwn	305,000	LC3.2	4,02	-15,46	-1,17	0,35
B242	POD1_bez_listy - lwn	305,000	LC3.3	-2,41	10,00	0,99	-0,21
B242	POD1_bez_listy - lwn	305,000	LC3.4	2,44	-9,37	-0,71	0,21
B242	POD1_bez_listy - lwn	305,000	LC4.1	3,67	0,52	-0,37	-0,08
B242	POD1_bez_listy - lwn	305,000	LC4.2	12,14	1,50	-1,00	-0,25
B242	POD1_bez_listy - lwn	305,000	LC4.3	23,42	1,37	0,20	-0,50
B242	POD1_bez_listy - lwn	305,000	LC4.4	34,98	3,14	-1,80	-0,72
B242	POD1_bez_listy - lwn	305,000	LC4.5	34,72	-21,54	-7,40	-1,86
B242	POD1_bez_listy - lwn	305,000	LC5.1	-17,03	6,06	4,37	0,45
B242	POD1_bez_listy - lwn	305,000	LC5.2	17,36	-6,05	-4,35	-0,45
B242	POD1_bez_listy - lwn	305,001	LC1	3,17	-0,57	2,39	-0,05
B242	POD1_bez_listy - lwn	305,001	LC2	1,64	0,86	1,61	-0,03
B242	POD1_bez_listy - lwn	305,001	LC3.1	-4,02	15,46	1,17	-0,35
B242	POD1_bez_listy - lwn	305,001	LC3.2	4,02	-15,46	-1,17	0,35
B242	POD1_bez_listy - lwn	305,001	LC3.3	-2,41	10,00	0,99	-0,21
B242	POD1_bez_listy - lwn	305,001	LC3.4	2,44	-9,37	-0,71	0,21
B242	POD1_bez_listy - lwn	305,001	LC4.1	3,67	0,52	-0,37	-0,08
B242	POD1_bez_listy - lwn	305,001	LC4.2	12,14	1,50	-1,00	-0,25
B242	POD1_bez_listy - lwn	305,001	LC4.3	23,42	1,37	0,20	-0,50
B242	POD1_bez_listy - lwn	305,001	LC4.4	34,98	3,14	-1,80	-0,72
B242	POD1_bez_listy - lwn	305,001	LC4.5	34,72	-11,04	-7,40	-1,86
B242	POD1_bez_listy - lwn	305,001	LC5.1	-17,03	6,06	4,37	0,45
B242	POD1_bez_listy - lwn	305,001	LC5.2	17,36	-6,05	-4,35	-0,45
B242	POD1_bez_listy - lwn	410,000	LC1	3,17	-0,66	2,32	-0,04
B242	POD1_bez_listy - lwn	410,000	LC2	1,64	0,59	1,69	-0,02
B242	POD1_bez_listy - lwn	410,000	LC3.1	-2,29	15,46	1,62	-0,27
B242	POD1_bez_listy - lwn	410,000	LC3.2	2,29	-15,46	-1,62	0,27
B242	POD1_bez_listy - lwn	410,000	LC3.3	-1,36	10,00	1,25	-0,16
B242	POD1_bez_listy - lwn	410,000	LC3.4	1,39	-9,37	-0,98	0,16
B242	POD1_bez_listy - lwn	410,000	LC4.1	3,67	0,52	-0,32	-0,06
B242	POD1_bez_listy - lwn	410,000	LC4.2	12,14	1,50	-0,84	-0,21
B242	POD1_bez_listy - lwn	410,000	LC4.3	23,42	1,37	0,34	-0,42
B242	POD1_bez_listy - lwn	410,000	LC4.4	34,98	3,14	-1,47	-0,60
B242	POD1_bez_listy - lwn	410,000	LC4.5	34,72	-11,04	-8,56	-3,04
B242	POD1_bez_listy - lwn	410,000	LC5.1	-17,03	4,62	4,93	0,63

Dilec	css	dx [mm]	Stav	N [kN]	Vz [kN]	My [kNm]	Mz [kNm]
B242	POD1_bez_listy - lwn	410,000	LC5.2	17,36	-4,61	-4,91	-0,63
B242	POD1_bez_listy - lwn	515,000	LC1	3,17	-0,75	2,25	-0,03
B242	POD1_bez_listy - lwn	515,000	LC2	1,64	0,33	1,74	-0,02
B242	POD1_bez_listy - lwn	515,000	LC3.1	-0,56	15,46	2,08	-0,19
B242	POD1_bez_listy - lwn	515,000	LC3.2	0,56	-15,46	-2,08	0,19
B242	POD1_bez_listy - lwn	515,000	LC3.3	-0,31	10,00	1,50	-0,11
B242	POD1_bez_listy - lwn	515,000	LC3.4	0,34	-9,37	-1,26	0,11
B242	POD1_bez_listy - lwn	515,000	LC4.1	3,67	0,52	-0,26	-0,05
B242	POD1_bez_listy - lwn	515,000	LC4.2	12,14	1,50	-0,68	-0,17
B242	POD1_bez_listy - lwn	515,000	LC4.3	23,42	1,37	0,48	-0,34
B242	POD1_bez_listy - lwn	515,000	LC4.4	34,98	3,14	-1,14	-0,48
B242	POD1_bez_listy - lwn	515,000	LC4.5	34,72	-11,04	-9,72	-4,22
B242	POD1_bez_listy - lwn	515,000	LC5.1	-17,03	3,17	5,34	0,77
B242	POD1_bez_listy - lwn	515,000	LC5.2	17,36	-3,17	-5,32	-0,77
B242	POD1_bez_listy - lwn	620,000	LC1	3,17	-0,84	2,17	-0,01
B242	POD1_bez_listy - lwn	620,000	LC2	1,64	0,07	1,76	-0,01
B242	POD1_bez_listy - lwn	620,000	LC3.1	1,17	15,46	2,53	-0,11
B242	POD1_bez_listy - lwn	620,000	LC3.2	-1,17	-15,46	-2,53	0,11
B242	POD1_bez_listy - lwn	620,000	LC3.3	0,74	10,00	1,76	-0,06
B242	POD1_bez_listy - lwn	620,000	LC3.4	-0,71	-9,37	-1,53	0,07
B242	POD1_bez_listy - lwn	620,000	LC4.1	3,67	0,52	-0,21	-0,04
B242	POD1_bez_listy - lwn	620,000	LC4.2	12,14	1,50	-0,52	-0,13
B242	POD1_bez_listy - lwn	620,000	LC4.3	23,42	1,37	0,63	-0,25
B242	POD1_bez_listy - lwn	620,000	LC4.4	34,98	3,14	-0,81	-0,36
B242	POD1_bez_listy - lwn	620,000	LC4.5	34,72	-11,04	-10,88	-5,40
B242	POD1_bez_listy - lwn	620,000	LC5.1	-17,03	1,73	5,60	0,85
B242	POD1_bez_listy - lwn	620,000	LC5.2	17,36	-1,73	-5,58	-0,85
B242	POD1_bez_listy - lwn	725,000	LC1	3,17	-0,93	2,07	0,00
B242	POD1_bez_listy - lwn	725,000	LC2	1,64	-0,19	1,75	0,00
B242	POD1_bez_listy - lwn	725,000	LC3.1	2,91	15,46	2,98	-0,03
B242	POD1_bez_listy - lwn	725,000	LC3.2	-2,91	-15,46	-2,98	0,03
B242	POD1_bez_listy - lwn	725,000	LC3.3	1,79	10,00	2,02	-0,02
B242	POD1_bez_listy - lwn	725,000	LC3.4	-1,76	-9,37	-1,81	0,02
B242	POD1_bez_listy - lwn	725,000	LC4.1	3,67	0,52	-0,15	-0,03
B242	POD1_bez_listy - lwn	725,000	LC4.2	12,14	1,50	-0,36	-0,09
B242	POD1_bez_listy - lwn	725,000	LC4.3	23,42	1,37	0,77	-0,17
B242	POD1_bez_listy - lwn	725,000	LC4.4	34,98	3,14	-0,48	-0,25
B242	POD1_bez_listy - lwn	725,000	LC4.5	34,72	-11,04	-12,03	-6,59
B242	POD1_bez_listy - lwn	725,000	LC5.1	-17,03	0,29	5,71	0,89
B242	POD1_bez_listy - lwn	725,000	LC5.2	17,36	-0,29	-5,69	-0,89
B242	POD1_bez_listy - lwn	830,000	LC1	3,17	-1,02	1,97	0,01
B242	POD1_bez_listy - lwn	830,000	LC2	1,64	-0,46	1,72	0,01
B242	POD1_bez_listy - lwn	830,000	LC3.1	4,64	15,46	3,44	0,05
B242	POD1_bez_listy - lwn	830,000	LC3.2	-4,64	-15,46	-3,44	-0,05
B242	POD1_bez_listy - lwn	830,000	LC3.3	2,84	10,00	2,27	0,03
B242	POD1_bez_listy - lwn	830,000	LC3.4	-2,81	-9,37	-2,08	-0,03
B242	POD1_bez_listy - lwn	830,000	LC4.1	3,67	0,52	-0,10	-0,01
B242	POD1_bez_listy - lwn	830,000	LC4.2	12,14	1,50	-0,21	-0,04
B242	POD1_bez_listy - lwn	830,000	LC4.3	23,42	1,37	0,91	-0,09
B242	POD1_bez_listy - lwn	830,000	LC4.4	34,98	3,14	-0,15	-0,13
B242	POD1_bez_listy - lwn	830,000	LC4.5	34,72	-11,04	-13,19	-7,77
B242	POD1_bez_listy - lwn	830,000	LC5.1	-17,03	-1,15	5,66	0,88
B242	POD1_bez_listy - lwn	830,000	LC5.2	17,36	1,15	-5,64	-0,88
B242	POD1_bez_listy - lwn	830,001	LC1	3,17	-1,28	1,97	0,01
B242	POD1_bez_listy - lwn	830,001	LC2	1,64	-0,46	1,72	0,01
B242	POD1_bez_listy - lwn	830,001	LC3.1	4,64	15,46	3,44	0,05
B242	POD1_bez_listy - lwn	830,001	LC3.2	-4,64	-15,46	-3,44	-0,05
B242	POD1_bez_listy - lwn	830,001	LC3.3	2,84	10,00	2,27	0,03
B242	POD1_bez_listy - lwn	830,001	LC3.4	-2,81	-9,37	-2,08	-0,03
B242	POD1_bez_listy - lwn	830,001	LC4.1	3,67	0,52	-0,10	-0,01
B242	POD1_bez_listy - lwn	830,001	LC4.2	12,14	1,51	-0,21	-0,04
B242	POD1_bez_listy - lwn	830,001	LC4.3	23,42	1,38	0,91	-0,09
B242	POD1_bez_listy - lwn	830,001	LC4.4	34,98	3,16	-0,16	-0,13
B242	POD1_bez_listy - lwn	830,001	LC4.5	34,72	10,10	-13,19	-7,77
B242	POD1_bez_listy - lwn	830,001	LC5.1	-17,03	-1,15	5,66	0,88
B242	POD1_bez_listy - lwn	830,001	LC5.2	17,36	1,16	-5,64	-0,88
B242	POD1_bez_listy - lwn	855,000	LC1	3,17	-1,30	1,94	0,01
B242	POD1_bez_listy - lwn	855,000	LC2	1,64	-0,52	1,70	0,01
B242	POD1_bez_listy - lwn	855,000	LC3.1	5,05	15,46	3,55	0,07
B242	POD1_bez_listy - lwn	855,000	LC3.2	-5,05	-15,46	-3,55	-0,07
B242	POD1_bez_listy - lwn	855,000	LC3.3	3,09	10,00	2,33	0,04
B242	POD1_bez_listy - lwn	855,000	LC3.4	-3,06	-9,37	-2,15	-0,04
B242	POD1_bez_listy - lwn	855,000	LC4.1	3,67	0,52	-0,08	-0,01
B242	POD1_bez_listy - lwn	855,000	LC4.2	12,14	1,51	-0,17	-0,04
B242	POD1_bez_listy - lwn	855,000	LC4.3	23,42	1,38	0,95	-0,07
B242	POD1_bez_listy - lwn	855,000	LC4.4	34,98	3,16	-0,08	-0,10

Dilec	css	dx [mm]	Stav	N [kN]	Vz [kN]	My [kNm]	Mz [kNm]
B242	POD1_bez_listy - lwn	855,000	LC4.5	34,72	10,10	-12,94	-7,46
B242	POD1_bez_listy - lwn	855,000	LC5.1	-17,03	-1,50	5,63	0,87
B242	POD1_bez_listy - lwn	855,000	LC5.2	17,36	1,50	-5,61	-0,87
B242	POD1_bez_listy - lwn	855,001	LC1	3,17	-1,30	1,94	0,01
B242	POD1_bez_listy - lwn	855,001	LC2	1,64	-0,52	1,70	0,01
B242	POD1_bez_listy - lwn	855,001	LC3.1	5,05	15,46	3,55	0,07
B242	POD1_bez_listy - lwn	855,001	LC3.2	-5,05	-15,46	-3,55	-0,07
B242	POD1_bez_listy - lwn	855,001	LC3.3	3,09	10,00	2,33	0,04
B242	POD1_bez_listy - lwn	855,001	LC3.4	-3,06	-9,37	-2,15	-0,04
B242	POD1_bez_listy - lwn	855,001	LC4.1	3,67	0,52	-0,08	-0,01
B242	POD1_bez_listy - lwn	855,001	LC4.2	12,14	1,51	-0,17	-0,04
B242	POD1_bez_listy - lwn	855,001	LC4.3	23,42	1,38	0,95	-0,07
B242	POD1_bez_listy - lwn	855,001	LC4.4	34,98	3,16	-0,08	-0,10
B242	POD1_bez_listy - lwn	855,001	LC4.5	34,72	10,10	-12,94	-7,46
B242	POD1_bez_listy - lwn	855,001	LC5.1	-17,03	-1,50	5,63	0,87
B242	POD1_bez_listy - lwn	855,001	LC5.2	17,36	1,50	-5,61	-0,87
B242	POD1_bez_listy - lwn	880,000	LC1	3,17	-1,32	1,91	0,01
B242	POD1_bez_listy - lwn	880,000	LC2	1,64	-0,58	1,69	0,01
B242	POD1_bez_listy - lwn	880,000	LC3.1	5,46	15,46	3,65	0,09
B242	POD1_bez_listy - lwn	880,000	LC3.2	-5,46	-15,46	-3,65	-0,09
B242	POD1_bez_listy - lwn	880,000	LC3.3	3,34	10,00	2,39	0,06
B242	POD1_bez_listy - lwn	880,000	LC3.4	-3,31	-9,37	-2,21	-0,06
B242	POD1_bez_listy - lwn	880,000	LC4.1	3,67	0,52	-0,07	-0,01
B242	POD1_bez_listy - lwn	880,000	LC4.2	12,14	1,51	-0,13	-0,03
B242	POD1_bez_listy - lwn	880,000	LC4.3	23,42	1,38	0,98	-0,05
B242	POD1_bez_listy - lwn	880,000	LC4.4	34,98	3,16	0,00	-0,08
B242	POD1_bez_listy - lwn	880,000	LC4.5	34,72	10,10	-12,69	-7,15
B242	POD1_bez_listy - lwn	880,000	LC5.1	-17,03	-1,84	5,59	0,85
B242	POD1_bez_listy - lwn	880,000	LC5.2	17,36	1,84	-5,57	-0,85
B242	POD1_bez_listy - lwn	880,001	LC1	3,17	-1,32	1,91	0,01
B242	POD1_bez_listy - lwn	880,001	LC2	1,64	-0,58	1,69	0,01
B242	POD1_bez_listy - lwn	880,001	LC3.1	5,46	15,46	3,65	0,09
B242	POD1_bez_listy - lwn	880,001	LC3.2	-5,46	-15,46	-3,65	-0,09
B242	POD1_bez_listy - lwn	880,001	LC3.3	3,34	10,00	2,39	0,06
B242	POD1_bez_listy - lwn	880,001	LC3.4	-3,31	-9,37	-2,21	-0,06
B242	POD1_bez_listy - lwn	880,001	LC4.1	3,67	0,52	-0,07	-0,01
B242	POD1_bez_listy - lwn	880,001	LC4.2	12,14	1,51	-0,13	-0,03
B242	POD1_bez_listy - lwn	880,001	LC4.3	23,42	1,38	0,98	-0,05
B242	POD1_bez_listy - lwn	880,001	LC4.4	34,98	3,16	0,00	-0,08
B242	POD1_bez_listy - lwn	880,001	LC4.5	34,72	10,10	-12,69	-7,15
B242	POD1_bez_listy - lwn	880,001	LC5.1	-17,03	-1,84	5,59	0,85
B242	POD1_bez_listy - lwn	880,001	LC5.2	17,36	1,84	-5,57	-0,85
B242	POD1_bez_listy - lwn	998,750	LC1	3,17	-1,42	1,74	0,03
B242	POD1_bez_listy - lwn	998,750	LC2	1,64	-0,88	1,60	0,01
B242	POD1_bez_listy - lwn	998,750	LC3.1	7,42	15,46	4,17	0,19
B242	POD1_bez_listy - lwn	998,750	LC3.2	-7,42	-15,46	-4,17	-0,19
B242	POD1_bez_listy - lwn	998,750	LC3.3	4,53	10,00	2,68	0,11
B242	POD1_bez_listy - lwn	998,750	LC3.4	-4,50	-9,37	-2,52	-0,11
B242	POD1_bez_listy - lwn	998,750	LC4.1	3,67	0,52	-0,01	0,00
B242	POD1_bez_listy - lwn	998,750	LC4.2	12,14	1,51	0,05	0,02
B242	POD1_bez_listy - lwn	998,750	LC4.3	23,42	1,38	1,15	0,03
B242	POD1_bez_listy - lwn	998,750	LC4.4	34,98	3,16	0,38	0,04
B242	POD1_bez_listy - lwn	998,750	LC4.5	34,72	10,10	-11,49	-5,69
B242	POD1_bez_listy - lwn	998,750	LC5.1	-17,03	-3,47	5,27	0,75
B242	POD1_bez_listy - lwn	998,750	LC5.2	17,36	3,47	-5,25	-0,75
B242	POD1_bez_listy - lwn	1117,500	LC1	3,17	-1,52	1,57	0,04
B242	POD1_bez_listy - lwn	1117,500	LC2	1,64	-1,17	1,48	0,02
B242	POD1_bez_listy - lwn	1117,500	LC3.1	9,38	15,46	4,68	0,29
B242	POD1_bez_listy - lwn	1117,500	LC3.2	-9,38	-15,46	-4,68	-0,29
B242	POD1_bez_listy - lwn	1117,500	LC3.3	5,71	10,00	2,97	0,17
B242	POD1_bez_listy - lwn	1117,500	LC3.4	-5,69	-9,37	-2,84	-0,17
B242	POD1_bez_listy - lwn	1117,500	LC4.1	3,67	0,52	0,05	0,02
B242	POD1_bez_listy - lwn	1117,500	LC4.2	12,14	1,51	0,23	0,06
B242	POD1_bez_listy - lwn	1117,500	LC4.3	23,42	1,38	1,31	0,11
B242	POD1_bez_listy - lwn	1117,500	LC4.4	34,98	3,16	0,75	0,16
B242	POD1_bez_listy - lwn	1117,500	LC4.5	34,72	10,10	-10,29	-4,23
B242	POD1_bez_listy - lwn	1117,500	LC5.1	-17,03	-5,10	4,76	0,59
B242	POD1_bez_listy - lwn	1117,500	LC5.2	17,36	5,10	-4,74	-0,59
B242	POD1_bez_listy - lwn	1236,250	LC1	3,17	-1,62	1,38	0,05
B242	POD1_bez_listy - lwn	1236,250	LC2	1,64	-1,47	1,33	0,03
B242	POD1_bez_listy - lwn	1236,250	LC3.1	11,34	15,46	5,19	0,38
B242	POD1_bez_listy - lwn	1236,250	LC3.2	-11,34	-15,46	-5,19	-0,38
B242	POD1_bez_listy - lwn	1236,250	LC3.3	6,90	10,00	3,26	0,23
B242	POD1_bez_listy - lwn	1236,250	LC3.4	-6,87	-9,37	-3,15	-0,23
B242	POD1_bez_listy - lwn	1236,250	LC4.1	3,67	0,52	0,11	0,03
B242	POD1_bez_listy - lwn	1236,250	LC4.2	12,14	1,51	0,40	0,10

Dilec	css	dx [mm]	Stav	N [kN]	Vz [kN]	My [kNm]	Mz [kNm]
B242	POD1_bez_listy - lwn	1236,250	LC4.3	23,42	1,38	1,47	0,19
B242	POD1_bez_listy - lwn	1236,250	LC4.4	34,98	3,16	1,13	0,29
B242	POD1_bez_listy - lwn	1236,250	LC4.5	34,72	10,10	-9,09	-2,77
B242	POD1_bez_listy - lwn	1236,250	LC5.1	-17,03	-6,73	4,06	0,36
B242	POD1_bez_listy - lwn	1236,250	LC5.2	17,36	6,73	-4,04	-0,36
B242	POD1_bez_listy - lwn	1355,000	LC1	3,17	-1,72	1,18	0,06
B242	POD1_bez_listy - lwn	1355,000	LC2	1,64	-1,77	1,13	0,03
B242	POD1_bez_listy - lwn	1355,000	LC3.1	13,30	15,46	5,71	0,48
B242	POD1_bez_listy - lwn	1355,000	LC3.2	-13,30	-15,46	-5,71	-0,48
B242	POD1_bez_listy - lwn	1355,000	LC3.3	8,09	10,00	3,55	0,29
B242	POD1_bez_listy - lwn	1355,000	LC3.4	-8,06	-9,37	-3,46	-0,29
B242	POD1_bez_listy - lwn	1355,000	LC4.1	3,67	0,52	0,18	0,04
B242	POD1_bez_listy - lwn	1355,000	LC4.2	12,14	1,51	0,58	0,14
B242	POD1_bez_listy - lwn	1355,000	LC4.3	23,42	1,38	1,64	0,27
B242	POD1_bez_listy - lwn	1355,000	LC4.4	34,98	3,16	1,50	0,41
B242	POD1_bez_listy - lwn	1355,000	LC4.5	34,72	10,10	-7,89	-1,31
B242	POD1_bez_listy - lwn	1355,000	LC5.1	-17,03	-8,36	3,16	0,07
B242	POD1_bez_listy - lwn	1355,000	LC5.2	17,36	8,36	-3,14	-0,08
B242	POD1_bez_listy - lwn	1355,001	LC1	3,17	-1,72	1,18	0,06
B242	POD1_bez_listy - lwn	1355,001	LC2	1,64	-1,77	1,13	0,03
B242	POD1_bez_listy - lwn	1355,001	LC3.1	13,30	15,46	5,71	0,48
B242	POD1_bez_listy - lwn	1355,001	LC3.2	-13,30	-15,46	-5,71	-0,48
B242	POD1_bez_listy - lwn	1355,001	LC3.3	8,09	10,00	3,55	0,29
B242	POD1_bez_listy - lwn	1355,001	LC3.4	-8,06	-9,37	-3,46	-0,29
B242	POD1_bez_listy - lwn	1355,001	LC4.1	3,67	0,52	0,18	0,04
B242	POD1_bez_listy - lwn	1355,001	LC4.2	12,14	1,51	0,58	0,14
B242	POD1_bez_listy - lwn	1355,001	LC4.3	23,42	1,38	1,64	0,27
B242	POD1_bez_listy - lwn	1355,001	LC4.4	34,98	3,16	1,50	0,41
B242	POD1_bez_listy - lwn	1355,001	LC4.5	34,72	20,60	-7,89	-1,31
B242	POD1_bez_listy - lwn	1355,001	LC5.1	-17,03	-8,36	3,16	0,07
B242	POD1_bez_listy - lwn	1355,001	LC5.2	17,36	8,36	-3,14	-0,08
B242	POD1_bez_listy - lwn	1470,680	LC1	3,17	-1,82	0,98	0,07
B242	POD1_bez_listy - lwn	1470,680	LC2	1,64	-2,06	0,91	0,04
B242	POD1_bez_listy - lwn	1470,680	LC3.1	15,21	15,46	6,20	0,57
B242	POD1_bez_listy - lwn	1470,680	LC3.2	-15,21	-15,46	-6,20	-0,57
B242	POD1_bez_listy - lwn	1470,680	LC3.3	9,24	10,00	3,83	0,34
B242	POD1_bez_listy - lwn	1470,680	LC3.4	-9,22	-9,37	-3,76	-0,35
B242	POD1_bez_listy - lwn	1470,680	LC4.1	3,67	0,52	0,24	0,06
B242	POD1_bez_listy - lwn	1470,680	LC4.2	12,14	1,51	0,76	0,18
B242	POD1_bez_listy - lwn	1470,680	LC4.3	23,42	1,38	1,80	0,34
B242	POD1_bez_listy - lwn	1470,680	LC4.4	34,98	3,16	1,87	0,52
B242	POD1_bez_listy - lwn	1470,680	LC4.5	34,72	20,60	-5,51	1,55
B242	POD1_bez_listy - lwn	1470,680	LC5.1	-17,03	-9,95	2,10	-0,27
B242	POD1_bez_listy - lwn	1470,680	LC5.2	17,36	9,95	-2,08	0,27
B242	POD1_bez_listy - lwn	1470,681	LC1	3,19	-1,88	0,98	0,07
B242	POD1_bez_listy - lwn	1470,681	LC2	1,65	-2,06	0,91	0,04
B242	POD1_bez_listy - lwn	1470,681	LC3.1	15,20	15,46	6,20	0,57
B242	POD1_bez_listy - lwn	1470,681	LC3.2	-15,20	-15,46	-6,20	-0,57
B242	POD1_bez_listy - lwn	1470,681	LC3.3	9,24	10,00	3,83	0,34
B242	POD1_bez_listy - lwn	1470,681	LC3.4	-9,21	-9,37	-3,76	-0,35
B242	POD1_bez_listy - lwn	1470,681	LC4.1	4,16	0,52	0,32	0,06
B242	POD1_bez_listy - lwn	1470,681	LC4.2	13,48	1,51	0,99	0,18
B242	POD1_bez_listy - lwn	1470,681	LC4.3	25,30	1,38	2,12	0,34
B242	POD1_bez_listy - lwn	1470,681	LC4.4	36,79	3,16	2,18	0,52
B242	POD1_bez_listy - lwn	1470,681	LC4.5	36,07	20,60	-5,28	1,55
B242	POD1_bez_listy - lwn	1470,681	LC5.1	-18,06	-9,95	1,93	-0,27
B242	POD1_bez_listy - lwn	1470,681	LC5.2	18,39	9,95	-1,91	0,27
B242	POD1_bez_listy - lwn	1565,330	LC1	3,19	-1,96	0,80	0,08
B242	POD1_bez_listy - lwn	1565,330	LC2	1,65	-2,29	0,71	0,05
B242	POD1_bez_listy - lwn	1565,330	LC3.1	16,76	15,46	6,61	0,64
B242	POD1_bez_listy - lwn	1565,330	LC3.2	-16,76	-15,46	-6,61	-0,64
B242	POD1_bez_listy - lwn	1565,330	LC3.3	10,18	10,00	4,06	0,39
B242	POD1_bez_listy - lwn	1565,330	LC3.4	-10,16	-9,37	-4,01	-0,39
B242	POD1_bez_listy - lwn	1565,330	LC4.1	4,16	0,52	0,37	0,13
B242	POD1_bez_listy - lwn	1565,330	LC4.2	13,48	1,51	1,13	0,39
B242	POD1_bez_listy - lwn	1565,330	LC4.3	25,30	1,38	2,25	0,66
B242	POD1_bez_listy - lwn	1565,330	LC4.4	36,79	3,16	2,47	0,86
B242	POD1_bez_listy - lwn	1565,330	LC4.5	36,07	20,60	-3,33	4,08
B242	POD1_bez_listy - lwn	1565,330	LC5.1	-18,06	-11,25	0,93	-0,74
B242	POD1_bez_listy - lwn	1565,330	LC5.2	18,39	11,25	-0,90	0,73
B242	POD1_bez_listy - lwn	1565,350	LC1	3,19	-1,96	0,80	0,08
B242	POD1_bez_listy - lwn	1565,350	LC2	1,65	-2,29	0,71	0,05
B242	POD1_bez_listy - lwn	1565,350	LC3.1	16,76	15,46	6,61	0,64
B242	POD1_bez_listy - lwn	1565,350	LC3.2	-16,76	-15,46	-6,61	-0,64
B242	POD1_bez_listy - lwn	1565,350	LC3.3	10,18	10,00	4,06	0,39
B242	POD1_bez_listy - lwn	1565,350	LC3.4	-10,16	-9,37	-4,01	-0,39

Dilec	css	dx [mm]	Stav	N [kN]	Vz [kN]	My [kNm]	Mz [kNm]
B242	POD1_bez_listy - lwn	1565,350	LC4.1	4,16	0,52	0,37	0,13
B242	POD1_bez_listy - lwn	1565,350	LC4.2	13,48	1,51	1,13	0,39
B242	POD1_bez_listy - lwn	1565,350	LC4.3	25,30	1,38	2,25	0,66
B242	POD1_bez_listy - lwn	1565,350	LC4.4	36,79	3,16	2,47	0,86
B242	POD1_bez_listy - lwn	1565,350	LC4.5	36,07	20,60	-3,33	4,08
B242	POD1_bez_listy - lwn	1565,350	LC5.1	-18,06	-11,25	0,93	-0,74
B242	POD1_bez_listy - lwn	1565,350	LC5.2	18,39	11,25	-0,90	0,73
B242	POD1_bez_listy - lwn	1660,000	LC1	3,19	-2,04	0,61	0,10
B242	POD1_bez_listy - lwn	1660,000	LC2	1,65	-2,53	0,48	0,05
B242	POD1_bez_listy - lwn	1660,000	LC3.1	18,32	15,46	7,02	0,72
B242	POD1_bez_listy - lwn	1660,000	LC3.2	-18,32	-15,46	-7,02	-0,72
B242	POD1_bez_listy - lwn	1660,000	LC3.3	11,13	10,00	4,29	0,43
B242	POD1_bez_listy - lwn	1660,000	LC3.4	-11,10	-9,37	-4,25	-0,44
B242	POD1_bez_listy - lwn	1660,000	LC4.1	4,16	0,52	0,42	0,21
B242	POD1_bez_listy - lwn	1660,000	LC4.2	13,48	1,51	1,27	0,61
B242	POD1_bez_listy - lwn	1660,000	LC4.3	25,30	1,38	2,38	0,97
B242	POD1_bez_listy - lwn	1660,000	LC4.4	36,79	3,16	2,77	1,20
B242	POD1_bez_listy - lwn	1660,000	LC4.5	36,07	20,60	-1,38	6,61
B242	POD1_bez_listy - lwn	1660,000	LC5.1	-18,06	-12,55	-0,20	-1,24
B242	POD1_bez_listy - lwn	1660,000	LC5.2	18,39	12,55	0,22	1,23
B247	POD1_bez_listy - lwn	0,000	LC1	9,05	0,77	4,00	-0,01
B247	POD1_bez_listy - lwn	0,000	LC2	4,89	2,04	1,89	0,00
B247	POD1_bez_listy - lwn	0,000	LC3.1	2,00	13,68	-1,14	0,52
B247	POD1_bez_listy - lwn	0,000	LC3.2	-2,00	-13,68	1,14	-0,52
B247	POD1_bez_listy - lwn	0,000	LC3.3	1,31	8,32	-0,67	0,32
B247	POD1_bez_listy - lwn	0,000	LC3.4	-1,21	-8,29	0,69	-0,32
B247	POD1_bez_listy - lwn	0,000	LC4.1	-16,45	-0,24	0,71	-0,34
B247	POD1_bez_listy - lwn	0,000	LC4.2	-52,90	0,39	-0,66	-0,82
B247	POD1_bez_listy - lwn	0,000	LC4.3	-86,30	21,10	1,71	5,50
B247	POD1_bez_listy - lwn	0,000	LC4.4	-59,13	1,67	0,08	0,18
B247	POD1_bez_listy - lwn	0,000	LC4.5	-21,80	-0,67	0,28	0,07
B247	POD1_bez_listy - lwn	0,000	LC5.1	39,25	-11,59	-1,71	-0,38
B247	POD1_bez_listy - lwn	0,000	LC5.2	-39,11	11,58	1,71	0,38
B247	POD1_bez_listy - lwn	80,000	LC1	9,05	0,71	4,06	0,00
B247	POD1_bez_listy - lwn	80,000	LC2	4,89	1,84	2,05	0,00
B247	POD1_bez_listy - lwn	80,000	LC3.1	3,32	13,68	-1,04	0,48
B247	POD1_bez_listy - lwn	80,000	LC3.2	-3,32	-13,68	1,04	-0,48
B247	POD1_bez_listy - lwn	80,000	LC3.3	2,11	8,32	-0,61	0,29
B247	POD1_bez_listy - lwn	80,000	LC3.4	-2,01	-8,29	0,63	-0,29
B247	POD1_bez_listy - lwn	80,000	LC4.1	-16,45	-0,24	0,69	-0,29
B247	POD1_bez_listy - lwn	80,000	LC4.2	-52,90	0,39	-0,63	-0,71
B247	POD1_bez_listy - lwn	80,000	LC4.3	-86,30	21,10	3,40	3,55
B247	POD1_bez_listy - lwn	80,000	LC4.4	-59,13	1,67	0,21	0,12
B247	POD1_bez_listy - lwn	80,000	LC4.5	-21,80	-0,67	0,22	0,04
B247	POD1_bez_listy - lwn	80,000	LC5.1	39,25	-10,49	-2,59	-0,13
B247	POD1_bez_listy - lwn	80,000	LC5.2	-39,11	10,48	2,60	0,13
B247	POD1_bez_listy - lwn	80,001	LC1	9,05	0,71	4,06	0,00
B247	POD1_bez_listy - lwn	80,001	LC2	4,89	1,84	2,05	0,00
B247	POD1_bez_listy - lwn	80,001	LC3.1	3,32	13,68	-1,04	0,48
B247	POD1_bez_listy - lwn	80,001	LC3.2	-3,32	-13,68	1,04	-0,48
B247	POD1_bez_listy - lwn	80,001	LC3.3	2,11	8,32	-0,61	0,29
B247	POD1_bez_listy - lwn	80,001	LC3.4	-2,01	-8,29	0,63	-0,29
B247	POD1_bez_listy - lwn	80,001	LC4.1	-16,45	-0,24	0,69	-0,29
B247	POD1_bez_listy - lwn	80,001	LC4.2	-52,90	0,39	-0,63	-0,71
B247	POD1_bez_listy - lwn	80,001	LC4.3	-86,30	21,10	3,40	3,55
B247	POD1_bez_listy - lwn	80,001	LC4.4	-59,13	1,67	0,21	0,12
B247	POD1_bez_listy - lwn	80,001	LC4.5	-21,80	-0,67	0,22	0,04
B247	POD1_bez_listy - lwn	80,001	LC5.1	39,25	-10,49	-2,59	-0,13
B247	POD1_bez_listy - lwn	80,001	LC5.2	-39,11	10,48	2,60	0,13
B247	POD1_bez_listy - lwn	189,320	LC1	9,05	0,61	4,13	0,00
B247	POD1_bez_listy - lwn	189,320	LC2	4,89	1,56	2,23	0,00
B247	POD1_bez_listy - lwn	189,320	LC3.1	5,12	13,68	-0,91	0,41
B247	POD1_bez_listy - lwn	189,320	LC3.2	-5,12	-13,68	0,91	-0,41
B247	POD1_bez_listy - lwn	189,320	LC3.3	3,21	8,32	-0,52	0,25
B247	POD1_bez_listy - lwn	189,320	LC3.4	-3,10	-8,29	0,55	-0,25
B247	POD1_bez_listy - lwn	189,320	LC4.1	-16,45	-0,24	0,66	-0,22
B247	POD1_bez_listy - lwn	189,320	LC4.2	-52,90	0,39	-0,59	-0,55
B247	POD1_bez_listy - lwn	189,320	LC4.3	-86,30	21,10	5,71	0,87
B247	POD1_bez_listy - lwn	189,320	LC4.4	-59,13	1,67	0,39	0,04
B247	POD1_bez_listy - lwn	189,320	LC4.5	-21,80	-0,67	0,15	0,00
B247	POD1_bez_listy - lwn	189,320	LC5.1	39,25	-8,99	-3,65	0,17
B247	POD1_bez_listy - lwn	189,320	LC5.2	-39,11	8,98	3,66	-0,17
B247	POD1_bez_listy - lwn	189,321	LC1	9,01	0,55	4,12	0,00
B247	POD1_bez_listy - lwn	189,321	LC2	4,87	1,56	2,23	0,00
B247	POD1_bez_listy - lwn	189,321	LC3.1	5,11	13,68	-0,91	0,41
B247	POD1_bez_listy - lwn	189,321	LC3.2	-5,11	-13,68	0,91	-0,41

Dilec	css	dx [mm]	Stav	N [kN]	Vz [kN]	My [kNm]	Mz [kNm]
B247	POD1_bez_listy - lwn	189,321	LC3.3	3,20	8,32	-0,52	0,25
B247	POD1_bez_listy - lwn	189,321	LC3.4	-3,10	-8,29	0,55	-0,25
B247	POD1_bez_listy - lwn	189,321	LC4.1	-16,74	-0,24	0,61	-0,22
B247	POD1_bez_listy - lwn	189,321	LC4.2	-53,50	0,39	-0,69	-0,55
B247	POD1_bez_listy - lwn	189,321	LC4.3	-85,99	21,10	5,76	0,87
B247	POD1_bez_listy - lwn	189,321	LC4.4	-58,90	1,67	0,43	0,04
B247	POD1_bez_listy - lwn	189,321	LC4.5	-21,65	-0,67	0,17	0,00
B247	POD1_bez_listy - lwn	189,321	LC5.1	39,41	-8,99	-3,63	0,17
B247	POD1_bez_listy - lwn	189,321	LC5.2	-39,27	8,98	3,63	-0,17
B247	POD1_bez_listy - lwn	230,000	LC1	9,01	0,52	4,14	0,00
B247	POD1_bez_listy - lwn	230,000	LC2	4,87	1,46	2,29	0,00
B247	POD1_bez_listy - lwn	230,000	LC3.1	5,78	13,68	-0,87	0,38
B247	POD1_bez_listy - lwn	230,000	LC3.2	-5,78	-13,68	0,87	-0,38
B247	POD1_bez_listy - lwn	230,000	LC3.3	3,61	8,32	-0,49	0,23
B247	POD1_bez_listy - lwn	230,000	LC3.4	-3,50	-8,29	0,52	-0,23
B247	POD1_bez_listy - lwn	230,000	LC4.1	-16,74	-0,24	0,60	-0,21
B247	POD1_bez_listy - lwn	230,000	LC4.2	-53,50	0,39	-0,67	-0,53
B247	POD1_bez_listy - lwn	230,000	LC4.3	-85,99	21,10	6,62	-0,11
B247	POD1_bez_listy - lwn	230,000	LC4.4	-58,90	1,67	0,50	0,02
B247	POD1_bez_listy - lwn	230,000	LC4.5	-21,65	-0,67	0,15	-0,01
B247	POD1_bez_listy - lwn	230,000	LC5.1	39,41	-8,43	-3,98	0,28
B247	POD1_bez_listy - lwn	230,000	LC5.2	-39,27	8,42	3,99	-0,28
B247	POD1_bez_listy - lwn	230,001	LC1	9,01	0,52	4,14	0,00
B247	POD1_bez_listy - lwn	230,001	LC2	4,87	1,46	2,29	0,00
B247	POD1_bez_listy - lwn	230,001	LC3.1	5,78	13,68	-0,87	0,38
B247	POD1_bez_listy - lwn	230,001	LC3.2	-5,78	-13,68	0,87	-0,38
B247	POD1_bez_listy - lwn	230,001	LC3.3	3,61	8,32	-0,49	0,23
B247	POD1_bez_listy - lwn	230,001	LC3.4	-3,50	-8,29	0,52	-0,23
B247	POD1_bez_listy - lwn	230,001	LC4.1	-16,74	-0,24	0,60	-0,21
B247	POD1_bez_listy - lwn	230,001	LC4.2	-53,50	0,39	-0,67	-0,53
B247	POD1_bez_listy - lwn	230,001	LC4.3	-85,99	21,10	6,62	-0,11
B247	POD1_bez_listy - lwn	230,001	LC4.4	-58,90	1,67	0,50	0,02
B247	POD1_bez_listy - lwn	230,001	LC4.5	-21,65	-0,67	0,15	-0,01
B247	POD1_bez_listy - lwn	230,001	LC5.1	39,41	-8,43	-3,98	0,28
B247	POD1_bez_listy - lwn	230,001	LC5.2	-39,27	8,42	3,99	-0,28
B247	POD1_bez_listy - lwn	305,000	LC1	9,01	0,46	4,18	0,00
B247	POD1_bez_listy - lwn	305,000	LC2	4,87	1,27	2,39	0,00
B247	POD1_bez_listy - lwn	305,000	LC3.1	7,02	13,68	-0,78	0,33
B247	POD1_bez_listy - lwn	305,000	LC3.2	-7,02	-13,68	0,78	-0,33
B247	POD1_bez_listy - lwn	305,000	LC3.3	4,36	8,32	-0,43	0,20
B247	POD1_bez_listy - lwn	305,000	LC3.4	-4,25	-8,29	0,47	-0,20
B247	POD1_bez_listy - lwn	305,000	LC4.1	-16,74	-0,24	0,59	-0,19
B247	POD1_bez_listy - lwn	305,000	LC4.2	-53,50	0,39	-0,65	-0,48
B247	POD1_bez_listy - lwn	305,000	LC4.3	-85,99	21,10	8,20	-1,91
B247	POD1_bez_listy - lwn	305,000	LC4.4	-58,90	1,67	0,63	-0,01
B247	POD1_bez_listy - lwn	305,000	LC4.5	-21,65	-0,67	0,10	-0,02
B247	POD1_bez_listy - lwn	305,000	LC5.1	39,41	-7,40	-4,58	0,46
B247	POD1_bez_listy - lwn	305,000	LC5.2	-39,27	7,39	4,58	-0,46
B247	POD1_bez_listy - lwn	305,001	LC1	9,01	0,46	4,18	0,00
B247	POD1_bez_listy - lwn	305,001	LC2	4,87	1,27	2,39	0,00
B247	POD1_bez_listy - lwn	305,001	LC3.1	7,02	13,68	-0,78	0,33
B247	POD1_bez_listy - lwn	305,001	LC3.2	-7,02	-13,68	0,78	-0,33
B247	POD1_bez_listy - lwn	305,001	LC3.3	4,36	8,32	-0,43	0,20
B247	POD1_bez_listy - lwn	305,001	LC3.4	-4,25	-8,29	0,47	-0,20
B247	POD1_bez_listy - lwn	305,001	LC4.1	-16,74	-0,24	0,59	-0,19
B247	POD1_bez_listy - lwn	305,001	LC4.2	-53,50	0,39	-0,65	-0,48
B247	POD1_bez_listy - lwn	305,001	LC4.3	-85,99	10,60	8,20	-1,91
B247	POD1_bez_listy - lwn	305,001	LC4.4	-58,90	1,67	0,63	-0,01
B247	POD1_bez_listy - lwn	305,001	LC4.5	-21,65	-0,67	0,10	-0,02
B247	POD1_bez_listy - lwn	305,001	LC5.1	39,41	-7,40	-4,58	0,46
B247	POD1_bez_listy - lwn	305,001	LC5.2	-39,27	7,39	4,58	-0,46
B247	POD1_bez_listy - lwn	330,000	LC1	9,01	0,44	4,19	0,00
B247	POD1_bez_listy - lwn	330,000	LC2	4,87	1,21	2,42	0,00
B247	POD1_bez_listy - lwn	330,000	LC3.1	7,43	13,68	-0,75	0,32
B247	POD1_bez_listy - lwn	330,000	LC3.2	-7,43	-13,68	0,75	-0,32
B247	POD1_bez_listy - lwn	330,000	LC3.3	4,61	8,32	-0,42	0,19
B247	POD1_bez_listy - lwn	330,000	LC3.4	-4,50	-8,29	0,45	-0,19
B247	POD1_bez_listy - lwn	330,000	LC4.1	-16,74	-0,24	0,58	-0,19
B247	POD1_bez_listy - lwn	330,000	LC4.2	-53,50	0,39	-0,64	-0,47
B247	POD1_bez_listy - lwn	330,000	LC4.3	-85,99	10,60	8,47	-2,20
B247	POD1_bez_listy - lwn	330,000	LC4.4	-58,90	1,67	0,67	-0,02
B247	POD1_bez_listy - lwn	330,000	LC4.5	-21,65	-0,67	0,08	-0,02
B247	POD1_bez_listy - lwn	330,000	LC5.1	39,41	-7,06	-4,76	0,51
B247	POD1_bez_listy - lwn	330,000	LC5.2	-39,27	7,05	4,76	-0,51
B247	POD1_bez_listy - lwn	330,001	LC1	9,01	0,44	4,19	0,00
B247	POD1_bez_listy - lwn	330,001	LC2	4,87	1,21	2,42	0,00

Dilec	css	dx [mm]	Stav	N [kN]	Vz [kN]	My [kNm]	Mz [kNm]
B247	POD1_bez_listy - lwn	330,001	LC3.1	7,43	13,68	-0,75	0,32
B247	POD1_bez_listy - lwn	330,001	LC3.2	-7,43	-13,68	0,75	-0,32
B247	POD1_bez_listy - lwn	330,001	LC3.3	4,61	8,32	-0,42	0,19
B247	POD1_bez_listy - lwn	330,001	LC3.4	-4,50	-8,29	0,45	-0,19
B247	POD1_bez_listy - lwn	330,001	LC4.1	-16,74	-0,24	0,58	-0,19
B247	POD1_bez_listy - lwn	330,001	LC4.2	-53,50	0,39	-0,64	-0,47
B247	POD1_bez_listy - lwn	330,001	LC4.3	-85,99	10,60	8,47	-2,20
B247	POD1_bez_listy - lwn	330,001	LC4.4	-58,90	1,67	0,67	-0,02
B247	POD1_bez_listy - lwn	330,001	LC4.5	-21,65	-0,67	0,08	-0,02
B247	POD1_bez_listy - lwn	330,001	LC5.1	39,41	-7,06	-4,76	0,51
B247	POD1_bez_listy - lwn	330,001	LC5.2	-39,27	7,05	4,76	-0,51
B247	POD1_bez_listy - lwn	380,000	LC1	9,01	0,39	4,21	-0,01
B247	POD1_bez_listy - lwn	380,000	LC2	4,87	1,09	2,48	0,00
B247	POD1_bez_listy - lwn	380,000	LC3.1	8,26	13,68	-0,69	0,29
B247	POD1_bez_listy - lwn	380,000	LC3.2	-8,26	-13,68	0,69	-0,29
B247	POD1_bez_listy - lwn	380,000	LC3.3	5,11	8,32	-0,38	0,17
B247	POD1_bez_listy - lwn	380,000	LC3.4	-5,00	-8,29	0,42	-0,17
B247	POD1_bez_listy - lwn	380,000	LC4.1	-16,74	-0,24	0,57	-0,18
B247	POD1_bez_listy - lwn	380,000	LC4.2	-53,50	0,39	-0,62	-0,44
B247	POD1_bez_listy - lwn	380,000	LC4.3	-85,99	10,60	9,00	-2,78
B247	POD1_bez_listy - lwn	380,000	LC4.4	-58,90	1,67	0,75	-0,04
B247	POD1_bez_listy - lwn	380,000	LC4.5	-21,65	-0,67	0,05	-0,03
B247	POD1_bez_listy - lwn	380,000	LC5.1	39,41	-6,37	-5,09	0,61
B247	POD1_bez_listy - lwn	380,000	LC5.2	-39,27	6,36	5,09	-0,61
B247	POD1_bez_listy - lwn	380,001	LC1	9,01	0,39	4,21	-0,01
B247	POD1_bez_listy - lwn	380,001	LC2	4,87	1,09	2,48	0,00
B247	POD1_bez_listy - lwn	380,001	LC3.1	8,26	13,68	-0,69	0,29
B247	POD1_bez_listy - lwn	380,001	LC3.2	-8,26	-13,68	0,69	-0,29
B247	POD1_bez_listy - lwn	380,001	LC3.3	5,11	8,32	-0,38	0,17
B247	POD1_bez_listy - lwn	380,001	LC3.4	-5,00	-8,29	0,42	-0,17
B247	POD1_bez_listy - lwn	380,001	LC4.1	-16,74	-0,24	0,57	-0,18
B247	POD1_bez_listy - lwn	380,001	LC4.2	-53,50	0,39	-0,62	-0,44
B247	POD1_bez_listy - lwn	380,001	LC4.3	-85,99	10,60	9,00	-2,78
B247	POD1_bez_listy - lwn	380,001	LC4.4	-58,90	1,67	0,75	-0,04
B247	POD1_bez_listy - lwn	380,001	LC4.5	-21,65	-0,67	0,05	-0,03
B247	POD1_bez_listy - lwn	380,001	LC5.1	39,41	-6,37	-5,09	0,61
B247	POD1_bez_listy - lwn	380,001	LC5.2	-39,27	6,36	5,09	-0,61
B247	POD1_bez_listy - lwn	486,250	LC1	9,01	0,30	4,25	-0,01
B247	POD1_bez_listy - lwn	486,250	LC2	4,87	0,82	2,58	-0,01
B247	POD1_bez_listy - lwn	486,250	LC3.1	10,01	13,68	-0,56	0,22
B247	POD1_bez_listy - lwn	486,250	LC3.2	-10,01	-13,68	0,56	-0,22
B247	POD1_bez_listy - lwn	486,250	LC3.3	6,17	8,32	-0,30	0,13
B247	POD1_bez_listy - lwn	486,250	LC3.4	-6,07	-8,29	0,34	-0,13
B247	POD1_bez_listy - lwn	486,250	LC4.1	-16,74	-0,24	0,54	-0,15
B247	POD1_bez_listy - lwn	486,250	LC4.2	-53,50	0,39	-0,58	-0,37
B247	POD1_bez_listy - lwn	486,250	LC4.3	-85,99	10,60	10,12	-4,00
B247	POD1_bez_listy - lwn	486,250	LC4.4	-58,90	1,67	0,93	-0,08
B247	POD1_bez_listy - lwn	486,250	LC4.5	-21,65	-0,67	-0,03	-0,04
B247	POD1_bez_listy - lwn	486,250	LC5.1	39,41	-4,91	-5,69	0,79
B247	POD1_bez_listy - lwn	486,250	LC5.2	-39,27	4,90	5,69	-0,79
B247	POD1_bez_listy - lwn	592,500	LC1	9,01	0,21	4,28	-0,01
B247	POD1_bez_listy - lwn	592,500	LC2	4,87	0,55	2,66	-0,01
B247	POD1_bez_listy - lwn	592,500	LC3.1	11,76	13,68	-0,43	0,15
B247	POD1_bez_listy - lwn	592,500	LC3.2	-11,76	-13,68	0,43	-0,15
B247	POD1_bez_listy - lwn	592,500	LC3.3	7,23	8,32	-0,21	0,09
B247	POD1_bez_listy - lwn	592,500	LC3.4	-7,13	-8,29	0,26	-0,09
B247	POD1_bez_listy - lwn	592,500	LC4.1	-16,74	-0,24	0,52	-0,12
B247	POD1_bez_listy - lwn	592,500	LC4.2	-53,50	0,39	-0,53	-0,31
B247	POD1_bez_listy - lwn	592,500	LC4.3	-85,99	10,60	11,25	-5,23
B247	POD1_bez_listy - lwn	592,500	LC4.4	-58,90	1,67	1,11	-0,13
B247	POD1_bez_listy - lwn	592,500	LC4.5	-21,65	-0,67	-0,10	-0,05
B247	POD1_bez_listy - lwn	592,500	LC5.1	39,41	-3,45	-6,13	0,91
B247	POD1_bez_listy - lwn	592,500	LC5.2	-39,27	3,44	6,14	-0,91
B247	POD1_bez_listy - lwn	698,750	LC1	9,01	0,12	4,29	-0,01
B247	POD1_bez_listy - lwn	698,750	LC2	4,87	0,29	2,70	-0,01
B247	POD1_bez_listy - lwn	698,750	LC3.1	13,52	13,68	-0,30	0,08
B247	POD1_bez_listy - lwn	698,750	LC3.2	-13,52	-13,68	0,30	-0,08
B247	POD1_bez_listy - lwn	698,750	LC3.3	8,29	8,32	-0,13	0,05
B247	POD1_bez_listy - lwn	698,750	LC3.4	-8,19	-8,29	0,18	-0,05
B247	POD1_bez_listy - lwn	698,750	LC4.1	-16,74	-0,24	0,49	-0,10
B247	POD1_bez_listy - lwn	698,750	LC4.2	-53,50	0,39	-0,49	-0,25
B247	POD1_bez_listy - lwn	698,750	LC4.3	-85,99	10,60	12,38	-6,45
B247	POD1_bez_listy - lwn	698,750	LC4.4	-58,90	1,67	1,28	-0,17
B247	POD1_bez_listy - lwn	698,750	LC4.5	-21,65	-0,67	-0,17	-0,07
B247	POD1_bez_listy - lwn	698,750	LC5.1	39,41	-1,99	-6,42	0,98
B247	POD1_bez_listy - lwn	698,750	LC5.2	-39,27	1,99	6,43	-0,98

Dilec	css	dx [mm]	Stav	N [kN]	Vz [kN]	My [kNm]	Mz [kNm]
B247	POD1_bez_listy - lwn	805,000	LC1	9,01	0,03	4,30	-0,02
B247	POD1_bez_listy - lwn	805,000	LC2	4,87	0,02	2,72	-0,01
B247	POD1_bez_listy - lwn	805,000	LC3.1	15,27	13,68	-0,17	0,02
B247	POD1_bez_listy - lwn	805,000	LC3.2	-15,27	-13,68	0,17	-0,02
B247	POD1_bez_listy - lwn	805,000	LC3.3	9,36	8,32	-0,05	0,01
B247	POD1_bez_listy - lwn	805,000	LC3.4	-9,25	-8,29	0,11	-0,01
B247	POD1_bez_listy - lwn	805,000	LC4.1	-16,74	-0,24	0,47	-0,07
B247	POD1_bez_listy - lwn	805,000	LC4.2	-53,50	0,39	-0,45	-0,18
B247	POD1_bez_listy - lwn	805,000	LC4.3	-85,99	10,60	13,50	-7,68
B247	POD1_bez_listy - lwn	805,000	LC4.4	-58,90	1,67	1,46	-0,21
B247	POD1_bez_listy - lwn	805,000	LC4.5	-21,65	-0,67	-0,24	-0,08
B247	POD1_bez_listy - lwn	805,000	LC5.1	39,41	-0,53	-6,56	1,00
B247	POD1_bez_listy - lwn	805,000	LC5.2	-39,27	0,53	6,56	-1,00
B247	POD1_bez_listy - lwn	805,001	LC1	9,01	0,03	4,30	-0,02
B247	POD1_bez_listy - lwn	805,001	LC2	4,87	0,02	2,72	-0,01
B247	POD1_bez_listy - lwn	805,001	LC3.1	15,27	13,68	-0,17	0,02
B247	POD1_bez_listy - lwn	805,001	LC3.2	-15,27	-13,68	0,17	-0,02
B247	POD1_bez_listy - lwn	805,001	LC3.3	9,36	8,32	-0,05	0,01
B247	POD1_bez_listy - lwn	805,001	LC3.4	-9,25	-8,29	0,11	-0,01
B247	POD1_bez_listy - lwn	805,001	LC4.1	-16,74	-0,24	0,47	-0,07
B247	POD1_bez_listy - lwn	805,001	LC4.2	-53,50	0,39	-0,45	-0,18
B247	POD1_bez_listy - lwn	805,001	LC4.3	-85,99	10,60	13,50	-7,68
B247	POD1_bez_listy - lwn	805,001	LC4.4	-58,90	1,67	1,46	-0,21
B247	POD1_bez_listy - lwn	805,001	LC4.5	-21,65	-0,67	-0,24	-0,08
B247	POD1_bez_listy - lwn	805,001	LC5.1	39,41	-0,53	-6,56	1,00
B247	POD1_bez_listy - lwn	805,001	LC5.2	-39,27	0,53	6,56	-1,00
B247	POD1_bez_listy - lwn	830,000	LC1	9,01	0,01	4,30	-0,02
B247	POD1_bez_listy - lwn	830,000	LC2	4,87	-0,04	2,72	-0,01
B247	POD1_bez_listy - lwn	830,000	LC3.1	15,68	13,68	-0,14	0,00
B247	POD1_bez_listy - lwn	830,000	LC3.2	-15,68	-13,68	0,14	0,00
B247	POD1_bez_listy - lwn	830,000	LC3.3	9,61	8,32	-0,03	0,00
B247	POD1_bez_listy - lwn	830,000	LC3.4	-9,50	-8,29	0,09	0,00
B247	POD1_bez_listy - lwn	830,000	LC4.1	-16,74	-0,24	0,46	-0,06
B247	POD1_bez_listy - lwn	830,000	LC4.2	-53,50	0,39	-0,44	-0,17
B247	POD1_bez_listy - lwn	830,000	LC4.3	-85,99	10,60	13,77	-7,97
B247	POD1_bez_listy - lwn	830,000	LC4.4	-58,90	1,67	1,50	-0,22
B247	POD1_bez_listy - lwn	830,000	LC4.5	-21,65	-0,67	-0,26	-0,09
B247	POD1_bez_listy - lwn	830,000	LC5.1	39,41	-0,19	-6,57	1,00
B247	POD1_bez_listy - lwn	830,000	LC5.2	-39,27	0,18	6,57	-1,00
B247	POD1_bez_listy - lwn	830,001	LC1	9,01	-0,25	4,30	-0,02
B247	POD1_bez_listy - lwn	830,001	LC2	4,87	-0,04	2,72	-0,01
B247	POD1_bez_listy - lwn	830,001	LC3.1	15,68	13,68	-0,14	0,00
B247	POD1_bez_listy - lwn	830,001	LC3.2	-15,68	-13,68	0,14	0,00
B247	POD1_bez_listy - lwn	830,001	LC3.3	9,60	8,32	-0,03	0,00
B247	POD1_bez_listy - lwn	830,001	LC3.4	-9,50	-8,29	0,09	0,00
B247	POD1_bez_listy - lwn	830,001	LC4.1	-16,74	-0,25	0,46	-0,06
B247	POD1_bez_listy - lwn	830,001	LC4.2	-53,50	0,36	-0,44	-0,17
B247	POD1_bez_listy - lwn	830,001	LC4.3	-85,99	-10,57	13,77	-7,97
B247	POD1_bez_listy - lwn	830,001	LC4.4	-58,90	1,64	1,50	-0,22
B247	POD1_bez_listy - lwn	830,001	LC4.5	-21,65	-0,69	-0,26	-0,09
B247	POD1_bez_listy - lwn	830,001	LC5.1	39,41	-0,17	-6,57	1,00
B247	POD1_bez_listy - lwn	830,001	LC5.2	-39,27	0,16	6,57	-1,00
B247	POD1_bez_listy - lwn	880,000	LC1	9,01	-0,29	4,29	-0,02
B247	POD1_bez_listy - lwn	880,000	LC2	4,87	-0,16	2,71	-0,01
B247	POD1_bez_listy - lwn	880,000	LC3.1	16,50	13,68	-0,08	-0,03
B247	POD1_bez_listy - lwn	880,000	LC3.2	-16,50	-13,68	0,08	0,03
B247	POD1_bez_listy - lwn	880,000	LC3.3	10,10	8,32	0,00	-0,02
B247	POD1_bez_listy - lwn	880,000	LC3.4	-10,00	-8,29	0,05	0,02
B247	POD1_bez_listy - lwn	880,000	LC4.1	-16,74	-0,25	0,45	-0,06
B247	POD1_bez_listy - lwn	880,000	LC4.2	-53,50	0,36	-0,42	-0,15
B247	POD1_bez_listy - lwn	880,000	LC4.3	-85,99	-10,57	13,24	-7,39
B247	POD1_bez_listy - lwn	880,000	LC4.4	-58,90	1,64	1,58	-0,26
B247	POD1_bez_listy - lwn	880,000	LC4.5	-21,65	-0,69	-0,29	-0,10
B247	POD1_bez_listy - lwn	880,000	LC5.1	39,41	0,52	-6,56	1,00
B247	POD1_bez_listy - lwn	880,000	LC5.2	-39,27	-0,52	6,56	-1,00
B247	POD1_bez_listy - lwn	880,001	LC1	9,01	-0,29	4,29	-0,02
B247	POD1_bez_listy - lwn	880,001	LC2	4,87	-0,16	2,71	-0,01
B247	POD1_bez_listy - lwn	880,001	LC3.1	16,50	13,68	-0,08	-0,03
B247	POD1_bez_listy - lwn	880,001	LC3.2	-16,50	-13,68	0,08	0,03
B247	POD1_bez_listy - lwn	880,001	LC3.3	10,10	8,32	0,00	-0,02
B247	POD1_bez_listy - lwn	880,001	LC3.4	-10,00	-8,29	0,05	0,02
B247	POD1_bez_listy - lwn	880,001	LC4.1	-16,74	-0,25	0,45	-0,06
B247	POD1_bez_listy - lwn	880,001	LC4.2	-53,50	0,36	-0,42	-0,15
B247	POD1_bez_listy - lwn	880,001	LC4.3	-85,99	-10,57	13,24	-7,39
B247	POD1_bez_listy - lwn	880,001	LC4.4	-58,90	1,64	1,58	-0,26
B247	POD1_bez_listy - lwn	880,001	LC4.5	-21,65	-0,69	-0,29	-0,10

Dilec	css	dx [mm]	Stav	N [kN]	Vz [kN]	My [kNm]	Mz [kNm]
B247	POD1_bez_listy - lwn	880,001	LC5.1	39,41	0,52	-6,56	1,00
B247	POD1_bez_listy - lwn	880,001	LC5.2	-39,27	-0,52	6,56	-1,00
B247	POD1_bez_listy - lwn	998,750	LC1	9,01	-0,39	4,25	-0,02
B247	POD1_bez_listy - lwn	998,750	LC2	4,87	-0,46	2,67	-0,01
B247	POD1_bez_listy - lwn	998,750	LC3.1	18,46	13,68	0,06	-0,10
B247	POD1_bez_listy - lwn	998,750	LC3.2	-18,46	-13,68	-0,06	0,10
B247	POD1_bez_listy - lwn	998,750	LC3.3	11,29	8,32	0,10	-0,06
B247	POD1_bez_listy - lwn	998,750	LC3.4	-11,19	-8,29	-0,04	0,06
B247	POD1_bez_listy - lwn	998,750	LC4.1	-16,74	-0,25	0,42	-0,04
B247	POD1_bez_listy - lwn	998,750	LC4.2	-53,50	0,36	-0,38	-0,12
B247	POD1_bez_listy - lwn	998,750	LC4.3	-85,99	-10,57	11,98	-6,01
B247	POD1_bez_listy - lwn	998,750	LC4.4	-58,90	1,64	1,78	-0,34
B247	POD1_bez_listy - lwn	998,750	LC4.5	-21,65	-0,69	-0,37	-0,13
B247	POD1_bez_listy - lwn	998,750	LC5.1	39,41	2,15	-6,40	0,95
B247	POD1_bez_listy - lwn	998,750	LC5.2	-39,27	-2,15	6,40	-0,95
B247	POD1_bez_listy - lwn	1117,500	LC1	9,01	-0,49	4,20	-0,02
B247	POD1_bez_listy - lwn	1117,500	LC2	4,87	-0,76	2,60	-0,01
B247	POD1_bez_listy - lwn	1117,500	LC3.1	20,42	13,68	0,20	-0,17
B247	POD1_bez_listy - lwn	1117,500	LC3.2	-20,42	-13,68	-0,20	0,17
B247	POD1_bez_listy - lwn	1117,500	LC3.3	12,48	8,32	0,19	-0,11
B247	POD1_bez_listy - lwn	1117,500	LC3.4	-12,38	-8,29	-0,12	0,11
B247	POD1_bez_listy - lwn	1117,500	LC4.1	-16,74	-0,25	0,39	-0,02
B247	POD1_bez_listy - lwn	1117,500	LC4.2	-53,50	0,36	-0,34	-0,08
B247	POD1_bez_listy - lwn	1117,500	LC4.3	-85,99	-10,57	10,73	-4,63
B247	POD1_bez_listy - lwn	1117,500	LC4.4	-58,90	1,64	1,97	-0,43
B247	POD1_bez_listy - lwn	1117,500	LC4.5	-21,65	-0,69	-0,45	-0,17
B247	POD1_bez_listy - lwn	1117,500	LC5.1	39,41	3,78	-6,05	0,83
B247	POD1_bez_listy - lwn	1117,500	LC5.2	-39,27	-3,78	6,05	-0,83
B247	POD1_bez_listy - lwn	1236,250	LC1	9,01	-0,59	4,13	-0,01
B247	POD1_bez_listy - lwn	1236,250	LC2	4,87	-1,05	2,49	-0,01
B247	POD1_bez_listy - lwn	1236,250	LC3.1	22,38	13,68	0,34	-0,25
B247	POD1_bez_listy - lwn	1236,250	LC3.2	-22,38	-13,68	-0,34	0,25
B247	POD1_bez_listy - lwn	1236,250	LC3.3	13,67	8,32	0,28	-0,15
B247	POD1_bez_listy - lwn	1236,250	LC3.4	-13,56	-8,29	-0,21	0,15
B247	POD1_bez_listy - lwn	1236,250	LC4.1	-16,74	-0,25	0,36	0,00
B247	POD1_bez_listy - lwn	1236,250	LC4.2	-53,50	0,36	-0,30	-0,04
B247	POD1_bez_listy - lwn	1236,250	LC4.3	-85,99	-10,57	9,47	-3,25
B247	POD1_bez_listy - lwn	1236,250	LC4.4	-58,90	1,64	2,17	-0,51
B247	POD1_bez_listy - lwn	1236,250	LC4.5	-21,65	-0,69	-0,54	-0,20
B247	POD1_bez_listy - lwn	1236,250	LC5.1	39,41	5,41	-5,50	0,65
B247	POD1_bez_listy - lwn	1236,250	LC5.2	-39,27	-5,41	5,50	-0,65
B247	POD1_bez_listy - lwn	1355,000	LC1	9,01	-0,69	4,05	-0,01
B247	POD1_bez_listy - lwn	1355,000	LC2	4,87	-1,35	2,35	-0,01
B247	POD1_bez_listy - lwn	1355,000	LC3.1	24,34	13,68	0,49	-0,32
B247	POD1_bez_listy - lwn	1355,000	LC3.2	-24,34	-13,68	-0,49	0,32
B247	POD1_bez_listy - lwn	1355,000	LC3.3	14,85	8,32	0,37	-0,19
B247	POD1_bez_listy - lwn	1355,000	LC3.4	-14,75	-8,29	-0,29	0,19
B247	POD1_bez_listy - lwn	1355,000	LC4.1	-16,74	-0,25	0,33	0,02
B247	POD1_bez_listy - lwn	1355,000	LC4.2	-53,50	0,36	-0,26	-0,01
B247	POD1_bez_listy - lwn	1355,000	LC4.3	-85,99	-10,57	8,22	-1,87
B247	POD1_bez_listy - lwn	1355,000	LC4.4	-58,90	1,64	2,36	-0,60
B247	POD1_bez_listy - lwn	1355,000	LC4.5	-21,65	-0,69	-0,62	-0,24
B247	POD1_bez_listy - lwn	1355,000	LC5.1	39,41	7,04	-4,76	0,41
B247	POD1_bez_listy - lwn	1355,000	LC5.2	-39,27	-7,04	4,76	-0,41
B247	POD1_bez_listy - lwn	1355,001	LC1	9,01	-0,69	4,05	-0,01
B247	POD1_bez_listy - lwn	1355,001	LC2	4,87	-1,35	2,35	-0,01
B247	POD1_bez_listy - lwn	1355,001	LC3.1	24,34	13,68	0,49	-0,32
B247	POD1_bez_listy - lwn	1355,001	LC3.2	-24,34	-13,68	-0,49	0,32
B247	POD1_bez_listy - lwn	1355,001	LC3.3	14,85	8,32	0,37	-0,19
B247	POD1_bez_listy - lwn	1355,001	LC3.4	-14,75	-8,29	-0,29	0,19
B247	POD1_bez_listy - lwn	1355,001	LC4.1	-16,74	-0,25	0,33	0,02
B247	POD1_bez_listy - lwn	1355,001	LC4.2	-53,50	0,36	-0,26	-0,01
B247	POD1_bez_listy - lwn	1355,001	LC4.3	-85,99	-21,07	8,22	-1,87
B247	POD1_bez_listy - lwn	1355,001	LC4.4	-58,90	1,64	2,36	-0,60
B247	POD1_bez_listy - lwn	1355,001	LC4.5	-21,65	-0,69	-0,62	-0,24
B247	POD1_bez_listy - lwn	1355,001	LC5.1	39,41	7,04	-4,76	0,41
B247	POD1_bez_listy - lwn	1355,001	LC5.2	-39,27	-7,04	4,76	-0,41
B247	POD1_bez_listy - lwn	1380,000	LC1	9,01	-0,71	4,04	-0,01
B247	POD1_bez_listy - lwn	1380,000	LC2	4,87	-1,41	2,32	-0,01
B247	POD1_bez_listy - lwn	1380,000	LC3.1	24,75	13,68	0,52	-0,33
B247	POD1_bez_listy - lwn	1380,000	LC3.2	-24,75	-13,68	-0,52	0,33
B247	POD1_bez_listy - lwn	1380,000	LC3.3	15,10	8,32	0,39	-0,20
B247	POD1_bez_listy - lwn	1380,000	LC3.4	-15,00	-8,29	-0,31	0,20
B247	POD1_bez_listy - lwn	1380,000	LC4.1	-16,74	-0,25	0,32	0,02
B247	POD1_bez_listy - lwn	1380,000	LC4.2	-53,50	0,36	-0,25	0,00
B247	POD1_bez_listy - lwn	1380,000	LC4.3	-85,99	-21,07	7,69	-1,27

Dilec	css	dx [mm]	Stav	N [kN]	Vz [kN]	My [kNm]	Mz [kNm]
B247	POD1_bez_listy - lwn	1380,000	LC4.4	-58,90	1,64	2,40	-0,62
B247	POD1_bez_listy - lwn	1380,000	LC4.5	-21,65	-0,69	-0,64	-0,24
B247	POD1_bez_listy - lwn	1380,000	LC5.1	39,41	7,38	-4,58	0,35
B247	POD1_bez_listy - lwn	1380,000	LC5.2	-39,27	-7,39	4,58	-0,35
B247	POD1_bez_listy - lwn	1380,001	LC1	9,01	-0,71	4,04	-0,01
B247	POD1_bez_listy - lwn	1380,001	LC2	4,87	-1,41	2,32	-0,01
B247	POD1_bez_listy - lwn	1380,001	LC3.1	24,75	13,68	0,52	-0,33
B247	POD1_bez_listy - lwn	1380,001	LC3.2	-24,75	-13,68	-0,52	0,33
B247	POD1_bez_listy - lwn	1380,001	LC3.3	15,10	8,32	0,39	-0,20
B247	POD1_bez_listy - lwn	1380,001	LC3.4	-15,00	-8,29	-0,31	0,20
B247	POD1_bez_listy - lwn	1380,001	LC4.1	-16,74	-0,25	0,32	0,02
B247	POD1_bez_listy - lwn	1380,001	LC4.2	-53,50	0,36	-0,25	0,00
B247	POD1_bez_listy - lwn	1380,001	LC4.3	-85,99	-21,07	7,69	-1,27
B247	POD1_bez_listy - lwn	1380,001	LC4.4	-58,90	1,64	2,40	-0,62
B247	POD1_bez_listy - lwn	1380,001	LC4.5	-21,65	-0,69	-0,64	-0,24
B247	POD1_bez_listy - lwn	1380,001	LC5.1	39,41	7,38	-4,58	0,35
B247	POD1_bez_listy - lwn	1380,001	LC5.2	-39,27	-7,39	4,58	-0,35
B247	POD1_bez_listy - lwn	1430,000	LC1	9,01	-0,76	4,00	-0,01
B247	POD1_bez_listy - lwn	1430,000	LC2	4,87	-1,54	2,24	-0,01
B247	POD1_bez_listy - lwn	1430,000	LC3.1	25,58	13,68	0,58	-0,36
B247	POD1_bez_listy - lwn	1430,000	LC3.2	-25,58	-13,68	-0,58	0,36
B247	POD1_bez_listy - lwn	1430,000	LC3.3	15,60	8,32	0,43	-0,22
B247	POD1_bez_listy - lwn	1430,000	LC3.4	-15,50	-8,29	-0,35	0,22
B247	POD1_bez_listy - lwn	1430,000	LC4.1	-16,74	-0,25	0,31	0,03
B247	POD1_bez_listy - lwn	1430,000	LC4.2	-53,50	0,36	-0,23	0,02
B247	POD1_bez_listy - lwn	1430,000	LC4.3	-85,99	-21,07	6,64	-0,07
B247	POD1_bez_listy - lwn	1430,000	LC4.4	-58,90	1,64	2,48	-0,65
B247	POD1_bez_listy - lwn	1430,000	LC4.5	-21,65	-0,69	-0,67	-0,26
B247	POD1_bez_listy - lwn	1430,000	LC5.1	39,41	8,07	-4,20	0,23
B247	POD1_bez_listy - lwn	1430,000	LC5.2	-39,27	-8,07	4,19	-0,23
B247	POD1_bez_listy - lwn	1430,001	LC1	9,01	-0,76	4,00	-0,01
B247	POD1_bez_listy - lwn	1430,001	LC2	4,87	-1,54	2,24	-0,01
B247	POD1_bez_listy - lwn	1430,001	LC3.1	25,58	13,68	0,58	-0,36
B247	POD1_bez_listy - lwn	1430,001	LC3.2	-25,58	-13,68	-0,58	0,36
B247	POD1_bez_listy - lwn	1430,001	LC3.3	15,60	8,32	0,43	-0,22
B247	POD1_bez_listy - lwn	1430,001	LC3.4	-15,50	-8,29	-0,35	0,22
B247	POD1_bez_listy - lwn	1430,001	LC4.1	-16,74	-0,25	0,31	0,03
B247	POD1_bez_listy - lwn	1430,001	LC4.2	-53,50	0,36	-0,23	0,02
B247	POD1_bez_listy - lwn	1430,001	LC4.3	-85,99	-21,07	6,64	-0,07
B247	POD1_bez_listy - lwn	1430,001	LC4.4	-58,90	1,64	2,48	-0,65
B247	POD1_bez_listy - lwn	1430,001	LC4.5	-21,65	-0,69	-0,67	-0,26
B247	POD1_bez_listy - lwn	1430,001	LC5.1	39,41	8,07	-4,20	0,23
B247	POD1_bez_listy - lwn	1430,001	LC5.2	-39,27	-8,07	4,19	-0,23
B247	POD1_bez_listy - lwn	1470,680	LC1	9,01	-0,79	3,97	-0,01
B247	POD1_bez_listy - lwn	1470,680	LC2	4,87	-1,64	2,18	-0,01
B247	POD1_bez_listy - lwn	1470,680	LC3.1	26,25	13,68	0,63	-0,39
B247	POD1_bez_listy - lwn	1470,680	LC3.2	-26,25	-13,68	-0,63	0,39
B247	POD1_bez_listy - lwn	1470,680	LC3.3	16,01	8,32	0,46	-0,24
B247	POD1_bez_listy - lwn	1470,680	LC3.4	-15,91	-8,29	-0,38	0,23
B247	POD1_bez_listy - lwn	1470,680	LC4.1	-16,74	-0,25	0,30	0,03
B247	POD1_bez_listy - lwn	1470,680	LC4.2	-53,50	0,36	-0,21	0,03
B247	POD1_bez_listy - lwn	1470,680	LC4.3	-85,99	-21,07	5,78	0,91
B247	POD1_bez_listy - lwn	1470,680	LC4.4	-58,90	1,64	2,55	-0,68
B247	POD1_bez_listy - lwn	1470,680	LC4.5	-21,65	-0,69	-0,70	-0,27
B247	POD1_bez_listy - lwn	1470,680	LC5.1	39,41	8,63	-3,86	0,12
B247	POD1_bez_listy - lwn	1470,680	LC5.2	-39,27	-8,63	3,85	-0,11
B247	POD1_bez_listy - lwn	1470,681	LC1	9,05	-0,85	3,98	-0,01
B247	POD1_bez_listy - lwn	1470,681	LC2	4,89	-1,64	2,18	-0,01
B247	POD1_bez_listy - lwn	1470,681	LC3.1	26,28	13,68	0,63	-0,39
B247	POD1_bez_listy - lwn	1470,681	LC3.2	-26,28	-13,68	-0,63	0,39
B247	POD1_bez_listy - lwn	1470,681	LC3.3	16,03	8,32	0,46	-0,24
B247	POD1_bez_listy - lwn	1470,681	LC3.4	-15,93	-8,29	-0,38	0,23
B247	POD1_bez_listy - lwn	1470,681	LC4.1	-17,09	-0,25	0,24	0,03
B247	POD1_bez_listy - lwn	1470,681	LC4.2	-54,32	0,36	-0,35	0,03
B247	POD1_bez_listy - lwn	1470,681	LC4.3	-87,01	-21,07	5,60	0,91
B247	POD1_bez_listy - lwn	1470,681	LC4.4	-58,89	1,64	2,55	-0,68
B247	POD1_bez_listy - lwn	1470,681	LC4.5	-21,61	-0,69	-0,69	-0,27
B247	POD1_bez_listy - lwn	1470,681	LC5.1	39,72	8,63	-3,81	0,12
B247	POD1_bez_listy - lwn	1470,681	LC5.2	-39,58	-8,63	3,80	-0,11
B247	POD1_bez_listy - lwn	1505,000	LC1	9,05	-0,88	3,95	-0,01
B247	POD1_bez_listy - lwn	1505,000	LC2	4,89	-1,73	2,12	-0,01
B247	POD1_bez_listy - lwn	1505,000	LC3.1	26,84	13,68	0,67	-0,41
B247	POD1_bez_listy - lwn	1505,000	LC3.2	-26,84	-13,68	-0,67	0,41
B247	POD1_bez_listy - lwn	1505,000	LC3.3	16,37	8,32	0,49	-0,25
B247	POD1_bez_listy - lwn	1505,000	LC3.4	-16,27	-8,29	-0,41	0,25
B247	POD1_bez_listy - lwn	1505,000	LC4.1	-17,09	-0,25	0,23	0,06

Dilec	css	dx [mm]	Stav	N [kN]	Vz [kN]	My [kNm]	Mz [kNm]
B247	POD1_bez_listy - lwn	1505,000	LC4.2	-54,32	0,36	-0,34	0,08
B247	POD1_bez_listy - lwn	1505,000	LC4.3	-87,01	-21,07	4,88	1,79
B247	POD1_bez_listy - lwn	1505,000	LC4.4	-58,89	1,64	2,61	-0,71
B247	POD1_bez_listy - lwn	1505,000	LC4.5	-21,61	-0,69	-0,72	-0,28
B247	POD1_bez_listy - lwn	1505,000	LC5.1	39,72	9,10	-3,50	0,00
B247	POD1_bez_listy - lwn	1505,000	LC5.2	-39,58	-9,10	3,50	0,00
B247	POD1_bez_listy - lwn	1505,001	LC1	9,05	-0,88	3,95	-0,01
B247	POD1_bez_listy - lwn	1505,001	LC2	4,89	-1,73	2,12	-0,01
B247	POD1_bez_listy - lwn	1505,001	LC3.1	26,84	13,68	0,67	-0,41
B247	POD1_bez_listy - lwn	1505,001	LC3.2	-26,84	-13,68	-0,67	0,41
B247	POD1_bez_listy - lwn	1505,001	LC3.3	16,37	8,32	0,49	-0,25
B247	POD1_bez_listy - lwn	1505,001	LC3.4	-16,27	-8,29	-0,41	0,25
B247	POD1_bez_listy - lwn	1505,001	LC4.1	-17,09	-0,25	0,23	0,06
B247	POD1_bez_listy - lwn	1505,001	LC4.2	-54,32	0,36	-0,34	0,08
B247	POD1_bez_listy - lwn	1505,001	LC4.3	-87,01	-21,07	4,88	1,79
B247	POD1_bez_listy - lwn	1505,001	LC4.4	-58,89	1,64	2,61	-0,71
B247	POD1_bez_listy - lwn	1505,001	LC4.5	-21,61	-0,69	-0,72	-0,28
B247	POD1_bez_listy - lwn	1505,001	LC5.1	39,72	9,10	-3,50	0,00
B247	POD1_bez_listy - lwn	1505,001	LC5.2	-39,58	-9,10	3,50	0,00
B247	POD1_bez_listy - lwn	1660,000	LC1	9,05	-1,01	3,80	-0,02
B247	POD1_bez_listy - lwn	1660,000	LC2	4,89	-2,11	1,83	-0,01
B247	POD1_bez_listy - lwn	1660,000	LC3.1	29,40	13,68	0,86	-0,51
B247	POD1_bez_listy - lwn	1660,000	LC3.2	-29,40	-13,68	-0,86	0,51
B247	POD1_bez_listy - lwn	1660,000	LC3.3	17,92	8,32	0,60	-0,31
B247	POD1_bez_listy - lwn	1660,000	LC3.4	-17,82	-8,29	-0,52	0,31
B247	POD1_bez_listy - lwn	1660,000	LC4.1	-17,09	-0,25	0,19	0,16
B247	POD1_bez_listy - lwn	1660,000	LC4.2	-54,32	0,36	-0,29	0,30
B247	POD1_bez_listy - lwn	1660,000	LC4.3	-87,01	-21,07	1,61	5,75
B247	POD1_bez_listy - lwn	1660,000	LC4.4	-58,89	1,64	2,86	-0,82
B247	POD1_bez_listy - lwn	1660,000	LC4.5	-21,61	-0,69	-0,82	-0,33
B247	POD1_bez_listy - lwn	1660,000	LC5.1	39,72	11,23	-1,93	-0,58
B247	POD1_bez_listy - lwn	1660,000	LC5.2	-39,58	-11,23	1,92	0,58
B251	POD1_bez_listy - lwn	0,000	LC1	0,00	0,20	-0,02	0,00
B251	POD1_bez_listy - lwn	0,000	LC2	0,00	0,57	-0,07	0,00
B251	POD1_bez_listy - lwn	0,000	LC3.1	-3,79	0,00	2,87	0,00
B251	POD1_bez_listy - lwn	0,000	LC3.2	3,79	0,00	-2,87	0,00
B251	POD1_bez_listy - lwn	0,000	LC3.3	-2,30	0,00	1,74	0,00
B251	POD1_bez_listy - lwn	0,000	LC3.4	2,30	0,00	-1,74	0,00
B251	POD1_bez_listy - lwn	0,000	LC4.1	0,00	0,00	0,00	0,00
B251	POD1_bez_listy - lwn	0,000	LC4.2	0,00	0,00	0,00	0,00
B251	POD1_bez_listy - lwn	0,000	LC4.3	0,00	0,00	0,00	0,00
B251	POD1_bez_listy - lwn	0,000	LC4.4	0,00	0,00	0,00	0,00
B251	POD1_bez_listy - lwn	0,000	LC4.5	0,00	0,00	0,00	0,00
B251	POD1_bez_listy - lwn	0,000	LC5.1	0,00	3,16	-0,36	-0,12
B251	POD1_bez_listy - lwn	0,000	LC5.2	0,00	-3,16	0,36	0,12
B251	POD1_bez_listy - lwn	114,990	LC1	0,00	0,10	-0,01	0,00
B251	POD1_bez_listy - lwn	114,990	LC2	0,00	0,29	-0,02	0,00
B251	POD1_bez_listy - lwn	114,990	LC3.1	-1,90	0,00	1,43	0,00
B251	POD1_bez_listy - lwn	114,990	LC3.2	1,90	0,00	-1,43	0,00
B251	POD1_bez_listy - lwn	114,990	LC3.3	-1,15	0,00	0,87	0,00
B251	POD1_bez_listy - lwn	114,990	LC3.4	1,15	0,00	-0,87	0,00
B251	POD1_bez_listy - lwn	114,990	LC4.1	0,00	0,00	0,00	0,00
B251	POD1_bez_listy - lwn	114,990	LC4.2	0,00	0,00	0,00	0,00
B251	POD1_bez_listy - lwn	114,990	LC4.3	0,00	0,00	0,00	0,00
B251	POD1_bez_listy - lwn	114,990	LC4.4	0,00	0,00	0,00	0,00
B251	POD1_bez_listy - lwn	114,990	LC4.5	0,00	0,00	0,00	0,00
B251	POD1_bez_listy - lwn	114,990	LC5.1	0,00	1,58	-0,09	-0,03
B251	POD1_bez_listy - lwn	114,990	LC5.2	0,00	-1,58	0,09	0,03
B251	POD1_bez_listy - lwn	115,010	LC1	0,00	0,10	-0,01	0,00
B251	POD1_bez_listy - lwn	115,010	LC2	0,00	0,29	-0,02	0,00
B251	POD1_bez_listy - lwn	115,010	LC3.1	-1,90	0,00	1,43	0,00
B251	POD1_bez_listy - lwn	115,010	LC3.2	1,90	0,00	-1,43	0,00
B251	POD1_bez_listy - lwn	115,010	LC3.3	-1,15	0,00	0,87	0,00
B251	POD1_bez_listy - lwn	115,010	LC3.4	1,15	0,00	-0,87	0,00
B251	POD1_bez_listy - lwn	115,010	LC4.1	0,00	0,00	0,00	0,00
B251	POD1_bez_listy - lwn	115,010	LC4.2	0,00	0,00	0,00	0,00
B251	POD1_bez_listy - lwn	115,010	LC4.3	0,00	0,00	0,00	0,00
B251	POD1_bez_listy - lwn	115,010	LC4.4	0,00	0,00	0,00	0,00
B251	POD1_bez_listy - lwn	115,010	LC4.5	0,00	0,00	0,00	0,00
B251	POD1_bez_listy - lwn	115,010	LC5.1	0,00	1,58	-0,09	-0,03
B251	POD1_bez_listy - lwn	115,010	LC5.2	0,00	-1,58	0,09	0,03
B251	POD1_bez_listy - lwn	230,000	LC1	0,00	0,00	0,00	0,00
B251	POD1_bez_listy - lwn	230,000	LC2	0,00	0,00	0,00	0,00
B251	POD1_bez_listy - lwn	230,000	LC3.1	0,00	0,00	0,00	0,00
B251	POD1_bez_listy - lwn	230,000	LC3.2	0,00	0,00	0,00	0,00
B251	POD1_bez_listy - lwn	230,000	LC3.3	0,00	0,00	0,00	0,00

Dílec	css	dx [mm]	Stav	N [kN]	Vz [kN]	My [kNm]	Mz [kNm]
B251	POD1_bez_listy - lwn	230,000	LC3.4	0,00	0,00	0,00	0,00
B251	POD1_bez_listy - lwn	230,000	LC4.1	0,00	0,00	0,00	0,00
B251	POD1_bez_listy - lwn	230,000	LC4.2	0,00	0,00	0,00	0,00
B251	POD1_bez_listy - lwn	230,000	LC4.3	0,00	0,00	0,00	0,00
B251	POD1_bez_listy - lwn	230,000	LC4.4	0,00	0,00	0,00	0,00
B251	POD1_bez_listy - lwn	230,000	LC4.5	0,00	0,00	0,00	0,00
B251	POD1_bez_listy - lwn	230,000	LC5.1	0,00	0,00	0,00	0,00
B251	POD1_bez_listy - lwn	230,000	LC5.2	0,00	0,00	0,00	0,00

4.3. Vnitřní síly-POD2-UIC

Lineární výpočet, Extrém : Globální, Systém : Hlavní

Výběr : Vše

Třída : ZS UIC

Průřez : POD2_bez_listy - lw (493; 10; 200; 20; 453; 0)

Dílec	css	dx [mm]	Stav	N [kN]	Vz [kN]	My [kNm]	Mz [kNm]
B119	POD2_bez_listy - lw	0,000	LC102	0,00	18,00	-4,05	0,00
B114	POD2_bez_listy - lw	0,000	LC105	103,29	20,61	41,83	-0,50
B248	POD2_bez_listy - lw	170,001	LC109	88,82	-145,92	38,61	-0,35
B114	POD2_bez_listy - lw	0,000	LC103	98,15	142,87	36,25	-0,51
B119	POD2_bez_listy - lw	0,000	LC101	0,00	18,00	-4,05	0,00
B114	POD2_bez_listy - lw	220,000	LC106	102,73	10,74	51,25	-0,25
B246	POD2_bez_listy - lw	220,000	LC108	80,32	-66,64	12,35	-1,65
B244	POD2_bez_listy - lw	220,000	LC108	80,30	-66,63	12,36	1,66

4.4. Vnitřní síly-POD2-neUIC

Lineární výpočet, Extrém : Ne, Systém : Hlavní

Výběr : B114, B119, B244, B246, B248

Třída : ZS neUIC

Průřez : POD2_bez_listy - lw (493; 10; 200; 20; 453; 0)

Dílec	css	dx [mm]	Stav	N [kN]	Vz [kN]	My [kNm]	Mz [kNm]
B114	POD2_bez_listy - lw	0,000	LC1	9,05	0,99	4,09	-0,01
B114	POD2_bez_listy - lw	0,000	LC2	4,89	2,59	1,54	-0,01
B114	POD2_bez_listy - lw	0,000	LC3.1	-1,63	13,68	-1,34	0,66
B114	POD2_bez_listy - lw	0,000	LC3.2	1,63	-13,68	1,34	-0,66
B114	POD2_bez_listy - lw	0,000	LC3.3	-0,89	8,32	-0,79	0,40
B114	POD2_bez_listy - lw	0,000	LC3.4	0,99	-8,29	0,81	-0,40
B114	POD2_bez_listy - lw	0,000	LC4.1	-16,45	-0,24	0,23	-0,49
B114	POD2_bez_listy - lw	0,000	LC4.2	-52,90	0,39	-2,44	-1,14
B114	POD2_bez_listy - lw	0,000	LC4.3	-86,30	21,10	-5,69	10,89
B114	POD2_bez_listy - lw	0,000	LC4.4	-59,13	1,67	-2,18	0,34
B114	POD2_bez_listy - lw	0,000	LC4.5	-21,80	-0,67	-0,27	0,14
B114	POD2_bez_listy - lw	0,000	LC5.1	39,25	-14,61	2,43	-1,22
B114	POD2_bez_listy - lw	0,000	LC5.2	-39,11	14,60	-2,42	1,23
B114	POD2_bez_listy - lw	50,000	LC1	9,05	0,94	4,14	-0,01
B114	POD2_bez_listy - lw	50,000	LC2	4,89	2,46	1,67	-0,01
B114	POD2_bez_listy - lw	50,000	LC3.1	-0,81	13,68	-1,28	0,63
B114	POD2_bez_listy - lw	50,000	LC3.2	0,81	-13,68	1,28	-0,63
B114	POD2_bez_listy - lw	50,000	LC3.3	-0,39	8,32	-0,75	0,38
B114	POD2_bez_listy - lw	50,000	LC3.4	0,49	-8,29	0,78	-0,38
B114	POD2_bez_listy - lw	50,000	LC4.1	-16,45	-0,24	0,22	-0,45
B114	POD2_bez_listy - lw	50,000	LC4.2	-52,90	0,39	-2,42	-1,07
B114	POD2_bez_listy - lw	50,000	LC4.3	-86,30	21,10	-4,64	9,66
B114	POD2_bez_listy - lw	50,000	LC4.4	-59,13	1,67	-2,10	0,30
B114	POD2_bez_listy - lw	50,000	LC4.5	-21,80	-0,67	-0,31	0,12
B114	POD2_bez_listy - lw	50,000	LC5.1	39,25	-13,92	1,72	-1,01
B114	POD2_bez_listy - lw	50,000	LC5.2	-39,11	13,91	-1,71	1,01
B114	POD2_bez_listy - lw	50,001	LC1	9,05	0,94	4,14	-0,01
B114	POD2_bez_listy - lw	50,001	LC2	4,89	2,46	1,67	-0,01
B114	POD2_bez_listy - lw	50,001	LC3.1	-0,81	13,68	-1,28	0,63
B114	POD2_bez_listy - lw	50,001	LC3.2	0,81	-13,68	1,28	-0,63
B114	POD2_bez_listy - lw	50,001	LC3.3	-0,39	8,32	-0,75	0,38
B114	POD2_bez_listy - lw	50,001	LC3.4	0,49	-8,29	0,78	-0,38
B114	POD2_bez_listy - lw	50,001	LC4.1	-16,45	-0,24	0,22	-0,45
B114	POD2_bez_listy - lw	50,001	LC4.2	-52,90	0,39	-2,42	-1,07
B114	POD2_bez_listy - lw	50,001	LC4.3	-86,30	21,10	-4,64	9,66
B114	POD2_bez_listy - lw	50,001	LC4.4	-59,13	1,67	-2,10	0,30
B114	POD2_bez_listy - lw	50,001	LC4.5	-21,80	-0,67	-0,31	0,12
B114	POD2_bez_listy - lw	50,001	LC5.1	39,25	-13,92	1,72	-1,01
B114	POD2_bez_listy - lw	50,001	LC5.2	-39,11	13,91	-1,71	1,01
B114	POD2_bez_listy - lw	80,000	LC1	9,05	0,91	4,17	-0,01
B114	POD2_bez_listy - lw	80,000	LC2	4,89	2,39	1,74	-0,01

Dilec	css	dx [mm]	Stav	N [kN]	Vz [kN]	My [kNm]	Mz [kNm]
B114	POD2_bez_listy - lw	80,000	LC3.1	-0,31	13,68	-1,24	0,61
B114	POD2_bez_listy - lw	80,000	LC3.2	0,31	-13,68	1,24	-0,61
B114	POD2_bez_listy - lw	80,000	LC3.3	-0,09	8,32	-0,73	0,37
B114	POD2_bez_listy - lw	80,000	LC3.4	0,19	-8,29	0,75	-0,37
B114	POD2_bez_listy - lw	80,000	LC4.1	-16,45	-0,24	0,21	-0,43
B114	POD2_bez_listy - lw	80,000	LC4.2	-52,90	0,39	-2,41	-1,03
B114	POD2_bez_listy - lw	80,000	LC4.3	-86,30	21,10	-4,01	8,93
B114	POD2_bez_listy - lw	80,000	LC4.4	-59,13	1,67	-2,05	0,28
B114	POD2_bez_listy - lw	80,000	LC4.5	-21,80	-0,67	-0,33	0,11
B114	POD2_bez_listy - lw	80,000	LC5.1	39,25	-13,51	1,31	-0,89
B114	POD2_bez_listy - lw	80,000	LC5.2	-39,11	13,50	-1,29	0,89
B114	POD2_bez_listy - lw	80,001	LC1	9,05	0,91	4,17	-0,01
B114	POD2_bez_listy - lw	80,001	LC2	4,89	2,39	1,74	-0,01
B114	POD2_bez_listy - lw	80,001	LC3.1	-0,31	13,68	-1,24	0,61
B114	POD2_bez_listy - lw	80,001	LC3.2	0,31	-13,68	1,24	-0,61
B114	POD2_bez_listy - lw	80,001	LC3.3	-0,09	8,32	-0,73	0,37
B114	POD2_bez_listy - lw	80,001	LC3.4	0,19	-8,29	0,75	-0,37
B114	POD2_bez_listy - lw	80,001	LC4.1	-16,45	-0,24	0,21	-0,43
B114	POD2_bez_listy - lw	80,001	LC4.2	-52,90	0,39	-2,41	-1,03
B114	POD2_bez_listy - lw	80,001	LC4.3	-86,30	21,10	-4,01	8,93
B114	POD2_bez_listy - lw	80,001	LC4.4	-59,13	1,67	-2,05	0,28
B114	POD2_bez_listy - lw	80,001	LC4.5	-21,80	-0,67	-0,33	0,11
B114	POD2_bez_listy - lw	80,001	LC5.1	39,25	-13,51	1,31	-0,89
B114	POD2_bez_listy - lw	80,001	LC5.2	-39,11	13,50	-1,29	0,89
B114	POD2_bez_listy - lw	95,000	LC1	9,05	0,89	4,18	-0,01
B114	POD2_bez_listy - lw	95,000	LC2	4,89	2,35	1,77	-0,01
B114	POD2_bez_listy - lw	95,000	LC3.1	-0,06	13,68	-1,23	0,60
B114	POD2_bez_listy - lw	95,000	LC3.2	0,06	-13,68	1,23	-0,60
B114	POD2_bez_listy - lw	95,000	LC3.3	0,06	8,32	-0,72	0,37
B114	POD2_bez_listy - lw	95,000	LC3.4	0,04	-8,29	0,74	-0,37
B114	POD2_bez_listy - lw	95,000	LC4.1	-16,45	-0,24	0,21	-0,43
B114	POD2_bez_listy - lw	95,000	LC4.2	-52,90	0,39	-2,40	-1,01
B114	POD2_bez_listy - lw	95,000	LC4.3	-86,30	21,10	-3,69	8,56
B114	POD2_bez_listy - lw	95,000	LC4.4	-59,13	1,67	-2,02	0,27
B114	POD2_bez_listy - lw	95,000	LC4.5	-21,80	-0,67	-0,34	0,11
B114	POD2_bez_listy - lw	95,000	LC5.1	39,25	-13,30	1,10	-0,83
B114	POD2_bez_listy - lw	95,000	LC5.2	-39,11	13,30	-1,09	0,83
B114	POD2_bez_listy - lw	95,001	LC1	9,05	0,89	4,18	-0,01
B114	POD2_bez_listy - lw	95,001	LC2	4,89	2,35	1,77	-0,01
B114	POD2_bez_listy - lw	95,001	LC3.1	-0,06	13,68	-1,23	0,60
B114	POD2_bez_listy - lw	95,001	LC3.2	0,06	-13,68	1,23	-0,60
B114	POD2_bez_listy - lw	95,001	LC3.3	0,06	8,32	-0,72	0,37
B114	POD2_bez_listy - lw	95,001	LC3.4	0,04	-8,29	0,74	-0,37
B114	POD2_bez_listy - lw	95,001	LC4.1	-16,45	-0,24	0,21	-0,43
B114	POD2_bez_listy - lw	95,001	LC4.2	-52,90	0,39	-2,40	-1,01
B114	POD2_bez_listy - lw	95,001	LC4.3	-86,30	21,10	-3,69	8,56
B114	POD2_bez_listy - lw	95,001	LC4.4	-59,13	1,67	-2,02	0,27
B114	POD2_bez_listy - lw	95,001	LC4.5	-21,80	-0,67	-0,34	0,11
B114	POD2_bez_listy - lw	95,001	LC5.1	39,25	-13,30	1,10	-0,83
B114	POD2_bez_listy - lw	95,001	LC5.2	-39,11	13,30	-1,09	0,83
B114	POD2_bez_listy - lw	220,000	LC1	9,05	0,77	4,29	-0,01
B114	POD2_bez_listy - lw	220,000	LC2	4,89	2,04	2,05	0,00
B114	POD2_bez_listy - lw	220,000	LC3.1	2,00	13,68	-1,08	0,52
B114	POD2_bez_listy - lw	220,000	LC3.2	-2,00	-13,68	1,08	-0,52
B114	POD2_bez_listy - lw	220,000	LC3.3	1,31	8,32	-0,62	0,32
B114	POD2_bez_listy - lw	220,000	LC3.4	-1,21	-8,29	0,65	-0,32
B114	POD2_bez_listy - lw	220,000	LC4.1	-16,45	-0,24	0,18	-0,34
B114	POD2_bez_listy - lw	220,000	LC4.2	-52,90	0,39	-2,35	-0,82
B114	POD2_bez_listy - lw	220,000	LC4.3	-86,30	21,10	-1,05	5,50
B114	POD2_bez_listy - lw	220,000	LC4.4	-59,13	1,67	-1,81	0,18
B114	POD2_bez_listy - lw	220,000	LC4.5	-21,80	-0,67	-0,42	0,07
B114	POD2_bez_listy - lw	220,000	LC5.1	39,25	-11,59	-0,45	-0,38
B114	POD2_bez_listy - lw	220,000	LC5.2	-39,11	11,58	0,46	0,38
B119	POD2_bez_listy - lw	0,000	LC1	0,00	0,41	-0,09	0,00
B119	POD2_bez_listy - lw	0,000	LC2	0,00	1,13	-0,25	0,00
B119	POD2_bez_listy - lw	0,000	LC3.1	-7,42	0,00	5,49	0,00
B119	POD2_bez_listy - lw	0,000	LC3.2	7,42	0,00	-5,49	0,00
B119	POD2_bez_listy - lw	0,000	LC3.3	-4,50	0,00	3,33	0,00
B119	POD2_bez_listy - lw	0,000	LC3.4	4,50	0,00	-3,33	0,00
B119	POD2_bez_listy - lw	0,000	LC4.1	0,00	0,00	0,00	0,00
B119	POD2_bez_listy - lw	0,000	LC4.2	0,00	0,00	0,00	0,00
B119	POD2_bez_listy - lw	0,000	LC4.3	0,00	0,00	0,00	0,00
B119	POD2_bez_listy - lw	0,000	LC4.4	0,00	0,00	0,00	0,00
B119	POD2_bez_listy - lw	0,000	LC4.5	0,00	0,00	0,00	0,00
B119	POD2_bez_listy - lw	0,000	LC5.1	0,00	6,18	-1,39	-0,45
B119	POD2_bez_listy - lw	0,000	LC5.2	0,00	-6,18	1,39	0,45

Dilec	css	dx [mm]	Stav	N [kN]	Vz [kN]	My [kNm]	Mz [kNm]
B119	POD2_bez_listy - lw	109,990	LC1	0,00	0,30	-0,05	0,00
B119	POD2_bez_listy - lw	109,990	LC2	0,00	0,85	-0,14	0,00
B119	POD2_bez_listy - lw	109,990	LC3.1	-5,61	0,00	4,12	0,00
B119	POD2_bez_listy - lw	109,990	LC3.2	5,61	0,00	-4,12	0,00
B119	POD2_bez_listy - lw	109,990	LC3.3	-3,40	0,00	2,50	0,00
B119	POD2_bez_listy - lw	109,990	LC3.4	3,40	0,00	-2,50	0,00
B119	POD2_bez_listy - lw	109,990	LC4.1	0,00	0,00	0,00	0,00
B119	POD2_bez_listy - lw	109,990	LC4.2	0,00	0,00	0,00	0,00
B119	POD2_bez_listy - lw	109,990	LC4.3	0,00	0,00	0,00	0,00
B119	POD2_bez_listy - lw	109,990	LC4.4	0,00	0,00	0,00	0,00
B119	POD2_bez_listy - lw	109,990	LC4.5	0,00	0,00	0,00	0,00
B119	POD2_bez_listy - lw	109,990	LC5.1	0,00	4,67	-0,79	-0,26
B119	POD2_bez_listy - lw	109,990	LC5.2	0,00	-4,67	0,79	0,26
B119	POD2_bez_listy - lw	110,010	LC1	0,00	0,30	-0,05	0,00
B119	POD2_bez_listy - lw	110,010	LC2	0,00	0,85	-0,14	0,00
B119	POD2_bez_listy - lw	110,010	LC3.1	-5,61	0,00	4,12	0,00
B119	POD2_bez_listy - lw	110,010	LC3.2	5,61	0,00	-4,12	0,00
B119	POD2_bez_listy - lw	110,010	LC3.3	-3,40	0,00	2,50	0,00
B119	POD2_bez_listy - lw	110,010	LC3.4	3,40	0,00	-2,50	0,00
B119	POD2_bez_listy - lw	110,010	LC4.1	0,00	0,00	0,00	0,00
B119	POD2_bez_listy - lw	110,010	LC4.2	0,00	0,00	0,00	0,00
B119	POD2_bez_listy - lw	110,010	LC4.3	0,00	0,00	0,00	0,00
B119	POD2_bez_listy - lw	110,010	LC4.4	0,00	0,00	0,00	0,00
B119	POD2_bez_listy - lw	110,010	LC4.5	0,00	0,00	0,00	0,00
B119	POD2_bez_listy - lw	110,010	LC5.1	0,00	4,67	-0,79	-0,26
B119	POD2_bez_listy - lw	110,010	LC5.2	0,00	-4,67	0,79	0,26
B119	POD2_bez_listy - lw	220,000	LC1	0,00	0,20	-0,02	0,00
B119	POD2_bez_listy - lw	220,000	LC2	0,00	0,57	-0,07	0,00
B119	POD2_bez_listy - lw	220,000	LC3.1	-3,79	0,00	2,75	0,00
B119	POD2_bez_listy - lw	220,000	LC3.2	3,79	0,00	-2,75	0,00
B119	POD2_bez_listy - lw	220,000	LC3.3	-2,30	0,00	1,67	0,00
B119	POD2_bez_listy - lw	220,000	LC3.4	2,30	0,00	-1,67	0,00
B119	POD2_bez_listy - lw	220,000	LC4.1	0,00	0,00	0,00	0,00
B119	POD2_bez_listy - lw	220,000	LC4.2	0,00	0,00	0,00	0,00
B119	POD2_bez_listy - lw	220,000	LC4.3	0,00	0,00	0,00	0,00
B119	POD2_bez_listy - lw	220,000	LC4.4	0,00	0,00	0,00	0,00
B119	POD2_bez_listy - lw	220,000	LC4.5	0,00	0,00	0,00	0,00
B119	POD2_bez_listy - lw	220,000	LC5.1	0,00	3,16	-0,36	-0,12
B119	POD2_bez_listy - lw	220,000	LC5.2	0,00	-3,16	0,36	0,12
B244	POD2_bez_listy - lw	0,000	LC1	7,03	-0,78	3,28	0,08
B244	POD2_bez_listy - lw	0,000	LC2	3,96	-1,04	1,40	0,05
B244	POD2_bez_listy - lw	0,000	LC3.1	17,70	15,22	1,60	0,64
B244	POD2_bez_listy - lw	0,000	LC3.2	-17,70	-15,22	-1,60	-0,64
B244	POD2_bez_listy - lw	0,000	LC3.3	10,80	9,50	1,29	0,39
B244	POD2_bez_listy - lw	0,000	LC3.4	-10,73	-9,22	-0,97	-0,39
B244	POD2_bez_listy - lw	0,000	LC4.1	10,63	0,83	0,17	0,04
B244	POD2_bez_listy - lw	0,000	LC4.2	33,55	1,70	0,87	0,13
B244	POD2_bez_listy - lw	0,000	LC4.3	58,28	1,75	4,00	0,18
B244	POD2_bez_listy - lw	0,000	LC4.4	73,30	12,11	-0,59	0,33
B244	POD2_bez_listy - lw	0,000	LC4.5	32,14	1,49	4,49	-0,20
B244	POD2_bez_listy - lw	0,000	LC5.1	-33,12	-5,92	-1,61	0,15
B244	POD2_bez_listy - lw	0,000	LC5.2	33,09	5,92	1,60	-0,16
B244	POD2_bez_listy - lw	7,660	LC1	7,03	-0,79	3,27	0,08
B244	POD2_bez_listy - lw	7,660	LC2	3,96	-1,06	1,40	0,05
B244	POD2_bez_listy - lw	7,660	LC3.1	17,83	15,22	1,62	0,66
B244	POD2_bez_listy - lw	7,660	LC3.2	-17,83	-15,22	-1,62	-0,66
B244	POD2_bez_listy - lw	7,660	LC3.3	10,88	9,50	1,30	0,40
B244	POD2_bez_listy - lw	7,660	LC3.4	-10,81	-9,22	-0,98	-0,40
B244	POD2_bez_listy - lw	7,660	LC4.1	10,63	0,83	0,18	0,04
B244	POD2_bez_listy - lw	7,660	LC4.2	33,55	1,70	0,88	0,13
B244	POD2_bez_listy - lw	7,660	LC4.3	58,28	1,75	4,01	0,19
B244	POD2_bez_listy - lw	7,660	LC4.4	73,30	12,11	-0,49	0,43
B244	POD2_bez_listy - lw	7,660	LC4.5	32,14	1,49	4,50	-0,20
B244	POD2_bez_listy - lw	7,660	LC5.1	-33,12	-6,02	-1,65	0,14
B244	POD2_bez_listy - lw	7,660	LC5.2	33,09	6,03	1,64	-0,14
B244	POD2_bez_listy - lw	7,680	LC1	7,03	-0,79	3,27	0,08
B244	POD2_bez_listy - lw	7,680	LC2	3,96	-1,06	1,40	0,05
B244	POD2_bez_listy - lw	7,680	LC3.1	17,83	15,22	1,62	0,66
B244	POD2_bez_listy - lw	7,680	LC3.2	-17,83	-15,22	-1,62	-0,66
B244	POD2_bez_listy - lw	7,680	LC3.3	10,88	9,50	1,30	0,40
B244	POD2_bez_listy - lw	7,680	LC3.4	-10,81	-9,22	-0,98	-0,40
B244	POD2_bez_listy - lw	7,680	LC4.1	10,63	0,83	0,18	0,04
B244	POD2_bez_listy - lw	7,680	LC4.2	33,55	1,70	0,88	0,13
B244	POD2_bez_listy - lw	7,680	LC4.3	58,28	1,75	4,01	0,19
B244	POD2_bez_listy - lw	7,680	LC4.4	73,30	12,11	-0,49	0,43
B244	POD2_bez_listy - lw	7,680	LC4.5	32,14	1,49	4,50	-0,20

Dilec	css	dx [mm]	Stav	N [kN]	Vz [kN]	My [kNm]	Mz [kNm]
B244	POD2_bez_listy - lw	7,680	LC5.1	-33,12	-6,02	-1,65	0,14
B244	POD2_bez_listy - lw	7,680	LC5.2	33,09	6,03	1,64	-0,14
B244	POD2_bez_listy - lw	15,340	LC1	7,03	-0,80	3,27	0,08
B244	POD2_bez_listy - lw	15,340	LC2	3,96	-1,08	1,39	0,05
B244	POD2_bez_listy - lw	15,340	LC3.1	17,96	15,22	1,64	0,68
B244	POD2_bez_listy - lw	15,340	LC3.2	-17,96	-15,22	-1,64	-0,68
B244	POD2_bez_listy - lw	15,340	LC3.3	10,96	9,50	1,32	0,41
B244	POD2_bez_listy - lw	15,340	LC3.4	-10,88	-9,22	-0,99	-0,41
B244	POD2_bez_listy - lw	15,340	LC4.1	10,63	0,83	0,18	0,05
B244	POD2_bez_listy - lw	15,340	LC4.2	33,55	1,70	0,89	0,14
B244	POD2_bez_listy - lw	15,340	LC4.3	58,28	1,75	4,02	0,20
B244	POD2_bez_listy - lw	15,340	LC4.4	73,30	12,11	-0,40	0,53
B244	POD2_bez_listy - lw	15,340	LC4.5	32,14	1,49	4,51	-0,20
B244	POD2_bez_listy - lw	15,340	LC5.1	-33,12	-6,13	-1,70	0,13
B244	POD2_bez_listy - lw	15,340	LC5.2	33,09	6,13	1,69	-0,13
B244	POD2_bez_listy - lw	15,341	LC1	7,05	-0,95	3,27	0,08
B244	POD2_bez_listy - lw	15,341	LC2	3,96	-1,08	1,39	0,05
B244	POD2_bez_listy - lw	15,341	LC3.1	17,97	15,22	1,64	0,68
B244	POD2_bez_listy - lw	15,341	LC3.2	-17,97	-15,22	-1,64	-0,68
B244	POD2_bez_listy - lw	15,341	LC3.3	10,97	9,50	1,32	0,41
B244	POD2_bez_listy - lw	15,341	LC3.4	-10,89	-9,22	-0,99	-0,41
B244	POD2_bez_listy - lw	15,341	LC4.1	10,82	0,83	0,22	0,05
B244	POD2_bez_listy - lw	15,341	LC4.2	34,03	1,70	0,99	0,14
B244	POD2_bez_listy - lw	15,341	LC4.3	58,87	1,75	4,14	0,20
B244	POD2_bez_listy - lw	15,341	LC4.4	73,69	12,11	-0,32	0,53
B244	POD2_bez_listy - lw	15,341	LC4.5	32,26	1,49	4,54	-0,20
B244	POD2_bez_listy - lw	15,341	LC5.1	-33,43	-6,13	-1,76	0,13
B244	POD2_bez_listy - lw	15,341	LC5.2	33,40	6,13	1,75	-0,13
B244	POD2_bez_listy - lw	117,660	LC1	7,05	-1,05	3,17	0,11
B244	POD2_bez_listy - lw	117,660	LC2	3,96	-1,34	1,27	0,07
B244	POD2_bez_listy - lw	117,660	LC3.1	19,66	15,22	1,92	0,88
B244	POD2_bez_listy - lw	117,660	LC3.2	-19,66	-15,22	-1,92	-0,88
B244	POD2_bez_listy - lw	117,660	LC3.3	11,99	9,50	1,52	0,54
B244	POD2_bez_listy - lw	117,660	LC3.4	-11,91	-9,22	-1,16	-0,54
B244	POD2_bez_listy - lw	117,660	LC4.1	10,82	0,83	0,31	0,13
B244	POD2_bez_listy - lw	117,660	LC4.2	34,03	1,70	1,16	0,38
B244	POD2_bez_listy - lw	117,660	LC4.3	58,87	1,75	4,32	0,50
B244	POD2_bez_listy - lw	117,660	LC4.4	73,69	12,11	0,92	1,96
B244	POD2_bez_listy - lw	117,660	LC4.5	32,26	1,49	4,69	-0,20
B244	POD2_bez_listy - lw	117,660	LC5.1	-33,43	-7,53	-2,46	-0,15
B244	POD2_bez_listy - lw	117,660	LC5.2	33,40	7,54	2,45	0,15
B244	POD2_bez_listy - lw	117,680	LC1	7,05	-1,05	3,17	0,11
B244	POD2_bez_listy - lw	117,680	LC2	3,96	-1,34	1,27	0,07
B244	POD2_bez_listy - lw	117,680	LC3.1	19,66	15,22	1,92	0,88
B244	POD2_bez_listy - lw	117,680	LC3.2	-19,66	-15,22	-1,92	-0,88
B244	POD2_bez_listy - lw	117,680	LC3.3	11,99	9,50	1,52	0,54
B244	POD2_bez_listy - lw	117,680	LC3.4	-11,91	-9,22	-1,16	-0,54
B244	POD2_bez_listy - lw	117,680	LC4.1	10,82	0,83	0,31	0,13
B244	POD2_bez_listy - lw	117,680	LC4.2	34,03	1,70	1,16	0,38
B244	POD2_bez_listy - lw	117,680	LC4.3	58,87	1,75	4,32	0,50
B244	POD2_bez_listy - lw	117,680	LC4.4	73,69	12,11	0,92	1,96
B244	POD2_bez_listy - lw	117,680	LC4.5	32,26	1,49	4,69	-0,20
B244	POD2_bez_listy - lw	117,680	LC5.1	-33,43	-7,53	-2,46	-0,15
B244	POD2_bez_listy - lw	117,680	LC5.2	33,40	7,54	2,45	0,15
B244	POD2_bez_listy - lw	220,000	LC1	7,05	-1,15	3,05	0,13
B244	POD2_bez_listy - lw	220,000	LC2	3,96	-1,59	1,11	0,08
B244	POD2_bez_listy - lw	220,000	LC3.1	21,35	15,22	2,20	1,09
B244	POD2_bez_listy - lw	220,000	LC3.2	-21,35	-15,22	-2,20	-1,09
B244	POD2_bez_listy - lw	220,000	LC3.3	13,01	9,50	1,72	0,66
B244	POD2_bez_listy - lw	220,000	LC3.4	-12,94	-9,22	-1,33	-0,66
B244	POD2_bez_listy - lw	220,000	LC4.1	10,82	0,83	0,39	0,22
B244	POD2_bez_listy - lw	220,000	LC4.2	34,03	1,70	1,34	0,62
B244	POD2_bez_listy - lw	220,000	LC4.3	58,87	1,75	4,50	0,81
B244	POD2_bez_listy - lw	220,000	LC4.4	73,69	12,11	2,16	3,40
B244	POD2_bez_listy - lw	220,000	LC4.5	32,26	1,49	4,84	-0,20
B244	POD2_bez_listy - lw	220,000	LC5.1	-33,43	-8,94	-3,30	-0,48
B244	POD2_bez_listy - lw	220,000	LC5.2	33,40	8,94	3,29	0,47
B246	POD2_bez_listy - lw	0,000	LC1	7,03	-0,84	3,26	-0,08
B246	POD2_bez_listy - lw	0,000	LC2	3,88	-1,03	1,36	-0,05
B246	POD2_bez_listy - lw	0,000	LC3.1	17,71	15,22	1,60	-0,64
B246	POD2_bez_listy - lw	0,000	LC3.2	-17,71	-15,22	-1,60	0,64
B246	POD2_bez_listy - lw	0,000	LC3.3	10,81	9,50	1,29	-0,39
B246	POD2_bez_listy - lw	0,000	LC3.4	-10,73	-9,22	-0,97	0,39
B246	POD2_bez_listy - lw	0,000	LC4.1	-9,34	-0,71	-0,02	0,05
B246	POD2_bez_listy - lw	0,000	LC4.2	-31,19	-1,50	-0,35	0,18
B246	POD2_bez_listy - lw	0,000	LC4.3	-54,85	-1,46	-3,11	0,27

Dilec	css	dx [mm]	Stav	N [kN]	Vz [kN]	My [kNm]	Mz [kNm]
B246	POD2_bez_listy - lw	0,000	LC4.4	-69,11	-11,75	1,74	0,45
B246	POD2_bez_listy - lw	0,000	LC4.5	-27,24	-1,08	-3,10	-0,05
B246	POD2_bez_listy - lw	0,000	LC5.1	29,83	5,64	0,78	0,07
B246	POD2_bez_listy - lw	0,000	LC5.2	-29,86	-5,63	-0,79	-0,07
B246	POD2_bez_listy - lw	7,660	LC1	7,03	-0,85	3,25	-0,08
B246	POD2_bez_listy - lw	7,660	LC2	3,88	-1,05	1,35	-0,05
B246	POD2_bez_listy - lw	7,660	LC3.1	17,84	15,22	1,62	-0,66
B246	POD2_bez_listy - lw	7,660	LC3.2	-17,84	-15,22	-1,62	0,66
B246	POD2_bez_listy - lw	7,660	LC3.3	10,88	9,50	1,31	-0,40
B246	POD2_bez_listy - lw	7,660	LC3.4	-10,81	-9,22	-0,98	0,40
B246	POD2_bez_listy - lw	7,660	LC4.1	-9,34	-0,71	-0,03	0,05
B246	POD2_bez_listy - lw	7,660	LC4.2	-31,19	-1,50	-0,36	0,18
B246	POD2_bez_listy - lw	7,660	LC4.3	-54,85	-1,46	-3,12	0,28
B246	POD2_bez_listy - lw	7,660	LC4.4	-69,11	-11,75	1,65	0,55
B246	POD2_bez_listy - lw	7,660	LC4.5	-27,24	-1,08	-3,11	-0,05
B246	POD2_bez_listy - lw	7,660	LC5.1	29,83	5,75	0,82	0,06
B246	POD2_bez_listy - lw	7,660	LC5.2	-29,86	-5,74	-0,84	-0,06
B246	POD2_bez_listy - lw	7,680	LC1	7,03	-0,85	3,25	-0,08
B246	POD2_bez_listy - lw	7,680	LC2	3,88	-1,05	1,35	-0,05
B246	POD2_bez_listy - lw	7,680	LC3.1	17,84	15,22	1,62	-0,66
B246	POD2_bez_listy - lw	7,680	LC3.2	-17,84	-15,22	-1,62	0,66
B246	POD2_bez_listy - lw	7,680	LC3.3	10,88	9,50	1,31	-0,40
B246	POD2_bez_listy - lw	7,680	LC3.4	-10,81	-9,22	-0,98	0,40
B246	POD2_bez_listy - lw	7,680	LC4.1	-9,34	-0,71	-0,03	0,05
B246	POD2_bez_listy - lw	7,680	LC4.2	-31,19	-1,50	-0,36	0,18
B246	POD2_bez_listy - lw	7,680	LC4.3	-54,85	-1,46	-3,12	0,28
B246	POD2_bez_listy - lw	7,680	LC4.4	-69,11	-11,75	1,64	0,55
B246	POD2_bez_listy - lw	7,680	LC4.5	-27,24	-1,08	-3,11	-0,05
B246	POD2_bez_listy - lw	7,680	LC5.1	29,83	5,75	0,82	0,06
B246	POD2_bez_listy - lw	7,680	LC5.2	-29,86	-5,74	-0,84	-0,06
B246	POD2_bez_listy - lw	15,340	LC1	7,03	-0,85	3,25	-0,08
B246	POD2_bez_listy - lw	15,340	LC2	3,88	-1,07	1,34	-0,05
B246	POD2_bez_listy - lw	15,340	LC3.1	17,96	15,22	1,64	-0,67
B246	POD2_bez_listy - lw	15,340	LC3.2	-17,96	-15,22	-1,64	0,67
B246	POD2_bez_listy - lw	15,340	LC3.3	10,96	9,50	1,32	-0,41
B246	POD2_bez_listy - lw	15,340	LC3.4	-10,89	-9,22	-0,99	0,41
B246	POD2_bez_listy - lw	15,340	LC4.1	-9,34	-0,71	-0,03	0,06
B246	POD2_bez_listy - lw	15,340	LC4.2	-31,19	-1,50	-0,37	0,19
B246	POD2_bez_listy - lw	15,340	LC4.3	-54,85	-1,46	-3,13	0,29
B246	POD2_bez_listy - lw	15,340	LC4.4	-69,11	-11,75	1,55	0,65
B246	POD2_bez_listy - lw	15,340	LC4.5	-27,24	-1,08	-3,11	-0,05
B246	POD2_bez_listy - lw	15,340	LC5.1	29,83	5,85	0,87	0,05
B246	POD2_bez_listy - lw	15,340	LC5.2	-29,86	-5,85	-0,88	-0,04
B246	POD2_bez_listy - lw	15,341	LC1	7,05	-0,91	3,25	-0,08
B246	POD2_bez_listy - lw	15,341	LC2	3,88	-1,07	1,34	-0,05
B246	POD2_bez_listy - lw	15,341	LC3.1	17,96	15,22	1,64	-0,67
B246	POD2_bez_listy - lw	15,341	LC3.2	-17,96	-15,22	-1,64	0,67
B246	POD2_bez_listy - lw	15,341	LC3.3	10,96	9,50	1,32	-0,41
B246	POD2_bez_listy - lw	15,341	LC3.4	-10,89	-9,22	-0,99	0,41
B246	POD2_bez_listy - lw	15,341	LC4.1	-9,52	-0,71	-0,07	0,06
B246	POD2_bez_listy - lw	15,341	LC4.2	-31,67	-1,50	-0,47	0,19
B246	POD2_bez_listy - lw	15,341	LC4.3	-55,44	-1,46	-3,25	0,29
B246	POD2_bez_listy - lw	15,341	LC4.4	-69,51	-11,75	1,47	0,65
B246	POD2_bez_listy - lw	15,341	LC4.5	-27,36	-1,08	-3,14	-0,05
B246	POD2_bez_listy - lw	15,341	LC5.1	30,14	5,85	0,93	0,05
B246	POD2_bez_listy - lw	15,341	LC5.2	-30,17	-5,85	-0,94	-0,04
B246	POD2_bez_listy - lw	117,660	LC1	7,05	-1,00	3,15	-0,11
B246	POD2_bez_listy - lw	117,660	LC2	3,88	-1,33	1,22	-0,06
B246	POD2_bez_listy - lw	117,660	LC3.1	19,65	15,22	1,92	-0,89
B246	POD2_bez_listy - lw	117,660	LC3.2	-19,65	-15,22	-1,92	0,89
B246	POD2_bez_listy - lw	117,660	LC3.3	11,99	9,50	1,52	-0,54
B246	POD2_bez_listy - lw	117,660	LC3.4	-11,91	-9,22	-1,16	0,54
B246	POD2_bez_listy - lw	117,660	LC4.1	-9,52	-0,71	-0,14	0,14
B246	POD2_bez_listy - lw	117,660	LC4.2	-31,67	-1,50	-0,62	0,44
B246	POD2_bez_listy - lw	117,660	LC4.3	-55,44	-1,46	-3,40	0,62
B246	POD2_bez_listy - lw	117,660	LC4.4	-69,51	-11,75	0,27	2,12
B246	POD2_bez_listy - lw	117,660	LC4.5	-27,36	-1,08	-3,25	-0,02
B246	POD2_bez_listy - lw	117,660	LC5.1	30,14	7,26	1,60	-0,25
B246	POD2_bez_listy - lw	117,660	LC5.2	-30,17	-7,25	-1,61	0,26
B246	POD2_bez_listy - lw	117,680	LC1	7,05	-1,00	3,15	-0,11
B246	POD2_bez_listy - lw	117,680	LC2	3,88	-1,33	1,22	-0,06
B246	POD2_bez_listy - lw	117,680	LC3.1	19,65	15,22	1,92	-0,89
B246	POD2_bez_listy - lw	117,680	LC3.2	-19,65	-15,22	-1,92	0,89
B246	POD2_bez_listy - lw	117,680	LC3.3	11,99	9,50	1,52	-0,54
B246	POD2_bez_listy - lw	117,680	LC3.4	-11,91	-9,22	-1,16	0,54
B246	POD2_bez_listy - lw	117,680	LC4.1	-9,52	-0,71	-0,14	0,14

Dilec	css	dx [mm]	Stav	N [kN]	Vz [kN]	My [kNm]	Mz [kNm]
B246	POD2_bez_listy - lw	117,680	LC4.2	-31,67	-1,50	-0,62	0,44
B246	POD2_bez_listy - lw	117,680	LC4.3	-55,44	-1,46	-3,40	0,62
B246	POD2_bez_listy - lw	117,680	LC4.4	-69,51	-11,75	0,27	2,12
B246	POD2_bez_listy - lw	117,680	LC4.5	-27,36	-1,08	-3,25	-0,02
B246	POD2_bez_listy - lw	117,680	LC5.1	30,14	7,26	1,60	-0,25
B246	POD2_bez_listy - lw	117,680	LC5.2	-30,17	-7,25	-1,61	0,26
B246	POD2_bez_listy - lw	220,000	LC1	7,05	-1,10	3,05	-0,13
B246	POD2_bez_listy - lw	220,000	LC2	3,88	-1,58	1,07	-0,08
B246	POD2_bez_listy - lw	220,000	LC3.1	21,34	15,22	2,20	-1,10
B246	POD2_bez_listy - lw	220,000	LC3.2	-21,34	-15,22	-2,20	1,10
B246	POD2_bez_listy - lw	220,000	LC3.3	13,01	9,50	1,72	-0,67
B246	POD2_bez_listy - lw	220,000	LC3.4	-12,93	-9,22	-1,34	0,66
B246	POD2_bez_listy - lw	220,000	LC4.1	-9,52	-0,71	-0,22	0,23
B246	POD2_bez_listy - lw	220,000	LC4.2	-31,67	-1,50	-0,77	0,69
B246	POD2_bez_listy - lw	220,000	LC4.3	-55,44	-1,46	-3,55	0,94
B246	POD2_bez_listy - lw	220,000	LC4.4	-69,51	-11,75	-0,93	3,58
B246	POD2_bez_listy - lw	220,000	LC4.5	-27,36	-1,08	-3,36	0,02
B246	POD2_bez_listy - lw	220,000	LC5.1	30,14	8,66	2,42	-0,60
B246	POD2_bez_listy - lw	220,000	LC5.2	-30,17	-8,66	-2,43	0,60
B248	POD2_bez_listy - lw	0,000	LC1	9,05	-1,01	4,09	-0,02
B248	POD2_bez_listy - lw	0,000	LC2	4,89	-2,11	1,98	-0,01
B248	POD2_bez_listy - lw	0,000	LC3.1	29,40	13,68	1,80	-0,51
B248	POD2_bez_listy - lw	0,000	LC3.2	-29,40	-13,68	-1,80	0,51
B248	POD2_bez_listy - lw	0,000	LC3.3	17,92	8,32	1,18	-0,31
B248	POD2_bez_listy - lw	0,000	LC3.4	-17,82	-8,29	-1,09	0,31
B248	POD2_bez_listy - lw	0,000	LC4.1	-17,09	-0,25	-0,35	0,16
B248	POD2_bez_listy - lw	0,000	LC4.2	-54,32	0,36	-2,02	0,30
B248	POD2_bez_listy - lw	0,000	LC4.3	-87,01	-21,07	-1,17	5,75
B248	POD2_bez_listy - lw	0,000	LC4.4	-58,89	1,64	0,98	-0,82
B248	POD2_bez_listy - lw	0,000	LC4.5	-21,61	-0,69	-1,51	-0,33
B248	POD2_bez_listy - lw	0,000	LC5.1	39,72	11,23	-0,66	-0,58
B248	POD2_bez_listy - lw	0,000	LC5.2	-39,58	-11,23	0,65	0,58
B248	POD2_bez_listy - lw	80,000	LC1	9,05	-1,09	4,01	-0,03
B248	POD2_bez_listy - lw	80,000	LC2	4,89	-2,31	1,81	-0,01
B248	POD2_bez_listy - lw	80,000	LC3.1	30,72	13,68	1,89	-0,56
B248	POD2_bez_listy - lw	80,000	LC3.2	-30,72	-13,68	-1,89	0,56
B248	POD2_bez_listy - lw	80,000	LC3.3	18,72	8,32	1,24	-0,34
B248	POD2_bez_listy - lw	80,000	LC3.4	-18,62	-8,29	-1,15	0,34
B248	POD2_bez_listy - lw	80,000	LC4.1	-17,09	-0,25	-0,37	0,21
B248	POD2_bez_listy - lw	80,000	LC4.2	-54,32	0,36	-2,00	0,42
B248	POD2_bez_listy - lw	80,000	LC4.3	-87,01	-21,07	-2,86	7,79
B248	POD2_bez_listy - lw	80,000	LC4.4	-58,89	1,64	1,11	-0,88
B248	POD2_bez_listy - lw	80,000	LC4.5	-21,61	-0,69	-1,57	-0,36
B248	POD2_bez_listy - lw	80,000	LC5.1	39,72	12,32	0,29	-0,92
B248	POD2_bez_listy - lw	80,000	LC5.2	-39,58	-12,33	-0,29	0,92
B248	POD2_bez_listy - lw	80,001	LC1	9,05	-1,09	4,01	-0,03
B248	POD2_bez_listy - lw	80,001	LC2	4,89	-2,31	1,81	-0,01
B248	POD2_bez_listy - lw	80,001	LC3.1	30,72	13,68	1,89	-0,56
B248	POD2_bez_listy - lw	80,001	LC3.2	-30,72	-13,68	-1,89	0,56
B248	POD2_bez_listy - lw	80,001	LC3.3	18,72	8,32	1,24	-0,34
B248	POD2_bez_listy - lw	80,001	LC3.4	-18,62	-8,29	-1,15	0,34
B248	POD2_bez_listy - lw	80,001	LC4.1	-17,09	-0,25	-0,37	0,21
B248	POD2_bez_listy - lw	80,001	LC4.2	-54,32	0,36	-2,00	0,42
B248	POD2_bez_listy - lw	80,001	LC4.3	-87,01	-21,07	-2,86	7,79
B248	POD2_bez_listy - lw	80,001	LC4.4	-58,89	1,64	1,11	-0,88
B248	POD2_bez_listy - lw	80,001	LC4.5	-21,61	-0,69	-1,57	-0,36
B248	POD2_bez_listy - lw	80,001	LC5.1	39,72	12,32	0,29	-0,92
B248	POD2_bez_listy - lw	80,001	LC5.2	-39,58	-12,33	-0,29	0,92
B248	POD2_bez_listy - lw	170,000	LC1	9,05	-1,18	3,90	-0,03
B248	POD2_bez_listy - lw	170,000	LC2	4,89	-2,54	1,59	-0,01
B248	POD2_bez_listy - lw	170,000	LC3.1	32,21	13,68	2,00	-0,62
B248	POD2_bez_listy - lw	170,000	LC3.2	-32,21	-13,68	-2,00	0,62
B248	POD2_bez_listy - lw	170,000	LC3.3	19,62	8,32	1,31	-0,38
B248	POD2_bez_listy - lw	170,000	LC3.4	-19,52	-8,29	-1,21	0,37
B248	POD2_bez_listy - lw	170,000	LC4.1	-17,09	-0,25	-0,40	0,27
B248	POD2_bez_listy - lw	170,000	LC4.2	-54,32	0,36	-1,96	0,55
B248	POD2_bez_listy - lw	170,000	LC4.3	-87,01	-21,07	-4,75	10,09
B248	POD2_bez_listy - lw	170,000	LC4.4	-58,89	1,64	1,25	-0,95
B248	POD2_bez_listy - lw	170,000	LC4.5	-21,61	-0,69	-1,63	-0,39
B248	POD2_bez_listy - lw	170,000	LC5.1	39,72	13,56	1,45	-1,34
B248	POD2_bez_listy - lw	170,000	LC5.2	-39,58	-13,57	-1,45	1,34
B248	POD2_bez_listy - lw	170,001	LC1	9,05	-1,18	3,90	-0,03
B248	POD2_bez_listy - lw	170,001	LC2	4,89	-2,54	1,59	-0,01
B248	POD2_bez_listy - lw	170,001	LC3.1	32,21	13,68	2,00	-0,62
B248	POD2_bez_listy - lw	170,001	LC3.2	-32,21	-13,68	-2,00	0,62
B248	POD2_bez_listy - lw	170,001	LC3.3	19,62	8,32	1,31	-0,38

Dílec	css	dx [mm]	Stav	N [kN]	Vz [kN]	My [kNm]	Mz [kNm]
B248	POD2_bez_listy - lw	170,001	LC3.4	-19,52	-8,29	-1,21	0,37
B248	POD2_bez_listy - lw	170,001	LC4.1	-17,09	-0,25	-0,40	0,27
B248	POD2_bez_listy - lw	170,001	LC4.2	-54,32	0,36	-1,96	0,55
B248	POD2_bez_listy - lw	170,001	LC4.3	-87,01	-21,07	-4,75	10,09
B248	POD2_bez_listy - lw	170,001	LC4.4	-58,89	1,64	1,25	-0,95
B248	POD2_bez_listy - lw	170,001	LC4.5	-21,61	-0,69	-1,63	-0,39
B248	POD2_bez_listy - lw	170,001	LC5.1	39,72	13,56	1,45	-1,34
B248	POD2_bez_listy - lw	170,001	LC5.2	-39,58	-13,57	-1,45	1,34
B248	POD2_bez_listy - lw	220,000	LC1	9,05	-1,22	3,84	-0,03
B248	POD2_bez_listy - lw	220,000	LC2	4,89	-2,66	1,46	-0,01
B248	POD2_bez_listy - lw	220,000	LC3.1	33,03	13,68	2,06	-0,65
B248	POD2_bez_listy - lw	220,000	LC3.2	-33,03	-13,68	-2,06	0,65
B248	POD2_bez_listy - lw	220,000	LC3.3	20,12	8,32	1,35	-0,40
B248	POD2_bez_listy - lw	220,000	LC3.4	-20,02	-8,29	-1,25	0,39
B248	POD2_bez_listy - lw	220,000	LC4.1	-17,09	-0,25	-0,41	0,30
B248	POD2_bez_listy - lw	220,000	LC4.2	-54,32	0,36	-1,95	0,62
B248	POD2_bez_listy - lw	220,000	LC4.3	-87,01	-21,07	-5,81	11,37
B248	POD2_bez_listy - lw	220,000	LC4.4	-58,89	1,64	1,34	-0,98
B248	POD2_bez_listy - lw	220,000	LC4.5	-21,61	-0,69	-1,66	-0,41
B248	POD2_bez_listy - lw	220,000	LC5.1	39,72	14,25	2,15	-1,59
B248	POD2_bez_listy - lw	220,000	LC5.2	-39,58	-14,25	-2,15	1,59

4.5. Vnitřní síly-POD1-4.pole-UIC

Lineární výpočet, Extrém : Globální, Systém : Hlavní

Výběr : Pojmenovaný výběr - POD4pole

Třída : ZS UIC

Průřez : POD1_bez_listy - lwn (493; 10; 200; 12; 200; 20; 461; 0)

Dílec	css	dx [mm]	Stav	N [kN]	Vz [kN]	My [kNm]	Mz [kNm]
B245	POD1_bez_listy - lwn	0,000	LC101	67,85	11,28	13,02	0,25
B245	POD1_bez_listy - lwn	0,000	LC105	83,04	12,74	20,66	0,42
B245	POD1_bez_listy - lwn	330,001	LC108	79,81	-66,64	43,02	-0,22
B243	POD1_bez_listy - lwn	0,000	LC107	79,89	60,62	24,73	-0,52
B245	POD1_bez_listy - lwn	610,000	LC109	72,81	-20,28	10,49	-0,83
B245	POD1_bez_listy - lwn	305,000	LC107	79,95	60,61	43,22	-0,17
B245	POD1_bez_listy - lwn	610,000	LC108	79,81	-66,64	24,36	-0,86
B243	POD1_bez_listy - lwn	610,000	LC108	79,75	-66,63	24,36	0,86

4.6. Vnitřní síly-POD1-4.pole-neUIC

Lineární výpočet, Extrém : Ne, Systém : Hlavní

Výběr : Pojmenovaný výběr - POD4pole

Třída : ZS neUIC

Průřez : POD1_bez_listy - lwn (493; 10; 200; 12; 200; 20; 461; 0)

Dílec	css	dx [mm]	Stav	N [kN]	Vz [kN]	My [kNm]	Mz [kNm]
B243	POD1_bez_listy - lwn	0,000	LC1	7,03	-0,27	3,37	-0,05
B243	POD1_bez_listy - lwn	0,000	LC2	3,96	0,48	1,45	-0,03
B243	POD1_bez_listy - lwn	0,000	LC3.1	7,64	15,22	-0,64	-0,61
B243	POD1_bez_listy - lwn	0,000	LC3.2	-7,64	-15,22	0,64	0,61
B243	POD1_bez_listy - lwn	0,000	LC3.3	4,70	9,50	-0,24	-0,37
B243	POD1_bez_listy - lwn	0,000	LC3.4	-4,63	-9,22	0,39	0,37
B243	POD1_bez_listy - lwn	0,000	LC4.1	10,63	0,83	-0,68	-0,15
B243	POD1_bez_listy - lwn	0,000	LC4.2	33,55	1,70	-1,25	-0,48
B243	POD1_bez_listy - lwn	0,000	LC4.3	58,28	1,75	1,06	-0,63
B243	POD1_bez_listy - lwn	0,000	LC4.4	73,30	-8,89	-3,91	0,06
B243	POD1_bez_listy - lwn	0,000	LC4.5	32,14	1,49	2,55	0,01
B243	POD1_bez_listy - lwn	0,000	LC5.1	-33,12	2,46	0,51	0,28
B243	POD1_bez_listy - lwn	0,000	LC5.2	33,09	-2,45	-0,52	-0,28
B243	POD1_bez_listy - lwn	152,500	LC1	7,03	-0,40	3,32	-0,02
B243	POD1_bez_listy - lwn	152,500	LC2	3,96	0,10	1,49	-0,01
B243	POD1_bez_listy - lwn	152,500	LC3.1	10,15	15,22	-0,22	-0,30
B243	POD1_bez_listy - lwn	152,500	LC3.2	-10,15	-15,22	0,22	0,30
B243	POD1_bez_listy - lwn	152,500	LC3.3	6,23	9,50	0,06	-0,18
B243	POD1_bez_listy - lwn	152,500	LC3.4	-6,15	-9,22	0,14	0,18
B243	POD1_bez_listy - lwn	152,500	LC4.1	10,63	0,83	-0,55	-0,10
B243	POD1_bez_listy - lwn	152,500	LC4.2	33,55	1,70	-0,99	-0,33
B243	POD1_bez_listy - lwn	152,500	LC4.3	58,28	1,75	1,33	-0,43
B243	POD1_bez_listy - lwn	152,500	LC4.4	73,30	-8,89	-5,27	-1,78
B243	POD1_bez_listy - lwn	152,500	LC4.5	32,14	1,49	2,78	-0,04
B243	POD1_bez_listy - lwn	152,500	LC5.1	-33,12	0,37	0,72	0,40
B243	POD1_bez_listy - lwn	152,500	LC5.2	33,09	-0,36	-0,74	-0,40
B243	POD1_bez_listy - lwn	305,000	LC1	7,03	-0,52	3,25	0,01
B243	POD1_bez_listy - lwn	305,000	LC2	3,96	-0,28	1,48	0,01

Dilec	css	dx [mm]	Stav	N [kN]	Vz [kN]	My [kNm]	Mz [kNm]
B243	POD1_bez_listy - lwn	305,000	LC3.1	12,67	15,22	0,19	0,02
B243	POD1_bez_listy - lwn	305,000	LC3.2	-12,67	-15,22	-0,19	-0,02
B243	POD1_bez_listy - lwn	305,000	LC3.3	7,75	9,50	0,35	0,01
B243	POD1_bez_listy - lwn	305,000	LC3.4	-7,68	-9,22	-0,12	-0,01
B243	POD1_bez_listy - lwn	305,000	LC4.1	10,63	0,83	-0,42	-0,05
B243	POD1_bez_listy - lwn	305,000	LC4.2	33,55	1,70	-0,73	-0,18
B243	POD1_bez_listy - lwn	305,000	LC4.3	58,28	1,75	1,60	-0,23
B243	POD1_bez_listy - lwn	305,000	LC4.4	73,30	-8,89	-6,63	-3,62
B243	POD1_bez_listy - lwn	305,000	LC4.5	32,14	1,49	3,01	-0,10
B243	POD1_bez_listy - lwn	305,000	LC5.1	-33,12	-1,73	0,62	0,42
B243	POD1_bez_listy - lwn	305,000	LC5.2	33,09	1,74	-0,63	-0,42
B243	POD1_bez_listy - lwn	305,001	LC1	7,03	-0,52	3,25	0,01
B243	POD1_bez_listy - lwn	305,001	LC2	3,96	-0,28	1,48	0,01
B243	POD1_bez_listy - lwn	305,001	LC3.1	12,67	15,22	0,19	0,02
B243	POD1_bez_listy - lwn	305,001	LC3.2	-12,67	-15,22	-0,19	-0,02
B243	POD1_bez_listy - lwn	305,001	LC3.3	7,75	9,50	0,35	0,01
B243	POD1_bez_listy - lwn	305,001	LC3.4	-7,68	-9,22	-0,12	-0,01
B243	POD1_bez_listy - lwn	305,001	LC4.1	10,63	0,83	-0,42	-0,05
B243	POD1_bez_listy - lwn	305,001	LC4.2	33,55	1,70	-0,73	-0,18
B243	POD1_bez_listy - lwn	305,001	LC4.3	58,28	1,75	1,60	-0,23
B243	POD1_bez_listy - lwn	305,001	LC4.4	73,30	12,11	-6,63	-3,62
B243	POD1_bez_listy - lwn	305,001	LC4.5	32,14	1,49	3,01	-0,10
B243	POD1_bez_listy - lwn	305,001	LC5.1	-33,12	-1,73	0,62	0,42
B243	POD1_bez_listy - lwn	305,001	LC5.2	33,09	1,74	-0,63	-0,42
B243	POD1_bez_listy - lwn	330,000	LC1	7,03	-0,55	3,24	0,02
B243	POD1_bez_listy - lwn	330,000	LC2	3,96	-0,34	1,47	0,01
B243	POD1_bez_listy - lwn	330,000	LC3.1	13,08	15,22	0,26	0,07
B243	POD1_bez_listy - lwn	330,000	LC3.2	-13,08	-15,22	-0,26	-0,07
B243	POD1_bez_listy - lwn	330,000	LC3.3	8,00	9,50	0,40	0,04
B243	POD1_bez_listy - lwn	330,000	LC3.4	-7,93	-9,22	-0,16	-0,04
B243	POD1_bez_listy - lwn	330,000	LC4.1	10,63	0,83	-0,40	-0,05
B243	POD1_bez_listy - lwn	330,000	LC4.2	33,55	1,70	-0,68	-0,15
B243	POD1_bez_listy - lwn	330,000	LC4.3	58,28	1,75	1,64	-0,19
B243	POD1_bez_listy - lwn	330,000	LC4.4	73,30	12,11	-6,32	-3,30
B243	POD1_bez_listy - lwn	330,000	LC4.5	32,14	1,49	3,05	-0,10
B243	POD1_bez_listy - lwn	330,000	LC5.1	-33,12	-2,07	0,57	0,42
B243	POD1_bez_listy - lwn	330,000	LC5.2	33,09	2,08	-0,58	-0,42
B243	POD1_bez_listy - lwn	330,001	LC1	7,03	-0,55	3,24	0,02
B243	POD1_bez_listy - lwn	330,001	LC2	3,96	-0,34	1,47	0,01
B243	POD1_bez_listy - lwn	330,001	LC3.1	13,08	15,22	0,26	0,07
B243	POD1_bez_listy - lwn	330,001	LC3.2	-13,08	-15,22	-0,26	-0,07
B243	POD1_bez_listy - lwn	330,001	LC3.3	8,00	9,50	0,40	0,04
B243	POD1_bez_listy - lwn	330,001	LC3.4	-7,93	-9,22	-0,16	-0,04
B243	POD1_bez_listy - lwn	330,001	LC4.1	10,63	0,83	-0,40	-0,05
B243	POD1_bez_listy - lwn	330,001	LC4.2	33,55	1,70	-0,68	-0,15
B243	POD1_bez_listy - lwn	330,001	LC4.3	58,28	1,75	1,64	-0,19
B243	POD1_bez_listy - lwn	330,001	LC4.4	73,30	12,11	-6,32	-3,30
B243	POD1_bez_listy - lwn	330,001	LC4.5	32,14	1,49	3,05	-0,10
B243	POD1_bez_listy - lwn	330,001	LC5.1	-33,12	-2,07	0,57	0,42
B243	POD1_bez_listy - lwn	330,001	LC5.2	33,09	2,08	-0,58	-0,42
B243	POD1_bez_listy - lwn	440,000	LC1	7,03	-0,64	3,17	0,04
B243	POD1_bez_listy - lwn	440,000	LC2	3,96	-0,62	1,42	0,03
B243	POD1_bez_listy - lwn	440,000	LC3.1	14,90	15,22	0,56	0,29
B243	POD1_bez_listy - lwn	440,000	LC3.2	-14,90	-15,22	-0,56	-0,29
B243	POD1_bez_listy - lwn	440,000	LC3.3	9,10	9,50	0,61	0,18
B243	POD1_bez_listy - lwn	440,000	LC3.4	-9,03	-9,22	-0,34	-0,18
B243	POD1_bez_listy - lwn	440,000	LC4.1	10,63	0,83	-0,31	-0,01
B243	POD1_bez_listy - lwn	440,000	LC4.2	33,55	1,70	-0,50	-0,04
B243	POD1_bez_listy - lwn	440,000	LC4.3	58,28	1,75	1,83	-0,05
B243	POD1_bez_listy - lwn	440,000	LC4.4	73,30	12,11	-4,99	-1,87
B243	POD1_bez_listy - lwn	440,000	LC4.5	32,14	1,49	3,21	-0,14
B243	POD1_bez_listy - lwn	440,000	LC5.1	-33,12	-3,58	0,26	0,36
B243	POD1_bez_listy - lwn	440,000	LC5.2	33,09	3,59	-0,27	-0,36
B243	POD1_bez_listy - lwn	550,000	LC1	7,03	-0,73	3,10	0,06
B243	POD1_bez_listy - lwn	550,000	LC2	3,96	-0,89	1,34	0,04
B243	POD1_bez_listy - lwn	550,000	LC3.1	16,71	15,22	0,86	0,52
B243	POD1_bez_listy - lwn	550,000	LC3.2	-16,71	-15,22	-0,86	-0,52
B243	POD1_bez_listy - lwn	550,000	LC3.3	10,20	9,50	0,83	0,32
B243	POD1_bez_listy - lwn	550,000	LC3.4	-10,13	-9,22	-0,52	-0,32
B243	POD1_bez_listy - lwn	550,000	LC4.1	10,63	0,83	-0,22	0,02
B243	POD1_bez_listy - lwn	550,000	LC4.2	33,55	1,70	-0,31	0,07
B243	POD1_bez_listy - lwn	550,000	LC4.3	58,28	1,75	2,03	0,10
B243	POD1_bez_listy - lwn	550,000	LC4.4	73,30	12,11	-3,66	-0,45
B243	POD1_bez_listy - lwn	550,000	LC4.5	32,14	1,49	3,37	-0,18
B243	POD1_bez_listy - lwn	550,000	LC5.1	-33,12	-5,09	-0,22	0,24
B243	POD1_bez_listy - lwn	550,000	LC5.2	33,09	5,10	0,21	-0,24

Dilec	css	dx [mm]	Stav	N [kN]	Vz [kN]	My [kNm]	Mz [kNm]
B243	POD1_bez_listy - lwn	550,001	LC1	7,03	-0,73	3,10	0,06
B243	POD1_bez_listy - lwn	550,001	LC2	3,96	-0,89	1,34	0,04
B243	POD1_bez_listy - lwn	550,001	LC3.1	16,71	15,22	0,86	0,52
B243	POD1_bez_listy - lwn	550,001	LC3.2	-16,71	-15,22	-0,86	-0,52
B243	POD1_bez_listy - lwn	550,001	LC3.3	10,20	9,50	0,83	0,32
B243	POD1_bez_listy - lwn	550,001	LC3.4	-10,13	-9,22	-0,52	-0,32
B243	POD1_bez_listy - lwn	550,001	LC4.1	10,63	0,83	-0,22	0,02
B243	POD1_bez_listy - lwn	550,001	LC4.2	33,55	1,70	-0,31	0,07
B243	POD1_bez_listy - lwn	550,001	LC4.3	58,28	1,75	2,03	0,10
B243	POD1_bez_listy - lwn	550,001	LC4.4	73,30	12,11	-3,66	-0,45
B243	POD1_bez_listy - lwn	550,001	LC4.5	32,14	1,49	3,37	-0,18
B243	POD1_bez_listy - lwn	550,001	LC5.1	-33,12	-5,09	-0,22	0,24
B243	POD1_bez_listy - lwn	550,001	LC5.2	33,09	5,10	0,21	-0,24
B243	POD1_bez_listy - lwn	610,000	LC1	7,03	-0,78	3,05	0,08
B243	POD1_bez_listy - lwn	610,000	LC2	3,96	-1,04	1,28	0,05
B243	POD1_bez_listy - lwn	610,000	LC3.1	17,70	15,22	1,03	0,64
B243	POD1_bez_listy - lwn	610,000	LC3.2	-17,70	-15,22	-1,03	-0,64
B243	POD1_bez_listy - lwn	610,000	LC3.3	10,80	9,50	0,94	0,39
B243	POD1_bez_listy - lwn	610,000	LC3.4	-10,73	-9,22	-0,62	-0,39
B243	POD1_bez_listy - lwn	610,000	LC4.1	10,63	0,83	-0,17	0,04
B243	POD1_bez_listy - lwn	610,000	LC4.2	33,55	1,70	-0,21	0,13
B243	POD1_bez_listy - lwn	610,000	LC4.3	58,28	1,75	2,13	0,18
B243	POD1_bez_listy - lwn	610,000	LC4.4	73,30	12,11	-2,93	0,33
B243	POD1_bez_listy - lwn	610,000	LC4.5	32,14	1,49	3,46	-0,20
B243	POD1_bez_listy - lwn	610,000	LC5.1	-33,12	-5,92	-0,55	0,15
B243	POD1_bez_listy - lwn	610,000	LC5.2	33,09	5,92	0,54	-0,16
B245	POD1_bez_listy - lwn	0,000	LC1	7,03	-0,32	3,39	0,05
B245	POD1_bez_listy - lwn	0,000	LC2	3,88	0,49	1,40	0,03
B245	POD1_bez_listy - lwn	0,000	LC3.1	7,64	15,22	-0,64	0,61
B245	POD1_bez_listy - lwn	0,000	LC3.2	-7,64	-15,22	0,64	-0,61
B245	POD1_bez_listy - lwn	0,000	LC3.3	4,71	9,50	-0,24	0,37
B245	POD1_bez_listy - lwn	0,000	LC3.4	-4,63	-9,22	0,39	-0,37
B245	POD1_bez_listy - lwn	0,000	LC4.1	-9,34	-0,71	0,71	-0,15
B245	POD1_bez_listy - lwn	0,000	LC4.2	-31,19	-1,50	1,56	-0,50
B245	POD1_bez_listy - lwn	0,000	LC4.3	-54,85	-1,46	-0,47	-0,67
B245	POD1_bez_listy - lwn	0,000	LC4.4	-69,11	9,25	4,71	0,00
B245	POD1_bez_listy - lwn	0,000	LC4.5	-27,24	-1,08	-1,57	-0,07
B245	POD1_bez_listy - lwn	0,000	LC5.1	29,83	-2,73	-1,06	0,31
B245	POD1_bez_listy - lwn	0,000	LC5.2	-29,86	2,74	1,05	-0,32
B245	POD1_bez_listy - lwn	152,500	LC1	7,03	-0,45	3,33	0,02
B245	POD1_bez_listy - lwn	152,500	LC2	3,88	0,11	1,44	0,01
B245	POD1_bez_listy - lwn	152,500	LC3.1	10,16	15,22	-0,22	0,30
B245	POD1_bez_listy - lwn	152,500	LC3.2	-10,16	-15,22	0,22	-0,30
B245	POD1_bez_listy - lwn	152,500	LC3.3	6,23	9,50	0,06	0,18
B245	POD1_bez_listy - lwn	152,500	LC3.4	-6,16	-9,22	0,14	-0,18
B245	POD1_bez_listy - lwn	152,500	LC4.1	-9,34	-0,71	0,60	-0,10
B245	POD1_bez_listy - lwn	152,500	LC4.2	-31,19	-1,50	1,33	-0,33
B245	POD1_bez_listy - lwn	152,500	LC4.3	-54,85	-1,46	-0,69	-0,44
B245	POD1_bez_listy - lwn	152,500	LC4.4	-69,11	9,25	6,12	-1,80
B245	POD1_bez_listy - lwn	152,500	LC4.5	-27,24	-1,08	-1,73	-0,06
B245	POD1_bez_listy - lwn	152,500	LC5.1	29,83	-0,64	-1,32	0,41
B245	POD1_bez_listy - lwn	152,500	LC5.2	-29,86	0,65	1,30	-0,41
B245	POD1_bez_listy - lwn	305,000	LC1	7,03	-0,58	3,25	-0,01
B245	POD1_bez_listy - lwn	305,000	LC2	3,88	-0,27	1,43	-0,01
B245	POD1_bez_listy - lwn	305,000	LC3.1	12,68	15,22	0,20	-0,02
B245	POD1_bez_listy - lwn	305,000	LC3.2	-12,68	-15,22	-0,20	0,02
B245	POD1_bez_listy - lwn	305,000	LC3.3	7,76	9,50	0,35	-0,01
B245	POD1_bez_listy - lwn	305,000	LC3.4	-7,68	-9,22	-0,12	0,01
B245	POD1_bez_listy - lwn	305,000	LC4.1	-9,34	-0,71	0,49	-0,05
B245	POD1_bez_listy - lwn	305,000	LC4.2	-31,19	-1,50	1,11	-0,16
B245	POD1_bez_listy - lwn	305,000	LC4.3	-54,85	-1,46	-0,91	-0,20
B245	POD1_bez_listy - lwn	305,000	LC4.4	-69,11	9,25	7,53	-3,59
B245	POD1_bez_listy - lwn	305,000	LC4.5	-27,24	-1,08	-1,90	-0,06
B245	POD1_bez_listy - lwn	305,000	LC5.1	29,83	1,46	-1,26	0,40
B245	POD1_bez_listy - lwn	305,000	LC5.2	-29,86	-1,45	1,24	-0,40
B245	POD1_bez_listy - lwn	305,001	LC1	7,03	-0,58	3,25	-0,01
B245	POD1_bez_listy - lwn	305,001	LC2	3,88	-0,27	1,43	-0,01
B245	POD1_bez_listy - lwn	305,001	LC3.1	12,68	15,22	0,20	-0,02
B245	POD1_bez_listy - lwn	305,001	LC3.2	-12,68	-15,22	-0,20	0,02
B245	POD1_bez_listy - lwn	305,001	LC3.3	7,76	9,50	0,35	-0,01
B245	POD1_bez_listy - lwn	305,001	LC3.4	-7,68	-9,22	-0,12	0,01
B245	POD1_bez_listy - lwn	305,001	LC4.1	-9,34	-0,71	0,49	-0,05
B245	POD1_bez_listy - lwn	305,001	LC4.2	-31,19	-1,50	1,11	-0,16
B245	POD1_bez_listy - lwn	305,001	LC4.3	-54,85	-1,46	-0,91	-0,20
B245	POD1_bez_listy - lwn	305,001	LC4.4	-69,11	-11,75	7,53	-3,59
B245	POD1_bez_listy - lwn	305,001	LC4.5	-27,24	-1,08	-1,90	-0,06

Dilec	css	dx [mm]	Stav	N [kN]	Vz [kN]	My [kNm]	Mz [kNm]
B245	POD1_bez_listy - lwn	305,001	LC5.1	29,83	1,46	-1,26	0,40
B245	POD1_bez_listy - lwn	305,001	LC5.2	-29,86	-1,45	1,24	-0,40
B245	POD1_bez_listy - lwn	330,000	LC1	7,03	-0,60	3,24	-0,02
B245	POD1_bez_listy - lwn	330,000	LC2	3,88	-0,33	1,42	-0,01
B245	POD1_bez_listy - lwn	330,000	LC3.1	13,09	15,22	0,26	-0,07
B245	POD1_bez_listy - lwn	330,000	LC3.2	-13,09	-15,22	-0,26	0,07
B245	POD1_bez_listy - lwn	330,000	LC3.3	8,01	9,50	0,40	-0,04
B245	POD1_bez_listy - lwn	330,000	LC3.4	-7,93	-9,22	-0,16	0,04
B245	POD1_bez_listy - lwn	330,000	LC4.1	-9,34	-0,71	0,48	-0,04
B245	POD1_bez_listy - lwn	330,000	LC4.2	-31,19	-1,50	1,07	-0,13
B245	POD1_bez_listy - lwn	330,000	LC4.3	-54,85	-1,46	-0,95	-0,17
B245	POD1_bez_listy - lwn	330,000	LC4.4	-69,11	-11,75	7,24	-3,26
B245	POD1_bez_listy - lwn	330,000	LC4.5	-27,24	-1,08	-1,92	-0,06
B245	POD1_bez_listy - lwn	330,000	LC5.1	29,83	1,80	-1,22	0,39
B245	POD1_bez_listy - lwn	330,000	LC5.2	-29,86	-1,79	1,20	-0,39
B245	POD1_bez_listy - lwn	330,001	LC1	7,03	-0,60	3,24	-0,02
B245	POD1_bez_listy - lwn	330,001	LC2	3,88	-0,33	1,42	-0,01
B245	POD1_bez_listy - lwn	330,001	LC3.1	13,09	15,22	0,26	-0,07
B245	POD1_bez_listy - lwn	330,001	LC3.2	-13,09	-15,22	-0,26	0,07
B245	POD1_bez_listy - lwn	330,001	LC3.3	8,01	9,50	0,40	-0,04
B245	POD1_bez_listy - lwn	330,001	LC3.4	-7,93	-9,22	-0,16	0,04
B245	POD1_bez_listy - lwn	330,001	LC4.1	-9,34	-0,71	0,48	-0,04
B245	POD1_bez_listy - lwn	330,001	LC4.2	-31,19	-1,50	1,07	-0,13
B245	POD1_bez_listy - lwn	330,001	LC4.3	-54,85	-1,46	-0,95	-0,17
B245	POD1_bez_listy - lwn	330,001	LC4.4	-69,11	-11,75	7,24	-3,26
B245	POD1_bez_listy - lwn	330,001	LC4.5	-27,24	-1,08	-1,92	-0,06
B245	POD1_bez_listy - lwn	330,001	LC5.1	29,83	1,80	-1,22	0,39
B245	POD1_bez_listy - lwn	330,001	LC5.2	-29,86	-1,79	1,20	-0,39
B245	POD1_bez_listy - lwn	440,000	LC1	7,03	-0,70	3,17	-0,04
B245	POD1_bez_listy - lwn	440,000	LC2	3,88	-0,61	1,37	-0,03
B245	POD1_bez_listy - lwn	440,000	LC3.1	14,90	15,22	0,57	-0,29
B245	POD1_bez_listy - lwn	440,000	LC3.2	-14,90	-15,22	-0,57	0,29
B245	POD1_bez_listy - lwn	440,000	LC3.3	9,11	9,50	0,62	-0,18
B245	POD1_bez_listy - lwn	440,000	LC3.4	-9,03	-9,22	-0,34	0,18
B245	POD1_bez_listy - lwn	440,000	LC4.1	-9,34	-0,71	0,40	0,00
B245	POD1_bez_listy - lwn	440,000	LC4.2	-31,19	-1,50	0,90	-0,01
B245	POD1_bez_listy - lwn	440,000	LC4.3	-54,85	-1,46	-1,11	0,00
B245	POD1_bez_listy - lwn	440,000	LC4.4	-69,11	-11,75	5,94	-1,80
B245	POD1_bez_listy - lwn	440,000	LC4.5	-27,24	-1,08	-2,04	-0,06
B245	POD1_bez_listy - lwn	440,000	LC5.1	29,83	3,31	-0,94	0,31
B245	POD1_bez_listy - lwn	440,000	LC5.2	-29,86	-3,30	0,92	-0,31
B245	POD1_bez_listy - lwn	550,000	LC1	7,03	-0,79	3,09	-0,06
B245	POD1_bez_listy - lwn	550,000	LC2	3,88	-0,88	1,29	-0,04
B245	POD1_bez_listy - lwn	550,000	LC3.1	16,72	15,22	0,87	-0,52
B245	POD1_bez_listy - lwn	550,000	LC3.2	-16,72	-15,22	-0,87	0,52
B245	POD1_bez_listy - lwn	550,000	LC3.3	10,21	9,50	0,83	-0,32
B245	POD1_bez_listy - lwn	550,000	LC3.4	-10,13	-9,22	-0,53	0,32
B245	POD1_bez_listy - lwn	550,000	LC4.1	-9,34	-0,71	0,32	0,03
B245	POD1_bez_listy - lwn	550,000	LC4.2	-31,19	-1,50	0,74	0,11
B245	POD1_bez_listy - lwn	550,000	LC4.3	-54,85	-1,46	-1,27	0,17
B245	POD1_bez_listy - lwn	550,000	LC4.4	-69,11	-11,75	4,65	-0,35
B245	POD1_bez_listy - lwn	550,000	LC4.5	-27,24	-1,08	-2,16	-0,05
B245	POD1_bez_listy - lwn	550,000	LC5.1	29,83	4,82	-0,49	0,17
B245	POD1_bez_listy - lwn	550,000	LC5.2	-29,86	-4,81	0,48	-0,17
B245	POD1_bez_listy - lwn	550,001	LC1	7,03	-0,79	3,09	-0,06
B245	POD1_bez_listy - lwn	550,001	LC2	3,88	-0,88	1,29	-0,04
B245	POD1_bez_listy - lwn	550,001	LC3.1	16,72	15,22	0,87	-0,52
B245	POD1_bez_listy - lwn	550,001	LC3.2	-16,72	-15,22	-0,87	0,52
B245	POD1_bez_listy - lwn	550,001	LC3.3	10,21	9,50	0,83	-0,32
B245	POD1_bez_listy - lwn	550,001	LC3.4	-10,13	-9,22	-0,53	0,32
B245	POD1_bez_listy - lwn	550,001	LC4.1	-9,34	-0,71	0,32	0,03
B245	POD1_bez_listy - lwn	550,001	LC4.2	-31,19	-1,50	0,74	0,11
B245	POD1_bez_listy - lwn	550,001	LC4.3	-54,85	-1,46	-1,27	0,17
B245	POD1_bez_listy - lwn	550,001	LC4.4	-69,11	-11,75	4,65	-0,35
B245	POD1_bez_listy - lwn	550,001	LC4.5	-27,24	-1,08	-2,16	-0,05
B245	POD1_bez_listy - lwn	550,001	LC5.1	29,83	4,82	-0,49	0,17
B245	POD1_bez_listy - lwn	550,001	LC5.2	-29,86	-4,81	0,48	-0,17
B245	POD1_bez_listy - lwn	610,000	LC1	7,03	-0,84	3,04	-0,08
B245	POD1_bez_listy - lwn	610,000	LC2	3,88	-1,03	1,23	-0,05
B245	POD1_bez_listy - lwn	610,000	LC3.1	17,71	15,22	1,03	-0,64
B245	POD1_bez_listy - lwn	610,000	LC3.2	-17,71	-15,22	-1,03	0,64
B245	POD1_bez_listy - lwn	610,000	LC3.3	10,81	9,50	0,94	-0,39
B245	POD1_bez_listy - lwn	610,000	LC3.4	-10,73	-9,22	-0,63	0,39
B245	POD1_bez_listy - lwn	610,000	LC4.1	-9,34	-0,71	0,28	0,05
B245	POD1_bez_listy - lwn	610,000	LC4.2	-31,19	-1,50	0,65	0,18
B245	POD1_bez_listy - lwn	610,000	LC4.3	-54,85	-1,46	-1,36	0,27

Dílec	css	dx [mm]	Stav	N [kN]	Vz [kN]	My [kNm]	Mz [kNm]
B245	POD1_bez_listy - lw	610,000	LC4.4	-69,11	-11,75	3,95	0,45
B245	POD1_bez_listy - lw	610,000	LC4.5	-27,24	-1,08	-2,23	-0,05
B245	POD1_bez_listy - lw	610,000	LC5.1	29,83	5,64	-0,17	0,07
B245	POD1_bez_listy - lw	610,000	LC5.2	-29,86	-5,63	0,16	-0,07

4.7. Vnitřní síly-POD2-4.pole-UIC

Lineární výpočet, Extrém : Globální, Systém : Hlavní

Výběr : Pojmenovaný výběr - POD4pole

Třída : ZS UIC

Průřez : POD2_bez_listy - lw (493; 10; 200; 20; 453; 0)

Dílec	css	dx [mm]	Stav	N [kN]	Vz [kN]	My [kNm]	Mz [kNm]
B246	POD2_bez_listy - lw	0,000	LC101	67,85	-13,12	14,63	-0,61
B116	POD2_bez_listy - lw	0,000	LC105	83,51	12,74	20,62	0,56
B246	POD2_bez_listy - lw	0,000	LC108	79,81	-66,64	26,91	-0,86
B116	POD2_bez_listy - lw	0,000	LC104	79,39	97,73	36,54	0,22
B246	POD2_bez_listy - lw	220,000	LC109	73,27	-20,28	8,46	-1,54
B115	POD2_bez_listy - lw	50,000	LC104	79,43	97,73	41,44	-0,22
B246	POD2_bez_listy - lw	220,000	LC108	80,32	-66,64	12,35	-1,65
B244	POD2_bez_listy - lw	220,000	LC108	80,30	-66,63	12,36	1,66

4.8. Vnitřní síly-POD2-4.pole-neUIC

Lineární výpočet, Extrém : Ne, Systém : Hlavní

Výběr : Pojmenovaný výběr - POD4pole

Třída : ZS neUIC

Průřez : POD2_bez_listy - lw (493; 10; 200; 20; 453; 0)

Dílec	css	dx [mm]	Stav	N [kN]	Vz [kN]	My [kNm]	Mz [kNm]
B246	POD2_bez_listy - lw	0,000	LC1	7,03	-0,84	3,26	-0,08
B246	POD2_bez_listy - lw	0,000	LC2	3,88	-1,03	1,36	-0,05
B246	POD2_bez_listy - lw	0,000	LC3.1	17,71	15,22	1,60	-0,64
B246	POD2_bez_listy - lw	0,000	LC3.2	-17,71	-15,22	-1,60	0,64
B246	POD2_bez_listy - lw	0,000	LC3.3	10,81	9,50	1,29	-0,39
B246	POD2_bez_listy - lw	0,000	LC3.4	-10,73	-9,22	-0,97	0,39
B246	POD2_bez_listy - lw	0,000	LC4.1	-9,34	-0,71	-0,02	0,05
B246	POD2_bez_listy - lw	0,000	LC4.2	-31,19	-1,50	-0,35	0,18
B246	POD2_bez_listy - lw	0,000	LC4.3	-54,85	-1,46	-3,11	0,27
B246	POD2_bez_listy - lw	0,000	LC4.4	-69,11	-11,75	1,74	0,45
B246	POD2_bez_listy - lw	0,000	LC4.5	-27,24	-1,08	-3,10	-0,05
B246	POD2_bez_listy - lw	0,000	LC5.1	29,83	5,64	0,78	0,07
B246	POD2_bez_listy - lw	0,000	LC5.2	-29,86	-5,63	-0,79	-0,07
B246	POD2_bez_listy - lw	7,660	LC1	7,03	-0,85	3,25	-0,08
B246	POD2_bez_listy - lw	7,660	LC2	3,88	-1,05	1,35	-0,05
B246	POD2_bez_listy - lw	7,660	LC3.1	17,84	15,22	1,62	-0,66
B246	POD2_bez_listy - lw	7,660	LC3.2	-17,84	-15,22	-1,62	0,66
B246	POD2_bez_listy - lw	7,660	LC3.3	10,88	9,50	1,31	-0,40
B246	POD2_bez_listy - lw	7,660	LC3.4	-10,81	-9,22	-0,98	0,40
B246	POD2_bez_listy - lw	7,660	LC4.1	-9,34	-0,71	-0,03	0,05
B246	POD2_bez_listy - lw	7,660	LC4.2	-31,19	-1,50	-0,36	0,18
B246	POD2_bez_listy - lw	7,660	LC4.3	-54,85	-1,46	-3,12	0,28
B246	POD2_bez_listy - lw	7,660	LC4.4	-69,11	-11,75	1,65	0,55
B246	POD2_bez_listy - lw	7,660	LC4.5	-27,24	-1,08	-3,11	-0,05
B246	POD2_bez_listy - lw	7,660	LC5.1	29,83	5,75	0,82	0,06
B246	POD2_bez_listy - lw	7,660	LC5.2	-29,86	-5,74	-0,84	-0,06
B246	POD2_bez_listy - lw	7,680	LC1	7,03	-0,85	3,25	-0,08
B246	POD2_bez_listy - lw	7,680	LC2	3,88	-1,05	1,35	-0,05
B246	POD2_bez_listy - lw	7,680	LC3.1	17,84	15,22	1,62	-0,66
B246	POD2_bez_listy - lw	7,680	LC3.2	-17,84	-15,22	-1,62	0,66
B246	POD2_bez_listy - lw	7,680	LC3.3	10,88	9,50	1,31	-0,40
B246	POD2_bez_listy - lw	7,680	LC3.4	-10,81	-9,22	-0,98	0,40
B246	POD2_bez_listy - lw	7,680	LC4.1	-9,34	-0,71	-0,03	0,05
B246	POD2_bez_listy - lw	7,680	LC4.2	-31,19	-1,50	-0,36	0,18
B246	POD2_bez_listy - lw	7,680	LC4.3	-54,85	-1,46	-3,12	0,28
B246	POD2_bez_listy - lw	7,680	LC4.4	-69,11	-11,75	1,64	0,55
B246	POD2_bez_listy - lw	7,680	LC4.5	-27,24	-1,08	-3,11	-0,05
B246	POD2_bez_listy - lw	7,680	LC5.1	29,83	5,75	0,82	0,06
B246	POD2_bez_listy - lw	7,680	LC5.2	-29,86	-5,74	-0,84	-0,06
B246	POD2_bez_listy - lw	15,340	LC1	7,03	-0,85	3,25	-0,08
B246	POD2_bez_listy - lw	15,340	LC2	3,88	-1,07	1,34	-0,05
B246	POD2_bez_listy - lw	15,340	LC3.1	17,96	15,22	1,64	-0,67
B246	POD2_bez_listy - lw	15,340	LC3.2	-17,96	-15,22	-1,64	0,67
B246	POD2_bez_listy - lw	15,340	LC3.3	10,96	9,50	1,32	-0,41
B246	POD2_bez_listy - lw	15,340	LC3.4	-10,89	-9,22	-0,99	0,41

Dilec	css	dx [mm]	Stav	N [kN]	Vz [kN]	My [kNm]	Mz [kNm]
B246	POD2_bez_listy - lw	15,340	LC4.1	-9,34	-0,71	-0,03	0,06
B246	POD2_bez_listy - lw	15,340	LC4.2	-31,19	-1,50	-0,37	0,19
B246	POD2_bez_listy - lw	15,340	LC4.3	-54,85	-1,46	-3,13	0,29
B246	POD2_bez_listy - lw	15,340	LC4.4	-69,11	-11,75	1,55	0,65
B246	POD2_bez_listy - lw	15,340	LC4.5	-27,24	-1,08	-3,11	-0,05
B246	POD2_bez_listy - lw	15,340	LC5.1	29,83	5,85	0,87	0,05
B246	POD2_bez_listy - lw	15,340	LC5.2	-29,86	-5,85	-0,88	-0,04
B246	POD2_bez_listy - lw	15,341	LC1	7,05	-0,91	3,25	-0,08
B246	POD2_bez_listy - lw	15,341	LC2	3,88	-1,07	1,34	-0,05
B246	POD2_bez_listy - lw	15,341	LC3.1	17,96	15,22	1,64	-0,67
B246	POD2_bez_listy - lw	15,341	LC3.2	-17,96	-15,22	-1,64	0,67
B246	POD2_bez_listy - lw	15,341	LC3.3	10,96	9,50	1,32	-0,41
B246	POD2_bez_listy - lw	15,341	LC3.4	-10,89	-9,22	-0,99	0,41
B246	POD2_bez_listy - lw	15,341	LC4.1	-9,52	-0,71	-0,07	0,06
B246	POD2_bez_listy - lw	15,341	LC4.2	-31,67	-1,50	-0,47	0,19
B246	POD2_bez_listy - lw	15,341	LC4.3	-55,44	-1,46	-3,25	0,29
B246	POD2_bez_listy - lw	15,341	LC4.4	-69,51	-11,75	1,47	0,65
B246	POD2_bez_listy - lw	15,341	LC4.5	-27,36	-1,08	-3,14	-0,05
B246	POD2_bez_listy - lw	15,341	LC5.1	30,14	5,85	0,93	0,05
B246	POD2_bez_listy - lw	15,341	LC5.2	-30,17	-5,85	-0,94	-0,04
B246	POD2_bez_listy - lw	117,660	LC1	7,05	-1,00	3,15	-0,11
B246	POD2_bez_listy - lw	117,660	LC2	3,88	-1,33	1,22	-0,06
B246	POD2_bez_listy - lw	117,660	LC3.1	19,65	15,22	1,92	-0,89
B246	POD2_bez_listy - lw	117,660	LC3.2	-19,65	-15,22	-1,92	0,89
B246	POD2_bez_listy - lw	117,660	LC3.3	11,99	9,50	1,52	-0,54
B246	POD2_bez_listy - lw	117,660	LC3.4	-11,91	-9,22	-1,16	0,54
B246	POD2_bez_listy - lw	117,660	LC4.1	-9,52	-0,71	-0,14	0,14
B246	POD2_bez_listy - lw	117,660	LC4.2	-31,67	-1,50	-0,62	0,44
B246	POD2_bez_listy - lw	117,660	LC4.3	-55,44	-1,46	-3,40	0,62
B246	POD2_bez_listy - lw	117,660	LC4.4	-69,51	-11,75	0,27	2,12
B246	POD2_bez_listy - lw	117,660	LC4.5	-27,36	-1,08	-3,25	-0,02
B246	POD2_bez_listy - lw	117,660	LC5.1	30,14	7,26	1,60	-0,25
B246	POD2_bez_listy - lw	117,660	LC5.2	-30,17	-7,25	-1,61	0,26
B246	POD2_bez_listy - lw	117,680	LC1	7,05	-1,00	3,15	-0,11
B246	POD2_bez_listy - lw	117,680	LC2	3,88	-1,33	1,22	-0,06
B246	POD2_bez_listy - lw	117,680	LC3.1	19,65	15,22	1,92	-0,89
B246	POD2_bez_listy - lw	117,680	LC3.2	-19,65	-15,22	-1,92	0,89
B246	POD2_bez_listy - lw	117,680	LC3.3	11,99	9,50	1,52	-0,54
B246	POD2_bez_listy - lw	117,680	LC3.4	-11,91	-9,22	-1,16	0,54
B246	POD2_bez_listy - lw	117,680	LC4.1	-9,52	-0,71	-0,14	0,14
B246	POD2_bez_listy - lw	117,680	LC4.2	-31,67	-1,50	-0,62	0,44
B246	POD2_bez_listy - lw	117,680	LC4.3	-55,44	-1,46	-3,40	0,62
B246	POD2_bez_listy - lw	117,680	LC4.4	-69,51	-11,75	0,27	2,12
B246	POD2_bez_listy - lw	117,680	LC4.5	-27,36	-1,08	-3,25	-0,02
B246	POD2_bez_listy - lw	117,680	LC5.1	30,14	7,26	1,60	-0,25
B246	POD2_bez_listy - lw	117,680	LC5.2	-30,17	-7,25	-1,61	0,26
B246	POD2_bez_listy - lw	220,000	LC1	7,05	-1,10	3,05	-0,13
B246	POD2_bez_listy - lw	220,000	LC2	3,88	-1,58	1,07	-0,08
B246	POD2_bez_listy - lw	220,000	LC3.1	21,34	15,22	2,20	-1,10
B246	POD2_bez_listy - lw	220,000	LC3.2	-21,34	-15,22	-2,20	1,10
B246	POD2_bez_listy - lw	220,000	LC3.3	13,01	9,50	1,72	-0,67
B246	POD2_bez_listy - lw	220,000	LC3.4	-12,93	-9,22	-1,34	0,66
B246	POD2_bez_listy - lw	220,000	LC4.1	-9,52	-0,71	-0,22	0,23
B246	POD2_bez_listy - lw	220,000	LC4.2	-31,67	-1,50	-0,77	0,69
B246	POD2_bez_listy - lw	220,000	LC4.3	-55,44	-1,46	-3,55	0,94
B246	POD2_bez_listy - lw	220,000	LC4.4	-69,51	-11,75	-0,93	3,58
B246	POD2_bez_listy - lw	220,000	LC4.5	-27,36	-1,08	-3,36	0,02
B246	POD2_bez_listy - lw	220,000	LC5.1	30,14	8,66	2,42	-0,60
B246	POD2_bez_listy - lw	220,000	LC5.2	-30,17	-8,66	-2,43	0,60
B244	POD2_bez_listy - lw	0,000	LC1	7,03	-0,78	3,28	0,08
B244	POD2_bez_listy - lw	0,000	LC2	3,96	-1,04	1,40	0,05
B244	POD2_bez_listy - lw	0,000	LC3.1	17,70	15,22	1,60	0,64
B244	POD2_bez_listy - lw	0,000	LC3.2	-17,70	-15,22	-1,60	-0,64
B244	POD2_bez_listy - lw	0,000	LC3.3	10,80	9,50	1,29	0,39
B244	POD2_bez_listy - lw	0,000	LC3.4	-10,73	-9,22	-0,97	-0,39
B244	POD2_bez_listy - lw	0,000	LC4.1	10,63	0,83	0,17	0,04
B244	POD2_bez_listy - lw	0,000	LC4.2	33,55	1,70	0,87	0,13
B244	POD2_bez_listy - lw	0,000	LC4.3	58,28	1,75	4,00	0,18
B244	POD2_bez_listy - lw	0,000	LC4.4	73,30	12,11	-0,59	0,33
B244	POD2_bez_listy - lw	0,000	LC4.5	32,14	1,49	4,49	-0,20
B244	POD2_bez_listy - lw	0,000	LC5.1	-33,12	-5,92	-1,61	0,15
B244	POD2_bez_listy - lw	0,000	LC5.2	33,09	5,92	1,60	-0,16
B244	POD2_bez_listy - lw	7,660	LC1	7,03	-0,79	3,27	0,08
B244	POD2_bez_listy - lw	7,660	LC2	3,96	-1,06	1,40	0,05
B244	POD2_bez_listy - lw	7,660	LC3.1	17,83	15,22	1,62	0,66
B244	POD2_bez_listy - lw	7,660	LC3.2	-17,83	-15,22	-1,62	-0,66

Dilec	css	dx [mm]	Stav	N [kN]	Vz [kN]	My [kNm]	Mz [kNm]
B244	POD2_bez_listy - lw	7,660	LC3.3	10,88	9,50	1,30	0,40
B244	POD2_bez_listy - lw	7,660	LC3.4	-10,81	-9,22	-0,98	-0,40
B244	POD2_bez_listy - lw	7,660	LC4.1	10,63	0,83	0,18	0,04
B244	POD2_bez_listy - lw	7,660	LC4.2	33,55	1,70	0,88	0,13
B244	POD2_bez_listy - lw	7,660	LC4.3	58,28	1,75	4,01	0,19
B244	POD2_bez_listy - lw	7,660	LC4.4	73,30	12,11	-0,49	0,43
B244	POD2_bez_listy - lw	7,660	LC4.5	32,14	1,49	4,50	-0,20
B244	POD2_bez_listy - lw	7,660	LC5.1	-33,12	-6,02	-1,65	0,14
B244	POD2_bez_listy - lw	7,660	LC5.2	33,09	6,03	1,64	-0,14
B244	POD2_bez_listy - lw	7,680	LC1	7,03	-0,79	3,27	0,08
B244	POD2_bez_listy - lw	7,680	LC2	3,96	-1,06	1,40	0,05
B244	POD2_bez_listy - lw	7,680	LC3.1	17,83	15,22	1,62	0,66
B244	POD2_bez_listy - lw	7,680	LC3.2	-17,83	-15,22	-1,62	-0,66
B244	POD2_bez_listy - lw	7,680	LC3.3	10,88	9,50	1,30	0,40
B244	POD2_bez_listy - lw	7,680	LC3.4	-10,81	-9,22	-0,98	-0,40
B244	POD2_bez_listy - lw	7,680	LC4.1	10,63	0,83	0,18	0,04
B244	POD2_bez_listy - lw	7,680	LC4.2	33,55	1,70	0,88	0,13
B244	POD2_bez_listy - lw	7,680	LC4.3	58,28	1,75	4,01	0,19
B244	POD2_bez_listy - lw	7,680	LC4.4	73,30	12,11	-0,49	0,43
B244	POD2_bez_listy - lw	7,680	LC4.5	32,14	1,49	4,50	-0,20
B244	POD2_bez_listy - lw	7,680	LC5.1	-33,12	-6,02	-1,65	0,14
B244	POD2_bez_listy - lw	7,680	LC5.2	33,09	6,03	1,64	-0,14
B244	POD2_bez_listy - lw	15,340	LC1	7,03	-0,80	3,27	0,08
B244	POD2_bez_listy - lw	15,340	LC2	3,96	-1,08	1,39	0,05
B244	POD2_bez_listy - lw	15,340	LC3.1	17,96	15,22	1,64	0,68
B244	POD2_bez_listy - lw	15,340	LC3.2	-17,96	-15,22	-1,64	-0,68
B244	POD2_bez_listy - lw	15,340	LC3.3	10,96	9,50	1,32	0,41
B244	POD2_bez_listy - lw	15,340	LC3.4	-10,88	-9,22	-0,99	-0,41
B244	POD2_bez_listy - lw	15,340	LC4.1	10,63	0,83	0,18	0,05
B244	POD2_bez_listy - lw	15,340	LC4.2	33,55	1,70	0,89	0,14
B244	POD2_bez_listy - lw	15,340	LC4.3	58,28	1,75	4,02	0,20
B244	POD2_bez_listy - lw	15,340	LC4.4	73,30	12,11	-0,40	0,53
B244	POD2_bez_listy - lw	15,340	LC4.5	32,14	1,49	4,51	-0,20
B244	POD2_bez_listy - lw	15,340	LC5.1	-33,12	-6,13	-1,70	0,13
B244	POD2_bez_listy - lw	15,340	LC5.2	33,09	6,13	1,69	-0,13
B244	POD2_bez_listy - lw	15,341	LC1	7,05	-0,95	3,27	0,08
B244	POD2_bez_listy - lw	15,341	LC2	3,96	-1,08	1,39	0,05
B244	POD2_bez_listy - lw	15,341	LC3.1	17,97	15,22	1,64	0,68
B244	POD2_bez_listy - lw	15,341	LC3.2	-17,97	-15,22	-1,64	-0,68
B244	POD2_bez_listy - lw	15,341	LC3.3	10,97	9,50	1,32	0,41
B244	POD2_bez_listy - lw	15,341	LC3.4	-10,89	-9,22	-0,99	-0,41
B244	POD2_bez_listy - lw	15,341	LC4.1	10,82	0,83	0,22	0,05
B244	POD2_bez_listy - lw	15,341	LC4.2	34,03	1,70	0,99	0,14
B244	POD2_bez_listy - lw	15,341	LC4.3	58,87	1,75	4,14	0,20
B244	POD2_bez_listy - lw	15,341	LC4.4	73,69	12,11	-0,32	0,53
B244	POD2_bez_listy - lw	15,341	LC4.5	32,26	1,49	4,54	-0,20
B244	POD2_bez_listy - lw	15,341	LC5.1	-33,43	-6,13	-1,76	0,13
B244	POD2_bez_listy - lw	15,341	LC5.2	33,40	6,13	1,75	-0,13
B244	POD2_bez_listy - lw	117,660	LC1	7,05	-1,05	3,17	0,11
B244	POD2_bez_listy - lw	117,660	LC2	3,96	-1,34	1,27	0,07
B244	POD2_bez_listy - lw	117,660	LC3.1	19,66	15,22	1,92	0,88
B244	POD2_bez_listy - lw	117,660	LC3.2	-19,66	-15,22	-1,92	-0,88
B244	POD2_bez_listy - lw	117,660	LC3.3	11,99	9,50	1,52	0,54
B244	POD2_bez_listy - lw	117,660	LC3.4	-11,91	-9,22	-1,16	-0,54
B244	POD2_bez_listy - lw	117,660	LC4.1	10,82	0,83	0,31	0,13
B244	POD2_bez_listy - lw	117,660	LC4.2	34,03	1,70	1,16	0,38
B244	POD2_bez_listy - lw	117,660	LC4.3	58,87	1,75	4,32	0,50
B244	POD2_bez_listy - lw	117,660	LC4.4	73,69	12,11	0,92	1,96
B244	POD2_bez_listy - lw	117,660	LC4.5	32,26	1,49	4,69	-0,20
B244	POD2_bez_listy - lw	117,660	LC5.1	-33,43	-7,53	-2,46	-0,15
B244	POD2_bez_listy - lw	117,660	LC5.2	33,40	7,54	2,45	0,15
B244	POD2_bez_listy - lw	117,680	LC1	7,05	-1,05	3,17	0,11
B244	POD2_bez_listy - lw	117,680	LC2	3,96	-1,34	1,27	0,07
B244	POD2_bez_listy - lw	117,680	LC3.1	19,66	15,22	1,92	0,88
B244	POD2_bez_listy - lw	117,680	LC3.2	-19,66	-15,22	-1,92	-0,88
B244	POD2_bez_listy - lw	117,680	LC3.3	11,99	9,50	1,52	0,54
B244	POD2_bez_listy - lw	117,680	LC3.4	-11,91	-9,22	-1,16	-0,54
B244	POD2_bez_listy - lw	117,680	LC4.1	10,82	0,83	0,31	0,13
B244	POD2_bez_listy - lw	117,680	LC4.2	34,03	1,70	1,16	0,38
B244	POD2_bez_listy - lw	117,680	LC4.3	58,87	1,75	4,32	0,50
B244	POD2_bez_listy - lw	117,680	LC4.4	73,69	12,11	0,92	1,96
B244	POD2_bez_listy - lw	117,680	LC4.5	32,26	1,49	4,69	-0,20
B244	POD2_bez_listy - lw	117,680	LC5.1	-33,43	-7,53	-2,46	-0,15
B244	POD2_bez_listy - lw	117,680	LC5.2	33,40	7,54	2,45	0,15
B244	POD2_bez_listy - lw	220,000	LC1	7,05	-1,15	3,05	0,13
B244	POD2_bez_listy - lw	220,000	LC2	3,96	-1,59	1,11	0,08

Dilec	css	dx [mm]	Stav	N [kN]	Vz [kN]	My [kNm]	Mz [kNm]
B244	POD2_bez_listy - lw	220,000	LC3.1	21,35	15,22	2,20	1,09
B244	POD2_bez_listy - lw	220,000	LC3.2	-21,35	-15,22	-2,20	-1,09
B244	POD2_bez_listy - lw	220,000	LC3.3	13,01	9,50	1,72	0,66
B244	POD2_bez_listy - lw	220,000	LC3.4	-12,94	-9,22	-1,33	-0,66
B244	POD2_bez_listy - lw	220,000	LC4.1	10,82	0,83	0,39	0,22
B244	POD2_bez_listy - lw	220,000	LC4.2	34,03	1,70	1,34	0,62
B244	POD2_bez_listy - lw	220,000	LC4.3	58,87	1,75	4,50	0,81
B244	POD2_bez_listy - lw	220,000	LC4.4	73,69	12,11	2,16	3,40
B244	POD2_bez_listy - lw	220,000	LC4.5	32,26	1,49	4,84	-0,20
B244	POD2_bez_listy - lw	220,000	LC5.1	-33,43	-8,94	-3,30	-0,48
B244	POD2_bez_listy - lw	220,000	LC5.2	33,40	8,94	3,29	0,47
B115	POD2_bez_listy - lw	0,000	LC1	7,05	0,00	3,63	-0,09
B115	POD2_bez_listy - lw	0,000	LC2	3,96	1,03	1,41	-0,06
B115	POD2_bez_listy - lw	0,000	LC3.1	4,03	15,22	-1,00	-1,05
B115	POD2_bez_listy - lw	0,000	LC3.2	-4,03	-15,22	1,00	1,05
B115	POD2_bez_listy - lw	0,000	LC3.3	2,52	9,50	-0,51	-0,64
B115	POD2_bez_listy - lw	0,000	LC3.4	-2,44	-9,22	0,60	0,64
B115	POD2_bez_listy - lw	0,000	LC4.1	10,44	0,83	-0,56	-0,32
B115	POD2_bez_listy - lw	0,000	LC4.2	33,08	1,70	-0,64	-0,97
B115	POD2_bez_listy - lw	0,000	LC4.3	57,70	1,75	2,43	-1,26
B115	POD2_bez_listy - lw	0,000	LC4.4	72,91	-8,89	0,31	2,48
B115	POD2_bez_listy - lw	0,000	LC4.5	32,02	1,49	3,23	0,01
B115	POD2_bez_listy - lw	0,000	LC5.1	-32,81	4,79	-1,37	0,09
B115	POD2_bez_listy - lw	0,000	LC5.2	32,78	-5,47	1,35	-0,09
B115	POD2_bez_listy - lw	50,000	LC1	7,05	-0,05	3,62	-0,08
B115	POD2_bez_listy - lw	50,000	LC2	3,96	0,91	1,46	-0,05
B115	POD2_bez_listy - lw	50,000	LC3.1	4,85	15,22	-0,86	-0,95
B115	POD2_bez_listy - lw	50,000	LC3.2	-4,85	-15,22	0,86	0,95
B115	POD2_bez_listy - lw	50,000	LC3.3	3,02	9,50	-0,41	-0,58
B115	POD2_bez_listy - lw	50,000	LC3.4	-2,94	-9,22	0,52	0,58
B115	POD2_bez_listy - lw	50,000	LC4.1	10,44	0,83	-0,51	-0,28
B115	POD2_bez_listy - lw	50,000	LC4.2	33,08	1,70	-0,56	-0,86
B115	POD2_bez_listy - lw	50,000	LC4.3	57,70	1,75	2,51	-1,11
B115	POD2_bez_listy - lw	50,000	LC4.4	72,91	-8,89	-0,13	1,93
B115	POD2_bez_listy - lw	50,000	LC4.5	32,02	1,49	3,30	0,01
B115	POD2_bez_listy - lw	50,000	LC5.1	-32,81	4,79	-1,11	0,15
B115	POD2_bez_listy - lw	50,000	LC5.2	32,78	-4,79	1,09	-0,15
B115	POD2_bez_listy - lw	50,001	LC1	7,05	-0,05	3,62	-0,08
B115	POD2_bez_listy - lw	50,001	LC2	3,96	0,91	1,46	-0,05
B115	POD2_bez_listy - lw	50,001	LC3.1	4,85	15,22	-0,86	-0,95
B115	POD2_bez_listy - lw	50,001	LC3.2	-4,85	-15,22	0,86	0,95
B115	POD2_bez_listy - lw	50,001	LC3.3	3,02	9,50	-0,41	-0,58
B115	POD2_bez_listy - lw	50,001	LC3.4	-2,94	-9,22	0,52	0,58
B115	POD2_bez_listy - lw	50,001	LC4.1	10,44	0,83	-0,51	-0,28
B115	POD2_bez_listy - lw	50,001	LC4.2	33,08	1,70	-0,56	-0,86
B115	POD2_bez_listy - lw	50,001	LC4.3	57,70	1,75	2,51	-1,11
B115	POD2_bez_listy - lw	50,001	LC4.4	72,91	-8,89	-0,13	1,93
B115	POD2_bez_listy - lw	50,001	LC4.5	32,02	1,49	3,30	0,01
B115	POD2_bez_listy - lw	50,001	LC5.1	-32,81	4,79	-1,11	0,15
B115	POD2_bez_listy - lw	50,001	LC5.2	32,78	-4,79	1,09	-0,15
B115	POD2_bez_listy - lw	204,660	LC1	7,05	-0,20	3,61	-0,06
B115	POD2_bez_listy - lw	204,660	LC2	3,96	0,52	1,57	-0,03
B115	POD2_bez_listy - lw	204,660	LC3.1	7,41	15,22	-0,44	-0,64
B115	POD2_bez_listy - lw	204,660	LC3.2	-7,41	-15,22	0,44	0,64
B115	POD2_bez_listy - lw	204,660	LC3.3	4,56	9,50	-0,11	-0,39
B115	POD2_bez_listy - lw	204,660	LC3.4	-4,49	-9,22	0,26	0,39
B115	POD2_bez_listy - lw	204,660	LC4.1	10,44	0,83	-0,39	-0,15
B115	POD2_bez_listy - lw	204,660	LC4.2	33,08	1,70	-0,29	-0,50
B115	POD2_bez_listy - lw	204,660	LC4.3	57,70	1,75	2,78	-0,65
B115	POD2_bez_listy - lw	204,660	LC4.4	72,91	-8,89	-1,51	0,24
B115	POD2_bez_listy - lw	204,660	LC4.5	32,02	1,49	3,54	0,01
B115	POD2_bez_listy - lw	204,660	LC5.1	-32,81	2,67	-0,53	0,26
B115	POD2_bez_listy - lw	204,660	LC5.2	32,78	-2,66	0,51	-0,26
B115	POD2_bez_listy - lw	204,661	LC1	7,03	-0,25	3,60	-0,06
B115	POD2_bez_listy - lw	204,661	LC2	3,96	0,52	1,57	-0,03
B115	POD2_bez_listy - lw	204,661	LC3.1	7,39	15,22	-0,44	-0,64
B115	POD2_bez_listy - lw	204,661	LC3.2	-7,39	-15,22	0,44	0,64
B115	POD2_bez_listy - lw	204,661	LC3.3	4,55	9,50	-0,12	-0,39
B115	POD2_bez_listy - lw	204,661	LC3.4	-4,48	-9,22	0,27	0,39
B115	POD2_bez_listy - lw	204,661	LC4.1	10,63	0,83	-0,35	-0,15
B115	POD2_bez_listy - lw	204,661	LC4.2	33,55	1,70	-0,20	-0,50
B115	POD2_bez_listy - lw	204,661	LC4.3	58,28	1,75	2,90	-0,65
B115	POD2_bez_listy - lw	204,661	LC4.4	73,30	-8,89	-1,43	0,24
B115	POD2_bez_listy - lw	204,661	LC4.5	32,14	1,49	3,56	0,01
B115	POD2_bez_listy - lw	204,661	LC5.1	-33,12	2,67	-0,59	0,26
B115	POD2_bez_listy - lw	204,661	LC5.2	33,09	-2,66	0,58	-0,26

Dilec	css	dx [mm]	Stav	N [kN]	Vz [kN]	My [kNm]	Mz [kNm]
B115	POD2_bez_listy - lw	212,320	LC1	7,03	-0,26	3,60	-0,05
B115	POD2_bez_listy - lw	212,320	LC2	3,96	0,50	1,57	-0,03
B115	POD2_bez_listy - lw	212,320	LC3.1	7,51	15,22	-0,42	-0,62
B115	POD2_bez_listy - lw	212,320	LC3.2	-7,51	-15,22	0,42	0,62
B115	POD2_bez_listy - lw	212,320	LC3.3	4,63	9,50	-0,10	-0,38
B115	POD2_bez_listy - lw	212,320	LC3.4	-4,55	-9,22	0,25	0,38
B115	POD2_bez_listy - lw	212,320	LC4.1	10,63	0,83	-0,34	-0,15
B115	POD2_bez_listy - lw	212,320	LC4.2	33,55	1,70	-0,18	-0,49
B115	POD2_bez_listy - lw	212,320	LC4.3	58,28	1,75	2,92	-0,64
B115	POD2_bez_listy - lw	212,320	LC4.4	73,30	-8,89	-1,50	0,15
B115	POD2_bez_listy - lw	212,320	LC4.5	32,14	1,49	3,57	0,01
B115	POD2_bez_listy - lw	212,320	LC5.1	-33,12	2,57	-0,57	0,27
B115	POD2_bez_listy - lw	212,320	LC5.2	33,09	-2,56	0,56	-0,27
B115	POD2_bez_listy - lw	212,340	LC1	7,03	-0,26	3,60	-0,05
B115	POD2_bez_listy - lw	212,340	LC2	3,96	0,50	1,57	-0,03
B115	POD2_bez_listy - lw	212,340	LC3.1	7,51	15,22	-0,42	-0,62
B115	POD2_bez_listy - lw	212,340	LC3.2	-7,51	-15,22	0,42	0,62
B115	POD2_bez_listy - lw	212,340	LC3.3	4,63	9,50	-0,10	-0,38
B115	POD2_bez_listy - lw	212,340	LC3.4	-4,55	-9,22	0,25	0,38
B115	POD2_bez_listy - lw	212,340	LC4.1	10,63	0,83	-0,34	-0,15
B115	POD2_bez_listy - lw	212,340	LC4.2	33,55	1,70	-0,18	-0,49
B115	POD2_bez_listy - lw	212,340	LC4.3	58,28	1,75	2,92	-0,64
B115	POD2_bez_listy - lw	212,340	LC4.4	73,30	-8,89	-1,50	0,15
B115	POD2_bez_listy - lw	212,340	LC4.5	32,14	1,49	3,57	0,01
B115	POD2_bez_listy - lw	212,340	LC5.1	-33,12	2,57	-0,57	0,27
B115	POD2_bez_listy - lw	212,340	LC5.2	33,09	-2,56	0,56	-0,27
B115	POD2_bez_listy - lw	220,000	LC1	7,03	-0,27	3,60	-0,05
B115	POD2_bez_listy - lw	220,000	LC2	3,96	0,48	1,58	-0,03
B115	POD2_bez_listy - lw	220,000	LC3.1	7,64	15,22	-0,40	-0,61
B115	POD2_bez_listy - lw	220,000	LC3.2	-7,64	-15,22	0,40	0,61
B115	POD2_bez_listy - lw	220,000	LC3.3	4,70	9,50	-0,09	-0,37
B115	POD2_bez_listy - lw	220,000	LC3.4	-4,63	-9,22	0,24	0,37
B115	POD2_bez_listy - lw	220,000	LC4.1	10,63	0,83	-0,34	-0,15
B115	POD2_bez_listy - lw	220,000	LC4.2	33,55	1,70	-0,17	-0,48
B115	POD2_bez_listy - lw	220,000	LC4.3	58,28	1,75	2,93	-0,63
B115	POD2_bez_listy - lw	220,000	LC4.4	73,30	-8,89	-1,57	0,06
B115	POD2_bez_listy - lw	220,000	LC4.5	32,14	1,49	3,58	0,01
B115	POD2_bez_listy - lw	220,000	LC5.1	-33,12	2,46	-0,55	0,28
B115	POD2_bez_listy - lw	220,000	LC5.2	33,09	-2,45	0,54	-0,28
B116	POD2_bez_listy - lw	0,000	LC1	7,05	0,04	3,64	0,09
B116	POD2_bez_listy - lw	0,000	LC2	3,88	1,04	1,35	0,05
B116	POD2_bez_listy - lw	0,000	LC3.1	4,01	15,22	-1,00	1,05
B116	POD2_bez_listy - lw	0,000	LC3.2	-4,01	-15,22	1,00	-1,05
B116	POD2_bez_listy - lw	0,000	LC3.3	2,50	9,50	-0,51	0,64
B116	POD2_bez_listy - lw	0,000	LC3.4	-2,43	-9,22	0,61	-0,64
B116	POD2_bez_listy - lw	0,000	LC4.1	-9,15	-0,71	0,60	-0,32
B116	POD2_bez_listy - lw	0,000	LC4.2	-30,71	-1,50	0,99	-1,02
B116	POD2_bez_listy - lw	0,000	LC4.3	-54,27	-1,46	-1,78	-1,35
B116	POD2_bez_listy - lw	0,000	LC4.4	-68,72	9,25	0,54	2,36
B116	POD2_bez_listy - lw	0,000	LC4.5	-27,13	-1,08	-2,18	-0,14
B116	POD2_bez_listy - lw	0,000	LC5.1	29,52	-5,75	0,76	0,17
B116	POD2_bez_listy - lw	0,000	LC5.2	-29,55	5,76	-0,78	-0,17
B116	POD2_bez_listy - lw	50,000	LC1	7,05	-0,01	3,64	0,08
B116	POD2_bez_listy - lw	50,000	LC2	3,88	0,92	1,40	0,05
B116	POD2_bez_listy - lw	50,000	LC3.1	4,83	15,22	-0,86	0,95
B116	POD2_bez_listy - lw	50,000	LC3.2	-4,83	-15,22	0,86	-0,95
B116	POD2_bez_listy - lw	50,000	LC3.3	3,00	9,50	-0,42	0,58
B116	POD2_bez_listy - lw	50,000	LC3.4	-2,93	-9,22	0,52	-0,58
B116	POD2_bez_listy - lw	50,000	LC4.1	-9,15	-0,71	0,57	-0,28
B116	POD2_bez_listy - lw	50,000	LC4.2	-30,71	-1,50	0,91	-0,89
B116	POD2_bez_listy - lw	50,000	LC4.3	-54,27	-1,46	-1,86	-1,19
B116	POD2_bez_listy - lw	50,000	LC4.4	-68,72	9,25	1,00	1,83
B116	POD2_bez_listy - lw	50,000	LC4.5	-27,13	-1,08	-2,23	-0,12
B116	POD2_bez_listy - lw	50,000	LC5.1	29,52	-5,07	0,49	0,22
B116	POD2_bez_listy - lw	50,000	LC5.2	-29,55	5,07	-0,51	-0,22
B116	POD2_bez_listy - lw	50,001	LC1	7,05	-0,01	3,64	0,08
B116	POD2_bez_listy - lw	50,001	LC2	3,88	0,92	1,40	0,05
B116	POD2_bez_listy - lw	50,001	LC3.1	4,83	15,22	-0,86	0,95
B116	POD2_bez_listy - lw	50,001	LC3.2	-4,83	-15,22	0,86	-0,95
B116	POD2_bez_listy - lw	50,001	LC3.3	3,00	9,50	-0,42	0,58
B116	POD2_bez_listy - lw	50,001	LC3.4	-2,93	-9,22	0,52	-0,58
B116	POD2_bez_listy - lw	50,001	LC4.1	-9,15	-0,71	0,57	-0,28
B116	POD2_bez_listy - lw	50,001	LC4.2	-30,71	-1,50	0,91	-0,89
B116	POD2_bez_listy - lw	50,001	LC4.3	-54,27	-1,46	-1,86	-1,19
B116	POD2_bez_listy - lw	50,001	LC4.4	-68,72	9,25	1,00	1,83
B116	POD2_bez_listy - lw	50,001	LC4.5	-27,13	-1,08	-2,23	-0,12

Dílec	css	dx [mm]	Stav	N [kN]	Vz [kN]	My [kNm]	Mz [kNm]
B116	POD2_bez_listy - lw	50,001	LC5.1	29,52	-5,07	0,49	0,22
B116	POD2_bez_listy - lw	50,001	LC5.2	-29,55	5,07	-0,51	-0,22
B116	POD2_bez_listy - lw	204,660	LC1	7,05	-0,15	3,62	0,06
B116	POD2_bez_listy - lw	204,660	LC2	3,88	0,53	1,51	0,03
B116	POD2_bez_listy - lw	204,660	LC3.1	7,39	15,22	-0,44	0,64
B116	POD2_bez_listy - lw	204,660	LC3.2	-7,39	-15,22	0,44	-0,64
B116	POD2_bez_listy - lw	204,660	LC3.3	4,55	9,50	-0,12	0,39
B116	POD2_bez_listy - lw	204,660	LC3.4	-4,48	-9,22	0,27	-0,39
B116	POD2_bez_listy - lw	204,660	LC4.1	-9,15	-0,71	0,46	-0,15
B116	POD2_bez_listy - lw	204,660	LC4.2	-30,71	-1,50	0,68	-0,52
B116	POD2_bez_listy - lw	204,660	LC4.3	-54,27	-1,46	-2,08	-0,70
B116	POD2_bez_listy - lw	204,660	LC4.4	-68,72	9,25	2,43	0,18
B116	POD2_bez_listy - lw	204,660	LC4.5	-27,13	-1,08	-2,40	-0,07
B116	POD2_bez_listy - lw	204,660	LC5.1	29,52	-2,94	-0,13	0,30
B116	POD2_bez_listy - lw	204,660	LC5.2	-29,55	2,95	0,11	-0,30
B116	POD2_bez_listy - lw	204,661	LC1	7,03	-0,31	3,62	0,06
B116	POD2_bez_listy - lw	204,661	LC2	3,88	0,53	1,51	0,03
B116	POD2_bez_listy - lw	204,661	LC3.1	7,39	15,22	-0,44	0,64
B116	POD2_bez_listy - lw	204,661	LC3.2	-7,39	-15,22	0,44	-0,64
B116	POD2_bez_listy - lw	204,661	LC3.3	4,55	9,50	-0,12	0,39
B116	POD2_bez_listy - lw	204,661	LC3.4	-4,48	-9,22	0,27	-0,39
B116	POD2_bez_listy - lw	204,661	LC4.1	-9,34	-0,71	0,42	-0,15
B116	POD2_bez_listy - lw	204,661	LC4.2	-31,19	-1,50	0,59	-0,52
B116	POD2_bez_listy - lw	204,661	LC4.3	-54,85	-1,46	-2,20	-0,70
B116	POD2_bez_listy - lw	204,661	LC4.4	-69,11	9,25	2,36	0,18
B116	POD2_bez_listy - lw	204,661	LC4.5	-27,24	-1,08	-2,42	-0,07
B116	POD2_bez_listy - lw	204,661	LC5.1	29,83	-2,94	-0,06	0,30
B116	POD2_bez_listy - lw	204,661	LC5.2	-29,86	2,95	0,05	-0,30
B116	POD2_bez_listy - lw	212,320	LC1	7,03	-0,32	3,62	0,05
B116	POD2_bez_listy - lw	212,320	LC2	3,88	0,51	1,52	0,03
B116	POD2_bez_listy - lw	212,320	LC3.1	7,52	15,22	-0,42	0,62
B116	POD2_bez_listy - lw	212,320	LC3.2	-7,52	-15,22	0,42	-0,62
B116	POD2_bez_listy - lw	212,320	LC3.3	4,63	9,50	-0,10	0,38
B116	POD2_bez_listy - lw	212,320	LC3.4	-4,56	-9,22	0,25	-0,38
B116	POD2_bez_listy - lw	212,320	LC4.1	-9,34	-0,71	0,42	-0,15
B116	POD2_bez_listy - lw	212,320	LC4.2	-31,19	-1,50	0,58	-0,51
B116	POD2_bez_listy - lw	212,320	LC4.3	-54,85	-1,46	-2,21	-0,69
B116	POD2_bez_listy - lw	212,320	LC4.4	-69,11	9,25	2,43	0,09
B116	POD2_bez_listy - lw	212,320	LC4.5	-27,24	-1,08	-2,43	-0,07
B116	POD2_bez_listy - lw	212,320	LC5.1	29,83	-2,84	-0,09	0,31
B116	POD2_bez_listy - lw	212,320	LC5.2	-29,86	2,85	0,07	-0,31
B116	POD2_bez_listy - lw	212,340	LC1	7,03	-0,32	3,62	0,05
B116	POD2_bez_listy - lw	212,340	LC2	3,88	0,51	1,52	0,03
B116	POD2_bez_listy - lw	212,340	LC3.1	7,52	15,22	-0,42	0,62
B116	POD2_bez_listy - lw	212,340	LC3.2	-7,52	-15,22	0,42	-0,62
B116	POD2_bez_listy - lw	212,340	LC3.3	4,63	9,50	-0,10	0,38
B116	POD2_bez_listy - lw	212,340	LC3.4	-4,56	-9,22	0,25	-0,38
B116	POD2_bez_listy - lw	212,340	LC4.1	-9,34	-0,71	0,42	-0,15
B116	POD2_bez_listy - lw	212,340	LC4.2	-31,19	-1,50	0,58	-0,51
B116	POD2_bez_listy - lw	212,340	LC4.3	-54,85	-1,46	-2,21	-0,69
B116	POD2_bez_listy - lw	212,340	LC4.4	-69,11	9,25	2,43	0,09
B116	POD2_bez_listy - lw	212,340	LC4.5	-27,24	-1,08	-2,43	-0,07
B116	POD2_bez_listy - lw	212,340	LC5.1	29,83	-2,84	-0,09	0,31
B116	POD2_bez_listy - lw	212,340	LC5.2	-29,86	2,85	0,07	-0,31
B116	POD2_bez_listy - lw	220,000	LC1	7,03	-0,32	3,62	0,05
B116	POD2_bez_listy - lw	220,000	LC2	3,88	0,49	1,52	0,03
B116	POD2_bez_listy - lw	220,000	LC3.1	7,64	15,22	-0,40	0,61
B116	POD2_bez_listy - lw	220,000	LC3.2	-7,64	-15,22	0,40	-0,61
B116	POD2_bez_listy - lw	220,000	LC3.3	4,71	9,50	-0,09	0,37
B116	POD2_bez_listy - lw	220,000	LC3.4	-4,63	-9,22	0,24	-0,37
B116	POD2_bez_listy - lw	220,000	LC4.1	-9,34	-0,71	0,41	-0,15
B116	POD2_bez_listy - lw	220,000	LC4.2	-31,19	-1,50	0,56	-0,50
B116	POD2_bez_listy - lw	220,000	LC4.3	-54,85	-1,46	-2,22	-0,67
B116	POD2_bez_listy - lw	220,000	LC4.4	-69,11	9,25	2,50	0,00
B116	POD2_bez_listy - lw	220,000	LC4.5	-27,24	-1,08	-2,44	-0,07
B116	POD2_bez_listy - lw	220,000	LC5.1	29,83	-2,73	-0,11	0,31
B116	POD2_bez_listy - lw	220,000	LC5.2	-29,86	2,74	0,09	-0,32

4.9. Vnitřní síly-vnitřní příčník-PR1-UIC

Lineární výpočet, Extrém : Globální, Systém : Hlavní

Výběr : Pojmenovaný výběr - pricniky

Třída : ZS UIC

Průřez : PR1 - lw (493; 10; 200; 20; 453; 0)

Dílec	css	dx [mm]	Stav	N [kN]	Vz [kN]	My [kNm]	Mz [kNm]
B73	PR1 - lw	0,000	LC104	-10,62	0,00	44,03	0,31
B66	PR1 - lw	0,000	LC104	17,79	0,00	66,13	0,06
B73	PR1 - lw	0,000	LC109	-7,86	0,00	66,89	0,70
B73	PR1 - lw	0,000	LC101	-5,13	0,00	35,21	0,15
B52	PR1 - lw	0,000	LC102	8,08	0,00	95,43	-0,66
B52	PR1 - lw	0,000	LC101	5,41	0,00	91,45	-0,75

4.10. Vnitřní síly-vnitřní příčník-PR1-neUIC

Lineární výpočet, Extrém : Ne, Systém : Hlavní

Výběr : Pojmenovaný výběr - prcniky

Třída : ZS neUIC

Průřez : PR1 - lw (493; 10; 200; 20; 453; 0)

Dílec	css	dx [mm]	Stav	N [kN]	Vz [kN]	My [kNm]	Mz [kNm]
B52	PR1 - lw	0,000	LC1	0,67	0,87	1,34	-0,05
B52	PR1 - lw	0,000	LC2	0,30	-0,15	0,69	-0,03
B52	PR1 - lw	0,000	LC3.1	-2,20	0,00	-0,53	0,27
B52	PR1 - lw	0,000	LC3.2	2,20	0,00	0,53	-0,27
B52	PR1 - lw	0,000	LC3.3	-1,32	0,00	-0,33	0,16
B52	PR1 - lw	0,000	LC3.4	1,33	0,00	0,32	-0,16
B52	PR1 - lw	0,000	LC4.1	2,64	-11,98	9,97	-0,85
B52	PR1 - lw	0,000	LC4.2	1,94	-11,10	9,39	-4,82
B52	PR1 - lw	0,000	LC4.3	1,23	0,64	-0,96	-4,50
B52	PR1 - lw	0,000	LC4.4	0,74	0,12	-0,34	-3,24
B52	PR1 - lw	0,000	LC4.5	0,26	-0,05	-0,04	-1,45
B52	PR1 - lw	0,000	LC5.1	-2,84	12,56	-10,63	3,14
B52	PR1 - lw	0,000	LC5.2	0,16	-12,56	11,05	-3,14
B52	PR1 - lw	105,880	LC1	0,67	0,77	1,43	-0,05
B52	PR1 - lw	105,880	LC2	0,30	-0,15	0,67	-0,03
B52	PR1 - lw	105,880	LC3.1	-2,20	0,00	-0,53	0,27
B52	PR1 - lw	105,880	LC3.2	2,20	0,00	0,53	-0,27
B52	PR1 - lw	105,880	LC3.3	-1,32	0,00	-0,33	0,16
B52	PR1 - lw	105,880	LC3.4	1,33	0,00	0,32	-0,17
B52	PR1 - lw	105,880	LC4.1	2,64	-11,98	8,70	-0,75
B52	PR1 - lw	105,880	LC4.2	1,94	-11,10	8,22	-4,25
B52	PR1 - lw	105,880	LC4.3	1,23	0,64	-0,89	-3,96
B52	PR1 - lw	105,880	LC4.4	0,74	0,12	-0,33	-2,86
B52	PR1 - lw	105,880	LC4.5	0,26	-0,05	-0,04	-1,28
B52	PR1 - lw	105,880	LC5.1	-2,84	12,56	-9,30	2,77
B52	PR1 - lw	105,880	LC5.2	0,16	-12,56	9,72	-2,76
B52	PR1 - lw	211,760	LC1	0,67	0,66	1,50	-0,05
B52	PR1 - lw	211,760	LC2	0,30	-0,15	0,65	-0,03
B52	PR1 - lw	211,760	LC3.1	-2,20	0,00	-0,53	0,28
B52	PR1 - lw	211,760	LC3.2	2,20	0,00	0,53	-0,28
B52	PR1 - lw	211,760	LC3.3	-1,32	0,00	-0,33	0,17
B52	PR1 - lw	211,760	LC3.4	1,33	0,00	0,32	-0,17
B52	PR1 - lw	211,760	LC4.1	2,64	-11,98	7,43	-0,64
B52	PR1 - lw	211,760	LC4.2	1,94	-11,10	7,04	-3,68
B52	PR1 - lw	211,760	LC4.3	1,23	0,64	-0,83	-3,43
B52	PR1 - lw	211,760	LC4.4	0,74	0,12	-0,31	-2,48
B52	PR1 - lw	211,760	LC4.5	0,26	-0,05	-0,05	-1,11
B52	PR1 - lw	211,760	LC5.1	-2,84	12,56	-7,97	2,39
B52	PR1 - lw	211,760	LC5.2	0,16	-12,56	8,39	-2,39
B52	PR1 - lw	317,650	LC1	0,67	0,56	1,57	-0,05
B52	PR1 - lw	317,650	LC2	0,30	-0,15	0,64	-0,03
B52	PR1 - lw	317,650	LC3.1	-2,20	0,00	-0,53	0,28
B52	PR1 - lw	317,650	LC3.2	2,20	0,00	0,53	-0,28
B52	PR1 - lw	317,650	LC3.3	-1,32	0,00	-0,33	0,17
B52	PR1 - lw	317,650	LC3.4	1,33	0,00	0,32	-0,17
B52	PR1 - lw	317,650	LC4.1	2,64	-11,98	6,16	-0,54
B52	PR1 - lw	317,650	LC4.2	1,94	-11,10	5,87	-3,11
B52	PR1 - lw	317,650	LC4.3	1,23	0,64	-0,76	-2,90
B52	PR1 - lw	317,650	LC4.4	0,74	0,12	-0,30	-2,09
B52	PR1 - lw	317,650	LC4.5	0,26	-0,05	-0,05	-0,94
B52	PR1 - lw	317,650	LC5.1	-2,84	12,56	-6,64	2,02
B52	PR1 - lw	317,650	LC5.2	0,16	-12,56	7,06	-2,02
B52	PR1 - lw	423,530	LC1	0,67	0,46	1,62	-0,05
B52	PR1 - lw	423,530	LC2	0,30	-0,15	0,62	-0,03
B52	PR1 - lw	423,530	LC3.1	-2,20	0,00	-0,53	0,28
B52	PR1 - lw	423,530	LC3.2	2,20	0,00	0,53	-0,28
B52	PR1 - lw	423,530	LC3.3	-1,32	0,00	-0,33	0,17
B52	PR1 - lw	423,530	LC3.4	1,33	0,00	0,32	-0,17
B52	PR1 - lw	423,530	LC4.1	2,64	-11,98	4,89	-0,43
B52	PR1 - lw	423,530	LC4.2	1,94	-11,10	4,69	-2,54
B52	PR1 - lw	423,530	LC4.3	1,23	0,64	-0,69	-2,37

Dilec	css	dx [mm]	Stav	N [kN]	Vz [kN]	My [kNm]	Mz [kNm]
B52	PR1 - lw	423,530	LC4.4	0,74	0,12	-0,29	-1,71
B52	PR1 - lw	423,530	LC4.5	0,26	-0,05	-0,06	-0,77
B52	PR1 - lw	423,530	LC5.1	-2,84	12,56	-5,31	1,65
B52	PR1 - lw	423,530	LC5.2	0,16	-12,56	5,73	-1,65
B52	PR1 - lw	529,410	LC1	0,67	0,36	1,67	-0,05
B52	PR1 - lw	529,410	LC2	0,30	-0,15	0,61	-0,03
B52	PR1 - lw	529,410	LC3.1	-2,20	0,00	-0,53	0,29
B52	PR1 - lw	529,410	LC3.2	2,20	0,00	0,53	-0,29
B52	PR1 - lw	529,410	LC3.3	-1,32	0,00	-0,33	0,17
B52	PR1 - lw	529,410	LC3.4	1,33	0,00	0,32	-0,17
B52	PR1 - lw	529,410	LC4.1	2,64	-11,98	3,62	-0,32
B52	PR1 - lw	529,410	LC4.2	1,94	-11,10	3,51	-1,96
B52	PR1 - lw	529,410	LC4.3	1,23	0,64	-0,62	-1,84
B52	PR1 - lw	529,410	LC4.4	0,74	0,12	-0,28	-1,33
B52	PR1 - lw	529,410	LC4.5	0,26	-0,05	-0,07	-0,60
B52	PR1 - lw	529,410	LC5.1	-2,84	12,56	-3,98	1,28
B52	PR1 - lw	529,410	LC5.2	0,16	-12,56	4,40	-1,28
B52	PR1 - lw	635,290	LC1	0,67	0,26	1,70	-0,05
B52	PR1 - lw	635,290	LC2	0,30	-0,15	0,59	-0,03
B52	PR1 - lw	635,290	LC3.1	-2,20	0,00	-0,53	0,29
B52	PR1 - lw	635,290	LC3.2	2,20	0,00	0,53	-0,29
B52	PR1 - lw	635,290	LC3.3	-1,32	0,00	-0,33	0,18
B52	PR1 - lw	635,290	LC3.4	1,33	0,00	0,32	-0,18
B52	PR1 - lw	635,290	LC4.1	2,64	-11,98	2,36	-0,22
B52	PR1 - lw	635,290	LC4.2	1,94	-11,10	2,34	-1,39
B52	PR1 - lw	635,290	LC4.3	1,23	0,64	-0,55	-1,31
B52	PR1 - lw	635,290	LC4.4	0,74	0,12	-0,26	-0,95
B52	PR1 - lw	635,290	LC4.5	0,26	-0,05	-0,07	-0,42
B52	PR1 - lw	635,290	LC5.1	-2,84	12,56	-2,65	0,91
B52	PR1 - lw	635,290	LC5.2	0,16	-12,56	3,07	-0,90
B52	PR1 - lw	741,180	LC1	0,67	0,15	1,72	-0,05
B52	PR1 - lw	741,180	LC2	0,30	-0,15	0,57	-0,03
B52	PR1 - lw	741,180	LC3.1	-2,20	0,00	-0,53	0,29
B52	PR1 - lw	741,180	LC3.2	2,20	0,00	0,53	-0,29
B52	PR1 - lw	741,180	LC3.3	-1,32	0,00	-0,33	0,18
B52	PR1 - lw	741,180	LC3.4	1,33	0,00	0,32	-0,18
B52	PR1 - lw	741,180	LC4.1	2,64	-11,98	1,09	-0,11
B52	PR1 - lw	741,180	LC4.2	1,94	-11,10	1,16	-0,82
B52	PR1 - lw	741,180	LC4.3	1,23	0,64	-0,48	-0,78
B52	PR1 - lw	741,180	LC4.4	0,74	0,12	-0,25	-0,56
B52	PR1 - lw	741,180	LC4.5	0,26	-0,05	-0,08	-0,25
B52	PR1 - lw	741,180	LC5.1	-2,84	12,56	-1,32	0,53
B52	PR1 - lw	741,180	LC5.2	0,16	-12,56	1,74	-0,53
B52	PR1 - lw	847,060	LC1	0,67	0,05	1,73	-0,05
B52	PR1 - lw	847,060	LC2	0,30	-0,15	0,56	-0,03
B52	PR1 - lw	847,060	LC3.1	-2,20	0,00	-0,53	0,30
B52	PR1 - lw	847,060	LC3.2	2,20	0,00	0,53	-0,30
B52	PR1 - lw	847,060	LC3.3	-1,32	0,00	-0,33	0,18
B52	PR1 - lw	847,060	LC3.4	1,33	0,00	0,32	-0,18
B52	PR1 - lw	847,060	LC4.1	2,64	-11,98	-0,18	0,00
B52	PR1 - lw	847,060	LC4.2	1,94	-11,10	-0,01	-0,25
B52	PR1 - lw	847,060	LC4.3	1,23	0,64	-0,42	-0,24
B52	PR1 - lw	847,060	LC4.4	0,74	0,12	-0,24	-0,18
B52	PR1 - lw	847,060	LC4.5	0,26	-0,05	-0,08	-0,08
B52	PR1 - lw	847,060	LC5.1	-2,84	12,56	0,01	0,16
B52	PR1 - lw	847,060	LC5.2	0,16	-12,56	0,41	-0,16
B52	PR1 - lw	899,990	LC1	0,67	0,00	1,73	-0,05
B52	PR1 - lw	899,990	LC2	0,30	-0,15	0,55	-0,03
B52	PR1 - lw	899,990	LC3.1	-2,20	0,00	-0,53	0,30
B52	PR1 - lw	899,990	LC3.2	2,20	0,00	0,53	-0,30
B52	PR1 - lw	899,990	LC3.3	-1,32	0,00	-0,33	0,18
B52	PR1 - lw	899,990	LC3.4	1,33	0,00	0,32	-0,18
B52	PR1 - lw	899,990	LC4.1	2,64	-11,98	-0,82	0,05
B52	PR1 - lw	899,990	LC4.2	1,94	-11,10	-0,60	0,03
B52	PR1 - lw	899,990	LC4.3	1,23	0,64	-0,38	0,02
B52	PR1 - lw	899,990	LC4.4	0,74	0,12	-0,23	0,01
B52	PR1 - lw	899,990	LC4.5	0,26	-0,05	-0,08	0,00
B52	PR1 - lw	899,990	LC5.1	-2,84	12,56	0,68	-0,03
B52	PR1 - lw	899,990	LC5.2	0,16	-12,56	-0,25	0,03
B52	PR1 - lw	900,010	LC1	0,67	0,00	1,73	-0,05
B52	PR1 - lw	900,010	LC2	0,30	-0,15	0,55	-0,03
B52	PR1 - lw	900,010	LC3.1	-2,20	0,00	-0,53	0,30
B52	PR1 - lw	900,010	LC3.2	2,20	0,00	0,53	-0,30
B52	PR1 - lw	900,010	LC3.3	-1,32	0,00	-0,33	0,18
B52	PR1 - lw	900,010	LC3.4	1,33	0,00	0,32	-0,18
B52	PR1 - lw	900,010	LC4.1	2,64	-11,98	-0,82	0,05

Dilec	css	dx [mm]	Stav	N [kN]	Vz [kN]	My [kNm]	Mz [kNm]
B52	PR1 - lw	900,010	LC4.2	1,94	-11,10	-0,60	0,03
B52	PR1 - lw	900,010	LC4.3	1,23	0,64	-0,38	0,02
B52	PR1 - lw	900,010	LC4.4	0,74	0,12	-0,23	0,01
B52	PR1 - lw	900,010	LC4.5	0,26	-0,05	-0,08	0,00
B52	PR1 - lw	900,010	LC5.1	-2,84	12,56	0,68	-0,03
B52	PR1 - lw	900,010	LC5.2	0,16	-12,56	-0,25	0,03
B52	PR1 - lw	952,940	LC1	0,67	-0,05	1,73	-0,05
B52	PR1 - lw	952,940	LC2	0,30	-0,15	0,54	-0,03
B52	PR1 - lw	952,940	LC3.1	-2,20	0,00	-0,53	0,30
B52	PR1 - lw	952,940	LC3.2	2,20	0,00	0,53	-0,30
B52	PR1 - lw	952,940	LC3.3	-1,32	0,00	-0,33	0,18
B52	PR1 - lw	952,940	LC3.4	1,33	0,00	0,32	-0,18
B52	PR1 - lw	952,940	LC4.1	2,64	-11,98	-1,45	0,10
B52	PR1 - lw	952,940	LC4.2	1,94	-11,10	-1,19	0,32
B52	PR1 - lw	952,940	LC4.3	1,23	0,64	-0,35	0,29
B52	PR1 - lw	952,940	LC4.4	0,74	0,12	-0,22	0,20
B52	PR1 - lw	952,940	LC4.5	0,26	-0,05	-0,09	0,09
B52	PR1 - lw	952,940	LC5.1	-2,84	12,56	1,34	-0,21
B52	PR1 - lw	952,940	LC5.2	0,16	-12,56	-0,92	0,21
B52	PR1 - lw	1058,820	LC1	0,67	-0,15	1,72	-0,05
B52	PR1 - lw	1058,820	LC2	0,30	-0,15	0,52	-0,03
B52	PR1 - lw	1058,820	LC3.1	-2,20	0,00	-0,53	0,30
B52	PR1 - lw	1058,820	LC3.2	2,20	0,00	0,53	-0,30
B52	PR1 - lw	1058,820	LC3.3	-1,32	0,00	-0,33	0,18
B52	PR1 - lw	1058,820	LC3.4	1,33	0,00	0,32	-0,18
B52	PR1 - lw	1058,820	LC4.1	2,64	-11,98	-2,72	0,21
B52	PR1 - lw	1058,820	LC4.2	1,94	-11,10	-2,36	0,89
B52	PR1 - lw	1058,820	LC4.3	1,23	0,64	-0,28	0,82
B52	PR1 - lw	1058,820	LC4.4	0,74	0,12	-0,21	0,59
B52	PR1 - lw	1058,820	LC4.5	0,26	-0,05	-0,09	0,26
B52	PR1 - lw	1058,820	LC5.1	-2,84	12,56	2,67	-0,58
B52	PR1 - lw	1058,820	LC5.2	0,16	-12,56	-2,25	0,59
B52	PR1 - lw	1164,710	LC1	0,67	-0,26	1,70	-0,05
B52	PR1 - lw	1164,710	LC2	0,30	-0,15	0,51	-0,03
B52	PR1 - lw	1164,710	LC3.1	-2,20	0,00	-0,54	0,31
B52	PR1 - lw	1164,710	LC3.2	2,20	0,00	0,54	-0,31
B52	PR1 - lw	1164,710	LC3.3	-1,32	0,00	-0,33	0,19
B52	PR1 - lw	1164,710	LC3.4	1,33	0,00	0,32	-0,19
B52	PR1 - lw	1164,710	LC4.1	2,64	-11,98	-3,99	0,31
B52	PR1 - lw	1164,710	LC4.2	1,94	-11,10	-3,54	1,46
B52	PR1 - lw	1164,710	LC4.3	1,23	0,64	-0,21	1,35
B52	PR1 - lw	1164,710	LC4.4	0,74	0,12	-0,20	0,97
B52	PR1 - lw	1164,710	LC4.5	0,26	-0,05	-0,10	0,43
B52	PR1 - lw	1164,710	LC5.1	-2,84	12,56	4,00	-0,96
B52	PR1 - lw	1164,710	LC5.2	0,16	-12,56	-3,58	0,96
B52	PR1 - lw	1270,590	LC1	0,67	-0,36	1,67	-0,05
B52	PR1 - lw	1270,590	LC2	0,30	-0,15	0,49	-0,03
B52	PR1 - lw	1270,590	LC3.1	-2,20	0,00	-0,54	0,31
B52	PR1 - lw	1270,590	LC3.2	2,20	0,00	0,54	-0,31
B52	PR1 - lw	1270,590	LC3.3	-1,32	0,00	-0,33	0,19
B52	PR1 - lw	1270,590	LC3.4	1,33	0,00	0,32	-0,19
B52	PR1 - lw	1270,590	LC4.1	2,64	-11,98	-5,26	0,42
B52	PR1 - lw	1270,590	LC4.2	1,94	-11,10	-4,71	2,03
B52	PR1 - lw	1270,590	LC4.3	1,23	0,64	-0,14	1,88
B52	PR1 - lw	1270,590	LC4.4	0,74	0,12	-0,18	1,35
B52	PR1 - lw	1270,590	LC4.5	0,26	-0,05	-0,10	0,60
B52	PR1 - lw	1270,590	LC5.1	-2,84	12,56	5,33	-1,33
B52	PR1 - lw	1270,590	LC5.2	0,16	-12,56	-4,91	1,33
B52	PR1 - lw	1376,470	LC1	0,67	-0,46	1,62	-0,05
B52	PR1 - lw	1376,470	LC2	0,30	-0,15	0,48	-0,03
B52	PR1 - lw	1376,470	LC3.1	-2,20	0,00	-0,54	0,31
B52	PR1 - lw	1376,470	LC3.2	2,20	0,00	0,54	-0,31
B52	PR1 - lw	1376,470	LC3.3	-1,32	0,00	-0,33	0,19
B52	PR1 - lw	1376,470	LC3.4	1,33	0,00	0,32	-0,19
B52	PR1 - lw	1376,470	LC4.1	2,64	-11,98	-6,52	0,53
B52	PR1 - lw	1376,470	LC4.2	1,94	-11,10	-5,89	2,61
B52	PR1 - lw	1376,470	LC4.3	1,23	0,64	-0,08	2,41
B52	PR1 - lw	1376,470	LC4.4	0,74	0,12	-0,17	1,74
B52	PR1 - lw	1376,470	LC4.5	0,26	-0,05	-0,11	0,77
B52	PR1 - lw	1376,470	LC5.1	-2,84	12,56	6,66	-1,70
B52	PR1 - lw	1376,470	LC5.2	0,16	-12,56	-6,24	1,70
B52	PR1 - lw	1482,350	LC1	0,67	-0,56	1,57	-0,05
B52	PR1 - lw	1482,350	LC2	0,30	-0,15	0,46	-0,03
B52	PR1 - lw	1482,350	LC3.1	-2,20	0,00	-0,54	0,32
B52	PR1 - lw	1482,350	LC3.2	2,20	0,00	0,54	-0,32
B52	PR1 - lw	1482,350	LC3.3	-1,32	0,00	-0,33	0,19

Dilec	css	dx [mm]	Stav	N [kN]	Vz [kN]	My [kNm]	Mz [kNm]
B52	PR1 - lw	1482,350	LC3.4	1,33	0,00	0,32	-0,19
B52	PR1 - lw	1482,350	LC4.1	2,64	-11,98	-7,79	0,63
B52	PR1 - lw	1482,350	LC4.2	1,94	-11,10	-7,06	3,18
B52	PR1 - lw	1482,350	LC4.3	1,23	0,64	-0,01	2,94
B52	PR1 - lw	1482,350	LC4.4	0,74	0,12	-0,16	2,12
B52	PR1 - lw	1482,350	LC4.5	0,26	-0,05	-0,11	0,94
B52	PR1 - lw	1482,350	LC5.1	-2,84	12,56	7,99	-2,07
B52	PR1 - lw	1482,350	LC5.2	0,16	-12,56	-7,57	2,08
B52	PR1 - lw	1588,240	LC1	0,67	-0,66	1,50	-0,05
B52	PR1 - lw	1588,240	LC2	0,30	-0,15	0,44	-0,03
B52	PR1 - lw	1588,240	LC3.1	-2,20	0,00	-0,54	0,32
B52	PR1 - lw	1588,240	LC3.2	2,20	0,00	0,54	-0,32
B52	PR1 - lw	1588,240	LC3.3	-1,32	0,00	-0,33	0,19
B52	PR1 - lw	1588,240	LC3.4	1,33	0,00	0,32	-0,19
B52	PR1 - lw	1588,240	LC4.1	2,64	-11,98	-9,06	0,74
B52	PR1 - lw	1588,240	LC4.2	1,94	-11,10	-8,24	3,75
B52	PR1 - lw	1588,240	LC4.3	1,23	0,64	0,06	3,48
B52	PR1 - lw	1588,240	LC4.4	0,74	0,12	-0,14	2,50
B52	PR1 - lw	1588,240	LC4.5	0,26	-0,05	-0,12	1,12
B52	PR1 - lw	1588,240	LC5.1	-2,84	12,56	9,32	-2,45
B52	PR1 - lw	1588,240	LC5.2	0,16	-12,56	-8,90	2,45
B52	PR1 - lw	1694,120	LC1	0,67	-0,77	1,43	-0,05
B52	PR1 - lw	1694,120	LC2	0,30	-0,15	0,43	-0,03
B52	PR1 - lw	1694,120	LC3.1	-2,20	0,00	-0,54	0,32
B52	PR1 - lw	1694,120	LC3.2	2,20	0,00	0,54	-0,32
B52	PR1 - lw	1694,120	LC3.3	-1,32	0,00	-0,33	0,20
B52	PR1 - lw	1694,120	LC3.4	1,33	0,00	0,32	-0,20
B52	PR1 - lw	1694,120	LC4.1	2,64	-11,98	-10,33	0,84
B52	PR1 - lw	1694,120	LC4.2	1,94	-11,10	-9,41	4,32
B52	PR1 - lw	1694,120	LC4.3	1,23	0,64	0,13	4,01
B52	PR1 - lw	1694,120	LC4.4	0,74	0,12	-0,13	2,88
B52	PR1 - lw	1694,120	LC4.5	0,26	-0,05	-0,12	1,29
B52	PR1 - lw	1694,120	LC5.1	-2,84	12,56	10,65	-2,82
B52	PR1 - lw	1694,120	LC5.2	0,16	-12,56	-10,23	2,82
B52	PR1 - lw	1800,000	LC1	0,67	-0,87	1,34	-0,05
B52	PR1 - lw	1800,000	LC2	0,30	-0,15	0,41	-0,03
B52	PR1 - lw	1800,000	LC3.1	-2,20	0,00	-0,54	0,33
B52	PR1 - lw	1800,000	LC3.2	2,20	0,00	0,54	-0,33
B52	PR1 - lw	1800,000	LC3.3	-1,32	0,00	-0,33	0,20
B52	PR1 - lw	1800,000	LC3.4	1,33	0,00	0,32	-0,20
B52	PR1 - lw	1800,000	LC4.1	2,64	-11,98	-11,60	0,95
B52	PR1 - lw	1800,000	LC4.2	1,94	-11,10	-10,59	4,89
B52	PR1 - lw	1800,000	LC4.3	1,23	0,64	0,20	4,54
B52	PR1 - lw	1800,000	LC4.4	0,74	0,12	-0,12	3,27
B52	PR1 - lw	1800,000	LC4.5	0,26	-0,05	-0,13	1,46
B52	PR1 - lw	1800,000	LC5.1	-2,84	12,56	11,98	-3,19
B52	PR1 - lw	1800,000	LC5.2	0,16	-12,56	-11,56	3,19
B59	PR1 - lw	0,000	LC1	0,99	0,87	1,24	-0,01
B59	PR1 - lw	0,000	LC2	0,56	-0,15	0,50	-0,01
B59	PR1 - lw	0,000	LC3.1	0,49	0,00	-0,35	0,27
B59	PR1 - lw	0,000	LC3.2	-0,49	0,00	0,35	-0,27
B59	PR1 - lw	0,000	LC3.3	0,29	0,00	-0,19	0,16
B59	PR1 - lw	0,000	LC3.4	-0,30	0,00	0,21	-0,17
B59	PR1 - lw	0,000	LC4.1	-0,94	0,68	-0,35	0,46
B59	PR1 - lw	0,000	LC4.2	-0,83	-11,00	10,15	0,85
B59	PR1 - lw	0,000	LC4.3	-0,71	-11,06	10,18	-1,64
B59	PR1 - lw	0,000	LC4.4	-0,63	-0,18	0,38	-1,32
B59	PR1 - lw	0,000	LC4.5	-0,55	0,60	-0,34	-0,73
B59	PR1 - lw	0,000	LC5.1	-0,54	12,02	-10,85	0,46
B59	PR1 - lw	0,000	LC5.2	-2,09	-12,02	11,27	-0,46
B59	PR1 - lw	105,880	LC1	0,99	0,77	1,33	-0,01
B59	PR1 - lw	105,880	LC2	0,56	-0,15	0,48	-0,01
B59	PR1 - lw	105,880	LC3.1	0,49	0,00	-0,35	0,28
B59	PR1 - lw	105,880	LC3.2	-0,49	0,00	0,35	-0,28
B59	PR1 - lw	105,880	LC3.3	0,29	0,00	-0,19	0,17
B59	PR1 - lw	105,880	LC3.4	-0,30	0,00	0,21	-0,17
B59	PR1 - lw	105,880	LC4.1	-0,94	0,68	-0,28	0,41
B59	PR1 - lw	105,880	LC4.2	-0,83	-11,00	8,98	0,75
B59	PR1 - lw	105,880	LC4.3	-0,71	-11,06	9,01	-1,45
B59	PR1 - lw	105,880	LC4.4	-0,63	-0,18	0,36	-1,17
B59	PR1 - lw	105,880	LC4.5	-0,55	0,60	-0,28	-0,65
B59	PR1 - lw	105,880	LC5.1	-0,54	12,02	-9,57	0,41
B59	PR1 - lw	105,880	LC5.2	-2,09	-12,02	10,00	-0,41
B59	PR1 - lw	211,760	LC1	0,99	0,66	1,41	-0,01
B59	PR1 - lw	211,760	LC2	0,56	-0,15	0,46	-0,01
B59	PR1 - lw	211,760	LC3.1	0,49	0,00	-0,35	0,28

Dilec	css	dx [mm]	Stav	N [kN]	Vz [kN]	My [kNm]	Mz [kNm]
B59	PR1 - lw	211,760	LC3.2	-0,49	0,00	0,35	-0,28
B59	PR1 - lw	211,760	LC3.3	0,29	0,00	-0,19	0,17
B59	PR1 - lw	211,760	LC3.4	-0,30	0,00	0,21	-0,17
B59	PR1 - lw	211,760	LC4.1	-0,94	0,68	-0,21	0,36
B59	PR1 - lw	211,760	LC4.2	-0,83	-11,00	7,82	0,65
B59	PR1 - lw	211,760	LC4.3	-0,71	-11,06	7,84	-1,25
B59	PR1 - lw	211,760	LC4.4	-0,63	-0,18	0,34	-1,01
B59	PR1 - lw	211,760	LC4.5	-0,55	0,60	-0,21	-0,56
B59	PR1 - lw	211,760	LC5.1	-0,54	12,02	-8,30	0,35
B59	PR1 - lw	211,760	LC5.2	-2,09	-12,02	8,72	-0,35
B59	PR1 - lw	317,650	LC1	0,99	0,56	1,47	-0,01
B59	PR1 - lw	317,650	LC2	0,56	-0,15	0,45	-0,01
B59	PR1 - lw	317,650	LC3.1	0,49	0,00	-0,35	0,28
B59	PR1 - lw	317,650	LC3.2	-0,49	0,00	0,35	-0,28
B59	PR1 - lw	317,650	LC3.3	0,29	0,00	-0,19	0,17
B59	PR1 - lw	317,650	LC3.4	-0,30	0,00	0,21	-0,17
B59	PR1 - lw	317,650	LC4.1	-0,94	0,68	-0,14	0,30
B59	PR1 - lw	317,650	LC4.2	-0,83	-11,00	6,65	0,55
B59	PR1 - lw	317,650	LC4.3	-0,71	-11,06	6,67	-1,06
B59	PR1 - lw	317,650	LC4.4	-0,63	-0,18	0,32	-0,86
B59	PR1 - lw	317,650	LC4.5	-0,55	0,60	-0,15	-0,47
B59	PR1 - lw	317,650	LC5.1	-0,54	12,02	-7,03	0,30
B59	PR1 - lw	317,650	LC5.2	-2,09	-12,02	7,45	-0,30
B59	PR1 - lw	423,530	LC1	0,99	0,46	1,52	-0,01
B59	PR1 - lw	423,530	LC2	0,56	-0,15	0,43	-0,01
B59	PR1 - lw	423,530	LC3.1	0,49	0,00	-0,35	0,29
B59	PR1 - lw	423,530	LC3.2	-0,49	0,00	0,35	-0,29
B59	PR1 - lw	423,530	LC3.3	0,29	0,00	-0,19	0,17
B59	PR1 - lw	423,530	LC3.4	-0,30	0,00	0,21	-0,17
B59	PR1 - lw	423,530	LC4.1	-0,94	0,68	-0,06	0,25
B59	PR1 - lw	423,530	LC4.2	-0,83	-11,00	5,48	0,45
B59	PR1 - lw	423,530	LC4.3	-0,71	-11,06	5,49	-0,87
B59	PR1 - lw	423,530	LC4.4	-0,63	-0,18	0,30	-0,70
B59	PR1 - lw	423,530	LC4.5	-0,55	0,60	-0,09	-0,39
B59	PR1 - lw	423,530	LC5.1	-0,54	12,02	-5,75	0,24
B59	PR1 - lw	423,530	LC5.2	-2,09	-12,02	6,18	-0,24
B59	PR1 - lw	529,410	LC1	0,99	0,36	1,57	-0,01
B59	PR1 - lw	529,410	LC2	0,56	-0,15	0,41	-0,01
B59	PR1 - lw	529,410	LC3.1	0,49	0,00	-0,35	0,29
B59	PR1 - lw	529,410	LC3.2	-0,49	0,00	0,35	-0,29
B59	PR1 - lw	529,410	LC3.3	0,29	0,00	-0,19	0,17
B59	PR1 - lw	529,410	LC3.4	-0,30	0,00	0,21	-0,18
B59	PR1 - lw	529,410	LC4.1	-0,94	0,68	0,01	0,20
B59	PR1 - lw	529,410	LC4.2	-0,83	-11,00	4,32	0,35
B59	PR1 - lw	529,410	LC4.3	-0,71	-11,06	4,32	-0,67
B59	PR1 - lw	529,410	LC4.4	-0,63	-0,18	0,28	-0,54
B59	PR1 - lw	529,410	LC4.5	-0,55	0,60	-0,02	-0,30
B59	PR1 - lw	529,410	LC5.1	-0,54	12,02	-4,48	0,19
B59	PR1 - lw	529,410	LC5.2	-2,09	-12,02	4,91	-0,19
B59	PR1 - lw	635,290	LC1	0,99	0,25	1,60	-0,01
B59	PR1 - lw	635,290	LC2	0,56	-0,15	0,40	-0,01
B59	PR1 - lw	635,290	LC3.1	0,49	0,00	-0,35	0,29
B59	PR1 - lw	635,290	LC3.2	-0,49	0,00	0,35	-0,29
B59	PR1 - lw	635,290	LC3.3	0,29	0,00	-0,19	0,18
B59	PR1 - lw	635,290	LC3.4	-0,30	0,00	0,21	-0,18
B59	PR1 - lw	635,290	LC4.1	-0,94	0,68	0,08	0,14
B59	PR1 - lw	635,290	LC4.2	-0,83	-11,00	3,15	0,25
B59	PR1 - lw	635,290	LC4.3	-0,71	-11,06	3,15	-0,48
B59	PR1 - lw	635,290	LC4.4	-0,63	-0,18	0,26	-0,39
B59	PR1 - lw	635,290	LC4.5	-0,55	0,60	0,04	-0,22
B59	PR1 - lw	635,290	LC5.1	-0,54	12,02	-3,21	0,13
B59	PR1 - lw	635,290	LC5.2	-2,09	-12,02	3,63	-0,13
B59	PR1 - lw	741,180	LC1	0,99	0,15	1,62	-0,01
B59	PR1 - lw	741,180	LC2	0,56	-0,15	0,38	-0,01
B59	PR1 - lw	741,180	LC3.1	0,49	0,00	-0,35	0,30
B59	PR1 - lw	741,180	LC3.2	-0,49	0,00	0,35	-0,30
B59	PR1 - lw	741,180	LC3.3	0,29	0,00	-0,19	0,18
B59	PR1 - lw	741,180	LC3.4	-0,30	0,00	0,21	-0,18
B59	PR1 - lw	741,180	LC4.1	-0,94	0,68	0,15	0,09
B59	PR1 - lw	741,180	LC4.2	-0,83	-11,00	1,99	0,15
B59	PR1 - lw	741,180	LC4.3	-0,71	-11,06	1,98	-0,29
B59	PR1 - lw	741,180	LC4.4	-0,63	-0,18	0,24	-0,23
B59	PR1 - lw	741,180	LC4.5	-0,55	0,60	0,10	-0,13
B59	PR1 - lw	741,180	LC5.1	-0,54	12,02	-1,94	0,08
B59	PR1 - lw	741,180	LC5.2	-2,09	-12,02	2,36	-0,08
B59	PR1 - lw	847,060	LC1	0,99	0,05	1,63	-0,01

Dilec	css	dx [mm]	Stav	N [kN]	Vz [kN]	My [kNm]	Mz [kNm]
B59	PR1 - lw	847,060	LC2	0,56	-0,15	0,37	-0,01
B59	PR1 - lw	847,060	LC3.1	0,49	0,00	-0,35	0,30
B59	PR1 - lw	847,060	LC3.2	-0,49	0,00	0,35	-0,30
B59	PR1 - lw	847,060	LC3.3	0,29	0,00	-0,19	0,18
B59	PR1 - lw	847,060	LC3.4	-0,30	0,00	0,21	-0,18
B59	PR1 - lw	847,060	LC4.1	-0,94	0,68	0,22	0,04
B59	PR1 - lw	847,060	LC4.2	-0,83	-11,00	0,82	0,06
B59	PR1 - lw	847,060	LC4.3	-0,71	-11,06	0,81	-0,09
B59	PR1 - lw	847,060	LC4.4	-0,63	-0,18	0,22	-0,08
B59	PR1 - lw	847,060	LC4.5	-0,55	0,60	0,17	-0,05
B59	PR1 - lw	847,060	LC5.1	-0,54	12,02	-0,66	0,02
B59	PR1 - lw	847,060	LC5.2	-2,09	-12,02	1,09	-0,02
B59	PR1 - lw	899,990	LC1	0,99	0,00	1,63	-0,01
B59	PR1 - lw	899,990	LC2	0,56	-0,15	0,36	-0,01
B59	PR1 - lw	899,990	LC3.1	0,49	0,00	-0,35	0,30
B59	PR1 - lw	899,990	LC3.2	-0,49	0,00	0,35	-0,30
B59	PR1 - lw	899,990	LC3.3	0,29	0,00	-0,19	0,18
B59	PR1 - lw	899,990	LC3.4	-0,30	0,00	0,21	-0,18
B59	PR1 - lw	899,990	LC4.1	-0,94	0,68	0,26	0,01
B59	PR1 - lw	899,990	LC4.2	-0,83	-11,00	0,24	0,01
B59	PR1 - lw	899,990	LC4.3	-0,71	-11,06	0,22	0,00
B59	PR1 - lw	899,990	LC4.4	-0,63	-0,18	0,21	0,00
B59	PR1 - lw	899,990	LC4.5	-0,55	0,60	0,20	0,00
B59	PR1 - lw	899,990	LC5.1	-0,54	12,02	-0,03	0,00
B59	PR1 - lw	899,990	LC5.2	-2,09	-12,02	0,45	0,00
B59	PR1 - lw	900,010	LC1	0,99	0,00	1,63	-0,01
B59	PR1 - lw	900,010	LC2	0,56	-0,15	0,36	-0,01
B59	PR1 - lw	900,010	LC3.1	0,49	0,00	-0,35	0,30
B59	PR1 - lw	900,010	LC3.2	-0,49	0,00	0,35	-0,30
B59	PR1 - lw	900,010	LC3.3	0,29	0,00	-0,19	0,18
B59	PR1 - lw	900,010	LC3.4	-0,30	0,00	0,21	-0,18
B59	PR1 - lw	900,010	LC4.1	-0,94	0,68	0,26	0,01
B59	PR1 - lw	900,010	LC4.2	-0,83	-11,00	0,24	0,01
B59	PR1 - lw	900,010	LC4.3	-0,71	-11,06	0,22	0,00
B59	PR1 - lw	900,010	LC4.4	-0,63	-0,18	0,21	0,00
B59	PR1 - lw	900,010	LC4.5	-0,55	0,60	0,20	0,00
B59	PR1 - lw	900,010	LC5.1	-0,54	12,02	-0,03	0,00
B59	PR1 - lw	900,010	LC5.2	-2,09	-12,02	0,45	0,00
B59	PR1 - lw	952,940	LC1	0,99	-0,05	1,63	-0,01
B59	PR1 - lw	952,940	LC2	0,56	-0,15	0,35	-0,01
B59	PR1 - lw	952,940	LC3.1	0,49	0,00	-0,35	0,30
B59	PR1 - lw	952,940	LC3.2	-0,49	0,00	0,35	-0,30
B59	PR1 - lw	952,940	LC3.3	0,29	0,00	-0,19	0,18
B59	PR1 - lw	952,940	LC3.4	-0,30	0,00	0,21	-0,18
B59	PR1 - lw	952,940	LC4.1	-0,94	0,68	0,29	-0,02
B59	PR1 - lw	952,940	LC4.2	-0,83	-11,00	-0,34	-0,04
B59	PR1 - lw	952,940	LC4.3	-0,71	-11,06	-0,36	0,10
B59	PR1 - lw	952,940	LC4.4	-0,63	-0,18	0,20	0,08
B59	PR1 - lw	952,940	LC4.5	-0,55	0,60	0,23	0,04
B59	PR1 - lw	952,940	LC5.1	-0,54	12,02	0,61	-0,03
B59	PR1 - lw	952,940	LC5.2	-2,09	-12,02	-0,18	0,03
B59	PR1 - lw	1058,820	LC1	0,99	-0,15	1,62	-0,01
B59	PR1 - lw	1058,820	LC2	0,56	-0,15	0,33	-0,01
B59	PR1 - lw	1058,820	LC3.1	0,49	0,00	-0,35	0,31
B59	PR1 - lw	1058,820	LC3.2	-0,49	0,00	0,35	-0,31
B59	PR1 - lw	1058,820	LC3.3	0,29	0,00	-0,19	0,19
B59	PR1 - lw	1058,820	LC3.4	-0,30	0,00	0,21	-0,19
B59	PR1 - lw	1058,820	LC4.1	-0,94	0,68	0,37	-0,07
B59	PR1 - lw	1058,820	LC4.2	-0,83	-11,00	-1,51	-0,14
B59	PR1 - lw	1058,820	LC4.3	-0,71	-11,06	-1,53	0,29
B59	PR1 - lw	1058,820	LC4.4	-0,63	-0,18	0,18	0,23
B59	PR1 - lw	1058,820	LC4.5	-0,55	0,60	0,30	0,13
B59	PR1 - lw	1058,820	LC5.1	-0,54	12,02	1,88	-0,09
B59	PR1 - lw	1058,820	LC5.2	-2,09	-12,02	-1,46	0,09
B59	PR1 - lw	1164,710	LC1	0,99	-0,26	1,60	-0,01
B59	PR1 - lw	1164,710	LC2	0,56	-0,15	0,32	-0,01
B59	PR1 - lw	1164,710	LC3.1	0,49	0,00	-0,35	0,31
B59	PR1 - lw	1164,710	LC3.2	-0,49	0,00	0,35	-0,31
B59	PR1 - lw	1164,710	LC3.3	0,29	0,00	-0,19	0,19
B59	PR1 - lw	1164,710	LC3.4	-0,30	0,00	0,21	-0,19
B59	PR1 - lw	1164,710	LC4.1	-0,94	0,68	0,44	-0,12
B59	PR1 - lw	1164,710	LC4.2	-0,83	-11,00	-2,67	-0,24
B59	PR1 - lw	1164,710	LC4.3	-0,71	-11,06	-2,70	0,48
B59	PR1 - lw	1164,710	LC4.4	-0,63	-0,18	0,16	0,39
B59	PR1 - lw	1164,710	LC4.5	-0,55	0,60	0,36	0,21
B59	PR1 - lw	1164,710	LC5.1	-0,54	12,02	3,15	-0,14

Dilec	css	dx [mm]	Stav	N [kN]	Vz [kN]	My [kNm]	Mz [kNm]
B59	PR1 - lw	1164,710	LC5.2	-2,09	-12,02	-2,73	0,14
B59	PR1 - lw	1270,590	LC1	0,99	-0,36	1,57	-0,01
B59	PR1 - lw	1270,590	LC2	0,56	-0,15	0,30	-0,01
B59	PR1 - lw	1270,590	LC3.1	0,49	0,00	-0,35	0,31
B59	PR1 - lw	1270,590	LC3.2	-0,49	0,00	0,35	-0,31
B59	PR1 - lw	1270,590	LC3.3	0,29	0,00	-0,19	0,19
B59	PR1 - lw	1270,590	LC3.4	-0,30	0,00	0,21	-0,19
B59	PR1 - lw	1270,590	LC4.1	-0,94	0,68	0,51	-0,18
B59	PR1 - lw	1270,590	LC4.2	-0,83	-11,00	-3,84	-0,34
B59	PR1 - lw	1270,590	LC4.3	-0,71	-11,06	-3,88	0,68
B59	PR1 - lw	1270,590	LC4.4	-0,63	-0,18	0,14	0,54
B59	PR1 - lw	1270,590	LC4.5	-0,55	0,60	0,42	0,30
B59	PR1 - lw	1270,590	LC5.1	-0,54	12,02	4,43	-0,20
B59	PR1 - lw	1270,590	LC5.2	-2,09	-12,02	-4,00	0,20
B59	PR1 - lw	1376,470	LC1	0,99	-0,46	1,52	-0,01
B59	PR1 - lw	1376,470	LC2	0,56	-0,15	0,29	-0,01
B59	PR1 - lw	1376,470	LC3.1	0,49	0,00	-0,35	0,32
B59	PR1 - lw	1376,470	LC3.2	-0,49	0,00	0,35	-0,32
B59	PR1 - lw	1376,470	LC3.3	0,29	0,00	-0,19	0,19
B59	PR1 - lw	1376,470	LC3.4	-0,30	0,00	0,21	-0,19
B59	PR1 - lw	1376,470	LC4.1	-0,94	0,68	0,58	-0,23
B59	PR1 - lw	1376,470	LC4.2	-0,83	-11,00	-5,00	-0,44
B59	PR1 - lw	1376,470	LC4.3	-0,71	-11,06	-5,05	0,87
B59	PR1 - lw	1376,470	LC4.4	-0,63	-0,18	0,12	0,70
B59	PR1 - lw	1376,470	LC4.5	-0,55	0,60	0,49	0,38
B59	PR1 - lw	1376,470	LC5.1	-0,54	12,02	5,70	-0,25
B59	PR1 - lw	1376,470	LC5.2	-2,09	-12,02	-5,28	0,25
B59	PR1 - lw	1482,350	LC1	0,99	-0,56	1,47	-0,01
B59	PR1 - lw	1482,350	LC2	0,56	-0,15	0,27	-0,01
B59	PR1 - lw	1482,350	LC3.1	0,49	0,00	-0,35	0,32
B59	PR1 - lw	1482,350	LC3.2	-0,49	0,00	0,35	-0,32
B59	PR1 - lw	1482,350	LC3.3	0,29	0,00	-0,19	0,19
B59	PR1 - lw	1482,350	LC3.4	-0,30	0,00	0,21	-0,19
B59	PR1 - lw	1482,350	LC4.1	-0,94	0,68	0,65	-0,28
B59	PR1 - lw	1482,350	LC4.2	-0,83	-11,00	-6,17	-0,54
B59	PR1 - lw	1482,350	LC4.3	-0,71	-11,06	-6,22	1,06
B59	PR1 - lw	1482,350	LC4.4	-0,63	-0,18	0,11	0,85
B59	PR1 - lw	1482,350	LC4.5	-0,55	0,60	0,55	0,47
B59	PR1 - lw	1482,350	LC5.1	-0,54	12,02	6,97	-0,31
B59	PR1 - lw	1482,350	LC5.2	-2,09	-12,02	-6,55	0,31
B59	PR1 - lw	1588,240	LC1	0,99	-0,67	1,40	-0,01
B59	PR1 - lw	1588,240	LC2	0,56	-0,15	0,25	-0,01
B59	PR1 - lw	1588,240	LC3.1	0,49	0,00	-0,35	0,32
B59	PR1 - lw	1588,240	LC3.2	-0,49	0,00	0,35	-0,32
B59	PR1 - lw	1588,240	LC3.3	0,29	0,00	-0,19	0,20
B59	PR1 - lw	1588,240	LC3.4	-0,30	0,00	0,21	-0,20
B59	PR1 - lw	1588,240	LC4.1	-0,94	0,68	0,73	-0,33
B59	PR1 - lw	1588,240	LC4.2	-0,83	-11,00	-7,33	-0,64
B59	PR1 - lw	1588,240	LC4.3	-0,71	-11,06	-7,39	1,26
B59	PR1 - lw	1588,240	LC4.4	-0,63	-0,18	0,09	1,01
B59	PR1 - lw	1588,240	LC4.5	-0,55	0,60	0,61	0,55
B59	PR1 - lw	1588,240	LC5.1	-0,54	12,02	8,25	-0,36
B59	PR1 - lw	1588,240	LC5.2	-2,09	-12,02	-7,82	0,36
B59	PR1 - lw	1694,120	LC1	0,99	-0,77	1,33	-0,01
B59	PR1 - lw	1694,120	LC2	0,56	-0,15	0,24	-0,01
B59	PR1 - lw	1694,120	LC3.1	0,49	0,00	-0,35	0,33
B59	PR1 - lw	1694,120	LC3.2	-0,49	0,00	0,35	-0,33
B59	PR1 - lw	1694,120	LC3.3	0,29	0,00	-0,19	0,20
B59	PR1 - lw	1694,120	LC3.4	-0,30	0,00	0,21	-0,20
B59	PR1 - lw	1694,120	LC4.1	-0,94	0,68	0,80	-0,39
B59	PR1 - lw	1694,120	LC4.2	-0,83	-11,00	-8,50	-0,74
B59	PR1 - lw	1694,120	LC4.3	-0,71	-11,06	-8,56	1,45
B59	PR1 - lw	1694,120	LC4.4	-0,63	-0,18	0,07	1,16
B59	PR1 - lw	1694,120	LC4.5	-0,55	0,60	0,68	0,64
B59	PR1 - lw	1694,120	LC5.1	-0,54	12,02	9,52	-0,42
B59	PR1 - lw	1694,120	LC5.2	-2,09	-12,02	-9,09	0,42
B59	PR1 - lw	1800,000	LC1	0,99	-0,87	1,24	-0,01
B59	PR1 - lw	1800,000	LC2	0,56	-0,15	0,22	-0,01
B59	PR1 - lw	1800,000	LC3.1	0,49	0,00	-0,35	0,33
B59	PR1 - lw	1800,000	LC3.2	-0,49	0,00	0,35	-0,33
B59	PR1 - lw	1800,000	LC3.3	0,29	0,00	-0,19	0,20
B59	PR1 - lw	1800,000	LC3.4	-0,30	0,00	0,21	-0,20
B59	PR1 - lw	1800,000	LC4.1	-0,94	0,68	0,87	-0,44
B59	PR1 - lw	1800,000	LC4.2	-0,83	-11,00	-9,66	-0,84
B59	PR1 - lw	1800,000	LC4.3	-0,71	-11,06	-9,73	1,64
B59	PR1 - lw	1800,000	LC4.4	-0,63	-0,18	0,05	1,32

Dilec	css	dx [mm]	Stav	N [kN]	Vz [kN]	My [kNm]	Mz [kNm]
B59	PR1 - lw	1800,000	LC4.5	-0,55	0,60	0,74	0,73
B59	PR1 - lw	1800,000	LC5.1	-0,54	12,02	10,79	-0,47
B59	PR1 - lw	1800,000	LC5.2	-2,09	-12,02	-10,37	0,47
B66	PR1 - lw	0,000	LC1	1,27	0,86	1,04	0,02
B66	PR1 - lw	0,000	LC2	0,77	-0,12	0,29	0,01
B66	PR1 - lw	0,000	LC3.1	7,08	0,00	-0,01	0,26
B66	PR1 - lw	0,000	LC3.2	-7,08	0,00	0,01	-0,26
B66	PR1 - lw	0,000	LC3.3	4,27	0,00	0,13	0,16
B66	PR1 - lw	0,000	LC3.4	-4,29	0,00	0,01	-0,16
B66	PR1 - lw	0,000	LC4.1	-0,23	0,22	-0,12	1,49
B66	PR1 - lw	0,000	LC4.2	-0,51	0,78	-0,61	3,70
B66	PR1 - lw	0,000	LC4.3	-0,79	-10,56	9,62	4,50
B66	PR1 - lw	0,000	LC4.4	-0,99	-9,70	8,86	2,15
B66	PR1 - lw	0,000	LC4.5	-1,18	0,14	0,02	0,66
B66	PR1 - lw	0,000	LC5.1	-0,25	8,67	-7,76	-2,54
B66	PR1 - lw	0,000	LC5.2	-1,74	-8,67	8,09	2,53
B66	PR1 - lw	105,880	LC1	1,27	0,76	1,12	0,02
B66	PR1 - lw	105,880	LC2	0,77	-0,12	0,28	0,01
B66	PR1 - lw	105,880	LC3.1	7,08	0,00	-0,01	0,26
B66	PR1 - lw	105,880	LC3.2	-7,08	0,00	0,01	-0,26
B66	PR1 - lw	105,880	LC3.3	4,27	0,00	0,13	0,16
B66	PR1 - lw	105,880	LC3.4	-4,29	0,00	0,01	-0,16
B66	PR1 - lw	105,880	LC4.1	-0,23	0,22	-0,10	1,31
B66	PR1 - lw	105,880	LC4.2	-0,51	0,78	-0,52	3,27
B66	PR1 - lw	105,880	LC4.3	-0,79	-10,56	8,50	3,97
B66	PR1 - lw	105,880	LC4.4	-0,99	-9,70	7,84	1,89
B66	PR1 - lw	105,880	LC4.5	-1,18	0,14	0,04	0,58
B66	PR1 - lw	105,880	LC5.1	-0,25	8,67	-6,84	-2,24
B66	PR1 - lw	105,880	LC5.2	-1,74	-8,67	7,17	2,23
B66	PR1 - lw	211,760	LC1	1,27	0,66	1,20	0,02
B66	PR1 - lw	211,760	LC2	0,77	-0,12	0,27	0,01
B66	PR1 - lw	211,760	LC3.1	7,08	0,00	-0,01	0,26
B66	PR1 - lw	211,760	LC3.2	-7,08	0,00	0,01	-0,26
B66	PR1 - lw	211,760	LC3.3	4,27	0,00	0,13	0,16
B66	PR1 - lw	211,760	LC3.4	-4,29	0,00	0,01	-0,16
B66	PR1 - lw	211,760	LC4.1	-0,23	0,22	-0,08	1,14
B66	PR1 - lw	211,760	LC4.2	-0,51	0,78	-0,44	2,83
B66	PR1 - lw	211,760	LC4.3	-0,79	-10,56	7,38	3,44
B66	PR1 - lw	211,760	LC4.4	-0,99	-9,70	6,81	1,64
B66	PR1 - lw	211,760	LC4.5	-1,18	0,14	0,05	0,50
B66	PR1 - lw	211,760	LC5.1	-0,25	8,67	-5,92	-1,94
B66	PR1 - lw	211,760	LC5.2	-1,74	-8,67	6,25	1,94
B66	PR1 - lw	317,650	LC1	1,27	0,55	1,26	0,02
B66	PR1 - lw	317,650	LC2	0,77	-0,12	0,26	0,01
B66	PR1 - lw	317,650	LC3.1	7,08	0,00	-0,01	0,27
B66	PR1 - lw	317,650	LC3.2	-7,08	0,00	0,01	-0,27
B66	PR1 - lw	317,650	LC3.3	4,27	0,00	0,13	0,16
B66	PR1 - lw	317,650	LC3.4	-4,29	0,00	0,01	-0,16
B66	PR1 - lw	317,650	LC4.1	-0,23	0,22	-0,05	0,96
B66	PR1 - lw	317,650	LC4.2	-0,51	0,78	-0,36	2,39
B66	PR1 - lw	317,650	LC4.3	-0,79	-10,56	6,27	2,91
B66	PR1 - lw	317,650	LC4.4	-0,99	-9,70	5,78	1,38
B66	PR1 - lw	317,650	LC4.5	-1,18	0,14	0,07	0,42
B66	PR1 - lw	317,650	LC5.1	-0,25	8,67	-5,00	-1,64
B66	PR1 - lw	317,650	LC5.2	-1,74	-8,67	5,34	1,64
B66	PR1 - lw	423,530	LC1	1,27	0,45	1,31	0,02
B66	PR1 - lw	423,530	LC2	0,77	-0,12	0,24	0,01
B66	PR1 - lw	423,530	LC3.1	7,08	0,00	-0,01	0,27
B66	PR1 - lw	423,530	LC3.2	-7,08	0,00	0,01	-0,27
B66	PR1 - lw	423,530	LC3.3	4,27	0,00	0,13	0,16
B66	PR1 - lw	423,530	LC3.4	-4,29	0,00	0,01	-0,16
B66	PR1 - lw	423,530	LC4.1	-0,23	0,22	-0,03	0,79
B66	PR1 - lw	423,530	LC4.2	-0,51	0,78	-0,27	1,96
B66	PR1 - lw	423,530	LC4.3	-0,79	-10,56	5,15	2,38
B66	PR1 - lw	423,530	LC4.4	-0,99	-9,70	4,76	1,13
B66	PR1 - lw	423,530	LC4.5	-1,18	0,14	0,08	0,34
B66	PR1 - lw	423,530	LC5.1	-0,25	8,67	-4,08	-1,34
B66	PR1 - lw	423,530	LC5.2	-1,74	-8,67	4,42	1,34
B66	PR1 - lw	529,410	LC1	1,27	0,35	1,36	0,02
B66	PR1 - lw	529,410	LC2	0,77	-0,12	0,23	0,01
B66	PR1 - lw	529,410	LC3.1	7,08	0,00	-0,01	0,27
B66	PR1 - lw	529,410	LC3.2	-7,08	0,00	0,01	-0,27
B66	PR1 - lw	529,410	LC3.3	4,27	0,00	0,13	0,17
B66	PR1 - lw	529,410	LC3.4	-4,29	0,00	0,01	-0,17
B66	PR1 - lw	529,410	LC4.1	-0,23	0,22	-0,01	0,61
B66	PR1 - lw	529,410	LC4.2	-0,51	0,78	-0,19	1,52

Dilec	css	dx [mm]	Stav	N [kN]	Vz [kN]	My [kNm]	Mz [kNm]
B66	PR1 - lw	529,410	LC4.3	-0,79	-10,56	4,03	1,85
B66	PR1 - lw	529,410	LC4.4	-0,99	-9,70	3,73	0,87
B66	PR1 - lw	529,410	LC4.5	-1,18	0,14	0,10	0,26
B66	PR1 - lw	529,410	LC5.1	-0,25	8,67	-3,17	-1,04
B66	PR1 - lw	529,410	LC5.2	-1,74	-8,67	3,50	1,04
B66	PR1 - lw	635,290	LC1	1,27	0,25	1,39	0,02
B66	PR1 - lw	635,290	LC2	0,77	-0,12	0,22	0,01
B66	PR1 - lw	635,290	LC3.1	7,08	0,00	-0,01	0,28
B66	PR1 - lw	635,290	LC3.2	-7,08	0,00	0,01	-0,28
B66	PR1 - lw	635,290	LC3.3	4,27	0,00	0,13	0,17
B66	PR1 - lw	635,290	LC3.4	-4,29	0,00	0,01	-0,17
B66	PR1 - lw	635,290	LC4.1	-0,23	0,22	0,02	0,44
B66	PR1 - lw	635,290	LC4.2	-0,51	0,78	-0,11	1,08
B66	PR1 - lw	635,290	LC4.3	-0,79	-10,56	2,91	1,32
B66	PR1 - lw	635,290	LC4.4	-0,99	-9,70	2,70	0,62
B66	PR1 - lw	635,290	LC4.5	-1,18	0,14	0,11	0,18
B66	PR1 - lw	635,290	LC5.1	-0,25	8,67	-2,25	-0,74
B66	PR1 - lw	635,290	LC5.2	-1,74	-8,67	2,58	0,74
B66	PR1 - lw	741,180	LC1	1,27	0,15	1,41	0,02
B66	PR1 - lw	741,180	LC2	0,77	-0,12	0,21	0,01
B66	PR1 - lw	741,180	LC3.1	7,08	0,00	-0,01	0,28
B66	PR1 - lw	741,180	LC3.2	-7,08	0,00	0,01	-0,28
B66	PR1 - lw	741,180	LC3.3	4,27	0,00	0,13	0,17
B66	PR1 - lw	741,180	LC3.4	-4,29	0,00	0,01	-0,17
B66	PR1 - lw	741,180	LC4.1	-0,23	0,22	0,04	0,26
B66	PR1 - lw	741,180	LC4.2	-0,51	0,78	-0,03	0,65
B66	PR1 - lw	741,180	LC4.3	-0,79	-10,56	1,80	0,78
B66	PR1 - lw	741,180	LC4.4	-0,99	-9,70	1,68	0,37
B66	PR1 - lw	741,180	LC4.5	-1,18	0,14	0,13	0,10
B66	PR1 - lw	741,180	LC5.1	-0,25	8,67	-1,33	-0,44
B66	PR1 - lw	741,180	LC5.2	-1,74	-8,67	1,66	0,44
B66	PR1 - lw	847,060	LC1	1,27	0,04	1,42	0,02
B66	PR1 - lw	847,060	LC2	0,77	-0,12	0,19	0,01
B66	PR1 - lw	847,060	LC3.1	7,08	0,00	-0,01	0,28
B66	PR1 - lw	847,060	LC3.2	-7,08	0,00	0,01	-0,28
B66	PR1 - lw	847,060	LC3.3	4,27	0,00	0,13	0,17
B66	PR1 - lw	847,060	LC3.4	-4,29	0,00	0,01	-0,17
B66	PR1 - lw	847,060	LC4.1	-0,23	0,22	0,06	0,09
B66	PR1 - lw	847,060	LC4.2	-0,51	0,78	0,06	0,21
B66	PR1 - lw	847,060	LC4.3	-0,79	-10,56	0,68	0,25
B66	PR1 - lw	847,060	LC4.4	-0,99	-9,70	0,65	0,11
B66	PR1 - lw	847,060	LC4.5	-1,18	0,14	0,14	0,02
B66	PR1 - lw	847,060	LC5.1	-0,25	8,67	-0,41	-0,14
B66	PR1 - lw	847,060	LC5.2	-1,74	-8,67	0,74	0,14
B66	PR1 - lw	899,990	LC1	1,27	-0,01	1,42	0,02
B66	PR1 - lw	899,990	LC2	0,77	-0,12	0,19	0,01
B66	PR1 - lw	899,990	LC3.1	7,08	0,00	-0,01	0,28
B66	PR1 - lw	899,990	LC3.2	-7,08	0,00	0,01	-0,28
B66	PR1 - lw	899,990	LC3.3	4,27	0,00	0,13	0,17
B66	PR1 - lw	899,990	LC3.4	-4,29	0,00	0,01	-0,17
B66	PR1 - lw	899,990	LC4.1	-0,23	0,22	0,07	0,00
B66	PR1 - lw	899,990	LC4.2	-0,51	0,78	0,10	-0,01
B66	PR1 - lw	899,990	LC4.3	-0,79	-10,56	0,12	-0,01
B66	PR1 - lw	899,990	LC4.4	-0,99	-9,70	0,14	-0,02
B66	PR1 - lw	899,990	LC4.5	-1,18	0,14	0,15	-0,02
B66	PR1 - lw	899,990	LC5.1	-0,25	8,67	0,05	0,01
B66	PR1 - lw	899,990	LC5.2	-1,74	-8,67	0,28	-0,01
B66	PR1 - lw	900,010	LC1	1,27	-0,01	1,42	0,02
B66	PR1 - lw	900,010	LC2	0,77	-0,12	0,19	0,01
B66	PR1 - lw	900,010	LC3.1	7,08	0,00	-0,01	0,28
B66	PR1 - lw	900,010	LC3.2	-7,08	0,00	0,01	-0,28
B66	PR1 - lw	900,010	LC3.3	4,27	0,00	0,13	0,17
B66	PR1 - lw	900,010	LC3.4	-4,29	0,00	0,01	-0,17
B66	PR1 - lw	900,010	LC4.1	-0,23	0,22	0,07	0,00
B66	PR1 - lw	900,010	LC4.2	-0,51	0,78	0,10	-0,01
B66	PR1 - lw	900,010	LC4.3	-0,79	-10,56	0,12	-0,01
B66	PR1 - lw	900,010	LC4.4	-0,99	-9,70	0,14	-0,02
B66	PR1 - lw	900,010	LC4.5	-1,18	0,14	0,15	-0,02
B66	PR1 - lw	900,010	LC5.1	-0,25	8,67	0,05	0,01
B66	PR1 - lw	900,010	LC5.2	-1,74	-8,67	0,28	-0,01
B66	PR1 - lw	952,940	LC1	1,27	-0,06	1,42	0,02
B66	PR1 - lw	952,940	LC2	0,77	-0,12	0,18	0,01
B66	PR1 - lw	952,940	LC3.1	7,08	0,00	-0,01	0,29
B66	PR1 - lw	952,940	LC3.2	-7,08	0,00	0,01	-0,29
B66	PR1 - lw	952,940	LC3.3	4,27	0,00	0,13	0,17
B66	PR1 - lw	952,940	LC3.4	-4,29	0,00	0,01	-0,17

Dilec	css	dx [mm]	Stav	N [kN]	Vz [kN]	My [kNm]	Mz [kNm]
B66	PR1 - lw	952,940	LC4.1	-0,23	0,22	0,09	-0,09
B66	PR1 - lw	952,940	LC4.2	-0,51	0,78	0,14	-0,22
B66	PR1 - lw	952,940	LC4.3	-0,79	-10,56	-0,44	-0,28
B66	PR1 - lw	952,940	LC4.4	-0,99	-9,70	-0,38	-0,14
B66	PR1 - lw	952,940	LC4.5	-1,18	0,14	0,16	-0,06
B66	PR1 - lw	952,940	LC5.1	-0,25	8,67	0,51	0,16
B66	PR1 - lw	952,940	LC5.2	-1,74	-8,67	-0,17	-0,16
B66	PR1 - lw	1058,820	LC1	1,27	-0,16	1,41	0,02
B66	PR1 - lw	1058,820	LC2	0,77	-0,12	0,17	0,01
B66	PR1 - lw	1058,820	LC3.1	7,08	0,00	-0,01	0,29
B66	PR1 - lw	1058,820	LC3.2	-7,08	0,00	0,01	-0,29
B66	PR1 - lw	1058,820	LC3.3	4,27	0,00	0,13	0,18
B66	PR1 - lw	1058,820	LC3.4	-4,29	0,00	0,01	-0,18
B66	PR1 - lw	1058,820	LC4.1	-0,23	0,22	0,11	-0,26
B66	PR1 - lw	1058,820	LC4.2	-0,51	0,78	0,22	-0,66
B66	PR1 - lw	1058,820	LC4.3	-0,79	-10,56	-1,56	-0,81
B66	PR1 - lw	1058,820	LC4.4	-0,99	-9,70	-1,40	-0,40
B66	PR1 - lw	1058,820	LC4.5	-1,18	0,14	0,17	-0,14
B66	PR1 - lw	1058,820	LC5.1	-0,25	8,67	1,43	0,46
B66	PR1 - lw	1058,820	LC5.2	-1,74	-8,67	-1,09	-0,46
B66	PR1 - lw	1164,710	LC1	1,27	-0,26	1,38	0,02
B66	PR1 - lw	1164,710	LC2	0,77	-0,12	0,16	0,01
B66	PR1 - lw	1164,710	LC3.1	7,08	0,00	-0,01	0,29
B66	PR1 - lw	1164,710	LC3.2	-7,08	0,00	0,01	-0,29
B66	PR1 - lw	1164,710	LC3.3	4,27	0,00	0,13	0,18
B66	PR1 - lw	1164,710	LC3.4	-4,29	0,00	0,01	-0,18
B66	PR1 - lw	1164,710	LC4.1	-0,23	0,22	0,13	-0,44
B66	PR1 - lw	1164,710	LC4.2	-0,51	0,78	0,30	-1,10
B66	PR1 - lw	1164,710	LC4.3	-0,79	-10,56	-2,67	-1,34
B66	PR1 - lw	1164,710	LC4.4	-0,99	-9,70	-2,43	-0,65
B66	PR1 - lw	1164,710	LC4.5	-1,18	0,14	0,19	-0,22
B66	PR1 - lw	1164,710	LC5.1	-0,25	8,67	2,34	0,76
B66	PR1 - lw	1164,710	LC5.2	-1,74	-8,67	-2,01	-0,76
B66	PR1 - lw	1270,590	LC1	1,27	-0,37	1,35	0,02
B66	PR1 - lw	1270,590	LC2	0,77	-0,12	0,14	0,01
B66	PR1 - lw	1270,590	LC3.1	7,08	0,00	-0,01	0,30
B66	PR1 - lw	1270,590	LC3.2	-7,08	0,00	0,01	-0,30
B66	PR1 - lw	1270,590	LC3.3	4,27	0,00	0,13	0,18
B66	PR1 - lw	1270,590	LC3.4	-4,29	0,00	0,01	-0,18
B66	PR1 - lw	1270,590	LC4.1	-0,23	0,22	0,16	-0,61
B66	PR1 - lw	1270,590	LC4.2	-0,51	0,78	0,39	-1,53
B66	PR1 - lw	1270,590	LC4.3	-0,79	-10,56	-3,79	-1,87
B66	PR1 - lw	1270,590	LC4.4	-0,99	-9,70	-3,46	-0,91
B66	PR1 - lw	1270,590	LC4.5	-1,18	0,14	0,20	-0,30
B66	PR1 - lw	1270,590	LC5.1	-0,25	8,67	3,26	1,06
B66	PR1 - lw	1270,590	LC5.2	-1,74	-8,67	-2,93	-1,06
B66	PR1 - lw	1376,470	LC1	1,27	-0,47	1,31	0,02
B66	PR1 - lw	1376,470	LC2	0,77	-0,12	0,13	0,01
B66	PR1 - lw	1376,470	LC3.1	7,08	0,00	-0,01	0,30
B66	PR1 - lw	1376,470	LC3.2	-7,08	0,00	0,01	-0,30
B66	PR1 - lw	1376,470	LC3.3	4,27	0,00	0,13	0,18
B66	PR1 - lw	1376,470	LC3.4	-4,29	0,00	0,01	-0,18
B66	PR1 - lw	1376,470	LC4.1	-0,23	0,22	0,18	-0,79
B66	PR1 - lw	1376,470	LC4.2	-0,51	0,78	0,47	-1,97
B66	PR1 - lw	1376,470	LC4.3	-0,79	-10,56	-4,91	-2,40
B66	PR1 - lw	1376,470	LC4.4	-0,99	-9,70	-4,48	-1,16
B66	PR1 - lw	1376,470	LC4.5	-1,18	0,14	0,22	-0,38
B66	PR1 - lw	1376,470	LC5.1	-0,25	8,67	4,18	1,36
B66	PR1 - lw	1376,470	LC5.2	-1,74	-8,67	-3,85	-1,36
B66	PR1 - lw	1482,350	LC1	1,27	-0,57	1,25	0,02
B66	PR1 - lw	1482,350	LC2	0,77	-0,12	0,12	0,01
B66	PR1 - lw	1482,350	LC3.1	7,08	0,00	-0,01	0,30
B66	PR1 - lw	1482,350	LC3.2	-7,08	0,00	0,01	-0,30
B66	PR1 - lw	1482,350	LC3.3	4,27	0,00	0,13	0,18
B66	PR1 - lw	1482,350	LC3.4	-4,29	0,00	0,01	-0,18
B66	PR1 - lw	1482,350	LC4.1	-0,23	0,22	0,20	-0,96
B66	PR1 - lw	1482,350	LC4.2	-0,51	0,78	0,55	-2,41
B66	PR1 - lw	1482,350	LC4.3	-0,79	-10,56	-6,03	-2,93
B66	PR1 - lw	1482,350	LC4.4	-0,99	-9,70	-5,51	-1,42
B66	PR1 - lw	1482,350	LC4.5	-1,18	0,14	0,24	-0,46
B66	PR1 - lw	1482,350	LC5.1	-0,25	8,67	5,10	1,66
B66	PR1 - lw	1482,350	LC5.2	-1,74	-8,67	-4,77	-1,66
B66	PR1 - lw	1588,240	LC1	1,27	-0,67	1,19	0,02
B66	PR1 - lw	1588,240	LC2	0,77	-0,12	0,11	0,01
B66	PR1 - lw	1588,240	LC3.1	7,08	0,00	-0,01	0,30
B66	PR1 - lw	1588,240	LC3.2	-7,08	0,00	0,01	-0,30

Dilec	css	dx [mm]	Stav	N [kN]	Vz [kN]	My [kNm]	Mz [kNm]
B66	PR1 - lw	1588,240	LC3.3	4,27	0,00	0,13	0,19
B66	PR1 - lw	1588,240	LC3.4	-4,29	0,00	0,01	-0,18
B66	PR1 - lw	1588,240	LC4.1	-0,23	0,22	0,22	-1,14
B66	PR1 - lw	1588,240	LC4.2	-0,51	0,78	0,63	-2,84
B66	PR1 - lw	1588,240	LC4.3	-0,79	-10,56	-7,15	-3,46
B66	PR1 - lw	1588,240	LC4.4	-0,99	-9,70	-6,54	-1,67
B66	PR1 - lw	1588,240	LC4.5	-1,18	0,14	0,25	-0,54
B66	PR1 - lw	1588,240	LC5.1	-0,25	8,67	6,02	1,96
B66	PR1 - lw	1588,240	LC5.2	-1,74	-8,67	-5,68	-1,96
B66	PR1 - lw	1694,120	LC1	1,27	-0,77	1,11	0,02
B66	PR1 - lw	1694,120	LC2	0,77	-0,12	0,09	0,01
B66	PR1 - lw	1694,120	LC3.1	7,08	0,00	-0,01	0,31
B66	PR1 - lw	1694,120	LC3.2	-7,08	0,00	0,01	-0,31
B66	PR1 - lw	1694,120	LC3.3	4,27	0,00	0,13	0,19
B66	PR1 - lw	1694,120	LC3.4	-4,29	0,00	0,01	-0,19
B66	PR1 - lw	1694,120	LC4.1	-0,23	0,22	0,25	-1,31
B66	PR1 - lw	1694,120	LC4.2	-0,51	0,78	0,72	-3,28
B66	PR1 - lw	1694,120	LC4.3	-0,79	-10,56	-8,26	-4,00
B66	PR1 - lw	1694,120	LC4.4	-0,99	-9,70	-7,56	-1,93
B66	PR1 - lw	1694,120	LC4.5	-1,18	0,14	0,27	-0,62
B66	PR1 - lw	1694,120	LC5.1	-0,25	8,67	6,93	2,26
B66	PR1 - lw	1694,120	LC5.2	-1,74	-8,67	-6,60	-2,26
B66	PR1 - lw	1800,000	LC1	1,27	-0,88	1,02	0,02
B66	PR1 - lw	1800,000	LC2	0,77	-0,12	0,08	0,01
B66	PR1 - lw	1800,000	LC3.1	7,08	0,00	-0,01	0,31
B66	PR1 - lw	1800,000	LC3.2	-7,08	0,00	0,01	-0,31
B66	PR1 - lw	1800,000	LC3.3	4,27	0,00	0,13	0,19
B66	PR1 - lw	1800,000	LC3.4	-4,29	0,00	0,01	-0,19
B66	PR1 - lw	1800,000	LC4.1	-0,23	0,22	0,27	-1,49
B66	PR1 - lw	1800,000	LC4.2	-0,51	0,78	0,80	-3,72
B66	PR1 - lw	1800,000	LC4.3	-0,79	-10,56	-9,38	-4,53
B66	PR1 - lw	1800,000	LC4.4	-0,99	-9,70	-8,59	-2,18
B66	PR1 - lw	1800,000	LC4.5	-1,18	0,14	0,28	-0,70
B66	PR1 - lw	1800,000	LC5.1	-0,25	8,67	7,85	2,56
B66	PR1 - lw	1800,000	LC5.2	-1,74	-8,67	-7,52	-2,56
B73	PR1 - lw	0,000	LC1	-0,25	0,88	1,13	0,04
B73	PR1 - lw	0,000	LC2	-0,20	-0,12	0,46	0,02
B73	PR1 - lw	0,000	LC3.1	-1,74	0,00	0,09	0,28
B73	PR1 - lw	0,000	LC3.2	1,74	0,00	-0,09	-0,28
B73	PR1 - lw	0,000	LC3.3	-0,99	0,00	0,23	0,17
B73	PR1 - lw	0,000	LC3.4	1,05	0,00	-0,05	-0,17
B73	PR1 - lw	0,000	LC4.1	0,34	-0,09	-0,02	1,76
B73	PR1 - lw	0,000	LC4.2	1,22	-0,01	-0,32	4,63
B73	PR1 - lw	0,000	LC4.3	2,10	-0,07	-0,48	5,81
B73	PR1 - lw	0,000	LC4.4	2,72	-10,14	8,42	4,70
B73	PR1 - lw	0,000	LC4.5	3,31	-11,82	9,79	1,19
B73	PR1 - lw	0,000	LC5.1	-2,91	9,40	-7,80	-3,67
B73	PR1 - lw	0,000	LC5.2	0,95	-9,40	8,11	3,67
B73	PR1 - lw	105,880	LC1	-0,25	0,77	1,22	0,04
B73	PR1 - lw	105,880	LC2	-0,20	-0,12	0,44	0,02
B73	PR1 - lw	105,880	LC3.1	-1,74	0,00	0,09	0,28
B73	PR1 - lw	105,880	LC3.2	1,74	0,00	-0,09	-0,28
B73	PR1 - lw	105,880	LC3.3	-0,99	0,00	0,23	0,17
B73	PR1 - lw	105,880	LC3.4	1,05	0,00	-0,05	-0,17
B73	PR1 - lw	105,880	LC4.1	0,34	-0,09	-0,03	1,56
B73	PR1 - lw	105,880	LC4.2	1,22	-0,01	-0,32	4,09
B73	PR1 - lw	105,880	LC4.3	2,10	-0,07	-0,49	5,12
B73	PR1 - lw	105,880	LC4.4	2,72	-10,14	7,34	4,14
B73	PR1 - lw	105,880	LC4.5	3,31	-11,82	8,53	1,04
B73	PR1 - lw	105,880	LC5.1	-2,91	9,40	-6,80	-3,23
B73	PR1 - lw	105,880	LC5.2	0,95	-9,40	7,12	3,23
B73	PR1 - lw	211,760	LC1	-0,25	0,67	1,29	0,04
B73	PR1 - lw	211,760	LC2	-0,20	-0,12	0,43	0,02
B73	PR1 - lw	211,760	LC3.1	-1,74	0,00	0,09	0,29
B73	PR1 - lw	211,760	LC3.2	1,74	0,00	-0,09	-0,29
B73	PR1 - lw	211,760	LC3.3	-0,99	0,00	0,24	0,17
B73	PR1 - lw	211,760	LC3.4	1,05	0,00	-0,05	-0,17
B73	PR1 - lw	211,760	LC4.1	0,34	-0,09	-0,04	1,35
B73	PR1 - lw	211,760	LC4.2	1,22	-0,01	-0,32	3,54
B73	PR1 - lw	211,760	LC4.3	2,10	-0,07	-0,50	4,43
B73	PR1 - lw	211,760	LC4.4	2,72	-10,14	6,27	3,58
B73	PR1 - lw	211,760	LC4.5	3,31	-11,82	7,28	0,90
B73	PR1 - lw	211,760	LC5.1	-2,91	9,40	-5,81	-2,80
B73	PR1 - lw	211,760	LC5.2	0,95	-9,40	6,12	2,80
B73	PR1 - lw	317,650	LC1	-0,25	0,57	1,36	0,04
B73	PR1 - lw	317,650	LC2	-0,20	-0,12	0,42	0,02

Dilec	css	dx [mm]	Stav	N [kN]	Vz [kN]	My [kNm]	Mz [kNm]
B73	PR1 - lw	317,650	LC3.1	-1,74	0,00	0,09	0,29
B73	PR1 - lw	317,650	LC3.2	1,74	0,00	-0,09	-0,29
B73	PR1 - lw	317,650	LC3.3	-0,99	0,00	0,24	0,18
B73	PR1 - lw	317,650	LC3.4	1,05	0,00	-0,05	-0,18
B73	PR1 - lw	317,650	LC4.1	0,34	-0,09	-0,05	1,14
B73	PR1 - lw	317,650	LC4.2	1,22	-0,01	-0,32	2,99
B73	PR1 - lw	317,650	LC4.3	2,10	-0,07	-0,51	3,75
B73	PR1 - lw	317,650	LC4.4	2,72	-10,14	5,20	3,03
B73	PR1 - lw	317,650	LC4.5	3,31	-11,82	6,03	0,75
B73	PR1 - lw	317,650	LC5.1	-2,91	9,40	-4,81	-2,36
B73	PR1 - lw	317,650	LC5.2	0,95	-9,40	5,12	2,36
B73	PR1 - lw	423,530	LC1	-0,25	0,47	1,41	0,04
B73	PR1 - lw	423,530	LC2	-0,20	-0,12	0,41	0,02
B73	PR1 - lw	423,530	LC3.1	-1,74	0,00	0,09	0,29
B73	PR1 - lw	423,530	LC3.2	1,74	0,00	-0,09	-0,29
B73	PR1 - lw	423,530	LC3.3	-0,99	0,00	0,24	0,18
B73	PR1 - lw	423,530	LC3.4	1,05	0,00	-0,05	-0,18
B73	PR1 - lw	423,530	LC4.1	0,34	-0,09	-0,06	0,93
B73	PR1 - lw	423,530	LC4.2	1,22	-0,01	-0,32	2,45
B73	PR1 - lw	423,530	LC4.3	2,10	-0,07	-0,51	3,06
B73	PR1 - lw	423,530	LC4.4	2,72	-10,14	4,12	2,47
B73	PR1 - lw	423,530	LC4.5	3,31	-11,82	4,78	0,61
B73	PR1 - lw	423,530	LC5.1	-2,91	9,40	-3,81	-1,93
B73	PR1 - lw	423,530	LC5.2	0,95	-9,40	4,13	1,93
B73	PR1 - lw	529,410	LC1	-0,25	0,37	1,46	0,04
B73	PR1 - lw	529,410	LC2	-0,20	-0,12	0,39	0,02
B73	PR1 - lw	529,410	LC3.1	-1,74	0,00	0,09	0,30
B73	PR1 - lw	529,410	LC3.2	1,74	0,00	-0,09	-0,30
B73	PR1 - lw	529,410	LC3.3	-0,99	0,00	0,24	0,18
B73	PR1 - lw	529,410	LC3.4	1,05	0,00	-0,05	-0,18
B73	PR1 - lw	529,410	LC4.1	0,34	-0,09	-0,07	0,72
B73	PR1 - lw	529,410	LC4.2	1,22	-0,01	-0,32	1,90
B73	PR1 - lw	529,410	LC4.3	2,10	-0,07	-0,52	2,37
B73	PR1 - lw	529,410	LC4.4	2,72	-10,14	3,05	1,91
B73	PR1 - lw	529,410	LC4.5	3,31	-11,82	3,53	0,46
B73	PR1 - lw	529,410	LC5.1	-2,91	9,40	-2,82	-1,49
B73	PR1 - lw	529,410	LC5.2	0,95	-9,40	3,13	1,49
B73	PR1 - lw	635,290	LC1	-0,25	0,26	1,49	0,04
B73	PR1 - lw	635,290	LC2	-0,20	-0,12	0,38	0,03
B73	PR1 - lw	635,290	LC3.1	-1,74	0,00	0,09	0,30
B73	PR1 - lw	635,290	LC3.2	1,74	0,00	-0,09	-0,30
B73	PR1 - lw	635,290	LC3.3	-0,99	0,00	0,24	0,18
B73	PR1 - lw	635,290	LC3.4	1,05	0,00	-0,05	-0,18
B73	PR1 - lw	635,290	LC4.1	0,34	-0,09	-0,08	0,52
B73	PR1 - lw	635,290	LC4.2	1,22	-0,01	-0,32	1,35
B73	PR1 - lw	635,290	LC4.3	2,10	-0,07	-0,53	1,69
B73	PR1 - lw	635,290	LC4.4	2,72	-10,14	1,98	1,36
B73	PR1 - lw	635,290	LC4.5	3,31	-11,82	2,27	0,32
B73	PR1 - lw	635,290	LC5.1	-2,91	9,40	-1,82	-1,06
B73	PR1 - lw	635,290	LC5.2	0,95	-9,40	2,14	1,06
B73	PR1 - lw	741,180	LC1	-0,25	0,16	1,51	0,04
B73	PR1 - lw	741,180	LC2	-0,20	-0,12	0,37	0,03
B73	PR1 - lw	741,180	LC3.1	-1,74	0,00	0,09	0,30
B73	PR1 - lw	741,180	LC3.2	1,74	0,00	-0,09	-0,30
B73	PR1 - lw	741,180	LC3.3	-0,99	0,00	0,24	0,18
B73	PR1 - lw	741,180	LC3.4	1,05	0,00	-0,05	-0,18
B73	PR1 - lw	741,180	LC4.1	0,34	-0,09	-0,09	0,31
B73	PR1 - lw	741,180	LC4.2	1,22	-0,01	-0,33	0,80
B73	PR1 - lw	741,180	LC4.3	2,10	-0,07	-0,54	1,00
B73	PR1 - lw	741,180	LC4.4	2,72	-10,14	0,90	0,80
B73	PR1 - lw	741,180	LC4.5	3,31	-11,82	1,02	0,17
B73	PR1 - lw	741,180	LC5.1	-2,91	9,40	-0,83	-0,63
B73	PR1 - lw	741,180	LC5.2	0,95	-9,40	1,14	0,63
B73	PR1 - lw	847,060	LC1	-0,25	0,06	1,53	0,04
B73	PR1 - lw	847,060	LC2	-0,20	-0,12	0,36	0,03
B73	PR1 - lw	847,060	LC3.1	-1,74	0,00	0,09	0,31
B73	PR1 - lw	847,060	LC3.2	1,74	0,00	-0,09	-0,31
B73	PR1 - lw	847,060	LC3.3	-0,99	0,00	0,24	0,19
B73	PR1 - lw	847,060	LC3.4	1,05	0,00	-0,05	-0,19
B73	PR1 - lw	847,060	LC4.1	0,34	-0,09	-0,10	0,10
B73	PR1 - lw	847,060	LC4.2	1,22	-0,01	-0,33	0,26
B73	PR1 - lw	847,060	LC4.3	2,10	-0,07	-0,55	0,32
B73	PR1 - lw	847,060	LC4.4	2,72	-10,14	-0,17	0,24
B73	PR1 - lw	847,060	LC4.5	3,31	-11,82	-0,23	0,03
B73	PR1 - lw	847,060	LC5.1	-2,91	9,40	0,17	-0,19
B73	PR1 - lw	847,060	LC5.2	0,95	-9,40	0,15	0,19

Dilec	css	dx [mm]	Stav	N [kN]	Vz [kN]	My [kNm]	Mz [kNm]
B73	PR1 - lw	899,990	LC1	-0,25	0,01	1,53	0,04
B73	PR1 - lw	899,990	LC2	-0,20	-0,12	0,35	0,03
B73	PR1 - lw	899,990	LC3.1	-1,74	0,00	0,09	0,31
B73	PR1 - lw	899,990	LC3.2	1,74	0,00	-0,09	-0,31
B73	PR1 - lw	899,990	LC3.3	-0,99	0,00	0,24	0,19
B73	PR1 - lw	899,990	LC3.4	1,05	0,00	-0,05	-0,19
B73	PR1 - lw	899,990	LC4.1	0,34	-0,09	-0,10	0,00
B73	PR1 - lw	899,990	LC4.2	1,22	-0,01	-0,33	-0,02
B73	PR1 - lw	899,990	LC4.3	2,10	-0,07	-0,55	-0,03
B73	PR1 - lw	899,990	LC4.4	2,72	-10,14	-0,71	-0,04
B73	PR1 - lw	899,990	LC4.5	3,31	-11,82	-0,85	-0,04
B73	PR1 - lw	899,990	LC5.1	-2,91	9,40	0,66	0,03
B73	PR1 - lw	899,990	LC5.2	0,95	-9,40	-0,35	-0,03
B73	PR1 - lw	900,010	LC1	-0,25	0,01	1,53	0,04
B73	PR1 - lw	900,010	LC2	-0,20	-0,12	0,35	0,03
B73	PR1 - lw	900,010	LC3.1	-1,74	0,00	0,09	0,31
B73	PR1 - lw	900,010	LC3.2	1,74	0,00	-0,09	-0,31
B73	PR1 - lw	900,010	LC3.3	-0,99	0,00	0,24	0,19
B73	PR1 - lw	900,010	LC3.4	1,05	0,00	-0,05	-0,19
B73	PR1 - lw	900,010	LC4.1	0,34	-0,09	-0,10	0,00
B73	PR1 - lw	900,010	LC4.2	1,22	-0,01	-0,33	-0,02
B73	PR1 - lw	900,010	LC4.3	2,10	-0,07	-0,55	-0,03
B73	PR1 - lw	900,010	LC4.4	2,72	-10,14	-0,71	-0,04
B73	PR1 - lw	900,010	LC4.5	3,31	-11,82	-0,86	-0,04
B73	PR1 - lw	900,010	LC5.1	-2,91	9,40	0,66	0,03
B73	PR1 - lw	900,010	LC5.2	0,95	-9,40	-0,35	-0,03
B73	PR1 - lw	952,940	LC1	-0,25	-0,04	1,53	0,04
B73	PR1 - lw	952,940	LC2	-0,20	-0,12	0,35	0,03
B73	PR1 - lw	952,940	LC3.1	-1,74	0,00	0,09	0,31
B73	PR1 - lw	952,940	LC3.2	1,74	0,00	-0,09	-0,31
B73	PR1 - lw	952,940	LC3.3	-0,99	0,00	0,24	0,19
B73	PR1 - lw	952,940	LC3.4	1,05	0,00	-0,05	-0,19
B73	PR1 - lw	952,940	LC4.1	0,34	-0,09	-0,11	-0,11
B73	PR1 - lw	952,940	LC4.2	1,22	-0,01	-0,33	-0,29
B73	PR1 - lw	952,940	LC4.3	2,10	-0,07	-0,55	-0,37
B73	PR1 - lw	952,940	LC4.4	2,72	-10,14	-1,24	-0,31
B73	PR1 - lw	952,940	LC4.5	3,31	-11,82	-1,48	-0,12
B73	PR1 - lw	952,940	LC5.1	-2,91	9,40	1,16	0,24
B73	PR1 - lw	952,940	LC5.2	0,95	-9,40	-0,85	-0,24
B73	PR1 - lw	1058,820	LC1	-0,25	-0,15	1,52	0,04
B73	PR1 - lw	1058,820	LC2	-0,20	-0,12	0,33	0,03
B73	PR1 - lw	1058,820	LC3.1	-1,74	0,00	0,09	0,31
B73	PR1 - lw	1058,820	LC3.2	1,74	0,00	-0,09	-0,31
B73	PR1 - lw	1058,820	LC3.3	-0,99	0,00	0,24	0,19
B73	PR1 - lw	1058,820	LC3.4	1,05	0,00	-0,05	-0,19
B73	PR1 - lw	1058,820	LC4.1	0,34	-0,09	-0,12	-0,32
B73	PR1 - lw	1058,820	LC4.2	1,22	-0,01	-0,33	-0,84
B73	PR1 - lw	1058,820	LC4.3	2,10	-0,07	-0,56	-1,06
B73	PR1 - lw	1058,820	LC4.4	2,72	-10,14	-2,32	-0,87
B73	PR1 - lw	1058,820	LC4.5	3,31	-11,82	-2,73	-0,26
B73	PR1 - lw	1058,820	LC5.1	-2,91	9,40	2,16	0,68
B73	PR1 - lw	1058,820	LC5.2	0,95	-9,40	-1,84	-0,68
B73	PR1 - lw	1164,710	LC1	-0,25	-0,25	1,50	0,04
B73	PR1 - lw	1164,710	LC2	-0,20	-0,12	0,32	0,03
B73	PR1 - lw	1164,710	LC3.1	-1,74	0,00	0,09	0,32
B73	PR1 - lw	1164,710	LC3.2	1,74	0,00	-0,09	-0,32
B73	PR1 - lw	1164,710	LC3.3	-0,99	0,00	0,24	0,19
B73	PR1 - lw	1164,710	LC3.4	1,05	0,00	-0,05	-0,19
B73	PR1 - lw	1164,710	LC4.1	0,34	-0,09	-0,13	-0,52
B73	PR1 - lw	1164,710	LC4.2	1,22	-0,01	-0,33	-1,38
B73	PR1 - lw	1164,710	LC4.3	2,10	-0,07	-0,57	-1,74
B73	PR1 - lw	1164,710	LC4.4	2,72	-10,14	-3,39	-1,43
B73	PR1 - lw	1164,710	LC4.5	3,31	-11,82	-3,98	-0,41
B73	PR1 - lw	1164,710	LC5.1	-2,91	9,40	3,15	1,11
B73	PR1 - lw	1164,710	LC5.2	0,95	-9,40	-2,84	-1,11
B73	PR1 - lw	1270,590	LC1	-0,25	-0,35	1,46	0,04
B73	PR1 - lw	1270,590	LC2	-0,20	-0,12	0,31	0,03
B73	PR1 - lw	1270,590	LC3.1	-1,74	0,00	0,09	0,32
B73	PR1 - lw	1270,590	LC3.2	1,74	0,00	-0,09	-0,32
B73	PR1 - lw	1270,590	LC3.3	-0,99	0,00	0,24	0,19
B73	PR1 - lw	1270,590	LC3.4	1,05	0,00	-0,05	-0,19
B73	PR1 - lw	1270,590	LC4.1	0,34	-0,09	-0,14	-0,73
B73	PR1 - lw	1270,590	LC4.2	1,22	-0,01	-0,33	-1,93
B73	PR1 - lw	1270,590	LC4.3	2,10	-0,07	-0,58	-2,43
B73	PR1 - lw	1270,590	LC4.4	2,72	-10,14	-4,46	-1,99
B73	PR1 - lw	1270,590	LC4.5	3,31	-11,82	-5,24	-0,55

Dílec	css	dx [mm]	Stav	N [kN]	Vz [kN]	My [kNm]	Mz [kNm]
B73	PR1 - lw	1270,590	LC5.1	-2,91	9,40	4,15	1,55
B73	PR1 - lw	1270,590	LC5.2	0,95	-9,40	-3,83	-1,55
B73	PR1 - lw	1376,470	LC1	-0,25	-0,45	1,42	0,04
B73	PR1 - lw	1376,470	LC2	-0,20	-0,12	0,30	0,03
B73	PR1 - lw	1376,470	LC3.1	-1,74	0,00	0,09	0,32
B73	PR1 - lw	1376,470	LC3.2	1,74	0,00	-0,09	-0,32
B73	PR1 - lw	1376,470	LC3.3	-0,99	0,00	0,24	0,20
B73	PR1 - lw	1376,470	LC3.4	1,05	0,00	-0,05	-0,20
B73	PR1 - lw	1376,470	LC4.1	0,34	-0,09	-0,15	-0,94
B73	PR1 - lw	1376,470	LC4.2	1,22	-0,01	-0,33	-2,48
B73	PR1 - lw	1376,470	LC4.3	2,10	-0,07	-0,58	-3,12
B73	PR1 - lw	1376,470	LC4.4	2,72	-10,14	-5,54	-2,54
B73	PR1 - lw	1376,470	LC4.5	3,31	-11,82	-6,49	-0,70
B73	PR1 - lw	1376,470	LC5.1	-2,91	9,40	5,14	1,98
B73	PR1 - lw	1376,470	LC5.2	0,95	-9,40	-4,83	-1,98
B73	PR1 - lw	1482,350	LC1	-0,25	-0,55	1,37	0,04
B73	PR1 - lw	1482,350	LC2	-0,20	-0,12	0,28	0,03
B73	PR1 - lw	1482,350	LC3.1	-1,74	0,00	0,09	0,33
B73	PR1 - lw	1482,350	LC3.2	1,74	0,00	-0,09	-0,33
B73	PR1 - lw	1482,350	LC3.3	-0,99	0,00	0,24	0,20
B73	PR1 - lw	1482,350	LC3.4	1,05	0,00	-0,05	-0,20
B73	PR1 - lw	1482,350	LC4.1	0,34	-0,09	-0,16	-1,15
B73	PR1 - lw	1482,350	LC4.2	1,22	-0,01	-0,33	-3,02
B73	PR1 - lw	1482,350	LC4.3	2,10	-0,07	-0,59	-3,80
B73	PR1 - lw	1482,350	LC4.4	2,72	-10,14	-6,61	-3,10
B73	PR1 - lw	1482,350	LC4.5	3,31	-11,82	-7,74	-0,84
B73	PR1 - lw	1482,350	LC5.1	-2,91	9,40	6,14	2,41
B73	PR1 - lw	1482,350	LC5.2	0,95	-9,40	-5,82	-2,41
B73	PR1 - lw	1588,240	LC1	-0,25	-0,66	1,30	0,04
B73	PR1 - lw	1588,240	LC2	-0,20	-0,12	0,27	0,03
B73	PR1 - lw	1588,240	LC3.1	-1,74	0,00	0,09	0,33
B73	PR1 - lw	1588,240	LC3.2	1,74	0,00	-0,09	-0,33
B73	PR1 - lw	1588,240	LC3.3	-0,99	0,00	0,24	0,20
B73	PR1 - lw	1588,240	LC3.4	1,05	0,00	-0,05	-0,20
B73	PR1 - lw	1588,240	LC4.1	0,34	-0,09	-0,17	-1,36
B73	PR1 - lw	1588,240	LC4.2	1,22	-0,01	-0,33	-3,57
B73	PR1 - lw	1588,240	LC4.3	2,10	-0,07	-0,60	-4,49
B73	PR1 - lw	1588,240	LC4.4	2,72	-10,14	-7,68	-3,66
B73	PR1 - lw	1588,240	LC4.5	3,31	-11,82	-8,99	-0,99
B73	PR1 - lw	1588,240	LC5.1	-2,91	9,40	7,13	2,85
B73	PR1 - lw	1588,240	LC5.2	0,95	-9,40	-6,82	-2,85
B73	PR1 - lw	1694,120	LC1	-0,25	-0,76	1,23	0,04
B73	PR1 - lw	1694,120	LC2	-0,20	-0,12	0,26	0,03
B73	PR1 - lw	1694,120	LC3.1	-1,74	0,00	0,09	0,33
B73	PR1 - lw	1694,120	LC3.2	1,74	0,00	-0,09	-0,33
B73	PR1 - lw	1694,120	LC3.3	-0,99	0,00	0,24	0,20
B73	PR1 - lw	1694,120	LC3.4	1,05	0,00	-0,05	-0,20
B73	PR1 - lw	1694,120	LC4.1	0,34	-0,09	-0,18	-1,56
B73	PR1 - lw	1694,120	LC4.2	1,22	-0,01	-0,33	-4,12
B73	PR1 - lw	1694,120	LC4.3	2,10	-0,07	-0,61	-5,18
B73	PR1 - lw	1694,120	LC4.4	2,72	-10,14	-8,76	-4,21
B73	PR1 - lw	1694,120	LC4.5	3,31	-11,82	-10,24	-1,13
B73	PR1 - lw	1694,120	LC5.1	-2,91	9,40	8,13	3,28
B73	PR1 - lw	1694,120	LC5.2	0,95	-9,40	-7,81	-3,28
B73	PR1 - lw	1800,000	LC1	-0,25	-0,86	1,14	0,04
B73	PR1 - lw	1800,000	LC2	-0,20	-0,12	0,25	0,03
B73	PR1 - lw	1800,000	LC3.1	-1,74	0,00	0,09	0,33
B73	PR1 - lw	1800,000	LC3.2	1,74	0,00	-0,09	-0,33
B73	PR1 - lw	1800,000	LC3.3	-0,99	0,00	0,24	0,20
B73	PR1 - lw	1800,000	LC3.4	1,05	0,00	-0,05	-0,20
B73	PR1 - lw	1800,000	LC4.1	0,34	-0,09	-0,19	-1,77
B73	PR1 - lw	1800,000	LC4.2	1,22	-0,01	-0,34	-4,67
B73	PR1 - lw	1800,000	LC4.3	2,10	-0,07	-0,61	-5,86
B73	PR1 - lw	1800,000	LC4.4	2,72	-10,14	-9,83	-4,77
B73	PR1 - lw	1800,000	LC4.5	3,31	-11,82	-11,50	-1,28
B73	PR1 - lw	1800,000	LC5.1	-2,91	9,40	9,12	3,72
B73	PR1 - lw	1800,000	LC5.2	0,95	-9,40	-8,81	-3,72

4.11. Vnitřní síly-vnitřní příčník-PR2-UIC

Lineární výpočet, Extrém : Globální, Systém : Hlavní

Výběr : Pojmenovaný výběr - pricniky

Třída : ZS UIC

Průřez : PR2 - lwn (493; 10; 200; 20; 710; 20; 453; 0)

Dílec	css	dx [mm]	Stav	N [kN]	Vz [kN]	My [kNm]	Mz [kNm]
B67	PR2 - lwn	0,000	LC104	-8,77	73,77	2,86	-24,54
B60	PR2 - lwn	0,000	LC104	18,80	121,51	-5,28	-12,84
B50	PR2 - lwn	0,000	LC102	9,89	-170,33	94,82	-2,37
B46	PR2 - lwn	0,000	LC102	9,88	170,33	-3,12	25,88
B46	PR2 - lwn	575,000	LC102	9,88	170,33	94,82	-2,58
B71	PR2 - lwn	575,000	LC106	2,06	-110,67	-0,70	-25,25
B50	PR2 - lwn	575,000	LC104	11,53	-160,44	-3,64	28,08

4.12. Vnitřní síly-vnitřní příčník-PR2-neUIC

Lineární výpočet, Extrém : Ne, Systém : Hlavní

Výběr : Pojmenovaný výběr - prcniky

Třída : ZS neUIC

Průřez : PR2 - lwn (493; 10; 200; 20; 710; 20; 453; 0)

Dílec	css	dx [mm]	Stav	N [kN]	Vz [kN]	My [kNm]	Mz [kNm]
B46	PR2 - lwn	0,000	LC1	0,69	3,53	-0,46	2,26
B46	PR2 - lwn	0,000	LC2	0,31	5,03	-2,23	1,26
B46	PR2 - lwn	0,000	LC3.1	-2,22	-1,74	0,70	-15,87
B46	PR2 - lwn	0,000	LC3.2	2,22	1,74	-0,70	15,87
B46	PR2 - lwn	0,000	LC3.3	-1,34	-1,06	0,42	-9,60
B46	PR2 - lwn	0,000	LC3.4	1,35	1,05	-0,42	9,62
B46	PR2 - lwn	0,000	LC4.1	-20,69	10,43	5,45	-9,20
B46	PR2 - lwn	0,000	LC4.2	-20,95	9,30	5,60	-23,81
B46	PR2 - lwn	0,000	LC4.3	1,83	-1,23	-0,38	-27,17
B46	PR2 - lwn	0,000	LC4.4	0,87	-0,35	-0,21	-17,74
B46	PR2 - lwn	0,000	LC4.5	0,31	0,03	-0,08	-7,07
B46	PR2 - lwn	0,000	LC5.1	5,75	-16,38	-1,66	15,88
B46	PR2 - lwn	0,000	LC5.2	-8,42	16,37	2,38	-15,95
B46	PR2 - lwn	115,000	LC1	0,69	3,33	-0,06	1,76
B46	PR2 - lwn	115,000	LC2	0,31	5,03	-1,65	0,98
B46	PR2 - lwn	115,000	LC3.1	-2,22	-1,74	0,50	-12,38
B46	PR2 - lwn	115,000	LC3.2	2,22	1,74	-0,50	12,38
B46	PR2 - lwn	115,000	LC3.3	-1,34	-1,06	0,30	-7,49
B46	PR2 - lwn	115,000	LC3.4	1,35	1,05	-0,30	7,51
B46	PR2 - lwn	115,000	LC4.1	-20,69	10,43	6,65	-9,64
B46	PR2 - lwn	115,000	LC4.2	-20,95	9,30	6,67	-17,26
B46	PR2 - lwn	115,000	LC4.3	1,83	-1,23	-0,52	-22,13
B46	PR2 - lwn	115,000	LC4.4	0,87	-0,35	-0,25	-14,49
B46	PR2 - lwn	115,000	LC4.5	0,31	0,03	-0,07	-5,80
B46	PR2 - lwn	115,000	LC5.1	5,75	-16,38	-3,55	13,08
B46	PR2 - lwn	115,000	LC5.2	-8,42	16,37	4,26	-13,13
B46	PR2 - lwn	230,000	LC1	0,69	3,12	0,31	1,26
B46	PR2 - lwn	230,000	LC2	0,31	5,03	-1,08	0,70
B46	PR2 - lwn	230,000	LC3.1	-2,22	-1,74	0,30	-8,90
B46	PR2 - lwn	230,000	LC3.2	2,22	1,74	-0,30	8,90
B46	PR2 - lwn	230,000	LC3.3	-1,34	-1,06	0,18	-5,38
B46	PR2 - lwn	230,000	LC3.4	1,35	1,05	-0,18	5,39
B46	PR2 - lwn	230,000	LC4.1	-20,69	10,43	7,85	-10,07
B46	PR2 - lwn	230,000	LC4.2	-20,95	9,30	7,74	-10,71
B46	PR2 - lwn	230,000	LC4.3	1,83	-1,23	-0,67	-17,09
B46	PR2 - lwn	230,000	LC4.4	0,87	-0,35	-0,29	-11,24
B46	PR2 - lwn	230,000	LC4.5	0,31	0,03	-0,07	-4,54
B46	PR2 - lwn	230,000	LC5.1	5,75	-16,38	-5,43	10,28
B46	PR2 - lwn	230,000	LC5.2	-8,42	16,37	6,14	-10,31
B46	PR2 - lwn	287,490	LC1	0,69	3,02	0,49	1,01
B46	PR2 - lwn	287,490	LC2	0,31	5,03	-0,79	0,56
B46	PR2 - lwn	287,490	LC3.1	-2,22	-1,74	0,20	-7,16
B46	PR2 - lwn	287,490	LC3.2	2,22	1,74	-0,20	7,16
B46	PR2 - lwn	287,490	LC3.3	-1,34	-1,06	0,12	-4,33
B46	PR2 - lwn	287,490	LC3.4	1,35	1,05	-0,12	4,34
B46	PR2 - lwn	287,490	LC4.1	-20,69	10,43	8,45	-10,29
B46	PR2 - lwn	287,490	LC4.2	-20,95	9,30	8,28	-7,43
B46	PR2 - lwn	287,490	LC4.3	1,83	-1,23	-0,74	-14,57
B46	PR2 - lwn	287,490	LC4.4	0,87	-0,35	-0,31	-9,62
B46	PR2 - lwn	287,490	LC4.5	0,31	0,03	-0,07	-3,90
B46	PR2 - lwn	287,490	LC5.1	5,75	-16,38	-6,37	8,88
B46	PR2 - lwn	287,490	LC5.2	-8,42	16,37	7,08	-8,91
B46	PR2 - lwn	287,510	LC1	0,69	3,02	0,49	1,01
B46	PR2 - lwn	287,510	LC2	0,31	5,03	-0,79	0,56
B46	PR2 - lwn	287,510	LC3.1	-2,22	-1,74	0,20	-7,15
B46	PR2 - lwn	287,510	LC3.2	2,22	1,74	-0,20	7,15
B46	PR2 - lwn	287,510	LC3.3	-1,34	-1,06	0,12	-4,33
B46	PR2 - lwn	287,510	LC3.4	1,35	1,05	-0,12	4,34
B46	PR2 - lwn	287,510	LC4.1	-20,69	10,43	8,45	-10,29
B46	PR2 - lwn	287,510	LC4.2	-20,95	9,30	8,28	-7,43

Dilec	css	dx [mm]	Stav	N [kN]	Vz [kN]	My [kNm]	Mz [kNm]
B46	PR2 - lwn	287,510	LC4.3	1,83	-1,23	-0,74	-14,57
B46	PR2 - lwn	287,510	LC4.4	0,87	-0,35	-0,31	-9,62
B46	PR2 - lwn	287,510	LC4.5	0,31	0,03	-0,07	-3,90
B46	PR2 - lwn	287,510	LC5.1	5,75	-16,38	-6,37	8,88
B46	PR2 - lwn	287,510	LC5.2	-8,42	16,37	7,08	-8,91
B46	PR2 - lwn	345,000	LC1	0,69	2,92	0,66	0,75
B46	PR2 - lwn	345,000	LC2	0,31	5,03	-0,50	0,42
B46	PR2 - lwn	345,000	LC3.1	-2,22	-1,74	0,10	-5,41
B46	PR2 - lwn	345,000	LC3.2	2,22	1,74	-0,10	5,41
B46	PR2 - lwn	345,000	LC3.3	-1,34	-1,06	0,06	-3,27
B46	PR2 - lwn	345,000	LC3.4	1,35	1,05	-0,06	3,28
B46	PR2 - lwn	345,000	LC4.1	-20,69	10,43	9,05	-10,51
B46	PR2 - lwn	345,000	LC4.2	-20,95	9,30	8,81	-4,16
B46	PR2 - lwn	345,000	LC4.3	1,83	-1,23	-0,81	-12,05
B46	PR2 - lwn	345,000	LC4.4	0,87	-0,35	-0,33	-7,99
B46	PR2 - lwn	345,000	LC4.5	0,31	0,03	-0,07	-3,27
B46	PR2 - lwn	345,000	LC5.1	5,75	-16,38	-7,31	7,48
B46	PR2 - lwn	345,000	LC5.2	-8,42	16,37	8,02	-7,50
B46	PR2 - lwn	460,000	LC1	0,69	2,72	0,98	0,25
B46	PR2 - lwn	460,000	LC2	0,31	5,03	0,08	0,14
B46	PR2 - lwn	460,000	LC3.1	-2,22	-1,74	-0,10	-1,93
B46	PR2 - lwn	460,000	LC3.2	2,22	1,74	0,10	1,93
B46	PR2 - lwn	460,000	LC3.3	-1,34	-1,06	-0,06	-1,17
B46	PR2 - lwn	460,000	LC3.4	1,35	1,05	0,06	1,17
B46	PR2 - lwn	460,000	LC4.1	-20,69	10,43	10,25	-10,94
B46	PR2 - lwn	460,000	LC4.2	-20,95	9,30	9,88	2,40
B46	PR2 - lwn	460,000	LC4.3	1,83	-1,23	-0,95	-7,01
B46	PR2 - lwn	460,000	LC4.4	0,87	-0,35	-0,37	-4,74
B46	PR2 - lwn	460,000	LC4.5	0,31	0,03	-0,06	-2,01
B46	PR2 - lwn	460,000	LC5.1	5,75	-16,38	-9,20	4,68
B46	PR2 - lwn	460,000	LC5.2	-8,42	16,37	9,90	-4,68
B46	PR2 - lwn	575,000	LC1	0,69	2,52	1,28	-0,25
B46	PR2 - lwn	575,000	LC2	0,31	5,03	0,66	-0,14
B46	PR2 - lwn	575,000	LC3.1	-2,22	-1,74	-0,30	1,56
B46	PR2 - lwn	575,000	LC3.2	2,22	1,74	0,30	-1,56
B46	PR2 - lwn	575,000	LC3.3	-1,34	-1,06	-0,18	0,94
B46	PR2 - lwn	575,000	LC3.4	1,35	1,05	0,18	-0,94
B46	PR2 - lwn	575,000	LC4.1	-20,69	10,43	11,45	-11,38
B46	PR2 - lwn	575,000	LC4.2	-20,95	9,30	10,95	8,95
B46	PR2 - lwn	575,000	LC4.3	1,83	-1,23	-1,09	-1,97
B46	PR2 - lwn	575,000	LC4.4	0,87	-0,35	-0,41	-1,49
B46	PR2 - lwn	575,000	LC4.5	0,31	0,03	-0,06	-0,74
B46	PR2 - lwn	575,000	LC5.1	5,75	-16,38	-11,08	1,88
B46	PR2 - lwn	575,000	LC5.2	-8,42	16,37	11,79	-1,86
B50	PR2 - lwn	0,000	LC1	0,69	-2,52	1,28	-0,25
B50	PR2 - lwn	0,000	LC2	0,31	-5,33	0,39	-0,16
B50	PR2 - lwn	0,000	LC3.1	-2,22	1,74	-0,30	1,60
B50	PR2 - lwn	0,000	LC3.2	2,22	-1,74	0,30	-1,60
B50	PR2 - lwn	0,000	LC3.3	-1,34	1,06	-0,18	0,97
B50	PR2 - lwn	0,000	LC3.4	1,35	-1,05	0,18	-0,97
B50	PR2 - lwn	0,000	LC4.1	26,00	11,42	-13,64	11,75
B50	PR2 - lwn	0,000	LC4.2	24,85	10,02	-12,56	-8,68
B50	PR2 - lwn	0,000	LC4.3	0,66	-0,76	0,06	2,13
B50	PR2 - lwn	0,000	LC4.4	0,62	-0,06	-0,21	1,58
B50	PR2 - lwn	0,000	LC4.5	0,22	0,13	-0,16	0,76
B50	PR2 - lwn	0,000	LC5.1	-11,44	-16,93	13,03	-2,06
B50	PR2 - lwn	0,000	LC5.2	8,77	16,94	-12,33	2,07
B50	PR2 - lwn	115,000	LC1	0,69	-2,72	0,98	0,25
B50	PR2 - lwn	115,000	LC2	0,31	-5,33	-0,23	0,13
B50	PR2 - lwn	115,000	LC3.1	-2,22	1,74	-0,10	-1,87
B50	PR2 - lwn	115,000	LC3.2	2,22	-1,74	0,10	1,87
B50	PR2 - lwn	115,000	LC3.3	-1,34	1,06	-0,06	-1,13
B50	PR2 - lwn	115,000	LC3.4	1,35	-1,05	0,06	1,13
B50	PR2 - lwn	115,000	LC4.1	26,00	11,42	-12,32	11,41
B50	PR2 - lwn	115,000	LC4.2	24,85	10,02	-11,40	-2,04
B50	PR2 - lwn	115,000	LC4.3	0,66	-0,76	-0,02	7,25
B50	PR2 - lwn	115,000	LC4.4	0,62	-0,06	-0,21	4,91
B50	PR2 - lwn	115,000	LC4.5	0,22	0,13	-0,15	2,10
B50	PR2 - lwn	115,000	LC5.1	-11,44	-16,93	11,09	-4,97
B50	PR2 - lwn	115,000	LC5.2	8,77	16,94	-10,38	4,96
B50	PR2 - lwn	230,000	LC1	0,69	-2,92	0,66	0,76
B50	PR2 - lwn	230,000	LC2	0,31	-5,33	-0,84	0,41
B50	PR2 - lwn	230,000	LC3.1	-2,22	1,74	0,10	-5,35
B50	PR2 - lwn	230,000	LC3.2	2,22	-1,74	-0,10	5,35
B50	PR2 - lwn	230,000	LC3.3	-1,34	1,06	0,06	-3,23
B50	PR2 - lwn	230,000	LC3.4	1,35	-1,05	-0,06	3,24

Dilec	css	dx [mm]	Stav	N [kN]	Vz [kN]	My [kNm]	Mz [kNm]
B50	PR2 - lwn	230,000	LC4.1	26,00	11,42	-11,01	11,08
B50	PR2 - lwn	230,000	LC4.2	24,85	10,02	-10,25	4,60
B50	PR2 - lwn	230,000	LC4.3	0,66	-0,76	-0,11	12,38
B50	PR2 - lwn	230,000	LC4.4	0,62	-0,06	-0,22	8,24
B50	PR2 - lwn	230,000	LC4.5	0,22	0,13	-0,13	3,44
B50	PR2 - lwn	230,000	LC5.1	-11,44	-16,93	9,14	-7,88
B50	PR2 - lwn	230,000	LC5.2	8,77	16,94	-8,43	7,86
B50	PR2 - lwn	287,490	LC1	0,69	-3,02	0,49	1,01
B50	PR2 - lwn	287,490	LC2	0,31	-5,33	-1,15	0,56
B50	PR2 - lwn	287,490	LC3.1	-2,22	1,74	0,20	-7,08
B50	PR2 - lwn	287,490	LC3.2	2,22	-1,74	-0,20	7,08
B50	PR2 - lwn	287,490	LC3.3	-1,34	1,06	0,12	-4,28
B50	PR2 - lwn	287,490	LC3.4	1,35	-1,05	-0,12	4,29
B50	PR2 - lwn	287,490	LC4.1	26,00	11,42	-10,36	10,91
B50	PR2 - lwn	287,490	LC4.2	24,85	10,02	-9,67	7,93
B50	PR2 - lwn	287,490	LC4.3	0,66	-0,76	-0,16	14,94
B50	PR2 - lwn	287,490	LC4.4	0,62	-0,06	-0,23	9,90
B50	PR2 - lwn	287,490	LC4.5	0,22	0,13	-0,12	4,11
B50	PR2 - lwn	287,490	LC5.1	-11,44	-16,93	8,17	-9,33
B50	PR2 - lwn	287,490	LC5.2	8,77	16,94	-7,46	9,30
B50	PR2 - lwn	287,510	LC1	0,69	-3,02	0,49	1,01
B50	PR2 - lwn	287,510	LC2	0,31	-5,33	-1,15	0,56
B50	PR2 - lwn	287,510	LC3.1	-2,22	1,74	0,20	-7,08
B50	PR2 - lwn	287,510	LC3.2	2,22	-1,74	-0,20	7,08
B50	PR2 - lwn	287,510	LC3.3	-1,34	1,06	0,12	-4,28
B50	PR2 - lwn	287,510	LC3.4	1,35	-1,05	-0,12	4,29
B50	PR2 - lwn	287,510	LC4.1	26,00	11,42	-10,35	10,91
B50	PR2 - lwn	287,510	LC4.2	24,85	10,02	-9,67	7,93
B50	PR2 - lwn	287,510	LC4.3	0,66	-0,76	-0,16	14,94
B50	PR2 - lwn	287,510	LC4.4	0,62	-0,06	-0,23	9,90
B50	PR2 - lwn	287,510	LC4.5	0,22	0,13	-0,12	4,11
B50	PR2 - lwn	287,510	LC5.1	-11,44	-16,93	8,17	-9,33
B50	PR2 - lwn	287,510	LC5.2	8,77	16,94	-7,45	9,30
B50	PR2 - lwn	345,000	LC1	0,69	-3,12	0,31	1,26
B50	PR2 - lwn	345,000	LC2	0,31	-5,33	-1,45	0,70
B50	PR2 - lwn	345,000	LC3.1	-2,22	1,74	0,30	-8,82
B50	PR2 - lwn	345,000	LC3.2	2,22	-1,74	-0,30	8,82
B50	PR2 - lwn	345,000	LC3.3	-1,34	1,06	0,18	-5,33
B50	PR2 - lwn	345,000	LC3.4	1,35	-1,05	-0,18	5,34
B50	PR2 - lwn	345,000	LC4.1	26,00	11,42	-9,70	10,74
B50	PR2 - lwn	345,000	LC4.2	24,85	10,02	-9,10	11,25
B50	PR2 - lwn	345,000	LC4.3	0,66	-0,76	-0,20	17,50
B50	PR2 - lwn	345,000	LC4.4	0,62	-0,06	-0,23	11,56
B50	PR2 - lwn	345,000	LC4.5	0,22	0,13	-0,12	4,77
B50	PR2 - lwn	345,000	LC5.1	-11,44	-16,93	7,19	-10,78
B50	PR2 - lwn	345,000	LC5.2	8,77	16,94	-6,48	10,75
B50	PR2 - lwn	460,000	LC1	0,69	-3,33	-0,06	1,76
B50	PR2 - lwn	460,000	LC2	0,31	-5,33	-2,07	0,98
B50	PR2 - lwn	460,000	LC3.1	-2,22	1,74	0,50	-12,29
B50	PR2 - lwn	460,000	LC3.2	2,22	-1,74	-0,50	12,29
B50	PR2 - lwn	460,000	LC3.3	-1,34	1,06	0,30	-7,43
B50	PR2 - lwn	460,000	LC3.4	1,35	-1,05	-0,30	7,45
B50	PR2 - lwn	460,000	LC4.1	26,00	11,42	-8,39	10,40
B50	PR2 - lwn	460,000	LC4.2	24,85	10,02	-7,95	17,89
B50	PR2 - lwn	460,000	LC4.3	0,66	-0,76	-0,29	22,62
B50	PR2 - lwn	460,000	LC4.4	0,62	-0,06	-0,24	14,89
B50	PR2 - lwn	460,000	LC4.5	0,22	0,13	-0,10	6,11
B50	PR2 - lwn	460,000	LC5.1	-11,44	-16,93	5,24	-13,69
B50	PR2 - lwn	460,000	LC5.2	8,77	16,94	-4,53	13,64
B50	PR2 - lwn	575,000	LC1	0,69	-3,53	-0,46	2,26
B50	PR2 - lwn	575,000	LC2	0,31	-5,33	-2,68	1,27
B50	PR2 - lwn	575,000	LC3.1	-2,22	1,74	0,70	-15,76
B50	PR2 - lwn	575,000	LC3.2	2,22	-1,74	-0,70	15,76
B50	PR2 - lwn	575,000	LC3.3	-1,34	1,06	0,42	-9,53
B50	PR2 - lwn	575,000	LC3.4	1,35	-1,05	-0,42	9,55
B50	PR2 - lwn	575,000	LC4.1	26,00	11,42	-7,07	10,07
B50	PR2 - lwn	575,000	LC4.2	24,85	10,02	-6,79	24,54
B50	PR2 - lwn	575,000	LC4.3	0,66	-0,76	-0,38	27,75
B50	PR2 - lwn	575,000	LC4.4	0,62	-0,06	-0,24	18,22
B50	PR2 - lwn	575,000	LC4.5	0,22	0,13	-0,09	7,45
B50	PR2 - lwn	575,000	LC5.1	-11,44	-16,93	3,30	-16,60
B50	PR2 - lwn	575,000	LC5.2	8,77	16,94	-2,58	16,53
B53	PR2 - lwn	0,000	LC1	1,00	3,47	-0,55	0,61
B53	PR2 - lwn	0,000	LC2	0,56	4,79	-2,31	0,35
B53	PR2 - lwn	0,000	LC3.1	0,51	-0,46	-0,14	-15,12
B53	PR2 - lwn	0,000	LC3.2	-0,51	0,46	0,14	15,12

Dilec	css	dx [mm]	Stav	N [kN]	Vz [kN]	My [kNm]	Mz [kNm]
B53	PR2 - lwn	0,000	LC3.3	0,30	-0,24	-0,08	-9,15
B53	PR2 - lwn	0,000	LC3.4	-0,31	0,28	0,08	9,16
B53	PR2 - lwn	0,000	LC4.1	-0,32	-0,77	0,19	5,65
B53	PR2 - lwn	0,000	LC4.2	-23,32	9,88	6,31	3,08
B53	PR2 - lwn	0,000	LC4.3	-23,18	9,96	6,29	-10,09
B53	PR2 - lwn	0,000	LC4.4	0,19	0,61	0,10	-16,64
B53	PR2 - lwn	0,000	LC4.5	-0,24	-0,66	0,10	-6,50
B53	PR2 - lwn	0,000	LC5.1	7,68	-16,06	-2,30	3,43
B53	PR2 - lwn	0,000	LC5.2	-10,32	16,06	3,00	-3,45
B53	PR2 - lwn	115,000	LC1	1,00	3,27	-0,17	0,47
B53	PR2 - lwn	115,000	LC2	0,56	4,79	-1,76	0,27
B53	PR2 - lwn	115,000	LC3.1	0,51	-0,46	-0,19	-11,78
B53	PR2 - lwn	115,000	LC3.2	-0,51	0,46	0,19	11,78
B53	PR2 - lwn	115,000	LC3.3	0,30	-0,24	-0,11	-7,13
B53	PR2 - lwn	115,000	LC3.4	-0,31	0,28	0,11	7,14
B53	PR2 - lwn	115,000	LC4.1	-0,32	-0,77	0,10	4,53
B53	PR2 - lwn	115,000	LC4.2	-23,32	9,88	7,45	0,30
B53	PR2 - lwn	115,000	LC4.3	-23,18	9,96	7,43	-5,93
B53	PR2 - lwn	115,000	LC4.4	0,19	0,61	0,17	-13,28
B53	PR2 - lwn	115,000	LC4.5	-0,24	-0,66	0,02	-5,23
B53	PR2 - lwn	115,000	LC5.1	7,68	-16,06	-4,15	2,78
B53	PR2 - lwn	115,000	LC5.2	-10,32	16,06	4,85	-2,80
B53	PR2 - lwn	230,000	LC1	1,00	3,07	0,20	0,34
B53	PR2 - lwn	230,000	LC2	0,56	4,79	-1,21	0,20
B53	PR2 - lwn	230,000	LC3.1	0,51	-0,46	-0,24	-8,43
B53	PR2 - lwn	230,000	LC3.2	-0,51	0,46	0,24	8,43
B53	PR2 - lwn	230,000	LC3.3	0,30	-0,24	-0,14	-5,10
B53	PR2 - lwn	230,000	LC3.4	-0,31	0,28	0,15	5,11
B53	PR2 - lwn	230,000	LC4.1	-0,32	-0,77	0,01	3,41
B53	PR2 - lwn	230,000	LC4.2	-23,32	9,88	8,58	-2,49
B53	PR2 - lwn	230,000	LC4.3	-23,18	9,96	8,58	-1,76
B53	PR2 - lwn	230,000	LC4.4	0,19	0,61	0,24	-9,92
B53	PR2 - lwn	230,000	LC4.5	-0,24	-0,66	-0,05	-3,95
B53	PR2 - lwn	230,000	LC5.1	7,68	-16,06	-5,99	2,14
B53	PR2 - lwn	230,000	LC5.2	-10,32	16,06	6,70	-2,15
B53	PR2 - lwn	287,490	LC1	1,00	2,97	0,37	0,27
B53	PR2 - lwn	287,490	LC2	0,56	4,79	-0,93	0,16
B53	PR2 - lwn	287,490	LC3.1	0,51	-0,46	-0,27	-6,76
B53	PR2 - lwn	287,490	LC3.2	-0,51	0,46	0,27	6,76
B53	PR2 - lwn	287,490	LC3.3	0,30	-0,24	-0,15	-4,09
B53	PR2 - lwn	287,490	LC3.4	-0,31	0,28	0,16	4,10
B53	PR2 - lwn	287,490	LC4.1	-0,32	-0,77	-0,04	2,85
B53	PR2 - lwn	287,490	LC4.2	-23,32	9,88	9,15	-3,88
B53	PR2 - lwn	287,490	LC4.3	-23,18	9,96	9,15	0,33
B53	PR2 - lwn	287,490	LC4.4	0,19	0,61	0,27	-8,24
B53	PR2 - lwn	287,490	LC4.5	-0,24	-0,66	-0,09	-3,32
B53	PR2 - lwn	287,490	LC5.1	7,68	-16,06	-6,92	1,82
B53	PR2 - lwn	287,490	LC5.2	-10,32	16,06	7,62	-1,83
B53	PR2 - lwn	287,510	LC1	1,00	2,97	0,37	0,27
B53	PR2 - lwn	287,510	LC2	0,56	4,79	-0,93	0,16
B53	PR2 - lwn	287,510	LC3.1	0,51	-0,46	-0,27	-6,76
B53	PR2 - lwn	287,510	LC3.2	-0,51	0,46	0,27	6,76
B53	PR2 - lwn	287,510	LC3.3	0,30	-0,24	-0,15	-4,09
B53	PR2 - lwn	287,510	LC3.4	-0,31	0,28	0,16	4,10
B53	PR2 - lwn	287,510	LC4.1	-0,32	-0,77	-0,04	2,85
B53	PR2 - lwn	287,510	LC4.2	-23,32	9,88	9,15	-3,88
B53	PR2 - lwn	287,510	LC4.3	-23,18	9,96	9,15	0,33
B53	PR2 - lwn	287,510	LC4.4	0,19	0,61	0,27	-8,24
B53	PR2 - lwn	287,510	LC4.5	-0,24	-0,66	-0,09	-3,32
B53	PR2 - lwn	287,510	LC5.1	7,68	-16,06	-6,92	1,82
B53	PR2 - lwn	287,510	LC5.2	-10,32	16,06	7,62	-1,83
B53	PR2 - lwn	345,000	LC1	1,00	2,87	0,54	0,20
B53	PR2 - lwn	345,000	LC2	0,56	4,79	-0,66	0,12
B53	PR2 - lwn	345,000	LC3.1	0,51	-0,46	-0,30	-5,09
B53	PR2 - lwn	345,000	LC3.2	-0,51	0,46	0,30	5,09
B53	PR2 - lwn	345,000	LC3.3	0,30	-0,24	-0,16	-3,08
B53	PR2 - lwn	345,000	LC3.4	-0,31	0,28	0,18	3,09
B53	PR2 - lwn	345,000	LC4.1	-0,32	-0,77	-0,08	2,29
B53	PR2 - lwn	345,000	LC4.2	-23,32	9,88	9,72	-5,28
B53	PR2 - lwn	345,000	LC4.3	-23,18	9,96	9,72	2,41
B53	PR2 - lwn	345,000	LC4.4	0,19	0,61	0,31	-6,56
B53	PR2 - lwn	345,000	LC4.5	-0,24	-0,66	-0,13	-2,68
B53	PR2 - lwn	345,000	LC5.1	7,68	-16,06	-7,84	1,49
B53	PR2 - lwn	345,000	LC5.2	-10,32	16,06	8,54	-1,50
B53	PR2 - lwn	460,000	LC1	1,00	2,67	0,86	0,06
B53	PR2 - lwn	460,000	LC2	0,56	4,79	-0,11	0,04

Dilec	css	dx [mm]	Stav	N [kN]	Vz [kN]	My [kNm]	Mz [kNm]
B53	PR2 - lwn	460,000	LC3.1	0,51	-0,46	-0,35	-1,75
B53	PR2 - lwn	460,000	LC3.2	-0,51	0,46	0,35	1,75
B53	PR2 - lwn	460,000	LC3.3	0,30	-0,24	-0,19	-1,06
B53	PR2 - lwn	460,000	LC3.4	-0,31	0,28	0,21	1,06
B53	PR2 - lwn	460,000	LC4.1	-0,32	-0,77	-0,17	1,17
B53	PR2 - lwn	460,000	LC4.2	-23,32	9,88	10,85	-8,06
B53	PR2 - lwn	460,000	LC4.3	-23,18	9,96	10,87	6,58
B53	PR2 - lwn	460,000	LC4.4	0,19	0,61	0,38	-3,19
B53	PR2 - lwn	460,000	LC4.5	-0,24	-0,66	-0,20	-1,41
B53	PR2 - lwn	460,000	LC5.1	7,68	-16,06	-9,69	0,85
B53	PR2 - lwn	460,000	LC5.2	-10,32	16,06	10,39	-0,85
B53	PR2 - lwn	575,000	LC1	1,00	2,47	1,15	-0,07
B53	PR2 - lwn	575,000	LC2	0,56	4,79	0,44	-0,04
B53	PR2 - lwn	575,000	LC3.1	0,51	-0,46	-0,40	1,60
B53	PR2 - lwn	575,000	LC3.2	-0,51	0,46	0,40	-1,60
B53	PR2 - lwn	575,000	LC3.3	0,30	-0,24	-0,22	0,97
B53	PR2 - lwn	575,000	LC3.4	-0,31	0,28	0,24	-0,97
B53	PR2 - lwn	575,000	LC4.1	-0,32	-0,77	-0,26	0,05
B53	PR2 - lwn	575,000	LC4.2	-23,32	9,88	11,99	-10,85
B53	PR2 - lwn	575,000	LC4.3	-23,18	9,96	12,01	10,75
B53	PR2 - lwn	575,000	LC4.4	0,19	0,61	0,45	0,17
B53	PR2 - lwn	575,000	LC4.5	-0,24	-0,66	-0,28	-0,14
B53	PR2 - lwn	575,000	LC5.1	7,68	-16,06	-11,53	0,20
B53	PR2 - lwn	575,000	LC5.2	-10,32	16,06	12,24	-0,20
B57	PR2 - lwn	0,000	LC1	1,00	-2,46	1,15	-0,07
B57	PR2 - lwn	0,000	LC2	0,56	-5,08	0,17	-0,04
B57	PR2 - lwn	0,000	LC3.1	0,51	0,46	-0,40	1,64
B57	PR2 - lwn	0,000	LC3.2	-0,51	-0,46	0,40	-1,64
B57	PR2 - lwn	0,000	LC3.3	0,30	0,24	-0,22	0,99
B57	PR2 - lwn	0,000	LC3.4	-0,31	-0,28	0,24	-0,99
B57	PR2 - lwn	0,000	LC4.1	-1,51	-1,24	0,97	0,08
B57	PR2 - lwn	0,000	LC4.2	21,72	9,43	-11,34	10,93
B57	PR2 - lwn	0,000	LC4.3	21,81	9,52	-11,42	-10,73
B57	PR2 - lwn	0,000	LC4.4	-1,40	0,18	0,10	-0,19
B57	PR2 - lwn	0,000	LC4.5	-0,82	-1,08	0,79	0,08
B57	PR2 - lwn	0,000	LC5.1	-8,82	-15,60	11,60	-0,24
B57	PR2 - lwn	0,000	LC5.2	6,18	15,60	-10,90	0,24
B57	PR2 - lwn	115,000	LC1	1,00	-2,67	0,86	0,06
B57	PR2 - lwn	115,000	LC2	0,56	-5,08	-0,42	0,04
B57	PR2 - lwn	115,000	LC3.1	0,51	0,46	-0,35	-1,69
B57	PR2 - lwn	115,000	LC3.2	-0,51	-0,46	0,35	1,69
B57	PR2 - lwn	115,000	LC3.3	0,30	0,24	-0,19	-1,02
B57	PR2 - lwn	115,000	LC3.4	-0,31	-0,28	0,21	1,03
B57	PR2 - lwn	115,000	LC4.1	-1,51	-1,24	0,83	-1,32
B57	PR2 - lwn	115,000	LC4.2	21,72	9,43	-10,25	7,98
B57	PR2 - lwn	115,000	LC4.3	21,81	9,52	-10,32	-6,59
B57	PR2 - lwn	115,000	LC4.4	-1,40	0,18	0,13	3,24
B57	PR2 - lwn	115,000	LC4.5	-0,82	-1,08	0,67	1,50
B57	PR2 - lwn	115,000	LC5.1	-8,82	-15,60	9,80	-0,83
B57	PR2 - lwn	115,000	LC5.2	6,18	15,60	-9,10	0,82
B57	PR2 - lwn	230,000	LC1	1,00	-2,87	0,54	0,20
B57	PR2 - lwn	230,000	LC2	0,56	-5,08	-1,00	0,12
B57	PR2 - lwn	230,000	LC3.1	0,51	0,46	-0,29	-5,02
B57	PR2 - lwn	230,000	LC3.2	-0,51	-0,46	0,29	5,02
B57	PR2 - lwn	230,000	LC3.3	0,30	0,24	-0,16	-3,04
B57	PR2 - lwn	230,000	LC3.4	-0,31	-0,28	0,18	3,04
B57	PR2 - lwn	230,000	LC4.1	-1,51	-1,24	0,69	-2,73
B57	PR2 - lwn	230,000	LC4.2	21,72	9,43	-9,17	5,04
B57	PR2 - lwn	230,000	LC4.3	21,81	9,52	-9,23	-2,45
B57	PR2 - lwn	230,000	LC4.4	-1,40	0,18	0,15	6,66
B57	PR2 - lwn	230,000	LC4.5	-0,82	-1,08	0,55	2,92
B57	PR2 - lwn	230,000	LC5.1	-8,82	-15,60	8,01	-1,41
B57	PR2 - lwn	230,000	LC5.2	6,18	15,60	-7,31	1,40
B57	PR2 - lwn	287,490	LC1	1,00	-2,97	0,37	0,27
B57	PR2 - lwn	287,490	LC2	0,56	-5,08	-1,29	0,16
B57	PR2 - lwn	287,490	LC3.1	0,51	0,46	-0,27	-6,69
B57	PR2 - lwn	287,490	LC3.2	-0,51	-0,46	0,27	6,69
B57	PR2 - lwn	287,490	LC3.3	0,30	0,24	-0,15	-4,04
B57	PR2 - lwn	287,490	LC3.4	-0,31	-0,28	0,16	4,05
B57	PR2 - lwn	287,490	LC4.1	-1,51	-1,24	0,62	-3,43
B57	PR2 - lwn	287,490	LC4.2	21,72	9,43	-8,63	3,57
B57	PR2 - lwn	287,490	LC4.3	21,81	9,52	-8,68	-0,38
B57	PR2 - lwn	287,490	LC4.4	-1,40	0,18	0,16	8,38
B57	PR2 - lwn	287,490	LC4.5	-0,82	-1,08	0,48	3,63
B57	PR2 - lwn	287,490	LC5.1	-8,82	-15,60	7,11	-1,70
B57	PR2 - lwn	287,490	LC5.2	6,18	15,60	-6,41	1,69

Dilec	css	dx [mm]	Stav	N [kN]	Vz [kN]	My [kNm]	Mz [kNm]
B57	PR2 - lwn	287,510	LC1	1,00	-2,97	0,37	0,27
B57	PR2 - lwn	287,510	LC2	0,56	-5,08	-1,29	0,16
B57	PR2 - lwn	287,510	LC3.1	0,51	0,46	-0,27	-6,69
B57	PR2 - lwn	287,510	LC3.2	-0,51	-0,46	0,27	6,69
B57	PR2 - lwn	287,510	LC3.3	0,30	0,24	-0,15	-4,04
B57	PR2 - lwn	287,510	LC3.4	-0,31	-0,28	0,16	4,05
B57	PR2 - lwn	287,510	LC4.1	-1,51	-1,24	0,62	-3,43
B57	PR2 - lwn	287,510	LC4.2	21,72	9,43	-8,63	3,57
B57	PR2 - lwn	287,510	LC4.3	21,81	9,52	-8,68	-0,37
B57	PR2 - lwn	287,510	LC4.4	-1,40	0,18	0,16	8,38
B57	PR2 - lwn	287,510	LC4.5	-0,82	-1,08	0,48	3,63
B57	PR2 - lwn	287,510	LC5.1	-8,82	-15,60	7,11	-1,70
B57	PR2 - lwn	287,510	LC5.2	6,18	15,60	-6,41	1,69
B57	PR2 - lwn	345,000	LC1	1,00	-3,07	0,20	0,34
B57	PR2 - lwn	345,000	LC2	0,56	-5,08	-1,58	0,20
B57	PR2 - lwn	345,000	LC3.1	0,51	0,46	-0,24	-8,35
B57	PR2 - lwn	345,000	LC3.2	-0,51	-0,46	0,24	8,35
B57	PR2 - lwn	345,000	LC3.3	0,30	0,24	-0,14	-5,05
B57	PR2 - lwn	345,000	LC3.4	-0,31	-0,28	0,15	5,06
B57	PR2 - lwn	345,000	LC4.1	-1,51	-1,24	0,55	-4,13
B57	PR2 - lwn	345,000	LC4.2	21,72	9,43	-8,08	2,10
B57	PR2 - lwn	345,000	LC4.3	21,81	9,52	-8,13	1,69
B57	PR2 - lwn	345,000	LC4.4	-1,40	0,18	0,17	10,09
B57	PR2 - lwn	345,000	LC4.5	-0,82	-1,08	0,42	4,34
B57	PR2 - lwn	345,000	LC5.1	-8,82	-15,60	6,22	-1,99
B57	PR2 - lwn	345,000	LC5.2	6,18	15,60	-5,51	1,97
B57	PR2 - lwn	460,000	LC1	1,00	-3,27	-0,17	0,47
B57	PR2 - lwn	460,000	LC2	0,56	-5,08	-2,17	0,27
B57	PR2 - lwn	460,000	LC3.1	0,51	0,46	-0,19	-11,68
B57	PR2 - lwn	460,000	LC3.2	-0,51	-0,46	0,19	11,68
B57	PR2 - lwn	460,000	LC3.3	0,30	0,24	-0,11	-7,07
B57	PR2 - lwn	460,000	LC3.4	-0,31	-0,28	0,11	7,08
B57	PR2 - lwn	460,000	LC4.1	-1,51	-1,24	0,40	-5,53
B57	PR2 - lwn	460,000	LC4.2	21,72	9,43	-7,00	-0,84
B57	PR2 - lwn	460,000	LC4.3	21,81	9,52	-7,04	5,83
B57	PR2 - lwn	460,000	LC4.4	-1,40	0,18	0,19	13,51
B57	PR2 - lwn	460,000	LC4.5	-0,82	-1,08	0,30	5,76
B57	PR2 - lwn	460,000	LC5.1	-8,82	-15,60	4,42	-2,57
B57	PR2 - lwn	460,000	LC5.2	6,18	15,60	-3,72	2,55
B57	PR2 - lwn	575,000	LC1	1,00	-3,47	-0,55	0,61
B57	PR2 - lwn	575,000	LC2	0,56	-5,08	-2,75	0,35
B57	PR2 - lwn	575,000	LC3.1	0,51	0,46	-0,14	-15,01
B57	PR2 - lwn	575,000	LC3.2	-0,51	-0,46	0,14	15,01
B57	PR2 - lwn	575,000	LC3.3	0,30	0,24	-0,08	-9,08
B57	PR2 - lwn	575,000	LC3.4	-0,31	-0,28	0,08	9,10
B57	PR2 - lwn	575,000	LC4.1	-1,51	-1,24	0,26	-6,94
B57	PR2 - lwn	575,000	LC4.2	21,72	9,43	-5,92	-3,79
B57	PR2 - lwn	575,000	LC4.3	21,81	9,52	-5,94	9,97
B57	PR2 - lwn	575,000	LC4.4	-1,40	0,18	0,21	16,94
B57	PR2 - lwn	575,000	LC4.5	-0,82	-1,08	0,17	7,19
B57	PR2 - lwn	575,000	LC5.1	-8,82	-15,60	2,63	-3,15
B57	PR2 - lwn	575,000	LC5.2	6,18	15,60	-1,93	3,13
B60	PR2 - lwn	0,000	LC1	1,15	3,13	-0,58	-1,01
B60	PR2 - lwn	0,000	LC2	0,68	3,59	-1,84	-0,51
B60	PR2 - lwn	0,000	LC3.1	5,71	1,54	-1,52	-14,75
B60	PR2 - lwn	0,000	LC3.2	-5,71	-1,54	1,52	14,75
B60	PR2 - lwn	0,000	LC3.3	3,44	1,17	-0,92	-8,95
B60	PR2 - lwn	0,000	LC3.4	-3,46	-0,93	0,92	8,94
B60	PR2 - lwn	0,000	LC4.1	-0,04	-0,24	0,03	6,38
B60	PR2 - lwn	0,000	LC4.2	0,48	-1,07	0,01	18,01
B60	PR2 - lwn	0,000	LC4.3	-23,15	9,06	6,18	13,49
B60	PR2 - lwn	0,000	LC4.4	-23,42	8,42	6,30	1,22
B60	PR2 - lwn	0,000	LC4.5	-0,49	-0,25	0,28	-1,81
B60	PR2 - lwn	0,000	LC5.1	5,93	-11,33	-1,78	-8,27
B60	PR2 - lwn	0,000	LC5.2	-7,92	11,34	2,31	8,16
B60	PR2 - lwn	115,000	LC1	1,15	2,93	-0,24	-0,78
B60	PR2 - lwn	115,000	LC2	0,68	3,59	-1,43	-0,39
B60	PR2 - lwn	115,000	LC3.1	5,71	1,54	-1,34	-11,41
B60	PR2 - lwn	115,000	LC3.2	-5,71	-1,54	1,34	11,41
B60	PR2 - lwn	115,000	LC3.3	3,44	1,17	-0,78	-6,92
B60	PR2 - lwn	115,000	LC3.4	-3,46	-0,93	0,81	6,91
B60	PR2 - lwn	115,000	LC4.1	-0,04	-0,24	0,00	5,27
B60	PR2 - lwn	115,000	LC4.2	0,48	-1,07	-0,12	14,82
B60	PR2 - lwn	115,000	LC4.3	-23,15	9,06	7,22	9,15
B60	PR2 - lwn	115,000	LC4.4	-23,42	8,42	7,27	2,07
B60	PR2 - lwn	115,000	LC4.5	-0,49	-0,25	0,25	-1,26

Dilec	css	dx [mm]	Stav	N [kN]	Vz [kN]	My [kNm]	Mz [kNm]
B60	PR2 - lwn	115,000	LC5.1	5,93	-11,33	-3,08	-6,77
B60	PR2 - lwn	115,000	LC5.2	-7,92	11,34	3,62	6,69
B60	PR2 - lwn	230,000	LC1	1,15	2,73	0,09	-0,55
B60	PR2 - lwn	230,000	LC2	0,68	3,59	-1,01	-0,27
B60	PR2 - lwn	230,000	LC3.1	5,71	1,54	-1,16	-8,07
B60	PR2 - lwn	230,000	LC3.2	-5,71	-1,54	1,16	8,07
B60	PR2 - lwn	230,000	LC3.3	3,44	1,17	-0,65	-4,90
B60	PR2 - lwn	230,000	LC3.4	-3,46	-0,93	0,70	4,89
B60	PR2 - lwn	230,000	LC4.1	-0,04	-0,24	-0,03	4,17
B60	PR2 - lwn	230,000	LC4.2	0,48	-1,07	-0,24	11,63
B60	PR2 - lwn	230,000	LC4.3	-23,15	9,06	8,26	4,81
B60	PR2 - lwn	230,000	LC4.4	-23,42	8,42	8,24	2,93
B60	PR2 - lwn	230,000	LC4.5	-0,49	-0,25	0,22	-0,71
B60	PR2 - lwn	230,000	LC5.1	5,93	-11,33	-4,39	-5,27
B60	PR2 - lwn	230,000	LC5.2	-7,92	11,34	4,92	5,21
B60	PR2 - lwn	287,490	LC1	1,15	2,63	0,24	-0,43
B60	PR2 - lwn	287,490	LC2	0,68	3,59	-0,81	-0,21
B60	PR2 - lwn	287,490	LC3.1	5,71	1,54	-1,07	-6,39
B60	PR2 - lwn	287,490	LC3.2	-5,71	-1,54	1,07	6,39
B60	PR2 - lwn	287,490	LC3.3	3,44	1,17	-0,58	-3,88
B60	PR2 - lwn	287,490	LC3.4	-3,46	-0,93	0,65	3,88
B60	PR2 - lwn	287,490	LC4.1	-0,04	-0,24	-0,04	3,62
B60	PR2 - lwn	287,490	LC4.2	0,48	-1,07	-0,30	10,03
B60	PR2 - lwn	287,490	LC4.3	-23,15	9,06	8,78	2,64
B60	PR2 - lwn	287,490	LC4.4	-23,42	8,42	8,72	3,35
B60	PR2 - lwn	287,490	LC4.5	-0,49	-0,25	0,21	-0,44
B60	PR2 - lwn	287,490	LC5.1	5,93	-11,33	-5,04	-4,53
B60	PR2 - lwn	287,490	LC5.2	-7,92	11,34	5,58	4,47
B60	PR2 - lwn	287,510	LC1	1,15	2,63	0,24	-0,43
B60	PR2 - lwn	287,510	LC2	0,68	3,59	-0,81	-0,21
B60	PR2 - lwn	287,510	LC3.1	5,71	1,54	-1,07	-6,39
B60	PR2 - lwn	287,510	LC3.2	-5,71	-1,54	1,07	6,39
B60	PR2 - lwn	287,510	LC3.3	3,44	1,17	-0,58	-3,88
B60	PR2 - lwn	287,510	LC3.4	-3,46	-0,93	0,65	3,88
B60	PR2 - lwn	287,510	LC4.1	-0,04	-0,24	-0,04	3,62
B60	PR2 - lwn	287,510	LC4.2	0,48	-1,07	-0,30	10,03
B60	PR2 - lwn	287,510	LC4.3	-23,15	9,06	8,78	2,64
B60	PR2 - lwn	287,510	LC4.4	-23,42	8,42	8,72	3,36
B60	PR2 - lwn	287,510	LC4.5	-0,49	-0,25	0,21	-0,44
B60	PR2 - lwn	287,510	LC5.1	5,93	-11,33	-5,04	-4,52
B60	PR2 - lwn	287,510	LC5.2	-7,92	11,34	5,58	4,47
B60	PR2 - lwn	345,000	LC1	1,15	2,53	0,39	-0,31
B60	PR2 - lwn	345,000	LC2	0,68	3,59	-0,60	-0,16
B60	PR2 - lwn	345,000	LC3.1	5,71	1,54	-0,98	-4,72
B60	PR2 - lwn	345,000	LC3.2	-5,71	-1,54	0,98	4,72
B60	PR2 - lwn	345,000	LC3.3	3,44	1,17	-0,51	-2,87
B60	PR2 - lwn	345,000	LC3.4	-3,46	-0,93	0,60	2,86
B60	PR2 - lwn	345,000	LC4.1	-0,04	-0,24	-0,05	3,07
B60	PR2 - lwn	345,000	LC4.2	0,48	-1,07	-0,36	8,44
B60	PR2 - lwn	345,000	LC4.3	-23,15	9,06	9,30	0,47
B60	PR2 - lwn	345,000	LC4.4	-23,42	8,42	9,20	3,78
B60	PR2 - lwn	345,000	LC4.5	-0,49	-0,25	0,19	-0,17
B60	PR2 - lwn	345,000	LC5.1	5,93	-11,33	-5,69	-3,78
B60	PR2 - lwn	345,000	LC5.2	-7,92	11,34	6,23	3,73
B60	PR2 - lwn	460,000	LC1	1,15	2,33	0,67	-0,08
B60	PR2 - lwn	460,000	LC2	0,68	3,59	-0,19	-0,04
B60	PR2 - lwn	460,000	LC3.1	5,71	1,54	-0,81	-1,38
B60	PR2 - lwn	460,000	LC3.2	-5,71	-1,54	0,81	1,38
B60	PR2 - lwn	460,000	LC3.3	3,44	1,17	-0,38	-0,84
B60	PR2 - lwn	460,000	LC3.4	-3,46	-0,93	0,49	0,84
B60	PR2 - lwn	460,000	LC4.1	-0,04	-0,24	-0,08	1,97
B60	PR2 - lwn	460,000	LC4.2	0,48	-1,07	-0,49	5,25
B60	PR2 - lwn	460,000	LC4.3	-23,15	9,06	10,35	-3,87
B60	PR2 - lwn	460,000	LC4.4	-23,42	8,42	10,17	4,64
B60	PR2 - lwn	460,000	LC4.5	-0,49	-0,25	0,16	0,38
B60	PR2 - lwn	460,000	LC5.1	5,93	-11,33	-6,99	-2,28
B60	PR2 - lwn	460,000	LC5.2	-7,92	11,34	7,53	2,25
B60	PR2 - lwn	575,000	LC1	1,15	2,13	0,93	0,15
B60	PR2 - lwn	575,000	LC2	0,68	3,59	0,23	0,08
B60	PR2 - lwn	575,000	LC3.1	5,71	1,54	-0,63	1,96
B60	PR2 - lwn	575,000	LC3.2	-5,71	-1,54	0,63	-1,96
B60	PR2 - lwn	575,000	LC3.3	3,44	1,17	-0,24	1,19
B60	PR2 - lwn	575,000	LC3.4	-3,46	-0,93	0,38	-1,19
B60	PR2 - lwn	575,000	LC4.1	-0,04	-0,24	-0,11	0,86
B60	PR2 - lwn	575,000	LC4.2	0,48	-1,07	-0,61	2,06
B60	PR2 - lwn	575,000	LC4.3	-23,15	9,06	11,39	-8,21

Dilec	css	dx [mm]	Stav	N [kN]	Vz [kN]	My [kNm]	Mz [kNm]
B60	PR2 - lwn	575,000	LC4.4	-23,42	8,42	11,14	5,49
B60	PR2 - lwn	575,000	LC4.5	-0,49	-0,25	0,14	0,93
B60	PR2 - lwn	575,000	LC5.1	5,93	-11,33	-8,29	-0,78
B60	PR2 - lwn	575,000	LC5.2	-7,92	11,34	8,84	0,77
B64	PR2 - lwn	0,000	LC1	1,15	-2,10	0,91	0,15
B64	PR2 - lwn	0,000	LC2	0,67	-3,81	0,02	0,09
B64	PR2 - lwn	0,000	LC3.1	5,71	-1,54	-0,63	2,00
B64	PR2 - lwn	0,000	LC3.2	-5,71	1,54	0,63	-2,00
B64	PR2 - lwn	0,000	LC3.3	3,44	-1,17	-0,24	1,22
B64	PR2 - lwn	0,000	LC3.4	-3,46	0,93	0,38	-1,21
B64	PR2 - lwn	0,000	LC4.1	-0,40	-0,39	0,31	-0,85
B64	PR2 - lwn	0,000	LC4.2	-1,40	-1,20	0,90	-2,13
B64	PR2 - lwn	0,000	LC4.3	21,75	8,95	-10,99	8,06
B64	PR2 - lwn	0,000	LC4.4	21,68	8,32	-10,68	-5,70
B64	PR2 - lwn	0,000	LC4.5	-1,57	-0,33	0,39	-1,20
B64	PR2 - lwn	0,000	LC5.1	-6,60	-11,22	8,46	0,90
B64	PR2 - lwn	0,000	LC5.2	4,61	11,21	-7,91	-0,91
B64	PR2 - lwn	115,000	LC1	1,15	-2,30	0,66	-0,08
B64	PR2 - lwn	115,000	LC2	0,67	-3,81	-0,42	-0,03
B64	PR2 - lwn	115,000	LC3.1	5,71	-1,54	-0,81	-1,33
B64	PR2 - lwn	115,000	LC3.2	-5,71	1,54	0,81	1,33
B64	PR2 - lwn	115,000	LC3.3	3,44	-1,17	-0,38	-0,80
B64	PR2 - lwn	115,000	LC3.4	-3,46	0,93	0,49	0,81
B64	PR2 - lwn	115,000	LC4.1	-0,40	-0,39	0,26	-2,02
B64	PR2 - lwn	115,000	LC4.2	-1,40	-1,20	0,77	-5,29
B64	PR2 - lwn	115,000	LC4.3	21,75	8,95	-9,97	3,85
B64	PR2 - lwn	115,000	LC4.4	21,68	8,32	-9,72	-4,65
B64	PR2 - lwn	115,000	LC4.5	-1,57	-0,33	0,35	-0,38
B64	PR2 - lwn	115,000	LC5.1	-6,60	-11,22	7,16	2,28
B64	PR2 - lwn	115,000	LC5.2	4,61	11,21	-6,62	-2,31
B64	PR2 - lwn	230,000	LC1	1,15	-2,50	0,38	-0,31
B64	PR2 - lwn	230,000	LC2	0,67	-3,81	-0,86	-0,15
B64	PR2 - lwn	230,000	LC3.1	5,71	-1,54	-0,98	-4,66
B64	PR2 - lwn	230,000	LC3.2	-5,71	1,54	0,98	4,66
B64	PR2 - lwn	230,000	LC3.3	3,44	-1,17	-0,51	-2,83
B64	PR2 - lwn	230,000	LC3.4	-3,46	0,93	0,60	2,83
B64	PR2 - lwn	230,000	LC4.1	-0,40	-0,39	0,22	-3,20
B64	PR2 - lwn	230,000	LC4.2	-1,40	-1,20	0,63	-8,45
B64	PR2 - lwn	230,000	LC4.3	21,75	8,95	-8,94	-0,36
B64	PR2 - lwn	230,000	LC4.4	21,68	8,32	-8,76	-3,59
B64	PR2 - lwn	230,000	LC4.5	-1,57	-0,33	0,32	0,44
B64	PR2 - lwn	230,000	LC5.1	-6,60	-11,22	5,87	3,65
B64	PR2 - lwn	230,000	LC5.2	4,61	11,21	-5,34	-3,70
B64	PR2 - lwn	287,490	LC1	1,15	-2,60	0,24	-0,43
B64	PR2 - lwn	287,490	LC2	0,67	-3,81	-1,08	-0,21
B64	PR2 - lwn	287,490	LC3.1	5,71	-1,54	-1,07	-6,33
B64	PR2 - lwn	287,490	LC3.2	-5,71	1,54	1,07	6,33
B64	PR2 - lwn	287,490	LC3.3	3,44	-1,17	-0,58	-3,84
B64	PR2 - lwn	287,490	LC3.4	-3,46	0,93	0,65	3,83
B64	PR2 - lwn	287,490	LC4.1	-0,40	-0,39	0,19	-3,78
B64	PR2 - lwn	287,490	LC4.2	-1,40	-1,20	0,56	-10,03
B64	PR2 - lwn	287,490	LC4.3	21,75	8,95	-8,42	-2,46
B64	PR2 - lwn	287,490	LC4.4	21,68	8,32	-8,29	-3,06
B64	PR2 - lwn	287,490	LC4.5	-1,57	-0,33	0,30	0,85
B64	PR2 - lwn	287,490	LC5.1	-6,60	-11,22	5,23	4,34
B64	PR2 - lwn	287,490	LC5.2	4,61	11,21	-4,69	-4,39
B64	PR2 - lwn	287,510	LC1	1,15	-2,60	0,24	-0,43
B64	PR2 - lwn	287,510	LC2	0,67	-3,81	-1,08	-0,21
B64	PR2 - lwn	287,510	LC3.1	5,71	-1,54	-1,07	-6,33
B64	PR2 - lwn	287,510	LC3.2	-5,71	1,54	1,07	6,33
B64	PR2 - lwn	287,510	LC3.3	3,44	-1,17	-0,58	-3,84
B64	PR2 - lwn	287,510	LC3.4	-3,46	0,93	0,65	3,83
B64	PR2 - lwn	287,510	LC4.1	-0,40	-0,39	0,19	-3,78
B64	PR2 - lwn	287,510	LC4.2	-1,40	-1,20	0,56	-10,03
B64	PR2 - lwn	287,510	LC4.3	21,75	8,95	-8,42	-2,46
B64	PR2 - lwn	287,510	LC4.4	21,68	8,32	-8,29	-3,06
B64	PR2 - lwn	287,510	LC4.5	-1,57	-0,33	0,30	0,85
B64	PR2 - lwn	287,510	LC5.1	-6,60	-11,22	5,23	4,34
B64	PR2 - lwn	287,510	LC5.2	4,61	11,21	-4,69	-4,39
B64	PR2 - lwn	345,000	LC1	1,15	-2,71	0,08	-0,54
B64	PR2 - lwn	345,000	LC2	0,67	-3,81	-1,30	-0,27
B64	PR2 - lwn	345,000	LC3.1	5,71	-1,54	-1,16	-7,99
B64	PR2 - lwn	345,000	LC3.2	-5,71	1,54	1,16	7,99
B64	PR2 - lwn	345,000	LC3.3	3,44	-1,17	-0,65	-4,85
B64	PR2 - lwn	345,000	LC3.4	-3,46	0,93	0,70	4,84
B64	PR2 - lwn	345,000	LC4.1	-0,40	-0,39	0,17	-4,37

Dilec	css	dx [mm]	Stav	N [kN]	Vz [kN]	My [kNm]	Mz [kNm]
B64	PR2 - lwn	345,000	LC4.2	-1,40	-1,20	0,49	-11,61
B64	PR2 - lwn	345,000	LC4.3	21,75	8,95	-7,91	-4,57
B64	PR2 - lwn	345,000	LC4.4	21,68	8,32	-7,81	-2,53
B64	PR2 - lwn	345,000	LC4.5	-1,57	-0,33	0,28	1,26
B64	PR2 - lwn	345,000	LC5.1	-6,60	-11,22	4,58	5,02
B64	PR2 - lwn	345,000	LC5.2	4,61	11,21	-4,05	-5,09
B64	PR2 - lwn	460,000	LC1	1,15	-2,91	-0,24	-0,77
B64	PR2 - lwn	460,000	LC2	0,67	-3,81	-1,74	-0,39
B64	PR2 - lwn	460,000	LC3.1	5,71	-1,54	-1,34	-11,32
B64	PR2 - lwn	460,000	LC3.2	-5,71	1,54	1,34	11,32
B64	PR2 - lwn	460,000	LC3.3	3,44	-1,17	-0,78	-6,87
B64	PR2 - lwn	460,000	LC3.4	-3,46	0,93	0,81	6,86
B64	PR2 - lwn	460,000	LC4.1	-0,40	-0,39	0,13	-5,54
B64	PR2 - lwn	460,000	LC4.2	-1,40	-1,20	0,35	-14,77
B64	PR2 - lwn	460,000	LC4.3	21,75	8,95	-6,88	-8,78
B64	PR2 - lwn	460,000	LC4.4	21,68	8,32	-6,85	-1,48
B64	PR2 - lwn	460,000	LC4.5	-1,57	-0,33	0,24	2,07
B64	PR2 - lwn	460,000	LC5.1	-6,60	-11,22	3,29	6,39
B64	PR2 - lwn	460,000	LC5.2	4,61	11,21	-2,76	-6,48
B64	PR2 - lwn	575,000	LC1	1,15	-3,11	-0,58	-1,00
B64	PR2 - lwn	575,000	LC2	0,67	-3,81	-2,18	-0,51
B64	PR2 - lwn	575,000	LC3.1	5,71	-1,54	-1,52	-14,66
B64	PR2 - lwn	575,000	LC3.2	-5,71	1,54	1,52	14,66
B64	PR2 - lwn	575,000	LC3.3	3,44	-1,17	-0,91	-8,89
B64	PR2 - lwn	575,000	LC3.4	-3,46	0,93	0,92	8,88
B64	PR2 - lwn	575,000	LC4.1	-0,40	-0,39	0,08	-6,72
B64	PR2 - lwn	575,000	LC4.2	-1,40	-1,20	0,21	-17,92
B64	PR2 - lwn	575,000	LC4.3	21,75	8,95	-5,85	-12,99
B64	PR2 - lwn	575,000	LC4.4	21,68	8,32	-5,89	-0,42
B64	PR2 - lwn	575,000	LC4.5	-1,57	-0,33	0,20	2,89
B64	PR2 - lwn	575,000	LC5.1	-6,60	-11,22	2,00	7,77
B64	PR2 - lwn	575,000	LC5.2	4,61	11,21	-1,47	-7,87
B67	PR2 - lwn	0,000	LC1	-0,08	2,95	-0,25	-1,95
B67	PR2 - lwn	0,000	LC2	-0,11	3,65	-1,63	-1,15
B67	PR2 - lwn	0,000	LC3.1	-0,47	0,24	0,02	-17,46
B67	PR2 - lwn	0,000	LC3.2	0,47	-0,24	-0,02	17,46
B67	PR2 - lwn	0,000	LC3.3	-0,21	0,50	-0,01	-10,61
B67	PR2 - lwn	0,000	LC3.4	0,28	-0,15	-0,01	10,58
B67	PR2 - lwn	0,000	LC4.1	0,30	0,08	-0,08	6,28
B67	PR2 - lwn	0,000	LC4.2	1,05	-0,17	-0,28	18,57
B67	PR2 - lwn	0,000	LC4.3	2,29	-0,26	-0,47	27,46
B67	PR2 - lwn	0,000	LC4.4	-20,47	8,59	5,45	24,41
B67	PR2 - lwn	0,000	LC4.5	-20,24	10,32	5,26	10,40
B67	PR2 - lwn	0,000	LC5.1	3,56	-12,27	-1,03	-15,28
B67	PR2 - lwn	0,000	LC5.2	-5,52	12,26	1,56	15,48
B67	PR2 - lwn	115,000	LC1	-0,08	2,75	0,07	-1,51
B67	PR2 - lwn	115,000	LC2	-0,11	3,65	-1,21	-0,89
B67	PR2 - lwn	115,000	LC3.1	-0,47	0,24	0,05	-13,54
B67	PR2 - lwn	115,000	LC3.2	0,47	-0,24	-0,05	13,54
B67	PR2 - lwn	115,000	LC3.3	-0,21	0,50	0,04	-8,23
B67	PR2 - lwn	115,000	LC3.4	0,28	-0,15	-0,03	8,21
B67	PR2 - lwn	115,000	LC4.1	0,30	0,08	-0,07	5,25
B67	PR2 - lwn	115,000	LC4.2	1,05	-0,17	-0,30	15,39
B67	PR2 - lwn	115,000	LC4.3	2,29	-0,26	-0,50	22,54
B67	PR2 - lwn	115,000	LC4.4	-20,47	8,59	6,43	19,27
B67	PR2 - lwn	115,000	LC4.5	-20,24	10,32	6,45	10,62
B67	PR2 - lwn	115,000	LC5.1	3,56	-12,27	-2,44	-12,95
B67	PR2 - lwn	115,000	LC5.2	-5,52	12,26	2,97	13,11
B67	PR2 - lwn	230,000	LC1	-0,08	2,55	0,38	-1,06
B67	PR2 - lwn	230,000	LC2	-0,11	3,65	-0,79	-0,63
B67	PR2 - lwn	230,000	LC3.1	-0,47	0,24	0,08	-9,62
B67	PR2 - lwn	230,000	LC3.2	0,47	-0,24	-0,08	9,62
B67	PR2 - lwn	230,000	LC3.3	-0,21	0,50	0,10	-5,85
B67	PR2 - lwn	230,000	LC3.4	0,28	-0,15	-0,05	5,83
B67	PR2 - lwn	230,000	LC4.1	0,30	0,08	-0,06	4,22
B67	PR2 - lwn	230,000	LC4.2	1,05	-0,17	-0,32	12,22
B67	PR2 - lwn	230,000	LC4.3	2,29	-0,26	-0,53	17,62
B67	PR2 - lwn	230,000	LC4.4	-20,47	8,59	7,42	14,14
B67	PR2 - lwn	230,000	LC4.5	-20,24	10,32	7,64	10,84
B67	PR2 - lwn	230,000	LC5.1	3,56	-12,27	-3,85	-10,62
B67	PR2 - lwn	230,000	LC5.2	-5,52	12,26	4,38	10,74
B67	PR2 - lwn	287,490	LC1	-0,08	2,45	0,52	-0,84
B67	PR2 - lwn	287,490	LC2	-0,11	3,65	-0,58	-0,50
B67	PR2 - lwn	287,490	LC3.1	-0,47	0,24	0,09	-7,66
B67	PR2 - lwn	287,490	LC3.2	0,47	-0,24	-0,09	7,66
B67	PR2 - lwn	287,490	LC3.3	-0,21	0,50	0,13	-4,66

Dilec	css	dx [mm]	Stav	N [kN]	Vz [kN]	My [kNm]	Mz [kNm]
B67	PR2 - lwn	287,490	LC3.4	0,28	-0,15	-0,06	4,64
B67	PR2 - lwn	287,490	LC4.1	0,30	0,08	-0,06	3,70
B67	PR2 - lwn	287,490	LC4.2	1,05	-0,17	-0,33	10,63
B67	PR2 - lwn	287,490	LC4.3	2,29	-0,26	-0,55	15,16
B67	PR2 - lwn	287,490	LC4.4	-20,47	8,59	7,91	11,57
B67	PR2 - lwn	287,490	LC4.5	-20,24	10,32	8,23	10,95
B67	PR2 - lwn	287,490	LC5.1	3,56	-12,27	-4,56	-9,46
B67	PR2 - lwn	287,490	LC5.2	-5,52	12,26	5,08	9,56
B67	PR2 - lwn	287,510	LC1	-0,08	2,45	0,52	-0,84
B67	PR2 - lwn	287,510	LC2	-0,11	3,65	-0,58	-0,50
B67	PR2 - lwn	287,510	LC3.1	-0,47	0,24	0,09	-7,66
B67	PR2 - lwn	287,510	LC3.2	0,47	-0,24	-0,09	7,66
B67	PR2 - lwn	287,510	LC3.3	-0,21	0,50	0,13	-4,66
B67	PR2 - lwn	287,510	LC3.4	0,28	-0,15	-0,06	4,64
B67	PR2 - lwn	287,510	LC4.1	0,30	0,08	-0,06	3,70
B67	PR2 - lwn	287,510	LC4.2	1,05	-0,17	-0,33	10,63
B67	PR2 - lwn	287,510	LC4.3	2,29	-0,26	-0,55	15,16
B67	PR2 - lwn	287,510	LC4.4	-20,47	8,59	7,92	11,57
B67	PR2 - lwn	287,510	LC4.5	-20,24	10,32	8,23	10,95
B67	PR2 - lwn	287,510	LC5.1	3,56	-12,27	-4,56	-9,46
B67	PR2 - lwn	287,510	LC5.2	-5,52	12,26	5,08	9,56
B67	PR2 - lwn	345,000	LC1	-0,08	2,34	0,66	-0,62
B67	PR2 - lwn	345,000	LC2	-0,11	3,65	-0,37	-0,37
B67	PR2 - lwn	345,000	LC3.1	-0,47	0,24	0,11	-5,70
B67	PR2 - lwn	345,000	LC3.2	0,47	-0,24	-0,11	5,70
B67	PR2 - lwn	345,000	LC3.3	-0,21	0,50	0,16	-3,47
B67	PR2 - lwn	345,000	LC3.4	0,28	-0,15	-0,06	3,46
B67	PR2 - lwn	345,000	LC4.1	0,30	0,08	-0,05	3,18
B67	PR2 - lwn	345,000	LC4.2	1,05	-0,17	-0,34	9,05
B67	PR2 - lwn	345,000	LC4.3	2,29	-0,26	-0,56	12,70
B67	PR2 - lwn	345,000	LC4.4	-20,47	8,59	8,41	9,00
B67	PR2 - lwn	345,000	LC4.5	-20,24	10,32	8,83	11,06
B67	PR2 - lwn	345,000	LC5.1	3,56	-12,27	-5,26	-8,29
B67	PR2 - lwn	345,000	LC5.2	-5,52	12,26	5,79	8,37
B67	PR2 - lwn	460,000	LC1	-0,08	2,14	0,92	-0,18
B67	PR2 - lwn	460,000	LC2	-0,11	3,65	0,05	-0,11
B67	PR2 - lwn	460,000	LC3.1	-0,47	0,24	0,13	-1,78
B67	PR2 - lwn	460,000	LC3.2	0,47	-0,24	-0,13	1,78
B67	PR2 - lwn	460,000	LC3.3	-0,21	0,50	0,22	-1,09
B67	PR2 - lwn	460,000	LC3.4	0,28	-0,15	-0,08	1,08
B67	PR2 - lwn	460,000	LC4.1	0,30	0,08	-0,04	2,15
B67	PR2 - lwn	460,000	LC4.2	1,05	-0,17	-0,36	5,87
B67	PR2 - lwn	460,000	LC4.3	2,29	-0,26	-0,59	7,78
B67	PR2 - lwn	460,000	LC4.4	-20,47	8,59	9,40	3,87
B67	PR2 - lwn	460,000	LC4.5	-20,24	10,32	10,01	11,28
B67	PR2 - lwn	460,000	LC5.1	3,56	-12,27	-6,68	-5,97
B67	PR2 - lwn	460,000	LC5.2	-5,52	12,26	7,20	6,00
B67	PR2 - lwn	575,000	LC1	-0,08	1,94	1,15	0,27
B67	PR2 - lwn	575,000	LC2	-0,11	3,65	0,47	0,16
B67	PR2 - lwn	575,000	LC3.1	-0,47	0,24	0,16	2,14
B67	PR2 - lwn	575,000	LC3.2	0,47	-0,24	-0,16	-2,14
B67	PR2 - lwn	575,000	LC3.3	-0,21	0,50	0,27	1,29
B67	PR2 - lwn	575,000	LC3.4	0,28	-0,15	-0,10	-1,29
B67	PR2 - lwn	575,000	LC4.1	0,30	0,08	-0,03	1,12
B67	PR2 - lwn	575,000	LC4.2	1,05	-0,17	-0,38	2,70
B67	PR2 - lwn	575,000	LC4.3	2,29	-0,26	-0,62	2,86
B67	PR2 - lwn	575,000	LC4.4	-20,47	8,59	10,38	-1,27
B67	PR2 - lwn	575,000	LC4.5	-20,24	10,32	11,20	11,50
B67	PR2 - lwn	575,000	LC5.1	3,56	-12,27	-8,09	-3,64
B67	PR2 - lwn	575,000	LC5.2	-5,52	12,26	8,61	3,63
B71	PR2 - lwn	0,000	LC1	-0,08	-1,97	1,17	0,27
B71	PR2 - lwn	0,000	LC2	-0,11	-3,88	0,26	0,17
B71	PR2 - lwn	0,000	LC3.1	-0,46	-0,24	0,16	2,18
B71	PR2 - lwn	0,000	LC3.2	0,46	0,24	-0,16	-2,18
B71	PR2 - lwn	0,000	LC3.3	-0,21	-0,50	0,27	1,32
B71	PR2 - lwn	0,000	LC3.4	0,28	0,15	-0,10	-1,32
B71	PR2 - lwn	0,000	LC4.1	0,38	0,22	-0,25	-1,14
B71	PR2 - lwn	0,000	LC4.2	1,33	0,19	-0,53	-2,84
B71	PR2 - lwn	0,000	LC4.3	1,78	0,32	-0,91	-3,12
B71	PR2 - lwn	0,000	LC4.4	25,74	9,32	-12,36	0,93
B71	PR2 - lwn	0,000	LC4.5	26,64	11,21	-13,59	-11,92
B71	PR2 - lwn	0,000	LC5.1	-9,26	-12,80	10,02	3,87
B71	PR2 - lwn	0,000	LC5.2	7,30	12,81	-9,50	-3,88
B71	PR2 - lwn	115,000	LC1	-0,08	-2,17	0,93	-0,18
B71	PR2 - lwn	115,000	LC2	-0,11	-3,88	-0,18	-0,09
B71	PR2 - lwn	115,000	LC3.1	-0,46	-0,24	0,13	-1,73

Dilec	css	dx [mm]	Stav	N [kN]	Vz [kN]	My [kNm]	Mz [kNm]
B71	PR2 - lwn	115,000	LC3.2	0,46	0,24	-0,13	1,73
B71	PR2 - lwn	115,000	LC3.3	-0,21	-0,50	0,22	-1,05
B71	PR2 - lwn	115,000	LC3.4	0,28	0,15	-0,08	1,05
B71	PR2 - lwn	115,000	LC4.1	0,38	0,22	-0,22	-2,25
B71	PR2 - lwn	115,000	LC4.2	1,33	0,19	-0,51	-6,10
B71	PR2 - lwn	115,000	LC4.3	1,78	0,32	-0,87	-8,14
B71	PR2 - lwn	115,000	LC4.4	25,74	9,32	-11,28	-4,33
B71	PR2 - lwn	115,000	LC4.5	26,64	11,21	-12,30	-11,83
B71	PR2 - lwn	115,000	LC5.1	-9,26	-12,80	8,55	6,34
B71	PR2 - lwn	115,000	LC5.2	7,30	12,81	-8,02	-6,31
B71	PR2 - lwn	230,000	LC1	-0,08	-2,37	0,67	-0,62
B71	PR2 - lwn	230,000	LC2	-0,11	-3,88	-0,63	-0,36
B71	PR2 - lwn	230,000	LC3.1	-0,46	-0,24	0,11	-5,64
B71	PR2 - lwn	230,000	LC3.2	0,46	0,24	-0,11	5,64
B71	PR2 - lwn	230,000	LC3.3	-0,21	-0,50	0,16	-3,43
B71	PR2 - lwn	230,000	LC3.4	0,28	0,15	-0,06	3,42
B71	PR2 - lwn	230,000	LC4.1	0,38	0,22	-0,20	-3,35
B71	PR2 - lwn	230,000	LC4.2	1,33	0,19	-0,48	-9,36
B71	PR2 - lwn	230,000	LC4.3	1,78	0,32	-0,83	-13,17
B71	PR2 - lwn	230,000	LC4.4	25,74	9,32	-10,21	-9,58
B71	PR2 - lwn	230,000	LC4.5	26,64	11,21	-11,01	-11,74
B71	PR2 - lwn	230,000	LC5.1	-9,26	-12,80	7,07	8,82
B71	PR2 - lwn	230,000	LC5.2	7,30	12,81	-6,55	-8,74
B71	PR2 - lwn	287,490	LC1	-0,08	-2,47	0,53	-0,84
B71	PR2 - lwn	287,490	LC2	-0,11	-3,88	-0,85	-0,49
B71	PR2 - lwn	287,490	LC3.1	-0,46	-0,24	0,09	-7,60
B71	PR2 - lwn	287,490	LC3.2	0,46	0,24	-0,09	7,60
B71	PR2 - lwn	287,490	LC3.3	-0,21	-0,50	0,13	-4,62
B71	PR2 - lwn	287,490	LC3.4	0,28	0,15	-0,06	4,60
B71	PR2 - lwn	287,490	LC4.1	0,38	0,22	-0,18	-3,90
B71	PR2 - lwn	287,490	LC4.2	1,33	0,19	-0,47	-10,99
B71	PR2 - lwn	287,490	LC4.3	1,78	0,32	-0,82	-15,68
B71	PR2 - lwn	287,490	LC4.4	25,74	9,32	-9,68	-12,21
B71	PR2 - lwn	287,490	LC4.5	26,64	11,21	-10,37	-11,70
B71	PR2 - lwn	287,490	LC5.1	-9,26	-12,80	6,34	10,05
B71	PR2 - lwn	287,490	LC5.2	7,30	12,81	-5,81	-9,96
B71	PR2 - lwn	287,510	LC1	-0,08	-2,47	0,53	-0,84
B71	PR2 - lwn	287,510	LC2	-0,11	-3,88	-0,85	-0,49
B71	PR2 - lwn	287,510	LC3.1	-0,46	-0,24	0,09	-7,60
B71	PR2 - lwn	287,510	LC3.2	0,46	0,24	-0,09	7,60
B71	PR2 - lwn	287,510	LC3.3	-0,21	-0,50	0,13	-4,62
B71	PR2 - lwn	287,510	LC3.4	0,28	0,15	-0,06	4,60
B71	PR2 - lwn	287,510	LC4.1	0,38	0,22	-0,18	-3,90
B71	PR2 - lwn	287,510	LC4.2	1,33	0,19	-0,47	-11,00
B71	PR2 - lwn	287,510	LC4.3	1,78	0,32	-0,82	-15,68
B71	PR2 - lwn	287,510	LC4.4	25,74	9,32	-9,68	-12,21
B71	PR2 - lwn	287,510	LC4.5	26,64	11,21	-10,37	-11,70
B71	PR2 - lwn	287,510	LC5.1	-9,26	-12,80	6,34	10,05
B71	PR2 - lwn	287,510	LC5.2	7,30	12,81	-5,81	-9,96
B71	PR2 - lwn	345,000	LC1	-0,08	-2,57	0,38	-1,06
B71	PR2 - lwn	345,000	LC2	-0,11	-3,88	-1,07	-0,62
B71	PR2 - lwn	345,000	LC3.1	-0,46	-0,24	0,08	-9,55
B71	PR2 - lwn	345,000	LC3.2	0,46	0,24	-0,08	9,55
B71	PR2 - lwn	345,000	LC3.3	-0,21	-0,50	0,10	-5,81
B71	PR2 - lwn	345,000	LC3.4	0,28	0,15	-0,05	5,79
B71	PR2 - lwn	345,000	LC4.1	0,38	0,22	-0,17	-4,45
B71	PR2 - lwn	345,000	LC4.2	1,33	0,19	-0,46	-12,63
B71	PR2 - lwn	345,000	LC4.3	1,78	0,32	-0,80	-18,19
B71	PR2 - lwn	345,000	LC4.4	25,74	9,32	-9,14	-14,83
B71	PR2 - lwn	345,000	LC4.5	26,64	11,21	-9,72	-11,65
B71	PR2 - lwn	345,000	LC5.1	-9,26	-12,80	5,60	11,29
B71	PR2 - lwn	345,000	LC5.2	7,30	12,81	-5,08	-11,17
B71	PR2 - lwn	460,000	LC1	-0,08	-2,77	0,08	-1,51
B71	PR2 - lwn	460,000	LC2	-0,11	-3,88	-1,52	-0,89
B71	PR2 - lwn	460,000	LC3.1	-0,46	-0,24	0,05	-13,46
B71	PR2 - lwn	460,000	LC3.2	0,46	0,24	-0,05	13,46
B71	PR2 - lwn	460,000	LC3.3	-0,21	-0,50	0,04	-8,18
B71	PR2 - lwn	460,000	LC3.4	0,28	0,15	-0,03	8,16
B71	PR2 - lwn	460,000	LC4.1	0,38	0,22	-0,15	-5,56
B71	PR2 - lwn	460,000	LC4.2	1,33	0,19	-0,44	-15,89
B71	PR2 - lwn	460,000	LC4.3	1,78	0,32	-0,76	-23,22
B71	PR2 - lwn	460,000	LC4.4	25,74	9,32	-8,07	-20,09
B71	PR2 - lwn	460,000	LC4.5	26,64	11,21	-8,43	-11,56
B71	PR2 - lwn	460,000	LC5.1	-9,26	-12,80	4,13	13,76
B71	PR2 - lwn	460,000	LC5.2	7,30	12,81	-3,61	-13,60
B71	PR2 - lwn	575,000	LC1	-0,08	-2,97	-0,25	-1,95

Dílec	css	dx [mm]	Stav	N [kN]	Vz [kN]	My [kNm]	Mz [kNm]
B71	PR2 - lwn	575,000	LC2	-0,11	-3,88	-1,97	-1,15
B71	PR2 - lwn	575,000	LC3.1	-0,46	-0,24	0,02	-17,37
B71	PR2 - lwn	575,000	LC3.2	0,46	0,24	-0,02	17,37
B71	PR2 - lwn	575,000	LC3.3	-0,21	-0,50	-0,01	-10,56
B71	PR2 - lwn	575,000	LC3.4	0,28	0,15	-0,01	10,53
B71	PR2 - lwn	575,000	LC4.1	0,38	0,22	-0,12	-6,66
B71	PR2 - lwn	575,000	LC4.2	1,33	0,19	-0,42	-19,15
B71	PR2 - lwn	575,000	LC4.3	1,78	0,32	-0,73	-28,24
B71	PR2 - lwn	575,000	LC4.4	25,74	9,32	-6,99	-25,34
B71	PR2 - lwn	575,000	LC4.5	26,64	11,21	-7,15	-11,47
B71	PR2 - lwn	575,000	LC5.1	-9,26	-12,80	2,66	16,24
B71	PR2 - lwn	575,000	LC5.2	7,30	12,81	-2,13	-16,04

4.13. Vnitřní síly-koncový příčník-PR1-UIC

Lineární výpočet, Extrém : Globální, Systém : Hlavní

Výběr : Pojmenovaný výběr - koncpricniky

Třída : ZS UIC

Průřez : PR1 - lw (493; 10; 200; 20; 453; 0)

Dílec	css	dx [mm]	Stav	N [kN]	Vz [kN]	My [kNm]	Mz [kNm]
B45	PR1 - lw	0,000	LC104	-20,80	0,00	48,61	-0,51
B80	PR1 - lw	0,000	LC101	-12,94	0,02	38,33	0,29
B45	PR1 - lw	0,000	LC101	-17,12	-0,02	90,24	-0,81
B80	PR1 - lw	0,000	LC102	-13,64	0,01	38,25	0,41
B80	PR1 - lw	0,000	LC109	-13,30	-0,02	90,50	0,80

4.14. Vnitřní síly-koncový příčník-PR1-neUIC

Lineární výpočet, Extrém : Ne, Systém : Hlavní

Výběr : Pojmenovaný výběr - koncpricniky

Třída : ZS neUIC

Průřez : PR1 - lw (493; 10; 200; 20; 453; 0)

Dílec	css	dx [mm]	Stav	N [kN]	Vz [kN]	My [kNm]	Mz [kNm]
B45	PR1 - lw	0,000	LC1	-1,61	0,87	2,19	-0,07
B45	PR1 - lw	0,000	LC2	-0,84	-0,08	1,24	-0,03
B45	PR1 - lw	0,000	LC3.1	9,59	0,00	7,56	0,25
B45	PR1 - lw	0,000	LC3.2	-9,59	0,00	-7,56	-0,25
B45	PR1 - lw	0,000	LC3.3	5,80	0,00	4,59	0,15
B45	PR1 - lw	0,000	LC3.4	-5,81	0,00	-4,58	-0,15
B45	PR1 - lw	0,000	LC4.1	42,62	-11,62	3,82	-3,53
B45	PR1 - lw	0,000	LC4.2	31,45	-0,91	-4,08	-5,98
B45	PR1 - lw	0,000	LC4.3	20,31	-1,07	-2,21	-5,37
B45	PR1 - lw	0,000	LC4.4	12,41	-0,72	-1,29	-3,71
B45	PR1 - lw	0,000	LC4.5	4,94	-0,29	-0,52	-1,62
B45	PR1 - lw	0,000	LC5.1	-25,14	9,20	-4,35	4,21
B45	PR1 - lw	0,000	LC5.2	23,98	-9,20	4,54	-4,20
B45	PR1 - lw	105,880	LC1	-1,61	0,77	2,28	-0,07
B45	PR1 - lw	105,880	LC2	-0,84	-0,08	1,23	-0,03
B45	PR1 - lw	105,880	LC3.1	9,59	0,00	7,56	0,26
B45	PR1 - lw	105,880	LC3.2	-9,59	0,00	-7,56	-0,26
B45	PR1 - lw	105,880	LC3.3	5,80	0,00	4,59	0,15
B45	PR1 - lw	105,880	LC3.4	-5,81	0,00	-4,58	-0,16
B45	PR1 - lw	105,880	LC4.1	42,62	-11,62	2,59	-3,10
B45	PR1 - lw	105,880	LC4.2	31,45	-0,91	-4,18	-5,27
B45	PR1 - lw	105,880	LC4.3	20,31	-1,07	-2,32	-4,73
B45	PR1 - lw	105,880	LC4.4	12,41	-0,72	-1,37	-3,27
B45	PR1 - lw	105,880	LC4.5	4,94	-0,29	-0,55	-1,43
B45	PR1 - lw	105,880	LC5.1	-25,14	9,20	-3,37	3,71
B45	PR1 - lw	105,880	LC5.2	23,98	-9,20	3,57	-3,70
B45	PR1 - lw	211,760	LC1	-1,61	0,66	2,35	-0,07
B45	PR1 - lw	211,760	LC2	-0,84	-0,08	1,23	-0,03
B45	PR1 - lw	211,760	LC3.1	9,59	0,00	7,56	0,26
B45	PR1 - lw	211,760	LC3.2	-9,59	0,00	-7,56	-0,26
B45	PR1 - lw	211,760	LC3.3	5,80	0,00	4,59	0,16
B45	PR1 - lw	211,760	LC3.4	-5,81	0,00	-4,58	-0,16
B45	PR1 - lw	211,760	LC4.1	42,62	-11,62	1,36	-2,68
B45	PR1 - lw	211,760	LC4.2	31,45	-0,91	-4,28	-4,56
B45	PR1 - lw	211,760	LC4.3	20,31	-1,07	-2,43	-4,09
B45	PR1 - lw	211,760	LC4.4	12,41	-0,72	-1,44	-2,83
B45	PR1 - lw	211,760	LC4.5	4,94	-0,29	-0,58	-1,24
B45	PR1 - lw	211,760	LC5.1	-25,14	9,20	-2,40	3,21
B45	PR1 - lw	211,760	LC5.2	23,98	-9,20	2,60	-3,20
B45	PR1 - lw	317,650	LC1	-1,61	0,56	2,42	-0,07

Dilec	css	dx [mm]	Stav	N [kN]	Vz [kN]	My [kNm]	Mz [kNm]
B45	PR1 - lw	317,650	LC2	-0,84	-0,08	1,22	-0,03
B45	PR1 - lw	317,650	LC3.1	9,59	0,00	7,56	0,26
B45	PR1 - lw	317,650	LC3.2	-9,59	0,00	-7,56	-0,26
B45	PR1 - lw	317,650	LC3.3	5,80	0,00	4,59	0,16
B45	PR1 - lw	317,650	LC3.4	-5,81	0,00	-4,58	-0,16
B45	PR1 - lw	317,650	LC4.1	42,62	-11,62	0,13	-2,25
B45	PR1 - lw	317,650	LC4.2	31,45	-0,91	-4,37	-3,85
B45	PR1 - lw	317,650	LC4.3	20,31	-1,07	-2,55	-3,46
B45	PR1 - lw	317,650	LC4.4	12,41	-0,72	-1,52	-2,40
B45	PR1 - lw	317,650	LC4.5	4,94	-0,29	-0,61	-1,05
B45	PR1 - lw	317,650	LC5.1	-25,14	9,20	-1,43	2,71
B45	PR1 - lw	317,650	LC5.2	23,98	-9,20	1,62	-2,70
B45	PR1 - lw	423,530	LC1	-1,61	0,46	2,47	-0,07
B45	PR1 - lw	423,530	LC2	-0,84	-0,08	1,21	-0,03
B45	PR1 - lw	423,530	LC3.1	9,59	0,00	7,56	0,27
B45	PR1 - lw	423,530	LC3.2	-9,59	0,00	-7,56	-0,27
B45	PR1 - lw	423,530	LC3.3	5,80	0,00	4,59	0,16
B45	PR1 - lw	423,530	LC3.4	-5,81	0,00	-4,58	-0,16
B45	PR1 - lw	423,530	LC4.1	42,62	-11,62	-1,10	-1,83
B45	PR1 - lw	423,530	LC4.2	31,45	-0,91	-4,47	-3,14
B45	PR1 - lw	423,530	LC4.3	20,31	-1,07	-2,66	-2,82
B45	PR1 - lw	423,530	LC4.4	12,41	-0,72	-1,60	-1,96
B45	PR1 - lw	423,530	LC4.5	4,94	-0,29	-0,64	-0,85
B45	PR1 - lw	423,530	LC5.1	-25,14	9,20	-0,45	2,21
B45	PR1 - lw	423,530	LC5.2	23,98	-9,20	0,65	-2,20
B45	PR1 - lw	529,410	LC1	-1,61	0,36	2,51	-0,07
B45	PR1 - lw	529,410	LC2	-0,84	-0,08	1,20	-0,03
B45	PR1 - lw	529,410	LC3.1	9,59	0,00	7,56	0,27
B45	PR1 - lw	529,410	LC3.2	-9,59	0,00	-7,56	-0,27
B45	PR1 - lw	529,410	LC3.3	5,80	0,00	4,59	0,16
B45	PR1 - lw	529,410	LC3.4	-5,81	0,00	-4,58	-0,16
B45	PR1 - lw	529,410	LC4.1	42,62	-11,62	-2,33	-1,41
B45	PR1 - lw	529,410	LC4.2	31,45	-0,91	-4,56	-2,43
B45	PR1 - lw	529,410	LC4.3	20,31	-1,07	-2,77	-2,19
B45	PR1 - lw	529,410	LC4.4	12,41	-0,72	-1,67	-1,52
B45	PR1 - lw	529,410	LC4.5	4,94	-0,29	-0,67	-0,66
B45	PR1 - lw	529,410	LC5.1	-25,14	9,20	0,52	1,71
B45	PR1 - lw	529,410	LC5.2	23,98	-9,20	-0,32	-1,70
B45	PR1 - lw	635,290	LC1	-1,61	0,26	2,55	-0,07
B45	PR1 - lw	635,290	LC2	-0,84	-0,08	1,19	-0,03
B45	PR1 - lw	635,290	LC3.1	9,59	0,00	7,56	0,27
B45	PR1 - lw	635,290	LC3.2	-9,59	0,00	-7,56	-0,27
B45	PR1 - lw	635,290	LC3.3	5,80	0,00	4,59	0,17
B45	PR1 - lw	635,290	LC3.4	-5,81	0,00	-4,58	-0,17
B45	PR1 - lw	635,290	LC4.1	42,62	-11,62	-3,56	-0,98
B45	PR1 - lw	635,290	LC4.2	31,45	-0,91	-4,66	-1,72
B45	PR1 - lw	635,290	LC4.3	20,31	-1,07	-2,89	-1,55
B45	PR1 - lw	635,290	LC4.4	12,41	-0,72	-1,75	-1,08
B45	PR1 - lw	635,290	LC4.5	4,94	-0,29	-0,70	-0,47
B45	PR1 - lw	635,290	LC5.1	-25,14	9,20	1,49	1,21
B45	PR1 - lw	635,290	LC5.2	23,98	-9,20	-1,30	-1,20
B45	PR1 - lw	741,180	LC1	-1,61	0,15	2,57	-0,07
B45	PR1 - lw	741,180	LC2	-0,84	-0,08	1,18	-0,03
B45	PR1 - lw	741,180	LC3.1	9,59	0,00	7,56	0,28
B45	PR1 - lw	741,180	LC3.2	-9,59	0,00	-7,56	-0,28
B45	PR1 - lw	741,180	LC3.3	5,80	0,00	4,59	0,17
B45	PR1 - lw	741,180	LC3.4	-5,81	0,00	-4,58	-0,17
B45	PR1 - lw	741,180	LC4.1	42,62	-11,62	-4,79	-0,56
B45	PR1 - lw	741,180	LC4.2	31,45	-0,91	-4,76	-1,01
B45	PR1 - lw	741,180	LC4.3	20,31	-1,07	-3,00	-0,92
B45	PR1 - lw	741,180	LC4.4	12,41	-0,72	-1,83	-0,64
B45	PR1 - lw	741,180	LC4.5	4,94	-0,29	-0,73	-0,28
B45	PR1 - lw	741,180	LC5.1	-25,14	9,20	2,47	0,71
B45	PR1 - lw	741,180	LC5.2	23,98	-9,20	-2,27	-0,70
B45	PR1 - lw	847,060	LC1	-1,61	0,05	2,58	-0,07
B45	PR1 - lw	847,060	LC2	-0,84	-0,08	1,18	-0,04
B45	PR1 - lw	847,060	LC3.1	9,59	0,00	7,56	0,28
B45	PR1 - lw	847,060	LC3.2	-9,59	0,00	-7,56	-0,28
B45	PR1 - lw	847,060	LC3.3	5,80	0,00	4,59	0,17
B45	PR1 - lw	847,060	LC3.4	-5,81	0,00	-4,58	-0,17
B45	PR1 - lw	847,060	LC4.1	42,62	-11,62	-6,02	-0,13
B45	PR1 - lw	847,060	LC4.2	31,45	-0,91	-4,85	-0,30
B45	PR1 - lw	847,060	LC4.3	20,31	-1,07	-3,11	-0,28
B45	PR1 - lw	847,060	LC4.4	12,41	-0,72	-1,90	-0,20
B45	PR1 - lw	847,060	LC4.5	4,94	-0,29	-0,77	-0,09
B45	PR1 - lw	847,060	LC5.1	-25,14	9,20	3,44	0,21

Dílec	css	dx [mm]	Stav	N [kN]	Vz [kN]	My [kNm]	Mz [kNm]
B45	PR1 - lw	847,060	LC5.2	23,98	-9,20	-3,25	-0,20
B45	PR1 - lw	899,990	LC1	-1,61	0,00	2,58	-0,07
B45	PR1 - lw	899,990	LC2	-0,84	-0,08	1,17	-0,04
B45	PR1 - lw	899,990	LC3.1	9,59	0,00	7,56	0,28
B45	PR1 - lw	899,990	LC3.2	-9,59	0,00	-7,56	-0,28
B45	PR1 - lw	899,990	LC3.3	5,80	0,00	4,59	0,17
B45	PR1 - lw	899,990	LC3.4	-5,81	0,00	-4,58	-0,17
B45	PR1 - lw	899,990	LC4.1	42,62	-11,62	-6,64	0,08
B45	PR1 - lw	899,990	LC4.2	31,45	-0,91	-4,90	0,06
B45	PR1 - lw	899,990	LC4.3	20,31	-1,07	-3,17	0,04
B45	PR1 - lw	899,990	LC4.4	12,41	-0,72	-1,94	0,02
B45	PR1 - lw	899,990	LC4.5	4,94	-0,29	-0,78	0,01
B45	PR1 - lw	899,990	LC5.1	-25,14	9,20	3,93	-0,04
B45	PR1 - lw	899,990	LC5.2	23,98	-9,20	-3,73	0,05
B45	PR1 - lw	900,010	LC1	-1,61	0,00	2,58	-0,07
B45	PR1 - lw	900,010	LC2	-0,84	-0,08	1,17	-0,04
B45	PR1 - lw	900,010	LC3.1	9,59	0,00	7,56	0,28
B45	PR1 - lw	900,010	LC3.2	-9,59	0,00	-7,56	-0,28
B45	PR1 - lw	900,010	LC3.3	5,80	0,00	4,59	0,17
B45	PR1 - lw	900,010	LC3.4	-5,81	0,00	-4,58	-0,17
B45	PR1 - lw	900,010	LC4.1	42,62	-11,62	-6,64	0,08
B45	PR1 - lw	900,010	LC4.2	31,45	-0,91	-4,90	0,06
B45	PR1 - lw	900,010	LC4.3	20,31	-1,07	-3,17	0,04
B45	PR1 - lw	900,010	LC4.4	12,41	-0,72	-1,94	0,02
B45	PR1 - lw	900,010	LC4.5	4,94	-0,29	-0,78	0,01
B45	PR1 - lw	900,010	LC5.1	-25,14	9,20	3,93	-0,04
B45	PR1 - lw	900,010	LC5.2	23,98	-9,20	-3,73	0,05
B45	PR1 - lw	952,940	LC1	-1,61	-0,05	2,58	-0,07
B45	PR1 - lw	952,940	LC2	-0,84	-0,08	1,17	-0,04
B45	PR1 - lw	952,940	LC3.1	9,59	0,00	7,56	0,28
B45	PR1 - lw	952,940	LC3.2	-9,59	0,00	-7,56	-0,28
B45	PR1 - lw	952,940	LC3.3	5,80	0,00	4,59	0,17
B45	PR1 - lw	952,940	LC3.4	-5,81	0,00	-4,58	-0,17
B45	PR1 - lw	952,940	LC4.1	42,62	-11,62	-7,25	0,29
B45	PR1 - lw	952,940	LC4.2	31,45	-0,91	-4,95	0,42
B45	PR1 - lw	952,940	LC4.3	20,31	-1,07	-3,23	0,36
B45	PR1 - lw	952,940	LC4.4	12,41	-0,72	-1,98	0,24
B45	PR1 - lw	952,940	LC4.5	4,94	-0,29	-0,80	0,10
B45	PR1 - lw	952,940	LC5.1	-25,14	9,20	4,42	-0,29
B45	PR1 - lw	952,940	LC5.2	23,98	-9,20	-4,22	0,30
B45	PR1 - lw	1058,820	LC1	-1,61	-0,15	2,57	-0,07
B45	PR1 - lw	1058,820	LC2	-0,84	-0,08	1,16	-0,04
B45	PR1 - lw	1058,820	LC3.1	9,59	0,00	7,56	0,29
B45	PR1 - lw	1058,820	LC3.2	-9,59	0,00	-7,56	-0,29
B45	PR1 - lw	1058,820	LC3.3	5,80	0,00	4,59	0,17
B45	PR1 - lw	1058,820	LC3.4	-5,81	0,00	-4,58	-0,17
B45	PR1 - lw	1058,820	LC4.1	42,62	-11,62	-8,48	0,72
B45	PR1 - lw	1058,820	LC4.2	31,45	-0,91	-5,04	1,13
B45	PR1 - lw	1058,820	LC4.3	20,31	-1,07	-3,34	0,99
B45	PR1 - lw	1058,820	LC4.4	12,41	-0,72	-2,06	0,68
B45	PR1 - lw	1058,820	LC4.5	4,94	-0,29	-0,83	0,30
B45	PR1 - lw	1058,820	LC5.1	-25,14	9,20	5,39	-0,79
B45	PR1 - lw	1058,820	LC5.2	23,98	-9,20	-5,19	0,80
B45	PR1 - lw	1164,710	LC1	-1,61	-0,26	2,55	-0,07
B45	PR1 - lw	1164,710	LC2	-0,84	-0,08	1,15	-0,04
B45	PR1 - lw	1164,710	LC3.1	9,59	0,00	7,56	0,29
B45	PR1 - lw	1164,710	LC3.2	-9,59	0,00	-7,56	-0,29
B45	PR1 - lw	1164,710	LC3.3	5,80	0,00	4,59	0,18
B45	PR1 - lw	1164,710	LC3.4	-5,81	0,00	-4,58	-0,18
B45	PR1 - lw	1164,710	LC4.1	42,62	-11,62	-9,71	1,14
B45	PR1 - lw	1164,710	LC4.2	31,45	-0,91	-5,14	1,84
B45	PR1 - lw	1164,710	LC4.3	20,31	-1,07	-3,45	1,63
B45	PR1 - lw	1164,710	LC4.4	12,41	-0,72	-2,13	1,12
B45	PR1 - lw	1164,710	LC4.5	4,94	-0,29	-0,86	0,49
B45	PR1 - lw	1164,710	LC5.1	-25,14	9,20	6,36	-1,29
B45	PR1 - lw	1164,710	LC5.2	23,98	-9,20	-6,17	1,30
B45	PR1 - lw	1270,590	LC1	-1,61	-0,36	2,51	-0,07
B45	PR1 - lw	1270,590	LC2	-0,84	-0,08	1,14	-0,04
B45	PR1 - lw	1270,590	LC3.1	9,59	0,00	7,56	0,29
B45	PR1 - lw	1270,590	LC3.2	-9,59	0,00	-7,56	-0,29
B45	PR1 - lw	1270,590	LC3.3	5,80	0,00	4,59	0,18
B45	PR1 - lw	1270,590	LC3.4	-5,81	0,00	-4,58	-0,18
B45	PR1 - lw	1270,590	LC4.1	42,62	-11,62	-10,94	1,57
B45	PR1 - lw	1270,590	LC4.2	31,45	-0,91	-5,24	2,55
B45	PR1 - lw	1270,590	LC4.3	20,31	-1,07	-3,57	2,26
B45	PR1 - lw	1270,590	LC4.4	12,41	-0,72	-2,21	1,56

Dilec	css	dx [mm]	Stav	N [kN]	Vz [kN]	My [kNm]	Mz [kNm]
B45	PR1 - lw	1270,590	LC4.5	4,94	-0,29	-0,89	0,68
B45	PR1 - lw	1270,590	LC5.1	-25,14	9,20	7,34	-1,79
B45	PR1 - lw	1270,590	LC5.2	23,98	-9,20	-7,14	1,80
B45	PR1 - lw	1376,470	LC1	-1,61	-0,46	2,47	-0,07
B45	PR1 - lw	1376,470	LC2	-0,84	-0,08	1,13	-0,04
B45	PR1 - lw	1376,470	LC3.1	9,59	0,00	7,56	0,30
B45	PR1 - lw	1376,470	LC3.2	-9,59	0,00	-7,56	-0,30
B45	PR1 - lw	1376,470	LC3.3	5,80	0,00	4,59	0,18
B45	PR1 - lw	1376,470	LC3.4	-5,81	0,00	-4,58	-0,18
B45	PR1 - lw	1376,470	LC4.1	42,62	-11,62	-12,17	1,99
B45	PR1 - lw	1376,470	LC4.2	31,45	-0,91	-5,33	3,26
B45	PR1 - lw	1376,470	LC4.3	20,31	-1,07	-3,68	2,90
B45	PR1 - lw	1376,470	LC4.4	12,41	-0,72	-2,29	2,00
B45	PR1 - lw	1376,470	LC4.5	4,94	-0,29	-0,92	0,87
B45	PR1 - lw	1376,470	LC5.1	-25,14	9,20	8,31	-2,29
B45	PR1 - lw	1376,470	LC5.2	23,98	-9,20	-8,11	2,30
B45	PR1 - lw	1482,350	LC1	-1,61	-0,56	2,42	-0,07
B45	PR1 - lw	1482,350	LC2	-0,84	-0,08	1,13	-0,04
B45	PR1 - lw	1482,350	LC3.1	9,59	0,00	7,56	0,30
B45	PR1 - lw	1482,350	LC3.2	-9,59	0,00	-7,56	-0,30
B45	PR1 - lw	1482,350	LC3.3	5,80	0,00	4,58	0,18
B45	PR1 - lw	1482,350	LC3.4	-5,81	0,00	-4,58	-0,18
B45	PR1 - lw	1482,350	LC4.1	42,62	-11,62	-13,40	2,42
B45	PR1 - lw	1482,350	LC4.2	31,45	-0,91	-5,43	3,97
B45	PR1 - lw	1482,350	LC4.3	20,31	-1,07	-3,79	3,53
B45	PR1 - lw	1482,350	LC4.4	12,41	-0,72	-2,36	2,44
B45	PR1 - lw	1482,350	LC4.5	4,94	-0,29	-0,95	1,06
B45	PR1 - lw	1482,350	LC5.1	-25,14	9,20	9,28	-2,79
B45	PR1 - lw	1482,350	LC5.2	23,98	-9,20	-9,09	2,80
B45	PR1 - lw	1588,240	LC1	-1,61	-0,66	2,35	-0,07
B45	PR1 - lw	1588,240	LC2	-0,84	-0,08	1,12	-0,04
B45	PR1 - lw	1588,240	LC3.1	9,59	0,00	7,56	0,30
B45	PR1 - lw	1588,240	LC3.2	-9,59	0,00	-7,56	-0,30
B45	PR1 - lw	1588,240	LC3.3	5,80	0,00	4,58	0,18
B45	PR1 - lw	1588,240	LC3.4	-5,81	0,00	-4,58	-0,18
B45	PR1 - lw	1588,240	LC4.1	42,62	-11,62	-14,63	2,84
B45	PR1 - lw	1588,240	LC4.2	31,45	-0,91	-5,52	4,68
B45	PR1 - lw	1588,240	LC4.3	20,31	-1,07	-3,90	4,17
B45	PR1 - lw	1588,240	LC4.4	12,41	-0,72	-2,44	2,88
B45	PR1 - lw	1588,240	LC4.5	4,94	-0,29	-0,98	1,25
B45	PR1 - lw	1588,240	LC5.1	-25,14	9,20	10,26	-3,29
B45	PR1 - lw	1588,240	LC5.2	23,98	-9,20	-10,06	3,30
B45	PR1 - lw	1694,120	LC1	-1,61	-0,77	2,28	-0,07
B45	PR1 - lw	1694,120	LC2	-0,84	-0,08	1,11	-0,04
B45	PR1 - lw	1694,120	LC3.1	9,59	0,00	7,56	0,31
B45	PR1 - lw	1694,120	LC3.2	-9,59	0,00	-7,56	-0,31
B45	PR1 - lw	1694,120	LC3.3	5,80	0,00	4,58	0,19
B45	PR1 - lw	1694,120	LC3.4	-5,81	0,00	-4,58	-0,19
B45	PR1 - lw	1694,120	LC4.1	42,62	-11,62	-15,86	3,27
B45	PR1 - lw	1694,120	LC4.2	31,45	-0,91	-5,62	5,39
B45	PR1 - lw	1694,120	LC4.3	20,31	-1,07	-4,02	4,81
B45	PR1 - lw	1694,120	LC4.4	12,41	-0,72	-2,52	3,32
B45	PR1 - lw	1694,120	LC4.5	4,94	-0,29	-1,01	1,45
B45	PR1 - lw	1694,120	LC5.1	-25,14	9,20	11,23	-3,79
B45	PR1 - lw	1694,120	LC5.2	23,98	-9,20	-11,03	3,80
B45	PR1 - lw	1800,000	LC1	-1,61	-0,87	2,19	-0,07
B45	PR1 - lw	1800,000	LC2	-0,84	-0,08	1,10	-0,04
B45	PR1 - lw	1800,000	LC3.1	9,59	0,00	7,56	0,31
B45	PR1 - lw	1800,000	LC3.2	-9,59	0,00	-7,56	-0,31
B45	PR1 - lw	1800,000	LC3.3	5,80	0,00	4,58	0,19
B45	PR1 - lw	1800,000	LC3.4	-5,81	0,00	-4,58	-0,19
B45	PR1 - lw	1800,000	LC4.1	42,62	-11,62	-17,09	3,69
B45	PR1 - lw	1800,000	LC4.2	31,45	-0,91	-5,71	6,10
B45	PR1 - lw	1800,000	LC4.3	20,31	-1,07	-4,13	5,44
B45	PR1 - lw	1800,000	LC4.4	12,41	-0,72	-2,59	3,76
B45	PR1 - lw	1800,000	LC4.5	4,94	-0,29	-1,04	1,64
B45	PR1 - lw	1800,000	LC5.1	-25,14	9,20	12,20	-4,29
B45	PR1 - lw	1800,000	LC5.2	23,98	-9,20	-12,01	4,30
B80	PR1 - lw	0,000	LC1	-1,43	0,87	2,22	0,06
B80	PR1 - lw	0,000	LC2	-0,75	-0,08	1,29	0,03
B80	PR1 - lw	0,000	LC3.1	-13,39	0,00	-6,78	0,46
B80	PR1 - lw	0,000	LC3.2	13,39	0,00	6,78	-0,46
B80	PR1 - lw	0,000	LC3.3	-8,16	0,00	-4,46	0,27
B80	PR1 - lw	0,000	LC3.4	8,12	0,00	4,11	-0,28
B80	PR1 - lw	0,000	LC4.1	5,56	-0,32	-0,59	1,93
B80	PR1 - lw	0,000	LC4.2	16,72	-0,93	-1,78	5,21

Dilec	css	dx [mm]	Stav	N [kN]	Vz [kN]	My [kNm]	Mz [kNm]
B80	PR1 - lw	0,000	LC4.3	27,84	-1,06	-3,39	7,01
B80	PR1 - lw	0,000	LC4.4	35,73	-1,86	-3,90	6,40
B80	PR1 - lw	0,000	LC4.5	43,19	-11,69	3,79	3,85
B80	PR1 - lw	0,000	LC5.1	-26,33	9,44	-4,38	-4,77
B80	PR1 - lw	0,000	LC5.2	25,15	-9,44	4,57	4,76
B80	PR1 - lw	105,880	LC1	-1,43	0,77	2,30	0,06
B80	PR1 - lw	105,880	LC2	-0,75	-0,08	1,28	0,03
B80	PR1 - lw	105,880	LC3.1	-13,39	0,00	-6,78	0,46
B80	PR1 - lw	105,880	LC3.2	13,39	0,00	6,78	-0,46
B80	PR1 - lw	105,880	LC3.3	-8,16	0,00	-4,46	0,28
B80	PR1 - lw	105,880	LC3.4	8,12	0,00	4,11	-0,28
B80	PR1 - lw	105,880	LC4.1	5,56	-0,32	-0,63	1,70
B80	PR1 - lw	105,880	LC4.2	16,72	-0,93	-1,88	4,59
B80	PR1 - lw	105,880	LC4.3	27,84	-1,06	-3,50	6,18
B80	PR1 - lw	105,880	LC4.4	35,73	-1,86	-4,10	5,64
B80	PR1 - lw	105,880	LC4.5	43,19	-11,69	2,55	3,39
B80	PR1 - lw	105,880	LC5.1	-26,33	9,44	-3,38	-4,20
B80	PR1 - lw	105,880	LC5.2	25,15	-9,44	3,57	4,20
B80	PR1 - lw	211,760	LC1	-1,43	0,66	2,38	0,06
B80	PR1 - lw	211,760	LC2	-0,75	-0,08	1,27	0,03
B80	PR1 - lw	211,760	LC3.1	-13,39	0,00	-6,78	0,46
B80	PR1 - lw	211,760	LC3.2	13,39	0,00	6,78	-0,46
B80	PR1 - lw	211,760	LC3.3	-8,16	0,00	-4,46	0,28
B80	PR1 - lw	211,760	LC3.4	8,12	0,00	4,11	-0,28
B80	PR1 - lw	211,760	LC4.1	5,56	-0,32	-0,66	1,48
B80	PR1 - lw	211,760	LC4.2	16,72	-0,93	-1,98	3,98
B80	PR1 - lw	211,760	LC4.3	27,84	-1,06	-3,61	5,35
B80	PR1 - lw	211,760	LC4.4	35,73	-1,86	-4,29	4,88
B80	PR1 - lw	211,760	LC4.5	43,19	-11,69	1,31	2,93
B80	PR1 - lw	211,760	LC5.1	-26,33	9,44	-2,38	-3,64
B80	PR1 - lw	211,760	LC5.2	25,15	-9,44	2,58	3,63
B80	PR1 - lw	317,650	LC1	-1,43	0,56	2,44	0,06
B80	PR1 - lw	317,650	LC2	-0,75	-0,08	1,26	0,03
B80	PR1 - lw	317,650	LC3.1	-13,39	0,00	-6,78	0,47
B80	PR1 - lw	317,650	LC3.2	13,39	0,00	6,78	-0,47
B80	PR1 - lw	317,650	LC3.3	-8,16	0,00	-4,46	0,28
B80	PR1 - lw	317,650	LC3.4	8,12	0,00	4,11	-0,28
B80	PR1 - lw	317,650	LC4.1	5,56	-0,32	-0,69	1,25
B80	PR1 - lw	317,650	LC4.2	16,72	-0,93	-2,07	3,36
B80	PR1 - lw	317,650	LC4.3	27,84	-1,06	-3,73	4,52
B80	PR1 - lw	317,650	LC4.4	35,73	-1,86	-4,49	4,12
B80	PR1 - lw	317,650	LC4.5	43,19	-11,69	0,08	2,46
B80	PR1 - lw	317,650	LC5.1	-26,33	9,44	-1,38	-3,07
B80	PR1 - lw	317,650	LC5.2	25,15	-9,44	1,58	3,07
B80	PR1 - lw	423,530	LC1	-1,43	0,46	2,50	0,06
B80	PR1 - lw	423,530	LC2	-0,75	-0,08	1,25	0,03
B80	PR1 - lw	423,530	LC3.1	-13,39	0,00	-6,78	0,47
B80	PR1 - lw	423,530	LC3.2	13,39	0,00	6,78	-0,47
B80	PR1 - lw	423,530	LC3.3	-8,16	0,00	-4,46	0,28
B80	PR1 - lw	423,530	LC3.4	8,12	0,00	4,11	-0,29
B80	PR1 - lw	423,530	LC4.1	5,56	-0,32	-0,73	1,02
B80	PR1 - lw	423,530	LC4.2	16,72	-0,93	-2,17	2,74
B80	PR1 - lw	423,530	LC4.3	27,84	-1,06	-3,84	3,69
B80	PR1 - lw	423,530	LC4.4	35,73	-1,86	-4,69	3,36
B80	PR1 - lw	423,530	LC4.5	43,19	-11,69	-1,16	2,00
B80	PR1 - lw	423,530	LC5.1	-26,33	9,44	-0,38	-2,51
B80	PR1 - lw	423,530	LC5.2	25,15	-9,44	0,58	2,50
B80	PR1 - lw	529,410	LC1	-1,43	0,36	2,54	0,06
B80	PR1 - lw	529,410	LC2	-0,75	-0,08	1,24	0,03
B80	PR1 - lw	529,410	LC3.1	-13,39	0,00	-6,78	0,47
B80	PR1 - lw	529,410	LC3.2	13,39	0,00	6,78	-0,47
B80	PR1 - lw	529,410	LC3.3	-8,16	0,00	-4,46	0,28
B80	PR1 - lw	529,410	LC3.4	8,12	0,00	4,11	-0,29
B80	PR1 - lw	529,410	LC4.1	5,56	-0,32	-0,76	0,79
B80	PR1 - lw	529,410	LC4.2	16,72	-0,93	-2,27	2,13
B80	PR1 - lw	529,410	LC4.3	27,84	-1,06	-3,95	2,86
B80	PR1 - lw	529,410	LC4.4	35,73	-1,86	-4,88	2,59
B80	PR1 - lw	529,410	LC4.5	43,19	-11,69	-2,40	1,54
B80	PR1 - lw	529,410	LC5.1	-26,33	9,44	0,62	-1,94
B80	PR1 - lw	529,410	LC5.2	25,15	-9,44	-0,42	1,93
B80	PR1 - lw	635,290	LC1	-1,43	0,26	2,57	0,06
B80	PR1 - lw	635,290	LC2	-0,75	-0,08	1,24	0,03
B80	PR1 - lw	635,290	LC3.1	-13,39	0,00	-6,78	0,48
B80	PR1 - lw	635,290	LC3.2	13,39	0,00	6,78	-0,48
B80	PR1 - lw	635,290	LC3.3	-8,16	0,00	-4,46	0,29
B80	PR1 - lw	635,290	LC3.4	8,12	0,00	4,11	-0,29

Dilec	css	dx [mm]	Stav	N [kN]	Vz [kN]	My [kNm]	Mz [kNm]
B80	PR1 - lw	635,290	LC4.1	5,56	-0,32	-0,80	0,56
B80	PR1 - lw	635,290	LC4.2	16,72	-0,93	-2,37	1,51
B80	PR1 - lw	635,290	LC4.3	27,84	-1,06	-4,06	2,02
B80	PR1 - lw	635,290	LC4.4	35,73	-1,86	-5,08	1,83
B80	PR1 - lw	635,290	LC4.5	43,19	-11,69	-3,64	1,08
B80	PR1 - lw	635,290	LC5.1	-26,33	9,44	1,62	-1,37
B80	PR1 - lw	635,290	LC5.2	25,15	-9,44	-1,42	1,37
B80	PR1 - lw	741,180	LC1	-1,43	0,15	2,59	0,06
B80	PR1 - lw	741,180	LC2	-0,75	-0,08	1,23	0,03
B80	PR1 - lw	741,180	LC3.1	-13,39	0,00	-6,78	0,48
B80	PR1 - lw	741,180	LC3.2	13,39	0,00	6,78	-0,48
B80	PR1 - lw	741,180	LC3.3	-8,16	0,00	-4,46	0,29
B80	PR1 - lw	741,180	LC3.4	8,12	0,00	4,11	-0,29
B80	PR1 - lw	741,180	LC4.1	5,56	-0,32	-0,83	0,33
B80	PR1 - lw	741,180	LC4.2	16,72	-0,93	-2,47	0,89
B80	PR1 - lw	741,180	LC4.3	27,84	-1,06	-4,18	1,19
B80	PR1 - lw	741,180	LC4.4	35,73	-1,86	-5,28	1,07
B80	PR1 - lw	741,180	LC4.5	43,19	-11,69	-4,88	0,61
B80	PR1 - lw	741,180	LC5.1	-26,33	9,44	2,62	-0,81
B80	PR1 - lw	741,180	LC5.2	25,15	-9,44	-2,42	0,80
B80	PR1 - lw	847,060	LC1	-1,43	0,05	2,61	0,06
B80	PR1 - lw	847,060	LC2	-0,75	-0,08	1,22	0,03
B80	PR1 - lw	847,060	LC3.1	-13,39	0,00	-6,78	0,48
B80	PR1 - lw	847,060	LC3.2	13,39	0,00	6,78	-0,48
B80	PR1 - lw	847,060	LC3.3	-8,16	0,00	-4,46	0,29
B80	PR1 - lw	847,060	LC3.4	8,12	0,00	4,11	-0,29
B80	PR1 - lw	847,060	LC4.1	5,56	-0,32	-0,86	0,11
B80	PR1 - lw	847,060	LC4.2	16,72	-0,93	-2,57	0,28
B80	PR1 - lw	847,060	LC4.3	27,84	-1,06	-4,29	0,36
B80	PR1 - lw	847,060	LC4.4	35,73	-1,86	-5,47	0,31
B80	PR1 - lw	847,060	LC4.5	43,19	-11,69	-6,11	0,15
B80	PR1 - lw	847,060	LC5.1	-26,33	9,44	3,62	-0,24
B80	PR1 - lw	847,060	LC5.2	25,15	-9,44	-3,42	0,23
B80	PR1 - lw	899,990	LC1	-1,43	0,00	2,61	0,06
B80	PR1 - lw	899,990	LC2	-0,75	-0,08	1,22	0,03
B80	PR1 - lw	899,990	LC3.1	-13,39	0,00	-6,78	0,48
B80	PR1 - lw	899,990	LC3.2	13,39	0,00	6,78	-0,48
B80	PR1 - lw	899,990	LC3.3	-8,16	0,00	-4,46	0,29
B80	PR1 - lw	899,990	LC3.4	8,12	0,00	4,11	-0,29
B80	PR1 - lw	899,990	LC4.1	5,56	-0,32	-0,88	-0,01
B80	PR1 - lw	899,990	LC4.2	16,72	-0,93	-2,62	-0,03
B80	PR1 - lw	899,990	LC4.3	27,84	-1,06	-4,35	-0,05
B80	PR1 - lw	899,990	LC4.4	35,73	-1,86	-5,57	-0,07
B80	PR1 - lw	899,990	LC4.5	43,19	-11,69	-6,73	-0,08
B80	PR1 - lw	899,990	LC5.1	-26,33	9,44	4,12	0,04
B80	PR1 - lw	899,990	LC5.2	25,15	-9,44	-3,92	-0,05
B80	PR1 - lw	900,010	LC1	-1,43	0,00	2,61	0,06
B80	PR1 - lw	900,010	LC2	-0,75	-0,08	1,22	0,03
B80	PR1 - lw	900,010	LC3.1	-13,39	0,00	-6,78	0,48
B80	PR1 - lw	900,010	LC3.2	13,39	0,00	6,78	-0,48
B80	PR1 - lw	900,010	LC3.3	-8,16	0,00	-4,46	0,29
B80	PR1 - lw	900,010	LC3.4	8,12	0,00	4,11	-0,29
B80	PR1 - lw	900,010	LC4.1	5,56	-0,32	-0,88	-0,01
B80	PR1 - lw	900,010	LC4.2	16,72	-0,93	-2,62	-0,03
B80	PR1 - lw	900,010	LC4.3	27,84	-1,06	-4,35	-0,05
B80	PR1 - lw	900,010	LC4.4	35,73	-1,86	-5,57	-0,07
B80	PR1 - lw	900,010	LC4.5	43,19	-11,69	-6,73	-0,08
B80	PR1 - lw	900,010	LC5.1	-26,33	9,44	4,12	0,04
B80	PR1 - lw	900,010	LC5.2	25,15	-9,44	-3,92	-0,05
B80	PR1 - lw	952,940	LC1	-1,43	-0,05	2,61	0,06
B80	PR1 - lw	952,940	LC2	-0,75	-0,08	1,21	0,03
B80	PR1 - lw	952,940	LC3.1	-13,39	0,00	-6,78	0,49
B80	PR1 - lw	952,940	LC3.2	13,39	0,00	6,78	-0,49
B80	PR1 - lw	952,940	LC3.3	-8,16	0,00	-4,46	0,29
B80	PR1 - lw	952,940	LC3.4	8,12	0,00	4,11	-0,29
B80	PR1 - lw	952,940	LC4.1	5,56	-0,32	-0,90	-0,12
B80	PR1 - lw	952,940	LC4.2	16,72	-0,93	-2,66	-0,34
B80	PR1 - lw	952,940	LC4.3	27,84	-1,06	-4,40	-0,47
B80	PR1 - lw	952,940	LC4.4	35,73	-1,86	-5,67	-0,45
B80	PR1 - lw	952,940	LC4.5	43,19	-11,69	-7,35	-0,31
B80	PR1 - lw	952,940	LC5.1	-26,33	9,44	4,62	0,33
B80	PR1 - lw	952,940	LC5.2	25,15	-9,44	-4,42	-0,33
B80	PR1 - lw	1058,820	LC1	-1,43	-0,15	2,59	0,06
B80	PR1 - lw	1058,820	LC2	-0,75	-0,08	1,20	0,03
B80	PR1 - lw	1058,820	LC3.1	-13,39	0,00	-6,78	0,49
B80	PR1 - lw	1058,820	LC3.2	13,39	0,00	6,78	-0,49

Dilec	css	dx [mm]	Stav	N [kN]	Vz [kN]	My [kNm]	Mz [kNm]
B80	PR1 - lw	1058,820	LC3.3	-8,16	0,00	-4,46	0,29
B80	PR1 - lw	1058,820	LC3.4	8,12	0,00	4,11	-0,30
B80	PR1 - lw	1058,820	LC4.1	5,56	-0,32	-0,93	-0,35
B80	PR1 - lw	1058,820	LC4.2	16,72	-0,93	-2,76	-0,95
B80	PR1 - lw	1058,820	LC4.3	27,84	-1,06	-4,51	-1,30
B80	PR1 - lw	1058,820	LC4.4	35,73	-1,86	-5,87	-1,21
B80	PR1 - lw	1058,820	LC4.5	43,19	-11,69	-8,59	-0,77
B80	PR1 - lw	1058,820	LC5.1	-26,33	9,44	5,62	0,89
B80	PR1 - lw	1058,820	LC5.2	25,15	-9,44	-5,42	-0,90
B80	PR1 - lw	1164,710	LC1	-1,43	-0,25	2,57	0,06
B80	PR1 - lw	1164,710	LC2	-0,75	-0,08	1,19	0,03
B80	PR1 - lw	1164,710	LC3.1	-13,39	0,00	-6,78	0,49
B80	PR1 - lw	1164,710	LC3.2	13,39	0,00	6,78	-0,49
B80	PR1 - lw	1164,710	LC3.3	-8,16	0,00	-4,46	0,30
B80	PR1 - lw	1164,710	LC3.4	8,12	0,00	4,11	-0,30
B80	PR1 - lw	1164,710	LC4.1	5,56	-0,32	-0,96	-0,58
B80	PR1 - lw	1164,710	LC4.2	16,72	-0,93	-2,86	-1,57
B80	PR1 - lw	1164,710	LC4.3	27,84	-1,06	-4,63	-2,13
B80	PR1 - lw	1164,710	LC4.4	35,73	-1,86	-6,06	-1,97
B80	PR1 - lw	1164,710	LC4.5	43,19	-11,69	-9,83	-1,24
B80	PR1 - lw	1164,710	LC5.1	-26,33	9,44	6,62	1,46
B80	PR1 - lw	1164,710	LC5.2	25,15	-9,44	-6,42	-1,47
B80	PR1 - lw	1270,590	LC1	-1,43	-0,36	2,54	0,06
B80	PR1 - lw	1270,590	LC2	-0,75	-0,08	1,19	0,03
B80	PR1 - lw	1270,590	LC3.1	-13,39	0,00	-6,78	0,49
B80	PR1 - lw	1270,590	LC3.2	13,39	0,00	6,78	-0,49
B80	PR1 - lw	1270,590	LC3.3	-8,16	0,00	-4,46	0,30
B80	PR1 - lw	1270,590	LC3.4	8,12	0,00	4,11	-0,30
B80	PR1 - lw	1270,590	LC4.1	5,56	-0,32	-1,00	-0,81
B80	PR1 - lw	1270,590	LC4.2	16,72	-0,93	-2,96	-2,19
B80	PR1 - lw	1270,590	LC4.3	27,84	-1,06	-4,74	-2,96
B80	PR1 - lw	1270,590	LC4.4	35,73	-1,86	-6,26	-2,73
B80	PR1 - lw	1270,590	LC4.5	43,19	-11,69	-11,07	-1,70
B80	PR1 - lw	1270,590	LC5.1	-26,33	9,44	7,62	2,03
B80	PR1 - lw	1270,590	LC5.2	25,15	-9,44	-7,42	-2,03
B80	PR1 - lw	1376,470	LC1	-1,43	-0,46	2,50	0,06
B80	PR1 - lw	1376,470	LC2	-0,75	-0,08	1,18	0,04
B80	PR1 - lw	1376,470	LC3.1	-13,39	0,00	-6,78	0,50
B80	PR1 - lw	1376,470	LC3.2	13,39	0,00	6,78	-0,50
B80	PR1 - lw	1376,470	LC3.3	-8,16	0,00	-4,46	0,30
B80	PR1 - lw	1376,470	LC3.4	8,12	0,00	4,11	-0,30
B80	PR1 - lw	1376,470	LC4.1	5,56	-0,32	-1,03	-1,04
B80	PR1 - lw	1376,470	LC4.2	16,72	-0,93	-3,06	-2,80
B80	PR1 - lw	1376,470	LC4.3	27,84	-1,06	-4,85	-3,79
B80	PR1 - lw	1376,470	LC4.4	35,73	-1,86	-6,46	-3,49
B80	PR1 - lw	1376,470	LC4.5	43,19	-11,69	-12,31	-2,16
B80	PR1 - lw	1376,470	LC5.1	-26,33	9,44	8,62	2,59
B80	PR1 - lw	1376,470	LC5.2	25,15	-9,44	-8,42	-2,60
B80	PR1 - lw	1482,350	LC1	-1,43	-0,56	2,44	0,06
B80	PR1 - lw	1482,350	LC2	-0,75	-0,08	1,17	0,04
B80	PR1 - lw	1482,350	LC3.1	-13,39	0,00	-6,78	0,50
B80	PR1 - lw	1482,350	LC3.2	13,39	0,00	6,78	-0,50
B80	PR1 - lw	1482,350	LC3.3	-8,16	0,00	-4,46	0,30
B80	PR1 - lw	1482,350	LC3.4	8,12	0,00	4,11	-0,30
B80	PR1 - lw	1482,350	LC4.1	5,56	-0,32	-1,06	-1,26
B80	PR1 - lw	1482,350	LC4.2	16,72	-0,93	-3,16	-3,42
B80	PR1 - lw	1482,350	LC4.3	27,84	-1,06	-4,97	-4,62
B80	PR1 - lw	1482,350	LC4.4	35,73	-1,86	-6,66	-4,25
B80	PR1 - lw	1482,350	LC4.5	43,19	-11,69	-13,54	-2,62
B80	PR1 - lw	1482,350	LC5.1	-26,33	9,44	9,61	3,16
B80	PR1 - lw	1482,350	LC5.2	25,15	-9,44	-9,42	-3,17
B80	PR1 - lw	1588,240	LC1	-1,43	-0,66	2,38	0,06
B80	PR1 - lw	1588,240	LC2	-0,75	-0,08	1,16	0,04
B80	PR1 - lw	1588,240	LC3.1	-13,39	0,00	-6,78	0,50
B80	PR1 - lw	1588,240	LC3.2	13,39	0,00	6,78	-0,50
B80	PR1 - lw	1588,240	LC3.3	-8,16	0,00	-4,46	0,30
B80	PR1 - lw	1588,240	LC3.4	8,12	0,00	4,11	-0,30
B80	PR1 - lw	1588,240	LC4.1	5,56	-0,32	-1,10	-1,49
B80	PR1 - lw	1588,240	LC4.2	16,72	-0,93	-3,25	-4,04
B80	PR1 - lw	1588,240	LC4.3	27,84	-1,06	-5,08	-5,45
B80	PR1 - lw	1588,240	LC4.4	35,73	-1,86	-6,85	-5,01
B80	PR1 - lw	1588,240	LC4.5	43,19	-11,69	-14,78	-3,09
B80	PR1 - lw	1588,240	LC5.1	-26,33	9,44	10,61	3,73
B80	PR1 - lw	1588,240	LC5.2	25,15	-9,44	-10,42	-3,73
B80	PR1 - lw	1694,120	LC1	-1,43	-0,77	2,30	0,06
B80	PR1 - lw	1694,120	LC2	-0,75	-0,08	1,15	0,04

Dílec	css	dx [mm]	Stav	N [kN]	Vz [kN]	My [kNm]	Mz [kNm]
B80	PR1 - lw	1694,120	LC3.1	-13,39	0,00	-6,78	0,51
B80	PR1 - lw	1694,120	LC3.2	13,39	0,00	6,78	-0,51
B80	PR1 - lw	1694,120	LC3.3	-8,16	0,00	-4,45	0,31
B80	PR1 - lw	1694,120	LC3.4	8,12	0,00	4,11	-0,31
B80	PR1 - lw	1694,120	LC4.1	5,56	-0,32	-1,13	-1,72
B80	PR1 - lw	1694,120	LC4.2	16,72	-0,93	-3,35	-4,65
B80	PR1 - lw	1694,120	LC4.3	27,84	-1,06	-5,19	-6,28
B80	PR1 - lw	1694,120	LC4.4	35,73	-1,86	-7,05	-5,77
B80	PR1 - lw	1694,120	LC4.5	43,19	-11,69	-16,02	-3,55
B80	PR1 - lw	1694,120	LC5.1	-26,33	9,44	11,61	4,29
B80	PR1 - lw	1694,120	LC5.2	25,15	-9,44	-11,42	-4,30
B80	PR1 - lw	1800,000	LC1	-1,43	-0,87	2,22	0,06
B80	PR1 - lw	1800,000	LC2	-0,75	-0,08	1,15	0,04
B80	PR1 - lw	1800,000	LC3.1	-13,39	0,00	-6,78	0,51
B80	PR1 - lw	1800,000	LC3.2	13,39	0,00	6,78	-0,51
B80	PR1 - lw	1800,000	LC3.3	-8,16	0,00	-4,45	0,31
B80	PR1 - lw	1800,000	LC3.4	8,12	0,00	4,11	-0,31
B80	PR1 - lw	1800,000	LC4.1	5,56	-0,32	-1,16	-1,95
B80	PR1 - lw	1800,000	LC4.2	16,72	-0,93	-3,45	-5,27
B80	PR1 - lw	1800,000	LC4.3	27,84	-1,06	-5,30	-7,11
B80	PR1 - lw	1800,000	LC4.4	35,73	-1,86	-7,25	-6,53
B80	PR1 - lw	1800,000	LC4.5	43,19	-11,69	-17,26	-4,01
B80	PR1 - lw	1800,000	LC5.1	-26,33	9,44	12,61	4,86
B80	PR1 - lw	1800,000	LC5.2	25,15	-9,44	-12,42	-4,87

4.15. Vnitřní síly-koncový příčník-PR2-UIC

Lineární výpočet, Extrém : Globální, Systém : Hlavní

Výběr : Pojmenovaný výběr - koncpricniky

Třída : ZS UIC

Průřez : PR2 - lwn (493; 10; 200; 20; 710; 20; 453; 0)

Dílec	css	dx [mm]	Stav	N [kN]	Vz [kN]	My [kNm]	Mz [kNm]
B39	PR2 - lwn	0,000	LC104	-19,23	78,45	5,71	20,82
B78	PR2 - lwn	0,000	LC109	-11,25	-155,16	91,89	1,93
B74	PR2 - lwn	0,000	LC109	-11,40	155,14	2,71	-14,38
B78	PR2 - lwn	575,000	LC109	-11,25	-155,16	2,67	-14,98
B39	PR2 - lwn	575,000	LC101	-15,19	153,04	92,06	-2,23
B78	PR2 - lwn	575,000	LC105	-16,17	-70,10	4,59	-18,92
B39	PR2 - lwn	0,000	LC105	-18,22	65,09	5,36	21,46

4.16. Vnitřní síly-koncový příčník-PR2-neUIC

Lineární výpočet, Extrém : Ne, Systém : Hlavní

Výběr : Pojmenovaný výběr - koncpricniky

Třída : ZS neUIC

Průřez : PR2 - lwn (493; 10; 200; 20; 710; 20; 453; 0)

Dílec	css	dx [mm]	Stav	N [kN]	Vz [kN]	My [kNm]	Mz [kNm]
B39	PR2 - lwn	0,000	LC1	-1,46	4,44	0,09	1,81
B39	PR2 - lwn	0,000	LC2	-0,76	4,01	-0,98	0,92
B39	PR2 - lwn	0,000	LC3.1	9,05	15,87	-2,53	-10,15
B39	PR2 - lwn	0,000	LC3.2	-9,05	-15,87	2,53	10,15
B39	PR2 - lwn	0,000	LC3.3	5,47	9,62	-1,53	-6,14
B39	PR2 - lwn	0,000	LC3.4	-5,49	-9,62	1,53	6,15
B39	PR2 - lwn	0,000	LC4.1	15,98	9,34	-4,26	-11,70
B39	PR2 - lwn	0,000	LC4.2	28,29	0,38	-7,64	-24,70
B39	PR2 - lwn	0,000	LC4.3	17,72	0,92	-4,90	-17,66
B39	PR2 - lwn	0,000	LC4.4	10,73	0,65	-2,99	-11,02
B39	PR2 - lwn	0,000	LC4.5	4,24	0,23	-1,18	-4,40
B39	PR2 - lwn	0,000	LC5.1	-16,77	-12,26	4,81	14,00
B39	PR2 - lwn	0,000	LC5.2	15,61	12,26	-4,49	-13,79
B39	PR2 - lwn	115,000	LC1	-1,46	4,24	0,59	1,41
B39	PR2 - lwn	115,000	LC2	-0,76	4,01	-0,52	0,72
B39	PR2 - lwn	115,000	LC3.1	9,05	15,87	-0,71	-7,96
B39	PR2 - lwn	115,000	LC3.2	-9,05	-15,87	0,71	7,96
B39	PR2 - lwn	115,000	LC3.3	5,47	9,62	-0,42	-4,81
B39	PR2 - lwn	115,000	LC3.4	-5,49	-9,62	0,43	4,82
B39	PR2 - lwn	115,000	LC4.1	15,98	9,34	-3,19	-7,56
B39	PR2 - lwn	115,000	LC4.2	28,29	0,38	-7,60	-20,60
B39	PR2 - lwn	115,000	LC4.3	17,72	0,92	-4,80	-14,92
B39	PR2 - lwn	115,000	LC4.4	10,73	0,65	-2,92	-9,39
B39	PR2 - lwn	115,000	LC4.5	4,24	0,23	-1,16	-3,78
B39	PR2 - lwn	115,000	LC5.1	-16,77	-12,26	3,40	11,62
B39	PR2 - lwn	115,000	LC5.2	15,61	12,26	-3,08	-11,45

Dilec	css	dx [mm]	Stav	N [kN]	Vz [kN]	My [kNm]	Mz [kNm]
B39	PR2 - lwn	230,000	LC1	-1,46	4,03	1,07	1,01
B39	PR2 - lwn	230,000	LC2	-0,76	4,01	-0,06	0,51
B39	PR2 - lwn	230,000	LC3.1	9,05	15,87	1,12	-5,76
B39	PR2 - lwn	230,000	LC3.2	-9,05	-15,87	-1,12	5,76
B39	PR2 - lwn	230,000	LC3.3	5,47	9,62	0,68	-3,48
B39	PR2 - lwn	230,000	LC3.4	-5,49	-9,62	-0,68	3,49
B39	PR2 - lwn	230,000	LC4.1	15,98	9,34	-2,11	-3,42
B39	PR2 - lwn	230,000	LC4.2	28,29	0,38	-7,55	-16,50
B39	PR2 - lwn	230,000	LC4.3	17,72	0,92	-4,69	-12,19
B39	PR2 - lwn	230,000	LC4.4	10,73	0,65	-2,84	-7,75
B39	PR2 - lwn	230,000	LC4.5	4,24	0,23	-1,13	-3,15
B39	PR2 - lwn	230,000	LC5.1	-16,77	-12,26	1,99	9,25
B39	PR2 - lwn	230,000	LC5.2	15,61	12,26	-1,67	-9,12
B39	PR2 - lwn	287,490	LC1	-1,46	3,93	1,30	0,80
B39	PR2 - lwn	287,490	LC2	-0,76	4,01	0,18	0,41
B39	PR2 - lwn	287,490	LC3.1	9,05	15,87	2,03	-4,66
B39	PR2 - lwn	287,490	LC3.2	-9,05	-15,87	-2,03	4,66
B39	PR2 - lwn	287,490	LC3.3	5,47	9,62	1,24	-2,82
B39	PR2 - lwn	287,490	LC3.4	-5,49	-9,62	-1,23	2,83
B39	PR2 - lwn	287,490	LC4.1	15,98	9,34	-1,58	-1,35
B39	PR2 - lwn	287,490	LC4.2	28,29	0,38	-7,53	-14,45
B39	PR2 - lwn	287,490	LC4.3	17,72	0,92	-4,64	-10,82
B39	PR2 - lwn	287,490	LC4.4	10,73	0,65	-2,80	-6,93
B39	PR2 - lwn	287,490	LC4.5	4,24	0,23	-1,12	-2,83
B39	PR2 - lwn	287,490	LC5.1	-16,77	-12,26	1,28	8,06
B39	PR2 - lwn	287,490	LC5.2	15,61	12,26	-0,96	-7,95
B39	PR2 - lwn	287,510	LC1	-1,46	3,93	1,30	0,80
B39	PR2 - lwn	287,510	LC2	-0,76	4,01	0,18	0,41
B39	PR2 - lwn	287,510	LC3.1	9,05	15,87	2,03	-4,66
B39	PR2 - lwn	287,510	LC3.2	-9,05	-15,87	-2,03	4,66
B39	PR2 - lwn	287,510	LC3.3	5,47	9,62	1,24	-2,82
B39	PR2 - lwn	287,510	LC3.4	-5,49	-9,62	-1,23	2,83
B39	PR2 - lwn	287,510	LC4.1	15,98	9,34	-1,58	-1,35
B39	PR2 - lwn	287,510	LC4.2	28,29	0,38	-7,53	-14,45
B39	PR2 - lwn	287,510	LC4.3	17,72	0,92	-4,64	-10,82
B39	PR2 - lwn	287,510	LC4.4	10,73	0,65	-2,80	-6,93
B39	PR2 - lwn	287,510	LC4.5	4,24	0,23	-1,12	-2,83
B39	PR2 - lwn	287,510	LC5.1	-16,77	-12,26	1,28	8,06
B39	PR2 - lwn	287,510	LC5.2	15,61	12,26	-0,96	-7,95
B39	PR2 - lwn	345,000	LC1	-1,46	3,83	1,52	0,60
B39	PR2 - lwn	345,000	LC2	-0,76	4,01	0,41	0,31
B39	PR2 - lwn	345,000	LC3.1	9,05	15,87	2,94	-3,56
B39	PR2 - lwn	345,000	LC3.2	-9,05	-15,87	-2,94	3,56
B39	PR2 - lwn	345,000	LC3.3	5,47	9,62	1,79	-2,16
B39	PR2 - lwn	345,000	LC3.4	-5,49	-9,62	-1,78	2,16
B39	PR2 - lwn	345,000	LC4.1	15,98	9,34	-1,04	0,72
B39	PR2 - lwn	345,000	LC4.2	28,29	0,38	-7,51	-12,40
B39	PR2 - lwn	345,000	LC4.3	17,72	0,92	-4,58	-9,45
B39	PR2 - lwn	345,000	LC4.4	10,73	0,65	-2,77	-6,11
B39	PR2 - lwn	345,000	LC4.5	4,24	0,23	-1,10	-2,52
B39	PR2 - lwn	345,000	LC5.1	-16,77	-12,26	0,58	6,87
B39	PR2 - lwn	345,000	LC5.2	15,61	12,26	-0,26	-6,78
B39	PR2 - lwn	460,000	LC1	-1,46	3,63	1,95	0,20
B39	PR2 - lwn	460,000	LC2	-0,76	4,01	0,87	0,10
B39	PR2 - lwn	460,000	LC3.1	9,05	15,87	4,77	-1,37
B39	PR2 - lwn	460,000	LC3.2	-9,05	-15,87	-4,77	1,37
B39	PR2 - lwn	460,000	LC3.3	5,47	9,62	2,90	-0,83
B39	PR2 - lwn	460,000	LC3.4	-5,49	-9,62	-2,89	0,83
B39	PR2 - lwn	460,000	LC4.1	15,98	9,34	0,03	4,87
B39	PR2 - lwn	460,000	LC4.2	28,29	0,38	-7,47	-8,30
B39	PR2 - lwn	460,000	LC4.3	17,72	0,92	-4,48	-6,72
B39	PR2 - lwn	460,000	LC4.4	10,73	0,65	-2,69	-4,48
B39	PR2 - lwn	460,000	LC4.5	4,24	0,23	-1,08	-1,89
B39	PR2 - lwn	460,000	LC5.1	-16,77	-12,26	-0,83	4,49
B39	PR2 - lwn	460,000	LC5.2	15,61	12,26	1,15	-4,44
B39	PR2 - lwn	575,000	LC1	-1,46	3,43	2,36	-0,20
B39	PR2 - lwn	575,000	LC2	-0,76	4,01	1,33	-0,10
B39	PR2 - lwn	575,000	LC3.1	9,05	15,87	6,59	0,83
B39	PR2 - lwn	575,000	LC3.2	-9,05	-15,87	-6,59	-0,83
B39	PR2 - lwn	575,000	LC3.3	5,47	9,62	4,00	0,50
B39	PR2 - lwn	575,000	LC3.4	-5,49	-9,62	-4,00	-0,50
B39	PR2 - lwn	575,000	LC4.1	15,98	9,34	1,11	9,01
B39	PR2 - lwn	575,000	LC4.2	28,29	0,38	-7,42	-4,20
B39	PR2 - lwn	575,000	LC4.3	17,72	0,92	-4,37	-3,98
B39	PR2 - lwn	575,000	LC4.4	10,73	0,65	-2,62	-2,84
B39	PR2 - lwn	575,000	LC4.5	4,24	0,23	-1,05	-1,27

Dilec	css	dx [mm]	Stav	N [kN]	Vz [kN]	My [kNm]	Mz [kNm]
B39	PR2 - lwn	575,000	LC5.1	-16,77	-12,26	-2,24	2,12
B39	PR2 - lwn	575,000	LC5.2	15,61	12,26	2,56	-2,10
B43	PR2 - lwn	0,000	LC1	-1,46	-3,43	2,36	-0,20
B43	PR2 - lwn	0,000	LC2	-0,75	-4,18	1,19	-0,12
B43	PR2 - lwn	0,000	LC3.1	9,07	-15,87	6,59	0,87
B43	PR2 - lwn	0,000	LC3.2	-9,07	15,87	-6,59	-0,87
B43	PR2 - lwn	0,000	LC3.3	5,49	-9,63	4,00	0,53
B43	PR2 - lwn	0,000	LC3.4	-5,50	9,62	-3,99	-0,53
B43	PR2 - lwn	0,000	LC4.1	69,18	8,85	-23,41	-8,72
B43	PR2 - lwn	0,000	LC4.2	34,54	0,03	-9,04	4,41
B43	PR2 - lwn	0,000	LC4.3	22,86	0,71	-6,27	4,11
B43	PR2 - lwn	0,000	LC4.4	14,07	0,53	-3,89	2,91
B43	PR2 - lwn	0,000	LC4.5	5,64	0,21	-1,56	1,29
B43	PR2 - lwn	0,000	LC5.1	-33,47	-12,00	15,43	-2,26
B43	PR2 - lwn	0,000	LC5.2	32,30	12,00	-15,11	2,28
B43	PR2 - lwn	115,000	LC1	-1,46	-3,63	1,95	0,20
B43	PR2 - lwn	115,000	LC2	-0,75	-4,18	0,71	0,09
B43	PR2 - lwn	115,000	LC3.1	9,07	-15,87	4,76	-1,32
B43	PR2 - lwn	115,000	LC3.2	-9,07	15,87	-4,76	1,32
B43	PR2 - lwn	115,000	LC3.3	5,49	-9,63	2,89	-0,79
B43	PR2 - lwn	115,000	LC3.4	-5,50	9,62	-2,89	0,80
B43	PR2 - lwn	115,000	LC4.1	69,18	8,85	-22,39	-4,17
B43	PR2 - lwn	115,000	LC4.2	34,54	0,03	-9,04	8,81
B43	PR2 - lwn	115,000	LC4.3	22,86	0,71	-6,19	7,05
B43	PR2 - lwn	115,000	LC4.4	14,07	0,53	-3,83	4,69
B43	PR2 - lwn	115,000	LC4.5	5,64	0,21	-1,53	1,99
B43	PR2 - lwn	115,000	LC5.1	-33,47	-12,00	14,05	-4,84
B43	PR2 - lwn	115,000	LC5.2	32,30	12,00	-13,73	4,90
B43	PR2 - lwn	230,000	LC1	-1,46	-3,83	1,52	0,60
B43	PR2 - lwn	230,000	LC2	-0,75	-4,18	0,22	0,30
B43	PR2 - lwn	230,000	LC3.1	9,07	-15,87	2,94	-3,51
B43	PR2 - lwn	230,000	LC3.2	-9,07	15,87	-2,94	3,51
B43	PR2 - lwn	230,000	LC3.3	5,49	-9,63	1,79	-2,12
B43	PR2 - lwn	230,000	LC3.4	-5,50	9,62	-1,78	2,13
B43	PR2 - lwn	230,000	LC4.1	69,18	8,85	-21,37	0,37
B43	PR2 - lwn	230,000	LC4.2	34,54	0,03	-9,03	13,22
B43	PR2 - lwn	230,000	LC4.3	22,86	0,71	-6,10	10,00
B43	PR2 - lwn	230,000	LC4.4	14,07	0,53	-3,77	6,46
B43	PR2 - lwn	230,000	LC4.5	5,64	0,21	-1,51	2,69
B43	PR2 - lwn	230,000	LC5.1	-33,47	-12,00	12,67	-7,43
B43	PR2 - lwn	230,000	LC5.2	32,30	12,00	-12,35	7,52
B43	PR2 - lwn	287,490	LC1	-1,46	-3,93	1,30	0,80
B43	PR2 - lwn	287,490	LC2	-0,75	-4,18	-0,02	0,40
B43	PR2 - lwn	287,490	LC3.1	9,07	-15,87	2,03	-4,60
B43	PR2 - lwn	287,490	LC3.2	-9,07	15,87	-2,03	4,60
B43	PR2 - lwn	287,490	LC3.3	5,49	-9,63	1,23	-2,78
B43	PR2 - lwn	287,490	LC3.4	-5,50	9,62	-1,23	2,79
B43	PR2 - lwn	287,490	LC4.1	69,18	8,85	-20,86	2,65
B43	PR2 - lwn	287,490	LC4.2	34,54	0,03	-9,03	15,42
B43	PR2 - lwn	287,490	LC4.3	22,86	0,71	-6,06	11,47
B43	PR2 - lwn	287,490	LC4.4	14,07	0,53	-3,74	7,35
B43	PR2 - lwn	287,490	LC4.5	5,64	0,21	-1,50	3,04
B43	PR2 - lwn	287,490	LC5.1	-33,47	-12,00	11,98	-8,72
B43	PR2 - lwn	287,490	LC5.2	32,30	12,00	-11,66	8,83
B43	PR2 - lwn	287,510	LC1	-1,46	-3,93	1,30	0,80
B43	PR2 - lwn	287,510	LC2	-0,75	-4,18	-0,02	0,40
B43	PR2 - lwn	287,510	LC3.1	9,07	-15,87	2,03	-4,60
B43	PR2 - lwn	287,510	LC3.2	-9,07	15,87	-2,03	4,60
B43	PR2 - lwn	287,510	LC3.3	5,49	-9,63	1,23	-2,78
B43	PR2 - lwn	287,510	LC3.4	-5,50	9,62	-1,23	2,79
B43	PR2 - lwn	287,510	LC4.1	69,18	8,85	-20,86	2,65
B43	PR2 - lwn	287,510	LC4.2	34,54	0,03	-9,03	15,42
B43	PR2 - lwn	287,510	LC4.3	22,86	0,71	-6,06	11,47
B43	PR2 - lwn	287,510	LC4.4	14,07	0,53	-3,74	7,35
B43	PR2 - lwn	287,510	LC4.5	5,64	0,21	-1,50	3,04
B43	PR2 - lwn	287,510	LC5.1	-33,47	-12,00	11,98	-8,72
B43	PR2 - lwn	287,510	LC5.2	32,30	12,00	-11,66	8,83
B43	PR2 - lwn	345,000	LC1	-1,46	-4,03	1,07	1,01
B43	PR2 - lwn	345,000	LC2	-0,75	-4,18	-0,26	0,51
B43	PR2 - lwn	345,000	LC3.1	9,07	-15,87	1,11	-5,70
B43	PR2 - lwn	345,000	LC3.2	-9,07	15,87	-1,11	5,70
B43	PR2 - lwn	345,000	LC3.3	5,49	-9,63	0,68	-3,44
B43	PR2 - lwn	345,000	LC3.4	-5,50	9,62	-0,67	3,45
B43	PR2 - lwn	345,000	LC4.1	69,18	8,85	-20,36	4,92
B43	PR2 - lwn	345,000	LC4.2	34,54	0,03	-9,03	17,62
B43	PR2 - lwn	345,000	LC4.3	22,86	0,71	-6,02	12,94

Dilec	css	dx [mm]	Stav	N [kN]	Vz [kN]	My [kNm]	Mz [kNm]
B43	PR2 - lwn	345,000	LC4.4	14,07	0,53	-3,71	8,24
B43	PR2 - lwn	345,000	LC4.5	5,64	0,21	-1,48	3,38
B43	PR2 - lwn	345,000	LC5.1	-33,47	-12,00	11,29	-10,01
B43	PR2 - lwn	345,000	LC5.2	32,30	12,00	-10,97	10,15
B43	PR2 - lwn	460,000	LC1	-1,46	-4,24	0,59	1,41
B43	PR2 - lwn	460,000	LC2	-0,75	-4,18	-0,74	0,72
B43	PR2 - lwn	460,000	LC3.1	9,07	-15,87	-0,71	-7,89
B43	PR2 - lwn	460,000	LC3.2	-9,07	15,87	0,71	7,89
B43	PR2 - lwn	460,000	LC3.3	5,49	-9,63	-0,43	-4,77
B43	PR2 - lwn	460,000	LC3.4	-5,50	9,62	0,43	4,78
B43	PR2 - lwn	460,000	LC4.1	69,18	8,85	-19,34	9,47
B43	PR2 - lwn	460,000	LC4.2	34,54	0,03	-9,03	22,03
B43	PR2 - lwn	460,000	LC4.3	22,86	0,71	-5,94	15,88
B43	PR2 - lwn	460,000	LC4.4	14,07	0,53	-3,65	10,01
B43	PR2 - lwn	460,000	LC4.5	5,64	0,21	-1,46	4,08
B43	PR2 - lwn	460,000	LC5.1	-33,47	-12,00	9,91	-12,60
B43	PR2 - lwn	460,000	LC5.2	32,30	12,00	-9,59	12,77
B43	PR2 - lwn	575,000	LC1	-1,46	-4,44	0,09	1,81
B43	PR2 - lwn	575,000	LC2	-0,75	-4,18	-1,22	0,92
B43	PR2 - lwn	575,000	LC3.1	9,07	-15,87	-2,54	-10,08
B43	PR2 - lwn	575,000	LC3.2	-9,07	15,87	2,54	10,08
B43	PR2 - lwn	575,000	LC3.3	5,49	-9,63	-1,53	-6,09
B43	PR2 - lwn	575,000	LC3.4	-5,50	9,62	1,54	6,11
B43	PR2 - lwn	575,000	LC4.1	69,18	8,85	-18,32	14,02
B43	PR2 - lwn	575,000	LC4.2	34,54	0,03	-9,02	26,44
B43	PR2 - lwn	575,000	LC4.3	22,86	0,71	-5,86	18,82
B43	PR2 - lwn	575,000	LC4.4	14,07	0,53	-3,59	11,79
B43	PR2 - lwn	575,000	LC4.5	5,64	0,21	-1,43	4,78
B43	PR2 - lwn	575,000	LC5.1	-33,47	-12,00	8,53	-15,18
B43	PR2 - lwn	575,000	LC5.2	32,30	12,00	-8,21	15,39
B74	PR2 - lwn	0,000	LC1	-1,30	4,53	0,05	-1,65
B74	PR2 - lwn	0,000	LC2	-0,68	4,11	-1,00	-0,83
B74	PR2 - lwn	0,000	LC3.1	-12,58	-15,46	3,46	-15,55
B74	PR2 - lwn	0,000	LC3.2	12,58	15,46	-3,46	15,55
B74	PR2 - lwn	0,000	LC3.3	-7,67	-10,00	2,12	-9,45
B74	PR2 - lwn	0,000	LC3.4	7,63	9,37	-2,10	9,42
B74	PR2 - lwn	0,000	LC4.1	4,76	0,22	-1,32	4,78
B74	PR2 - lwn	0,000	LC4.2	14,46	0,73	-4,00	14,24
B74	PR2 - lwn	0,000	LC4.3	24,49	0,60	-6,71	22,85
B74	PR2 - lwn	0,000	LC4.4	32,11	1,68	-8,65	27,79
B74	PR2 - lwn	0,000	LC4.5	16,42	9,38	-4,38	12,33
B74	PR2 - lwn	0,000	LC5.1	-17,77	-12,57	5,08	-14,90
B74	PR2 - lwn	0,000	LC5.2	16,58	12,57	-4,76	14,70
B74	PR2 - lwn	115,000	LC1	-1,30	4,33	0,56	-1,28
B74	PR2 - lwn	115,000	LC2	-0,68	4,11	-0,53	-0,65
B74	PR2 - lwn	115,000	LC3.1	-12,58	-15,46	1,68	-12,17
B74	PR2 - lwn	115,000	LC3.2	12,58	15,46	-1,68	12,17
B74	PR2 - lwn	115,000	LC3.3	-7,67	-10,00	0,97	-7,40
B74	PR2 - lwn	115,000	LC3.4	7,63	9,37	-1,02	7,37
B74	PR2 - lwn	115,000	LC4.1	4,76	0,22	-1,30	4,13
B74	PR2 - lwn	115,000	LC4.2	14,46	0,73	-3,91	12,21
B74	PR2 - lwn	115,000	LC4.3	24,49	0,60	-6,64	19,32
B74	PR2 - lwn	115,000	LC4.4	32,11	1,68	-8,45	23,09
B74	PR2 - lwn	115,000	LC4.5	16,42	9,38	-3,30	8,11
B74	PR2 - lwn	115,000	LC5.1	-17,77	-12,57	3,64	-12,44
B74	PR2 - lwn	115,000	LC5.2	16,58	12,57	-3,32	12,27
B74	PR2 - lwn	230,000	LC1	-1,30	4,13	1,04	-0,92
B74	PR2 - lwn	230,000	LC2	-0,68	4,11	-0,06	-0,46
B74	PR2 - lwn	230,000	LC3.1	-12,58	-15,46	-0,10	-8,79
B74	PR2 - lwn	230,000	LC3.2	12,58	15,46	0,10	8,79
B74	PR2 - lwn	230,000	LC3.3	-7,67	-10,00	-0,18	-5,34
B74	PR2 - lwn	230,000	LC3.4	7,63	9,37	0,06	5,32
B74	PR2 - lwn	230,000	LC4.1	4,76	0,22	-1,27	3,48
B74	PR2 - lwn	230,000	LC4.2	14,46	0,73	-3,83	10,17
B74	PR2 - lwn	230,000	LC4.3	24,49	0,60	-6,57	15,80
B74	PR2 - lwn	230,000	LC4.4	32,11	1,68	-8,26	18,40
B74	PR2 - lwn	230,000	LC4.5	16,42	9,38	-2,22	3,90
B74	PR2 - lwn	230,000	LC5.1	-17,77	-12,57	2,19	-9,98
B74	PR2 - lwn	230,000	LC5.2	16,58	12,57	-1,87	9,85
B74	PR2 - lwn	287,490	LC1	-1,30	4,03	1,28	-0,73
B74	PR2 - lwn	287,490	LC2	-0,68	4,11	0,18	-0,37
B74	PR2 - lwn	287,490	LC3.1	-12,58	-15,46	-0,98	-7,10
B74	PR2 - lwn	287,490	LC3.2	12,58	15,46	0,98	7,10
B74	PR2 - lwn	287,490	LC3.3	-7,67	-10,00	-0,76	-4,32
B74	PR2 - lwn	287,490	LC3.4	7,63	9,37	0,60	4,30
B74	PR2 - lwn	287,490	LC4.1	4,76	0,22	-1,26	3,16

Dilec	css	dx [mm]	Stav	N [kN]	Vz [kN]	My [kNm]	Mz [kNm]
B74	PR2 - lwn	287,490	LC4.2	14,46	0,73	-3,79	9,16
B74	PR2 - lwn	287,490	LC4.3	24,49	0,60	-6,53	14,04
B74	PR2 - lwn	287,490	LC4.4	32,11	1,68	-8,16	16,05
B74	PR2 - lwn	287,490	LC4.5	16,42	9,38	-1,68	1,79
B74	PR2 - lwn	287,490	LC5.1	-17,77	-12,57	1,47	-8,75
B74	PR2 - lwn	287,490	LC5.2	16,58	12,57	-1,15	8,64
B74	PR2 - lwn	287,510	LC1	-1,30	4,03	1,28	-0,73
B74	PR2 - lwn	287,510	LC2	-0,68	4,11	0,18	-0,37
B74	PR2 - lwn	287,510	LC3.1	-12,58	-15,46	-0,98	-7,10
B74	PR2 - lwn	287,510	LC3.2	12,58	15,46	0,98	7,10
B74	PR2 - lwn	287,510	LC3.3	-7,67	-10,00	-0,76	-4,32
B74	PR2 - lwn	287,510	LC3.4	7,63	9,37	0,60	4,30
B74	PR2 - lwn	287,510	LC4.1	4,76	0,22	-1,26	3,16
B74	PR2 - lwn	287,510	LC4.2	14,46	0,73	-3,79	9,16
B74	PR2 - lwn	287,510	LC4.3	24,49	0,60	-6,53	14,04
B74	PR2 - lwn	287,510	LC4.4	32,11	1,68	-8,16	16,05
B74	PR2 - lwn	287,510	LC4.5	16,42	9,38	-1,68	1,79
B74	PR2 - lwn	287,510	LC5.1	-17,77	-12,57	1,47	-8,75
B74	PR2 - lwn	287,510	LC5.2	16,58	12,57	-1,15	8,64
B74	PR2 - lwn	345,000	LC1	-1,30	3,93	1,51	-0,55
B74	PR2 - lwn	345,000	LC2	-0,68	4,11	0,42	-0,28
B74	PR2 - lwn	345,000	LC3.1	-12,58	-15,46	-1,87	-5,40
B74	PR2 - lwn	345,000	LC3.2	12,58	15,46	1,87	5,40
B74	PR2 - lwn	345,000	LC3.3	-7,67	-10,00	-1,33	-3,29
B74	PR2 - lwn	345,000	LC3.4	7,63	9,37	1,13	3,28
B74	PR2 - lwn	345,000	LC4.1	4,76	0,22	-1,25	2,84
B74	PR2 - lwn	345,000	LC4.2	14,46	0,73	-3,75	8,14
B74	PR2 - lwn	345,000	LC4.3	24,49	0,60	-6,50	12,28
B74	PR2 - lwn	345,000	LC4.4	32,11	1,68	-8,07	13,71
B74	PR2 - lwn	345,000	LC4.5	16,42	9,38	-1,14	-0,32
B74	PR2 - lwn	345,000	LC5.1	-17,77	-12,57	0,75	-7,52
B74	PR2 - lwn	345,000	LC5.2	16,58	12,57	-0,43	7,43
B74	PR2 - lwn	460,000	LC1	-1,30	3,73	1,95	-0,18
B74	PR2 - lwn	460,000	LC2	-0,68	4,11	0,89	-0,09
B74	PR2 - lwn	460,000	LC3.1	-12,58	-15,46	-3,65	-2,02
B74	PR2 - lwn	460,000	LC3.2	12,58	15,46	3,65	2,02
B74	PR2 - lwn	460,000	LC3.3	-7,67	-10,00	-2,48	-1,24
B74	PR2 - lwn	460,000	LC3.4	7,63	9,37	2,21	1,23
B74	PR2 - lwn	460,000	LC4.1	4,76	0,22	-1,22	2,19
B74	PR2 - lwn	460,000	LC4.2	14,46	0,73	-3,66	6,10
B74	PR2 - lwn	460,000	LC4.3	24,49	0,60	-6,43	8,76
B74	PR2 - lwn	460,000	LC4.4	32,11	1,68	-7,87	9,01
B74	PR2 - lwn	460,000	LC4.5	16,42	9,38	-0,07	-4,53
B74	PR2 - lwn	460,000	LC5.1	-17,77	-12,57	-0,70	-5,07
B74	PR2 - lwn	460,000	LC5.2	16,58	12,57	1,02	5,01
B74	PR2 - lwn	575,000	LC1	-1,30	3,52	2,36	0,19
B74	PR2 - lwn	575,000	LC2	-0,68	4,11	1,36	0,09
B74	PR2 - lwn	575,000	LC3.1	-12,58	-15,46	-5,43	1,36
B74	PR2 - lwn	575,000	LC3.2	12,58	15,46	5,43	-1,36
B74	PR2 - lwn	575,000	LC3.3	-7,67	-10,00	-3,63	0,81
B74	PR2 - lwn	575,000	LC3.4	7,63	9,37	3,29	-0,82
B74	PR2 - lwn	575,000	LC4.1	4,76	0,22	-1,19	1,54
B74	PR2 - lwn	575,000	LC4.2	14,46	0,73	-3,58	4,07
B74	PR2 - lwn	575,000	LC4.3	24,49	0,60	-6,36	5,24
B74	PR2 - lwn	575,000	LC4.4	32,11	1,68	-7,68	4,32
B74	PR2 - lwn	575,000	LC4.5	16,42	9,38	1,01	-8,75
B74	PR2 - lwn	575,000	LC5.1	-17,77	-12,57	-2,14	-2,61
B74	PR2 - lwn	575,000	LC5.2	16,58	12,57	2,46	2,59
B78	PR2 - lwn	0,000	LC1	-1,30	-3,53	2,36	0,19
B78	PR2 - lwn	0,000	LC2	-0,68	-4,28	1,22	0,11
B78	PR2 - lwn	0,000	LC3.1	-12,60	15,46	-5,42	1,40
B78	PR2 - lwn	0,000	LC3.2	12,60	-15,46	5,42	-1,40
B78	PR2 - lwn	0,000	LC3.3	-7,69	10,00	-3,63	0,84
B78	PR2 - lwn	0,000	LC3.4	7,64	-9,37	3,29	-0,85
B78	PR2 - lwn	0,000	LC4.1	6,35	0,20	-1,74	-1,57
B78	PR2 - lwn	0,000	LC4.2	18,96	0,58	-5,19	-4,17
B78	PR2 - lwn	0,000	LC4.3	31,15	0,32	-8,23	-5,41
B78	PR2 - lwn	0,000	LC4.4	39,29	1,30	-11,04	-4,55
B78	PR2 - lwn	0,000	LC4.5	69,89	8,91	-23,63	8,47
B78	PR2 - lwn	0,000	LC5.1	-34,86	-12,31	15,96	2,75
B78	PR2 - lwn	0,000	LC5.2	33,67	12,31	-15,64	-2,77
B78	PR2 - lwn	115,000	LC1	-1,30	-3,73	1,95	-0,18
B78	PR2 - lwn	115,000	LC2	-0,68	-4,28	0,73	-0,08
B78	PR2 - lwn	115,000	LC3.1	-12,60	15,46	-3,65	-1,97
B78	PR2 - lwn	115,000	LC3.2	12,60	-15,46	3,65	1,97
B78	PR2 - lwn	115,000	LC3.3	-7,69	10,00	-2,48	-1,21

Dilec	css	dx [mm]	Stav	N [kN]	Vz [kN]	My [kNm]	Mz [kNm]
B78	PR2 - lwn	115,000	LC3.4	7,64	-9,37	2,21	1,20
B78	PR2 - lwn	115,000	LC4.1	6,35	0,20	-1,72	-2,30
B78	PR2 - lwn	115,000	LC4.2	18,96	0,58	-5,13	-6,39
B78	PR2 - lwn	115,000	LC4.3	31,15	0,32	-8,19	-9,22
B78	PR2 - lwn	115,000	LC4.4	39,29	1,30	-10,89	-9,61
B78	PR2 - lwn	115,000	LC4.5	69,89	8,91	-22,61	3,82
B78	PR2 - lwn	115,000	LC5.1	-34,86	-12,31	14,54	5,44
B78	PR2 - lwn	115,000	LC5.2	33,67	12,31	-14,22	-5,50
B78	PR2 - lwn	230,000	LC1	-1,30	-3,93	1,51	-0,55
B78	PR2 - lwn	230,000	LC2	-0,68	-4,28	0,24	-0,27
B78	PR2 - lwn	230,000	LC3.1	-12,60	15,46	-1,87	-5,35
B78	PR2 - lwn	230,000	LC3.2	12,60	-15,46	1,87	5,35
B78	PR2 - lwn	230,000	LC3.3	-7,69	10,00	-1,33	-3,25
B78	PR2 - lwn	230,000	LC3.4	7,64	-9,37	1,13	3,24
B78	PR2 - lwn	230,000	LC4.1	6,35	0,20	-1,69	-3,02
B78	PR2 - lwn	230,000	LC4.2	18,96	0,58	-5,06	-8,61
B78	PR2 - lwn	230,000	LC4.3	31,15	0,32	-8,16	-13,03
B78	PR2 - lwn	230,000	LC4.4	39,29	1,30	-10,74	-14,66
B78	PR2 - lwn	230,000	LC4.5	69,89	8,91	-21,58	-0,83
B78	PR2 - lwn	230,000	LC5.1	-34,86	-12,31	13,13	8,13
B78	PR2 - lwn	230,000	LC5.2	33,67	12,31	-12,81	-8,23
B78	PR2 - lwn	287,490	LC1	-1,30	-4,03	1,28	-0,73
B78	PR2 - lwn	287,490	LC2	-0,68	-4,28	-0,01	-0,36
B78	PR2 - lwn	287,490	LC3.1	-12,60	15,46	-0,98	-7,04
B78	PR2 - lwn	287,490	LC3.2	12,60	-15,46	0,98	7,04
B78	PR2 - lwn	287,490	LC3.3	-7,69	10,00	-0,75	-4,28
B78	PR2 - lwn	287,490	LC3.4	7,64	-9,37	0,59	4,26
B78	PR2 - lwn	287,490	LC4.1	6,35	0,20	-1,68	-3,38
B78	PR2 - lwn	287,490	LC4.2	18,96	0,58	-5,03	-9,72
B78	PR2 - lwn	287,490	LC4.3	31,15	0,32	-8,14	-14,94
B78	PR2 - lwn	287,490	LC4.4	39,29	1,30	-10,66	-17,19
B78	PR2 - lwn	287,490	LC4.5	69,89	8,91	-21,07	-3,15
B78	PR2 - lwn	287,490	LC5.1	-34,86	-12,31	12,42	9,48
B78	PR2 - lwn	287,490	LC5.2	33,67	12,31	-12,10	-9,59
B78	PR2 - lwn	287,510	LC1	-1,30	-4,03	1,28	-0,73
B78	PR2 - lwn	287,510	LC2	-0,68	-4,28	-0,01	-0,36
B78	PR2 - lwn	287,510	LC3.1	-12,60	15,46	-0,98	-7,04
B78	PR2 - lwn	287,510	LC3.2	12,60	-15,46	0,98	7,04
B78	PR2 - lwn	287,510	LC3.3	-7,69	10,00	-0,75	-4,28
B78	PR2 - lwn	287,510	LC3.4	7,64	-9,37	0,59	4,26
B78	PR2 - lwn	287,510	LC4.1	6,35	0,20	-1,68	-3,38
B78	PR2 - lwn	287,510	LC4.2	18,96	0,58	-5,03	-9,72
B78	PR2 - lwn	287,510	LC4.3	31,15	0,32	-8,14	-14,94
B78	PR2 - lwn	287,510	LC4.4	39,29	1,30	-10,66	-17,19
B78	PR2 - lwn	287,510	LC4.5	69,89	8,91	-21,07	-3,15
B78	PR2 - lwn	287,510	LC5.1	-34,86	-12,31	12,42	9,48
B78	PR2 - lwn	287,510	LC5.2	33,67	12,31	-12,10	-9,59
B78	PR2 - lwn	345,000	LC1	-1,30	-4,13	1,04	-0,92
B78	PR2 - lwn	345,000	LC2	-0,68	-4,28	-0,26	-0,46
B78	PR2 - lwn	345,000	LC3.1	-12,60	15,46	-0,09	-8,72
B78	PR2 - lwn	345,000	LC3.2	12,60	-15,46	0,09	8,72
B78	PR2 - lwn	345,000	LC3.3	-7,69	10,00	-0,18	-5,30
B78	PR2 - lwn	345,000	LC3.4	7,64	-9,37	0,05	5,29
B78	PR2 - lwn	345,000	LC4.1	6,35	0,20	-1,67	-3,75
B78	PR2 - lwn	345,000	LC4.2	18,96	0,58	-5,00	-10,83
B78	PR2 - lwn	345,000	LC4.3	31,15	0,32	-8,12	-16,85
B78	PR2 - lwn	345,000	LC4.4	39,29	1,30	-10,59	-19,72
B78	PR2 - lwn	345,000	LC4.5	69,89	8,91	-20,56	-5,48
B78	PR2 - lwn	345,000	LC5.1	-34,86	-12,31	11,71	10,83
B78	PR2 - lwn	345,000	LC5.2	33,67	12,31	-11,39	-10,96
B78	PR2 - lwn	460,000	LC1	-1,30	-4,33	0,56	-1,28
B78	PR2 - lwn	460,000	LC2	-0,68	-4,28	-0,75	-0,65
B78	PR2 - lwn	460,000	LC3.1	-12,60	15,46	1,69	-12,10
B78	PR2 - lwn	460,000	LC3.2	12,60	-15,46	-1,69	12,10
B78	PR2 - lwn	460,000	LC3.3	-7,69	10,00	0,97	-7,35
B78	PR2 - lwn	460,000	LC3.4	7,64	-9,37	-1,02	7,33
B78	PR2 - lwn	460,000	LC4.1	6,35	0,20	-1,65	-4,47
B78	PR2 - lwn	460,000	LC4.2	18,96	0,58	-4,93	-13,05
B78	PR2 - lwn	460,000	LC4.3	31,15	0,32	-8,08	-20,66
B78	PR2 - lwn	460,000	LC4.4	39,29	1,30	-10,44	-24,78
B78	PR2 - lwn	460,000	LC4.5	69,89	8,91	-19,53	-10,13
B78	PR2 - lwn	460,000	LC5.1	-34,86	-12,31	10,30	13,52
B78	PR2 - lwn	460,000	LC5.2	33,67	12,31	-9,97	-13,69
B78	PR2 - lwn	575,000	LC1	-1,30	-4,53	0,05	-1,65
B78	PR2 - lwn	575,000	LC2	-0,68	-4,28	-1,24	-0,84
B78	PR2 - lwn	575,000	LC3.1	-12,60	15,46	3,46	-15,48

Dílec	css	dx [mm]	Stav	N [kN]	Vz [kN]	My [kNm]	Mz [kNm]
B78	PR2 - lwn	575,000	LC3.2	12,60	-15,46	-3,46	15,48
B78	PR2 - lwn	575,000	LC3.3	-7,69	10,00	2,12	-9,40
B78	PR2 - lwn	575,000	LC3.4	7,64	-9,37	-2,10	9,38
B78	PR2 - lwn	575,000	LC4.1	6,35	0,20	-1,62	-5,20
B78	PR2 - lwn	575,000	LC4.2	18,96	0,58	-4,86	-15,27
B78	PR2 - lwn	575,000	LC4.3	31,15	0,32	-8,05	-24,47
B78	PR2 - lwn	575,000	LC4.4	39,29	1,30	-10,29	-29,83
B78	PR2 - lwn	575,000	LC4.5	69,89	8,91	-18,51	-14,78
B78	PR2 - lwn	575,000	LC5.1	-34,86	-12,31	8,88	16,21
B78	PR2 - lwn	575,000	LC5.2	33,67	12,31	-8,56	-16,42

4.17. Vnitřní síly-HN-UIC

Lineární výpočet, Extrém : Globální, Systém : Hlavní

Výběr : Vše

Třída : ZS UIC

Průřez : HN - lw (876; 14; 450; 50; 776; 0)

Dílec	css	dx [mm]	Stav	N [kN]	Vz [kN]	My [kNm]	Mz [kNm]
B22	HN - lw	0,000	LC105	-103,32	-39,33	779,44	3,62
B24	HN - lw	0,000	LC101	-26,11	-204,38	421,76	9,49
B5	HN - lw	0,000	LC107	-31,45	-268,32	555,08	-14,95
B11	HN - lw	0,000	LC104	-39,05	270,77	-10,24	20,95
B20	HN - lw	0,000	LC105	-40,26	259,39	-10,62	-21,46
B21	HN - lw	2100,000	LC105	-89,98	124,81	783,01	10,38
B11	HN - lw	0,000	LC105	-40,25	259,39	-10,62	21,44

4.18. Vnitřní síly-HN-neUIC

Lineární výpočet, Extrém : Ne, Systém : Hlavní

Výběr : B5, B11, B20, B21, B22, B24, SB1, SB2

Třída : ZS neUIC

Průřez : HN - lw (876; 14; 450; 50; 776; 0)

Dílec	css	dx [mm]	Stav	N [kN]	Vz [kN]	My [kNm]	Mz [kNm]
B5	HN - lw	0,000	LC1	-3,20	-18,74	48,00	-1,07
B5	HN - lw	0,000	LC2	-1,65	-13,30	27,49	-0,58
B5	HN - lw	0,000	LC3.1	141,18	-5,44	3,61	-10,83
B5	HN - lw	0,000	LC3.2	-141,18	5,44	-3,61	10,83
B5	HN - lw	0,000	LC3.3	85,53	-3,75	3,13	-6,64
B5	HN - lw	0,000	LC3.4	-85,57	3,30	-2,19	6,56
B5	HN - lw	0,000	LC4.1	-4,61	1,85	-5,56	-5,91
B5	HN - lw	0,000	LC4.2	-14,67	5,64	-16,99	-17,96
B5	HN - lw	0,000	LC4.3	-25,82	10,07	-29,99	-31,58
B5	HN - lw	0,000	LC4.4	-37,66	12,69	-38,41	-43,47
B5	HN - lw	0,000	LC4.5	-37,96	7,98	-27,60	-26,75
B5	HN - lw	0,000	LC5.1	19,37	-28,02	65,10	22,91
B5	HN - lw	0,000	LC5.2	-19,70	28,02	-65,18	-22,49
B5	HN - lw	105,000	LC1	-3,20	-19,20	46,01	-0,94
B5	HN - lw	105,000	LC2	-1,65	-13,30	26,10	-0,51
B5	HN - lw	105,000	LC3.1	141,18	-5,44	3,04	-9,51
B5	HN - lw	105,000	LC3.2	-141,18	5,44	-3,04	9,51
B5	HN - lw	105,000	LC3.3	85,53	-3,75	2,74	-5,84
B5	HN - lw	105,000	LC3.4	-85,57	3,30	-1,84	5,77
B5	HN - lw	105,000	LC4.1	-4,61	1,85	-5,37	-5,35
B5	HN - lw	105,000	LC4.2	-14,67	5,64	-16,40	-16,30
B5	HN - lw	105,000	LC4.3	-25,82	10,07	-28,94	-28,78
B5	HN - lw	105,000	LC4.4	-37,66	12,69	-37,07	-39,80
B5	HN - lw	105,000	LC4.5	-37,96	7,98	-26,76	-24,67
B5	HN - lw	105,000	LC5.1	19,37	-28,02	62,16	20,95
B5	HN - lw	105,000	LC5.2	-19,70	28,02	-62,24	-20,68
B5	HN - lw	210,000	LC1	-3,20	-19,65	43,97	-0,80
B5	HN - lw	210,000	LC2	-1,65	-13,30	24,70	-0,44
B5	HN - lw	210,000	LC3.1	141,18	-5,44	2,47	-8,20
B5	HN - lw	210,000	LC3.2	-141,18	5,44	-2,47	8,20
B5	HN - lw	210,000	LC3.3	85,53	-3,75	2,34	-5,03
B5	HN - lw	210,000	LC3.4	-85,57	3,30	-1,50	4,97
B5	HN - lw	210,000	LC4.1	-4,61	1,85	-5,17	-4,80
B5	HN - lw	210,000	LC4.2	-14,67	5,64	-15,81	-14,64
B5	HN - lw	210,000	LC4.3	-25,82	10,07	-27,88	-25,98
B5	HN - lw	210,000	LC4.4	-37,66	12,69	-35,74	-36,14
B5	HN - lw	210,000	LC4.5	-37,96	7,98	-25,93	-22,60
B5	HN - lw	210,000	LC5.1	19,37	-28,02	59,21	19,00
B5	HN - lw	210,000	LC5.2	-19,70	28,02	-59,30	-18,85
B5	HN - lw	315,000	LC1	-3,20	-20,10	41,88	-0,66

Dílec	css	dx [mm]	Stav	N [kN]	Vz [kN]	My [kNm]	Mz [kNm]
B5	HN - lw	315,000	LC2	-1,65	-13,30	23,30	-0,37
B5	HN - lw	315,000	LC3.1	141,18	-5,44	1,90	-6,88
B5	HN - lw	315,000	LC3.2	-141,18	5,44	-1,90	6,88
B5	HN - lw	315,000	LC3.3	85,53	-3,75	1,95	-4,23
B5	HN - lw	315,000	LC3.4	-85,57	3,30	-1,15	4,17
B5	HN - lw	315,000	LC4.1	-4,61	1,85	-4,98	-4,24
B5	HN - lw	315,000	LC4.2	-14,67	5,64	-15,21	-12,98
B5	HN - lw	315,000	LC4.3	-25,82	10,07	-26,82	-23,18
B5	HN - lw	315,000	LC4.4	-37,66	12,69	-34,41	-32,47
B5	HN - lw	315,000	LC4.5	-37,96	7,98	-25,09	-20,52
B5	HN - lw	315,000	LC5.1	19,37	-28,02	56,27	17,04
B5	HN - lw	315,000	LC5.2	-19,70	28,02	-56,35	-17,00
B5	HN - lw	420,000	LC1	-3,20	-20,55	39,75	-0,53
B5	HN - lw	420,000	LC2	-1,65	-13,30	21,91	-0,30
B5	HN - lw	420,000	LC3.1	141,18	-5,44	1,33	-5,57
B5	HN - lw	420,000	LC3.2	-141,18	5,44	-1,33	5,57
B5	HN - lw	420,000	LC3.3	85,53	-3,75	1,55	-3,43
B5	HN - lw	420,000	LC3.4	-85,57	3,30	-0,80	3,38
B5	HN - lw	420,000	LC4.1	-4,61	1,85	-4,79	-3,68
B5	HN - lw	420,000	LC4.2	-14,67	5,64	-14,62	-11,31
B5	HN - lw	420,000	LC4.3	-25,82	10,07	-25,77	-20,37
B5	HN - lw	420,000	LC4.4	-37,66	12,69	-33,08	-28,81
B5	HN - lw	420,000	LC4.5	-37,96	7,98	-24,25	-18,44
B5	HN - lw	420,000	LC5.1	19,37	-28,02	53,33	15,09
B5	HN - lw	420,000	LC5.2	-19,70	28,02	-53,41	-15,15
B5	HN - lw	525,000	LC1	-3,20	-21,00	37,57	-0,39
B5	HN - lw	525,000	LC2	-1,65	-13,30	20,51	-0,23
B5	HN - lw	525,000	LC3.1	141,18	-5,44	0,76	-4,25
B5	HN - lw	525,000	LC3.2	-141,18	5,44	-0,76	4,25
B5	HN - lw	525,000	LC3.3	85,53	-3,75	1,16	-2,63
B5	HN - lw	525,000	LC3.4	-85,57	3,30	-0,46	2,58
B5	HN - lw	525,000	LC4.1	-4,61	1,85	-4,59	-3,13
B5	HN - lw	525,000	LC4.2	-14,67	5,64	-14,03	-9,65
B5	HN - lw	525,000	LC4.3	-25,82	10,07	-24,71	-17,57
B5	HN - lw	525,000	LC4.4	-37,66	12,69	-31,74	-25,14
B5	HN - lw	525,000	LC4.5	-37,96	7,98	-23,41	-16,37
B5	HN - lw	525,000	LC5.1	19,37	-28,02	50,39	13,13
B5	HN - lw	525,000	LC5.2	-19,70	28,02	-50,47	-13,28
B5	HN - lw	630,000	LC1	-3,20	-21,45	35,34	-0,26
B5	HN - lw	630,000	LC2	-1,65	-13,30	19,11	-0,16
B5	HN - lw	630,000	LC3.1	141,18	-5,44	0,18	-2,94
B5	HN - lw	630,000	LC3.2	-141,18	5,44	-0,18	2,94
B5	HN - lw	630,000	LC3.3	85,53	-3,75	0,77	-1,83
B5	HN - lw	630,000	LC3.4	-85,57	3,30	-0,11	1,78
B5	HN - lw	630,000	LC4.1	-4,61	1,85	-4,40	-2,57
B5	HN - lw	630,000	LC4.2	-14,67	5,64	-13,44	-7,99
B5	HN - lw	630,000	LC4.3	-25,82	10,07	-23,65	-14,77
B5	HN - lw	630,000	LC4.4	-37,66	12,69	-30,41	-21,48
B5	HN - lw	630,000	LC4.5	-37,96	7,98	-22,58	-14,29
B5	HN - lw	630,000	LC5.1	19,37	-28,02	47,45	11,17
B5	HN - lw	630,000	LC5.2	-19,70	28,02	-47,53	-11,39
B5	HN - lw	735,000	LC1	-3,20	-21,91	33,06	-0,12
B5	HN - lw	735,000	LC2	-1,65	-13,30	17,72	-0,09
B5	HN - lw	735,000	LC3.1	141,18	-5,44	-0,39	-1,62
B5	HN - lw	735,000	LC3.2	-141,18	5,44	0,39	1,62
B5	HN - lw	735,000	LC3.3	85,53	-3,75	0,37	-1,02
B5	HN - lw	735,000	LC3.4	-85,57	3,30	0,24	0,98
B5	HN - lw	735,000	LC4.1	-4,61	1,85	-4,20	-2,02
B5	HN - lw	735,000	LC4.2	-14,67	5,64	-12,85	-6,33
B5	HN - lw	735,000	LC4.3	-25,82	10,07	-22,60	-11,97
B5	HN - lw	735,000	LC4.4	-37,66	12,69	-29,08	-17,81
B5	HN - lw	735,000	LC4.5	-37,96	7,98	-21,74	-12,22
B5	HN - lw	735,000	LC5.1	19,37	-28,02	44,50	9,22
B5	HN - lw	735,000	LC5.2	-19,70	28,02	-44,59	-9,49
B5	HN - lw	840,000	LC1	-3,20	-22,36	30,74	0,02
B5	HN - lw	840,000	LC2	-1,65	-13,30	16,32	-0,01
B5	HN - lw	840,000	LC3.1	141,18	-5,44	-0,96	-0,31
B5	HN - lw	840,000	LC3.2	-141,18	5,44	0,96	0,31
B5	HN - lw	840,000	LC3.3	85,53	-3,75	-0,02	-0,22
B5	HN - lw	840,000	LC3.4	-85,57	3,30	0,58	0,19
B5	HN - lw	840,000	LC4.1	-4,61	1,85	-4,01	-1,46
B5	HN - lw	840,000	LC4.2	-14,67	5,64	-12,26	-4,67
B5	HN - lw	840,000	LC4.3	-25,82	10,07	-21,54	-9,16
B5	HN - lw	840,000	LC4.4	-37,66	12,69	-27,75	-14,15
B5	HN - lw	840,000	LC4.5	-37,96	7,98	-20,90	-10,14
B5	HN - lw	840,000	LC5.1	19,37	-28,02	41,56	7,26

Dílec	css	dx [mm]	Stav	N [kN]	Vz [kN]	My [kNm]	Mz [kNm]
B5	HN - lw	840,000	LC5.2	-19,70	28,02	-41,65	-7,58
B5	HN - lw	945,000	LC1	-3,20	-22,81	28,37	0,15
B5	HN - lw	945,000	LC2	-1,65	-13,30	14,92	0,06
B5	HN - lw	945,000	LC3.1	141,18	-5,44	-1,53	1,01
B5	HN - lw	945,000	LC3.2	-141,18	5,44	1,53	-1,01
B5	HN - lw	945,000	LC3.3	85,53	-3,75	-0,41	0,58
B5	HN - lw	945,000	LC3.4	-85,57	3,30	0,93	-0,61
B5	HN - lw	945,000	LC4.1	-4,61	1,85	-3,82	-0,91
B5	HN - lw	945,000	LC4.2	-14,67	5,64	-11,66	-3,01
B5	HN - lw	945,000	LC4.3	-25,82	10,07	-20,48	-6,36
B5	HN - lw	945,000	LC4.4	-37,66	12,69	-26,42	-10,48
B5	HN - lw	945,000	LC4.5	-37,96	7,98	-20,06	-8,06
B5	HN - lw	945,000	LC5.1	19,37	-28,02	38,62	5,31
B5	HN - lw	945,000	LC5.2	-19,70	28,02	-38,70	-5,66
B5	HN - lw	1049,990	LC1	-3,20	-23,26	25,95	0,29
B5	HN - lw	1049,990	LC2	-1,65	-13,30	13,53	0,13
B5	HN - lw	1049,990	LC3.1	141,18	-5,44	-2,10	2,32
B5	HN - lw	1049,990	LC3.2	-141,18	5,44	2,10	-2,32
B5	HN - lw	1049,990	LC3.3	85,53	-3,75	-0,81	1,38
B5	HN - lw	1049,990	LC3.4	-85,57	3,30	1,27	-1,41
B5	HN - lw	1049,990	LC4.1	-4,61	1,85	-3,62	-0,35
B5	HN - lw	1049,990	LC4.2	-14,67	5,64	-11,07	-1,35
B5	HN - lw	1049,990	LC4.3	-25,82	10,07	-19,42	-3,56
B5	HN - lw	1049,990	LC4.4	-37,66	12,69	-25,08	-6,82
B5	HN - lw	1049,990	LC4.5	-37,96	7,98	-19,23	-5,99
B5	HN - lw	1049,990	LC5.1	19,37	-28,02	35,68	3,35
B5	HN - lw	1049,990	LC5.2	-19,70	28,02	-35,76	-3,72
B5	HN - lw	1050,010	LC1	-3,20	-23,26	25,95	0,29
B5	HN - lw	1050,010	LC2	-1,65	-13,30	13,53	0,13
B5	HN - lw	1050,010	LC3.1	141,18	-5,44	-2,10	2,32
B5	HN - lw	1050,010	LC3.2	-141,18	5,44	2,10	-2,32
B5	HN - lw	1050,010	LC3.3	85,53	-3,75	-0,81	1,38
B5	HN - lw	1050,010	LC3.4	-85,57	3,30	1,27	-1,41
B5	HN - lw	1050,010	LC4.1	-4,61	1,85	-3,62	-0,35
B5	HN - lw	1050,010	LC4.2	-14,67	5,64	-11,07	-1,35
B5	HN - lw	1050,010	LC4.3	-25,82	10,07	-19,42	-3,56
B5	HN - lw	1050,010	LC4.4	-37,66	12,69	-25,08	-6,82
B5	HN - lw	1050,010	LC4.5	-37,96	7,98	-19,23	-5,99
B5	HN - lw	1050,010	LC5.1	19,37	-28,02	35,68	3,35
B5	HN - lw	1050,010	LC5.2	-19,70	28,02	-35,76	-3,72
B5	HN - lw	1155,000	LC1	-3,20	-23,71	23,48	0,43
B5	HN - lw	1155,000	LC2	-1,65	-13,30	12,13	0,20
B5	HN - lw	1155,000	LC3.1	141,18	-5,44	-2,67	3,64
B5	HN - lw	1155,000	LC3.2	-141,18	5,44	2,67	-3,64
B5	HN - lw	1155,000	LC3.3	85,53	-3,75	-1,20	2,18
B5	HN - lw	1155,000	LC3.4	-85,57	3,30	1,62	-2,20
B5	HN - lw	1155,000	LC4.1	-4,61	1,85	-3,43	0,20
B5	HN - lw	1155,000	LC4.2	-14,67	5,64	-10,48	0,31
B5	HN - lw	1155,000	LC4.3	-25,82	10,07	-18,37	-0,76
B5	HN - lw	1155,000	LC4.4	-37,66	12,69	-23,75	-3,15
B5	HN - lw	1155,000	LC4.5	-37,96	7,98	-18,39	-3,91
B5	HN - lw	1155,000	LC5.1	19,37	-28,02	32,74	1,39
B5	HN - lw	1155,000	LC5.2	-19,70	28,02	-32,82	-1,76
B5	HN - lw	1260,000	LC1	-3,20	-24,16	20,97	0,56
B5	HN - lw	1260,000	LC2	-1,65	-13,30	10,74	0,27
B5	HN - lw	1260,000	LC3.1	141,18	-5,44	-3,25	4,95
B5	HN - lw	1260,000	LC3.2	-141,18	5,44	3,25	-4,95
B5	HN - lw	1260,000	LC3.3	85,53	-3,75	-1,59	2,98
B5	HN - lw	1260,000	LC3.4	-85,57	3,30	1,97	-3,00
B5	HN - lw	1260,000	LC4.1	-4,61	1,85	-3,24	0,76
B5	HN - lw	1260,000	LC4.2	-14,67	5,64	-9,89	1,98
B5	HN - lw	1260,000	LC4.3	-25,82	10,07	-17,31	2,05
B5	HN - lw	1260,000	LC4.4	-37,66	12,69	-22,42	0,51
B5	HN - lw	1260,000	LC4.5	-37,96	7,98	-17,55	-1,83
B5	HN - lw	1260,000	LC5.1	19,37	-28,02	29,79	-0,56
B5	HN - lw	1260,000	LC5.2	-19,70	28,02	-29,88	0,20
B5	HN - lw	1365,000	LC1	-3,20	-24,62	18,41	0,70
B5	HN - lw	1365,000	LC2	-1,65	-13,30	9,34	0,34
B5	HN - lw	1365,000	LC3.1	141,18	-5,44	-3,82	6,27
B5	HN - lw	1365,000	LC3.2	-141,18	5,44	3,82	-6,27
B5	HN - lw	1365,000	LC3.3	85,53	-3,75	-1,99	3,79
B5	HN - lw	1365,000	LC3.4	-85,57	3,30	2,31	-3,80
B5	HN - lw	1365,000	LC4.1	-4,61	1,85	-3,04	1,31
B5	HN - lw	1365,000	LC4.2	-14,67	5,64	-9,30	3,64
B5	HN - lw	1365,000	LC4.3	-25,82	10,07	-16,25	4,85
B5	HN - lw	1365,000	LC4.4	-37,66	12,69	-21,09	4,18

Dílec	css	dx [mm]	Stav	N [kN]	Vz [kN]	My [kNm]	Mz [kNm]
B5	HN - lw	1365,000	LC4.5	-37,96	7,98	-16,71	0,24
B5	HN - lw	1365,000	LC5.1	19,37	-28,02	26,85	-2,52
B5	HN - lw	1365,000	LC5.2	-19,70	28,02	-26,94	2,18
B5	HN - lw	1470,000	LC1	-3,20	-25,07	15,80	0,83
B5	HN - lw	1470,000	LC2	-1,65	-13,30	7,94	0,41
B5	HN - lw	1470,000	LC3.1	141,18	-5,44	-4,39	7,58
B5	HN - lw	1470,000	LC3.2	-141,18	5,44	4,39	-7,58
B5	HN - lw	1470,000	LC3.3	85,53	-3,75	-2,38	4,59
B5	HN - lw	1470,000	LC3.4	-85,57	3,30	2,66	-4,60
B5	HN - lw	1470,000	LC4.1	-4,61	1,85	-2,85	1,87
B5	HN - lw	1470,000	LC4.2	-14,67	5,64	-8,71	5,30
B5	HN - lw	1470,000	LC4.3	-25,82	10,07	-15,20	7,65
B5	HN - lw	1470,000	LC4.4	-37,66	12,69	-19,76	7,84
B5	HN - lw	1470,000	LC4.5	-37,96	7,98	-15,88	2,32
B5	HN - lw	1470,000	LC5.1	19,37	-28,02	23,91	-4,47
B5	HN - lw	1470,000	LC5.2	-19,70	28,02	-24,00	4,17
B5	HN - lw	1575,000	LC1	-3,20	-25,52	13,14	0,97
B5	HN - lw	1575,000	LC2	-1,65	-13,30	6,55	0,48
B5	HN - lw	1575,000	LC3.1	141,18	-5,44	-4,96	8,90
B5	HN - lw	1575,000	LC3.2	-141,18	5,44	4,96	-8,90
B5	HN - lw	1575,000	LC3.3	85,53	-3,75	-2,78	5,39
B5	HN - lw	1575,000	LC3.4	-85,57	3,30	3,01	-5,39
B5	HN - lw	1575,000	LC4.1	-4,61	1,85	-2,65	2,42
B5	HN - lw	1575,000	LC4.2	-14,67	5,64	-8,11	6,96
B5	HN - lw	1575,000	LC4.3	-25,82	10,07	-14,14	10,45
B5	HN - lw	1575,000	LC4.4	-37,66	12,69	-18,42	11,51
B5	HN - lw	1575,000	LC4.5	-37,96	7,98	-15,04	4,40
B5	HN - lw	1575,000	LC5.1	19,37	-28,02	20,97	-6,43
B5	HN - lw	1575,000	LC5.2	-19,70	28,02	-21,05	6,18
B5	HN - lw	1680,000	LC1	-3,20	-25,97	10,44	1,11
B5	HN - lw	1680,000	LC2	-1,65	-13,30	5,15	0,55
B5	HN - lw	1680,000	LC3.1	141,18	-5,44	-5,53	10,21
B5	HN - lw	1680,000	LC3.2	-141,18	5,44	5,53	-10,21
B5	HN - lw	1680,000	LC3.3	85,53	-3,75	-3,17	6,19
B5	HN - lw	1680,000	LC3.4	-85,57	3,30	3,35	-6,19
B5	HN - lw	1680,000	LC4.1	-4,61	1,85	-2,46	2,98
B5	HN - lw	1680,000	LC4.2	-14,67	5,64	-7,52	8,62
B5	HN - lw	1680,000	LC4.3	-25,82	10,07	-13,08	13,26
B5	HN - lw	1680,000	LC4.4	-37,66	12,69	-17,09	15,17
B5	HN - lw	1680,000	LC4.5	-37,96	7,98	-14,20	6,47
B5	HN - lw	1680,000	LC5.1	19,37	-28,02	18,03	-8,39
B5	HN - lw	1680,000	LC5.2	-19,70	28,02	-18,11	8,20
B5	HN - lw	1785,000	LC1	-3,20	-26,42	7,69	1,24
B5	HN - lw	1785,000	LC2	-1,65	-13,30	3,75	0,63
B5	HN - lw	1785,000	LC3.1	141,18	-5,44	-6,10	11,53
B5	HN - lw	1785,000	LC3.2	-141,18	5,44	6,10	-11,53
B5	HN - lw	1785,000	LC3.3	85,53	-3,75	-3,56	6,99
B5	HN - lw	1785,000	LC3.4	-85,57	3,30	3,70	-6,99
B5	HN - lw	1785,000	LC4.1	-4,61	1,85	-2,27	3,53
B5	HN - lw	1785,000	LC4.2	-14,67	5,64	-6,93	10,28
B5	HN - lw	1785,000	LC4.3	-25,82	10,07	-12,03	16,06
B5	HN - lw	1785,000	LC4.4	-37,66	12,69	-15,76	18,84
B5	HN - lw	1785,000	LC4.5	-37,96	7,98	-13,36	8,55
B5	HN - lw	1785,000	LC5.1	19,37	-28,02	15,08	-10,34
B5	HN - lw	1785,000	LC5.2	-19,70	28,02	-15,17	10,23
B5	HN - lw	1890,000	LC1	-3,20	-26,87	4,89	1,38
B5	HN - lw	1890,000	LC2	-1,65	-13,30	2,36	0,70
B5	HN - lw	1890,000	LC3.1	141,18	-5,44	-6,68	12,84
B5	HN - lw	1890,000	LC3.2	-141,18	5,44	6,68	-12,84
B5	HN - lw	1890,000	LC3.3	85,53	-3,75	-3,96	7,80
B5	HN - lw	1890,000	LC3.4	-85,57	3,30	4,05	-7,78
B5	HN - lw	1890,000	LC4.1	-4,61	1,85	-2,07	4,09
B5	HN - lw	1890,000	LC4.2	-14,67	5,64	-6,34	11,94
B5	HN - lw	1890,000	LC4.3	-25,82	10,07	-10,97	18,86
B5	HN - lw	1890,000	LC4.4	-37,66	12,69	-14,43	22,50
B5	HN - lw	1890,000	LC4.5	-37,96	7,98	-12,53	10,63
B5	HN - lw	1890,000	LC5.1	19,37	-28,02	12,14	-12,30
B5	HN - lw	1890,000	LC5.2	-19,70	28,02	-12,23	12,28
B5	HN - lw	1995,000	LC1	-3,20	-27,33	2,04	1,51
B5	HN - lw	1995,000	LC2	-1,65	-13,30	0,96	0,77
B5	HN - lw	1995,000	LC3.1	141,18	-5,44	-7,25	14,16
B5	HN - lw	1995,000	LC3.2	-141,18	5,44	7,25	-14,16
B5	HN - lw	1995,000	LC3.3	85,53	-3,75	-4,35	8,60
B5	HN - lw	1995,000	LC3.4	-85,57	3,30	4,39	-8,58
B5	HN - lw	1995,000	LC4.1	-4,61	1,85	-1,88	4,64
B5	HN - lw	1995,000	LC4.2	-14,67	5,64	-5,75	13,60

Dilec	css	dx [mm]	Stav	N [kN]	Vz [kN]	My [kNm]	Mz [kNm]
B5	HN - lw	1995,000	LC4.3	-25,82	10,07	-9,91	21,67
B5	HN - lw	1995,000	LC4.4	-37,66	12,69	-13,10	26,17
B5	HN - lw	1995,000	LC4.5	-37,96	7,98	-11,69	12,70
B5	HN - lw	1995,000	LC5.1	19,37	-28,02	9,20	-14,25
B5	HN - lw	1995,000	LC5.2	-19,70	28,02	-9,29	14,34
B5	HN - lw	2100,000	LC1	-3,20	-27,78	-0,85	1,65
B5	HN - lw	2100,000	LC2	-1,65	-13,30	-0,44	0,84
B5	HN - lw	2100,000	LC3.1	141,18	-5,44	-7,82	15,48
B5	HN - lw	2100,000	LC3.2	-141,18	5,44	7,82	-15,48
B5	HN - lw	2100,000	LC3.3	85,53	-3,75	-4,74	9,40
B5	HN - lw	2100,000	LC3.4	-85,57	3,30	4,74	-9,38
B5	HN - lw	2100,000	LC4.1	-4,61	1,85	-1,69	5,20
B5	HN - lw	2100,000	LC4.2	-14,67	5,64	-5,15	15,27
B5	HN - lw	2100,000	LC4.3	-25,82	10,07	-8,85	24,47
B5	HN - lw	2100,000	LC4.4	-37,66	12,69	-11,76	29,83
B5	HN - lw	2100,000	LC4.5	-37,96	7,98	-10,85	14,78
B5	HN - lw	2100,000	LC5.1	19,37	-28,02	6,26	-16,21
B5	HN - lw	2100,000	LC5.2	-19,70	28,02	-6,35	16,42
B11	HN - lw	0,000	LC1	-3,50	27,36	-0,93	1,81
B11	HN - lw	0,000	LC2	-1,81	13,37	-0,48	0,92
B11	HN - lw	0,000	LC3.1	19,06	-5,86	5,06	-10,08
B11	HN - lw	0,000	LC3.2	-19,06	5,86	-5,06	10,08
B11	HN - lw	0,000	LC3.3	11,52	-3,38	3,06	-6,09
B11	HN - lw	0,000	LC3.4	-11,55	3,55	-3,07	6,11
B11	HN - lw	0,000	LC4.1	-39,54	-8,16	-10,61	14,02
B11	HN - lw	0,000	LC4.2	-38,31	-12,81	-10,24	26,44
B11	HN - lw	0,000	LC4.3	-25,58	-7,96	-6,83	18,82
B11	HN - lw	0,000	LC4.4	-15,43	-5,07	-4,12	11,79
B11	HN - lw	0,000	LC4.5	-6,07	-1,95	-1,62	4,78
B11	HN - lw	0,000	LC5.1	22,48	28,53	6,01	-15,18
B11	HN - lw	0,000	LC5.2	-22,80	-28,54	-6,10	15,39
B11	HN - lw	105,000	LC1	-3,50	26,91	1,92	1,66
B11	HN - lw	105,000	LC2	-1,81	13,37	0,92	0,85
B11	HN - lw	105,000	LC3.1	19,06	-5,86	4,44	-9,14
B11	HN - lw	105,000	LC3.2	-19,06	5,86	-4,44	9,14
B11	HN - lw	105,000	LC3.3	11,52	-3,38	2,70	-5,52
B11	HN - lw	105,000	LC3.4	-11,55	3,55	-2,69	5,54
B11	HN - lw	105,000	LC4.1	-39,54	-8,16	-11,47	12,00
B11	HN - lw	105,000	LC4.2	-38,31	-12,81	-11,59	23,22
B11	HN - lw	105,000	LC4.3	-25,58	-7,96	-7,67	16,79
B11	HN - lw	105,000	LC4.4	-15,43	-5,07	-4,65	10,55
B11	HN - lw	105,000	LC4.5	-6,07	-1,95	-1,83	4,29
B11	HN - lw	105,000	LC5.1	22,48	28,53	9,00	-13,35
B11	HN - lw	105,000	LC5.2	-22,80	-28,54	-9,09	13,44
B11	HN - lw	210,000	LC1	-3,50	26,45	4,72	1,50
B11	HN - lw	210,000	LC2	-1,81	13,37	2,33	0,77
B11	HN - lw	210,000	LC3.1	19,06	-5,86	3,83	-8,19
B11	HN - lw	210,000	LC3.2	-19,06	5,86	-3,83	8,19
B11	HN - lw	210,000	LC3.3	11,52	-3,38	2,35	-4,95
B11	HN - lw	210,000	LC3.4	-11,55	3,55	-2,32	4,97
B11	HN - lw	210,000	LC4.1	-39,54	-8,16	-12,32	9,99
B11	HN - lw	210,000	LC4.2	-38,31	-12,81	-12,93	19,99
B11	HN - lw	210,000	LC4.3	-25,58	-7,96	-8,50	14,77
B11	HN - lw	210,000	LC4.4	-15,43	-5,07	-5,19	9,32
B11	HN - lw	210,000	LC4.5	-6,07	-1,95	-2,03	3,79
B11	HN - lw	210,000	LC5.1	22,48	28,53	12,00	-11,51
B11	HN - lw	210,000	LC5.2	-22,80	-28,54	-12,09	11,50
B11	HN - lw	315,000	LC1	-3,50	26,00	7,47	1,35
B11	HN - lw	315,000	LC2	-1,81	13,37	3,73	0,69
B11	HN - lw	315,000	LC3.1	19,06	-5,86	3,21	-7,25
B11	HN - lw	315,000	LC3.2	-19,06	5,86	-3,21	7,25
B11	HN - lw	315,000	LC3.3	11,52	-3,38	1,99	-4,38
B11	HN - lw	315,000	LC3.4	-11,55	3,55	-1,95	4,39
B11	HN - lw	315,000	LC4.1	-39,54	-8,16	-13,18	7,97
B11	HN - lw	315,000	LC4.2	-38,31	-12,81	-14,28	16,77
B11	HN - lw	315,000	LC4.3	-25,58	-7,96	-9,34	12,74
B11	HN - lw	315,000	LC4.4	-15,43	-5,07	-5,72	8,09
B11	HN - lw	315,000	LC4.5	-6,07	-1,95	-2,24	3,30
B11	HN - lw	315,000	LC5.1	22,48	28,53	15,00	-9,67
B11	HN - lw	315,000	LC5.2	-22,80	-28,54	-15,08	9,57
B11	HN - lw	420,000	LC1	-3,50	25,55	10,18	1,20
B11	HN - lw	420,000	LC2	-1,81	13,37	5,14	0,61
B11	HN - lw	420,000	LC3.1	19,06	-5,86	2,60	-6,31
B11	HN - lw	420,000	LC3.2	-19,06	5,86	-2,60	6,31
B11	HN - lw	420,000	LC3.3	11,52	-3,38	1,64	-3,81
B11	HN - lw	420,000	LC3.4	-11,55	3,55	-1,58	3,82

Dílec	css	dx [mm]	Stav	N [kN]	Vz [kN]	My [kNm]	Mz [kNm]
B11	HN - lw	420,000	LC4.1	-39,54	-8,16	-14,04	5,96
B11	HN - lw	420,000	LC4.2	-38,31	-12,81	-15,62	13,55
B11	HN - lw	420,000	LC4.3	-25,58	-7,96	-10,18	10,71
B11	HN - lw	420,000	LC4.4	-15,43	-5,07	-6,25	6,86
B11	HN - lw	420,000	LC4.5	-6,07	-1,95	-2,44	2,81
B11	HN - lw	420,000	LC5.1	22,48	28,53	17,99	-7,83
B11	HN - lw	420,000	LC5.2	-22,80	-28,54	-18,08	7,66
B11	HN - lw	525,000	LC1	-3,50	25,10	12,84	1,04
B11	HN - lw	525,000	LC2	-1,81	13,37	6,54	0,53
B11	HN - lw	525,000	LC3.1	19,06	-5,86	1,98	-5,36
B11	HN - lw	525,000	LC3.2	-19,06	5,86	-1,98	5,36
B11	HN - lw	525,000	LC3.3	11,52	-3,38	1,29	-3,24
B11	HN - lw	525,000	LC3.4	-11,55	3,55	-1,20	3,25
B11	HN - lw	525,000	LC4.1	-39,54	-8,16	-14,89	3,95
B11	HN - lw	525,000	LC4.2	-38,31	-12,81	-16,97	10,33
B11	HN - lw	525,000	LC4.3	-25,58	-7,96	-11,01	8,69
B11	HN - lw	525,000	LC4.4	-15,43	-5,07	-6,78	5,62
B11	HN - lw	525,000	LC4.5	-6,07	-1,95	-2,65	2,31
B11	HN - lw	525,000	LC5.1	22,48	28,53	20,99	-6,00
B11	HN - lw	525,000	LC5.2	-22,80	-28,54	-21,08	5,76
B11	HN - lw	630,000	LC1	-3,50	24,65	15,45	0,89
B11	HN - lw	630,000	LC2	-1,81	13,37	7,94	0,45
B11	HN - lw	630,000	LC3.1	19,06	-5,86	1,37	-4,42
B11	HN - lw	630,000	LC3.2	-19,06	5,86	-1,37	4,42
B11	HN - lw	630,000	LC3.3	11,52	-3,38	0,93	-2,67
B11	HN - lw	630,000	LC3.4	-11,55	3,55	-0,83	2,68
B11	HN - lw	630,000	LC4.1	-39,54	-8,16	-15,75	1,93
B11	HN - lw	630,000	LC4.2	-38,31	-12,81	-18,31	7,11
B11	HN - lw	630,000	LC4.3	-25,58	-7,96	-11,85	6,66
B11	HN - lw	630,000	LC4.4	-15,43	-5,07	-7,32	4,39
B11	HN - lw	630,000	LC4.5	-6,07	-1,95	-2,85	1,82
B11	HN - lw	630,000	LC5.1	22,48	28,53	23,98	-4,16
B11	HN - lw	630,000	LC5.2	-22,80	-28,54	-24,07	3,87
B11	HN - lw	735,000	LC1	-3,50	24,20	18,02	0,73
B11	HN - lw	735,000	LC2	-1,81	13,37	9,35	0,37
B11	HN - lw	735,000	LC3.1	19,06	-5,86	0,75	-3,47
B11	HN - lw	735,000	LC3.2	-19,06	5,86	-0,75	3,47
B11	HN - lw	735,000	LC3.3	11,52	-3,38	0,58	-2,10
B11	HN - lw	735,000	LC3.4	-11,55	3,55	-0,46	2,10
B11	HN - lw	735,000	LC4.1	-39,54	-8,16	-16,61	-0,08
B11	HN - lw	735,000	LC4.2	-38,31	-12,81	-19,66	3,89
B11	HN - lw	735,000	LC4.3	-25,58	-7,96	-12,68	4,63
B11	HN - lw	735,000	LC4.4	-15,43	-5,07	-7,85	3,16
B11	HN - lw	735,000	LC4.5	-6,07	-1,95	-3,06	1,33
B11	HN - lw	735,000	LC5.1	22,48	28,53	26,98	-2,32
B11	HN - lw	735,000	LC5.2	-22,80	-28,54	-27,07	2,00
B11	HN - lw	840,000	LC1	-3,50	23,74	20,53	0,58
B11	HN - lw	840,000	LC2	-1,81	13,37	10,75	0,29
B11	HN - lw	840,000	LC3.1	19,06	-5,86	0,14	-2,53
B11	HN - lw	840,000	LC3.2	-19,06	5,86	-0,14	2,53
B11	HN - lw	840,000	LC3.3	11,52	-3,38	0,22	-1,53
B11	HN - lw	840,000	LC3.4	-11,55	3,55	-0,08	1,53
B11	HN - lw	840,000	LC4.1	-39,54	-8,16	-17,46	-2,10
B11	HN - lw	840,000	LC4.2	-38,31	-12,81	-21,00	0,67
B11	HN - lw	840,000	LC4.3	-25,58	-7,96	-13,52	2,61
B11	HN - lw	840,000	LC4.4	-15,43	-5,07	-8,38	1,93
B11	HN - lw	840,000	LC4.5	-6,07	-1,95	-3,26	0,83
B11	HN - lw	840,000	LC5.1	22,48	28,53	29,98	-0,48
B11	HN - lw	840,000	LC5.2	-22,80	-28,54	-30,07	0,14
B11	HN - lw	945,000	LC1	-3,50	23,29	23,00	0,43
B11	HN - lw	945,000	LC2	-1,81	13,37	12,16	0,21
B11	HN - lw	945,000	LC3.1	19,06	-5,86	-0,48	-1,58
B11	HN - lw	945,000	LC3.2	-19,06	5,86	0,48	1,58
B11	HN - lw	945,000	LC3.3	11,52	-3,38	-0,13	-0,95
B11	HN - lw	945,000	LC3.4	-11,55	3,55	0,29	0,96
B11	HN - lw	945,000	LC4.1	-39,54	-8,16	-18,32	-4,11
B11	HN - lw	945,000	LC4.2	-38,31	-12,81	-22,35	-2,55
B11	HN - lw	945,000	LC4.3	-25,58	-7,96	-14,35	0,58
B11	HN - lw	945,000	LC4.4	-15,43	-5,07	-8,91	0,69
B11	HN - lw	945,000	LC4.5	-6,07	-1,95	-3,47	0,34
B11	HN - lw	945,000	LC5.1	22,48	28,53	32,97	1,36
B11	HN - lw	945,000	LC5.2	-22,80	-28,54	-33,06	-1,70
B11	HN - lw	1049,990	LC1	-3,50	22,84	25,42	0,27
B11	HN - lw	1049,990	LC2	-1,81	13,37	13,56	0,13
B11	HN - lw	1049,990	LC3.1	19,06	-5,86	-1,09	-0,64
B11	HN - lw	1049,990	LC3.2	-19,06	5,86	1,09	0,64

Dílec	css	dx [mm]	Stav	N [kN]	Vz [kN]	My [kNm]	Mz [kNm]
B11	HN - lw	1049,990	LC3.3	11,52	-3,38	-0,49	-0,38
B11	HN - lw	1049,990	LC3.4	-11,55	3,55	0,66	0,39
B11	HN - lw	1049,990	LC4.1	-39,54	-8,16	-19,17	-6,12
B11	HN - lw	1049,990	LC4.2	-38,31	-12,81	-23,69	-5,77
B11	HN - lw	1049,990	LC4.3	-25,58	-7,96	-15,19	-1,45
B11	HN - lw	1049,990	LC4.4	-15,43	-5,07	-9,45	-0,54
B11	HN - lw	1049,990	LC4.5	-6,07	-1,95	-3,67	-0,15
B11	HN - lw	1049,990	LC5.1	22,48	28,53	35,97	3,19
B11	HN - lw	1049,990	LC5.2	-22,80	-28,54	-36,06	-3,53
B11	HN - lw	1050,010	LC1	-3,50	22,84	25,42	0,27
B11	HN - lw	1050,010	LC2	-1,81	13,37	13,56	0,13
B11	HN - lw	1050,010	LC3.1	19,06	-5,86	-1,09	-0,64
B11	HN - lw	1050,010	LC3.2	-19,06	5,86	1,09	0,64
B11	HN - lw	1050,010	LC3.3	11,52	-3,38	-0,49	-0,38
B11	HN - lw	1050,010	LC3.4	-11,55	3,55	0,66	0,39
B11	HN - lw	1050,010	LC4.1	-39,54	-8,16	-19,17	-6,12
B11	HN - lw	1050,010	LC4.2	-38,31	-12,81	-23,69	-5,78
B11	HN - lw	1050,010	LC4.3	-25,58	-7,96	-15,19	-1,45
B11	HN - lw	1050,010	LC4.4	-15,43	-5,07	-9,45	-0,54
B11	HN - lw	1050,010	LC4.5	-6,07	-1,95	-3,67	-0,15
B11	HN - lw	1050,010	LC5.1	22,48	28,53	35,97	3,19
B11	HN - lw	1050,010	LC5.2	-22,80	-28,54	-36,06	-3,53
B11	HN - lw	1155,000	LC1	-3,50	22,39	27,80	0,12
B11	HN - lw	1155,000	LC2	-1,81	13,37	14,96	0,05
B11	HN - lw	1155,000	LC3.1	19,06	-5,86	-1,71	0,31
B11	HN - lw	1155,000	LC3.2	-19,06	5,86	1,71	-0,31
B11	HN - lw	1155,000	LC3.3	11,52	-3,38	-0,84	0,19
B11	HN - lw	1155,000	LC3.4	-11,55	3,55	1,03	-0,19
B11	HN - lw	1155,000	LC4.1	-39,54	-8,16	-20,03	-8,14
B11	HN - lw	1155,000	LC4.2	-38,31	-12,81	-25,04	-9,00
B11	HN - lw	1155,000	LC4.3	-25,58	-7,96	-16,02	-3,47
B11	HN - lw	1155,000	LC4.4	-15,43	-5,07	-9,98	-1,77
B11	HN - lw	1155,000	LC4.5	-6,07	-1,95	-3,88	-0,65
B11	HN - lw	1155,000	LC5.1	22,48	28,53	38,96	5,03
B11	HN - lw	1155,000	LC5.2	-22,80	-28,54	-39,05	-5,35
B11	HN - lw	1260,000	LC1	-3,50	21,94	30,13	-0,03
B11	HN - lw	1260,000	LC2	-1,81	13,37	16,37	-0,03
B11	HN - lw	1260,000	LC3.1	19,06	-5,86	-2,32	1,25
B11	HN - lw	1260,000	LC3.2	-19,06	5,86	2,32	-1,25
B11	HN - lw	1260,000	LC3.3	11,52	-3,38	-1,20	0,76
B11	HN - lw	1260,000	LC3.4	-11,55	3,55	1,41	-0,76
B11	HN - lw	1260,000	LC4.1	-39,54	-8,16	-20,89	-10,15
B11	HN - lw	1260,000	LC4.2	-38,31	-12,81	-26,38	-12,22
B11	HN - lw	1260,000	LC4.3	-25,58	-7,96	-16,86	-5,50
B11	HN - lw	1260,000	LC4.4	-15,43	-5,07	-10,51	-3,00
B11	HN - lw	1260,000	LC4.5	-6,07	-1,95	-4,08	-1,14
B11	HN - lw	1260,000	LC5.1	22,48	28,53	41,96	6,87
B11	HN - lw	1260,000	LC5.2	-22,80	-28,54	-42,05	-7,16
B11	HN - lw	1365,000	LC1	-3,50	21,49	32,41	-0,19
B11	HN - lw	1365,000	LC2	-1,81	13,37	17,77	-0,11
B11	HN - lw	1365,000	LC3.1	19,06	-5,86	-2,94	2,20
B11	HN - lw	1365,000	LC3.2	-19,06	5,86	2,94	-2,20
B11	HN - lw	1365,000	LC3.3	11,52	-3,38	-1,55	1,33
B11	HN - lw	1365,000	LC3.4	-11,55	3,55	1,78	-1,33
B11	HN - lw	1365,000	LC4.1	-39,54	-8,16	-21,74	-12,17
B11	HN - lw	1365,000	LC4.2	-38,31	-12,81	-27,73	-15,44
B11	HN - lw	1365,000	LC4.3	-25,58	-7,96	-17,70	-7,53
B11	HN - lw	1365,000	LC4.4	-15,43	-5,07	-11,04	-4,23
B11	HN - lw	1365,000	LC4.5	-6,07	-1,95	-4,29	-1,63
B11	HN - lw	1365,000	LC5.1	22,48	28,53	44,96	8,71
B11	HN - lw	1365,000	LC5.2	-22,80	-28,54	-45,05	-8,95
B11	HN - lw	1470,000	LC1	-3,50	21,03	34,64	-0,34
B11	HN - lw	1470,000	LC2	-1,81	13,37	19,17	-0,18
B11	HN - lw	1470,000	LC3.1	19,06	-5,86	-3,55	3,14
B11	HN - lw	1470,000	LC3.2	-19,06	5,86	3,55	-3,14
B11	HN - lw	1470,000	LC3.3	11,52	-3,38	-1,90	1,90
B11	HN - lw	1470,000	LC3.4	-11,55	3,55	2,15	-1,90
B11	HN - lw	1470,000	LC4.1	-39,54	-8,16	-22,60	-14,18
B11	HN - lw	1470,000	LC4.2	-38,31	-12,81	-29,07	-18,66
B11	HN - lw	1470,000	LC4.3	-25,58	-7,96	-18,53	-9,55
B11	HN - lw	1470,000	LC4.4	-15,43	-5,07	-11,58	-5,47
B11	HN - lw	1470,000	LC4.5	-6,07	-1,95	-4,49	-2,13
B11	HN - lw	1470,000	LC5.1	22,48	28,53	47,95	10,54
B11	HN - lw	1470,000	LC5.2	-22,80	-28,54	-48,04	-10,72
B11	HN - lw	1575,000	LC1	-3,50	20,58	36,82	-0,50
B11	HN - lw	1575,000	LC2	-1,81	13,37	20,58	-0,26

Dílec	css	dx [mm]	Stav	N [kN]	Vz [kN]	My [kNm]	Mz [kNm]
B11	HN - lw	1575,000	LC3.1	19,06	-5,86	-4,17	4,09
B11	HN - lw	1575,000	LC3.2	-19,06	5,86	4,17	-4,09
B11	HN - lw	1575,000	LC3.3	11,52	-3,38	-2,26	2,47
B11	HN - lw	1575,000	LC3.4	-11,55	3,55	2,53	-2,48
B11	HN - lw	1575,000	LC4.1	-39,54	-8,16	-23,46	-16,19
B11	HN - lw	1575,000	LC4.2	-38,31	-12,81	-30,42	-21,88
B11	HN - lw	1575,000	LC4.3	-25,58	-7,96	-19,37	-11,58
B11	HN - lw	1575,000	LC4.4	-15,43	-5,07	-12,11	-6,70
B11	HN - lw	1575,000	LC4.5	-6,07	-1,95	-4,70	-2,62
B11	HN - lw	1575,000	LC5.1	22,48	28,53	50,95	12,38
B11	HN - lw	1575,000	LC5.2	-22,80	-28,54	-51,04	-12,49
B11	HN - lw	1680,000	LC1	-3,50	20,13	38,96	-0,65
B11	HN - lw	1680,000	LC2	-1,81	13,37	21,98	-0,34
B11	HN - lw	1680,000	LC3.1	19,06	-5,86	-4,78	5,03
B11	HN - lw	1680,000	LC3.2	-19,06	5,86	4,78	-5,03
B11	HN - lw	1680,000	LC3.3	11,52	-3,38	-2,61	3,04
B11	HN - lw	1680,000	LC3.4	-11,55	3,55	2,90	-3,05
B11	HN - lw	1680,000	LC4.1	-39,54	-8,16	-24,31	-18,21
B11	HN - lw	1680,000	LC4.2	-38,31	-12,81	-31,76	-25,10
B11	HN - lw	1680,000	LC4.3	-25,58	-7,96	-20,20	-13,61
B11	HN - lw	1680,000	LC4.4	-15,43	-5,07	-12,64	-7,93
B11	HN - lw	1680,000	LC4.5	-6,07	-1,95	-4,90	-3,11
B11	HN - lw	1680,000	LC5.1	22,48	28,53	53,94	14,22
B11	HN - lw	1680,000	LC5.2	-22,80	-28,54	-54,04	-14,24
B11	HN - lw	1785,000	LC1	-3,50	19,68	41,05	-0,80
B11	HN - lw	1785,000	LC2	-1,81	13,37	23,39	-0,42
B11	HN - lw	1785,000	LC3.1	19,06	-5,86	-5,40	5,97
B11	HN - lw	1785,000	LC3.2	-19,06	5,86	5,40	-5,97
B11	HN - lw	1785,000	LC3.3	11,52	-3,38	-2,97	3,61
B11	HN - lw	1785,000	LC3.4	-11,55	3,55	3,27	-3,62
B11	HN - lw	1785,000	LC4.1	-39,54	-8,16	-25,17	-20,22
B11	HN - lw	1785,000	LC4.2	-38,31	-12,81	-33,11	-28,32
B11	HN - lw	1785,000	LC4.3	-25,58	-7,96	-21,04	-15,64
B11	HN - lw	1785,000	LC4.4	-15,43	-5,07	-13,18	-9,16
B11	HN - lw	1785,000	LC4.5	-6,07	-1,95	-5,11	-3,61
B11	HN - lw	1785,000	LC5.1	22,48	28,53	56,94	16,06
B11	HN - lw	1785,000	LC5.2	-22,80	-28,54	-57,03	-15,97
B11	HN - lw	1890,000	LC1	-3,50	19,23	43,09	-0,96
B11	HN - lw	1890,000	LC2	-1,81	13,37	24,79	-0,50
B11	HN - lw	1890,000	LC3.1	19,06	-5,86	-6,01	6,92
B11	HN - lw	1890,000	LC3.2	-19,06	5,86	6,01	-6,92
B11	HN - lw	1890,000	LC3.3	11,52	-3,38	-3,32	4,18
B11	HN - lw	1890,000	LC3.4	-11,55	3,55	3,64	-4,19
B11	HN - lw	1890,000	LC4.1	-39,54	-8,16	-26,03	-22,24
B11	HN - lw	1890,000	LC4.2	-38,31	-12,81	-34,45	-31,54
B11	HN - lw	1890,000	LC4.3	-25,58	-7,96	-21,87	-17,66
B11	HN - lw	1890,000	LC4.4	-15,43	-5,07	-13,71	-10,40
B11	HN - lw	1890,000	LC4.5	-6,07	-1,95	-5,31	-4,10
B11	HN - lw	1890,000	LC5.1	22,48	28,53	59,93	17,89
B11	HN - lw	1890,000	LC5.2	-22,80	-28,54	-60,03	-17,70
B11	HN - lw	1995,000	LC1	-3,50	18,78	45,09	-1,11
B11	HN - lw	1995,000	LC2	-1,81	13,37	26,19	-0,58
B11	HN - lw	1995,000	LC3.1	19,06	-5,86	-6,63	7,86
B11	HN - lw	1995,000	LC3.2	-19,06	5,86	6,63	-7,86
B11	HN - lw	1995,000	LC3.3	11,52	-3,38	-3,68	4,75
B11	HN - lw	1995,000	LC3.4	-11,55	3,55	4,02	-4,77
B11	HN - lw	1995,000	LC4.1	-39,54	-8,16	-26,88	-24,25
B11	HN - lw	1995,000	LC4.2	-38,31	-12,81	-35,80	-34,77
B11	HN - lw	1995,000	LC4.3	-25,58	-7,96	-22,71	-19,69
B11	HN - lw	1995,000	LC4.4	-15,43	-5,07	-14,24	-11,63
B11	HN - lw	1995,000	LC4.5	-6,07	-1,95	-5,52	-4,60
B11	HN - lw	1995,000	LC5.1	22,48	28,53	62,93	19,73
B11	HN - lw	1995,000	LC5.2	-22,80	-28,54	-63,03	-19,40
B11	HN - lw	2100,000	LC1	-3,50	18,32	47,04	-1,26
B11	HN - lw	2100,000	LC2	-1,81	13,37	27,60	-0,66
B11	HN - lw	2100,000	LC3.1	19,06	-5,86	-7,24	8,81
B11	HN - lw	2100,000	LC3.2	-19,06	5,86	7,24	-8,81
B11	HN - lw	2100,000	LC3.3	11,52	-3,38	-4,03	5,33
B11	HN - lw	2100,000	LC3.4	-11,55	3,55	4,39	-5,34
B11	HN - lw	2100,000	LC4.1	-39,54	-8,16	-27,74	-26,26
B11	HN - lw	2100,000	LC4.2	-38,31	-12,81	-37,14	-37,99
B11	HN - lw	2100,000	LC4.3	-25,58	-7,96	-23,54	-21,72
B11	HN - lw	2100,000	LC4.4	-15,43	-5,07	-14,77	-12,86
B11	HN - lw	2100,000	LC4.5	-6,07	-1,95	-5,72	-5,09
B11	HN - lw	2100,000	LC5.1	22,48	28,53	65,93	21,57
B11	HN - lw	2100,000	LC5.2	-22,80	-28,54	-66,02	-21,10

Dilec	css	dx [mm]	Stav	N [kN]	Vz [kN]	My [kNm]	Mz [kNm]
B20	HN - lw	0,000	LC1	-3,50	27,36	-0,93	-1,81
B20	HN - lw	0,000	LC2	-1,78	12,85	-0,47	-0,92
B20	HN - lw	0,000	LC3.1	19,10	-5,87	5,07	10,15
B20	HN - lw	0,000	LC3.2	-19,10	5,87	-5,07	-10,15
B20	HN - lw	0,000	LC3.3	11,54	-3,38	3,06	6,14
B20	HN - lw	0,000	LC3.4	-11,57	3,56	-3,07	-6,15
B20	HN - lw	0,000	LC4.1	36,02	7,67	9,68	11,70
B20	HN - lw	0,000	LC4.2	35,65	12,46	9,54	24,70
B20	HN - lw	0,000	LC4.3	23,78	7,75	6,36	17,66
B20	HN - lw	0,000	LC4.4	14,23	4,96	3,80	11,02
B20	HN - lw	0,000	LC4.5	5,46	1,94	1,46	4,40
B20	HN - lw	0,000	LC5.1	-20,66	-28,27	-5,53	-14,00
B20	HN - lw	0,000	LC5.2	20,34	28,27	5,44	13,79
B20	HN - lw	105,000	LC1	-3,50	26,91	1,92	-1,66
B20	HN - lw	105,000	LC2	-1,78	12,85	0,88	-0,84
B20	HN - lw	105,000	LC3.1	19,10	-5,87	4,45	9,20
B20	HN - lw	105,000	LC3.2	-19,10	5,87	-4,45	-9,20
B20	HN - lw	105,000	LC3.3	11,54	-3,38	2,71	5,56
B20	HN - lw	105,000	LC3.4	-11,57	3,56	-2,70	-5,58
B20	HN - lw	105,000	LC4.1	36,02	7,67	10,49	10,03
B20	HN - lw	105,000	LC4.2	35,65	12,46	10,85	21,73
B20	HN - lw	105,000	LC4.3	23,78	7,75	7,17	15,79
B20	HN - lw	105,000	LC4.4	14,23	4,96	4,33	9,90
B20	HN - lw	105,000	LC4.5	5,46	1,94	1,66	3,96
B20	HN - lw	105,000	LC5.1	-20,66	-28,27	-8,50	-12,24
B20	HN - lw	105,000	LC5.2	20,34	28,27	8,41	12,15
B20	HN - lw	210,000	LC1	-3,50	26,46	4,72	-1,50
B20	HN - lw	210,000	LC2	-1,78	12,85	2,23	-0,76
B20	HN - lw	210,000	LC3.1	19,10	-5,87	3,84	8,25
B20	HN - lw	210,000	LC3.2	-19,10	5,87	-3,84	-8,25
B20	HN - lw	210,000	LC3.3	11,54	-3,38	2,35	4,99
B20	HN - lw	210,000	LC3.4	-11,57	3,56	-2,33	-5,00
B20	HN - lw	210,000	LC4.1	36,02	7,67	11,29	8,35
B20	HN - lw	210,000	LC4.2	35,65	12,46	12,16	18,76
B20	HN - lw	210,000	LC4.3	23,78	7,75	7,99	13,93
B20	HN - lw	210,000	LC4.4	14,23	4,96	4,85	8,77
B20	HN - lw	210,000	LC4.5	5,46	1,94	1,86	3,51
B20	HN - lw	210,000	LC5.1	-20,66	-28,27	-11,47	-10,50
B20	HN - lw	210,000	LC5.2	20,34	28,27	11,38	10,52
B20	HN - lw	315,000	LC1	-3,50	26,01	7,48	-1,35
B20	HN - lw	315,000	LC2	-1,78	12,85	3,58	-0,68
B20	HN - lw	315,000	LC3.1	19,10	-5,87	3,22	7,30
B20	HN - lw	315,000	LC3.2	-19,10	5,87	-3,22	-7,30
B20	HN - lw	315,000	LC3.3	11,54	-3,38	2,00	4,41
B20	HN - lw	315,000	LC3.4	-11,57	3,56	-1,95	-4,43
B20	HN - lw	315,000	LC4.1	36,02	7,67	12,10	6,67
B20	HN - lw	315,000	LC4.2	35,65	12,46	13,47	15,79
B20	HN - lw	315,000	LC4.3	23,78	7,75	8,80	12,07
B20	HN - lw	315,000	LC4.4	14,23	4,96	5,37	7,64
B20	HN - lw	315,000	LC4.5	5,46	1,94	2,07	3,07
B20	HN - lw	315,000	LC5.1	-20,66	-28,27	-14,44	-8,78
B20	HN - lw	315,000	LC5.2	20,34	28,27	14,35	8,88
B20	HN - lw	420,000	LC1	-3,50	25,55	10,18	-1,20
B20	HN - lw	420,000	LC2	-1,78	12,85	4,93	-0,60
B20	HN - lw	420,000	LC3.1	19,10	-5,87	2,60	6,35
B20	HN - lw	420,000	LC3.2	-19,10	5,87	-2,60	-6,35
B20	HN - lw	420,000	LC3.3	11,54	-3,38	1,64	3,84
B20	HN - lw	420,000	LC3.4	-11,57	3,56	-1,58	-3,85
B20	HN - lw	420,000	LC4.1	36,02	7,67	12,90	4,99
B20	HN - lw	420,000	LC4.2	35,65	12,46	14,77	12,82
B20	HN - lw	420,000	LC4.3	23,78	7,75	9,61	10,21
B20	HN - lw	420,000	LC4.4	14,23	4,96	5,89	6,52
B20	HN - lw	420,000	LC4.5	5,46	1,94	2,27	2,62
B20	HN - lw	420,000	LC5.1	-20,66	-28,27	-17,41	-7,06
B20	HN - lw	420,000	LC5.2	20,34	28,27	17,32	7,24
B20	HN - lw	525,000	LC1	-3,50	25,10	12,84	-1,04
B20	HN - lw	525,000	LC2	-1,78	12,85	6,28	-0,52
B20	HN - lw	525,000	LC3.1	19,10	-5,87	1,99	5,40
B20	HN - lw	525,000	LC3.2	-19,10	5,87	-1,99	-5,40
B20	HN - lw	525,000	LC3.3	11,54	-3,38	1,29	3,26
B20	HN - lw	525,000	LC3.4	-11,57	3,56	-1,20	-3,27
B20	HN - lw	525,000	LC4.1	36,02	7,67	13,71	3,32
B20	HN - lw	525,000	LC4.2	35,65	12,46	16,08	9,85
B20	HN - lw	525,000	LC4.3	23,78	7,75	10,43	8,35
B20	HN - lw	525,000	LC4.4	14,23	4,96	6,41	5,39
B20	HN - lw	525,000	LC4.5	5,46	1,94	2,47	2,18

Dílec	css	dx [mm]	Stav	N [kN]	Vz [kN]	My [kNm]	Mz [kNm]
B20	HN - lw	525,000	LC5.1	-20,66	-28,27	-20,37	-5,36
B20	HN - lw	525,000	LC5.2	20,34	28,27	20,29	5,60
B20	HN - lw	630,000	LC1	-3,50	24,65	15,45	-0,89
B20	HN - lw	630,000	LC2	-1,78	12,85	7,63	-0,44
B20	HN - lw	630,000	LC3.1	19,10	-5,87	1,37	4,45
B20	HN - lw	630,000	LC3.2	-19,10	5,87	-1,37	-4,45
B20	HN - lw	630,000	LC3.3	11,54	-3,38	0,93	2,69
B20	HN - lw	630,000	LC3.4	-11,57	3,56	-0,83	-2,70
B20	HN - lw	630,000	LC4.1	36,02	7,67	14,51	1,64
B20	HN - lw	630,000	LC4.2	35,65	12,46	17,39	6,88
B20	HN - lw	630,000	LC4.3	23,78	7,75	11,24	6,49
B20	HN - lw	630,000	LC4.4	14,23	4,96	6,93	4,26
B20	HN - lw	630,000	LC4.5	5,46	1,94	2,68	1,73
B20	HN - lw	630,000	LC5.1	-20,66	-28,27	-23,34	-3,68
B20	HN - lw	630,000	LC5.2	20,34	28,27	23,25	3,96
B20	HN - lw	735,000	LC1	-3,50	24,20	18,02	-0,73
B20	HN - lw	735,000	LC2	-1,78	12,85	8,97	-0,36
B20	HN - lw	735,000	LC3.1	19,10	-5,87	0,76	3,50
B20	HN - lw	735,000	LC3.2	-19,10	5,87	-0,76	-3,50
B20	HN - lw	735,000	LC3.3	11,54	-3,38	0,58	2,12
B20	HN - lw	735,000	LC3.4	-11,57	3,56	-0,46	-2,12
B20	HN - lw	735,000	LC4.1	36,02	7,67	15,32	-0,04
B20	HN - lw	735,000	LC4.2	35,65	12,46	18,70	3,91
B20	HN - lw	735,000	LC4.3	23,78	7,75	12,05	4,63
B20	HN - lw	735,000	LC4.4	14,23	4,96	7,45	3,14
B20	HN - lw	735,000	LC4.5	5,46	1,94	2,88	1,29
B20	HN - lw	735,000	LC5.1	-20,66	-28,27	-26,31	-2,00
B20	HN - lw	735,000	LC5.2	20,34	28,27	26,22	2,32
B20	HN - lw	840,000	LC1	-3,50	23,75	20,54	-0,58
B20	HN - lw	840,000	LC2	-1,78	12,85	10,32	-0,28
B20	HN - lw	840,000	LC3.1	19,10	-5,87	0,14	2,55
B20	HN - lw	840,000	LC3.2	-19,10	5,87	-0,14	-2,55
B20	HN - lw	840,000	LC3.3	11,54	-3,38	0,22	1,54
B20	HN - lw	840,000	LC3.4	-11,57	3,56	-0,08	-1,55
B20	HN - lw	840,000	LC4.1	36,02	7,67	16,12	-1,72
B20	HN - lw	840,000	LC4.2	35,65	12,46	20,01	0,94
B20	HN - lw	840,000	LC4.3	23,78	7,75	12,87	2,77
B20	HN - lw	840,000	LC4.4	14,23	4,96	7,97	2,01
B20	HN - lw	840,000	LC4.5	5,46	1,94	3,08	0,84
B20	HN - lw	840,000	LC5.1	-20,66	-28,27	-29,28	-0,34
B20	HN - lw	840,000	LC5.2	20,34	28,27	29,19	0,68
B20	HN - lw	945,000	LC1	-3,50	23,30	23,01	-0,43
B20	HN - lw	945,000	LC2	-1,78	12,85	11,67	-0,20
B20	HN - lw	945,000	LC3.1	19,10	-5,87	-0,48	1,60
B20	HN - lw	945,000	LC3.2	-19,10	5,87	0,48	-1,60
B20	HN - lw	945,000	LC3.3	11,54	-3,38	-0,13	0,97
B20	HN - lw	945,000	LC3.4	-11,57	3,56	0,29	-0,97
B20	HN - lw	945,000	LC4.1	36,02	7,67	16,93	-3,40
B20	HN - lw	945,000	LC4.2	35,65	12,46	21,31	-2,03
B20	HN - lw	945,000	LC4.3	23,78	7,75	13,68	0,91
B20	HN - lw	945,000	LC4.4	14,23	4,96	8,49	0,88
B20	HN - lw	945,000	LC4.5	5,46	1,94	3,29	0,40
B20	HN - lw	945,000	LC5.1	-20,66	-28,27	-32,25	1,30
B20	HN - lw	945,000	LC5.2	20,34	28,27	32,16	-0,96
B20	HN - lw	1049,990	LC1	-3,50	22,84	25,43	-0,27
B20	HN - lw	1049,990	LC2	-1,78	12,85	13,02	-0,12
B20	HN - lw	1049,990	LC3.1	19,10	-5,87	-1,09	0,65
B20	HN - lw	1049,990	LC3.2	-19,10	5,87	1,09	-0,65
B20	HN - lw	1049,990	LC3.3	11,54	-3,38	-0,49	0,39
B20	HN - lw	1049,990	LC3.4	-11,57	3,56	0,66	-0,39
B20	HN - lw	1049,990	LC4.1	36,02	7,67	17,73	-5,07
B20	HN - lw	1049,990	LC4.2	35,65	12,46	22,62	-5,00
B20	HN - lw	1049,990	LC4.3	23,78	7,75	14,49	-0,95
B20	HN - lw	1049,990	LC4.4	14,23	4,96	9,02	-0,24
B20	HN - lw	1049,990	LC4.5	5,46	1,94	3,49	-0,05
B20	HN - lw	1049,990	LC5.1	-20,66	-28,27	-35,22	2,94
B20	HN - lw	1049,990	LC5.2	20,34	28,27	35,13	-2,59
B20	HN - lw	1050,010	LC1	-3,50	22,84	25,43	-0,27
B20	HN - lw	1050,010	LC2	-1,78	12,85	13,02	-0,12
B20	HN - lw	1050,010	LC3.1	19,10	-5,87	-1,09	0,65
B20	HN - lw	1050,010	LC3.2	-19,10	5,87	1,09	-0,65
B20	HN - lw	1050,010	LC3.3	11,54	-3,38	-0,49	0,39
B20	HN - lw	1050,010	LC3.4	-11,57	3,56	0,66	-0,39
B20	HN - lw	1050,010	LC4.1	36,02	7,67	17,73	-5,07
B20	HN - lw	1050,010	LC4.2	35,65	12,46	22,62	-5,00
B20	HN - lw	1050,010	LC4.3	23,78	7,75	14,49	-0,96

Dílec	css	dx [mm]	Stav	N [kN]	Vz [kN]	My [kNm]	Mz [kNm]
B20	HN - lw	1050,010	LC4.4	14,23	4,96	9,02	-0,24
B20	HN - lw	1050,010	LC4.5	5,46	1,94	3,49	-0,05
B20	HN - lw	1050,010	LC5.1	-20,66	-28,27	-35,22	2,94
B20	HN - lw	1050,010	LC5.2	20,34	28,27	35,13	-2,60
B20	HN - lw	1155,000	LC1	-3,50	22,39	27,80	-0,12
B20	HN - lw	1155,000	LC2	-1,78	12,85	14,37	-0,04
B20	HN - lw	1155,000	LC3.1	19,10	-5,87	-1,71	-0,30
B20	HN - lw	1155,000	LC3.2	-19,10	5,87	1,71	0,30
B20	HN - lw	1155,000	LC3.3	11,54	-3,38	-0,84	-0,18
B20	HN - lw	1155,000	LC3.4	-11,57	3,56	1,04	0,18
B20	HN - lw	1155,000	LC4.1	36,02	7,67	18,54	-6,75
B20	HN - lw	1155,000	LC4.2	35,65	12,46	23,93	-7,97
B20	HN - lw	1155,000	LC4.3	23,78	7,75	15,31	-2,82
B20	HN - lw	1155,000	LC4.4	14,23	4,96	9,54	-1,37
B20	HN - lw	1155,000	LC4.5	5,46	1,94	3,69	-0,49
B20	HN - lw	1155,000	LC5.1	-20,66	-28,27	-38,19	4,55
B20	HN - lw	1155,000	LC5.2	20,34	28,27	38,10	-4,23
B20	HN - lw	1260,000	LC1	-3,50	21,94	30,13	0,03
B20	HN - lw	1260,000	LC2	-1,78	12,85	15,72	0,04
B20	HN - lw	1260,000	LC3.1	19,10	-5,87	-2,33	-1,25
B20	HN - lw	1260,000	LC3.2	-19,10	5,87	2,33	1,25
B20	HN - lw	1260,000	LC3.3	11,54	-3,38	-1,20	-0,76
B20	HN - lw	1260,000	LC3.4	-11,57	3,56	1,41	0,76
B20	HN - lw	1260,000	LC4.1	36,02	7,67	19,34	-8,43
B20	HN - lw	1260,000	LC4.2	35,65	12,46	25,24	-10,95
B20	HN - lw	1260,000	LC4.3	23,78	7,75	16,12	-4,68
B20	HN - lw	1260,000	LC4.4	14,23	4,96	10,06	-2,50
B20	HN - lw	1260,000	LC4.5	5,46	1,94	3,90	-0,93
B20	HN - lw	1260,000	LC5.1	-20,66	-28,27	-41,16	6,16
B20	HN - lw	1260,000	LC5.2	20,34	28,27	41,07	-5,87
B20	HN - lw	1365,000	LC1	-3,50	21,49	32,41	0,19
B20	HN - lw	1365,000	LC2	-1,78	12,85	17,07	0,12
B20	HN - lw	1365,000	LC3.1	19,10	-5,87	-2,94	-2,20
B20	HN - lw	1365,000	LC3.2	-19,10	5,87	2,94	2,20
B20	HN - lw	1365,000	LC3.3	11,54	-3,38	-1,55	-1,33
B20	HN - lw	1365,000	LC3.4	-11,57	3,56	1,78	1,34
B20	HN - lw	1365,000	LC4.1	36,02	7,67	20,15	-10,11
B20	HN - lw	1365,000	LC4.2	35,65	12,46	26,55	-13,92
B20	HN - lw	1365,000	LC4.3	23,78	7,75	16,93	-6,54
B20	HN - lw	1365,000	LC4.4	14,23	4,96	10,58	-3,62
B20	HN - lw	1365,000	LC4.5	5,46	1,94	4,10	-1,38
B20	HN - lw	1365,000	LC5.1	-20,66	-28,27	-44,13	7,75
B20	HN - lw	1365,000	LC5.2	20,34	28,27	44,03	-7,51
B20	HN - lw	1470,000	LC1	-3,50	21,04	34,64	0,34
B20	HN - lw	1470,000	LC2	-1,78	12,85	18,42	0,20
B20	HN - lw	1470,000	LC3.1	19,10	-5,87	-3,56	-3,15
B20	HN - lw	1470,000	LC3.2	-19,10	5,87	3,56	3,15
B20	HN - lw	1470,000	LC3.3	11,54	-3,38	-1,91	-1,91
B20	HN - lw	1470,000	LC3.4	-11,57	3,56	2,16	1,91
B20	HN - lw	1470,000	LC4.1	36,02	7,67	20,95	-11,79
B20	HN - lw	1470,000	LC4.2	35,65	12,46	27,85	-16,89
B20	HN - lw	1470,000	LC4.3	23,78	7,75	17,75	-8,40
B20	HN - lw	1470,000	LC4.4	14,23	4,96	11,10	-4,75
B20	HN - lw	1470,000	LC4.5	5,46	1,94	4,30	-1,82
B20	HN - lw	1470,000	LC5.1	-20,66	-28,27	-47,09	9,33
B20	HN - lw	1470,000	LC5.2	20,34	28,27	47,00	-9,15
B20	HN - lw	1575,000	LC1	-3,50	20,59	36,83	0,50
B20	HN - lw	1575,000	LC2	-1,78	12,85	19,77	0,28
B20	HN - lw	1575,000	LC3.1	19,10	-5,87	-4,18	-4,10
B20	HN - lw	1575,000	LC3.2	-19,10	5,87	4,18	4,10
B20	HN - lw	1575,000	LC3.3	11,54	-3,38	-2,26	-2,48
B20	HN - lw	1575,000	LC3.4	-11,57	3,56	2,53	2,49
B20	HN - lw	1575,000	LC4.1	36,02	7,67	21,75	-13,46
B20	HN - lw	1575,000	LC4.2	35,65	12,46	29,16	-19,86
B20	HN - lw	1575,000	LC4.3	23,78	7,75	18,56	-10,26
B20	HN - lw	1575,000	LC4.4	14,23	4,96	11,62	-5,88
B20	HN - lw	1575,000	LC4.5	5,46	1,94	4,51	-2,27
B20	HN - lw	1575,000	LC5.1	-20,66	-28,27	-50,06	10,89
B20	HN - lw	1575,000	LC5.2	20,34	28,27	49,97	-10,79
B20	HN - lw	1680,000	LC1	-3,50	20,13	38,97	0,65
B20	HN - lw	1680,000	LC2	-1,78	12,85	21,12	0,36
B20	HN - lw	1680,000	LC3.1	19,10	-5,87	-4,79	-5,05
B20	HN - lw	1680,000	LC3.2	-19,10	5,87	4,79	5,05
B20	HN - lw	1680,000	LC3.3	11,54	-3,38	-2,62	-3,06
B20	HN - lw	1680,000	LC3.4	-11,57	3,56	2,91	3,06
B20	HN - lw	1680,000	LC4.1	36,02	7,67	22,56	-15,14

Dílec	css	dx [mm]	Stav	N [kN]	Vz [kN]	My [kNm]	Mz [kNm]
B20	HN - lw	1680,000	LC4.2	35,65	12,46	30,47	-22,83
B20	HN - lw	1680,000	LC4.3	23,78	7,75	19,37	-12,12
B20	HN - lw	1680,000	LC4.4	14,23	4,96	12,14	-7,00
B20	HN - lw	1680,000	LC4.5	5,46	1,94	4,71	-2,71
B20	HN - lw	1680,000	LC5.1	-20,66	-28,27	-53,03	12,45
B20	HN - lw	1680,000	LC5.2	20,34	28,27	52,94	-12,43
B20	HN - lw	1785,000	LC1	-3,50	19,68	41,06	0,80
B20	HN - lw	1785,000	LC2	-1,78	12,85	22,47	0,44
B20	HN - lw	1785,000	LC3.1	19,10	-5,87	-5,41	-6,01
B20	HN - lw	1785,000	LC3.2	-19,10	5,87	5,41	6,01
B20	HN - lw	1785,000	LC3.3	11,54	-3,38	-2,98	-3,63
B20	HN - lw	1785,000	LC3.4	-11,57	3,56	3,28	3,64
B20	HN - lw	1785,000	LC4.1	36,02	7,67	23,36	-16,82
B20	HN - lw	1785,000	LC4.2	35,65	12,46	31,78	-25,80
B20	HN - lw	1785,000	LC4.3	23,78	7,75	20,19	-13,98
B20	HN - lw	1785,000	LC4.4	14,23	4,96	12,66	-8,13
B20	HN - lw	1785,000	LC4.5	5,46	1,94	4,91	-3,16
B20	HN - lw	1785,000	LC5.1	-20,66	-28,27	-56,00	13,98
B20	HN - lw	1785,000	LC5.2	20,34	28,27	55,91	-14,07
B20	HN - lw	1890,000	LC1	-3,50	19,23	43,10	0,96
B20	HN - lw	1890,000	LC2	-1,78	12,85	23,82	0,52
B20	HN - lw	1890,000	LC3.1	19,10	-5,87	-6,03	-6,96
B20	HN - lw	1890,000	LC3.2	-19,10	5,87	6,03	6,96
B20	HN - lw	1890,000	LC3.3	11,54	-3,38	-3,33	-4,21
B20	HN - lw	1890,000	LC3.4	-11,57	3,56	3,65	4,22
B20	HN - lw	1890,000	LC4.1	36,02	7,67	24,17	-18,50
B20	HN - lw	1890,000	LC4.2	35,65	12,46	33,09	-28,77
B20	HN - lw	1890,000	LC4.3	23,78	7,75	21,00	-15,84
B20	HN - lw	1890,000	LC4.4	14,23	4,96	13,18	-9,26
B20	HN - lw	1890,000	LC4.5	5,46	1,94	5,12	-3,60
B20	HN - lw	1890,000	LC5.1	-20,66	-28,27	-58,97	15,51
B20	HN - lw	1890,000	LC5.2	20,34	28,27	58,88	-15,71
B20	HN - lw	1995,000	LC1	-3,50	18,78	45,10	1,11
B20	HN - lw	1995,000	LC2	-1,78	12,85	25,17	0,60
B20	HN - lw	1995,000	LC3.1	19,10	-5,87	-6,64	-7,91
B20	HN - lw	1995,000	LC3.2	-19,10	5,87	6,64	7,91
B20	HN - lw	1995,000	LC3.3	11,54	-3,38	-3,69	-4,78
B20	HN - lw	1995,000	LC3.4	-11,57	3,56	4,03	4,79
B20	HN - lw	1995,000	LC4.1	36,02	7,67	24,97	-20,18
B20	HN - lw	1995,000	LC4.2	35,65	12,46	34,39	-31,74
B20	HN - lw	1995,000	LC4.3	23,78	7,75	21,81	-17,70
B20	HN - lw	1995,000	LC4.4	14,23	4,96	13,70	-10,38
B20	HN - lw	1995,000	LC4.5	5,46	1,94	5,32	-4,05
B20	HN - lw	1995,000	LC5.1	-20,66	-28,27	-61,94	17,02
B20	HN - lw	1995,000	LC5.2	20,34	28,27	61,84	-17,34
B20	HN - lw	2100,000	LC1	-3,50	18,33	47,04	1,26
B20	HN - lw	2100,000	LC2	-1,78	12,85	26,51	0,68
B20	HN - lw	2100,000	LC3.1	19,10	-5,87	-7,26	-8,86
B20	HN - lw	2100,000	LC3.2	-19,10	5,87	7,26	8,86
B20	HN - lw	2100,000	LC3.3	11,54	-3,38	-4,04	-5,36
B20	HN - lw	2100,000	LC3.4	-11,57	3,56	4,40	5,37
B20	HN - lw	2100,000	LC4.1	36,02	7,67	25,78	-21,85
B20	HN - lw	2100,000	LC4.2	35,65	12,46	35,70	-34,71
B20	HN - lw	2100,000	LC4.3	23,78	7,75	22,63	-19,57
B20	HN - lw	2100,000	LC4.4	14,23	4,96	14,23	-11,51
B20	HN - lw	2100,000	LC4.5	5,46	1,94	5,52	-4,49
B20	HN - lw	2100,000	LC5.1	-20,66	-28,27	-64,91	18,51
B20	HN - lw	2100,000	LC5.2	20,34	28,27	64,81	-18,98
B21	HN - lw	0,000	LC1	-7,86	14,45	45,88	-1,00
B21	HN - lw	0,000	LC2	-4,22	5,39	25,86	-0,58
B21	HN - lw	0,000	LC3.1	49,41	-4,14	0,84	7,01
B21	HN - lw	0,000	LC3.2	-49,41	4,14	-0,84	-7,01
B21	HN - lw	0,000	LC3.3	29,87	-2,33	0,86	4,24
B21	HN - lw	0,000	LC3.4	-29,94	2,51	-0,51	-4,25
B21	HN - lw	0,000	LC4.1	32,23	-2,77	24,74	-12,65
B21	HN - lw	0,000	LC4.2	92,63	3,16	50,98	-10,89
B21	HN - lw	0,000	LC4.3	67,60	8,98	34,36	7,60
B21	HN - lw	0,000	LC4.4	42,49	5,31	21,79	6,23
B21	HN - lw	0,000	LC4.5	16,45	1,91	8,47	2,57
B21	HN - lw	0,000	LC5.1	-45,01	-11,90	-71,42	2,64
B21	HN - lw	0,000	LC5.2	44,83	11,90	71,36	-3,04
B21	HN - lw	105,000	LC1	-7,86	14,00	47,37	-0,91
B21	HN - lw	105,000	LC2	-4,22	5,39	26,43	-0,53
B21	HN - lw	105,000	LC3.1	49,41	-4,14	0,41	6,29
B21	HN - lw	105,000	LC3.2	-49,41	4,14	-0,41	-6,29
B21	HN - lw	105,000	LC3.3	29,87	-2,33	0,61	3,80

Dílec	css	dx [mm]	Stav	N [kN]	Vz [kN]	My [kNm]	Mz [kNm]
B21	HN - lw	105,000	LC3.4	-29,94	2,51	-0,25	-3,82
B21	HN - lw	105,000	LC4.1	32,23	-2,77	24,45	-12,16
B21	HN - lw	105,000	LC4.2	92,63	3,16	51,31	-11,66
B21	HN - lw	105,000	LC4.3	67,60	8,98	35,30	5,55
B21	HN - lw	105,000	LC4.4	42,49	5,31	22,35	5,01
B21	HN - lw	105,000	LC4.5	16,45	1,91	8,67	2,09
B21	HN - lw	105,000	LC5.1	-45,01	-11,90	-72,67	3,52
B21	HN - lw	105,000	LC5.2	44,83	11,90	72,61	-3,79
B21	HN - lw	210,000	LC1	-7,86	13,55	48,82	-0,83
B21	HN - lw	210,000	LC2	-4,22	5,39	27,00	-0,49
B21	HN - lw	210,000	LC3.1	49,41	-4,14	-0,02	5,58
B21	HN - lw	210,000	LC3.2	-49,41	4,14	0,02	-5,58
B21	HN - lw	210,000	LC3.3	29,87	-2,33	0,37	3,37
B21	HN - lw	210,000	LC3.4	-29,94	2,51	0,01	-3,38
B21	HN - lw	210,000	LC4.1	32,23	-2,77	24,16	-11,67
B21	HN - lw	210,000	LC4.2	92,63	3,16	51,65	-12,43
B21	HN - lw	210,000	LC4.3	67,60	8,98	36,25	3,50
B21	HN - lw	210,000	LC4.4	42,49	5,31	22,90	3,80
B21	HN - lw	210,000	LC4.5	16,45	1,91	8,87	1,62
B21	HN - lw	210,000	LC5.1	-45,01	-11,90	-73,92	4,38
B21	HN - lw	210,000	LC5.2	44,83	11,90	73,86	-4,54
B21	HN - lw	315,000	LC1	-7,86	13,10	50,22	-0,75
B21	HN - lw	315,000	LC2	-4,22	5,39	27,56	-0,44
B21	HN - lw	315,000	LC3.1	49,41	-4,14	-0,46	4,86
B21	HN - lw	315,000	LC3.2	-49,41	4,14	0,46	-4,86
B21	HN - lw	315,000	LC3.3	29,87	-2,33	0,13	2,94
B21	HN - lw	315,000	LC3.4	-29,94	2,51	0,28	-2,95
B21	HN - lw	315,000	LC4.1	32,23	-2,77	23,87	-11,17
B21	HN - lw	315,000	LC4.2	92,63	3,16	51,98	-13,20
B21	HN - lw	315,000	LC4.3	67,60	8,98	37,19	1,44
B21	HN - lw	315,000	LC4.4	42,49	5,31	23,46	2,58
B21	HN - lw	315,000	LC4.5	16,45	1,91	9,07	1,14
B21	HN - lw	315,000	LC5.1	-45,01	-11,90	-75,17	5,24
B21	HN - lw	315,000	LC5.2	44,83	11,90	75,11	-5,30
B21	HN - lw	420,000	LC1	-7,86	12,64	51,57	-0,67
B21	HN - lw	420,000	LC2	-4,22	5,39	28,13	-0,39
B21	HN - lw	420,000	LC3.1	49,41	-4,14	-0,89	4,14
B21	HN - lw	420,000	LC3.2	-49,41	4,14	0,89	-4,14
B21	HN - lw	420,000	LC3.3	29,87	-2,33	-0,12	2,50
B21	HN - lw	420,000	LC3.4	-29,94	2,51	0,54	-2,51
B21	HN - lw	420,000	LC4.1	32,23	-2,77	23,58	-10,68
B21	HN - lw	420,000	LC4.2	92,63	3,16	52,31	-13,97
B21	HN - lw	420,000	LC4.3	67,60	8,98	38,13	-0,61
B21	HN - lw	420,000	LC4.4	42,49	5,31	24,02	1,36
B21	HN - lw	420,000	LC4.5	16,45	1,91	9,27	0,66
B21	HN - lw	420,000	LC5.1	-45,01	-11,90	-76,42	6,08
B21	HN - lw	420,000	LC5.2	44,83	11,90	76,36	-6,05
B21	HN - lw	525,000	LC1	-7,86	12,19	52,87	-0,59
B21	HN - lw	525,000	LC2	-4,22	5,39	28,69	-0,35
B21	HN - lw	525,000	LC3.1	49,41	-4,14	-1,33	3,43
B21	HN - lw	525,000	LC3.2	-49,41	4,14	1,33	-3,43
B21	HN - lw	525,000	LC3.3	29,87	-2,33	-0,36	2,07
B21	HN - lw	525,000	LC3.4	-29,94	2,51	0,80	-2,08
B21	HN - lw	525,000	LC4.1	32,23	-2,77	23,29	-10,18
B21	HN - lw	525,000	LC4.2	92,63	3,16	52,64	-14,74
B21	HN - lw	525,000	LC4.3	67,60	8,98	39,07	-2,66
B21	HN - lw	525,000	LC4.4	42,49	5,31	24,58	0,14
B21	HN - lw	525,000	LC4.5	16,45	1,91	9,47	0,18
B21	HN - lw	525,000	LC5.1	-45,01	-11,90	-77,66	6,90
B21	HN - lw	525,000	LC5.2	44,83	11,90	77,61	-6,81
B21	HN - lw	630,000	LC1	-7,86	11,74	54,13	-0,51
B21	HN - lw	630,000	LC2	-4,22	5,39	29,26	-0,30
B21	HN - lw	630,000	LC3.1	49,41	-4,14	-1,76	2,71
B21	HN - lw	630,000	LC3.2	-49,41	4,14	1,76	-2,71
B21	HN - lw	630,000	LC3.3	29,87	-2,33	-0,61	1,63
B21	HN - lw	630,000	LC3.4	-29,94	2,51	1,07	-1,64
B21	HN - lw	630,000	LC4.1	32,23	-2,77	23,00	-9,69
B21	HN - lw	630,000	LC4.2	92,63	3,16	52,97	-15,51
B21	HN - lw	630,000	LC4.3	67,60	8,98	40,02	-4,72
B21	HN - lw	630,000	LC4.4	42,49	5,31	25,13	-1,08
B21	HN - lw	630,000	LC4.5	16,45	1,91	9,67	-0,29
B21	HN - lw	630,000	LC5.1	-45,01	-11,90	-78,91	7,71
B21	HN - lw	630,000	LC5.2	44,83	11,90	78,86	-7,56
B21	HN - lw	735,000	LC1	-7,86	11,29	55,34	-0,42
B21	HN - lw	735,000	LC2	-4,22	5,39	29,82	-0,25
B21	HN - lw	735,000	LC3.1	49,41	-4,14	-2,20	1,99

Dílec	css	dx [mm]	Stav	N [kN]	Vz [kN]	My [kNm]	Mz [kNm]
B21	HN - lw	735,000	LC3.2	-49,41	4,14	2,20	-1,99
B21	HN - lw	735,000	LC3.3	29,87	-2,33	-0,85	1,20
B21	HN - lw	735,000	LC3.4	-29,94	2,51	1,33	-1,21
B21	HN - lw	735,000	LC4.1	32,23	-2,77	22,71	-9,19
B21	HN - lw	735,000	LC4.2	92,63	3,16	53,30	-16,28
B21	HN - lw	735,000	LC4.3	67,60	8,98	40,96	-6,77
B21	HN - lw	735,000	LC4.4	42,49	5,31	25,69	-2,29
B21	HN - lw	735,000	LC4.5	16,45	1,91	9,87	-0,77
B21	HN - lw	735,000	LC5.1	-45,01	-11,90	-80,16	8,51
B21	HN - lw	735,000	LC5.2	44,83	11,90	80,11	-8,32
B21	HN - lw	840,000	LC1	-7,86	10,84	56,50	-0,34
B21	HN - lw	840,000	LC2	-4,22	5,39	30,39	-0,20
B21	HN - lw	840,000	LC3.1	49,41	-4,14	-2,63	1,27
B21	HN - lw	840,000	LC3.2	-49,41	4,14	2,63	-1,27
B21	HN - lw	840,000	LC3.3	29,87	-2,33	-1,10	0,76
B21	HN - lw	840,000	LC3.4	-29,94	2,51	1,59	-0,77
B21	HN - lw	840,000	LC4.1	32,23	-2,77	22,42	-8,70
B21	HN - lw	840,000	LC4.2	92,63	3,16	53,63	-17,05
B21	HN - lw	840,000	LC4.3	67,60	8,98	41,90	-8,82
B21	HN - lw	840,000	LC4.4	42,49	5,31	26,25	-3,51
B21	HN - lw	840,000	LC4.5	16,45	1,91	10,07	-1,25
B21	HN - lw	840,000	LC5.1	-45,01	-11,90	-81,41	9,30
B21	HN - lw	840,000	LC5.2	44,83	11,90	81,36	-9,07
B21	HN - lw	945,000	LC1	-7,86	10,39	57,61	-0,26
B21	HN - lw	945,000	LC2	-4,22	5,39	30,96	-0,16
B21	HN - lw	945,000	LC3.1	49,41	-4,14	-3,06	0,56
B21	HN - lw	945,000	LC3.2	-49,41	4,14	3,06	-0,56
B21	HN - lw	945,000	LC3.3	29,87	-2,33	-1,34	0,33
B21	HN - lw	945,000	LC3.4	-29,94	2,51	1,86	-0,34
B21	HN - lw	945,000	LC4.1	32,23	-2,77	22,13	-8,21
B21	HN - lw	945,000	LC4.2	92,63	3,16	53,97	-17,82
B21	HN - lw	945,000	LC4.3	67,60	8,98	42,84	-10,88
B21	HN - lw	945,000	LC4.4	42,49	5,31	26,81	-4,73
B21	HN - lw	945,000	LC4.5	16,45	1,91	10,27	-1,73
B21	HN - lw	945,000	LC5.1	-45,01	-11,90	-82,66	10,07
B21	HN - lw	945,000	LC5.2	44,83	11,90	82,61	-9,82
B21	HN - lw	1049,990	LC1	-7,86	9,93	58,68	-0,18
B21	HN - lw	1049,990	LC2	-4,22	5,39	31,52	-0,11
B21	HN - lw	1049,990	LC3.1	49,41	-4,14	-3,50	-0,16
B21	HN - lw	1049,990	LC3.2	-49,41	4,14	3,50	0,16
B21	HN - lw	1049,990	LC3.3	29,87	-2,33	-1,58	-0,10
B21	HN - lw	1049,990	LC3.4	-29,94	2,51	2,12	0,10
B21	HN - lw	1049,990	LC4.1	32,23	-2,77	21,84	-7,71
B21	HN - lw	1049,990	LC4.2	92,63	3,16	54,30	-18,60
B21	HN - lw	1049,990	LC4.3	67,60	8,98	43,78	-12,93
B21	HN - lw	1049,990	LC4.4	42,49	5,31	27,36	-5,95
B21	HN - lw	1049,990	LC4.5	16,45	1,91	10,47	-2,21
B21	HN - lw	1049,990	LC5.1	-45,01	-11,90	-83,91	10,83
B21	HN - lw	1049,990	LC5.2	44,83	11,90	83,86	-10,58
B21	HN - lw	1050,010	LC1	-7,86	9,93	58,68	-0,18
B21	HN - lw	1050,010	LC2	-4,22	5,39	31,52	-0,11
B21	HN - lw	1050,010	LC3.1	49,41	-4,14	-3,50	-0,16
B21	HN - lw	1050,010	LC3.2	-49,41	4,14	3,50	0,16
B21	HN - lw	1050,010	LC3.3	29,87	-2,33	-1,58	-0,10
B21	HN - lw	1050,010	LC3.4	-29,94	2,51	2,12	0,10
B21	HN - lw	1050,010	LC4.1	32,23	-2,77	21,84	-7,71
B21	HN - lw	1050,010	LC4.2	92,63	3,16	54,30	-18,60
B21	HN - lw	1050,010	LC4.3	67,60	8,98	43,78	-12,93
B21	HN - lw	1050,010	LC4.4	42,49	5,31	27,36	-5,95
B21	HN - lw	1050,010	LC4.5	16,45	1,91	10,47	-2,21
B21	HN - lw	1050,010	LC5.1	-45,01	-11,90	-83,91	10,83
B21	HN - lw	1050,010	LC5.2	44,83	11,90	83,86	-10,58
B21	HN - lw	1155,000	LC1	-7,86	9,48	59,70	-0,10
B21	HN - lw	1155,000	LC2	-4,22	5,39	32,09	-0,06
B21	HN - lw	1155,000	LC3.1	49,41	-4,14	-3,93	-0,88
B21	HN - lw	1155,000	LC3.2	-49,41	4,14	3,93	0,88
B21	HN - lw	1155,000	LC3.3	29,87	-2,33	-1,83	-0,54
B21	HN - lw	1155,000	LC3.4	-29,94	2,51	2,38	0,53
B21	HN - lw	1155,000	LC4.1	32,23	-2,77	21,55	-7,22
B21	HN - lw	1155,000	LC4.2	92,63	3,16	54,63	-19,37
B21	HN - lw	1155,000	LC4.3	67,60	8,98	44,73	-14,98
B21	HN - lw	1155,000	LC4.4	42,49	5,31	27,92	-7,16
B21	HN - lw	1155,000	LC4.5	16,45	1,91	10,67	-2,68
B21	HN - lw	1155,000	LC5.1	-45,01	-11,90	-85,16	11,57
B21	HN - lw	1155,000	LC5.2	44,83	11,90	85,11	-11,33
B21	HN - lw	1260,000	LC1	-7,86	9,03	60,67	-0,02

Dílec	css	dx [mm]	Stav	N [kN]	Vz [kN]	My [kNm]	Mz [kNm]
B21	HN - lw	1260,000	LC2	-4,22	5,39	32,65	-0,01
B21	HN - lw	1260,000	LC3.1	49,41	-4,14	-4,37	-1,60
B21	HN - lw	1260,000	LC3.2	-49,41	4,14	4,37	1,60
B21	HN - lw	1260,000	LC3.3	29,87	-2,33	-2,07	-0,97
B21	HN - lw	1260,000	LC3.4	-29,94	2,51	2,65	0,97
B21	HN - lw	1260,000	LC4.1	32,23	-2,77	21,26	-6,72
B21	HN - lw	1260,000	LC4.2	92,63	3,16	54,96	-20,14
B21	HN - lw	1260,000	LC4.3	67,60	8,98	45,67	-17,03
B21	HN - lw	1260,000	LC4.4	42,49	5,31	28,48	-8,38
B21	HN - lw	1260,000	LC4.5	16,45	1,91	10,88	-3,16
B21	HN - lw	1260,000	LC5.1	-45,01	-11,90	-86,41	12,30
B21	HN - lw	1260,000	LC5.2	44,83	11,90	86,36	-12,09
B21	HN - lw	1365,000	LC1	-7,86	8,58	61,60	0,07
B21	HN - lw	1365,000	LC2	-4,22	5,39	33,22	0,03
B21	HN - lw	1365,000	LC3.1	49,41	-4,14	-4,80	-2,31
B21	HN - lw	1365,000	LC3.2	-49,41	4,14	4,80	2,31
B21	HN - lw	1365,000	LC3.3	29,87	-2,33	-2,32	-1,41
B21	HN - lw	1365,000	LC3.4	-29,94	2,51	2,91	1,40
B21	HN - lw	1365,000	LC4.1	32,23	-2,77	20,97	-6,23
B21	HN - lw	1365,000	LC4.2	92,63	3,16	55,29	-20,91
B21	HN - lw	1365,000	LC4.3	67,60	8,98	46,61	-19,09
B21	HN - lw	1365,000	LC4.4	42,49	5,31	29,04	-9,60
B21	HN - lw	1365,000	LC4.5	16,45	1,91	11,08	-3,64
B21	HN - lw	1365,000	LC5.1	-45,01	-11,90	-87,66	13,02
B21	HN - lw	1365,000	LC5.2	44,83	11,90	87,61	-12,84
B21	HN - lw	1470,000	LC1	-7,86	8,13	62,47	0,15
B21	HN - lw	1470,000	LC2	-4,22	5,39	33,79	0,08
B21	HN - lw	1470,000	LC3.1	49,41	-4,14	-5,23	-3,03
B21	HN - lw	1470,000	LC3.2	-49,41	4,14	5,23	3,03
B21	HN - lw	1470,000	LC3.3	29,87	-2,33	-2,56	-1,84
B21	HN - lw	1470,000	LC3.4	-29,94	2,51	3,17	1,84
B21	HN - lw	1470,000	LC4.1	32,23	-2,77	20,68	-5,74
B21	HN - lw	1470,000	LC4.2	92,63	3,16	55,62	-21,68
B21	HN - lw	1470,000	LC4.3	67,60	8,98	47,55	-21,14
B21	HN - lw	1470,000	LC4.4	42,49	5,31	29,59	-10,82
B21	HN - lw	1470,000	LC4.5	16,45	1,91	11,28	-4,12
B21	HN - lw	1470,000	LC5.1	-45,01	-11,90	-88,91	13,72
B21	HN - lw	1470,000	LC5.2	44,83	11,90	88,86	-13,59
B21	HN - lw	1575,000	LC1	-7,86	7,67	63,30	0,23
B21	HN - lw	1575,000	LC2	-4,22	5,39	34,35	0,13
B21	HN - lw	1575,000	LC3.1	49,41	-4,14	-5,67	-3,75
B21	HN - lw	1575,000	LC3.2	-49,41	4,14	5,67	3,75
B21	HN - lw	1575,000	LC3.3	29,87	-2,33	-2,81	-2,28
B21	HN - lw	1575,000	LC3.4	-29,94	2,51	3,44	2,27
B21	HN - lw	1575,000	LC4.1	32,23	-2,77	20,39	-5,24
B21	HN - lw	1575,000	LC4.2	92,63	3,16	55,95	-22,45
B21	HN - lw	1575,000	LC4.3	67,60	8,98	48,50	-23,19
B21	HN - lw	1575,000	LC4.4	42,49	5,31	30,15	-12,04
B21	HN - lw	1575,000	LC4.5	16,45	1,91	11,48	-4,59
B21	HN - lw	1575,000	LC5.1	-45,01	-11,90	-90,16	14,41
B21	HN - lw	1575,000	LC5.2	44,83	11,90	90,11	-14,35
B21	HN - lw	1680,000	LC1	-7,86	7,22	64,09	0,31
B21	HN - lw	1680,000	LC2	-4,22	5,39	34,92	0,18
B21	HN - lw	1680,000	LC3.1	49,41	-4,14	-6,10	-4,47
B21	HN - lw	1680,000	LC3.2	-49,41	4,14	6,10	4,47
B21	HN - lw	1680,000	LC3.3	29,87	-2,33	-3,05	-2,71
B21	HN - lw	1680,000	LC3.4	-29,94	2,51	3,70	2,71
B21	HN - lw	1680,000	LC4.1	32,23	-2,77	20,10	-4,75
B21	HN - lw	1680,000	LC4.2	92,63	3,16	56,29	-23,22
B21	HN - lw	1680,000	LC4.3	67,60	8,98	49,44	-25,25
B21	HN - lw	1680,000	LC4.4	42,49	5,31	30,71	-13,25
B21	HN - lw	1680,000	LC4.5	16,45	1,91	11,68	-5,07
B21	HN - lw	1680,000	LC5.1	-45,01	-11,90	-91,41	15,09
B21	HN - lw	1680,000	LC5.2	44,83	11,90	91,36	-15,10
B21	HN - lw	1785,000	LC1	-7,86	6,77	64,82	0,39
B21	HN - lw	1785,000	LC2	-4,22	5,39	35,48	0,22
B21	HN - lw	1785,000	LC3.1	49,41	-4,14	-6,54	-5,18
B21	HN - lw	1785,000	LC3.2	-49,41	4,14	6,54	5,18
B21	HN - lw	1785,000	LC3.3	29,87	-2,33	-3,29	-3,14
B21	HN - lw	1785,000	LC3.4	-29,94	2,51	3,96	3,14
B21	HN - lw	1785,000	LC4.1	32,23	-2,77	19,81	-4,25
B21	HN - lw	1785,000	LC4.2	92,63	3,16	56,62	-23,99
B21	HN - lw	1785,000	LC4.3	67,60	8,98	50,38	-27,30
B21	HN - lw	1785,000	LC4.4	42,49	5,31	31,26	-14,47
B21	HN - lw	1785,000	LC4.5	16,45	1,91	11,88	-5,55
B21	HN - lw	1785,000	LC5.1	-45,01	-11,90	-92,66	15,75

Dílec	css	dx [mm]	Stav	N [kN]	Vz [kN]	My [kNm]	Mz [kNm]
B21	HN - lw	1785,000	LC5.2	44,83	11,90	92,61	-15,86
B21	HN - lw	1890,000	LC1	-7,86	6,32	65,51	0,47
B21	HN - lw	1890,000	LC2	-4,22	5,39	36,05	0,27
B21	HN - lw	1890,000	LC3.1	49,41	-4,14	-6,97	-5,90
B21	HN - lw	1890,000	LC3.2	-49,41	4,14	6,97	5,90
B21	HN - lw	1890,000	LC3.3	29,87	-2,33	-3,54	-3,58
B21	HN - lw	1890,000	LC3.4	-29,94	2,51	4,23	3,58
B21	HN - lw	1890,000	LC4.1	32,23	-2,77	19,52	-3,76
B21	HN - lw	1890,000	LC4.2	92,63	3,16	56,95	-24,76
B21	HN - lw	1890,000	LC4.3	67,60	8,98	51,32	-29,35
B21	HN - lw	1890,000	LC4.4	42,49	5,31	31,82	-15,69
B21	HN - lw	1890,000	LC4.5	16,45	1,91	12,08	-6,03
B21	HN - lw	1890,000	LC5.1	-45,01	-11,90	-93,91	16,40
B21	HN - lw	1890,000	LC5.2	44,83	11,90	93,86	-16,61
B21	HN - lw	1995,000	LC1	-7,86	5,87	66,15	0,55
B21	HN - lw	1995,000	LC2	-4,22	5,39	36,61	0,32
B21	HN - lw	1995,000	LC3.1	49,41	-4,14	-7,41	-6,62
B21	HN - lw	1995,000	LC3.2	-49,41	4,14	7,41	6,62
B21	HN - lw	1995,000	LC3.3	29,87	-2,33	-3,78	-4,01
B21	HN - lw	1995,000	LC3.4	-29,94	2,51	4,49	4,01
B21	HN - lw	1995,000	LC4.1	32,23	-2,77	19,22	-3,26
B21	HN - lw	1995,000	LC4.2	92,63	3,16	57,28	-25,53
B21	HN - lw	1995,000	LC4.3	67,60	8,98	52,27	-31,41
B21	HN - lw	1995,000	LC4.4	42,49	5,31	32,38	-16,91
B21	HN - lw	1995,000	LC4.5	16,45	1,91	12,28	-6,51
B21	HN - lw	1995,000	LC5.1	-45,01	-11,90	-95,16	17,04
B21	HN - lw	1995,000	LC5.2	44,83	11,90	95,11	-17,37
B21	HN - lw	2100,000	LC1	-7,86	5,42	66,74	0,64
B21	HN - lw	2100,000	LC2	-4,22	5,39	37,18	0,37
B21	HN - lw	2100,000	LC3.1	49,41	-4,14	-7,84	-7,34
B21	HN - lw	2100,000	LC3.2	-49,41	4,14	7,84	7,34
B21	HN - lw	2100,000	LC3.3	29,87	-2,33	-4,03	-4,45
B21	HN - lw	2100,000	LC3.4	-29,94	2,51	4,75	4,45
B21	HN - lw	2100,000	LC4.1	32,23	-2,77	18,93	-2,77
B21	HN - lw	2100,000	LC4.2	92,63	3,16	57,61	-26,30
B21	HN - lw	2100,000	LC4.3	67,60	8,98	53,21	-33,46
B21	HN - lw	2100,000	LC4.4	42,49	5,31	32,94	-18,13
B21	HN - lw	2100,000	LC4.5	16,45	1,91	12,48	-6,98
B21	HN - lw	2100,000	LC5.1	-45,01	-11,90	-96,41	17,66
B21	HN - lw	2100,000	LC5.2	44,83	11,90	96,36	-18,12
B22	HN - lw	0,000	LC1	-9,05	1,59	66,42	0,03
B22	HN - lw	0,000	LC2	-4,90	-1,83	37,00	0,01
B22	HN - lw	0,000	LC3.1	78,48	-3,67	-0,06	7,78
B22	HN - lw	0,000	LC3.2	-78,48	3,67	0,06	-7,78
B22	HN - lw	0,000	LC3.3	47,47	-2,08	0,68	4,71
B22	HN - lw	0,000	LC3.4	-47,56	2,23	0,04	-4,72
B22	HN - lw	0,000	LC4.1	22,50	-1,99	16,33	-8,42
B22	HN - lw	0,000	LC4.2	68,40	-6,72	51,10	-29,38
B22	HN - lw	0,000	LC4.3	103,85	-0,99	62,94	-23,36
B22	HN - lw	0,000	LC4.4	71,73	4,70	40,77	-1,48
B22	HN - lw	0,000	LC4.5	27,52	2,57	15,44	-0,49
B22	HN - lw	0,000	LC5.1	-50,62	4,16	-97,90	14,23
B22	HN - lw	0,000	LC5.2	50,48	-4,16	97,87	-14,67
B22	HN - lw	105,000	LC1	-9,05	1,14	66,57	0,00
B22	HN - lw	105,000	LC2	-4,90	-1,83	36,81	0,00
B22	HN - lw	105,000	LC3.1	78,48	-3,67	-0,45	7,01
B22	HN - lw	105,000	LC3.2	-78,48	3,67	0,45	-7,01
B22	HN - lw	105,000	LC3.3	47,47	-2,08	0,46	4,24
B22	HN - lw	105,000	LC3.4	-47,56	2,23	0,27	-4,25
B22	HN - lw	105,000	LC4.1	22,50	-1,99	16,12	-7,89
B22	HN - lw	105,000	LC4.2	68,40	-6,72	50,39	-27,70
B22	HN - lw	105,000	LC4.3	103,85	-0,99	62,83	-22,98
B22	HN - lw	105,000	LC4.4	71,73	4,70	41,26	-2,72
B22	HN - lw	105,000	LC4.5	27,52	2,57	15,71	-0,94
B22	HN - lw	105,000	LC5.1	-50,62	4,16	-97,47	14,03
B22	HN - lw	105,000	LC5.2	50,48	-4,16	97,43	-14,34
B22	HN - lw	210,000	LC1	-9,05	0,69	66,66	-0,02
B22	HN - lw	210,000	LC2	-4,90	-1,83	36,61	-0,01
B22	HN - lw	210,000	LC3.1	78,48	-3,67	-0,84	6,24
B22	HN - lw	210,000	LC3.2	-78,48	3,67	0,84	-6,24
B22	HN - lw	210,000	LC3.3	47,47	-2,08	0,24	3,77
B22	HN - lw	210,000	LC3.4	-47,56	2,23	0,51	-3,78
B22	HN - lw	210,000	LC4.1	22,50	-1,99	15,91	-7,37
B22	HN - lw	210,000	LC4.2	68,40	-6,72	49,69	-26,02
B22	HN - lw	210,000	LC4.3	103,85	-0,99	62,73	-22,60
B22	HN - lw	210,000	LC4.4	71,73	4,70	41,76	-3,96

Dílec	css	dx [mm]	Stav	N [kN]	Vz [kN]	My [kNm]	Mz [kNm]
B22	HN - lw	210,000	LC4.5	27,52	2,57	15,98	-1,39
B22	HN - lw	210,000	LC5.1	-50,62	4,16	-97,03	13,82
B22	HN - lw	210,000	LC5.2	50,48	-4,16	97,00	-14,01
B22	HN - lw	315,000	LC1	-9,05	0,24	66,71	-0,04
B22	HN - lw	315,000	LC2	-4,90	-1,83	36,42	-0,02
B22	HN - lw	315,000	LC3.1	78,48	-3,67	-1,22	5,47
B22	HN - lw	315,000	LC3.2	-78,48	3,67	1,22	-5,47
B22	HN - lw	315,000	LC3.3	47,47	-2,08	0,02	3,31
B22	HN - lw	315,000	LC3.4	-47,56	2,23	0,74	-3,32
B22	HN - lw	315,000	LC4.1	22,50	-1,99	15,70	-6,84
B22	HN - lw	315,000	LC4.2	68,40	-6,72	48,98	-24,35
B22	HN - lw	315,000	LC4.3	103,85	-0,99	62,63	-22,22
B22	HN - lw	315,000	LC4.4	71,73	4,70	42,25	-5,20
B22	HN - lw	315,000	LC4.5	27,52	2,57	16,25	-1,84
B22	HN - lw	315,000	LC5.1	-50,62	4,16	-96,59	13,59
B22	HN - lw	315,000	LC5.2	50,48	-4,16	96,56	-13,68
B22	HN - lw	420,000	LC1	-9,05	-0,22	66,71	-0,07
B22	HN - lw	420,000	LC2	-4,90	-1,83	36,23	-0,03
B22	HN - lw	420,000	LC3.1	78,48	-3,67	-1,61	4,70
B22	HN - lw	420,000	LC3.2	-78,48	3,67	1,61	-4,70
B22	HN - lw	420,000	LC3.3	47,47	-2,08	-0,20	2,84
B22	HN - lw	420,000	LC3.4	-47,56	2,23	0,97	-2,85
B22	HN - lw	420,000	LC4.1	22,50	-1,99	15,49	-6,31
B22	HN - lw	420,000	LC4.2	68,40	-6,72	48,28	-22,67
B22	HN - lw	420,000	LC4.3	103,85	-0,99	62,52	-21,84
B22	HN - lw	420,000	LC4.4	71,73	4,70	42,74	-6,43
B22	HN - lw	420,000	LC4.5	27,52	2,57	16,52	-2,30
B22	HN - lw	420,000	LC5.1	-50,62	4,16	-96,16	13,36
B22	HN - lw	420,000	LC5.2	50,48	-4,16	96,12	-13,35
B22	HN - lw	420,001	LC1	-9,05	-0,22	66,71	-0,07
B22	HN - lw	420,001	LC2	-4,90	-1,83	36,23	-0,03
B22	HN - lw	420,001	LC3.1	78,48	-3,67	-1,61	4,70
B22	HN - lw	420,001	LC3.2	-78,48	3,67	1,61	-4,70
B22	HN - lw	420,001	LC3.3	47,47	-2,08	-0,20	2,84
B22	HN - lw	420,001	LC3.4	-47,56	2,23	0,97	-2,85
B22	HN - lw	420,001	LC4.1	22,50	-1,99	15,49	-6,31
B22	HN - lw	420,001	LC4.2	68,40	-6,72	48,28	-22,67
B22	HN - lw	420,001	LC4.3	103,85	-0,99	62,52	-21,84
B22	HN - lw	420,001	LC4.4	71,73	4,70	42,74	-6,43
B22	HN - lw	420,001	LC4.5	27,52	2,57	16,52	-2,30
B22	HN - lw	420,001	LC5.1	-50,62	4,16	-96,16	13,36
B22	HN - lw	420,001	LC5.2	50,48	-4,16	96,12	-13,35
B22	HN - lw	525,000	LC1	-9,05	-0,67	66,67	-0,09
B22	HN - lw	525,000	LC2	-4,90	-1,83	36,04	-0,05
B22	HN - lw	525,000	LC3.1	78,48	-3,67	-1,99	3,93
B22	HN - lw	525,000	LC3.2	-78,48	3,67	1,99	-3,93
B22	HN - lw	525,000	LC3.3	47,47	-2,08	-0,41	2,37
B22	HN - lw	525,000	LC3.4	-47,56	2,23	1,21	-2,38
B22	HN - lw	525,000	LC4.1	22,50	-1,99	15,28	-5,78
B22	HN - lw	525,000	LC4.2	68,40	-6,72	47,57	-20,99
B22	HN - lw	525,000	LC4.3	103,85	-0,99	62,42	-21,46
B22	HN - lw	525,000	LC4.4	71,73	4,70	43,24	-7,67
B22	HN - lw	525,000	LC4.5	27,52	2,57	16,79	-2,75
B22	HN - lw	525,000	LC5.1	-50,62	4,16	-95,72	13,10
B22	HN - lw	525,000	LC5.2	50,48	-4,16	95,69	-13,02
B22	HN - lw	630,000	LC1	-9,05	-1,12	66,57	-0,11
B22	HN - lw	630,000	LC2	-4,90	-1,83	35,85	-0,06
B22	HN - lw	630,000	LC3.1	78,48	-3,67	-2,38	3,16
B22	HN - lw	630,000	LC3.2	-78,48	3,67	2,38	-3,16
B22	HN - lw	630,000	LC3.3	47,47	-2,08	-0,63	1,91
B22	HN - lw	630,000	LC3.4	-47,56	2,23	1,44	-1,92
B22	HN - lw	630,000	LC4.1	22,50	-1,99	15,07	-5,26
B22	HN - lw	630,000	LC4.2	68,40	-6,72	46,86	-19,31
B22	HN - lw	630,000	LC4.3	103,85	-0,99	62,32	-21,08
B22	HN - lw	630,000	LC4.4	71,73	4,70	43,73	-8,91
B22	HN - lw	630,000	LC4.5	27,52	2,57	17,06	-3,20
B22	HN - lw	630,000	LC5.1	-50,62	4,16	-95,28	12,84
B22	HN - lw	630,000	LC5.2	50,48	-4,16	95,25	-12,69
B22	HN - lw	735,000	LC1	-9,05	-1,57	66,43	-0,14
B22	HN - lw	735,000	LC2	-4,90	-1,83	35,66	-0,07
B22	HN - lw	735,000	LC3.1	78,48	-3,67	-2,76	2,39
B22	HN - lw	735,000	LC3.2	-78,48	3,67	2,76	-2,39
B22	HN - lw	735,000	LC3.3	47,47	-2,08	-0,85	1,44
B22	HN - lw	735,000	LC3.4	-47,56	2,23	1,68	-1,45
B22	HN - lw	735,000	LC4.1	22,50	-1,99	14,86	-4,73
B22	HN - lw	735,000	LC4.2	68,40	-6,72	46,16	-17,63

Dílec	css	dx [mm]	Stav	N [kN]	Vz [kN]	My [kNm]	Mz [kNm]
B22	HN - lw	735,000	LC4.3	103,85	-0,99	62,21	-20,70
B22	HN - lw	735,000	LC4.4	71,73	4,70	44,22	-10,15
B22	HN - lw	735,000	LC4.5	27,52	2,57	17,33	-3,65
B22	HN - lw	735,000	LC5.1	-50,62	4,16	-94,85	12,56
B22	HN - lw	735,000	LC5.2	50,48	-4,16	94,82	-12,36
B22	HN - lw	840,000	LC1	-9,05	-2,02	66,24	-0,16
B22	HN - lw	840,000	LC2	-4,90	-1,83	35,46	-0,08
B22	HN - lw	840,000	LC3.1	78,48	-3,67	-3,15	1,62
B22	HN - lw	840,000	LC3.2	-78,48	3,67	3,15	-1,62
B22	HN - lw	840,000	LC3.3	47,47	-2,08	-1,07	0,98
B22	HN - lw	840,000	LC3.4	-47,56	2,23	1,91	-0,98
B22	HN - lw	840,000	LC4.1	22,50	-1,99	14,65	-4,20
B22	HN - lw	840,000	LC4.2	68,40	-6,72	45,45	-15,96
B22	HN - lw	840,000	LC4.3	103,85	-0,99	62,11	-20,32
B22	HN - lw	840,000	LC4.4	71,73	4,70	44,72	-11,38
B22	HN - lw	840,000	LC4.5	27,52	2,57	17,60	-4,11
B22	HN - lw	840,000	LC5.1	-50,62	4,16	-94,41	12,26
B22	HN - lw	840,000	LC5.2	50,48	-4,16	94,38	-12,03
B22	HN - lw	945,000	LC1	-9,05	-2,47	66,01	-0,18
B22	HN - lw	945,000	LC2	-4,90	-1,83	35,27	-0,09
B22	HN - lw	945,000	LC3.1	78,48	-3,67	-3,54	0,85
B22	HN - lw	945,000	LC3.2	-78,48	3,67	3,54	-0,85
B22	HN - lw	945,000	LC3.3	47,47	-2,08	-1,29	0,51
B22	HN - lw	945,000	LC3.4	-47,56	2,23	2,14	-0,51
B22	HN - lw	945,000	LC4.1	22,50	-1,99	14,44	-3,67
B22	HN - lw	945,000	LC4.2	68,40	-6,72	44,75	-14,28
B22	HN - lw	945,000	LC4.3	103,85	-0,99	62,00	-19,93
B22	HN - lw	945,000	LC4.4	71,73	4,70	45,21	-12,62
B22	HN - lw	945,000	LC4.5	27,52	2,57	17,87	-4,56
B22	HN - lw	945,000	LC5.1	-50,62	4,16	-93,97	11,96
B22	HN - lw	945,000	LC5.2	50,48	-4,16	93,94	-11,70
B22	HN - lw	1050,000	LC1	-9,05	-2,93	65,72	-0,21
B22	HN - lw	1050,000	LC2	-4,90	-1,83	35,08	-0,10
B22	HN - lw	1050,000	LC3.1	78,48	-3,67	-3,92	0,08
B22	HN - lw	1050,000	LC3.2	-78,48	3,67	3,92	-0,08
B22	HN - lw	1050,000	LC3.3	47,47	-2,08	-1,51	0,04
B22	HN - lw	1050,000	LC3.4	-47,56	2,23	2,38	-0,05
B22	HN - lw	1050,000	LC4.1	22,50	-1,99	14,23	-3,15
B22	HN - lw	1050,000	LC4.2	68,40	-6,72	44,04	-12,60
B22	HN - lw	1050,000	LC4.3	103,85	-0,99	61,90	-19,55
B22	HN - lw	1050,000	LC4.4	71,73	4,70	45,70	-13,86
B22	HN - lw	1050,000	LC4.5	27,52	2,57	18,14	-5,01
B22	HN - lw	1050,000	LC5.1	-50,62	4,16	-93,53	11,64
B22	HN - lw	1050,000	LC5.2	50,48	-4,16	93,51	-11,37
B22	HN - lw	1155,000	LC1	-9,05	-3,38	65,39	-0,23
B22	HN - lw	1155,000	LC2	-4,90	-1,83	34,89	-0,12
B22	HN - lw	1155,000	LC3.1	78,48	-3,67	-4,31	-0,69
B22	HN - lw	1155,000	LC3.2	-78,48	3,67	4,31	0,69
B22	HN - lw	1155,000	LC3.3	47,47	-2,08	-1,73	-0,42
B22	HN - lw	1155,000	LC3.4	-47,56	2,23	2,61	0,42
B22	HN - lw	1155,000	LC4.1	22,50	-1,99	14,03	-2,62
B22	HN - lw	1155,000	LC4.2	68,40	-6,72	43,34	-10,92
B22	HN - lw	1155,000	LC4.3	103,85	-0,99	61,80	-19,17
B22	HN - lw	1155,000	LC4.4	71,73	4,70	46,20	-15,10
B22	HN - lw	1155,000	LC4.5	27,52	2,57	18,41	-5,46
B22	HN - lw	1155,000	LC5.1	-50,62	4,16	-93,10	11,30
B22	HN - lw	1155,000	LC5.2	50,48	-4,16	93,07	-11,04
B22	HN - lw	1260,000	LC1	-9,05	-3,83	65,01	-0,25
B22	HN - lw	1260,000	LC2	-4,90	-1,83	34,70	-0,13
B22	HN - lw	1260,000	LC3.1	78,48	-3,67	-4,69	-1,46
B22	HN - lw	1260,000	LC3.2	-78,48	3,67	4,69	1,46
B22	HN - lw	1260,000	LC3.3	47,47	-2,08	-1,95	-0,89
B22	HN - lw	1260,000	LC3.4	-47,56	2,23	2,85	0,89
B22	HN - lw	1260,000	LC4.1	22,50	-1,99	13,82	-2,09
B22	HN - lw	1260,000	LC4.2	68,40	-6,72	42,63	-9,24
B22	HN - lw	1260,000	LC4.3	103,85	-0,99	61,69	-18,79
B22	HN - lw	1260,000	LC4.4	71,73	4,70	46,69	-16,33
B22	HN - lw	1260,000	LC4.5	27,52	2,57	18,68	-5,92
B22	HN - lw	1260,000	LC5.1	-50,62	4,16	-92,66	10,96
B22	HN - lw	1260,000	LC5.2	50,48	-4,16	92,63	-10,72
B22	HN - lw	1365,000	LC1	-9,05	-4,28	64,59	-0,28
B22	HN - lw	1365,000	LC2	-4,90	-1,83	34,51	-0,14
B22	HN - lw	1365,000	LC3.1	78,48	-3,67	-5,08	-2,23
B22	HN - lw	1365,000	LC3.2	-78,48	3,67	5,08	2,23
B22	HN - lw	1365,000	LC3.3	47,47	-2,08	-2,16	-1,36
B22	HN - lw	1365,000	LC3.4	-47,56	2,23	3,08	1,35

Dilec	css	dx [mm]	Stav	N [kN]	Vz [kN]	My [kNm]	Mz [kNm]
B22	HN - lw	1365,000	LC4.1	22,50	-1,99	13,61	-1,56
B22	HN - lw	1365,000	LC4.2	68,40	-6,72	41,92	-7,57
B22	HN - lw	1365,000	LC4.3	103,85	-0,99	61,59	-18,41
B22	HN - lw	1365,000	LC4.4	71,73	4,70	47,18	-17,57
B22	HN - lw	1365,000	LC4.5	27,52	2,57	18,95	-6,37
B22	HN - lw	1365,000	LC5.1	-50,62	4,16	-92,22	10,59
B22	HN - lw	1365,000	LC5.2	50,48	-4,16	92,20	-10,39
B22	HN - lw	1470,000	LC1	-9,05	-4,73	64,11	-0,30
B22	HN - lw	1470,000	LC2	-4,90	-1,83	34,31	-0,15
B22	HN - lw	1470,000	LC3.1	78,48	-3,67	-5,46	-3,00
B22	HN - lw	1470,000	LC3.2	-78,48	3,67	5,46	3,00
B22	HN - lw	1470,000	LC3.3	47,47	-2,08	-2,38	-1,82
B22	HN - lw	1470,000	LC3.4	-47,56	2,23	3,31	1,82
B22	HN - lw	1470,000	LC4.1	22,50	-1,99	13,40	-1,04
B22	HN - lw	1470,000	LC4.2	68,40	-6,72	41,22	-5,89
B22	HN - lw	1470,000	LC4.3	103,85	-0,99	61,49	-18,03
B22	HN - lw	1470,000	LC4.4	71,73	4,70	47,68	-18,81
B22	HN - lw	1470,000	LC4.5	27,52	2,57	19,22	-6,82
B22	HN - lw	1470,000	LC5.1	-50,62	4,16	-91,79	10,22
B22	HN - lw	1470,000	LC5.2	50,48	-4,16	91,76	-10,06
B22	HN - lw	1575,000	LC1	-9,05	-5,18	63,59	-0,32
B22	HN - lw	1575,000	LC2	-4,90	-1,83	34,12	-0,16
B22	HN - lw	1575,000	LC3.1	78,48	-3,67	-5,85	-3,78
B22	HN - lw	1575,000	LC3.2	-78,48	3,67	5,85	3,78
B22	HN - lw	1575,000	LC3.3	47,47	-2,08	-2,60	-2,29
B22	HN - lw	1575,000	LC3.4	-47,56	2,23	3,55	2,29
B22	HN - lw	1575,000	LC4.1	22,50	-1,99	13,19	-0,51
B22	HN - lw	1575,000	LC4.2	68,40	-6,72	40,51	-4,21
B22	HN - lw	1575,000	LC4.3	103,85	-0,99	61,38	-17,65
B22	HN - lw	1575,000	LC4.4	71,73	4,70	48,17	-20,04
B22	HN - lw	1575,000	LC4.5	27,52	2,57	19,49	-7,27
B22	HN - lw	1575,000	LC5.1	-50,62	4,16	-91,35	9,83
B22	HN - lw	1575,000	LC5.2	50,48	-4,16	91,33	-9,73
B22	HN - lw	1680,000	LC1	-9,05	-5,64	63,03	-0,35
B22	HN - lw	1680,000	LC2	-4,90	-1,83	33,93	-0,17
B22	HN - lw	1680,000	LC3.1	78,48	-3,67	-6,24	-4,55
B22	HN - lw	1680,000	LC3.2	-78,48	3,67	6,24	4,55
B22	HN - lw	1680,000	LC3.3	47,47	-2,08	-2,82	-2,75
B22	HN - lw	1680,000	LC3.4	-47,56	2,23	3,78	2,76
B22	HN - lw	1680,000	LC4.1	22,50	-1,99	12,98	0,02
B22	HN - lw	1680,000	LC4.2	68,40	-6,72	39,81	-2,53
B22	HN - lw	1680,000	LC4.3	103,85	-0,99	61,28	-17,27
B22	HN - lw	1680,000	LC4.4	71,73	4,70	48,66	-21,28
B22	HN - lw	1680,000	LC4.5	27,52	2,57	19,76	-7,73
B22	HN - lw	1680,000	LC5.1	-50,62	4,16	-90,91	9,43
B22	HN - lw	1680,000	LC5.2	50,48	-4,16	90,89	-9,40
B22	HN - lw	1785,000	LC1	-9,05	-6,09	62,41	-0,37
B22	HN - lw	1785,000	LC2	-4,90	-1,83	33,74	-0,19
B22	HN - lw	1785,000	LC3.1	78,48	-3,67	-6,62	-5,32
B22	HN - lw	1785,000	LC3.2	-78,48	3,67	6,62	5,32
B22	HN - lw	1785,000	LC3.3	47,47	-2,08	-3,04	-3,22
B22	HN - lw	1785,000	LC3.4	-47,56	2,23	4,01	3,22
B22	HN - lw	1785,000	LC4.1	22,50	-1,99	12,77	0,54
B22	HN - lw	1785,000	LC4.2	68,40	-6,72	39,10	-0,85
B22	HN - lw	1785,000	LC4.3	103,85	-0,99	61,18	-16,88
B22	HN - lw	1785,000	LC4.4	71,73	4,70	49,16	-22,52
B22	HN - lw	1785,000	LC4.5	27,52	2,57	20,03	-8,18
B22	HN - lw	1785,000	LC5.1	-50,62	4,16	-90,47	9,01
B22	HN - lw	1785,000	LC5.2	50,48	-4,16	90,45	-9,07
B22	HN - lw	1890,000	LC1	-9,05	-6,54	61,75	-0,39
B22	HN - lw	1890,000	LC2	-4,90	-1,83	33,55	-0,20
B22	HN - lw	1890,000	LC3.1	78,48	-3,67	-7,01	-6,09
B22	HN - lw	1890,000	LC3.2	-78,48	3,67	7,01	6,09
B22	HN - lw	1890,000	LC3.3	47,47	-2,08	-3,26	-3,69
B22	HN - lw	1890,000	LC3.4	-47,56	2,23	4,25	3,69
B22	HN - lw	1890,000	LC4.1	22,50	-1,99	12,56	1,07
B22	HN - lw	1890,000	LC4.2	68,40	-6,72	38,40	0,82
B22	HN - lw	1890,000	LC4.3	103,85	-0,99	61,07	-16,50
B22	HN - lw	1890,000	LC4.4	71,73	4,70	49,65	-23,76
B22	HN - lw	1890,000	LC4.5	27,52	2,57	20,30	-8,63
B22	HN - lw	1890,000	LC5.1	-50,62	4,16	-90,04	8,59
B22	HN - lw	1890,000	LC5.2	50,48	-4,16	90,02	-8,74
B22	HN - lw	1995,000	LC1	-9,05	-6,99	61,04	-0,42
B22	HN - lw	1995,000	LC2	-4,90	-1,83	33,36	-0,21
B22	HN - lw	1995,000	LC3.1	78,48	-3,67	-7,39	-6,86
B22	HN - lw	1995,000	LC3.2	-78,48	3,67	7,39	6,86

Dílec	css	dx [mm]	Stav	N [kN]	Vz [kN]	My [kNm]	Mz [kNm]
B22	HN - lw	1995,000	LC3.3	47,47	-2,08	-3,48	-4,15
B22	HN - lw	1995,000	LC3.4	-47,56	2,23	4,48	4,16
B22	HN - lw	1995,000	LC4.1	22,50	-1,99	12,35	1,60
B22	HN - lw	1995,000	LC4.2	68,40	-6,72	37,69	2,50
B22	HN - lw	1995,000	LC4.3	103,85	-0,99	60,97	-16,12
B22	HN - lw	1995,000	LC4.4	71,73	4,70	50,14	-24,99
B22	HN - lw	1995,000	LC4.5	27,52	2,57	20,57	-9,08
B22	HN - lw	1995,000	LC5.1	-50,62	4,16	-89,60	8,14
B22	HN - lw	1995,000	LC5.2	50,48	-4,16	89,58	-8,41
B22	HN - lw	2100,000	LC1	-9,05	-7,44	60,28	-0,44
B22	HN - lw	2100,000	LC2	-4,90	-1,83	33,16	-0,22
B22	HN - lw	2100,000	LC3.1	78,48	-3,67	-7,78	-7,63
B22	HN - lw	2100,000	LC3.2	-78,48	3,67	7,78	7,63
B22	HN - lw	2100,000	LC3.3	47,47	-2,08	-3,70	-4,62
B22	HN - lw	2100,000	LC3.4	-47,56	2,23	4,72	4,62
B22	HN - lw	2100,000	LC4.1	22,50	-1,99	12,14	2,13
B22	HN - lw	2100,000	LC4.2	68,40	-6,72	36,98	4,18
B22	HN - lw	2100,000	LC4.3	103,85	-0,99	60,87	-15,74
B22	HN - lw	2100,000	LC4.4	71,73	4,70	50,64	-26,23
B22	HN - lw	2100,000	LC4.5	27,52	2,57	20,84	-9,54
B22	HN - lw	2100,000	LC5.1	-50,62	4,16	-89,16	7,69
B22	HN - lw	2100,000	LC5.2	50,48	-4,16	89,14	-8,08
B24	HN - lw	0,000	LC1	-3,19	-18,74	48,00	1,07
B24	HN - lw	0,000	LC2	-1,61	-12,78	26,41	0,60
B24	HN - lw	0,000	LC3.1	141,61	-5,46	3,63	10,88
B24	HN - lw	0,000	LC3.2	-141,61	5,46	-3,63	-10,88
B24	HN - lw	0,000	LC3.3	85,81	-3,76	3,14	6,67
B24	HN - lw	0,000	LC3.4	-85,83	3,31	-2,20	-6,59
B24	HN - lw	0,000	LC4.1	3,93	-1,83	5,34	-5,22
B24	HN - lw	0,000	LC4.2	13,07	-5,48	16,24	-16,11
B24	HN - lw	0,000	LC4.3	23,31	-9,78	28,73	-28,58
B24	HN - lw	0,000	LC4.4	34,50	-12,31	36,77	-39,64
B24	HN - lw	0,000	LC4.5	34,18	-7,51	25,62	-22,15
B24	HN - lw	0,000	LC5.1	-17,35	27,76	-64,01	19,70
B24	HN - lw	0,000	LC5.2	17,02	-27,76	63,93	-20,12
B24	HN - lw	105,000	LC1	-3,19	-19,19	46,00	0,94
B24	HN - lw	105,000	LC2	-1,61	-12,78	25,06	0,53
B24	HN - lw	105,000	LC3.1	141,61	-5,46	3,06	9,56
B24	HN - lw	105,000	LC3.2	-141,61	5,46	-3,06	-9,56
B24	HN - lw	105,000	LC3.3	85,81	-3,76	2,74	5,86
B24	HN - lw	105,000	LC3.4	-85,83	3,31	-1,85	-5,79
B24	HN - lw	105,000	LC4.1	3,93	-1,83	5,15	-4,72
B24	HN - lw	105,000	LC4.2	13,07	-5,48	15,67	-14,60
B24	HN - lw	105,000	LC4.3	23,31	-9,78	27,70	-26,01
B24	HN - lw	105,000	LC4.4	34,50	-12,31	35,48	-36,27
B24	HN - lw	105,000	LC4.5	34,18	-7,51	24,83	-20,42
B24	HN - lw	105,000	LC5.1	-17,35	27,76	-61,10	18,10
B24	HN - lw	105,000	LC5.2	17,02	-27,76	61,02	-18,38
B24	HN - lw	210,000	LC1	-3,19	-19,65	43,97	0,80
B24	HN - lw	210,000	LC2	-1,61	-12,78	23,72	0,46
B24	HN - lw	210,000	LC3.1	141,61	-5,46	2,48	8,23
B24	HN - lw	210,000	LC3.2	-141,61	5,46	-2,48	-8,23
B24	HN - lw	210,000	LC3.3	85,81	-3,76	2,35	5,06
B24	HN - lw	210,000	LC3.4	-85,83	3,31	-1,50	-4,99
B24	HN - lw	210,000	LC4.1	3,93	-1,83	4,95	-4,22
B24	HN - lw	210,000	LC4.2	13,07	-5,48	15,09	-13,08
B24	HN - lw	210,000	LC4.3	23,31	-9,78	26,67	-23,44
B24	HN - lw	210,000	LC4.4	34,50	-12,31	34,18	-32,90
B24	HN - lw	210,000	LC4.5	34,18	-7,51	24,04	-18,70
B24	HN - lw	210,000	LC5.1	-17,35	27,76	-58,18	16,49
B24	HN - lw	210,000	LC5.2	17,02	-27,76	58,10	-16,64
B24	HN - lw	315,000	LC1	-3,19	-20,10	41,88	0,66
B24	HN - lw	315,000	LC2	-1,61	-12,78	22,38	0,39
B24	HN - lw	315,000	LC3.1	141,61	-5,46	1,91	6,91
B24	HN - lw	315,000	LC3.2	-141,61	5,46	-1,91	-6,91
B24	HN - lw	315,000	LC3.3	85,81	-3,76	1,96	4,25
B24	HN - lw	315,000	LC3.4	-85,83	3,31	-1,16	-4,19
B24	HN - lw	315,000	LC4.1	3,93	-1,83	4,76	-3,72
B24	HN - lw	315,000	LC4.2	13,07	-5,48	14,52	-11,56
B24	HN - lw	315,000	LC4.3	23,31	-9,78	25,65	-20,87
B24	HN - lw	315,000	LC4.4	34,50	-12,31	32,89	-29,53
B24	HN - lw	315,000	LC4.5	34,18	-7,51	23,25	-16,97
B24	HN - lw	315,000	LC5.1	-17,35	27,76	-55,27	14,86
B24	HN - lw	315,000	LC5.2	17,02	-27,76	55,19	-14,90
B24	HN - lw	420,000	LC1	-3,19	-20,55	39,74	0,53
B24	HN - lw	420,000	LC2	-1,61	-12,78	21,04	0,32

Dílec	css	dx [mm]	Stav	N [kN]	Vz [kN]	My [kNm]	Mz [kNm]
B24	HN - lw	420,000	LC3.1	141,61	-5,46	1,34	5,59
B24	HN - lw	420,000	LC3.2	-141,61	5,46	-1,34	-5,59
B24	HN - lw	420,000	LC3.3	85,81	-3,76	1,56	3,44
B24	HN - lw	420,000	LC3.4	-85,83	3,31	-0,81	-3,39
B24	HN - lw	420,000	LC4.1	3,93	-1,83	4,57	-3,22
B24	HN - lw	420,000	LC4.2	13,07	-5,48	13,94	-10,04
B24	HN - lw	420,000	LC4.3	23,31	-9,78	24,62	-18,29
B24	HN - lw	420,000	LC4.4	34,50	-12,31	31,60	-26,16
B24	HN - lw	420,000	LC4.5	34,18	-7,51	22,46	-15,25
B24	HN - lw	420,000	LC5.1	-17,35	27,76	-52,35	13,22
B24	HN - lw	420,000	LC5.2	17,02	-27,76	52,27	-13,16
B24	HN - lw	525,000	LC1	-3,19	-21,00	37,56	0,39
B24	HN - lw	525,000	LC2	-1,61	-12,78	19,70	0,24
B24	HN - lw	525,000	LC3.1	141,61	-5,46	0,76	4,27
B24	HN - lw	525,000	LC3.2	-141,61	5,46	-0,76	-4,27
B24	HN - lw	525,000	LC3.3	85,81	-3,76	1,17	2,64
B24	HN - lw	525,000	LC3.4	-85,83	3,31	-0,46	-2,59
B24	HN - lw	525,000	LC4.1	3,93	-1,83	4,38	-2,72
B24	HN - lw	525,000	LC4.2	13,07	-5,48	13,36	-8,52
B24	HN - lw	525,000	LC4.3	23,31	-9,78	23,59	-15,72
B24	HN - lw	525,000	LC4.4	34,50	-12,31	30,31	-22,78
B24	HN - lw	525,000	LC4.5	34,18	-7,51	21,67	-13,53
B24	HN - lw	525,000	LC5.1	-17,35	27,76	-49,44	11,56
B24	HN - lw	525,000	LC5.2	17,02	-27,76	49,36	-11,42
B24	HN - lw	630,000	LC1	-3,19	-21,45	35,33	0,25
B24	HN - lw	630,000	LC2	-1,61	-12,78	18,36	0,17
B24	HN - lw	630,000	LC3.1	141,61	-5,46	0,19	2,95
B24	HN - lw	630,000	LC3.2	-141,61	5,46	-0,19	-2,95
B24	HN - lw	630,000	LC3.3	85,81	-3,76	0,77	1,83
B24	HN - lw	630,000	LC3.4	-85,83	3,31	-0,11	-1,79
B24	HN - lw	630,000	LC4.1	3,93	-1,83	4,19	-2,22
B24	HN - lw	630,000	LC4.2	13,07	-5,48	12,79	-7,01
B24	HN - lw	630,000	LC4.3	23,31	-9,78	22,57	-13,15
B24	HN - lw	630,000	LC4.4	34,50	-12,31	29,02	-19,41
B24	HN - lw	630,000	LC4.5	34,18	-7,51	20,89	-11,80
B24	HN - lw	630,000	LC5.1	-17,35	27,76	-46,53	9,89
B24	HN - lw	630,000	LC5.2	17,02	-27,76	46,44	-9,67
B24	HN - lw	735,000	LC1	-3,19	-21,90	33,06	0,12
B24	HN - lw	735,000	LC2	-1,61	-12,78	17,02	0,10
B24	HN - lw	735,000	LC3.1	141,61	-5,46	-0,38	1,63
B24	HN - lw	735,000	LC3.2	-141,61	5,46	0,38	-1,63
B24	HN - lw	735,000	LC3.3	85,81	-3,76	0,38	1,03
B24	HN - lw	735,000	LC3.4	-85,83	3,31	0,23	-0,99
B24	HN - lw	735,000	LC4.1	3,93	-1,83	4,00	-1,72
B24	HN - lw	735,000	LC4.2	13,07	-5,48	12,21	-5,49
B24	HN - lw	735,000	LC4.3	23,31	-9,78	21,54	-10,58
B24	HN - lw	735,000	LC4.4	34,50	-12,31	27,72	-16,04
B24	HN - lw	735,000	LC4.5	34,18	-7,51	20,10	-10,08
B24	HN - lw	735,000	LC5.1	-17,35	27,76	-43,61	8,21
B24	HN - lw	735,000	LC5.2	17,02	-27,76	43,53	-7,93
B24	HN - lw	840,000	LC1	-3,19	-22,36	30,73	-0,02
B24	HN - lw	840,000	LC2	-1,61	-12,78	15,67	0,03
B24	HN - lw	840,000	LC3.1	141,61	-5,46	-0,96	0,31
B24	HN - lw	840,000	LC3.2	-141,61	5,46	0,96	-0,31
B24	HN - lw	840,000	LC3.3	85,81	-3,76	-0,02	0,22
B24	HN - lw	840,000	LC3.4	-85,83	3,31	0,58	-0,19
B24	HN - lw	840,000	LC4.1	3,93	-1,83	3,80	-1,22
B24	HN - lw	840,000	LC4.2	13,07	-5,48	11,64	-3,97
B24	HN - lw	840,000	LC4.3	23,31	-9,78	20,51	-8,01
B24	HN - lw	840,000	LC4.4	34,50	-12,31	26,43	-12,67
B24	HN - lw	840,000	LC4.5	34,18	-7,51	19,31	-8,36
B24	HN - lw	840,000	LC5.1	-17,35	27,76	-40,70	6,51
B24	HN - lw	840,000	LC5.2	17,02	-27,76	40,61	-6,19
B24	HN - lw	945,000	LC1	-3,19	-22,81	28,36	-0,15
B24	HN - lw	945,000	LC2	-1,61	-12,78	14,33	-0,04
B24	HN - lw	945,000	LC3.1	141,61	-5,46	-1,53	-1,02
B24	HN - lw	945,000	LC3.2	-141,61	5,46	1,53	1,02
B24	HN - lw	945,000	LC3.3	85,81	-3,76	-0,41	-0,58
B24	HN - lw	945,000	LC3.4	-85,83	3,31	0,93	0,62
B24	HN - lw	945,000	LC4.1	3,93	-1,83	3,61	-0,72
B24	HN - lw	945,000	LC4.2	13,07	-5,48	11,06	-2,45
B24	HN - lw	945,000	LC4.3	23,31	-9,78	19,49	-5,44
B24	HN - lw	945,000	LC4.4	34,50	-12,31	25,14	-9,30
B24	HN - lw	945,000	LC4.5	34,18	-7,51	18,52	-6,63
B24	HN - lw	945,000	LC5.1	-17,35	27,76	-37,78	4,80
B24	HN - lw	945,000	LC5.2	17,02	-27,76	37,70	-4,45

Dilec	css	dx [mm]	Stav	N [kN]	Vz [kN]	My [kNm]	Mz [kNm]
B24	HN - lw	1049,990	LC1	-3,19	-23,26	25,95	-0,29
B24	HN - lw	1049,990	LC2	-1,61	-12,78	12,99	-0,12
B24	HN - lw	1049,990	LC3.1	141,61	-5,46	-2,10	-2,34
B24	HN - lw	1049,990	LC3.2	-141,61	5,46	2,10	2,34
B24	HN - lw	1049,990	LC3.3	85,81	-3,76	-0,81	-1,39
B24	HN - lw	1049,990	LC3.4	-85,83	3,31	1,27	1,42
B24	HN - lw	1049,990	LC4.1	3,93	-1,83	3,42	-0,22
B24	HN - lw	1049,990	LC4.2	13,07	-5,48	10,49	-0,93
B24	HN - lw	1049,990	LC4.3	23,31	-9,78	18,46	-2,87
B24	HN - lw	1049,990	LC4.4	34,50	-12,31	23,85	-5,93
B24	HN - lw	1049,990	LC4.5	34,18	-7,51	17,73	-4,91
B24	HN - lw	1049,990	LC5.1	-17,35	27,76	-34,87	3,08
B24	HN - lw	1049,990	LC5.2	17,02	-27,76	34,78	-2,71
B24	HN - lw	1050,010	LC1	-3,19	-23,26	25,94	-0,29
B24	HN - lw	1050,010	LC2	-1,61	-12,78	12,99	-0,12
B24	HN - lw	1050,010	LC3.1	141,61	-5,46	-2,10	-2,34
B24	HN - lw	1050,010	LC3.2	-141,61	5,46	2,10	2,34
B24	HN - lw	1050,010	LC3.3	85,81	-3,76	-0,81	-1,39
B24	HN - lw	1050,010	LC3.4	-85,83	3,31	1,27	1,42
B24	HN - lw	1050,010	LC4.1	3,93	-1,83	3,42	-0,22
B24	HN - lw	1050,010	LC4.2	13,07	-5,48	10,49	-0,93
B24	HN - lw	1050,010	LC4.3	23,31	-9,78	18,46	-2,87
B24	HN - lw	1050,010	LC4.4	34,50	-12,31	23,85	-5,93
B24	HN - lw	1050,010	LC4.5	34,18	-7,51	17,73	-4,91
B24	HN - lw	1050,010	LC5.1	-17,35	27,76	-34,87	3,08
B24	HN - lw	1050,010	LC5.2	17,02	-27,76	34,78	-2,71
B24	HN - lw	1155,000	LC1	-3,19	-23,71	23,48	-0,43
B24	HN - lw	1155,000	LC2	-1,61	-12,78	11,65	-0,19
B24	HN - lw	1155,000	LC3.1	141,61	-5,46	-2,68	-3,66
B24	HN - lw	1155,000	LC3.2	-141,61	5,46	2,68	3,66
B24	HN - lw	1155,000	LC3.3	85,81	-3,76	-1,20	-2,20
B24	HN - lw	1155,000	LC3.4	-85,83	3,31	1,62	2,22
B24	HN - lw	1155,000	LC4.1	3,93	-1,83	3,23	0,28
B24	HN - lw	1155,000	LC4.2	13,07	-5,48	9,91	0,58
B24	HN - lw	1155,000	LC4.3	23,31	-9,78	17,43	-0,30
B24	HN - lw	1155,000	LC4.4	34,50	-12,31	22,56	-2,56
B24	HN - lw	1155,000	LC4.5	34,18	-7,51	16,95	-3,18
B24	HN - lw	1155,000	LC5.1	-17,35	27,76	-31,95	1,34
B24	HN - lw	1155,000	LC5.2	17,02	-27,76	31,87	-0,97
B24	HN - lw	1260,000	LC1	-3,19	-24,16	20,97	-0,56
B24	HN - lw	1260,000	LC2	-1,61	-12,78	10,31	-0,26
B24	HN - lw	1260,000	LC3.1	141,61	-5,46	-3,25	-4,98
B24	HN - lw	1260,000	LC3.2	-141,61	5,46	3,25	4,98
B24	HN - lw	1260,000	LC3.3	85,81	-3,76	-1,60	-3,00
B24	HN - lw	1260,000	LC3.4	-85,83	3,31	1,97	3,02
B24	HN - lw	1260,000	LC4.1	3,93	-1,83	3,04	0,78
B24	HN - lw	1260,000	LC4.2	13,07	-5,48	9,34	2,10
B24	HN - lw	1260,000	LC4.3	23,31	-9,78	16,41	2,28
B24	HN - lw	1260,000	LC4.4	34,50	-12,31	21,26	0,82
B24	HN - lw	1260,000	LC4.5	34,18	-7,51	16,16	-1,46
B24	HN - lw	1260,000	LC5.1	-17,35	27,76	-29,04	-0,41
B24	HN - lw	1260,000	LC5.2	17,02	-27,76	28,95	0,77
B24	HN - lw	1365,000	LC1	-3,19	-24,61	18,40	-0,70
B24	HN - lw	1365,000	LC2	-1,61	-12,78	8,97	-0,33
B24	HN - lw	1365,000	LC3.1	141,61	-5,46	-3,82	-6,30
B24	HN - lw	1365,000	LC3.2	-141,61	5,46	3,82	6,30
B24	HN - lw	1365,000	LC3.3	85,81	-3,76	-1,99	-3,81
B24	HN - lw	1365,000	LC3.4	-85,83	3,31	2,32	3,82
B24	HN - lw	1365,000	LC4.1	3,93	-1,83	2,85	1,28
B24	HN - lw	1365,000	LC4.2	13,07	-5,48	8,76	3,62
B24	HN - lw	1365,000	LC4.3	23,31	-9,78	15,38	4,85
B24	HN - lw	1365,000	LC4.4	34,50	-12,31	19,97	4,19
B24	HN - lw	1365,000	LC4.5	34,18	-7,51	15,37	0,26
B24	HN - lw	1365,000	LC5.1	-17,35	27,76	-26,12	-2,17
B24	HN - lw	1365,000	LC5.2	17,02	-27,76	26,04	2,51
B24	HN - lw	1470,000	LC1	-3,19	-25,07	15,80	-0,83
B24	HN - lw	1470,000	LC2	-1,61	-12,78	7,62	-0,40
B24	HN - lw	1470,000	LC3.1	141,61	-5,46	-4,40	-7,62
B24	HN - lw	1470,000	LC3.2	-141,61	5,46	4,40	7,62
B24	HN - lw	1470,000	LC3.3	85,81	-3,76	-2,39	-4,61
B24	HN - lw	1470,000	LC3.4	-85,83	3,31	2,66	4,62
B24	HN - lw	1470,000	LC4.1	3,93	-1,83	2,65	1,78
B24	HN - lw	1470,000	LC4.2	13,07	-5,48	8,18	5,14
B24	HN - lw	1470,000	LC4.3	23,31	-9,78	14,35	7,42
B24	HN - lw	1470,000	LC4.4	34,50	-12,31	18,68	7,56
B24	HN - lw	1470,000	LC4.5	34,18	-7,51	14,58	1,99

Dilec	css	dx [mm]	Stav	N [kN]	Vz [kN]	My [kNm]	Mz [kNm]
B24	HN - lw	1470,000	LC5.1	-17,35	27,76	-23,21	-3,95
B24	HN - lw	1470,000	LC5.2	17,02	-27,76	23,12	4,25
B24	HN - lw	1575,000	LC1	-3,19	-25,52	13,14	-0,97
B24	HN - lw	1575,000	LC2	-1,61	-12,78	6,28	-0,47
B24	HN - lw	1575,000	LC3.1	141,61	-5,46	-4,97	-8,94
B24	HN - lw	1575,000	LC3.2	-141,61	5,46	4,97	8,94
B24	HN - lw	1575,000	LC3.3	85,81	-3,76	-2,78	-5,42
B24	HN - lw	1575,000	LC3.4	-85,83	3,31	3,01	5,42
B24	HN - lw	1575,000	LC4.1	3,93	-1,83	2,46	2,28
B24	HN - lw	1575,000	LC4.2	13,07	-5,48	7,61	6,65
B24	HN - lw	1575,000	LC4.3	23,31	-9,78	13,32	9,99
B24	HN - lw	1575,000	LC4.4	34,50	-12,31	17,39	10,93
B24	HN - lw	1575,000	LC4.5	34,18	-7,51	13,79	3,71
B24	HN - lw	1575,000	LC5.1	-17,35	27,76	-20,30	-5,74
B24	HN - lw	1575,000	LC5.2	17,02	-27,76	20,21	5,99
B24	HN - lw	1680,000	LC1	-3,19	-25,97	10,44	-1,11
B24	HN - lw	1680,000	LC2	-1,61	-12,78	4,94	-0,55
B24	HN - lw	1680,000	LC3.1	141,61	-5,46	-5,54	-10,26
B24	HN - lw	1680,000	LC3.2	-141,61	5,46	5,54	10,26
B24	HN - lw	1680,000	LC3.3	85,81	-3,76	-3,18	-6,23
B24	HN - lw	1680,000	LC3.4	-85,83	3,31	3,36	6,22
B24	HN - lw	1680,000	LC4.1	3,93	-1,83	2,27	2,78
B24	HN - lw	1680,000	LC4.2	13,07	-5,48	7,03	8,17
B24	HN - lw	1680,000	LC4.3	23,31	-9,78	12,30	12,56
B24	HN - lw	1680,000	LC4.4	34,50	-12,31	16,10	14,30
B24	HN - lw	1680,000	LC4.5	34,18	-7,51	13,00	5,43
B24	HN - lw	1680,000	LC5.1	-17,35	27,76	-17,38	-7,55
B24	HN - lw	1680,000	LC5.2	17,02	-27,76	17,29	7,73
B24	HN - lw	1785,000	LC1	-3,19	-26,42	7,69	-1,24
B24	HN - lw	1785,000	LC2	-1,61	-12,78	3,60	-0,62
B24	HN - lw	1785,000	LC3.1	141,61	-5,46	-6,11	-11,59
B24	HN - lw	1785,000	LC3.2	-141,61	5,46	6,11	11,59
B24	HN - lw	1785,000	LC3.3	85,81	-3,76	-3,57	-7,03
B24	HN - lw	1785,000	LC3.4	-85,83	3,31	3,71	7,02
B24	HN - lw	1785,000	LC4.1	3,93	-1,83	2,08	3,28
B24	HN - lw	1785,000	LC4.2	13,07	-5,48	6,46	9,69
B24	HN - lw	1785,000	LC4.3	23,31	-9,78	11,27	15,13
B24	HN - lw	1785,000	LC4.4	34,50	-12,31	14,80	17,67
B24	HN - lw	1785,000	LC4.5	34,18	-7,51	12,22	7,16
B24	HN - lw	1785,000	LC5.1	-17,35	27,76	-14,47	-9,37
B24	HN - lw	1785,000	LC5.2	17,02	-27,76	14,38	9,47
B24	HN - lw	1890,000	LC1	-3,19	-26,87	4,89	-1,38
B24	HN - lw	1890,000	LC2	-1,61	-12,78	2,26	-0,69
B24	HN - lw	1890,000	LC3.1	141,61	-5,46	-6,69	-12,91
B24	HN - lw	1890,000	LC3.2	-141,61	5,46	6,69	12,91
B24	HN - lw	1890,000	LC3.3	85,81	-3,76	-3,96	-7,84
B24	HN - lw	1890,000	LC3.4	-85,83	3,31	4,05	7,82
B24	HN - lw	1890,000	LC4.1	3,93	-1,83	1,89	3,78
B24	HN - lw	1890,000	LC4.2	13,07	-5,48	5,88	11,21
B24	HN - lw	1890,000	LC4.3	23,31	-9,78	10,24	17,70
B24	HN - lw	1890,000	LC4.4	34,50	-12,31	13,51	21,04
B24	HN - lw	1890,000	LC4.5	34,18	-7,51	11,43	8,88
B24	HN - lw	1890,000	LC5.1	-17,35	27,76	-11,55	-11,20
B24	HN - lw	1890,000	LC5.2	17,02	-27,76	11,46	11,21
B24	HN - lw	1995,000	LC1	-3,19	-27,32	2,04	-1,52
B24	HN - lw	1995,000	LC2	-1,61	-12,78	0,92	-0,76
B24	HN - lw	1995,000	LC3.1	141,61	-5,46	-7,26	-14,23
B24	HN - lw	1995,000	LC3.2	-141,61	5,46	7,26	14,23
B24	HN - lw	1995,000	LC3.3	85,81	-3,76	-4,36	-8,64
B24	HN - lw	1995,000	LC3.4	-85,83	3,31	4,40	8,62
B24	HN - lw	1995,000	LC4.1	3,93	-1,83	1,70	4,28
B24	HN - lw	1995,000	LC4.2	13,07	-5,48	5,31	12,73
B24	HN - lw	1995,000	LC4.3	23,31	-9,78	9,22	20,28
B24	HN - lw	1995,000	LC4.4	34,50	-12,31	12,22	24,42
B24	HN - lw	1995,000	LC4.5	34,18	-7,51	10,64	10,61
B24	HN - lw	1995,000	LC5.1	-17,35	27,76	-8,64	-13,04
B24	HN - lw	1995,000	LC5.2	17,02	-27,76	8,55	12,95
B24	HN - lw	2100,000	LC1	-3,19	-27,78	-0,85	-1,65
B24	HN - lw	2100,000	LC2	-1,61	-12,78	-0,43	-0,83
B24	HN - lw	2100,000	LC3.1	141,61	-5,46	-7,83	-15,55
B24	HN - lw	2100,000	LC3.2	-141,61	5,46	7,83	15,55
B24	HN - lw	2100,000	LC3.3	85,81	-3,76	-4,75	-9,45
B24	HN - lw	2100,000	LC3.4	-85,83	3,31	4,75	9,42
B24	HN - lw	2100,000	LC4.1	3,93	-1,83	1,50	4,78
B24	HN - lw	2100,000	LC4.2	13,07	-5,48	4,73	14,24
B24	HN - lw	2100,000	LC4.3	23,31	-9,78	8,19	22,85

Dílec	css	dx [mm]	Stav	N [kN]	Vz [kN]	My [kNm]	Mz [kNm]
B24	HN - lw	2100,000	LC4.4	34,50	-12,31	10,93	27,79
B24	HN - lw	2100,000	LC4.5	34,18	-7,51	9,85	12,33
B24	HN - lw	2100,000	LC5.1	-17,35	27,76	-5,72	-14,90
B24	HN - lw	2100,000	LC5.2	17,02	-27,76	5,64	14,70

5. Reakce

5.1. Reakce-UIC

Lineární výpočet, Extrém : Uzel

Výběr : Vše

Třída : ZS UIC

Podpora	Stav	Rx [kN]	Ry [kN]	Rz [kN]	Mx [kNm]	My [kNm]	Mz [kNm]
Sn1/N106	LC101	-2,04	0,64	267,98	0,00	0,00	0,00
Sn1/N106	LC109	1,95	-0,61	404,02	0,00	0,00	0,00
Sn2/N116	LC109	-1,95	0,00	403,89	0,00	0,00	0,00
Sn2/N116	LC101	2,04	0,00	268,11	0,00	0,00	0,00
Sn3/N101	LC101	0,00	-0,64	404,02	0,00	0,00	0,00
Sn3/N101	LC109	0,00	0,61	267,98	0,00	0,00	0,00
Sn4/N111	LC101	0,00	0,00	403,89	0,00	0,00	0,00
Sn4/N111	LC109	0,00	0,00	268,11	0,00	0,00	0,00

5.2. Reakce-neUIC

Lineární výpočet, Extrém : Ne

Výběr : Vše

Třída : ZS neUIC

Podpora	Stav	Rx [kN]	Ry [kN]	Rz [kN]	Mx [kNm]	My [kNm]	Mz [kNm]
Sn1/N106	LC1	0,00	0,00	32,66	0,00	0,00	0,00
Sn1/N106	LC2	0,00	0,00	18,87	0,00	0,00	0,00
Sn1/N106	LC3.1	170,53	0,08	-10,02	0,00	0,00	0,00
Sn1/N106	LC3.2	-170,53	-0,08	10,02	0,00	0,00	0,00
Sn1/N106	LC3.3	103,34	0,05	-6,25	0,00	0,00	0,00
Sn1/N106	LC3.4	-103,35	-0,05	6,07	0,00	0,00	0,00
Sn1/N106	LC4.1	1,70	-11,64	-2,05	0,00	0,00	0,00
Sn1/N106	LC4.2	4,63	-34,78	-6,21	0,00	0,00	0,00
Sn1/N106	LC4.3	7,32	-57,84	-10,38	0,00	0,00	0,00
Sn1/N106	LC4.4	6,31	-74,19	-13,99	0,00	0,00	0,00
Sn1/N106	LC4.5	2,48	-89,66	-16,88	0,00	0,00	0,00
Sn1/N106	LC5.1	-4,04	53,49	40,33	0,00	0,00	0,00
Sn1/N106	LC5.2	4,04	-53,49	-40,33	0,00	0,00	0,00
Sn2/N116	LC1	0,00	0,00	32,66	0,00	0,00	0,00
Sn2/N116	LC2	0,00	0,00	18,17	0,00	0,00	0,00
Sn2/N116	LC3.1	171,02	0,00	-10,00	0,00	0,00	0,00
Sn2/N116	LC3.2	-171,02	0,00	10,00	0,00	0,00	0,00
Sn2/N116	LC3.3	103,66	0,00	-6,24	0,00	0,00	0,00
Sn2/N116	LC3.4	-103,65	0,00	6,06	0,00	0,00	0,00
Sn2/N116	LC4.1	-1,70	0,00	2,05	0,00	0,00	0,00
Sn2/N116	LC4.2	-4,63	0,00	6,21	0,00	0,00	0,00
Sn2/N116	LC4.3	-7,32	0,00	10,38	0,00	0,00	0,00
Sn2/N116	LC4.4	-6,31	0,00	13,99	0,00	0,00	0,00
Sn2/N116	LC4.5	-2,48	0,00	16,88	0,00	0,00	0,00
Sn2/N116	LC5.1	4,04	0,00	-40,33	0,00	0,00	0,00
Sn2/N116	LC5.2	-4,04	0,00	40,33	0,00	0,00	0,00
Sn3/N101	LC1	0,00	0,00	32,14	0,00	0,00	0,00
Sn3/N101	LC2	0,00	0,00	18,84	0,00	0,00	0,00
Sn3/N101	LC3.1	0,00	-0,08	10,02	0,00	0,00	0,00
Sn3/N101	LC3.2	0,00	0,08	-10,02	0,00	0,00	0,00
Sn3/N101	LC3.3	0,00	-0,05	6,25	0,00	0,00	0,00
Sn3/N101	LC3.4	0,00	0,05	-6,07	0,00	0,00	0,00
Sn3/N101	LC4.1	0,00	-88,36	-17,00	0,00	0,00	0,00
Sn3/N101	LC4.2	0,00	-65,22	-12,84	0,00	0,00	0,00
Sn3/N101	LC4.3	0,00	-42,16	-8,67	0,00	0,00	0,00
Sn3/N101	LC4.4	0,00	-25,81	-5,61	0,00	0,00	0,00
Sn3/N101	LC4.5	0,00	-10,34	-2,17	0,00	0,00	0,00
Sn3/N101	LC5.1	0,00	50,97	40,53	0,00	0,00	0,00
Sn3/N101	LC5.2	0,00	-50,97	-40,53	0,00	0,00	0,00
Sn4/N111	LC1	0,00	0,00	32,15	0,00	0,00	0,00
Sn4/N111	LC2	0,00	0,00	18,14	0,00	0,00	0,00
Sn4/N111	LC3.1	0,00	0,00	10,00	0,00	0,00	0,00
Sn4/N111	LC3.2	0,00	0,00	-10,00	0,00	0,00	0,00
Sn4/N111	LC3.3	0,00	0,00	6,24	0,00	0,00	0,00
Sn4/N111	LC3.4	0,00	0,00	-6,06	0,00	0,00	0,00

Podpora	Stav	Rx [kN]	Ry [kN]	Rz [kN]	Mx [kNm]	My [kNm]	Mz [kNm]
Sn4/N111	LC4.1	0,00	0,00	17,00	0,00	0,00	0,00
Sn4/N111	LC4.2	0,00	0,00	12,84	0,00	0,00	0,00
Sn4/N111	LC4.3	0,00	0,00	8,67	0,00	0,00	0,00
Sn4/N111	LC4.4	0,00	0,00	5,61	0,00	0,00	0,00
Sn4/N111	LC4.5	0,00	0,00	2,17	0,00	0,00	0,00
Sn4/N111	LC5.1	0,00	0,00	-40,53	0,00	0,00	0,00
Sn4/N111	LC5.2	0,00	0,00	40,53	0,00	0,00	0,00

6. Deformace

6.1. Průhyb HN-UIC

Lineární výpočet, Extrém : Globální, Systém : Hlavní
Vyběr : Vše
Třída : ZS UIC
Vrstva : hlavnínosnik

Dílec	dx [mm]	Stav	uz [mm]
B22	420,000	LC105	-4,8
B5	2100,000	LC109	0,0

6.2. Průhyb HN-neUIC

Lineární výpočet, Extrém : Ne, Systém : Hlavní
Vyběr : Vše
Třída : ZS neUIC
Vrstva : hlavnínosnik

Dílec	dx [mm]	Stav	uz [mm]
B3	420,000	LC1	-0,4
B3	420,000	LC2	-0,2
B3	420,000	LC3.1	0,0
B3	420,000	LC3.2	0,0
B3	420,000	LC3.3	0,0
B3	420,000	LC3.4	0,0
B3	420,000	LC4.1	0,1
B3	420,000	LC4.2	0,3
B3	420,000	LC4.3	0,3
B3	420,000	LC4.4	0,3
B3	420,000	LC4.5	0,1
B3	420,000	LC5.1	-0,6
B3	420,000	LC5.2	0,6
B3	420,001	LC1	-0,4
B3	420,001	LC2	-0,2
B3	420,001	LC3.1	0,0
B3	420,001	LC3.2	0,0
B3	420,001	LC3.3	0,0
B3	420,001	LC3.4	0,0
B3	420,001	LC4.1	0,1
B3	420,001	LC4.2	0,3
B3	420,001	LC4.3	0,3
B3	420,001	LC4.4	0,3
B3	420,001	LC4.5	0,1
B3	420,001	LC5.1	-0,6
B3	420,001	LC5.2	0,6
B22	420,000	LC1	-0,4
B22	420,000	LC2	-0,2
B22	420,000	LC3.1	0,0
B22	420,000	LC3.2	0,0
B22	420,000	LC3.3	0,0
B22	420,000	LC3.4	0,0
B22	420,000	LC4.1	-0,1
B22	420,000	LC4.2	-0,3
B22	420,000	LC4.3	-0,3
B22	420,000	LC4.4	-0,3
B22	420,000	LC4.5	-0,1
B22	420,000	LC5.1	0,6
B22	420,000	LC5.2	-0,6
B22	420,001	LC1	-0,4
B22	420,001	LC2	-0,2
B22	420,001	LC3.1	0,0
B22	420,001	LC3.2	0,0
B22	420,001	LC3.3	0,0
B22	420,001	LC3.4	0,0
B22	420,001	LC4.1	-0,1

Dílec	dx [mm]	Stav	uz [mm]
B22	420,001	LC4.2	-0,3
B22	420,001	LC4.3	-0,3
B22	420,001	LC4.4	-0,3
B22	420,001	LC4.5	-0,1
B22	420,001	LC5.1	0,6
B22	420,001	LC5.2	-0,6

7. Posouzení

7.1. Posudek oceli - ztužidla

Lineární výpočet
Třída: EN UNO
Souřadný systém: Hlavní
Extrém 1D: Průřez
Výběr: Vše
Filtr: Vrstva = ztužidla
Celkový posudek

Jméno	dx [mm]	Stav	Průřez	Materiál	UC _{Celkový} [-]	UC _{Průřez} [-]	UC _{Stabilita} [-]
B289	0,000	HN4/1	Z1 - L(CSN)90/8	ocel č.37 tl<25	0,07	0,07	0,00

7.2. Posudek oceli - mezipodélníková ztužidla

Lineární výpočet
Třída: EN UNO
Souřadný systém: Hlavní
Extrém 1D: Průřez
Výběr: Vše
Filtr: Vrstva = MPztuz
Celkový posudek

Jméno	dx [mm]	Stav	Průřez	Materiál	UC _{Celkový} [-]	UC _{Průřez} [-]	UC _{Stabilita} [-]
B278	900,000+	HN2/1	ZMP - U140	ocel č.37 tl<25	0,03	0,01	0,03

7.3. Posudek oceli - konzoly

Lineární výpočet
Třída: EN UNO
Souřadný systém: Hlavní
Extrém 1D: Průřez
Výběr: Vše
Filtr: Vrstva = konzola
Celkový posudek

Jméno	dx [mm]	Stav	Průřez	Materiál	UC _{Celkový} [-]	UC _{Průřez} [-]	UC _{Stabilita} [-]
B253	0,000	HN1/1	KON - U180	ocel č.37 tl<25	0,09	0,09	0,00